PHYSIKALISCHE BERICHTE

Herausgegeben vom

VERBAND DEUTSCHER PHYSIKALISCHER GESELLSCHAFTEN E. V.

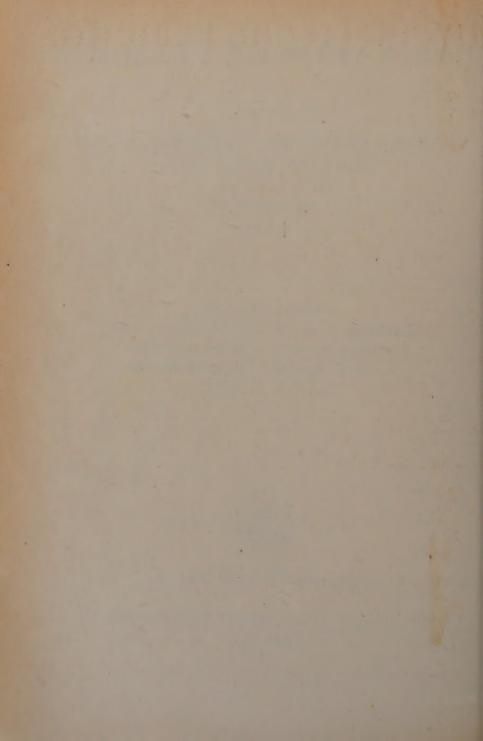
unter der Redaktion von H. EBERT

Wissenschaftlicher Beirat:

J. BARTELS, W. GENTNER, P. GÖRLICH, D. HAHN, F. HUND, H. MOSER, M. PFLÜCKE, R. W. POHL, B. RAJEWSKY, R. ROMPE, F. TRENDELENBURG, R. VIEWEG, K. WOLF



AKADEMIE-VERLAG · BERLIN



PHYSIKALISCHE BERICHTE

Herausgegeben vom Verband Deutscher Physikalischer Gesellschaften e. V. unter der Redaktion von H. Ebert

Band 40

April 1961 -

Heft 4

0. Allgemeines

- 4-1 International cooperation in physics. Amer. J. Phys. 26, 275—280, 1958, Nr. 5. Mai.) Schön.
- *Keith R. Symon. Mechanics. 2. Auflage XIV. u. 557 S. m. etwa 140 Abb. Addison-Wesley Publishing Comp., Inc., Reading, Mass. USA, u. London, England, 1960. \$10,50. ,,... Die Wahl der Themen und ihre Behandlung in diesem Buch sollen den nodernen Gesichtspunkt betonen. Anwendungen der Atomphysik sind, wo immer nöglich, gegeben mit einem Hinweis, wie die Gültigkeit der Ergebnisse klassischer Mechanik ausgewertet werden kann. Ein wichtiges Anliegen des ersten Kursus' in Mechanik ist, den Studenten dahin zu bringen, über physikalische Probleme in mathenatischer Darstellung zu denken ...". Inhalt: Newton-Mechanik. Bewegung in ein, wei und drei Dimensionen. Punktsysteme. Starrer Körper. Gravitation. Kontinuum. AGRANGESche Gleichungen. Tensoren. Rotation. Schwingungen. Bibliographie. Aufösung der im Text gestellten Aufgaben. Register.
- *James A. Richards, Francis Weston Sears, M. Russel Wehr and Mark W. Zemanky. University Physics. XVI u. 993 S. m. etwa 800 Abb. (Index-Seiten nicht mitgezählt.) Addison-Wesley Publishing Comp., Inc., Reading, Mass. USA; London, England, 1960, 5. 9.75. Aus zwei früheren getrennten Werken (SEARS-ZEMANSKY und WEHR-RICHARDS) st eine Einheit geschaffen, die dem derzeitigen Stand der Physik entspricht und einem preiten Leserkreis gerecht wird. Inhalt: 35 Kapitel (Mechanik, Akustik, Wärme, Elektrizität, Magnetismus, Optik, Atomphysik (Kerne, Radioaktivität, Elementar-eilchen). 6 Anhänge, Register.
- J. B. Adams. Prof. C. J. Bakker. Nature, Lond. 186, 761, 1960, Nr. 4727. (4. Juni.)
 V. Weidemann.
- 4-5 Dr.-Ing. E. h. Reinhold Heidecke †. Optik, Stuttgart 17, 283-284, 1960, Nr. 5.
 Mai.)

 Behnsch.
- John Christian Jensen, 1880—1957. Amer. J. Phys. 26, 343, 1958, Nr. 5. (Mai.) Schön.
- 7 I. P. Alexandrov and I. K. Kikoin. I. V. Kurchatov 1903—1960. Nuclear Phys. 17, 77—180, 1960, Nr. 2. (Juni.) (Moscow, Acad. Sci.)

 Behnsch.
- -8 W. E. Curtis. Prof. E. G. Richardson. Nature, Lond. 186, 678, 1960, Nr. 4726. 28. Mai.)
- —9 J. L. Pawsey. Mr. C. A. Shain. Nature, Lond. 186, 594—595, 1960, Nr. 4725.
 21. Mai.)
- -10 R. Tamm. Julius Wallot zum Gedenken. Arch. elektr. Übertr. 14, 238, 1960, Nr. 5. Mai.) V. Weidemann.

- 4-11 Sir Harold Hartley. Sir Humphry Davy, Bt., P. R. S. 1778-1829. Proc. roy. So. (A) 255, 153-180, 1960, Nr. 1281. (22. März.) Behnsch.
- 4-12 William T. Scott. Who was Earnshaw? Amer. J. Phys. 27, 418-419, 1959, Nr. (Sept.) (Northampton, Mass., Smith Coll., Dep. Phys.)
- 4-13 P. W. Bridgman. Sir Francis Simon. Knowledge of the properties of matter temperatures near absolute zero has been increased greatly by his work. Science 131, 1647 b 1654, 1960, Nr. 3414. (3. Juni.)

 V. Weidemann.
- 4-14 Vernet E. Eaton. Presentation of Paul Kirkpatrick as the Oersted Medalist for 1958, Amer. J. Phys. 27, 388-389, 1959, Nr. 6. (Sept.)
- 4-15 Melbourne G. Evans. Newton and the cause of gravity. Amer. J. Phys. 26, 619 b 624, 1960, Nr. 9. (Dez.) (Albuquerque, N. Mex., Univ., Dep. Philos.)
- 4-16 Henry Zatzkis. Thomson atom. Amer. J. Phys. 26, 635-638, 1958, Nr. 9. (Dez (Newark, N. J., Coll. Engng.)
- 4-17 E.V. Shpol'skii. A century of spectrum analysis. Soviet Phys.-Uspekhi 2, 958 b 973, 1960, Nr. 6. (Juni.) (Engl. Übers. aus: Usp. Fiz. Nauk 69, 657, 1959).
 V. Weidemann.
- 4-18 H. Toeller. Bericht über die Tätigkeit VDE/VDI Fachgruppe Elektrisches un Wärmetechnisches Messen. Z. Instrum.-Kde 68, 86-87, 1960, Nr. 4. (Apr.)
 H. Ebert.
- 4-19 Transistoren für hohe Frequenzen. Fachtagung der Nachrichtentechnischen Gesel schaft, Nürnberg vom 21. bis 23. 4. 1959. Nachrichtentech. Fachber. 18, 1960, S. 1-144. A 1-A 37.
- 4-20 Kolloquium inhomogene Felder in festen Dielektrika im Durchschlagsgebiet. Abl Dtsch. Akad. Wiss., Berlin 1960, Nr. 1, S. 1-50. (S. B.) V. Weidemann.
- 4-21 Physikalische Gesellschaft Württemberg-Baden-Pfalz vom 27. bis 30. April 1960 in Heidelberg. Angew. Chem. 72, 420-422, 1960, Nr. 12. (21. Juni.)
- 4-22 Wiederholung der Tagung Halbleiter-Bauelemente in der Meβtechnik am 17. un 18. März 1960 in Krefeld. Z. Instrum.-Kde 68, 87, 1960, Nr. 4. (Apr.)
- 4-23 K. F. Zobel. Die Tagung "Halbleiter-Bauelemente in der Meβtechnik" am 17. un 18. März 1960 im Auditorium Maximum der Textilfachschule Krefeld. Z. Instrum.-Kd 68, 115-116, 1960, Nr. 5. (Mai.)
- 4-24 John R. Smithson. The Fall Meeting of the Chesapeake Section, held at the Unversity of Maryland, College Park, on November 2, 1957. Amer. J. Phys. 26, 269-270 1958, Nr. 4. (Apr.)
- 4-25 Paul Rood. Michigan Association Fall Meeting at Michigan State University December 7, 1957. Amer. J. Phys. 26, 270, 1958, Nr. 4. (Apr.)
- 4-26 Martin E. Nelson. The Fall Meeting of the Washington Section of the AAPT held the University of Washington, Seattle, on November 16, 1957. Amer. J. Phys. 26, 270 b 271, 1958, Nr. 4. (Apr.)
- 4-27 George Barnes. Winter Meeting of the Northern California Association of Physic Teachers held on December 20 at Menlo School and College in Menlo Park, California Amer. J. Phys. 26, 344-345, 1958, Nr. 5. (Mai.)
- 4-28 The Minnesota Area Association of Physics Teachers Fall Meeting at Concords College, Moorhead, Minnesota, held on November 9, 1957. Amer. J. Phys. 26, 345-340 1958, Nr. 5. (Mai.)
- 4-29 Lyle W. Finley. The annual Fall Meeting of the Illinois Section of the America Association of Physics Teachers, held on October 10 and 11 at the Argonne National Laboratory, Lemont, Illinois. Amer. J. Phys. 27, 368, 1959, Nr. 5. (Mai.) Schön.

- 4-30 George R. Stubbs. The Minnesota Area Association of Physics Teachers regular Fall Meeting on October 25, 1958 at the University of Minnesota, Minneapolis, Minnesota. Amer. J. Phys. 27, 368-369, 1959, Nr. 5. (Mai.)
- 4–31 Francis W. Sears. Proceeding of the American Association of Physics Teachers. Twenty-Eighth Annual Meeting. The Hotel Governor Clinton, Hotel New Yorker and Manhattan Center, New York City, January 28.–31, 1959. Amer. J. Phys. 27, 441–454, 1959, Nr. 6. (Sept.)
- 4-32 Fifth Symposium on Magnetism and Magnetic Materials 16.—19. Nov. 1959 in Detroit. J. appl. Phys. 31, 1960, Suppl. zu Nr. 5, (Mai.) S. 1 S—420 S. (S. B.) (Detroit.)
- 4-33 Symposium on "Heat Transfer". Bangalore 27./28, 11, 1959. J. sci. industr. Res. 19 A, 197-198, 1960, Nr. 5. (Mai.)
- 4-34 J. D. McGee and W. L. Wilcock. Photo-electronic image devices. Symposium London 3.-5.9.1958. Advanc. Electron. 12, 1-397, 1960. (S. B.) (London, Univ., Imp. Coll., Dep. Phys.)
- 4-35 R. T. Beyer. 3rd International Congress on Acoustics, Stuttgart, 1.—8. 9. 1959. Phys. Today 13, 1960, Nr. 5, (Mai.) S. 26—29.
- 4–36 Compte rendu de la réunion de la Société Suisse de Physique dans le cadre de la 139° assemblée annuelle de la Société Helvétique des Sciences Naturelles, Lausanne, le 12 septembre 1959. Helv. phys. Acta 32, 445–510, 1959, Nr. 6/7. (Dez.)
- 4–37 Colloque International du Centre National de la Recherche Scientifique, Paris 30. 6.—3. 7. 1959. Les recherches galactiques et extragalactiques et la photographie électronique. Ann. Astrophys. 23, 305–458, 1960, Nr. 3. (Mai/Juni.)

l. Weidemann.

I. Mathematik

- 4-38 *Tabellen zur Abelschen Integralgleichung. Phys.-Techn. Inst., Bereich Strahlungsquellen, Bln. 017. 30 S. m. 3 Abb. Veröffentlichung des Inst. Nr. 1. Akademie-Verlag, Berlin, 1960. DM 3,—. (brosch.) Inhalt: Zusammenfassung u. Literaturhinweise. Aufstellung der Gleichung und Vorschlag zur Auswertung. Fehlerabschätzung. Literaturverzeichnis. Tabellen der Funktion.

 H. Ebert.
- 4-39 Karl-Heinz Bachmann. Lösung algebraischer Gleichungen nach der Methode des stärksten Abstiegs. Z. angew. Math. Mech. 40, 132-135, 1960, Nr. 1/3. (Jan./März.) (Dresden.) Es wird eine Modifikation des Verfahrens des steilen Anstieges angegeben, so daß dieses Verfahren auch für Rechenautomaten geeignet wird.

 Peschka.
- Mathematical physics. I. Particle processes. J. Math. Phys. 1, 280—308, 1960, Nr. 4. [Juli/Aug.] (Santa Monica, Calif., Rand Corp.; Albuquerque, N. M., Sandia Corp.) Eine Methode zur Lösung der Gleichungen der mathematischen Physik ist die Anwendung der Theorie der Halbgruppen auf die Funktionalanalysis. Diese Methode soll nun auf breiterem Gebiet angewandt werden, indem man als Halbgruppenvariable andere physikalische Variable als die Zeit verwendet. Unter systematischer Benutzung von Invarianzprinzipien werden nicht nur neue analytische Formulierungen für klassische Teilchenprozesse wie Transporttheorie, Strahlungsübertragung, statistische Bewegung, Vielfachstreuung und Diffusionstheorie gegeben, sondern zusätzlich Algorithmen, die sich für die Berechnung mit Digitalrechnern eignen. Während bei den üblichen Methoden die Probleme auf die Lösung von Systemen linearer Gleichungen reduziert werden, werden hier die Probleme reduziert auf Iteration nichtlinearer Transformationen. An Hand des Beispiels "Neutronentransport und -vervielfachung" wird die allgemeine Methode der "invarianten Einbettung" geschildert, bei der Zustandsvariable einge-

1*

führt werden und die Gleichungen so aufgefaßt werden, daß jeder Einzelprozeß Mitglieder ganzen Familie von verwandten Prozessen wird. Das Prinzip der Stetigkeit liefer Beziehungen zwischen den verschiedenen Mitgliedern; auf diese Weise können die Merkmale des einzelnen Gliedes charakterisiert werden. Beim Neutronentranspor z. B. werden die Neutronen als Punktteilchen mit endlicher Geschwindigkeit aufgefaßt während ihr Zerfall und ihre Streuung charakterisiert werden durch gewisse Wahrschein lichkeiten (Wirkungsquerschnitte) für Verzweigung, Umkehrung oder Neuorientierung der Richtung in dem Medium, in dem der Prozeß abläuft.

- 4-41 Karl Goldberg. The minimum of a certain linear form. J. Res. nat. Bur. Stand 64B, 49-50, 1960, Nr. 1. (Jan./März.) (Washington, D. C.) Die $a_1 \le a_2 \le \ldots \le a_n \le$
- 4-42 Marvin Marcus and N. A. Khan. Space of k-commutative matrices. J. Res. nat Bur. Stand. 64B, 54-54, 1960, Nr. 1. (Jan./März.) (Vancouver, Can., Univ.; Aligarh India, Univ.) M_N sei der Raum der N-reihigen komplexen Matrizen. A sei eine fest Matrix, [A,X] = AX = XA, $[A,X]_k = [A,[A,X]_{h-1}]$. Die Menge aller Matrizen X mi $[A,X]_k = 0$ bilden den Unterraum $A_k(A)$. Satz 1 bestimmt die Dimension von $A_k(A)$ abhängig von den Graden der Elementarteiler von A, wenn es genau einen Elementar teiler zu jedem Eigenwert gibt. Ist E_q die Menge der Matrizen mit genau q verschiedener Eigenwerten, so zeigt Satz 2, daß für $k \geq 2$ (N -q) + 1 gilt: min dim $A_k(A) = R$ (Q + 1)² $+ (q R)Q^2$, wo N = Qq + R, $0 \leq R + q$.
- 4-43 Julius Sumner Miller. Cycloid generator. Amer. J. Phys. 27, 62, 1959, Nr. 1. (Jan. (El Camino College, Calif.)
- 4-44 Joachim Uhlig. Ein Iterationsverfahren für ein inverses Eigenwertproblem endliche Matrizen. Z. angew. Math. Mech. 40, 123–125, 1960, Nr. 1/3. (Jan./März.) (Dresden. Es soll zu einer n-reihigen reellen quadratischen Matrix A eine n-reihige Diagonal matrix D so bestimmt werden, daß das Produkt A · D vorgegebene reelle Eigenwerte $\mu_1 \dots \mu_n$ hat. Nach einem von Downing und Householder angegebenen Verfahren können diejenigen Lösungen D bestimmt werden, die nur positive Diagonalelement besitzen, wenn außerdem die Ausgangsmatrix A symmetrisch ist. Das hier vorgeschlagen Verfahren, das dem Gauss-Seidellschen Gesamtschrittverfahren ähnelt, benötigt vie weniger Rechenaufwand als das von Downing und Householder. Die Arbeit stellt ein vorläufige Veröffentlichung des Vf. dar.
- 4–45 Horst Bialy. Iterative Lösung einer Matrizengleichung. Z. angew. Math. Mech. 40 130–132, 1960, Nr. 1/3. (Jan./März.) (Dresden.) Es wird gezeigt, daß ein von Bücknei (Ein unbeschränkt anwendbares Iterationsverfahren für Fredholmsche Integral gleichungen. Math. Nachr. 2, 304–313, 1949) für Integralgleichungen angegebene Iterationsverfahren die iterative Lösung der Matrizengleichung A·X = B bei ge eigneter Vorgabe von A und B gestattet. Im Falle B = E kann also A⁻¹ bestimmt werden Dieses Verfahren hat gegenüber dem von Schulz (Iterative Berechnung der reziprokei Matrix, Z. angew. Math. Mech. 13, 57–59, 1933) den Vorteil der Einfachheit, und der Nachteil, daß es auf hermitische Matrizen beschränkt bleibt und schlechter konvergiert Pesch ka.
- 4-46 P. H. Müller und H. Kummer. Zur praktischen Bestimmung nichtlinear auf tretender Eigenwerte. Anwendung des Verfahrens auf eine Stabilitätsuntersuchung (Kipp erscheinung). Z. angew. Math. Mech. 40, 136-143, 1960, Nr. 1/3. (Jan./März.) (Dresden Frankfurt/M.) Es werden näherungsweise die Eigenwerte λ fölgender Integralgleichung

Es handelt sich hierbei um eine Verallgemeinerung des "Abschnittverfahrens". Es wird gezeigt, daß die Näherungswerte unter bestimmten Bedingungen gegen die Eigenwerte konvergieren und daß jeder Eigenwert Häufungspunkt dieser Näherungswerte ist. Das Verfahren wird an Hand der Berechnung der Kipplast eines einseitig eingespannten Trägers gezeigt. Eine Fehlerabschätzung ist noch nicht bekannt.

1961

Peschka.

Päsler.

- J. van Bladel. Distributions vectorielles. Ann. Télécomm. 15, 71-76, 1960, Nr. 3/4. (März/Apr.) (Wisconsin, Univ.) Aus der von Schwartz entwickelten Distributionstheorie, durch die das Rechnen mit der 8-Funktion gerechtfertigt wird, werden einige Sätze auf die bekannten Operatoren der Vektorrechnung ausgedehnt.
- 4-48 D. S. Butler. The numerical solution of hyperbolic systems of partial differential equations in three independent variables. Proc. roy. Soc. (A) 255, 232-252, 1960, Nr. 1281. (22. März.)
- 4-49 R. A. Woodrow. A further note on data fitting with linear transfer functions. J. Electronics (1) 7, 448-450, 1959, Nr. 5. (Nov.) (London, Battersea Coll. Technol., Elect. Engng Dep.)
- 4-50 R. Mittra. On the solution of an eigenvalue equation of the Wiener-Hopf type in finite and infinite ranges. Appl. sci. Res., Hague (B) 8, 201-207, 1960, Nr. 3. (Urbana, Ill., Univ., Dep. Elect. Engng. Antenna Lab.)
- 4-51 I. Z. Fisher. Applications of the Monte Carlo method in statistical physics. Soviet Phys.-Uspekhi 2, 783-796, 1960, Nr. 6. (Juni.) (Engl. Übers. aus: Usp. Fiz. Nauk 69, V. Weidemann. 349, 1959.)
- 4-52 Julien Loeb. La "déconvolution" en calcul numérique. Ann. Télécomm. 15, 84 bis 91, 1960, Nr. 3/4. (März/Apr.) Angabe eines Verfahrens zur numerischen Berechnung
- der Funktion z(x) aus der Integralgleichung $V(x) = \int g(u) \cdot z(x+u) du$. Die darin auftretenden Funktionen V(x) und g(x) sind physikalische Größen, deren Abhängigkeit
- von x durch Messungen ermittelt wurde. 4-53 O. Fritscher. Berechnung der komplexen Wurzeln algebraischer Gleichungen als Ergänzung der Methode von Graeffe. Öst. Ing.-Arch. 14, 68-75, 1960, Nr. 6. (Juni.) (Wien.) V. Weidemann.
- 4-54 Ayrom A. Blumberg. Simple optical device for drawing tangents and normals to curves. Amer. J. Phys. 27, 58-59, 1959, Nr. 1. (Jan.) (Pittsburgh, Penn., Mellon Inst.) Schön.
- 4-55 B. W. Montague. Phase space analogue computer for beam matching problems. CERN 1960, Nr. 60-24, (25. Mai.) S. 1-19.
- 4–56 E. Goto, K. Murata, K. Nakazawa, K. Nakagawa, T. Moto-Oka, Y. Matsuoka, Y. Ishibashi, H. Ishida, T. Soma and E. Wada. Esaki diode high-speed logical circuits. Trans. Inst. Radio Engrs, N. Y. EC-9, 25-29, 1960, Nr. 1. (März.) (Tokyo, Univ., Fac. Sci., Dep. Phys.; Fac. Engng, Dep. Appl. Phys.; Dep. Elect. Engng.)
- 4-57 Willis H. Ware. Soviet computer technology 1959. Trans. Inst. Radio Engrs, N. Y. EC-9, 72-120, 1960, Nr. 1. (März.)
- 4-58 V. A. Brick. Error accumulation in calculation on digital computers. Automat. Felemech., Moskau 21, 595-600, 1960, Nr. 5. (Orig. russ. m. engl. Zfg.) V. Weidemann.
- Wilhelm Kämmerer. Ziffern-Rechenautomat mit Programmierung nach mathenatischem Formalbild. Jena. Jb. 1959, Teil II. S. 396-440. Gegenstand der Arbeit ist s, die Schwierigkeiten in der Programmierung von Rechenautomaten dadurch zu iberwinden, daß die Struktur des Automaten nach Möglichkeit den Erfordernissen anepaßt wird. Nach einer Übersicht über adressenfreies Programmieren, Bibliotheks-

programme und Rechenplanberechnung wird erläutert, inwiesern der Rechenautomatüber seine Speicherkapazität selbst verfügen, d. h. ein automatisches Gedächtnis besitzen muß, wozu u. a. Zugriffsmethoden "Adresse von Adresse" weiter entwickelt wurden.

Hora.

4-60 Friedrich Franke. Näherungsweise Berechnung von Wurzeln durch Polynomquotienten. Jena. Jb. 1959, Teil II. S. 480-495. Für die Berechnung der n-ten Wurzel (n > 1 von positiven Zahlen mit Rechenautomaten werden Kettenbruchentwicklungen und deren Näherungsbrüche beliebig hoher Ordnung herangezogen. Als Beispiel wird die Berechnung von Quadratwurzeln bei Rechenautomaten mit beweglichem Komma mittels Polynomquotienten angegeben, durch welche Methode der übliche Aufwand um zwei Befehlszeilen gesenkt wird.

II. Astronomie und Astrophysik

- 4-61 Peter Wellmann. Methoden der praktischen astronomischen Spektroskopie. Studiun gen. 13, 138-146, 1960, Nr. 3. (Hamburg-Bergedorf, Sternwarte.)
- 4-62 0. Hachenberg. Die Meβmethoden der Radioastronomie. Studium gen. 13, 146 bi 155, 1960, Nr. 3. (Berlin-Adlershof, Heinrich-Hertz-Inst. Schwingungsforsch.)
- 4-63 **D. Labs.** Methoden in der theoretischen Astrophysik. Studium gen. **13**, 156-168 1960, Nr. 3. (Heidelberg-Königstuhl, Landessternwarte.)
- 4-64 W. A. Baum. The potentialities of photoelectronic imaging devices for astronomical observations. Advanc. Electron. 12, 1-3, 1960. (S. B.) (Pasadena, Calif., Mount. Wilson and Palomar Obs.)

 V. Weidemann.
- 4-65 **H. Elsässer.** Zur Theorie der astronomischen Szintillation. II. Z. Astrophys. 50 278-295, 1960, Nr. 4. (19. Sept.) (Göttingen, Univ.-Sternw.) Die durch die turbulent Erdatmosphäre hervorgerufenen Helligkeits- und Richtungsschwankungen des Stern lichtes werden im Anschluß an eine Lösung der Wellengleichung von Obuchow ab geleitet. Der Vergleich mit den geometrisch-optischen Ergebnissen von Teil I zeigt, das sich für die Richtungsschwankungen ein mit I identischer Ausdruck ergibt. Bei de Helligkeitsschwankungen ist dagegen die geometrische Näherung nur für zenitnah Sterne zulässig. Es wird dann die Abhängigkeit der Szintillationserscheinungen von de Zenitdistanz diskutiert. Die Beobachtungen lassen sich nur unter der Annahme vor Turbulenzelementen verschiedener Größe verstehen.
- 4-66 Gerhard Koch. Einige Bemerkungen zur Richtcharakteristik von Parabolspiegel im Zusammenhang mit der Nachführung radioastronomischer Geräte. Jena. Jb. 1958 Teil II, S. 474-479. Die Richtcharakteristik eines Parabolspiegels wird aus der Sum mation von Elementarwellen der vor dem Spiegel bei Ausstrahlung entstehenden ebene Wellen mit einfachbeitshalber konstanter Amplitude berechnet und der bekannt Winkel für das erste Minimum der Charakteristik bestätigt gefunden. Ferner wir der Leistungshalbwertswinkel und der Feldstärkehalbwertswinkel der Hauptkeule de Charakteristik bestimmt. Daraus läßt sich angeben, welche Genauigkeit der Nachführung eines radioastronomischen Teleskops genügt, um sichere Registrierungen durch zuführen.
- 4-67 J. E. Geake, J. Ring and N. J. Woolf. The Fabry-Perot monochromator. Mon. No R. astr. Soc. 119, 616-628, 1959, Nr. 6. (Manchester, Univ.) Es wird über eine Anorung berichtet, bei der ein Fabry-Perot-Interferometer zusammen mit einem Monchromator zur lichtelektrischen Abtastung von Sternspektren benützt wird. Der Haup vorteil gegenüber einem Gitter- oder Prismenspektrographen besteht darin, daß mwesentlich breiterem Eintrittsspalt gearbeitet werden kann und dadurch eine besse Ausbeute des einfallenden Sternlichtes erreicht wird. Das Gerät wurde am 120 cm Spiegelteleskop in Asiago erprobt.

961

- 4-68 Donna Scott Kirby. Multiple image printing for planetary photography. Publ. astr. Soc. Pacif. 71, 334-337, 1959, Nr. 421. (Aug.) (Santa Monica, Calif., Rand Corp.) Bei dieser Methode werden mehrere (15-20) kurzbelichtete Aufnahmen übereinanderkopiert in der Absicht, durch die kurzen Belichtungszeiten den Einfluß der Luftunruhe zu reduzieren, den nötigen Kontrast aber durch die größere Anzahl von Aufnahmen zu erreichen. Es wird, mit Bildmaterial, über Erfahrungen berichtet, die vorwiegend am Mars gewonnen wurden.
- 4-69 André Couder. Le grand télescope du C. N. R. S. Description générale. Ann. Astrophys. 23, 305-313, 1960, Nr. 3. (Mai/Juni.) (S. B.) (Paris, Obs.)
- 4-70 A. Lallemand, M. Duchesne, G. Wlérick, R. Augarde et M. F. Dupré. Les possibilités actuelles de la photographie électronique. Ann. Astrophys. 23, 314-324, 1960, Nr. 3. (Mai/Juni.) (S. B.) (Paris-Meudon, Obs.)
- 13, 247-256, 1960, Nr. 5. (Freiburg/Brsg., Univ. Phys.)
- 4-72 **R. Cayrel** und **G. Traving.** Zur Frage der Druckverbreiterung der solaren Balmerinien. Z. Astrophys. 50, 239–252, 1960, Nr. 4. (19. Sept.) (Kiel, Univ., Inst. Theor. Phys. u. Sternw.) Die Flügeltiefen der Balmer-Linien $H_{\alpha} H_{\delta}$ und deren Mitte-Rand-Variation wurden unter der Annahme eines homogenen Photosphärenmodells berechnet. Als Verbreiterungsmechanismen wurden angenommen: 1. statistische Verbreiterung lurch die Ionen (Holtsmark-Theorie), 2. zusätzliche Verbreiterung durch Elektronenstöße, 3. zusätzliche Eigendruckverbreiterung. Es zeigte sich, daß die Berücksichtigung der Elektronenstöße die Übereinstimmung mit den beobachteten Profilen gegenüber der Holtsmark-Theorie wesentlich verbesserte und daß zumindest für H_{α} und H_{β} nußerdem auch noch die Eigendruckverbreiterung eine wesentliche Rolle spielt. Der bei den numerischen Rechnungen vernachlässigte Einfluß der Temperaturinhomogenitäten wird abgeschätzt und gefunden, daß die Tiefe der Flügel nur unwesentlich wächst, solange die Temperaturdifferenzen 5% nicht überschreiten.
- Malter E. Mitchell jr. The distribution of electron pressure in the solar photosphere. Astrophys. J. 129, 369—374, 1959, Nr. 2. (März.) Unter Berücksichtigung neuer Bestimmungen der Metallhäufigkeiten (log A = 4,28; MICHIGAN, 1956) und Randverlunklungsmessungen an ausgewählten Linien (MITCHELL, 1959) wird ein hydrostatisches Modell der Sonnenphotosphäre angegeben. Die Integration bei den drei infraroten Wellenlängen λλ 7793, 10914 und 16150Å (bei denen gebunden-frei und frei-frei Übergänge des H⁻-Ions verschiedene Rollen spielen) ergibt Druck-Temperatur-Beziehungen, die sich nur in den höheren Schichten etwas voneinander unterscheiden und lamit die gegenwärtigen theoretischen Absorptionskoeffizienten für frei-frei-Übergänge des H⁻ (CHANDRASEKHAR u. BREEN, 1946) bestätigen. Der Elektronendruck in den ür die Linienbildung wichtigen Schichten ist gegenüber dem Modell von ALLER-PIERCE um etwa 50% niedriger.
- Harold Zirin and Einar Tandberg-Hanssen. Physical conditions in limb flares and active prominences. IV. Comparison of active and quiescent prominences. Astrophys. J. 31, 717—724, 1960, Nr. 3. (Mai.) Spektren von aktiven und stationären Protuberanzen, die gleichzeitig am Sonnenrand auftraten, werden analysiert und diskutiert. Das Spektrum der stationären Protuberanzen ist identisch mit dem der Chromosphäre in 500 km Höhe, d. h. es enthält starke H- und He I-Linien, sowie ionisierte Metallinien und schwache He II-Linien. Das Spektrum aktiver Protuberanzen zeigt dagegen starke de II-Linien und nur schwache, ionisierte Metallinien. Es wird dementsprechend eine spektralklassifikation der Protuberanzen in "kühle" (T $\sim 10\,000^\circ$) und in "heiße" $\sim 50\,000^\circ$) vorgeschlagen.
- -75 M. G. Adam. A new determination of the centre to limb change in solar wavelengths. fon. Not. R. astr. Soc. 119, 460-474, 1959, Nr. 5. (Oxford, Univ. Obs.) Nach Beobchtungen mit dem Oxforder Sonnenteleskop findet der Anstieg der Wellenlänge mitteltarker Fraunhofer-Linien mit Annäherung an den Sonnenrand fast ganz auf dem

letzten Zehntel des Scheibenhalbmessers statt. Die Einzelmessungen zeigen eine stark Streuung, die dem Einfluß der lokalen Geschwindigkeitsfelder zugeschrieben wird Am äußersten Rand findet sich, in Doppler-Geschwindigkeiten ausgedrückt, eine Verschiebung von 0,53 km/sec gegenüber der Scheibenmitte. Daraus werden für die relat vistische Rotverschiebung 0,84 km/sec abgeleitet. Nach der Theorie sollte sie 0,64 km/sec betragen.

- 4-76 R. Tousey. Le spectre ultraviolet lointain du soleil. Sci. Industr. photogr. (2) 3 303-307, 1960, Nr. 8. (Aug.) (Washington, D. C., U. S. Nav. Res. Lab.) Beschreibun von Spektralaufnahmen des fernen ultravioletten Spektrums der Sonne, die bei Raketer flügen aufgenommen worden sind. Die Aufnahmen wurden ermöglicht durch die Verwendung lichtstarker Gitterspektralapparate und spezieller Schuman-Emulsionen. Da Profil der Lyman-α-Linie mit Selbstumkehr konnte mit einem eigens für diesen Zwee entwickelten Spektrographen aufgenommen werden.
- 4-77 Jean-Claude Pecker. Écarts à l'équilibre et abondances dans les photosphères solaire et stellaires. I. Le spectre du titane neutre écarts à l'E. T. L. Ann. Astrophys. 22, 499 b 526, 1959, Nr. 5. (Sept./Okt.) (Paris-Meudon, Obs.) Aus gemessenen Äquivalentbreite und Zentralintensitäten können zugleich Häufigkeiten und Abweichungen vom lokale thermodynamischen Gleichgewicht berechnet werden. Aus Linien des Ti I wird at geleitet: Die Abweichungen der Termbesetzung vom Gleichgewichtsfall sind erheblie (geringere Besetzung), besonders für die Terme mit niedriger Anregungsspannung. A Folge davon wird die Häufigkeit des Ti größer als nach Rechnungen ohne Berücksicht gung der Abweichungen vom Gleichgewicht (etwa um einen Faktor 5). Baschek.
- 4-78 Jean-Claude Pecker et Lise Vogel. Dasselbe. II. Les cas des atomes neutres de titan vanadium, chrome dans l'atmosphère solaire. Ann. Astrophys. 23, 594-621, 1960, Nr. (Juli/Aug.) Die Linien der Atome Cr I, Ti I und V I, die dasselbe Ionisationspotentis haben, zeigen in derselben Tiefe der Sonnenphotosphäre ein sehr unterschiedliches Vehalten: $T_{\rm exc} < T_{\rm el}$ (Cr), $T_{\rm exc} > T_{\rm el}$ (Ti), $T_{\rm exc} \approx T_{\rm el}$ (V). Diese Tatsachen können nich durch Heterogenitäten oder durch andere Wahl des Modells erklärt werden, sie sin vielmehr ein Beweis für vorhandene Abweichungen vom lokalen thermodynamische Gleichgewicht bei den drei Atomen in den betrachteten Schichten. Baschek.
- 4-79 Françoise Eugène-Praderie et J.-C. Pecker. Dasselbe. III. Écarts à l'ETL dans bande CH 4300 (cas solaire). Ebenda S. 622-632. (Meudon, Obs.; Sèvres, École Norr Supér. jeunes filles.) Für die Bande 0-0 bei 4300 Å des CH-Moleküls werden Al weichungen vom lokalen thermodynamischen Gleichgewicht untersucht nach dem in de vorangehenden Arbeiten dieser Serie beschriebenen Verfahren. Die Anregungstemper turen liegen etwa um 300° höher als die Elektronentemperaturen (0,1 < $\tau_{\rm c}$ < 0,6). Die starken Abweichungen vom Gleichgewichtsfall sind mit den klassischen Bestimmung der Rotationstemperaturen (HUNAERTS) "nicht völlig unvereinbar", trotz der große Differenz von etwa 1000° zwischen Texe und Trot. Die Rechnungen gestatten ein korrekte Deutung der beobachteten Mitte-Rand-Variation.
- 4-80 Janet C. Rountree. Dasselbe. IV. Le cas du titane ionisé. Ebenda S. 633-65 (Meudon, Obs.) Es werden die Abweichungen vom lokalen thermodynamischen Gleic gewicht für einige Multipletts des Ti II mit Hilfe von Wachstumskurven und Zentrintensitäten untersucht. In den für die Linienbildung wichtigen Schichten der Sonne photosphäre weichen Anregungstemperatur und Elektronentemperatur voneinand ab; die Terme, besonders diejenigen mit niedrigen Anregungsspannungen, sind gege über der Boltzmann-Verteilung überbevölkert. Im Rahmen der Arbeit werden ne (relative) Oszillaterenstärken für einige Linien des Ti II berechnet.
- 4-81 Simone Dumont et Jean-Claude Pecker. Profondeur de formation dans le spec solaire. I. Application à l'inversion de la relation de Laplace. Ann. Astrophys. 23, 655 (667, 1960, Nr. 4. (Juli/Aug.) (Paris-Meudon, Obs.) Zur Umkehrung der Beziehu $I_V(\mu) = \int_0^\infty S_V(\tau) \exp{(-\tau/\mu)} \ d\tau/\mu$ wird ein neues Verfahren angegeben, welches eine V

allgemeinerung der Relation von Eddington-Barbier benutzt: $I_{\nu}(\mu) = S_{\nu} [\tau^{\star}(\mu)]_{\nu}$ wobei τ^{\star} die Entstehungstiefe für die Kontinuumsstrahlung ist. Für drei verschiedene Darstellungen der Ergiebigkeit S werden Tabellen von τ^{\star} vorbereitet. Das Verfahren wird auf ein Testproblem angewendet und mit den klassischen Methoden verglichen. Schließlich wird eine Methode zur systematischen Reduktion der Differenzen beobachtete minus berechnete Intensität skizziert.

- 4-82 W. N. Christiansen, D. S. Mathewson, J. L. Pawsey, S. F. Smerd, A. Boischot, J. F. Denisse, P. Simon, T. Kakinuma, Helen Dodson-Prince and John Firor. A study of a solar active region using combined optical and radio techniques. Ann. Astrophys. 23, 75-101, 1960, Nr. 1. (Jan./Febr.) Optische und radioastronomische Beobachtungen bei λ 7,5, 21, 88 und 176 cm einer aktiven Region der Sonne vom Dezember 1957 weisen darauf hin, daß die langsam variable Komponente der solaren Radiostrahlung thermischen Ursprungs ist und in verdichteten Regionen der unteren Korona entsteht. Zwischen 10000 km und 300000 km Höhe über der Photosphäre findet sich die Elektronendichte dieser Gebiete zu etwa 3mal so hoch wie in der umliegenden Korona. Ihre Temperatur entspricht etwa der normalen Koronatemperatur. Bei den kürzeren Wellenlängen zeigten die radioastronomischen Messungen zirkulare Polarisation, die auf den Einfluß von Magnetfeldern hinweist.
- G. Swarup, P. H. Stone and A. Maxwell. The association of solar radio bursts with flares and prominences. Astrophys. J. 131, 725-738, 1960, Nr. 3. (Mai.) (Fort Davis, Tex., Radio Astron. Stat. Harvard Coll. Obs.) Die mit einem Radiospektrographen im Frequenzbereich von 100-580 MHz in einem Zeitraum von 2 Jahren registrierten Bursts verschiedener Typen wurden mit optischen Phänomenen (Eruptionen und Protuberanzen) korreliert. Folgende Ergebnisse wurden erhalten: 60% der Typ III Bursts fallen - in Übereinstimmung mit anderen Untersuchungen - zeitlich mit Eruptionen zusammen; rund die Hälfte davon sind aber - wie eine genauere Analyse zeigt - zufällige Koinzidenzen. Die "echten" Koinzidenzen ereignen sich in der Regel zwischen Beginn und Maximum der Eruption. Umgekehrt werden etwa 25% der Eruptionen von Typ III Bursts begleitet, wobei die Wahrscheinlichkeit einer Koinzidenz mit der Größe und mit der Höhe der Eruption zunimmt. - Fast alle Typ II und Typ IV Bursts sind mit Eruptionen verknüpft, wogegen zwischen dem Typ I Bursts und Eruptionen kein klarer Zusammenhang besteht. - Entgegen den Erwartungen wurden nur wenige Koinzidenzen zwischen aktiven Protuberanzen und Radiobursts gefunden. Dies wird auf die ungünstigen Ausbreitungsbedingungen der Burststrahlung vom Sonnenrand her Bruzek. zurückgeführt.
- 4-84 Noboru Hokkyo. Induced cyclotron model of non-thermal solar radio emission. Publ. astr. Soc. Japan 12, 28-41, 1960, Nr. 1. Es wird die Möglichkeit diskutiert, daß sämtliche Komponenten der nicht-thermischen Radiostrahlung der Sonne im Meterwellenbereich von Elektronen emittiert werden, die sich unter der Wirkung von periodischen elektrischen Feldern auf Schraubenbahnen um magnetische Kraftlinien bewegen. Die periodischen elektrischen Felder sollen durch Korpuskelströme oder Stoßwellen, die von Surges ausgehen, angeregt werden. Die Strahlung würde die außerordentliche und die ordentliche Komponente enthalten; die außerordentliche könnte aber nur austreten, wenn die Sonnenatmosphäre durch Korpuskularströme gestört ist. Die Entstehung der Typ II-und III-Bursts könnte mit diesem Mechanismus erklärt werden.

Bruzek.

4-85 Tatsuo Takakura. Microwave bursts of solar radio emission. Publ. astr. Soc. Japan 12, 55-62, Nr. 1. (Tokyo, Univ., Astronom. Obs.) Das Spektrum der solaren Radiobursts wurde aus einer Serie von Einzelfrequenzen zwischen 9500 und 67 MHz und mit einem Radiospektrographen zwischen 800 und 300 MHz untersucht. Die zeitliche Aufeinanderfolge und die Eigenschaften der Bursttypen II, III und IV werden besprochen Besonders wird auf die im Frequenzbereich unter 1000 MHz etwa gleichzeitig mit den Typ III Bursts, jedenfalls aber vor den Typ II Bursts einsetzende Strahlung mit einer Lebensdauer von etwa 5 Minuten hingewiesen. Diese Strahlung steht weder mit dem

Typ II Burst noch mit dem Typ IV Burst in Zusammenhang und muß als besonderer Bursttyp, als Mikrowellenburst (M-Typ-Burst) bezeichnet werden. Als Erzeugungsmechanismus wird Synchrotronstrahlung relativistischer Elektronen in starken Magnetfeldern diskutiert.

- 4-86 Peter Fellgett. On the interpretation of solar granulation. Mon. Not. R. astr. Soc. 119, 475-511, 1959, Nr. 5. (Cambridge, Obs.) Die Interpretation von Granulationsbeobachtungen wird auf Grund der Theorie über die Informationsübermittlung durch optische Systeme kritisch diskutiert. Es wird insbesondere gezeigt, daß eine Granulationsstruktur immer dann zu finden ist, wenn man durch den Zufall bestimmte Helligkeitsverteilungen mit begrenzter Auflösung und hohem Kontrast photographiert. Die korrekte Analyse der Beobachtungen von RICHARDSON und SCHWARZSCHILD und PLASKETT ergibt nach dem Vf. keinen Beweis für eine Korrelation zwischen Geschwindigkeit und Helligkeit der Granulen. Auch die Behauptung von Periodizitäten über große Distanzen auf der Sonnenscheibe hinweg im Granulationsmuster scheint nicht berechtigt zu sein.
- 4-87 M. Waldmeier. Die Struktur der aktiven Chromosphäre. Z. Astrophys. 50, 225 bis 232, 1960, Nr. 4. (19. Sept.) (Zürich, Eidg. Sternw.) Es werden statistische Ergebnisse über die in den aktiven Gebieten der Sonnenchromosphäre auftretenden "Pilze" mitgeteilt, die eine Mittelstellung zwischen den Spiculen und den Surges einnehmen. Sie haben eine mittlere Höhe von 11000 km und einen Durchmesser von 2000 bis 3000 km, eine mittlere Lebensdauer von 10 Minuten und eine mittlere Aufstiegsgeschwindigkeit von 25 km/s. Auf der Scheibe sollen sie als helle Punkte oder Mikroflares erscheinen.
- 4-88 Anne-Marie Malinge. Relation entre les orages radioélectriques solaires et les éruptions chromosphériques. Ann. Astrophys. 23, 574-584, 1960, Nr. 4. (Juli/Aug.) (Meudon, Obs.) Zwischen den Gebieten chromosphärischer Eruptionen und den Gebieten, in denen Radiostürme bei 169 MHz etwa gleichzeitig ihren Ursprung haben, besteht eine enge Korrelation. Der Einfluß der koronalen Refraktion auf die Ausbreitung der Radiowellen erweist sich als wesentlich.
- 4-89 Sanford B. Schwartz and Harold Zirin. Ionization of Fe XIV in a hot plasma. Phys. Fluids 2, 94, 1959, Nr. 1. (Jan./Febr.) (Boulder, Col., Univ., High Altitude Obs.) Für die Sonnenkorona wurde die Temperatur aus dem Intensitätsverhältnis von Linien des Fe X und XIV bestimmt und mit der Temperatur aus der thermischen Verbreiterung verglichen. Um die dabei auftretenden Diskrepanzen zu klären, wurden in dieser Arbeit die Ionisationswirkungsquerschnitte für Fe XIV neu berechnet. Mit diesen neuen Werten konnte die Übereinstimmung mit der Temperatur aus der Linienverbreiterung hergestellt werden.
- 4-90 M. Blaha, M. Kopecký and Z. Švestka. Measurement of magnetic fields in chromospheric flares. Nature, Lond. 187, 224–225, 1960, Nr. 4733. (16. Juli.) (Ondřejov, Czechosl. Acad. Sci., Astron. Inst.) Im Spektrum zweier großer chromosphärischer Eruptionen zeigte sich die Na $\rm D_{1^-}$ Linie, jedoch nicht die $\rm D_{2^-}$ Linie aufgespalten. Die angeschnittenen Teile der Eruption lagen unmittelbar über großen Sonnenslecken. Die Aufspaltung der $\rm D_{1^-}$ Linie ist ossenbar als Zeeman-Essekt zu deuten; die erforderlichen Feldstärken liegen zwischen 2500 und 4000 Gauß und entsprechen damit etwa denen der Flecken. Bei einer der beiden Eruptionen wurde auch in der Ca II-Linie λ 3706 eine Zeeman-Ausspaltung gleicher Größe beobachtet. Diese Beobachtungen zeigen, daß helle Teile von Eruptionen in Gebieten sehr starker Magnetselder existieren können.

Bruzek.

4-91 Mitsugu Makita and Masaki Morimoto. Photoelectric study of sunspots. Publ. astr. Soc. Japan 12, 63-76, 1960, Nr. 1. (Tokyo, Astronom. Obs.) Intensitätsprofile von Sonnenslecken wurden in drei praktisch linienfreien Gebieten des solaren Kontinuums bei λλ 4795, 5451 und 6040 Å photoelektrisch registriert, wobei der Einfluß der atmosphärischen Szintillation weitgehend ausgeschaltet werden konnte. Die Beziehung zwischen Fleckengröße und -intensität sowie die Mitte-Rand-Variation des Intensitätsverhältnisses Penumbra: Photosphäre und Umbra: Photosphäre wurden bestimmt.

Letztere dienten zur Berechnung des Temperaturverlaufs mit der optischen Tiefe in Umbra und Penumbra. Für $\tau \sim 0.5$ ergab sich 4100° K bzw. 5500° K. Die gefundenen Werte liegen im Mittel um 500° K tiefer als die von MICHARD (Ber. 33, 1338, 1954) angegebenen.

- 4-92 Barbara Bell. On the structure of the sunspot zone. Smithson. Contr. Astrophys. 5, 17-28, 1960, Nr. 3. (Cambridge, Mass., Harvard Coll. Obs.) V. Weidemann.
- 4-93 I. K. Csada. A hydromagnetic discussion of the meridional drift of the sunspots. Acta phys. hung. 11, 317-322, 1960, Nr. 4. (Szeged, Univ., Inst. Theor. Phys.) Unter der Annahme, daß sich das allgemeine Magnetfeld der Sonne als Überlagerung eines Dipolfeldes über ein Oktupolfeld darstellen läßt, wird gezeigt, daß in der Photosphäre bei den heliographischen Breiten \pm 16° eine Trennung von polwärtigen und äquatorwärtigen Bewegungen stattfindet. Damit können die statistischen Ergebnisse von Tuominen über die Driftbewegung der Sonnenflecken erklärt werden.

Bruzek.

4-94 R. P. Singh and N. S. Goel. The physical state of condensed matter and the radius of a cold planetary body. Z. Astrophys. 50, 269-277, 1960, Nr. 4. (19. Sept.) (Bombay, India, Inst. Technol., Dep. Phys.) Der Materiezustand in planetarischen Körpern wird auf Grund der Bohm-Pinesschen Theorie von Plasmaschwingungen in Metallen diskutiert. Es ergibt sich eine Beziehung zwischen Radius des Planeten, seiner Masse und der Zahl der pro Volumeinheit frei beweglichen Elektronen der planetarischen Materie.

Elsässer.

- 4-95 N. P. Barabashov and Yu. N. Lipskii. The first results obtained from photographs of the invisible side of the moon. Soviet Phys.-Doklady 4, 1165-1169, 1960, Nr. 6. (Mai/Juni.) (Engl. Übers. aus: Doklady Akad. Nauk SSSR 129, 1000, 1959, Nr. 5.)
 V. Weidemann.
- 4-96 *Karl Schütte und Hans K. Kaiser. Handbuch der Astronautik. Bd. I. 3. u. 4. Lief. (Hefte 3 u. 4). S. 65-96 und 97-128. Akademische Verlagsges. Athenaion, Konstanz, 1960. Die Hefte enthalten die Beiträge: Alfred J. Zaehringer, "Solid propellant rockets". (Engl.) Hermann Stümke, "Flugleistungsberechnung unbemannter Raketen". Shirley J. Smith and George P. Sutton, "Heat transfer problems in liquid propellant rocket engines" (Anfang) (Engl.).

 H. Ebert.
- 4-97 B. R. May and D. E. Smith. The sudden discontinuity in the orbital period of Sputnik 4 satellite. Nature, Lond. 187, 866-867, 1960, Nr. 4740. (3. Sept.) (Slough, Bucks., Radio Res. Stat.) Die Bahn des vierten russischen Erdsatelliten (1960) z zeigte anfangs einen ähnlichen Verlauf wie die seiner drei Vorgänger. Sie wurde in Europa optisch und mittels Radiobeobachtungen in den Tagen vom 14. bis 19. Mai 1960 verfolgt, ohne daß irgendwelche Besonderheiten festgestellt werden konnten. Am 19. Mai jedoch ergaben Radiobeobachtungen, daß der Satellit den Scheitelpunkt seiner Bahn etwa 25 min später erreichte als vorhergesagt worden war. Optische Beobachter in Canada sahen am gleichen Tag 2 Satellitenkörper, die sich allmäblich voneinander trennten. Spätere Meldungen sprachen von sieben Objekten (1960 ε₃ ... 1960 ε₉) in der Satellitenbahn. 2 Tage später wurde durch die Tass-Agentur bekanntgegeben, daß man einen Versuch gemacht habe, die "Raum-Kabine" aus der Umlaufbahn auf die Erdobersläche herunterzusteuern. Aus der festgestellten höheren Umlaufbahn ist zu schließen, daß durch die Bremsraketen die Kabine infolge falscher Lagestabilisierung beschleunigt, statt verzögert wurde. Stenzel.
- 4-98 L. Biermann und E. Trefftz. Zur Entstehung der CO⁺-Ionen in Kometen. Z. Astrophys. 49, 111—118, 1960, Nr. 2. (26. Jan.) (München, Max-Planck-Inst. Phys. Astr.) Die Entstehung der Molekülionen CO⁺ in Kometen erfolgt vermutlich durch Abgabe der Ladung solarer Protonen an die CO-Moleküle. Dieser Vorgang hat einen großen Wirkungsquerschnitt für Protonengeschwindigkeiten von etwa 1000 km/sec, und es wird dabei fast keine Energie umgesetzt, so daß die durchschnittliche Geschwindigkeit der CO⁺-Ionen kleiner als 1 km/sec sein sollte. Die in Kometenschweifen beobachteten CO⁺-Ionen zeigen dagegen eine Anfangsgeschwindigkeit von einigen 10 km/sec. Es wird

untersucht, ob diese Geschwindigkeit durch die Impulsübertragung beim Stoß der Protonen auf die CO-Moleküle entstehen kann, wenn zwar bei den meisten Umladungsstößen nur sehr wenig Impuls übertragen wird, mit einer gewissen kleinen Wahrscheinlichkeit aber auch nahezu zentrale Stöße vorkommen, die einem CO+-Ion eine große Geschwindigkeit geben, ohne es zu zerstören. Der Anteil der auf diese Weise erzeugten schnellen CO+-Ionen an der Gesamtzahl der CO+-Ionen wird zu <10-4 berechnet, so daß danach ein Ladungsaustausch mit starker Impulsübertragung nicht zur Erklärung für die in den Kometenschweißen beobachteten Geschwindigkeiten der CO+-Ionen herangezogen werden kann.

- 4-99 Allen F. Cook and Gerald S. Hawkins. The meteoric head echo. Smithson. Contr. Astrophys. 5, 1-7, 1960, Nr. 1. (Cambridge, Mass., Harvard Coll. Obs.)
- 4–100 Erika Böhm-Vitense. Über die Wasserstoffkonvektionszonen in Sternen verschiedener Effektivtemperaturen und Schwerebeschleunigungen. Habil.-Schrift Univ. Kiel. 1959.

 H. Ebert.
- 4-101 J. C. Pecker. Les déterminations d'abondances et leurs exigences expérimentales. Ann. Astrophys. 23, 360-366, 1960, Nr. 3. (Mai/Juni.) (S. B.) (Paris-Meudon, Obs.)
- 4-102 H. Elsässer. Methoden zur Bestimmung der Zustandsgrößen der Sterne. Studium gen. 13, 261-267, 1960, Nr. 5. (Göttingen, Univ. Sternwarte, Astronomie.)
 V. Weidemann.
- 4-103 George Wallerstein and Maurice Carlson. On the ultraviolet excess in G dwarfs. Astrophys. J. 132, 276-277, 1960, Nr. 1. (Juli.) (Berkeley, Univ., Astron. Dep.) Für 23 Zwergsterne (späte F- bis frühe G-Sterne) wird eine gute Korrelation zwischen dem Verhältnis Metalle/Wasserstoff relativ zur Sonne und dem Ultraviolett-Exzeß festgestellt. Die Metallhäufigkeit, das Mittel aus den Häufigkeiten von Na, Mg, Si, Ca, Sc, Ti, Cr, Fe und Ni, wurde aus einer Grobanalyse (Methode von Wallerstein und Helfer, 1959) von Spektren im Gelben mit 15 Å/mm erhalten.

 Baschek.
- 4-104 Anne-Marie Rozis-Saulgeot. Du rôle des raies d'absorption dans la photométrie photoélectrique à grande bande passante. Ann. Astrophys. 23, 504-515, 1960, Nr. 4. (Juli/Aug.) (Paris, Inst. Astrophys.) Im ersten Teil wird der Einfluß der Fraunhofer-Linien auf die photoelektrischen Helligkeiten im U-,B-,V-System untersucht. Es zeigt sich, daß bei einem AO-Stern die Helligkeit im Blauen durch die Linien nur um $\Delta B = 0,089$ verringert wird, im Ultravioletten jedoch um $\Delta U = 0,26$. Bei einem A7-Stern ergeben sich etwas kleinere Differenzen. Die Änderungen der Farbindizes U-Bbetragen 0,17 (AO-Stern) und 0,12 (A7). Im zweiten Teil wird der Einfluß der Linien auf den Farbexzeß untersucht. Hierist der Zusammenhang etwas komplizierter insofern, daß der Balmer-Sprung berücksichtigt werden muß. Die Einflüsse von Balmer-Sprung und Linien wirken einander entgegen und heben sich im U-, B-, V-System praktisch auf.
- 4-105 S. Matsushima und H. G. Groth. Das Spektrum von α Lyr im Bereich λλ 4800 bis 8750. Z. Astrophys. 49, 126-128, 1960, Nr. 2. (26. Jan.) (Tallahasse, Flor., Univ., Dep Phys.; Kiel, Univ., Inst. Theor. Phys. u. Sternw.) Die von Unsöld mit dem Coudé Spektrographen am 100"-Reflektor des Mount Wilson Observatoriums bei einer Dis persion von 20 Å/mm aufgenommenen Spektren wurden ausgewertet. Es werden die Äquivalentbreiten von 40 Linien im infraroten und visuellen Spektralbereich mitgeteilt Hunger.
- 4-106 H. Kienle. Zur Deutung der kontinuierlichen Sternspektren. Bemerkungen zu der gleichnamigen Notiz von A. Unsöld. Z. Astrophys. 50, 73-74, 1960, Nr. 1. (1. Juni. (Heidelberg-Königstuhl, Landessternw.) Der Vf. weist einerseits darauf hin, daß Unsöld (Ber. 40, Nr. 1-85, 1961) nicht mit den realen Intensitätsverteilungen der kontinuierlichen Sternspektren, sondern mit relativen Gradienten argumentiert. Ande rerseits vermißt er die Diskussion der Absolutmessungen an frühen Typen und an der Sonne, die nach seiner Meinung echte Eigenheiten im Kontinuum zeigen, die nicht au Linienverschmierung zurückgehen.

4-107 A. Unsöld. Erwiderung auf vorstehende Bemerkungen von H. Kienle: "Zur Deutung der kontinuierlichen Sternspektren". Z. Astrophys. 50, 75, 1960, Nr. 1. (1. Juni.) Vf. lehnt die von Kienle gebrauchten Argumente einerseits mit der Begründung ab, daß die Unsicherheiten der bisherigen Absolutmessungen zu groß wären, um die aufgeworfene Frage eindeutig beantworten zu können. Andererseits hebt er hervor, daß seine Erklärung den bekannten Beobachtungsbefunden zwanglos gerecht wird.

Elsässer.

- 4-108 **D. Barbier.** Un programme de classification stellaire par photométrie photoélectrique. Ann. Astrophys. **23**, 425-428, 1960, Nr. 3. (Mai/Juni.) (S. B.) (Paris, Inst. Astrophys.)
- 4-109 D. Chalonge. Détermination spectrophotométrique des types, des luminosités et des ages des étoiles. Ann. Astrophys. 23, 433-437, 1960, Nr. 3. (Mai/Juni.) (S. B.) (Paris, Inst. Astrophys.)

 V. Weidemann.
- 4-110 T. Herczeg und H. Schmidt. Zwei Veränderliche bisher unbekannter Art. Z. Astrophys. 49, 119-125, 1960, Nr. 2. (26. Jan.) (Bonn, Univ. Sternw. Obs. Hoher List.) Photoelektrische Beobachtungen an BD + 16°3120 und +16°3128 zeigten, daß beide Sterne variabel mit den Perioden von 54 und 5,9 Tagen und den Amplituden von 0,05 und 0,02 mag. sind. Bezüglich des Lichtwechsels lassen sich diese Objekte keiner der bekannten Veränderlichentypen zuordnen.
- 4-111 Pierre Demarque. The structure of population II stars. Astrophys. J. 132, 366—379, 1960, Nr. 2. (Sept.) (Toronto, Univ., David Dunlap Obs.) Für Massen von 0,6 bis 1,0 M_☉ werden Modelle des inneren Sternaufbaus berechnet: Häufigkeiten Z = 0,001, 0,005 und 0,01; X = 0,75 bis 0,99. Die Modelle bestehen aus einem Kern im Strahlungsgleichgewicht und einer konvektiven Hülle im adiabatischen Gleichgewicht. Zur Bestimmung der Grenzbedingungen an der Oberfläche wurde die Theorie des Mischungswegs von Biermann benutzt. Die Energieproduktion erfolgt durch Proton-Proton-Reaktionen. Die Positionen der Sterne in einem theoretischen Hertzsprung-Russel-Diagramm ergeben, in guter Übereinstimmung mit der Beobachtung, für verschiedene Häufigkeiten eine Verschiebung der Hauptsequenzen um nur wenige Zehntel Größenklassen, auch für extrem geringe Metallhäufigkeit. Es besteht keine einheitliche Masse-Leuchtkraft-Beziehung für Sterne verschiedener Zusammensetzung.
- 4-112 H. Elsässer und U. Haug. Über eine lichtelektrische Flächenphotometrie der südlichen und nördlichen Milchstraβe in zwei Farben und die Struktur des galaktischen Systems. Z. Astrophys. 50, 121-144, 1960, Nr. 2. (30. Juni.) (Tübingen, Univ., Astron. Inst.) Aus Registrierungen in zwei Farben, die mit einem lichtelektrischen Nachthimmelphotometer (60/300 mm) an der Boyden-Station/Südafrika und auf dem Jungfraujoch gewonnen wurden, wird die Helligkeits- und Farbverteilung der Milchstraße abgeleitet und in Isophotenkarten angegeben (Auflösungsvermögen etwa 3°). Die Helligkeitsverteilung längs des galaktischen Äquators zeigt mehrere Maxima, die annähernd symmetrisch zur Richtung zum galaktischen Zentrum angeordnet sind. Unter der Voraussetzung, in diesen Richtungen verlaufe der Sehstrahl tangential entlang der Spiralarme, wird ein Modell der galaktischen Spiralstruktur abgeleitet, das, abgesehen von der Sonnenumgebung, mit den 21 cm-Resultaten befriedigend übereinstimmt. Es wird ohne kinematische Annahmen gewonnen und zeigt, daß die Spiralarme mit der konvexen Seite nach vorn rotieren.
- 4-113 Richard Schlegel. Steady-state theory at Chicago. Amer. J. Phys. 26, 601-604, 1958, Nr. 9. (Dez.) (East Lansing, Mich., Univ.) Schön.
- 4-114 Paul Couderc. Observation des galaxies et modèles cosmologiques. Ann. Astrophys. 23, 391-396, 1960, Nr. 3. (Mai/Juni.) (S. B.) V. Weidemann.

III. Physik (Allgemeines)

- 4-115 R. E. Thun. On dimensional analysis. IBM-J. Res. Dev. 4, 349-356, 1960, Nr. 3. (Juli.) Vf. wendet Theoreme über Vektorräume auf die Dimensionsanalyse an und erhält einfache Transformationsregeln für Dimensions- und Einheitensysteme. Beispiele werden durchgeführt und Tabellen physikalischer Größen werden gegeben.

 Schnupp.
- 4-116 *Alfred Sacklowski. Physikalische Größen und Einheiten. Einheitenlexikon 220 S. Deva Fachverlag, Stuttgart, 1960. DM 12,80. Vor allem sollte klar und deutlich zum Ausdruck gebracht werden, daß die den früheren Generationen von Studierenden der Physik und Technik so sehr zur Qual gewesenen zahlreichen "Maßsysteme" jetzt für die Allgemeinheit keine Bedeutung mehr haben, da man ohne sie auskommt... Wie in einem Lexikon üblich und notwendig, werden auch die bestehenden andersartigen bzw. veralteten Anschauungen gebracht ..." Inhalt: Vorwort. Einleitung. Grundlagen für die Bildung und Regeln für den Gebrauch von Größen, Einheiten und deren Systeme (sogenannte Maßsysteme). Verzeichnis der Einheiten einschließlich ihrer Kurzzeichen, Abkürzungen, Vorsätze und der zu ihrer Definition notwendigen Begriffe. Literaturverzeichnis. Tabellen.
- 4-117 Robert L. Mooney. A few more words about units. Amer. J. Phys. 26, 614-618, 1958, Nr. 9. (Dez.) (Washington, D. C., Univ.)
- 4-118 Blake D. Mills jr. New unit of mass. Amer. J. Phys. 27, 62, 1959, Nr. 1. (Jan.) (Seattle, Wash., Univ., Dep. Mech. Engng.)
- 4-119 Soemitro, Susilo Prawirowardojo and W. C. Dickinson. Note on the measurement of e/m by the Hoag method. Amer. J. Phys. 26, 316-318, 1958, Nr. 5. (Mai.) (Bandung, Indon., Univ.)
- 4-120 W. Rowles. Caution needed when using rule of thumb methods to estimate percent error. Amer. J. Phys. 27, 62-63, 1959, Nr. 1. (Jan.) (Quebec, Can., Macdonald Coll.)
- 4-121 K. L. Butcher. Chemical engineering. I. Fundamentals. Chem. Process Engng 41, 169-173, 1960, Nr. 5. (Mai.) (Leeds, Univ., Houldsworth School Appl. Sci.)
 - H. Ebert.
- 4-122 Walter G. Rhoten, L. K. Barry and W. C. Kelly. Report to physics teachers on procedures for obtaining surplus government property. Amer. J. Phys. 27, 34-43, 1959, Nr. 1. (Jan.)
- 4-123 John A. Day. Report on an experiment in individualization of teaching. Amer. J. Phys. 26, 267-268, 1958, Nr. 4. (Apr.) (Redlands, Calif., Univ.)
- 4-124 R. B. Lindsay. Concept of energy as the theme of a general education course in physics. Amer. J. Phys. 26, 290-296, 1958, Nr. 5. (Mai.) (Providence, Rhode Isl., Univ.)
- 4-125 Paul F. Bartunek. The spirit giveth life. Amer. J. Phys. 26, 296-300, 1958 Nr. 5. (Mai.) (Golden, Col., School Mines.)
- 4-126 Robert Lagemann. Physics and the premedical student. Amer. J. Phys. 26, 301 bis 304, 1958, Nr. 5. (Mai.) (Nashville, Tenn., Univ.)
- 4-127 Peter A. Stewart. Physics and the medical student. Amer. J. Phys. 26, 304-306 1958, Nr. 5. (Mai.) (Emory University, Georg.)
- 4-128 H. D. Bruner. Physics and medical research. Amer. J. Phys. 26, 307-310, 1958 Nr. 5. (Mai.) (Emory University, Georg.)
- 4-129 W. C. Kelly. Study of apparatus for the teaching of physics. Report of the AAPI Committee on Apparatus for Educational Institutions. Amer. J. Phys. 26, 311-315 1958, Nr. 5. (Mai.) (Pittsburgh, Penn., Univ.)

- 4-130 R. W. Christy. Distribution of scores in examinations of finite length. Amer. J. Phys. 26, 324-326, 1958, Nr. 5. (Mai.) (Hannover, N. Hampsh., Dartmouth Coll.)
- 4-131 Bernard B. Watson. High School physics enrollments in the Chesapeake area. Amer. J. Phys. 26, 327-329, 1958, Nr. 5. (Mai.) (Bethesda, Maryl., Univ., Operat. Res. Off.)
- 4-132 Thomas D. Reynolds. Opportunities and responsibilities in science education. Amer. J. Phys. 26, 330-333, 1958, Nr. 5. (Mai.) (Washington, D. C., Nat. Sci. Found.)
- 4-133 Sanborn C. Brown. Do college students benefit from High School laboratory courses? Amer. J. Phys. 26, 334-337, 1958, Nr. 5. (Mai.) (Cambridge, Mass., Inst. Technol.)
- 4-134 Donald H. White. Systematic scaling of grades. Amer. J. Phys. 26, 643, 1958. Nr. 9. (Dez.) (Ithaca, N. Y, Univ.)
- 4-135 Paul Kirkpatrick. On colleagues and clients. Amer. J. Phys. 27, 390-396, 1959, Nr. 6. (Sept.) (Stanford, Calif., Univ.)
- 4-136 Samuel Ralph Powers. Physical sciences in our secondary schools. Amer. J. Phys. 27, 419-423, 1959, Nr. 6. (Sept.) (New York, N. Y., Columbia Univ., Teachers Coll.)
- 4-137 John Gabriel Navarra. Science in elementary schools. Amer. J. Phys. 27, 424 bis 426, 1959, Nr. 6. (Sept.) (Jersey City, N. J., State Coll., Dep. Sci.)
- 4-138 L. Muldawer. Natural radioactivity and the neutron-proton ratio. Amer. J. Phys. 26, 268-269, 1958, Nr. 4. (Apr.) (Philadelphia, Penn., Univ.)
- 4–139 Walter C. Michels. Reply to L. Muldawer: Natural radioactivity and the neutronproton ratio. Amer. J. Phys. 26, 269, 1958, Nr. 4. (Apr.) (Bryn Mawr, Penn., Bryn Mawr Coll.) Schön.
- 4–140 Erich Baumann. Strahlungsgefährdung bei Glühkathoden- und Ionen-Röntgenröhren. Praxis Naturw. 9, 104–106, 1960, Nr. 4. (15. Apr.) (München.)

E. Saur.

- 4-141 Francis T. Worrell and Malcolm Correll. Elementary experiment in deriving an empirical relationship. Amer. J. Phys. 26, 607-609, 1958, Nr. 9. (Dez.) (Greencastle, Ind., Univ.)
- 4-142 Ray Hefferlin. Plug-in basic physics course. Amer. J. Phys. 27, 95-97, 1959, Nr. 2. (Febr.) (Collegedale, Tenn., S. Mission. Coll.)
- 4-143 Ralph E. Green. Two improved methods for determining Young's modulus. Amer. J. Phys. 26, 258-259, 1958, Nr. 4. (Apr.) (Richmond, Virg., Profess. Inst.)
- 4-144 J. G. Dodd. Determination of g by a bouncing ball. Amer. J. Phys. 26, 268, 1958, Nr. 4. (Apr.) (Springfield, Miss., Drury Coll.)
- 4-145 Ronald Geballe. Statics and dynamics of a helical spring. Amer. J. Phys. 26, 287 bis 290, 1958, Nr. 5. (Mai.) (Seattle, Wash., Univ.)
- 4-146 Chun C. Lin. On the classical mechanics of the internal rotation of molecules. Amer. J. Phys. 26, 319-323, 1958, Nr. 5. (Mai.) (Norman, Okla., Univ.)
- 4-147 John W. Dewdney. Simple pendulum equivalent to spring-mass system. Amer. J. Phys. 26, 340-341, 1958, Nr. 5. (Mai.) (Hanover, H. Hampsh., Dartmouth Coll.)
- 4-148 John Satterly. The breakfast egg. Amer. J. Phys. 26, 341, 1958, Nr. 5 (Mai.) (Toronto, Can., Univ.)
- 4-149 John Satterly. Induced rocking. Amer. J. Phys. 26, 625-627, 1958, Nr. 9. (Dez.) (Toronto, Can., Univ.)

- 4-150 F. W. van Name jr. Graphical analysis of the moment of inertia experiment. Amer. J. Phys. 26, 605-606, 1958, Nr. 9. (Dez.) (Newark, Dela., Univ.)
- 4-151 S. I. Askovitz. Centroids of negative masses and weighted vectors. Amer. J. Phys. 26, 610-613, 1958, Nr. 9. (Dez.) (Philadelphia, Penn., Albert Einstein Med. Center.)
- 4-152 Richard M. Sutton. One good tern deserves another. Amer. J. Phys. 26, 639, 1958, Nr. 9. (Dez.) (Cleveland, O., Case Inst. Technol.)
- 4-153 Julius Sumner Miller. Demonstration of Sputnik. Amer. J. Phys. 26, 644, 1958, Nr. 9. (Dez.) (El Camino, Calif., El Camino Coll.)
- 4-154 Julius Sumner Miller. Demonstration with excited pipes. Amer. J. Phys. 27, 367, 1959, Nr. 5. (Mai.) (El Camino College, Calif.)
- 4-155 D. G. Parkyn. Elliptic orbits in a frictional atmosphere. Amer. J. Phys. 26, 644, 1958, Nr. 9. (Dez.) (Natal, S. Afr., Univ.)
- 4-156 George Barnes and James MacKenzie. Height of fall versus frequency in liquid rope-coil effect. Amer. J. Phys. 27, 112-115, 1959, Nr. 2. (Febr.) (Reno, Nev., Univ.)
- 4-157 W. L. Lehmann, J. A. Wilson and G. John. Demonstration of rotating frame of reference. Amer. J. Phys. 27, 368, 1959, Nr. 5. (Mai.) (Wright-Patterson Air Force Base, O., Inst. Technol.)
- 4-158 Julius J. Hupert. Parallel-circuit equivalent of mechanical vibrations. Amer. J. Phys. 27, 427-429, 1959, Nr. 6. (Sept.) (Chicago, Ill., De Paul Univ.)
- 4-159 Arthur G. Rouse. Centrifugal and Coriolis forces as observed in a rotating system. Amer. J. Phys. 27, 429, 1959, Nr. 6. (Sept.) (St. Louis, Miss., Univ.)
- 4-160 Howard E. Pettersen. Another note on precession. Amer. J. Phys. 27, 429-430, 1959, Nr. 6. (Sept.) (Albion, Mich., Albion Coll.)
- 4-161 F. S. Stein. Acoustical resonance demonstration. Amer. J. Phys. 27, 367, 1959, Nr. 5. (Mai.) (Younwood, Penn., Westinghouse Electr. Co.) Schön.
- 4-162 K. Zita. Grundlagen für die Behandlung der Wirkungsquerschnitte im Unterricht. Math. naturw. Unterr. 13, 115-117, 1960/61, Nr. 3. (1. Juli.) (Reinbek.) Die Behandlung der Wirkungsquerschnitte im Unterricht wird am Fall der Wechselwirkung Neutron-Materie erläutert.
- 4-163 George E. Owen and L. Madansky. Wave vector technique for the analysis of direct interactions. Amer. J. Phys. 26, 260-266, 1958, Nr. 4. (Apr.) (Baltimore, Maryl., Univ.)
- 4-164 Edward P. Claney. "Do-it-yourself" measurement of surface tension. Amer. J. Phys. 26, 341-342, 1958, Nr. 5. (Mai.) (South Hadley, Mass., Mount Holyoke Coll.)
- 4-165 Manuel Schwartz and Michel Martin. Plane rotator in a Stark field. Amer. J. Phys. 26, 639-640, 1958, Nr. 9. (Dez.) (Louisville, Kent., Univ., Dep. Engng. Phys.)
- 4-166 George E. Bradley. Simple pulse-height analyzer for instructional use. Amer. J. Phys. 26, 641-642, 1958, Nr. 9. (Dez.) (Kalamazoo, Mich., Univ.)
- 4-167 J. R. Eaton. Classroom models of particle systems. Amer. J. Phys. 27, 408-414, 1959, Nr. 6. (Sept.) (Lafayette, Ind., Univ.)
- 4-168 Frederic Palmer. Measurement of a variable surface tension. Amer. J. Phys. 27, 431, 1959, Nr. 6. (Sept.) (Haverford, Penn.)
- 4-169 Lothar Wolf. Modellversuch zur Ionenwanderung. Praxis Naturw. 9, 60-62 1960, Nr. 3. (15. März.) (Bielefeld.)

- 170 Lothar Wolf. Bestimmung der Faradayschen Konstanten durch Titration. Praxis Naturw. 9, 85-88, 1960, Nr. 4. (15. Apr.) (Bielefeld.)
- 1–171 Kurt May. Experimente mit elektrischen Ladungen. Praxis Naturw. 9, 93–97, 1960, Nr. 4. (15. Apr.) (Göttingen.)
- 172 Gilbert 0. Spencer. Demonstrations in electrostatics. Amer. J. Phys. 26, 269, 1958, Nr. 4. (Apr.) (Troy, Alab., State Coll.)
- 173 Harald C. Jensen. Storage battery connections. Amer. J. Phys. 26, 342, 1958, Nr. 5. Mai.) (Lake Forest, Ill., Lake Forest Coll.)
- 4-174 Bernard L. Miller. Measurement of galvanometer resistance. Amer. J. Phys. 26, 340-641, 1958, Nr. 9. (Dez.) (Philadelphia, Penn., St. Joseph's Coll.)
- 1-175 Leonard Eisner. Use of synthetic material to demonstrate some effects caused by electrostatic fields. Amer. J. Phys. 26, 644-645, 1958, Nr. 9. (Dez.) (Columbus, O., Univ.)
- 176 Henry A. Boorse. Some experimental aspects of superconductivity. Amer. J. Phys. 27, 47-57, 1959, Nr. 1. (Jan.) (New York, N. Y., Columbia Univ., Barnard Coll., Pupin Phys Lab.)
- 4-177 **Thomas B. Brown.** Improved demonstration of self-induction. Amer. J. Phys. 27, 59, 1959, Nr. 1. (Jan.) (Washington, D. C., Univ.)
- 4-178 Kenneth W. Saunders. Traveling wave demonstration. Amer. J. Phys. 27, 59-60, 1959, Nr. 1. (Jan.) (Mt. Pleasant, Mich., Centr. Mich. Coll.) Schön.
- 1–179 Hubert Kirscht. Die Lichtgeschwindigkeit in bewegten Medien. (Eine anschauliche Deutung der "teilweisen Mitführung".) Praxis Naturw. 9, 88–93, 1960, Nr. 4. (15. Apr.) (Hilrup/Westf.)
- 4-180 D. A. Richards. Magnifying powers of optical instruments. Amer. J. Phys. 26, 337-339, 1958, Nr. 5. (Mai.) (Aberystwyth, Wales, Univ. Coll.)
- 4-181 Carl V. Bertsch and Bernard A. Greenbaum. New apparatus for Snell's law. Amer. J. Phys. 26, 340, 1958, Nr. 5. (Mai.) (Newark, N. J., Coll. Engng.)
- 4-182 Albert A. Bartlett. Basic experiment in radiological physics. Amer. J. Phys. 26, 281-286, 1958, Nr. 5. (Mai.) (Boulder, Col., Univ.) Schön.
- 4–183 G. Zinsmeister. Über ein Lecksuchgerät mit Kaltkathoden-Ionisationsmanometer. Vakuum-Tech. 9, 101–104, 1960, Nr. 4. (Mai.) (Balzers, Liechtenstein, A. G. Hochvakuumtech. Dünne Schichten.) Es wird über ein Lecksuchgerät berichtet, bei dem die Druckänderung dp/dt in einem Vakuumsystem mittels einer entsprechenden Elektronik zur akustischen Anzeige gebracht wird. Kalhoritkurven für verschiedene Testmittel Wasserstoff, Butan, Alkohol, Azeton) werden angegeben. Müschenborn.
- 184 N. W. Robinson. The action of molybdenum, tungsten, tantalum and nickel on residual gases in a vacuum system. Vacuum, Lond. 10, 75—80, 1960, Nr. 1/2 (Febr./Apr.) Salfords, Surrey, Mullard Res. Labs.) Es wird die Wechselwirkung von Mo, W, Ta und Ni mit den Restgasen eines Vakuumsystems durch Erhitzung eines Metalldrahtes untersucht. Die während der Erwärmung desorbierten Gase werden durch Messung der Änderung des Ionenstromes bei einer bestimmten Massenzahl in einem Massenspektrometer ermittelt. Hauptsächlich erfolgt eine Wechselwirkung zwischen Kohlenmonoxyd und den Metallen Molybdän und Tantal. Unterhalb einer kritischen Erhitzungstemperatur wird ein abnehmender CO-Gehalt gefunden. Oberhalb dieser Temperatur nimmt der CO-Gehalt zu. Der Einfluß von auf Glas gespritzten und gedampften Metallfilmen wird beschrieben.

- 4-185 S. H. Cross. System design and the choice of materials for the "Nimrod" vacuum system. Vacuum, Lond. 10, 86—91, 1960, Nr. 1/2. (Febr./Apr.) (Harwell, Berks., A. E. R. E.) Vf. gibt eine Übersicht über die Dimensionen und Berechnungen des Vakuumsystems für das 7 GeV Protonensynchrotron "Nimrod". Es sind Öldiffusionspumpen von 60 cm Durchmesser vorgesehen und z. Z. in der Fertigung. Die Erprobung der erster Modelle zeigt, daß sie ohne Gaslast einen Enddruck von 3·10-7 Torr erreichen. Zun Auffindung des geeignetesten Materials für die Vakuumgefäße wurde die Gasentwicklung verschiedener Polymere bestimmt. Am besten sind bisher bestimmte Epoxy-Harze mit Verstärkung durch Glasfäden, teilweise wegen ihrer großen Festigkeit in Verhältnis zum Volumen. Der Einfluß der Strahlung auf die mechanische Festigkeit und die Gasbildung dieser Materialien wurde untersucht. Die Gasentwicklung ist höher als für den notwendigen Arbeitsdruck von 10-6 Torr zulässig. Daher müssen die dem Vakuun ausgesetzten Oberflächen bedeckt werden, z. B. wie bei einem anderen Protonensynchrotron ("Saturn") mit Streifen rostfreien Stahls.
- 4-186 H. Batey. Carbon contamination of glass-ware used for vacuum purposes. Vacuum Lond. 10, 263-265, 1960, Nr. 3. (Juni.) (London, G. P. O. Rs. Stat.) Die Existenz von Kohlenstoffschichten auf den inneren Oberflächen von Empfängerröhren wird nach gewiesen. Die Schichten entstehen durch Verunreinigung der Glasoberflächen mi Schmierstoffen während der Herstellung und aus dem organischen Bindemittel für die Kathoden. Sie sind die Ursache von unerwünschten Kohlenstoffniederschlägen au den Oxydkathoden. Es werden Methoden zur Fernhaltung solcher Niederschläge ange geben.
- 4-187 F. G. Allen, T. M. Buck and J. T. Law. p layers on vacuum heated silicon. J appl. Phys. 31, 979-985, 1960, Nr. 6. (Juni.) (Murray Hill, N. J., Bell Telephone Labs Inc.) Es werden Versuche beschrieben, die es wahrscheinlich machen, daß Borsilikat glas in Hochvakuumapparaturen bei Gegenwart von Wasserspuren Bor abgibt. Das trit auch schon bei den zum Ausheizen verwendeten Temperaturen ein. Daher bildet siel z. B. auf n-Silicium eine p-Schicht, wenn es in der Apparatur auf etwa 1000°C erhitz wird.

 Lauckner.
- 4–188 David Lichtman. Use of the omegatron in the determination of parameters affecting limiting pressures in vacuum devices. J. appl. Phys. 31, 1213–1221, 1960, Nr. 7. (Juli. (Great Neck, N. Y., Sperry Gyroscope Co.) Die Arbeit gibt massenspektroskopisch Enddruckanalysen an Öldiffusionspumpen (Wasser und Kohlendioxyd) und Ionen gitterpumpen (Methan) wieder. Das nachgewiesene Methan wird durch Bildung au Kohlenstoff und Wasserstoff, die im Titan enthalten sind, an dessen Oberfläche erklärt oder durch eine Oberflächenreaktion von während des Pumpprozesses entstandenen Hydriden und Karbiden. Weitere Messungen über die Gasabgabe eines Klystron werden mitgeteilt. Die große Menge freiwerdenden Wasserstoffs wird auf die beim Zusammenbau unter Schutzgas aufgenommene Menge Wasserstoff zurückgeführt.
 - Müschenborn.
- 4-189 R. S. Nelson. Insulated terminals for high-vacuum systems using demountable glass-metal seals. J. sci. Instrum. 37, 358-359, 1960, Nr. 9. (Sept.) (Harwell, Berks. Atom. En. Res. Est., Metall. Div.) Die Flanschverbindung ist ausheizbar, eigne sich für 40 kV und hat bei elektrostatischen Linsen in Beschleunigern gute Verwendungefunden.

 H. Ebert.
- 4-190 J. H. Owen Harries. New high-vacuum technique. Electron. Technol. 37, 312—31 1960, Nr. 8. (Aug.) Zum Titel der Arbeit gehört der charakterisierende Untertite Constructional kits for students. Es wird in der Arbeit gezeigt, wie mit einfachen Mittel vakuumtechnische Kniffe beherrscht werden können, insbesondere auch der Vorgandes Auspumpens (bis 10-8 Torr). Interessant ist der Schlußabsatz: Historical Note, a 1922 (SCHEEL und Heuse haben vor 1910 selbst hergestellte Haselnußkohle, geküh mit flüssiger Luft, verwendet); es wird besonders auf Evakuierungsverfahren hing wiesen: gekühlte Kohle mit Ionenpumpen (BALLEY, 1959) und Penning-Meßgerä insbesondere für Öl-Gase bei Anlegen eines elektrischen und magnetischen Feldes.

- 4–191 M. J. Faron, H. J. Bottazzi et S. J. Teichner. Un nouveau dispositif pour la réalisation des vides très poussés. J. Chim. phys. 57, 793, 1960, Nr. 9. (Sept.) (Lyon, Univ., Fac. Sci., Inst. Rech. Catal.) Vff. teilen kurz mit, daß eine mit einer neuartigen Schutzwand aus Metall ausgestattete Anordnung über 3 Monate ein Vakuum von 10⁻⁹ mm Hg nielt. Die Durchströmung lag bei 1,5·10⁻¹⁹ Liter/sec. Die Dichte der Metallwand ist blso erstaunlich hoch.
- 192 Donald D. Snyder. Modification of a one-inch globe valve for vacuum use. Amer. Phys. 26, 642-643, 1958, Nr. 9. (Dez.) (Detroit, Mich., Gen. Motors Corp.)
 Schön.
- 193 P. Opitz und F. Schneider. Zur Verbesserung des Endvakuums einer Diffusionsbumpe. Vakuum-Tech. 9, 104–105, 1960, Nr. 4. (Mai.) (Cern, Div. P. S.) Durch Einbauriner Rektifiziersäule zwischen Kondensationsbereich und Siedegefäß einer Hg-Diffusionspumpe wurde erreicht, daß das Treibmittel diejenigen Gasanteile verliert, die es in der Kondensationsstelle aufnimmt und normalerweise in das Siedegefäß zurückührt. Das abgetrennte Gas durchsetzt auf dem Wege zum Vorvakuumbehälter eine Ilimmentladung, wodurch z. B. Wasserdampf und Kohlenwasserstoffe in Gase zeretzt werden, die bei der Kühltemperatur nicht kondensieren. Nach eintägigem Auseizen von Pumpe und Meßröhre auf 420°C wurde mit der beschriebenen Methode ein Druck von 5·10-10 Torr erreicht, was vordem nicht möglich war. Ein Kolben mit 300 cm² nnerer Metallfläche konnte nach dreitägigem Ausheizen bei 420°C auf 6·10-10 Torr vakuiert werden.
- 4-194 **B. G. Lazarev** and **M. F. Fedorova.** A vacuum adsorption pump with high productivity. Sh. tech. Fis. **30**, 865-867, 1960, Nr. 7. (Juli.) (Orig. russ.) Als Weiterentwicklung einer früher beschriebenen Adsorptionspumpe kleinerer Sauggeschwindigkeit Ber. **39**, Nr. 4-112, 1960) wird über eine leistungsfähigere Ausführung dieses Pumpenyps berichtet. Das Adsorptionsmaterial ist wieder mit flüssigem Stickstoff gekühlte Kohle. Die Sauggeschwindigkeit konnte auf maximal 3400 l/s bei 10⁻⁸ Torr gesteigert verden und beträgt bei 10⁻⁷ Torr immer noch 250-300 l/s. An flüssigem Stickstoff verden 0,3 l/h verbraucht. In einem eisernen Rezipienten mit einem Volumen von 700 l connte mit der Pumpe bei einem Leck, durch das etwa 3 cm³/h Luft einströmte, über 0-25 Stunden ein Druck von 2 · 10⁻⁵ Torr aufrechterhalten werden. Das mit frischer Kohle erreichbare Endvakuum liegt bei 10⁻⁸ Torr. Die Kohle läßt sich durch Ausheizen wieder völlig regenerieren.
- ci. Instrum. 36, 97–98, 1959, Nr. 2. (Febr.) Vertikaler Rohrofen mit Schutzgasatmophäre bis 1100°C; eine kalte Vorkammer kann von dem heißen Rohr durch einen Hahn betrennt werden, was die Einführung, Entnahme und Abkühlung des Glühgutes unter Schutzgas durch die weite Bohrung des Hahnes hindurch während des Betriebes ernöglicht.
- 1-196 A. J. Martin and K. L. Edwards. Linear voltage temperature furnace for thermal enalysis. J. sci. Instrum. 36, 170-172, 1959, Nr. 4. (Apr.) (Aldermaston, Berks., Atomic Veapons Res. Est.) Ein im Vakuum oder in Schutzgasatmosphäre bis etwa 1330°C rerwendbarer Ofen wird beschrieben, der für die thermische Analyse von Beryllium and seine Legierungen entwickelt worden ist. Extrem schnelles Heizen und Kühlen st möglich. Bei langsamem Heizen oder Kühlen bewirkt eine zeitproportionale Spantungsänderung eine entsprechende nahezu zeitproportionale Temperaturänderung, was bei der thermischen Analyse von großem Nutzen und viel billiger ist als die übrichen elektronischen Regler oder mechanischen Schaltwerke. Die lineare Temperaturpannungsbeziehung wird zum großen Teil dem hohen Widerstands-Temperaturoeffizienten des als Heizleiter verwendeten Tantals zugeschrieben. Erforderliche leizleistung maximal 1,5 kW, bei 1000°C erreichtes Vakuum besser als 10-4 Torr.

- 4-197 H.W. Johnson jr. and F. H. Stross. Gas-liquid chromatography. Determination of column efficiency. Analyt. Chem. 31, 357-365, 1959, Nr. 3. (März.) (Emeryville Calif., Shell Developm. Co.) Bei der Ermittlung physikalischer Konstanten wie der Verteilungs- und Aktivitätskoeffizienten mit Hilfe gaschromatographischer Methoder ist es notwendig, durch das Volumen des Empfängers bedingte Korrekturen an die Lagen und Breiten der sog. Peaks anzubringen. Ferner sind für die Berechnung der Kolonnenwirksamkeit derartige Berichtigungen wichtig. Für eine Modellapparatus werden die entsprechenden Beziehungen abgeleitet und diskutiert.
- 4-198 L. L. Farley, F. L. Detert, S. W. Nicksic and W. P. Webb. Burner for combustion of large solid samples. Analyt. Chem. 32, 142-143, 1960, Nr. 1. (Jan.) (Richmond, Calif. Res. Corp.) Es wurde ein Brenner entwickelt, welcher 20 bis 50 g eines schmelzbarer Festkörpers in weniger als 30 min verbrennt. Eine Arbeitsvorschrift und Beschreibung der Anordnung wird gegeben. Als Anwendung wird die Bestimmung von Schwefel Chlor, Brom und Fluor angegeben.
- 4-199 V. Mercea, I. Ursu, C. Miron and G. H. Szalma. Automatic control of small garates of flow by electrical methods. I. Rev. Phys., Bucarest 4, 301-307, 1959, Nr. 3. Be schreibung einer Anordnung zur automatischen Regelung eines konstanten Gasstromes Im Nebenschluß zur Hauptleitung liegt ein mit Wasser gefülltes U-Rohr, dessen Schen kel vor und hinter einem Strömungswiderstand in die Hauptleitung einmünden. Je nach der Strömungsgeschwindigkeit verändert sich die Höhendifferenz der beiden Menisken An dem einen Schenkel sind im Bereich des Spielraumes des Meniskus Kondensator belegungen außen an den Schenkel gelegt. Die Kapazität dieses Kondensators änder sich mit der Meniskushöhe und dient über Zwischenglieder zur Steuerung der Feld stärke eines Elektromagneten, der auf den an einer Feder aufgehängten Kegel eine Kegelventils wirkt und damit den Gasdurchtritt durch das Kegelventil reguliert.

Poltz.

- 4-200 V. Mercea, I. Ursu and C. Miron. Automatic control of small gas rates of flow be electrical methods. II. Rev. Phys., Bucarest 4, 309-316, 1959, Nr. 3. Da für die kontinuierliche Trennung von binären Gasgemischen nicht nur ein gleichmäßiger Gaseinlaß sondern auch ein konstantes Abströmverhältnis der beiden Komponenten erforderlich ist, beschreiben die Vff. weiterhin eine Vorrichtung zur automatischen Regelung diese Verhältnisses. Als Steuerelement dient ebenfalls ein U-Rohr-Differentialmanometer das in einer Art Brückenschaltung die beiden Zweige zwischen je zwei Strömungs widerständen verbindet.
- 4-201 Alfred Widmann. Untersuchung des dynamischen Verhaltens von Drehzahl reglern und Regelkreisgleidern mit wechselnder Zeitkonstante. Diss. T. H. Stuttgart, 1960 (Limburger Hof/Pfalz.)

 H. Ebert.
- 4-202 G. I. Pyatnitsky. Effect of random processes on sampled-data systems. Automat Telemech., Moskau 21, 585-594, 1960, Nr. 5. (Orig. russ. m. engl. Zfg.)

V. Weidemann.

IV. Mathematische Physik

4-203 Norwood Russell Hanson. Copenhagen interpretation of quantum theory. Amer. J Phys. 27, 1-15, 1959, Nr. 1. (Jan.) (Bloomington, Ind., Univ., Dep. Philos.)

Schön.

4-204 James A. McLennan jr. Improper Lorentz transformations. Phys. Rev. (2) 109 986-989, 1958, Nr. 3. (1. Febr.) (Bethlehem, Penn., Univ., Dep. Phys.) Vf. diskutier die irreduziblen Darstellungen der vollen Lorentz-Gruppe. Für die zu adjungierende Operatoren P (Inversion im Streckenraum), R (Zeitspiegelung), T ("WIGNER-Zeitum kehr") ist dann $P^2 = \omega_p$, $R^2 = \omega_r$, $PR = \omega_{pr}RP$ bzw. $P^2 = \omega_p$, $T^2 = \omega_t$, $PT = \omega_{pt}TP$ zu fordern (ω_p , ω_r , ω_{pr} usw. Konstanten vom Betrage 1, da die Phase in der Quanten mechanik unbestimmt bleibt, vgl. WIGNER, Ann. Math. 40, 149, 1939). Mit $P = \eta_p$ · F

 $R=\eta_r\cdot r$, $T=\eta_t\cdot t$ erhält man, wenn p, r, t die "gewöhnlichen" Operatoren sind: 1. bei Darstellung durch P und R: $\eta_p^2 + \eta_r^2 = 1$, $\eta_p \eta_r + \eta_r \eta_p = 0$, woraus in irreduzibler Weise einzig $\eta_p = \begin{pmatrix} 1 & 0 \\ 0 & 1 \end{pmatrix}$, $\eta_r = \begin{pmatrix} 0 & 1 \\ 1 & 0 \end{pmatrix}$ folgt, d. h. die Feldoperatoren sind zweikomponenige Größen φ_1, φ_2 im η -Raum, was einer Verdoppelung der Zustände entspricht. φ_1 und φ_2 beschreiben Teilchen entgegengesetzter Parität. Die Darstellung von P, R der vollen Lo-RENTZ-Gruppe ist irreduzibel, wenn sich die φ_1 , φ_2 unter der eigentlichen L-Gruppe irreduzibel transformieren (was für Bosonfelder der Fall ist). Bei Fermionfeldern sind die p₁, p₂ dagegen Dirac-Spinoren, welche sich reduzibel transformieren. Ausreduktion liefert the beiden irreduziblen Transformationen: $\psi \to p\psi$, $\psi \to \pm \gamma_5 r\psi$, welche die DIRAC-Gleichung nur bei verschwindender Ruhmasse invariant lassen, 2. bei Darstellung durch P und \ddot{T} : a) $\eta_p^2 = 1$, $\overline{\eta_t}\eta_t = 1$, $\eta_p\eta_t + \eta_t\overline{\eta_p} = 0$; oder b) $\eta_p^2 = 1$, $\overline{\eta_t}\eta_t = -1$, $\eta_p\eta_t + \eta_t\overline{\eta_p} = 0$ (Fallunterscheidung nötig, weil T den Übergang zum Konjugiert-Komplexen enthält, so daeta-1 nicht als Phasenfaktor gedeutet werden kann!). In irreduzibler Weise folgt einzig: a) $\eta_p = \begin{pmatrix} 0 & 1 \\ 1 & 0 \end{pmatrix}$, $\eta_t = \begin{pmatrix} 1 & 0 \\ 0 & -1 \end{pmatrix}$, b) $\eta_p = \begin{pmatrix} 1 & 0 \\ 0 & -1 \end{pmatrix}$, $\eta_t = \begin{pmatrix} 0 & -1 \\ 1 & 0 \end{pmatrix}$. Die Darstellungen von P, T sind wieder irreduzibel für Bosonfelder, aber reduzibel für Fermionfelder. Die rreduziblen Transformationen für den Spinor ψ lauten jetzt: a) $\psi \to p\psi$, $\psi \to \gamma_5 t\psi$; b) $\psi \to p\psi$, $\psi \to -i\gamma_5 t\psi$; sie lassen die DIRAC-Gleichung nur bei verschwindender Ruhmasse invariant. — Felder dieser Typen scheinen gegenwärtig höchstens für das Neutrino in Frage zu kommen.

4-205 Iu. M. Shirokov. On relativistic invariance in quantum theory. Soviet Phys.-Doklady 1, 777-781, 1956, Nr. 1/6. (Nov./Dez.) (Engl. Übers. aus: Proc. Acad. Sci. SSSR 111, 1223, 1956, Nr. 6.) (Moscow, M. V. Lomonossov State Univ.) Vf. untersucht die allgemeinen Forderungen, die von jeder relativistischen Quantentheorie erfüllt sein müssen. Diese lassen sich aus gruppentheoretischen Gesichtspunkten gewinnen und

als Vertauschungsrelationen $\left[\mathrm{R}_{\mu}\left(\mathrm{x}\right),\,\mathrm{R}_{\nu}\left(\mathrm{x}'\right)\right]=\mathrm{i}\left\{\mathrm{R}_{\nu}\left(\mathrm{x}\right)rac{\partial}{\partial\mathrm{x}^{\mu}}-\,\mathrm{R}_{\mu}\left(\mathrm{x}'\right)rac{\partial}{\partial\mathrm{x}'
u}
ight\}\cdot\delta\left(\mathrm{x}-\mathrm{x}'
ight)$

formulieren. Darin wird $\int dx \, R_{\mu}(x) = p_{\mu}$, $\int dx \left(x_{\mu} \, \hat{R}_{\nu}(x) - x_{\nu} \, R_{\mu}(x) \right) = M_{\mu\nu}$, wo p_{μ} den Impuls und Muy den Drehimpuls bedeutet. Diese Relationen sind allgemeiner als die gewöhnlichen Invarianzbedingungen der Quantenfeldtheorie und bringen zum Ausdruck, daß die Raum-Zeit-Beziehungen dem Unbestimmtheitsprinzip Rechnung tragen. Sie gelten für beliebige Dimensionszahlen des Raumes, also auch für den dreidimensionalen Raum: $\mu, \nu \to i$, j=1,2,3. In der Tat sind nun diese Vertauschungsrelationen in der nichtrelativistischen Quantenmechanik erfüllt. Für eine Wellenfunktion $\psi(x)$ hat $R_i(y) = \frac{1}{i} \delta(x-y) \frac{\partial}{\partial x_i} - \frac{1}{2i} \frac{\partial \delta(x-y)}{\partial y_i}$. Dagegen sind die Relationen in der Quantenfeldtheorie nicht erfüllt. Hierbei kommt ein fundamentaler

Unterschied beider Theorien zum Tragen: in der Quantenfeldtheorie sind die Koordinaten c-Zahlen, in der nichtrelativistischen Quantenmechanik dagegen Operatoren. — Es wird vermutet, daß es zur Beseitigung der Schwierigkeiten in den Quantenfeldtheorien weniger grundlegend neuer Ideen als vielmehr einer korrekteren Formulierung der vohlbekannten Ideen von Relativität und Quanteneigenschaften bedarf.

4–206 M. Z. v. Krzywoblocki. On some aspects of diabatic flow and general interpretation of the wave mechanics fundamental equation. Acta phys. austr. 12, 60-69, 1958, Nr. 1. Urbana, Univ. III.)

1-207 Richard Bourret. Representation of the M operator of Freistadt and Struik. Amer. J. Phys. 27, 430, 1959, Nr. 6. (Sept.) (Dalgren, Virg., Naval Proving Grohnd.)

4-208 Saul T. Epstein. Thomson atom. Amer. J. Phys. 27, 430, 1959, Nr. 6. (Sept.) Lincoln, Nebr., Univ.)

F. Cerulus. Statistical weights of many-particle systems in spin or isospin space. 1-209 Suppl. Nuovo Cim. (10) 15, 402-425, 1960, Nr. 3. (Geneva, CERN.)

1–210 A.B. Datzeff. Sur l'interprétation de la mécanique quantique. II. Détermination le la probabilité de présence. J. Phys. Radium 21, 201-211, 1960, Nr. 4. (Apr.) (Sofia, Behnsch. Jniv., Chaire Phys. théor.)

4-211 B. A. Lippmann. High-energy, semiclassical scattering processes. Ann. Phys. N. Y. 1, 113-119, 1957, Nr. 2. (Mai.) (Brooklyn, N. Y., Polytech. Inst., Microwave Res. Inst.) Die formale Streutheorie im Falle zweier Potentiale V1 und V2, bei der nu die Streuung durch V₁ exakt bekannt ist, kann in die Form einer Integralgleichung gebracht werden, deren inhomogener Term die Amplitude für die V₁-Streuung ergibt während jede Iteration einen zusätzlichen Streuanteil durch V2 liefert. Diese Integral gleichung wird abgeleitet und auf den Fall angewendet, daß beide Potentiale V_1 , V_2 Streuung hoher Energie im halbklassischen Gebiet entsprechen. Mit V_1 wird der Tei des Potentials identifiziert, der Nullwinkel-Streuung hervorruft, während der Rest V. die Streuung durch endliche Winkel bewirkt. Dann entspricht der inhomogene Term de Integralgleichung der WKB-Approximation im Gebiet hoher Energie und stimm außerdem mit der Wellenfunktion von Gol'dman und Migdal (Soviet Phys.-JETP 1 304, 1955) überein; die erste Iteration liefert eine kürzlich von Schiff (Ber. 36, 997 1957) angegebene Wellenfunktion, während unendliche Iteration auf die exakte Wellen funktion führt. - Zu Beginn führt der Vf. eine besondere Operation, die sog. ", Konjugation", ein, die sich beim Operieren mit dem Formalismus der Streutheorie als Kl. Müller. nützlich erweist.

4-212 I. C. Percival. A variational principle for scattering phases. Proc. phys. Soc Lond. 76, 206-216, 1960, Nr. 2 (Nr. 488). (1. Aug.) (London, Univ. Coll., Phys. Dep. Erweiterung der von Demkow (Variations-Prinzipien in der Stoßtheorie, Moskau Staatsverlag für Physik und Mathematik 1958, in Russisch) angegebenen Methode und Vergleich mit anderen Variationsverfahren. Ableitung einer Variationskorrektur für au Näherungs-Wellenfunktionen gewonnenen Phasen, einer Störungstheorie erster Ord nung, einer Bornschen Näherung und einer Variationsmethode zur Ermittlung von Näherungs-Wellenfunktionen analog zu der von Kohn (Phys. Rev. 74, 1763, 1948). Di letztgenannte Methode scheint schlechter zu sein als die von KOHN, aber die Phasen korrektur angewendet auf eine Kohnsche Funktion besser als die entsprechende nach KOHN. Für einen einzelnen Kanal ist die Variationsmethode über einen weiteren Be reich anwendbar als andere Variationsverfahren erster Ordnung, die Störungstheori wahrscheinlich genauer. Für viele Kanäle ist die Anwendung beschränkt durch Singu laritäten für die abseits der Diagonale stehenden Elemente der Phasenmatrix. Dies Singularitäten erscheinen nicht in der Ableitung der Bornschen Nährung für die Phasen matrix, die deshalb dieselben Vorteile gegenüber anderen Formen der Bornschen Nähe rung bietet wie beim einzelnen Kanal. Verallgemeinerung auf viele Kanäle nicht voll ständig, da sich eine stationäre Phasenmatrix nicht definieren läßt.

G. Schumann.

4-213 Herbert B.Rosenstock. Critical points in three dimensions. J. Phys. Chem. Solid 2, 44-54, 1957, Nr. 1. (März.) (Washington, U.S. Nav. Res. Lab.) Nach van Hov (Ber. 35, 1624, 1956) hat die Periodizität von Energieflächen E(k) 1. zwangsläufig di Existenz einer oft größeren Anzahl "kritischer Punkte" (CP: Maxima, Minima (M Punkte) oder Sattelpunkte (S-Punkte)) zur Folge, 2. verursachen die CP Singularitäte in der Dichte der Energiezustände im Bändermodell. Die Lokalisierung der CP ist dahe für die Bandtheorie, aber auch für die Spinwellentheorie und die Gitterdynamik wich tig. E(k) ist implizite Lösung einer recht komplizierten Sekulargleichung, deren Sekulardeterminante sich aber auf dem Rande des "interessierenden Gebietes" (d. h. z. B. de Brillouin-Zone) sehr stark vereinfacht, so daß sich möglicherweise sämtliche zweidimer sionalen (2D) CP auf dem Rande bestimmen lassen. Zwischen den 2D CP und den 3 D C besteht ein topologischer Zusammenhang (ein entsprechender Zusammenhang zwische 1D CP und 2D CP wurde vom Vf. bereits in Phys. Rev. 97, 290, 1955 gefunden). V löst das topologische Problem im 3D, indem er zeigt, wie sich aus der Kenntnis der 2D C die Differenz m_3-s_3 zwischen der Anzahl der M_3 - und der S_3 -Punkte bestimmen läß m_3 und s_3 selbst lassen sich damit noch nicht finden, aber immerhin eingrenzen, wenn ma eine ohere Grenze $\overline{c}_3 \geq c_3 = m_3 + s_3$ angeben kann. Methoden zur Bestimmung von werden diskutiert. Kl. Müller.

4-214 H. Cornille et M. Chapdelaine. Diffusion cohérente des photons de 2.62 MeV pu les électrons de la couche K du mercure. Nuovo Cim. (10) 14, 1386-1390, 1959, Nr.

16. Dez.) (Paris, Ecole Norm. Sup., Lab. Phys.) In dieser Arbeit wird die RAYLEIGHsche Diffusion von K-Elektronen und die Thomsonsche Kerndiffusion berechnet, um die Versuchsergebnisse über die kohärente Diffusion von Photonen mit 2,62 MeV durch Blei u interpretieren. Ausgehend von der Formel für die Abhängigkeit des Wirkungsquerchnittes vom Diffusionswinkel wurden mit Hilfe einer Rechenmaschine I. B. M. 704 die Diffusionsamplituden bis auf 40 Glieder der LEGENDESchen Entwicklung bestimmt, vas auch die Lösung von 1000 gekoppelten radialen DIRACSchen Gleichungen, die die Begenwart eines COULOMB-Feldes einschließlich inhomogener Terme für die Wechselwirkung mit dem elektromagnetischen Feld der Photonen berücksichtigen, nötig machte. Ausschen 30 und 70° existiert eine Unstimmigkeit zwischen den theoretischen und Experimentellen Kurven, die nicht durch die Diffusion von L-Elektronen, die Kernesonanz und die Melfehler erklärt werden kann. Es ist wahrscheinlich, daß in diesem Energiebereich der Delbbück-Effekt einen wesentlichen Beitrag leistet.

Steinacker.

—215 Haridas Banerjee. Polarisation effects in elastic scattering of Dirac electrons by creened Coulomb field. Acta phys. austr. 12, 70—83, 1958, Nr. 1. (Kharagpur, India, nst. Technol., Dep. Phys.)

4-216 W. Ja. Fainberg. Die Anwendung der Methode der Dispersionsrelationen in der Quantenelektrodynamik. Phys. Abh. Sowjetunion N. F. 2, 275-288, 1960, Nr. 4. (Übers. us.: Sh. exp. teor. Fis. 37, 1361-1371, 1959.)

V. Weidemann.

217 Bipin R. Desai. Proton-antiproton annihilation in protonium. Phys. Rev. (2) 119, 1385—1389, 1960, Nr. 4. (15. Aug.) (Berkeley, Calif., Univ., Lawrence Radiat. Lab.) Ball und Chew (Ber. 37, 1917, 1958) haben ein Modell für die Nukleon-Antinukleon-Wechselwirkung vorgeschlagen, nach welchem bei niederen Energien nur wenige Eigenzustände des Nukleon-Antinukleon-Systems betrachtet werden müssen. Mit diesem Modell berechnet Vf. in der WKB-Näherung die Einfangraten γ_c für die verschiedenen Eigenzustände von Protonium. Es ergibt sich, daß diese Raten γ_c empfindlich von den Spin-, Isotopenspin- und Gesamtdrehimpulseigenwerten von Protonium abhängen, nicht so sehr von Bahndrehimpulsen. Mittelwerte für γ_c sind $5.3 \cdot 10^{18}/n^3 \text{sec}^{-1}$ für nS-Zustände, $4.3 \cdot 10^{14}/n^3 \text{sec}^{-1}$ für nP-Zustände. Wegen der reativ langen Reichweite der Wechselwirkung im Ball-Chew-Modell ist die P-Einfangrate um zwei Größenordnungen größer als beim (K⁻— p)-Atom. Daher werden — im Anschluß an bekannte Berechnungen beim (K⁻— p)-Atom — nun auch hier STARK-Effekt-Stöße untersucht. Rohe Überlegungen weisen darauf hin, daß auch für Protonium ler Einfang hauptsächlich von S-Zuständen her geschieht.

E. Sauter.

H-218 Bipin R. Desai. Pion multiplicity in nucleon-antinucleon annihilation. Phys. Rev. (2) 119, 1390—1394, 1960, Nr. 4. (15. Aug.) (Berkeley, Calit., Univ., Lawrence Radiat. Lab.) Um die Multiplizität zu berechnen, wird das statistische Modell von FERMI benutzt, nun aber mit einem Lorentz-invarianten Phasenraum, was ein neues Wechselwirkungsvolumen V ergibt. Zu den statistischen Betrachtungen kann man Ausvahlregeln hinzufügen, die gewisse Pionen-Multiplizitäten verbieten. Es ergibt sich lamit aber eine wesentliche Änderung in der Verteilung der Zahl der wegfliegenden Pionen. Es werden Energien von 50 MeV, 140 MeV und 0 MeV im Fall des Protoniums benützt. Bei 140 MeV und bei Protonium ist die Zweipionen-Erzeugung beträchtlich verringert. Ungegabelte Ereignisse bei der pp-Zerstrahlung sind bei Vernichtung in Ruhe (bei Protonium) um etwa den Faktor zwei weniger im Vergleich zur Vernichtung m Fluge. Der gesamte Mittelwert der Multiplizität bleibt jedoch ungeändert. Um Überinstimmung mit den beobachteten Multiplizitäten zu bekommen, muß der Wert des neu lefinierten Volumens — in Einheiten des FERMI-Volumens — für pp- und Np-Verzichtung etwa 10 sein (N bedeutet ein "mittleres" Nukleon: 50% Proton, 50% Neutron).

219 A. A. Anselm. Über einige allgemeine Eigenschaften der Ausbreitungsfunktion des Photons in der Quantenelektrodynamik. Sh. exp. teor. Fis. 38, 1288-1296, 1960, Fr. 4. (Orig. russ.) (Leningrad, Phys.-Tech.-Inst.) Im Zusammenhang mit der Frage, b die Schwierigkeiten bei der Anwendung der Quantenfeldtheorie auf Effekte in kleinen

Abständen von inneren Widersprüchen der Theorie oder Unbrauchbarkeit der üblichen Rechenmethoden herrühren, untersucht Vf. die Greensche Funktion des Photons bei sehr hohen Energien und stützt sich dabei auf die allgemeinsten Eigenschaften der Theorie wie positiv-definite Wahrscheinlichkeiten, Renormierbarkeit, Eichinvarianz usw. Dies gelingt z. T.; die entwickelten qualitativen Vorstellungen sind in sich konsistent; ein strenger Beweis für die Null-Ladung allein aus Renormierung und LEHMANscher Entwicklung ist nicht möglich. Zunächst wird das Verhalten der D-Funktion des Protons weit unterhalb der kritischen Energie (entsprechend dem nichtphysikalischen Pol, der bei der üblichen Rechnung in der Greenschen Funktion entsteht) untersucht die Ladungsabhängigkeit der D-Funktion kommt bis auf einen Zahlenfaktor heraus entweder ist die D-Funktion ladungsunabhängig oder exponentiell klein (der letzte Fall entspricht der nichtlogarithmischen Divergenz der Renormierungskonstante beexakter Lösung der Gleichungen der Quantenelektrodynamik). Ferner wird ein Model der Quantenelektrodynamik bei sehr großen Werten der renormierten Kopplungs-konstante untersucht; hier läßt sich in einem großen Gebiet die Energieabhängigkei der Greenschen Funktion bestimmen, allerdings muß hierbei angenommen werden, daß die Bedeutung des Massengliedes in der LAGRANGE-Funktion mit wachsender Kopplungskonstante nicht zu schnell steigt. Schließlich wird das Problem der Null-Ladung diskutiert; obwohl von Anfang an vorausgesetzt wird, daß es keine Null-Ladung gib-(daß also die Grundprinzipien der Theorie bei einer nichtverschwindenden renormierter Ladung vereinbar sind), wird die Beweisführung von LANDAU und POMERANTSCHUL Vogel. nicht erschüttert.

4-220 Anadijiban Das. Spinning charged test-particles in general relativity. Progr theor. Phys., Kyoto 23, 610-615, 1960, Nr. 4. (Apr.) (Dublin, Inst. Adv. Stud.) Dev Vf. leitet gemäß der Methode von Fock-Papapetrou aus den kombinierten Einstein Maxwellschen bzw. Einstein-Procaschen Feldgleichungen die allgemein-relativistischen Bewegungsgleichungen für ein geladenes Probeteilchen mit Spin her. Für spinlost Teilchen werden diese Bewegungsgleichungen zu den kovarianten Lorentzschen unfür neutrale Teilchen mit Spin zu denjenigen von Papapetrou (Proc. roy. Soc. (A) 209 248, 1951).

4-221 B. L. Joffé. Analytizität und Unitarität bei der Streuung skalarer Mesonen aveinem statischen Nukleon. Phys. Abh. Sowjetunion N. F. 2, 364-370, 1960, Nr. 5 (Übers. aus: Sh. Tech. Fis. 37, 1764-1769, 1959.) V. Weidemann.

4-222 David Bohm and Jean-Pierre Vigier. Relativistic hydrodynamics of rotatin fluid masses. Phys. Rev. (2) 109, 1882—1891, 1958, Nr. 6. (15. März.) (Haifa, Israe Technion; Paris, France, Inst. Henri Poincaré.) Mit Hilfe des neuen Begriffs des "Schwer punkts der Massendichte" wird das Verhalten von Massen endlicher Größe, die au rotierender Flüssigkeit bestehen, relativistisch behandelt. Eine Analyse der Relativ bewegung dieses "Schwerpunkts der Massendichte" und des gewöhnlichen Schwerpunkts führt auf eine durchsichtige physikalische Interpretation der von Mathisson Weysenhoff und Möller untersuchten Gleichungen. Es zeigt sich, daß noch al gemeinere Bewegungstypen möglich sind, die zusätzlichen Freiheitsgraden des relativist schen Flüssigkeitströpfehens entsprechen. Wie in einer weiteren Arbeit gezeigt werde soll, liefern diese Freiheitsgrade den Rahmen für eine Theorie der Quantenzahlen de Elementarteilchen (Isotopischer Spin, Strangeness usw.).

4-223 R. H. Davis. Grazing collisions of complex nuclei. Phys. Rev. Letters 4, 521-522 1960, Nr. 10 (15. Mai.) (Tallahassee, Flor., Univ., Dep. Phys.) Die in letzter Zeit möglic gewordene Erzeugung von Ionenstrahlen schwerer Kerne mit variabler und gut de finierter Energie erlaubt neue Experimente zur Wechselwirkung zwischen komplexe Kernen. Mit Hilfe des optischen Modells wird der Potentialverlauf für streifenden Sto und die Möglichkeit elastischer Streuung diskutiert.

4-224 K. Symanzik. On the many-particle structure of Green's functions in quantu field theory. J. Math. Phys. 1, 249-273, 1960, Nr. 4. (Juli/Aug.) (Princeton, N. J. Inst. Adv. Study.) Die Struktur des Erwartungswertes retardierter multipler Kommi

tatoren (r-Funktionen), wird in Abhängigkeit von der Anzahl der dekompositiven Teilchen im Absorptionsteil analysiert. Wie bei der Einteilchenstruktur findet man, daß eine r-Funktion die Summe einer endlichen Anzahl von Gliedern ist, wovon jedes (mit einer Ausnahme, dem irreduziblen Teilchen) im Impulsraum ein Produkt von irreduziblen Einteilchenfaktoren, verbunden durch Einteilchen-Propagationsfunktionen, ist. Bei der Zweiteilchenstruktur findet man, daß eine irreduzible Einteilchenfunktion die Lösung einer inhomogenen Bethe-Salpeter-Gleichung ist, deren Kern und inhomogener Teil irreduzible Zweiteilchenfunktionen sind. Diese Struktur, die auf höhere Teilchenzahlen verallgemeinert werden kann, erinnert an die Störungstheorie, sie wird hier aber allein aus der Lokalisierung und dem asymptotischen Verhalten abgeleitet. Die Folgerungen einer solchen Strukturanalyse für die Interpretation der Störungstheorie, für die Errechnung analytischer Ausdrücke von Streuamplituden und für einen Formalismus instabiler Teilchen sowie für die Stärke von Singularitäten verschiedener Funktionen werden untersucht.

Howard B. Levine. Diagram expansions in quantum statistics. Phys. Fluids 3, 225-245, 1960, Nr. 2. (März/Apr.) (Livermore, Calif. Univ., Lawrence Radiat. Lab.) Die quantenstatistische Theorie des Elektronengases von MONTROLL und WARD wird auf Mehrkomponentensysteme erweitert. Gleichzeitig gestattet es der Formalismus, sowohl innere Koordinaten wie den Spin der Teilchen (FERMI- und BOSE-Teilchen) als auch ein gegebenes äußeres Feld mit zu berücksichtigen. Mit Hilfe einer zweckmäßigen mathematischen Terminologie lassen sich die Gleichungen für Mehrkomponentensysteme auf eine einfache und geschlossene Form bringen. So wird es mit dieser Theorie möglich, die direkte Struktur aller Ladungen zu berücksichtigen und freizukommen von häufig gemachten Annahmen eines verschmierten Ladungsuntergrundes. Anwendungen der Theorie ergeben sich also u. a. auf den Plasmazustand der Gase, die Theorie der Supraleiter und die Theorie der Metalle. Der Ausgangspunkt der vorliegenden Theorie ist die SIEGERTsche Integralgleichung für die Dichtematrizen. Näherungslösungen werden durch Iteration gewonnen. Dann werden Diagramme konstruiert, die die Terme in der Entwicklung der Spur der Dichtematrix charakterisieren. Der Übergang zur klassischen Mechanik läßt sich durch die Forderung lim $h \to 0$ durchführen. Die allgemeinen Formeln gehen dann in die MAYERschen Cluster-Entwicklungen über. Beziehungen der Theorie zu den Untersuchungen von LEE und YANG werden diskutiert.

4-226 R. H. Dishington. Rate of strain invariants in the kinematics of continua. Phys. Fluids 3, 482, 1960, Nr.3. (Mai/Juni.) (Pacific Palisades, Calif.) Die Deformation eines Flüssigkeitselements wird beschrieben durch den Tensor der zeitlichen Änderung der Spannung. Die Determinante dieses Tensors hat eine charakteristische Gleichung vom dritten Grade, deren drei Koeffizienten als skalare Invarianten bezeichnet werden. Die erste Invariante stellt die relative zeitliche Änderung eines infinitesimalen Volumens, also lim (1/V) dV/dt, dar. Ziel des vorliegenden Kurzbeitrages ist, auch den beiden v→0

anderen Invarianten eine physikalische Bedeutung zuzuordnen. Es wird gezeigt, daß die zweite bzw. dritte Invariante von der relativen zeitlichen Volumenänderung zweiter bzw. dritter Ordnung, also von $\lim_{v\to 0} (1/V) d^2V/dt^2$ bzw. $\lim_{v\to 0} (1/V) d^3V/dt^3$, denjenigen

Anteil darstellt, welcher allein durch die Geschwindigkeit der sich deformierenden Oberfläche bedingt ist.

4-227 L. J. Tassie. Electron excitation of collective nuclear transitions. Aust. J. Phys. 11, 481—489, 1958, Nr. 4. (Dez.) (Canberra, Austr. Nat. Univ., Res. School Phys. Sci.) Kollektive Kernübergänge, angeregt durch unelastische Streuung hochenergetischer Elektronen, werden nach einem hydrodynamischen Modell behandelt, das inkompressibel und frei von innerer Rotation ist. In der Bornschen Näherung werden die Streuformfaktoren für verschiedene Ladungsverteilungen bei Quadrupolübergängen berechnet und die Empfindlichkeit der Streuung von der Form der Ladungsverteilung untersucht. Der Effekt der Kernkompressibilität wird diskutiert.

4-228 Gerald Goertzel. The method of discrete ordinates. Nuclear Sci. Engng 4, 581-587, 1958, Nr. 4. (Okt.) (White Plains, N. Y., Nucl. Developm. Corp. America.) Für den

Neutronentransport werden die Lösungen der Boltzmann-Gleichung in ebener und kugelförmiger Geometrie diskutiert. Hierbei zeigt sich, daß sich die Lösungsmethoden mit diskreten Koordinaten von derjenigen mit Kugelfunktionen lediglich durch lineare Transformationen der abhängigen Variablen unterscheidet.

4-229 Wm. Howard Arnold jr. Two group calculation of prompt neutron lifetime. Nuclear Sci. Engng 4, 598-600, 1958, Nr. 4. (Okt.) (Pittsburgh, Penn., Westinghouse Atomic Power Dep.) Es wird ein Verfahren angegeben, mit dem in einfacher Weise die Neutronenlebensdauer nach der Zweigruppentheorie berechnet werden kann.

Pott.

- 4-230 G. K. Oertel and S. F. Singer. Some aspects of a three-body problem. Astronaut. Acta 5, 356-366, 1959, Nr. 4. Es wird hier theoretisch die Bewegung einer Partikel im Feld zweier nicht rotierender Massenzentren, die getrennt bleiben, untersucht. Dabei wird ein von Charlier entwickelter Formalismus angewendet und die Grenzen für die Bewegung der kleinen Masse abgeleitet. Die Gleichungen der beiden Begrenzungsellipsen hängen nicht davon ab, wie die Gesamtmasse zwischen den zwei Anziehungszentren verteilt ist, sondern bloß von der Trennung der beiden Zentren. Doch hängt die Geschwindigkeit von der Massenverteilung ab. Für den Fall, wenn die beiden Begrenzungsellipsen zusammenfallen, sind die Energie und auch die Gleichung der Bahn unabhängig von der Verteilung der Gesamtmasse zwischen den beiden Zentren, wobei die Energie die KEPLER-Energie für die besondere Bahn ist. Staab.
- 4-231 K. H. Tzou. Groupes de transformation et les états propres dans les théories du neutrino, J. Phys. Radium 21, 537-543, 1960, Nr. 6. (Juni.) (Paris, Inst. Henri Poincaré.) Betrachtet wird die Invarianz der Elektronentheorie von DIRAC für masselose Teilchen unter der allgemeinen LORENTZ-Gruppe und unter der Inversionsgruppe {I, P, T, M, C}, wo P, T Raum- und Zeitumkehr, M Masseninversion und C Ladungskonjugation bedeuten. Bei masselosen Teilchen treten zwei Eichinvarianzen auf: C (bei neutralen Teilchen) und M. Die Operation M bedeutet nur Multiplikation mit γ_5 ist eine Konstante der Bewegung. Die Transformationseigenschaften der Eigenfunktionen in der Vierkomponententheorie und in der Zweikomponententheorie unter den vier Transformationen der Transformationsgruppe lassen sich anschreiben. Zur Identifikation der Eigenzustände werden zwei Beispiele betrachtet, die ebene monochromatische Welle und die monochromatische Kugelwelle. Die Eichinvarianz C ist keine vollkommene Invarianz, da sie zwei ebene Wellen entgegengesetzter Helizität und Chiralität oder zwei Kugelwellen mit entgegengesetzten Quantenzahlen für Drehimpuls und Chiralität verknüpft. – Die Eichinvarianz M (= γ₅) ist dagegen eine vollkommene Invarianz: beliebige Eigenzustände werden unter M reproduziert. E. Sauter.
- 4-232 J. Yvon. Mécanique statistique quantique. Opérateurs densités et grandeurs thermodynamiques. J. Phys. Radium 21, 569-574, 1960, Nr. 7. (Juli.) (Saclay, C. E. N. Nach einer ausführlichen Einleitung werden für eine allgemeine Quantenflüssigkeit mit Teilchen-Wechselwirkung, die mit einem großen Reservoir in Teilchenaustausch steht der Ein- und Zweiteilchen-Dichteoperator $(\mu_1,\ \mu_{12})$ als eine Reihe nach Potenzen der Aktivität z mit temperaturabhängigen Koeffizienten (Operatoren) berechnet. Wie für den Fall kleinerer Aktivitäten (Glieder bis z2) gezeigt wird, kann in gewissen Fällen, ir denen der dem System zuzuordnende Streuoperator Ω existiert, μ_{12} durch Ω , μ_1 , μ ausgedrückt werden; µ12 hängt dann nicht mehr explizit von Temperatur und Aktivitä ab. Dieser Ausdruck soll daher auch für Nichtgleichgewichte gelten. Der Formalismu kann dementsprechend auf zeitlich variable Systeme angewandt werden.
- J. Kvasnica. Losses throughbre msstrahlung in relativistic and ultra-relativisti region of electron temperatures of plasma. Czech. J. Phys. (B) 10, 261-267, 1960, Nr. 4 (Prague, Charles Univ., Fac. Tech. a. Nucl. Phys.) In einem hinreichend verdünnter Plasma haben die Felder der geladenen Partikel Coulomb-Charakter, weswegen de Wirkungsquerschnitt doω für die Emission eines Quants γ im Energieintervall hdw während Elektron-Ionen- und Elektron-Elektron-Kollisionen nach der quantenelektro dynamischen Formel bestimmt werden kann. Die Verluste in Elektron-Ionen-Kolli sionen werden unter Verwendung einer BOLTZMANN-Verteilung und der Formel von

BETHE-HEITLER für den Wirkungsquerschnitt berechnet, was teilweise zu analytisch nicht bestimmbaren Integralen führt. Deswegen wird mit der Annäherung $\mathbf{x} \approx \mathbf{sh}\,\mathbf{x}$ ($\mathbf{x} \lesssim 1$) gearbeitet, die im relativistischen Gebiet zulässig ist. Diese Methode führt zu der n der Dipolnäherung bereits früher berechneten Formel. Im ultrarelativistischen Bereich wird eine Verteilungsfunktion verwendet, die der Verteilung für ein ultrarelativistisches ideales Gas unter Vernachlässigung der Ruheenergie der Elektronen äquivalent ist, worauf die Gesamtverluste wiederum teilweise durch elementare Integration bestimmt werden. Durch numerisches Einsetzen zeigt sich, daß es im ultrarelativistischen Fall zur Bildung von Elektron-Positron-Paaren kommen kann.

Steinacker.

4-234 J. T. Grin, S. I. Drosdow und D. F. Sarezki. Die Trägheitsmomente ungerader Atomkerne. Sh. exp. teor. Fis. 38, 1297-1303, 1960, Nr. 4. (Orig. russ.) Für 150 < Λ < 190 und Λ > 225 sind die Kerne deformiert, und neben den Einteilchentermen treten auch Rotationszustände auf. Wie man aus dem Experiment weiß, sind die Trägheitsmomente ungerader Kerne durchschnittlich 10-20%, in Einzelfällen 30 oder sogar 60% (Grundzustand des Dy¹⁶¹) größer als die benachbarter gerader Kerne (Einheit: Trägheitsmoment des starren Körpers). Vff. benutzen zur Ableitung eines Ausdrucks für die Trägheitsmomente und ihre Differenzen nicht wie INGLIS, BOHR, MOTTELSON und NILSSON das Einteilchenmodell (ohne konsequente Berücksichtigung der Paarkorrelation), sondern die Greensche Funktion für ein endliches System mit ungerader Teilchenzahl (Grin u. a., Ber. 39, Nr. 11-156, 1960) und die Methode, die Migdal (Ber. 39, Nr. 5-797, 1960) für gg-Kerne entwickelt hat. Die Theorie beschreibt die Abhängigkeit des Trägheitsmomentes ungerader Kerne vom Zustand des ungeraden Teilchens befriedigend, was zur Klassifizierung nach dem Nilssonschen Schema und zur Abschätzung von Δ nützlich ist.

4-235 Kanji Fujii and Daisuke Itô. On multipole model of baryon-pion interactions. Progr. theor. Phys., Kyoto 23, 815—820, 1960, Nr. 5. (Mai.) (Sapporo, Univ., Inst. Phys.) Im Multipolmodell für Elementarteilchen von Irô sind Baryonen verschiedene innere Zustände eines nichtlokalen Gebildes; starke und schwache Wechselwirkungen der Baryonen- und Pionenfelder sind die Monopol- und Dipolwechselwirkungen zwischen Pion und dem nichtlokalen Teilchen. Im Gegensatz zu früheren Arbeiten wird hier das Modell so weit detailliert, daß quantitativer Vergleich mit dem Experiment möglich ist. Früher wurde angenommen, daß die innere Dichteverteilung nicht spiegelsymmetrisch ist. Dies wird hier erweitert zu folgender Annahme: Die innere Dichteverteilung sei nicht symmetrisch gegen gleichzeitige Inversion der inneren Raumkoordinaten und der Koordinaten im Ladungsraum (Isoraum). Die inneren Wellenfunktionen der ausgedehnten Baryonen werden als Mischungen zu gleichen Teilen aus symmetrischen und antisymmetrischen (gegen jene gleichzeitige Spiegelung) Anteilen angenommen. Die damit abgeleiteten schwachen Wechselwirkungen sind den |ΔI| = 1/2-Wechselwirkungen mit globaler Symmetrie von D'ESPAGNAT und PRENTKI äquivalent.

E. Sauter.

4–236 Takehiko Takabayasi. Theory of relativistic rotators and elementary particles. I. Progr. theor. Phys., Kyoto 23, 915–941, 1960, Nr. 5. (Mai.) (Nagoya, Univ., Phys. Inst.) Elementarteilchen werden nicht mehr als geometrische Punkte aufgefaßt, sondern als Körper mit gewisser räumlicher Ausdehnung. Die einzige Konsequenz, die hier daraus gezogen wird, ist, den Elementarteilchen Rotationsfreiheitsgrade zuzuschreiben, sie als Rotator zu betrachten; die räumliche Ausdehnung wird nicht explizit benutzt. Infolge seines inneren Drehimpuls besitzt das Teilchen einen Spin; hier gelingt es aber weiter, den Isospin mit dem Minkowski-Raum zu verknüpfen. Der relativistische Rotator (spezielle Relativitätstheorie!) stellt ein Gebilde dar, das eine Lorentz-Transformation trägt, und sein augenblicklicher Bewegungszustand definiert ein Lorentz-System, das Körpersystem genannt wird. Die kinematischen Variablen \mathbf{a}_{μ}^{ξ} werden als Koordinaten-Vierbein eingeführt (die \mathbf{a}_{μ}^{r} legen körperfeste Radiusvektoren fest), auf andere Darstellungen wird hingewiesen (griechische Indizes: 1,...,4; deutsche: 1,...,3). Die \mathbf{a}_{μ}^{ξ} sind nichts anderes als die Koeffizienten der Lorentz-Transformation vom Laboratoriumssystem zum Körpersystem. Nun werden schrittweise die für das Modell charaktoriumssystem zum Körpersystem. Nun werden schrittweise die für das Modell charaktoriumssystem zum Körpersystem.

teristischen Bedingungen eingeführt: innere Isotropie, Reflexionssymmetrie, Starrheit. Die drei Raumkomponenten des Sechservektors "innerer Drehimpuls" bezüglich des Körpersystems lassen sich als Isospinkomponenten deuten. Ein solches Teilchenmodell besitzt insgesamt sechs innere Freiheitsgrade, die sich außer Spin und Isospin (jeweils Betrag und dritte Komponente) noch der inneren Händigkeit und der Ruhmasse zuordnen lassen. Die allgemeine Dynamik wird durch die Lagrange-Funktion bestimmt. Wählt man für deren Rotationsanteil verschiedene Formen, so erhält man verschiedene Rotatormodelle, unter ihnen auch die bekannten Modelle von Weyssenhoff, Hönlpapapetrou, Nakano, aber auch völlig neue.

4-237 Iaso Umemura. The effect of π^2 term in the S-wave π -N scattering. Progr. theor. Phys. Kyoto 23, 1216—1218, 1960, Nr. 6. (Juni.) (Nagoya, Univ., Inst. Theor. Phys.) Als effektive Hamilton-Funktion wird H_s benützt, das aus H_π , $\pi\pi_0$, $\phi\phi$ und einem Glied mit $\pi_j\phi_k$ besteht. Man erhält sofort die Bewegungsgleichung. Dann definiert man das Matrixelement T_{ij} zwischen dem Einnukleon-Zustand und dem gestreuten Zustand für das Pion. Durch Umformung und Linearisierung ergeben sich hiermit schließlich die Streuphasen. Die so bei Anwesenheit des π^2 -Terms berechneten Phasen werden mit den Experimenten verglichen: es ergibt sich damit dann eine bessere Übereinstimmung zwischen Theorie und Experiment.

4-238 I. M. Lifshitz and M. I. Kaganov. Some problems of the electron theory of metals. I. Classical and quantum mechanics of electrons in metals. Soviet Phys.-Uspekhi 2, 831-855, 1960, Nr. 6. (Juni.) (Engl. Übers. aus: Usp. Fiz. Nauk 69, 419, 1959.)
V. Weidemann.

4-239 C. G. Darwin. The clock paradox in relativity. Nature, Lond. 180, 976-977. 1957, Nr. 4593. (9. Nov.) (Cambridge, Newnham Grange) Vf., der keinen Zweifel läßt. daß das von H. DINGLE (Nature 179, 1242, 1957) kritisierte "Uhrenparadoxon" 1. eir reeller Effekt ist, 2. mit dessen Nichtexistenz die gesamte Relativitätstheorie faller würde, führt das bekannte Gedankenexperiment mit den beiden Beobachtern im ein zelnen während der Reise aus, indem er jedes Raumschiff die Werte der Eigenzeit durch Lichtsignale aussenden läßt, so daß beide Raumfahrer ein Logbuch über die Signale de Schwesterschiffes führen können. Die Zeitintervalle der Umkehrbeschleunigunger dürfen vernachlässigt werden, wodurch das Problem auf die spezielle Relativitäts theorie zurückgeführt ist. Beim Vergleich nach der Rückkehr erweisen die Logbüche sich als völlig verschieden; beide bestätigen, daß der umherreisende Raumfahrer jünge geblieben ist, obwohl man auf den ersten Blick annehmen könnte, daß die Zeitdila tation des relativistischen Doppler-Effekts beiden Beobachtern in symmetrische Weise zugute kommt. Nimmt man als Relativgeschwindigkeit $\pm rac{4}{5}$ c an, ergeben sich im Zahlenbeispiel alle Doppler-Faktoren ganzzahlig, so daß die lästigen Irrationali täten wegfallen (nachst. Ref.). Kl. Müller.

4–240 Herbert Dingle. The clock paradox in relativity. Nature, Lond. 180, 1275–1276 1957, Nr. 4597. (7. Dez.) (Purley, Surrey.) Vf. untersucht Darwins (s. vorst. Ref. Gedankenexperiment zur Frage des "Uhrenparadoxons". Sei S₀ der ruhende (0, t₀, T kennzeichnen Abreise, Umkehr, Ankunft an der Uhr S₀), S₁ der reisende Beobachte (0, t₁, T₁ dessen Beobachtungen der Ereignisse an der Uhr S₁). Dann gilt: n β t₀ + (T – t₀)n/ β = nT₁, n β t₁ + (T₁ – t₁)n/ β = nT₀ (n = Zahl der Lichtsignale pro Eigen zeiteinheit). Nach Vf. muß dem Relativitätspostulat zufolge t₀ = t₁ sein, worau T₀ = T₁ = t₀ + β t₀ = t₁ + β t₁ folgt, d. h. es existiert kein Paradoxon. Dagegen be rücksichtigt Darwin, daß das Umkehrereignis für S₀ erst mit dem Eintreffen des Licht signals (t = t₀), das S₁ im Augenblick der Umkehr aussandte, reell wird, d. h. es mudann t₀ = $\frac{1}{2}$ · T₀ + T₀v/(2c) gelten; dann folgt aber T₁ = T₀ $\sqrt{1 - v^2/c^2} < T_0$, d. han erhält gerade das Paradoxon. Vf. verwirft Darwins Schlußweise, da sie 1. die Richtungsumkehr von S₁ bei S₁ lokalisiert, weil das Eintreffen des Umkehrereignisses bei S später erfolgt; 2. einen absoluten Äther einführt, weil der Abstand S₀S₁ im Augenblic der Umkehr im Zeitmaß $\frac{1}{2}$ · T₀v von S₀ gemessen wird. S₀ müßte-also in diesem Äther uhen, und die ganze Bewegung von S₁ würde relativ zu diesem Äther erfolgen. — (Annd d. Ref.: Eine dynamische Unsymmetrie besteht tatsächlich. Die Relativitätstheorie ha

s nicht mit kinematischer "Relativität" sondern mit der Relativität zwischen Inertialystemen zu tun. Aber nur S_0 kann für die Dauer des Experiments fest mit einem Inertialsystem verbunden werden! BUILDER, Ber. 37, 1121, 1958.) Kl. Müller.

4-241 L. Essen. The clock paradox of relativity. Nature, Lond. 180, 1061—1062, 1957, Nr. 4594. (16. Nov.) (Hampton, Middlesex, USA.) Die im Zusammenhang mit dem von H. DINGLE (Nature, 179, 1242, 1957) kritisierten "Uhrenparadoxon" im Gedanken-experiment auftretende relativistische Zeitdilatation kommt zustande, wenn der Beobechter von der Uhr des bewegten Systems nur Lichtsignale empfangen, das Ziffernblatt ler eigenen Uhr aber unmittelbar ablesen kann. (Anm. d. Ref.: Das ist gegenüber Einsteins Erkenntnis von 1905 nichts Neues.) Vf. fährt fort: "Bei Nichtberücksichtizung von Beschleunigungseffekten (die schon Einstein vernachlässigte) folgt aber aus dem Relativitätspostulat", daß beim direkten Vergleich am Schluß der Reise die Abesungen an beiden Uhren übereinstimmen. (Anm. d. Ref.: Das ist DINGLES These.) Das Paradoxon kann auch nicht durch Beschleunigungen hervorgerufen werden, da sonst Daten hierüber in das Experiment eingehen müßten. Denn selbst ein Gedankenexperiment kann nur ein Ergebnis liefern, das in irgendeiner Form in den Daten des Experiments bereits enthalten ist.

4-242 Nathan Rosen. Energy and momentum of cylindrical gravitational waves. Phys. Rev. (2) 110, 291—292, 1958, Nr. 1. (1. Apr.) (Haifa, Israel, Inst. Technol., Dep. Phys.) Vf. hatte bei früheren Rechnungen gefunden, daß zylindrische Gravitationswellen, die von einer Linienquelle emittiert werden, weder Energie noch Impuls mitzuführen scheinen. Letzteres folgte aus der Form des Energie-Impulsdichte-Pseudotensors, der in zylindrischen Polarkoordinaten bestimmt worden war. Dieses Verfahren ist aber zweifelhaft, weil Integrale der Komponenten dieses Tensors bekanntlich nur dann physikalische Bedeutung haben, wenn die Koordinatensysteme im Unendlichen in GALILEIsche Systeme übergehen. In der Tat fallen die Schwierigkeiten fort, wenn man zu kartesischen Koordinaten übergeht, oder, was im wesentlichen auf dasselbe herauskommt, wenn man in Polarkoordinaten vom Pseudotensor zum entsprechenden Tensor übergeht. Es ergeben sich dann für die Energie- und Impulsdichte sowie für die den Gravitationswellen zugeordnete Stromdichte endliche und vernünftige Werte. Einzelheiten der Rechnung werden an anderer Stelle veröffentlicht werden.

Kl. Müller.

R. Arnowitt, S. Deser and C. W. Misner. Energy and the criteria for radiation 4-243 in general relativity. Phys. Rev. (2) 118, 1100-1104, 1960, Nr. 4. (15. Mai.) (Syracuse, N. Y., Univ., Dep. Phys.; Waltham, Mass., Univ., Dep. Phys.; Copenhagen, Denm., Univ. Inst. Teor. Fys.) In einer früheren Arbeit (Ber. 39, Nr. 1-171, 1960) haben die Vff. eine nicht verschwindende Hamilton-Dichte des Gravitationsfeldes definiert, die bei geeigneter Koordinatenwahl mit der Energiedichte identifiziert werden kann.DieVff. zeigen, daß bei Verwendung eines im Unendlichen galileischen Koordinatensystems die Gesamtenergie zu einem mit Feldquellen gekoppelten Gravitationsfeld durch das über eine unendliche Sphäre zu nehmende Oberflächenintegral $\mathrm{E}=-\int\!\mathrm{g}^{\mathrm{T}}_{,\mathrm{i}}\mathrm{dS}_{\mathrm{i}}$ gegeben ist. Hierbei ist $-\mathbf{g}^{\mathrm{T}}_{,\,\mathrm{lj}}$ einfach die Hamilton-Dichte, die der linearisierten Einsteinschen Gravitationstheorie entspricht. Im Fall des reinen Gravitationsfeldes ist die gemäß den Vff. definierte Energie mit derjenigen identisch, die sich aus den Pseudotensoren von EIN-STEIN oder LANDAU-LIFSCHITZ herleitet und die sich auch aus der neuen Energiedefinition von DIRAC (Phys. Rev. Letters 2, 368, 1959) ergibt. — Eine Strömung von gravitativer Strahlungsenergie ist dann vorhanden, wenn in einem kanonischen Koordinatensystem ein im Unendlichen nicht verschwindender Poynting-Vektor $-2\pi^{ij}$ existiert, wo die π^{tj} die kanonischen Impulsvariablen des Gravitationsfeldes sind.

Treder.

4-244 Asher Peres. Null electromagnetic fields in general relativity theory. Phys. Rev. (2) 118, 1105-1110, 1960, Nr. 4. (15. Mai.) (Haifa, Isr., Inst. Technol., Dep. Phys.) Der Vf. gibt Lösungen der Einstein-Maxwellschen Feldgleichungen an, die elektromagnetische Nullfelder im Sinne von Rainich (Trans. Am. Math. Soc. 27, 106, 1925) beschreiben, die mit longitudinalen ebenfrontigen Gravitationswellen gekoppelt sind. Im singularitätsfreien Fall sind die Lösungen des Vf. äquivalent den von Takeno

(Tensor 8, 59, 1958) gefundenen rein-transversalen ebenen Wellen, für verschwindendes elektromagnetisches Feld sind sie vom Petrowschen Typ II mit den Eigenwerten Null. Die nach Einstein, Landau-Lifschitz oder Moller definierten Pseudotensoren des longitudinalen Gravitationswellenfeldes sind sämtlich gleich Null. — Besitzt die longitudinale Gravitationswelle eine Wellenfront, so sind an dieser Lichnerowicz (C. R. Paris 246, 893, 1958) Sprungbedingungen für den Riemann-Tensor automatisch erfüllt. An den Wellenfronten evtl. bestehende Unstetigkeiten der ersten Normalabeleitungen von gub sind gemäß den Kriterien von Papapetrrou und Treder (Math. Nachr. 20, 53, 1959) durch eine Koordinatentransformation eliminierbar.

- 4-245 Charles W. Misner. Wormhole initial conditions. Phys. Rev. (2) 118, 1110-1111, 1960, Nr. 4. (15. Mai.) (Princeton, N. J., Univ., Palmer Phys. Lab.) Der Vf. diskutiert die aus den Einsteinschen Vakuumgleichungen für ein momentan zeitunabhängiges Gravitationsfeld folgende Bedingung für die CAUCHYschen Anfangswerte auf der raumartigen Hyperfläche t = 0. Es wird gezeigt, daß es Lösungen dieser Bedingung gibt, bei denen die Metrik auf der Anfangsmannigfaltigkeit singularitätsfrei ist, jedoch nicht einfach zusammenhängt, sondern vielmehr eine "wormhole"-Topologie im Sinne von Wheeler (Ber. 35, 1713, 1956) besitzt.
- 4-246 P. G. O. Freund. Wave equations invariant under discontinuous groups and the problem of nuclear forces. Acta phys. polon. 19, 139—148, 1960, Nr. 2. (Timisoara, Chair Phys., Fac. Mat. Fiz.) Es wird hervorgehoben, daß das physikalische Raum-Zeit-Kontinuum nur die Rolle eines Darstellungsraumes einer gewissen Gruppe spielt. In einer konsequent diskontinuierlichen Theorie kann man daher Raum-Zeit topologisch lassen, hingegen die grundlegende Gruppe muß man diskontinuierlich wählen. Eine 2-dimensionelle Theorie der Kernkräfte, die nur gegenüber einer diskontinuierlichen Drehungsgruppe invariant ist, wird besprochen. Es ergibt sich dabei eine Winkelperiodizität der Kernkräfte. 3- und 4-dimensionelle Verallgemeinerungen führen zur Notwendigkeit eines nichteuklidischen Raum-Zeit-Kontinuums und könnten daher eine mikrophysikalische Begründung der Gravitationstheorie EINSTEINS darstellen. Die üblichen Erhaltungssätze werden in der diskontinuierlichen Theorie verletzt.

Freund.

- 4-247 Yu. P. Chernov. Stationary rotation of cosmic gaseous masses in general theory of relativity. Soviet Phys.-Doklady 4, 1230-1234, 1960, Nr. 6. (Mai/Juni.) (Engl. Übers aus: Doklady Akad. Nauk SSSR 129, 762, 1959, Nr. 4.)

 V. Weidemann.
- 4-248 Ratan Lal Brahmachary. A solution of the combined gravitational and mesic field equations in general relativity. Progr. theor. Phys., Kyoto 23, 749-750, 1960, Nr. 4 (Apr.) (Calcutta, Res. Train. School, Indian Statist. Inst.)

V. Mechanik

- 4-249 Rolf Reißig. Forschungen und Fortschritte in der nichtlinearen Mechanik. Forsch u. Fortschr. 33, 5-9, 1959, Nr. 1. (Jan.) (Berlin.) Die lineare Differentialgleichung x'' + 2 Dx' + x = e(t) kann als erste Näherung dreier nichtlinearer Differential gleichungen angesehen werden, durch welche verschiedene dynamische Systeme mi wesentlich nichtlinearem Charakter beschrieben werden können. Dies wird vom Vf an einzelnen Beispielen ausgeführt.
- 4-250 N.W. Spencer and R.L. Boggess. A radioactive ionization gauge pressure measure ment system. A. R. S. J. 29, 68-71, 1959, Nr. 1. (Jan.) (Ann Arbor, Mich., Univ.) Be schreibung eines für den Einbau in Raketen bestimmten radioaktiven Ionisations manometers mit dem Meßbereich $1 \cdot 10^{-3}$ bis 100 Torr.

 H. Oertel.
- 4-251 C. J. Harris, E. M. Kaegl and W. R. Warren. Pressure and force transducers fo shock tunnels. I. S. A. J. 7, 1960, Nr. 8, (Aug.) S. 62-66. (Philadelphia, Missile u. Spac Vehicle Dep., Gen. Elect. Co.) Beschreibung von Indikatoren für die Druck- und Kraft

961 . '

nessung mit mechanisch-elektrischen Wandlern aus Quarz, Bariumtitanat und Amnoniumdihydrogenphosphat zur Verwendung in Windkanälen und Antriebsdüsen. Angaben über technische Eigenschaften, Ausrüstung, Kalibrierung und Anwendungsnöglichkeiten.
Poltz.

1–252 Jacques Pierre. Les dispositifs d'étalonnage en technique du vide. Vide, Paris 15, 10–219, 1960, Nr. 87. (Mai/Juni.) Bei der Kalibrierung von Vakuummetern müssen m Meßbereich definierte Drücke eingestellt werden können, die bei dem Prüf- und dem Vergleichsinstrument mit Sicherheit übereinstimmen. Beschreibung einer Reihe von Inordnungen, bei denen Druckgleichheit zwischen den Meßstellen gewährleistet ist. Beachtet werden muß der Einfluß von Strömungen, die durch Pumpen, Lufteinlässe und Basabgabe der Wände entstehen können.

L. Pátý and P. Schürer. The influence of the initial conditions on the pressure lecrease during ionic pumping. Czech. J. Phys. (B) 10, 536—543, 1960, Nr. 7. (Orig. russ. n. engl. Zfg.) Der Druckabfall in zwei miteinander verbundenen Ionisationsmanometerröhren wurde in Abhängigkeit vom Anfangsdruck und den vorhergegangenen Entgasungsverfahren untersucht. Unterschiedlich war die Dauer und die Reihenfolge bei der Ausheizung des Vakuumsystems, dem Ausglühen der Kathode und des Gitters. Die Verbesserung des Vakuums mit der Zeit wurde bis maximal 80 Stunden verfolgt und dabei Drucke bis etwa 10⁻¹⁰ Torr erreicht. Besser entgaste Oberflächen setzten die Wiederabgabe der adsorbierten Gase wesentlich herab. Die zeitliche Abhängigkeit des Druckverlaufes unterscheidet sich in den verschiedenen Druckbereichen (die Kurven iegen zwischen 1·10⁻⁵ und 6·10⁻¹¹ Torr) nur unwesentlich, so daß offenbar immer pro Zeiteinheit der gleiche Anteil von der Gesamtzahl der Restgasmoleküle in der Volumeninheit abgeführt wird. Die Gründe für die geringen Unterschiede in den verschiedenen Druckbereichen werden diskutiert.

4-254 Horst Peters und Hans-Georg Wiedemann. Eine vielseitig verwendbare Thermovaage hoher Genauigkeit. Z. anorg. Chem. 298, 202-211, 1959, Nr. 3/4. (Jan.) (Rostock, Univ., Inst. Phys. Chem.) Vff. beschreiben schr ausführlich eine Feinwaage für Substanzen bei 1200°C. Die Ergebnisse weisen einen mittleren Fehler von nur ± 0,08 mg auf.

4-255 A. Kreyenbuhl. Eine neue Waage zur Dichtebestimmung. Dechema-Monogr. 31, 1959, Nr. 426-450, S. 83-86. (Verneuil-en-Halatte, Centre Et. Rech. Charbonnages France.) Die zur Dichtebestimmung benötigten Flüssigkeitsmengen liegen zwischen 1,3 und 1 Kubikzentimeter. Der Lastarm des Waagebalkens wird von einer Pipette bekannten Volumens gebildet. Der Masseausgleich wird mit Gewichtstücken oder mit einer Kettenwägeeinrichtung vorgenommen. Die Unsicherheit der Bestimmung liegt zwischen 1 und 2%.

E. Hess.

1-256 James J. Keavney and Norman O. Smith. Sublimation pressures of solid solutions. I. The systems tin (IV) bromide-tin (IV) iodide and tin (IV) bromide-titanium (IV)bromide. The system tin (IV) bromide-tin (IV) iodide-carbon tetrachloride. J. phys. Chem. 64, 737-742, 1960, Nr. 6. (Juni.) (New York, Fordham Univ., Dep. Chem.) Es wurde ein Manometer zur Messung der Dampfdrücke von Stoffen entwickelt, deren Dampf angsam mit der Manometerflüssigkeit reagiert oder sich darin löst und dieses Gerät zur Messung der Sublimationsdrücke von reinem SnBr4 und TiBr4, von festen Lösungen von SnBr4 in SnI4 über einen kleinen Temperaturbereich und von festen Lösungen von SnBr₄ in TiBr₄ bei 22° benutzt. Es zeigen sich deutliche negative Abweichungen vom RAOULTschen Gesetz bei dem System SnBr₄-SnI₄, die als eine Neigung zur Bildung von Halogenmischsalzen im festen Zustand gedeutet wird. Ferner wurden die Gleichgewichte fest-flüssig bei dem System SnBr₄-SnI₄-CCl₄ bei 12° untersucht, um die teilung von SnBr4 und SnI4 zwischen fester und gesättigter flüssiger Lösung zu finden. Messungen der Sublimationsdrücke im System SnBr4-TiBr4 erwiesen sich als sehr schwierig, und die Ergebnisse zeigen, obwohl sie ungleichmäßig sind, positive Abweichungen vom RAOULTschen Gesetz. Poltz.

4-257 H. A. Bowman and L. B. Macurdy. A photoelectric followup and recording system, and its application to remote observations of the beam in high-precision balances J. Res. nat. Bur. Stand 63C, 91-96, 1959, Nr. 2. (Okt./Dez.) (Washington, D. C.) Mit Hille einer elektronisch gesteuerten mechanisch-optischen Vorrichtung ist es möglich die Ausschläge und damit die Umkehrpunkte des Waagebalkens einer Feinwaage sehr genau aufzuzeichnen und auch über längere Zeit ununterbrochen zu registrieren. Die Einrichtung kann in genügend großer Entfernung von der Waage aufgebaut werden wodurch Einwirkungen auf den Wägevorgang vermieden werden. Durch das Aufzeichnen der Umkehrpunkte wird die Ablesung vereinfacht, weil jetzt subjektive Ablesefehler ausgeschaltet sind und man mit weniger Umkehrungen auskommt; dadurch wird auch erheblich Zeit gespart.

4-258 D. S. Davis. Densities of methyl ethyl ketone-benzene solutions. Chem. Process Engng 41, 371, 1960, Nr. 8. (Aug.) (Alabama, Univ.) Auf Grund der von Teller und Walsh (1959) gemessenen Werte wird ein Nomogramm für Temperaturen zwischer -30 und +25°C angegeben. Dazu eine kleine Tabelle der Temperaturen, bei denen die Lösungen fest werden:

-1,7 -12,2 -24,7°C -60 Benzin-Volumengehalt in % 0,881 0,889 0,895 g/ml

H. Ebert.

4-259 E. Hübner. Eigenschwingungszahlen zusammengesetzter Schwingungs-Systeme Ingen.-Arch. 29, 134-149, 1960, Nr. 2. (Aachen.) Durch die Möglichkeit, mittels moderner Rechenautomaten Schwingungssysteme mit sehr vielen Freiheitsgraden zu berechnen, angeregt, zeigt der Autor die Anwendung des Matrizenkalküls auf solche Probleme. Die Anwendung desselben in der Theorie der elektrischen Netzwerke ist seit langem bekannt. Unter Benützung der elektromechanischen Analogie (unter Berück sichtigung ihrer Grenzen) kann man also auch in die Mechanik die Matrizenrechnung einführen, wie es ja bei statischen Problemen schon lange der Fall ist. Hier werden nur Anwendungen auf lineare Schwingungsprobleme gezeigt.

4-260 Göran Borg. A condition for the existence of orbitally stable solutions of dynamica systems. K. tekn. Högsk. Handl. 1960, Nr. 153, S. 1-12. Die Existenzbedingungen der Lösungen von Differentialgleichungen dynamischer Systeme in stabilen Umlaufbahner werden angegeben. Wenn die Differentialgleichung dy/dt = f(y) eine gewisse "con traction property" in Verbindung mit einigen "regularity properties" und eine spezielle Lösung hat, so hat sie mindestens eine periodisch stabile Lösung. Die Annahmen und Ansätze gelten für ein gegebenes, begrenztes Gebiet des n-dimensionalen Vektorraumes Eine mögliche Erweiterung des Resultates wird aufgezeigt.

E. Hess.

3-261 E. Rabinowicz. The intrinsic variables affecting the stick-slip process. Proc. phys Soc. Lond. 71, 668-675, 1958, Nr. 4 (Nr. 460). (1. Apr.) (Cambridge, Mass. Inst Technol., Dep. Mech. Engng.) Behandlung der Schwingungen unter verschiedener Annahmen mit und ohne Abhängigkeit des kinetischen Reibungskoeffizienten f_k volder Gleitgeschwindigkeit v und des statischen Reibungskoeffizienten f_s von der Zeit t de stationären Kontakts. Folgerung aus Analyse der Experimente und theoretischen Überlegungen, daß ein kritischer Abstand a der Größenordnung 10^{-3} cm wesentlich ist Schwingungsamplituden normalerweise > a. Einführung von a liefert Beziehung zwischen den (f_k, v) - und (f_s, t) -Kurven.

4-262 Gabriel Horvay. Orthogonal edge polynomials in the variational solution of som boundary layer problems in elasticity. Z. angew. Math. Phys. 11, 102-116, 1960, Nr. 2 (25. März.) (Schenectady, N. Y., Gen. Elect. Co., Metalurg. Ceram. Res. Dep.) Folgende Randwertproblem der Elastizitätstheorie wird als Variationsproblem behandelt ungelöst: Längs der Kanten $y=\pm 1$ und x=a eines Rechteckes sind homogene Randbedingungen vorgeschrieben, inhomogene längs x=0. Besonders betrachtet wird di Lösung in der Nähe x=0. Es gilt also $2 \text{ EU} = \iint [\Phi_{xx}^2 + 2 \Phi_{xy}^2 + \Phi_{yy}^2] \, dy \, dx$. Es wir angenommen, daß $\Phi(x,y)$ folgendermaßen approximiert werden kann: $\Phi(x,y) = \Sigma A_n \Phi(x,y)$

 $= \Sigma A_n f_n(y) \varphi_n(x)$, die von vornherein gewählten $f_n(y)$ sollen orthogonal sein und die Randbedingungen an y $=\pm 1$ erfüllen. Es ist dann die Funktionenfolge $\mathrm{f_{n}}\left(\mathrm{y}\right)$ zur funktionenfolge $f_n(y)$ nahezu orthogonal, und obiges Integral kann vereinfacht werden. Die Funktionen g_n(x) erhält man dann als Lösung einer einfachen Eulerschen Gleihung. Ähnlich läßt sich dieses Verfahren auf das elastische Endproblem des Zylinders nwenden. Auch eine Verallgemeinerung auf das Parellelogramm erscheint möglich.

- 263 D. Rüdiger. Eine Verallgemeinerung des Prinzips vom Minimum der potentiellen energie zweidimensionaler elastischer Kontinua. Ingen.-Arch. 29, 115-124, 1960, Nr. 2. Freiberg, Sachsen.) Der Autor verwendet ein von ihm schon früher veröffentlichtes rerallgemeinertes Verfahren des Prinzips vom Minimum der potentiellen Energie lastischer Körper nun auch auf zweidimensionale elastische Kontinua an. Da Randedingungen des Variationsproblems nicht auftreten, sind für beliebige Randwertprobleme an Schalen, Platten und Scheiben die Verfahren von RITZ-GALERKIN und frefftz ohne Einschränkung hinsichtlich der zu verwendenden Funktionen verwendbar, ie können in allen Randpunkten beliebige Werte annehmen,
- -264 A. A. Maradudin and G. H. Weiss. Dispersion relations and vibrational frequency pectra. Nuovo Cim. (10) 15, 408-415, 1960, Nr. 3. (1. Febr.) (College Park, Univ. Maryand, Inst. Fluid Dynam. Appl. Math.) Für die Bestimmung der Frequenzverteilungsunktion aus den Dispersionsbeziehungen, die die "modes" eines Kristalls durch die Komponenten des Wellenvektors für die Fortpflanzung elastischer Wellen in einem Kristall ausdrücken, wurden bisher die verschiedensten Methoden angegeben, deren nicht augenscheinliche Gemeinsamkeit hier dadurch klargestellt werden soll, daß gezeigt wird, daß sie alle als verschiedene Formen derselben Grundformel dargestellt werden können. Die tensorielle Bewegungsgleichung wird durch den Ansatz einer aufenden Welle befriedigt. Unter der Annahme, daß die Verrückungen periodisch sind and daß der Makrokristall dieselbe Form wie die Einheitszelle hat, führt diese Methode ur richtigen Anzahl von Freiheitsgraden. Für die Bestimmung der Frequenzverteilungsunktion aus den Dispersionsbeziehungen werden nun die verschiedenen bekannten Methoden und ihre Herleitung aus der grundlegenden Formel diskutiert. Es zeigt sich, laß es ebensoviele Beziehungen zwischen dem Frequenzspektrum und den Dispersionsoeziehungen gibt, als verschiedene Darstellungen der δ-Funktion existieren, und daß sie n dieser Arbeit keineswegs erschöpfend behandelt wurden. Steinacker.
- 4–265 Hans Bufler. Die Bestimmung der Querdehnzahl eines spannungsoptisch aktiven Materials durch einen spannungsoptischen Versuch. Z. angew. Phys. 12, 334-335, 1960, Nr. 7. (Juli.) (München, T. H., Inst. Techn. Phys.) Beschreibung eines Versuches, der es rmöglicht, die Querdehnzahl (= reziproke Poissonsche Querkontraktionskonstante) eines spannungsoptisch aktiven Stoffes auf rein optischem Wege zu ermitteln. Der Veruch basiert auf einem Zusammenhang zwischen der Querdehnzahl und der Lage der Nullisochromate in einer randversteiften Scheibe. Dieser Zusammenhang wird zunächst nergeleitet, danach werden experimentelle Einzelscheiben angegeben. Päsler.
- 4-266 J. A. Rayne. Elastic constants of palladium from 4,2-300° K. Phys. Rev. (2) 18, 1545-1549, 1960, Nr. 6. (15. Juni.) (Pittsburgh, Penn., Westinghouse Res. Lab.) Ausführliche Beschreibung von Ultraschall-Versuchen, durchgeführt zum Zweck der Ermittlung der elastischen Konstanten eines Pa-Einkristalls im Temperaturbereich on 4,2 . . . 300° K. Aus den gefundenen Meßwerten wurden durch Extrapolation folgende Werte (in $10^{12}\,{
 m dyn\cdot cm^{-2}}$) für 0° K gefunden: $c_{11}=2{,}341\pm0{,}027,\,c_{12}=1{,}761\pm0{,}027,$ $_{44}=0.712\pm0.03$. Die beiden Schermodule erweisen sich als anomal stark temperaturbhängig. Aus den vorstehenden Daten wird die Debye-Temperatur zu $\Theta_{f 0}=275\pm8^\circ\,{
 m K}$ rmittelt, in guter Übereinstimmung mit dem kalorimetrisch gemessenen Wert $\Theta_0 = 274$ + 3° K.
- 267 Denos C. Gazis, Robert Herman and Richard F. Wallis. Surface elastic waves in ubic crystals. Phys. Rev. (2) 119, 533-544, 1960, Nr. 2. (15. Juli.) (Warren, Mich., Gen. Motors Corp. Res. Lab.; Washington, D. C., U. S. Naval Res. Lab.) Vff. unter-

suchen theoretisch das Verhalten von elastischen Oberflächenwellen in kubischer Kristallen. Die Betrachtungen werden im ersten Teil vom Standpunkt der Kontinumstheorie aus durchgeführt. Oberflächenwellen vom Rayleigh-Typ können nur fürbestimmte Werte der elastischen Konstanten c_{11} , c_{12} , c_{44} existieren. Diese Werte werder bestimmt (bzgl. einer freien 100 Fläche). Für andere mögliche Werte der elastischer Konstanten entstehen Wellen mit komplexem Dämpfungsfaktor. Weiterhin gibt er Fälle, bei denen gewisse Richtungen als Wellen-Ausbreitungsrichtungen ausgeschlosser sind. Im zweiten Teil ihrer Arbeit entwickeln Vff. eine dynamische Gittertheorie de Oberflächenwellen für einen einatomigen kubischen Kristall. Es wird gefunden, das Oberflächenwellen, deren Wellenlängen von der Größenordnung des Gitterabstandes sind, Dispersion erleiden.

- 4-268 S. Spinner, T. W. Reichard and W. E. Tefft. A comparison of experimental and theoretical relations between Young's modulus and the flexural and longitudinal resonance frequencies of uniform bars. J. Res. nat. Bur. Stand. 64A, 147-155, 1960, Nr. 2. (März Apr.) (Washington, D. C.)
- 4-269 M. Hieke. Die Rißentstehung in Glasscheiben unter Eigenspannungen. Z. Naturi 15a, 543-546, 1960, Nr. 5/6. (Mai/Juni.) Gestützt auf frühere analytische Ergebniss wird die Richtigkeit, der von A. SMEKAL entwickelten Theorie für die Rißbildung is spröden Körpern auch für das Anreißen von Scheibenkörpern nachgewiesen, die unte definierbaren Eigenspannungen stehen. (Zfg.)

 Päsler.
- 4-270 A.W. Simon. Theory of beams composed of two elastic materials. Amer. J. Phys. 27 500-502, 1959, Nr. 7. (Okt.) (Holloman Air Force Base, N. Mex., Devel. Center.) E wird gezeigt, daß man die aus der Theorie der Biegung eines homogenen Balkens sicl ergebenden Formeln auch zur Biegungsberechnung eines aus zwei verschiedense elastischen Medien zusammengesetzten Balkens verwenden kann, wenn man für dessen Biegungssteifigkeit EI (E Elastizitätsmodul, I sog. Trägheitsmoment des Querschnittes die Summe der Biegungssteifigkeit $E_1I_1 + E_2I_2$ seiner beiden Teile einsetzt. Diese Satz wird bewiesen und als Anwendung die Scherspannungen in einem aus zwei Materialien bestehenden gebogenen Balken berechnet.
- 4-271 J. W. Craggs. On two-dimensional waves in an elastic half-space. Proc. Camphil. Soc. 56, 269-285, 1960, Nr. 3. (Juli.) (Newcastle on Tyne, King's Coll.) Es wir eine Lösung des Problems der Oberflächenwellen eines elastischen Halbraumes angegebe für den Fall, daß die Spannungs- und Dehnungskomponenten nur Funktionen vox/t und y/t sind (x, y kartesische Koordinaten, t Zeit). Die Verwendung dieser symmetrischen "zweidimensionalen" Wellen gestattet die Erfüllung sehr allgemeiner Randbedingungen und liefert Lösungen, deren numerische Auswertung nur einfache Quadraturen verlangen.

 Päsler.
- 4-272 W. A. Bassali. Bending of a singularly loaded thin circular annulus with freboundaries. J. Mech. Phys. Solids 8, 123-140, 1960, Nr. 2. (Mai.) (Univ. Alexandris Fac. Sci.) Untersuchung des Verhaltens einer dünnen kreisringförmigen Platte von korstanter Dicke, die der Einwirkung von äußeren Kräften oder Momenten unterlieg Mit Hilfe der Methoden der klassischen Biegungstheorie dünner elastischer Platte werden Lösungen für das komplexe Potential und die Verbiegungen der beanspruchte Ringscheibe in Reihenform gewonnen. Hieraus lassen sich für die beiden Sonderfäl 1. Innenradius $r \to 0$ und 2. Außenradius $r \to \infty$ strenge Lösungen in geschlossene Form herleiten. Weiterhin werden noch folgende drei Fälle im einzelnen untersuch Auf die ringförmige Platte wirken 1. zwei Biegungsmeente, 2. zwei Drillmoment beide Male an den Enden eines Durchmessers angreifend, und 3. vier Kräfte, die an de Enden zweier senkrecht aufeinanderstehender Durchmesser angreifen. Päsler.
- 4-273 R.A. Toupin. Stress tensors in elastic dielectrics. Arch. rat. Mech. Anal. 5, 440-45 1960, Nr. 5. (Washington, D. C., U. S. Nav. Res. Lab.) In einer früheren Arbeit hat Veine endliche Deformationstheorie für einen elastischen, elektrisch polarisierbare Stoff angegeben und den totalen symmetrischen Spannungstensor in zwei unsymmetrisch

Tensoren aufgespalten. Diese Aufteilung war nicht zwingend, sondern wurde aus Zweckmäßigkeitsgründen vorgenommen, um eine Beziehung zwischen den örtlichen Spannungen und Deformationen und der Polarisation des Materials einzuführen. In der vorliegenden Arbeit wird die Untersuchung fortgeführt. Es wird zunächst gezeigt, daß es möglich ist, die Grundgleichungen der Theorie in mehreren anderen (äquivalenten) Formen zu schreiben, wobei weitere "Spannungs"-Tensoren auftreten. Es wird gezeigt, in welcher Weise die beiden oben genannten Tensoren mit den neuen "Spannungs"-Tensoren zusammenhängen. Päsler.

4-274 Dietrich Uebing. Festigkeitsverhalten dickwandiger Hohlzylinder unter Innendruck im vollplastischen Bereich. Diss. T. H. Stuttgart, 1960. (Stuttgart-Feuerbach.) H. Ebert.

4-275 Arno Langenbach. Variationsmethoden in der nichtlinearen Elastizitäts- und Plastizitätstheorie. Wiss. Z. Humboldt-Univ. Berlin 9, 145-164, 1959/60, Nr. 2. (Berlin.) Verschiedene nichtlineare Probleme der Henokyschen Plastizitätstheorie werden als Operatorengleichungen im Hilbert-Raum formuliert und mit Hilfe allgemeiner Methoden in äquivalente Variationsprobleme umgewandelt. Die hierbei auftretenden Funktionale weisen gewisse nur von einer Materialfunktion abhängige metrische Eigenschaften auf, die zur Konstruktion und Untersuchung verallgemeinerter Lösungen der betrachteten Probleme benutzt werden. (Zfg.)

4-276 R. C. Brewer and J. M. Alexander. A new technique for engraving and measuring grids in experimental plasticity. J. Mech. Phys. Solids 8, 76-78, 1960, Nr. 1. (Jan.) (London, Imp. Coll. Sci. Technol.) An Metallproben für verschiedene Umformverfahren wurden in ebenen Schnitten Ritzgitter aufgebracht. Danach wurden die Probestücke längs der Schnittebenen durch Druckschweißung oder auch mittels Klebstoffen wieder vereinigt. Nach Durchführung der plastischen Verformungen — als Beispiel wurde das Walzen einer Platte und das Abheben eines Spanes untersucht — wurden die Probestücke längs der Schnittebenen wieder getrennt, so daß nach Ausmessung des verformten Gitters eine Aussage über die aufgetretenen Fließerscheinungen gemacht werden konnte. Es wurde eine Schneidvorrichtung entwickelt, die in Verbindung mit einem Koordinatenmeßmikroskop gestattete, ausreichend genaue Strichgitter mit einem Strichabstand von 64 µm herzustellen.

4-277 Gustav Meerlender. Beitrag zum Viskositäts-Temperatur- und zum Flieβverhalten von Glasschmelzen. Glastech. Ber. 33, 277, 1960, Nr. 7. (Juli.) (Braunschweig.)

H. Ebert.

4-278 James F. Bacon, Alex A. Hasapis and James W. Wholley jr. Viscosity and density of molten silica and high silica content glasses. Phys. Chem. Glasses 1, 90-98, 1960, Nr. 3. (Juni.) (Wilmington, Mass., Avco Corp., Res. Adv. Devel. Div.) Mit Hilfe eines Kugelziehviskosimeters lassen sich Zähigkeit und Dichte gleichzeitig bestimmen. Die Messungen erstrecken sich auf reines Quarzglas im Temperaturbereich von 1935 bis 2320°C, auf Quarzglas mit 1% CoO im Temperaturbereich von 2090-2350°C, auf Vycorglas 7900 (2090-2190°C) und Pyrexglas 7740 (1056-1390°C). Die größte Zähigkeit zeigt das reine Quarzglas mit nur 0,01% Gesamtverunreinigungen. Bemerkenswert ist, daß die Zähigkeitswerte dieses Glases um etwa 1 Zehnerpotenz höher liegen als diejenigen früherer Messungen anderer Autoren, und daß Linearität zwischen log η und 1/T gefunden wird.

4–279 **Heinz Bilz.** Über einen Zusammenhang zwischen Viskosität und Oberflächenspannung der Flüssigkeiten. Glastech. Ber. **33**, 277, 1960, Nr. 7. (Juli.) (Frankfurt/M.) H. Ebert.

4-280 A. J. de Witte. A kinetic theory of liquid displacement. Phys. Fluids 3, 197-204, 1960, Nr. 2. (März/Apr.) (Pittsburgh, Penn., Gulf Res. a. Devel. Co.) Es werden lineare Strömungen in einem porösen Medium, das von den Ebenen $\mathbf{x}=0$ und $\mathbf{x}=\infty$ begrenzt wird, untersucht. Speziell wird die Verdrängung einer Flüssigkeit A durch eine weitere B betrachtet. Die Theorie gilt sowohl für mischbare als auch für nichtmischbare Flüssig-

keiten. Die entstehenden Differentialgleichungen für Konzentrationen und Flüsse sind vom hyperbolischen Typ. Vergleiche zu anderen Theorien werden durchgeführt und einige Beispiele werden durchgerechnet. Kelbg.

- 4-281 A. E. Scheidegger. Flow through porous media. Appl. Mech. Rev. 13, 313-318, 1960, Nr. 5. (Mai.) (Calgary, Canada, Imp. Oil Ltd.) V. Weidemann.
- 4-282 Raymond J. Seeger. On the physics of fluids. Amer. J. Phys. 27, 377-387, 1959, Nr. 6. (Sept.) (Washington, D. C., Nat. Sci. Found.)
- 4-283 S. A. Schaaf. Recent progress in rarefied gasdynamics. A. R. S. J. 30, 443-447, 1960, Nr. 11. (Juni.) (Berkeley, Calif., Univ.) V. Weidemann.
- 4-284 K.M. Case. Stability of an idealized atmosphere. I. Discussion of results. Phys. Fluids 3, 149-154, 1960, Nr. 2. (März/Apr.) Über einem horizontalen, ebenen Boden bewegt sich ein Gas, dessen Geschwindigkeit linear mit der Höhe zunimmt, während seine Dichte exponentiell mit der Höhe abnimmt. Vf. leitet aus den Eulerschen Bewegungsgleichungen für reibungsfreie Strömung die linearisierten Störungsgleichungen für die idealisierte Atmosphäre bei Vernachlässigung ihrer Kompressibilität her. Unter Zuhilfenahme von Fourier- und Laplace-Transformationen wird sodann eine formale Lösung des Anfangswertproblems für die zeitliche Entwicklung einer zur Zeit t = 0 vorgegebenen Anfangsstörung der Atmosphäre hergeleitet. Es zeigt sich, daß solche Störungen mit wachsender Zeit immer abklingen, im allgemeinen aber nur mit einer schwachen Potenz der Zeit.
- 4-285 Freeman J. Dyson. Dasselbe. II. Zeros of the confluent hypergeometric function. Ebenda S. 155-157. (San Diego, Calif., Gen. Dynam. Corp., Gen. Atom. Div., John Jay Hopkins Lab. Pure Appl. Sci.) Es wird bewiesen, daß der Hauptzweig der Whittacker-Funktion $W_{k,m}(z)$ für reelles k und rein imaginäres m in der komplexen z-Ebene keine anderen Nullstellen außer auf der positiven reellen Achse mit einem Häufungspunkt bei z=0 hat. Dieses Ergebnis ist von Bedeutung für die Stabilität einer exponentiell dichtegeschichteten Atmosphäre mit konstanter Scherströmung, die in der vorangehenden Arbeit von K. M. Case (vorst. Ref.) behandelt wird. E. Becker.
- 4–286 K. M. Case. Taylor instability of an inverted atmosphere. Phys. Fluids 3, 366 bis 368, 1960, Nr. 3. (Mai/Juni.) (San Diego, Calif., Gen. Dynamics Corp., Gen. Atom. Div., John Jay Hopkins Lab. Pure and Appl. Sci.) In Ergänzung einer vorausgegangenen Arbeit (vorvorsteh. Ref.) untersucht der Vf. die Stabilität einer ruhenden Atmosphäre über horizontalem Boden und exponentiell mit der Höhe wachsender Dichte. Die Stabilitätsfrage wird wieder als Anfangswertproblem aufgefaßt, d. h. es wird die zeitliche Weiterentwicklung einer zur Zeit t = 0 gegebenen Anfangsstörung verfolgt. Die mathematischen Hilfsmittel bestehen in LAPLACE- bzw. FOURIER-Transformationen hinsichtlich der Zeit bzw. der horizontalen Raumkoordinate, wodurch die Störungsgleichungen auf eine gewöhnliche Differentialgleichung in der vertikalen Koordinate zurückgeführt werden. Wie zu erwarten, ist die Atmosphäre immer instabil, die Anfangsstörung wächst mit der Zeit wie t 3/2 exp (p₀ t) mit p₀ > 0.
- 4-287 Theodor Sexl und Kurt Spielberg. Zum Stabilitätsproblem der Poiseuille-Strömung Acta phys. austr. 12, 9-28, 1958, Nr. 1. (Wien, Univ., Inst. theor. Phys.)

V. Weidemann.

4-288 Karl Hess. Behandlung von schallnahen Weise-Strömungen in Strömungsmaschinen mit Hilfe der Stromfadentheorie. Diss. T. H. Stuttgart, 1960. (Waiblingen.)

H. Ebert.

Bd. 40. 4

- 4–289 C. A. Sleicher jr., R. A. Stern, L. E. Scriven and A. K. Oppenheim. Fluids dynamics. Industr. Engng Chem. 52, 347–358, 1960, Nr. 4. (Apr.) (Cambridge, Engl. Univ. Cavendish Lab.; Berkeley, Calif., Univ.; Minneapolis, Minn., Univ.) Zusammenfassender Bericht über Fortschritte auf dem Gebiet der Strömungsmechanik. Bluschke.
- 4-290 C. D. Ghildyal. Unsteady motion of a viscous liquid contained between two in finite coaxial cylinders r=a and r=b. Z. angew. Math. Mech. 39, 473-476, 1959 Nr. 12. (Dez.) (Lucknow, India, Univ., Dep. Math. Astron.) Für eine zähe, homogene

281 - 290

inkompressible Flüssigkeit, die sich zwischen zwei koaxialen Zylindern befindet, wird eine nicht-stationäre Lösung der Bewegungsgleichungen gefunden. Das Resultat ist eine Erweiterung des von SNEDDON [Fourier Transforms, 1951, S. 303-305] angegebenen Ergebnisses: Der äußere Zylinder rotiert anfänglich mit konstanter Winkelgeschwindigkeit Ω_0 , bis der stationäre Zustand erreicht wird; dann wird der innere Zylinder plötzlich in Drehung versetzt, so daß er mit konstanter Winkelgeschwindigkeit Ω_1 zu rotieren beginnt. Wachsmuth.

4-291 David Meksyn. Plate thermometer. Z. angew. Math. Phys. 11, 63-68, 1960, Nr. 1. (25. Jan.) (London, Royal Coll. Sci., Math. Dep.) In einer ebenen stationären Strömung einer inkompressiblen Flüssigkeit konstanter Temperatur T_0 hat eine längsangeströmte dünne Platte infolge der Reibungswärme eine höhere Temperatur T_0 , die durch numerische Berechnung eines Doppelintegrals für Prandtl-Zahlen kleiner als 100 hinreichend genau bekannt ist. Für die Prandtl-Zahl = 100 ergab sich jedoch nach der bisherigen Methode wegen mangelnder Konvergenz ein Fehler von 20%. Es wird eine einfache Methode zur Berechnung des fraglichen Integrals für große Prandtl-Zahlen aufgezeigt, die zu befriedigenden Ergebnissen führt. Das Endergebnis besteht aus wenigen Termen, ausgedrückt in Gamma-Funktionen. Wagenbreth.

4-292 R. A. S. Brown, G. A. Sullivan and G. W. Govier. The upward vertical flow of air-water mixtures. III. Effect of gas phase density on flow pattern, holdup and pressure drop. Canad. J. Chem. Engng 38, 62-66, 1960, Nr. 2. (Apr.) (Edmonton, Alberta, Univ., Dep. Chem. Petrol. Engng; Montreal, Can. Ind. Ltd., Chem. Engng Sect.) Im vorliegenden dritten Bericht über eine Versuchsreihe zur Klärung der Vorgänge bei in einer Rohrleitung aufwärts strömenden Gas-Luftgemischen (Ber. 38, 2266, 1959) wird der Einfluß einer Veränderung der Dichte des gasförmigen Volumenanteils untersucht.

4-293 D. S. Davis. Estimation of Prandtl numbers. Chem. Process Engng 41, 127, 1960, Nr. 4. (Apr.) (Alabama, Univ., Dep. Pulp. a. Paper Technol.) Nomogramm zur Ermittlung der Prandtl-Zahl. Eujen.

4-294 Roddam Narasimha. Nearly free molecular flow through an orifice. Phys. Fluids 3, 476-477, 1960, Nr. 3. (Mai/Juni.) (Pasadena, Calif. Inst. Technol. Guggenheim Aeronaut. Lab.) Falls die Knuden-Zahl nicht zu groß ist, ergibt sich folgende Formel für den Massenfluß eines Gases durch eine enge Öffnung $\dot{\mathbf{m}} = (\rho \ddot{\mathbf{c}}/4) (1+0.26~R/\lambda)$. Hierin bedeuten ρ die Dichte, $\ddot{\mathbf{c}}$ die mittlere Molekulargeschwindigkeit, R der Radius des Loches und λ die mittlere freie Weglänge. Der Korrekturterm zur bekannten Formel wurde mit Hilfe der Boltzmannschen Gleichung unter Anwendung sukzessiver Approximation abgeleitet.

4-295 C. E. Grosch, L. W. Ward and S. J. Lukasik. Viscous dissipation of shallow water waves. Phys. Fluids 3, 477-479, 1960, Nr. 3. (Mai/Juni.) (Hoboken, N. J., Stevens Inst. Technol., Davidson Lab.) Die Wellenamplitude einer Flachwasserströmung erfährt infolge Flüssigkeitsreibung eine Abschwächung gegenüber dem reibungslosen Fall. Die Arbeit bringt einen Vergleich zwischen theoretischer und experimenteller Bestimmung der Amplitudenabschwächung. Die Theorie geht von den linearisierten NAVIER-STOKES-Gleichungen aus und liefert für den Exponentialkoeffizienten k der Amplitudenabschwächung das Gesetz k ~ 1/√R (R = Wellen-Reynolds-Zahl). Die experimentellen Untersuchungen, welche sich auf Messungen entweder der Wellenamplitude oder der Schubspannung am Boden beziehen, ergeben neben wesentlich höheren Werten auch eine andere Gesetzmäßigkeit, nämlich k ~ 1/R. Die Abweichungen werden dem Mechanismus der Energiedissipation zugeschrieben, welcher durch die linearisierten NAVIER-STOKES-Gleichungen nicht erfaßt wird.

4-296 N. A. Florescu. Sur la conductance des appareils à écoulement moléculaire des gaz. Vide, Paris 15, 197-209, 1960, Nr. 87. (Mai/Juni.) (Sydney, Univ., School Appl. Phys.) Wesentlich ist der Einfluß der Anlaufstrecke; es werden die Leitfähigkeiten an kreis- und ringförmigen Öffnungen auf Grund KNUDSENscher Überlegungen betrachtet und CLAUSINGsche experimentelle Ergebnisse zum Vergleich herangezogen.

H. Ebert.

4-297 Anna Maria Zoli. Sul teorema di unicità per le equazioni della propagazione de calore per convezione naturale. R. C. Accad. Lincei (8) 28, 173—178, 1960, Nr. 2. (Febr., (Orig. ital.) Es wird ein Eindeutigkeitssatz bewiesen für die natürliche, thermokonvektive Strömung einer inkompressiblen Flüssigkeit in dem an eine ebene Wand angrenzenden unendlichen Halbraum. Außer gewissen Differenzierbarkeitseigenschaften für das Geschwindigkeits-, das Temperatur- und das Druckfeld wird vorausgesetzt, daß der Druck zu allen Zeiten genügend stark gegen einen vorgegebenen Wert in weiter Entfernung von der ebenen Wand strebt, daß Geschwindigkeit und Temperatur zum Anfangszeitpunkt im ganzen Halbraum gegeben und für alle Zeiten danach auf der ebenen Wand vorgeschrieben sind.

4-298 G. Sonntag. Einfluβ des Lückenvolumens auf den Druckverlust in gasdurchströmten Füllkörpersäulen. Chem.-Ing. Tech. 32, 317-329, 1960, Nr. 5. (Mai.) (Dresden, T. H., Inst. Thermodynamik u. therm. Strömungsmasch.)

4-299 A. M. Chaikin and A. E. Shilov. Methods of feeding reagents into a low pressure gas stream. Sh. fis. Chim. 34, 1140-1141, 1960, Nr. 5. (Moscow.) H. Ebert.

4-300 H. Görtler. Über eine Analogie zwischen den Instabilitäten laminarer Grenzschichtströmungen an konkaven Wänden und an erwärmten Wänden. Ingen.-Arch. 28, 1959, Festschrift. S. 71-78. (Freiburg i. Br., Univ., Inst. Angew. Math.) Es wird gezeigt, daß die Längswirbel in Strömungen über erwärmten Platten das thermokonvektive Analogon zu der dynamischen Instabilitätserscheinung der longitudinalen Wirbel in Grenzschichtströmungen an konkaven Wänden darstellen. An Stelle der durch die konkave Krümmung der Stromlinien bedingten Zentrifugalkraft tritt der durch die Wanderwärmung verursachte Auftrieb, der mit dem Druckgefälle senkrecht zu den Stromlinien im instabilen Gleichgewicht steht. Für das Bestehen der Wirbel ist im einen Fall bei genügend großer Krümmung der Stromlinien die Erreichung der REYNOLDSschen Zahl, im anderen Fall einer gewissen GRASHOF-Zahl notwendig und hinreichend. Es wird das Zusammenwirken von Wandkrümmung und Wanderwärmung bzw. Wandkühlung behandelt und qualitativ diskutiert.

4-301 George F. Scheele, Edward M. Rosen and Thomas J. Hanratty. Effect of natural convection on transition to turbulence in vertical pipes. Canad. J. chem. Engng 38, 67 bis 73, 1960, Nr. 3. (Juni.) (Urbana, Ill., Univ.) Es wird der Einfluß der durch Aufheizung entstehenden Veränderung der Geschwindigkeitsverteilung in einem laminar durchströmten vertikalen Rohr auf den Übergang zu turbulenter Strömung untersucht. Der Übergang erfolgt plötzlich und offenbar unter Ablösung der Strömung an der Wand, wenn die durch die Erwärmung erzeugte Konvektionsströmung der Rohrströmung entgegengerichtet ist.

Eujen.

4-302 Karl Lofquist, Flow and stress near an interface between stratified liquids. Phys. Fluids 3, 158-175, 1960, Nr. 2. (März/Apr.) (Washington, D. C., Nat. Bur. Stand.) In einem horizontal angeordneten Wasserkanal wurde ein turbulenter Strom von Kochsalzlösung unter einer ruhenden Schicht reinen Wassers mit freier Oberfläche zum Studium der Vorgänge an der Grenzfläche zwischen beiden Flüssigkeiten erzeugt. Strömungsgeschwindigkeit und Konzentration der Kochsalzlösung konnten variiert werden. Es wurden u. a. das Dichte- und das Geschwindigkeitsprofil in Umgebung der Grenzfläche, die Neigung dieser Grenzfläche gegen die Horizonte und die Mischung der beiden Flüssigkeiten gemessen. Aus diesen Messungen wurden unter Zuhilfenahme der Bewegungsgleichungen die Profile von Schubspannung und effektiver Zähigkeit ermittelt. Die effektive Zähigkeit hat in der Nähe der Grenzfläche wegen der dämpfender Wirkung der stabilen Flüssigkeitsschichtung ein Minimum. Die gemessenen Größer wurden unter Einführung dimensionsloser Kennzahlen korreliert, wobei die unabhängigen dimensionslosen Größen eine REYNOLDS-Zahl und eine FROUDE-Zahl sind, sowie der dimensionslose vertikale Abstand von der Trennfläche. Ein für die Trennfläche geeigne definierter Schubspannungskoeffizient hängt von REYNOLDS- und FROUDE-Zahl ab. und mit genügender Genauigkeit kann das Profil der mittleren Geschwindigkeit mit der Schubspannung in ähnlicher Weise korreliert werden wie bei einer Grenzschichtströmung an einer festen Wand. E. Becker.

-303 W.-H. Isay. Zur Theorie der nahe der Wasseroberfläche fahrenden Tragflächen. ngen.-Arch. 27, 295-313, 1960, Nr. 5. (Berlin, Akad. Wiss., Inst. angew. Math. Mech.) s wird eine Theorie der Unterwassertragflügel angegeben, die auch den Fall von zwei intereinander fahrenden Tragflächen umfaßt (Tragflügelboot). Die zur Bestimmung er Auftriebsverteilung (Zirkulationsverteilung) notwendigen Integralgleichungen weren gelöst, und zwar in einer Form, die sich an die aus der Schaufelgittertheorie bekannen Methode anlehnt. Außerdem wird die Form der Wasseroberfläche in der Nähe der ragsläche berechnet. Wachsmuth.

Jan Polášek. Zur Berechnung der reibungslosen inkompressiblen Strömung für bene Schaufelgitter. Z. angew. Math. Mech. 39, 495-501, 1959, Nr. 12. (Dez.) (Praha, forschungsinst. Wärmetech.) Am besten geeignet für die Berechnung von nicht allzu licken und mäßig gewölbten Schaufelgittern ist die Singularitätenmethode, bei der die chaufeln durch eine kontinuierliche Verteilung von Wirbeln und Quellen ersetzt verden. Für praktisch oft auftretende Schaufelgitter mit noch nicht tabellierten Teiungsverhältnissen und Staffelungswinkeln wird eine Berechnungsmethode angegeben.

<u>1-305</u> Hubert Schardin. Ein Beispiel zur Verwendung des Stoßwellenrohres für Probleme ler instationären Gasdynamik. Z. angew. Math. Phys. 9b, 1958, Nr. 5/6, (25. März.) onderbd., S. 606-621. (Weil a. Rh.) Schattenbilder der Reflexion und Beugung einer n einem Stoßrohr laufenden Stoßwelle an einer Schneide, einer Schneide in Wandnähe ind an zwei einen Spalt freilassenden Schneiden. Die Bilder wurden mit der Cranz-CHARDIN-Funkenzeitlupe mit Bildfrequenzen bis $2\cdot 10^5\,\mathrm{Hz}$ aufgenommen. Sie zeigen Pseudostationarität der Wellen und nach einer Anlaufzeit von 20 μs auch Pseudotationarität der Wirbelausbreitung.

4-306 Max Krook. Structure of shock fronts in ionized gases. Ann. Phys., N. Y. 6, 188-207, 1959, Nr. 2. (Febr.) (Cambridge, Mass., Harward Coll. Obs., Smithsonian Astrophys. Obs.) Es wird eine Methode angegeben zur Lösung der kinetischen Gleichungen für die Struktur einer Stoßfront in einem ionisierten Gas. Die kinetischen Gleichungen werden in v-ter Näherung ersetzt durch ein System von (v-4) Gleichungen für die Momente der Geschwindigkeitsverteilung. Das Verfahren gründet sich auf eine Darstellung der Verteilungsfunktionen als Summen "modifizierter MAXWELL-Funktionen".

4-307 D. L. Matthews. Interferometric measurement in the shock tube of the dissociation rate of oxygen. Phys. Fluids 2, 170-178, 1959, Nr. 2. (März/Apr.) (Princeton, N. J., Univ., Palmer Phys. Lab.) Bestimmung der Dissoziationsgeschwindigkeit von O2 durch nterferometrische Messung des Dichteverlaufes hinter Verdichtungsstößen mit Stoß-MACH-Zahlen zwischen 8 und 10 im Stoßrohr.

4-308 Richard M. Patrick. High-speed shock waves in a magnetic annular shock tube. Phys. Fluids 2, 589-598, 1959, Nr. 6. (Nov./Dez.) (Everett, Mass., Avco-Everett Res. Lab.) Zwischen den Enden zweier koaxialer Zylinder wird eine Kondensatorbatterie entladen und der Einfluß von Magnetfeldern auf die sich ausbildenden Stoßwellen intersucht. Die Bedingungen sind so gewählt, daß die mittleren freien Weglängen der Elektronen und Ionen groß gegenüber den Gyrationsradien im Magnetfeld sind. Als Füllgas wird Wasserstoff im Druckbereich bis 140 µm benutzt. Bei einem axialen Mametfeld, das durch zwei gegeneinander geschaltete koaxiale Spulen erzeugt wird, werden ei einer C-Batterie von 20 μF, 15 kV und einer Frequenz von etwa 100 kHz Geschwinligkeiten bis zu 2·10⁷ cm/s erreicht. Die von der Stoßfront emittierte Lichtintensität st direkt, die maximale Stoßwellengeschwindigkeit umgekehrt zur Wurzel aus dem Anfangsdruck proportional. Ein zusätzlich eingeschaltetes azimutales Magnetfeld mit lem Feldvektor in der Stoßwellenfront bewirkt eine weitere Steigerung der Geschwinligkeit bis zu 4 · 107 cm/s. Der Zusammenhang zwischen Stoßfrontdicke und den übrien Entladungsparametern wird eingehend an Hand von Messungen und Rechnungen liskutiert.

Roger A. Strehlow and Arthur Cohen. Shock-initiated detonations. Phys. Fluids -309 3, 319-320, 1960, Nr. 2. (März/Apr.) (Aberdeen, Md., Proving Ground, Ballist. Res. abs.) In einem Stoßrohr von 10 cm Durchmesser werden Stoßwellen in einem Knallgasgemisch, das mit Argon verdünnt ist, untersucht. Man beobachtet eine Zündung hinter der reflektierten Stoßwelle mit einer Verzögerung von etwa 50 µs. Es werder Schlierenbilder von zwei typischen Vorgängen gezeigt: Bei 70% Argonbeimischung ent steht an der Zündstelle eine Detonationswelle, die die reflektierte Stoßwelle einholt und mit dieser zusammen eine neue Detonationswelle großer Geschwindigkeit bildet. Be 94% Argonbeimischung verursacht die Explosion eine schwächere Druckwelle, die nu eine Beschleunigung der reflektierten Stoßfront bewirkt. — Ein ausführlicher Berich wird angekündigt.

- 4-310 H. T. Nagamatsu, R. E. Geiger and R. E. Sheer jr. Hypersonic shock tunnel A. R. S. J. 29, 332-340, 1959, Nr. 5. (Mai.) (Schenectady, N. Y., Gen. Elect. Res Lab.) Beschreibung eines Hyperschallstoßrohres und Mitteilung der Ergebnisse einige darin durchgeführter Versuche. Als Treibgas wurde durch Knallgasverbrennung auf geheiztes Helium mit einem Maximaldruck von 700 kp/cm² verwendet. Die Expansion des Arbeitsgases erfolgt nach Stoßreflexion in einer LAVAL-Düse. Es wurden MACH Stoßzahlen bis 40, MACH-Strömungszahlen bis 20 und Stautemperaturen bis 16 000° Kerreicht. Messungen der Druckverteilung an einer Halbkugel zeigten geringe syste matische Abweichungen von der modifizierten Newton-Theorie. Schlierenaufnahmer von Kopfwellen stumpfer Körper zeigten eine starke Abhängigkeit vom Dissoziations grad der Luft. Es wurden Schlierenbilder der Plattengrenzschicht bei der MACH-Zah 10 und Stautemperature 1560° K sowie Bilder des Kopfwellenleuchtens bei de MACH-Zahl 10 und Stautemperatur 5800° K aufgenommen. H. Oertel.
- 4-311 G. D. Salamandra and O. A. Tsukhanova. Formation of a shock discontinuit shead of a flame front. A. R. S. J. 30, 66-72, 1960, Nr. 1. Die Untersuchung einer Stoß welle in Wasserstoff/Sauerstoff-Mischungen geschah mit Hilfe von Flammenaufnahme von etwa 50000 Bildern in der Sekunde. Es ergibt sich, daß eine Flamme, welche sich i einem Gas bewegt, Unregelmäßigkeiten erzeugt, die nach einer gewissen Strecke sic zu einer Stoßfront entwickeln. Diese erfolgt in einem Abstand X nach der Zündung Dabei ist X proportional a²/m², wenn a die Schallgeschwindigkeit in der Mischung is und m der prozentuale Anteil von Wasserstoff in der Mischung. In einer runden Verbrennungskammer ist die Beschleunigung der Flammenfront größer als z. B. in eine rechteckigen.
- 4-312 N. N. Kochina. On particularities near the detonation center and on the appearance of two shock waves. Soviet Phys.-Doklady 4, 544-548, 1959, Nr. 3. (Dez.) (Engl. Übers aus: Proc. Acad. Sci. SSSR 126, 1216, 1959, Nr. 6.) Vf. betrachtet starke Punktexplosionen in einem Medium mit einer Zustandsgleichung $U = p\phi(\rho) + p^m \Delta_0(\rho)$; $0 \le m < 1$ Anknüpfend an die früher (Kochina und Melnikova, Prikl. Mat. Mech. 22, 3, 1958 untersuchte selbstähnliche (Homologie-) Lösung im Falle $\Delta_0 \equiv 0$ wird durch Lineariserung, soweit das Zusatzglied klein ist, eine nahezu homologe Näherungslösung gewonnen. Diskutierte Spezialfälle zeigen z. T. Kavitation am Zentrum, z. T. eine zweit Stoßwelle.
- 4-313 G. Ya. Galin. A theory of shock waves. Soviet Phys.-Doklady 4, 757—760, 1960 Nr. 4. (Febr.) (Engl. Übers. aus: Proc. Acad. Sci. SSSR 127, 55, 1959, Nr. 1.) (Moscow M. V. Lomonosov State Univ.) Vf. geht aus von den Navier-Stokes-Gleichungen für eindimensional-stationäre Strömung und untersucht, ähnlich wie H. Weyl. (Commpure appl. Math. 2, 103, 1949), jedoch unter schwächeren Voraussetzungen, die Möglich keit und Struktur von Stoßwellen in einem Fluidum mit beliebiger Zustandsgleichung Dazu werden die Singularitäten und Lösungskurven einer gewöhnlichen Differentia gleichung in der (V, p)-Ebene diskutiert. Eine Stoßwelle ist nur möglich, wenn zwische dem Ausgangs- und Endpunkt die Hugoniot-Kurve die Rayleigh-Gerade nicht durch setzt. Eine für feste Körper gültige Verallgemeinerung wird angedeutet.
- Wecken. 4-314 Charles Muckenfuss. Bimodal model for shock wave structure. Phys. Fluids 320-321, 1960, Nr. 2. (März/Apr.) (Schenectady, N. Y., Gen. Elect. Res. Lab.)
- 4-315 Richard M. Patrick. Experimental dependence of the collision-free shock thickness upon Alfvén Mach number. Phys. Fluids 3, 321-323, 1960, Nr. 2. (März/Apr.) (Everett Mass., Avco-Everett Res. Lab.)

 V. Weidemann.

- 4-316 Pierre Hillion, Takehiko Takabayasi and Jean-Pierre Vigier. Relativistic hydrolynamics of rotating fluid masses moving with the velocity of light. Acta phys. polon. 19, 245-270, 1960, Nr. 2. (Paris, Inst. Henri Poincaré.)
- 4-317 **Heinz Spliethoff.** Das Regelverhalten leistungsgeregelter Zwangdurchlauf-Dampfrzeuger. Diss. T. H. Stuttgart, 1960. (Duisburg/Ruhrort.) II. Ebert.
- —318 W. D. May, E. L. Morris and D. Atack. Rolling friction of a hard cylinder over a riscoelastic material. J. appl. Phys. 30, 1713—1724, 1959, Nr. 11. (Nov.) (Montreal, Can., Pulp Paper Res. Inst.) Zur Berechnung der Reibung zwischen einer Platte aus viskoelastischem Material und einer darauf rollenden starren Kugel legen Vff. einen Relaxationsmechanismus zugrunde, dessen Modell eine Schraubenfeder mit parallelgeschaltetem, geschwindigkeitsproportionalem Dämpfungsglied ist. Um eine daraus olgende Abhängigkeit von der Plattendicke zu beseitigen, wird die maximale Berührungsfläche derjenigen, die sich aus der Hertzschen Abplattungstheorie ergibt, gleichgesetzt. Ebenso wie die elastischen Verluste eines wechselbeanspruchten Materials bei einem bestimmten Verhältnis von Frequenz und Relaxationszeit ein Maximum erreichen, durchläuft auch der Reibungskoeffizient bei einer aus Relaxationszeit, Rollgeschwindigkeit und Kugelradius errechenbaren Geschwindigkeit einen Maximalwert und verschwindet für sehr kleine und sehr große Geschwindigkeiten. Häsing.
- 4-319 D. G. Flom and A. M. Bueche. Theory of rolling friction for spheres. J. appl. Phys. 30, 1725—1730, 1959, Nr. 11. (Nov.) (Schenectady, N. Y., Gen. Elect. Res. Lab.) Unter Zugrundelegung einfacher mechanischer Modelle für das Relaxationsverhalten viskoelastischer Körper leiten Vff. die Abhängigkeit des Reibungskoeffizienten von der Rollgeschwindigkeit des Zylinders und der Relaxationszeit des überrollten Materials ab. Bei einem bestimmten Wert des Produktes beider Größen erreicht die rollende Reibung ein Maximum und verschwindet für extrem große und extrem kleine Werte desselben. Wird eine kontinuierliche Gauss-Verteilung der verschiedenen Relaxationszeiten eines stoffes zugrunde gelegt, so ähnelt die berechnete Kurve für den Reibungswiderstand als Funktion der Geschwindigkeit der Verteilungskurve in solchem Maße, daß eine näherungsweise Ermittlung der letzteren aus Reibungsversuchen mit verschiedener Rollgeschwindigkeit möglich erscheint.
- 1–320 Leonard Eisner. Materials with large frictional coefficients. Amer. J. Phys. 27, 58, 1959, Nr. 1. (Jan.) (Columbus, O., Univ.)
- Anal. 3, 397—416, 1959, Nr. 5. (Raleigh, North Carolina State Coll.) Mathematisch-geometrische Betrachtung des Systems von nichtlinearen Differentialgleichungen der Innenballistik. Die charakteristischen Eigenschaften der Druckkurven in Abhängigkeit von den verschiedenen Parametern werden ermittelt. Der hier als der ideal progressive Fall der Pulververbrennung bezeichnete $(\vartheta = -1)$ ergibt eine Lösung konstanten Druckes. Die Bedeutung isothermer Lösungen wird erörtert.

VI. Akustik

- 4-322 I. N. Kanevskii. A set for measuring ultrasonic fields in liquids. Measurement fech. 1959, S. 642—645, Nr. 8. (Aug.) (Engl. Übers. aus: Ismeritelnaja Technika 1959, S. 51). Beschreibung einer Schlittenkenstruktion mit Präzisions-Koordinatenführung ür ein Tastmikrophon zur Messung von Ultraschallfeldern. Bei Einstellung von Hand us ist die horizontale Ableseungenauigkeit 0,01 mm, die vertikale 0,1 mm und die Untenauigkeit der Winkeleinstellung 2,5'. Bei automatischem Betrieb mit Hilfe eines Selsyntriebes liegen die Werte etwas ungünstiger.
- 1-323 M. Redwood. Velocity and attenuation of a narrow-band, high-frequency compressional pulse in a solid wave guide. J. acoust. Soc. Amer. 31, 442-448, 1959, Nr. 4. Apr.) (London, Imp. Coll., Electr. Engng. Dep.) Es wird gezeigt, in welcher Weise die

POCHHAMMER-CHREEschen Gleichungen für die Wellenausbreitung in platten- und zylinderförmigen festen Körpern modifiziert werden müssen, damit sie nicht nur für kontinuierliche Wellen, sondern auch für schmalbandige, hochfrequente Impulse gelten Es werden Näherungsmethoden zur Lösung der modifizierten Gleichungen angegeben Die Ergebnisse stimmen gut mit denen anderer, weniger genauer Methoden überein, be denen zunächst angenommen wird, der Festkörper verhielte sich wie eine Flüssigkeit.

M. Beyer.

- 4-324 Wilfried J. Remillard. Method of obtaining amplitude and phase spectra of a transient function using graphical input data. J. acoust. Soc. Amer. 31, 531-534, 1959 Nr. 4. (Apr.) (Cambridge, Mass., Univ., Acoust. Res. Lab.) Zur vollständigen Charak terisierung einer nichtstationären Funktion benötigt man sowohl das Amplituden- als auch das Phasenspektrum. Es wird gezeigt, wie diese kontinuierlichen Spektren aus der Einhüllenden der Linienspektren der geraden und ungeraden Teile einer nichtstationärer Funktion ermittelt werden können, die man periodisch wiederholt. Eine Apparatur zur relativ bequemen Ausführung dieser Analyse wird beschrieben.

 M. Beyer.
- 4-325 Bertram Scharf. Critical bands and the loudness of complex sounds near threshold J. acoust. Soc. Amer. 31, 365-370, 1959, Nr. 3. (März.) (Boston, Mass., Univ.) Die Laut heit von Tongruppen (bestehend aus zwei bzw. vier Tönen) und Rauschbändern wurde als Funktion der Bandbreite bei niedrigen Lautstärken (5 bis 35 dB über der Hörschwelle gemessen. Bei allen untersuchten Lautstärken war die Lautheit von der Verteilung de Energie auf die Komponenten der Tongruppen bzw. die Verteilung innerhalb de Rauschbänder unabhängig, solange eine bestimmte kritische Bandbreite nicht über schritten wurde. Bei den Lautstärken von 10 bis 35 dB nahm bei größerer Bandbreit die Lautheit zu, und zwar bei der höchsten Lautstärke am meisten. Nur beim niedrig sten Pegel, 5 dB, blieb die Lautheit bei größeren Bandbreiten konstant oder nahm soga ab. Die bei diesen Versuchen gemessenen kritischen Bandbreiten stimmen mit den au andere Weise gemessenen kritischen Bandbreiten überein.
- 4-326 Karl D. Kryter. Speech bandwidth compression through spectrum selection. Jacoust. Soc. Amer. 32, 547-556, 1960, Nr. 5. (Mai.) (Cambridge, Mass., Bolt Beranel and Newman.) Es wird untersucht, welche Teile des Spektrums von Sprache eliminier werden können, ohne daß die Wort- und Silbenverständlichkeit unter einen akzeptablei Wert sinkt. Bandpässe von vorzugsweise 500 Hz Bandbreite werden (a) einzeln und (bin verschiedenen Kombinationen gleichzeitig zur Aussiebung des Spektrums verwendet Es zeigt sich, daß die "effektive" Bandbreite bei einem Mehrfach-Bandpaß-System unden Faktor zwei geringer ist als die Bandbreite bei einem kontinuierlichen Bandpaßsystem.
- 4-327 Edwin C. Kamps. Statistical evaluation of near-field sound pressures generate by the exhaust of a high-performance jet engine. J. acoust. Soc. Amer. 31, 65-67, 1958 Nr. 1. (Jan.) (Convair, San Diego, Gen. Dynam. Corp.) Da für die Materialermüdung be Düsenflugzeugen in erster Linie die Geräuschspitzen und nicht die mittleren Schaldrucke verantwortlich sind, wird versucht, für die Geräusche von Düsenmotoren ein Beziehung zwischen der Häufigkeit und dem Schalldruck der Spitzen einerseits und dein üblicher Weise gemessenen mittleren Schallpegel andererseits aufzustellen. Ergel nisse: 1. das Auftreten der Druckspitzen gehorcht nicht einer RAYLEIGH-Verteilung 2. die Verteilung der Druckspitzen ist nicht ortsabhängig in bezug auf den Düsenstrot und scheint keine Funktion der Frequenz zu sein, 3. der Schalldruck der höchsten Spitzeliegt um den Faktor 4 höher als der mittlere Schalldruck. M. Beyer.
- 4-328 Edwin L. Carstensen and Herman P. Schwan. Acoustic properties of hem globin solutions. J. acoust. Soc. Amer. 31, 305-311, 1959, Nr. 3. (März.) (Philadelphi Penn., Univ., Moore School Electr. Engng., Electromed, Div.) Im Frequenzbereic 0,5 bis 10 MHz wurden Schallabsorption und -geschwindigkeit in Hämoglobinlösunge unter verschiedenen Bedingungen der Temperatur, der Konzentration und des chem schen Milieus gemessen. Die Absorption pro Wellenlänge hing nur in geringem Maf von der Frequenz ab. Es wurde eine Dispersion der Schallgeschwindigkeit festgestell

Unter der Annahme einer breiten Verteilung der Relaxationszeiten gelang eine quantative Verknüpfung der Größe der Absorption und der Dispersion mit Hilfe der Relaxaonstheorie. M. Bever.

- 329 Eugen Skudrzyk. Theory of noise and vibration insulation of a system with many sonances. J. acoust. Soc. Amer. 31, 68-74, 1959, Nr. 1. (Jan.) (University Park, enn., Univ., Ordn. Res. Lab.) Die theoretischen Ergebnisse zweier früherer Arbeiten erden zusammengefaβt und benutzt, um die Schalldämmung komplizierter Systeme a berechnen. Unter anderen werden behandelt: Dämmung eines Systems mit einer ollerregten Eigenfrequenz und einer schwach erregten höheren Eigenschwingung, iesonanzen in der Masse des Systems, Resonanzen in der Federung und Resonanzen im hutzgehäuse von Motoren usw.

 M. Beyer.
- -330 M. V. Morkovin. On supersonic wind tunnels with low free-stream disturbances. appl. Mech. (E) 26, 319—324, 1959, Nr. 3. (Sept.) (Baltimore, Maryland, Johns opkins Univ., Dep. Aeronaut.) Es werden die Ursachen der Störungen der freien trömung in Überschallwindkanälen (Geschwindigkeits- und Temperaturschwankungen, nvollkommenheiten von Düse und Wandkonturen, aerodynamische Schallerzeugung ach Lighthill, Brechung von Mach-Wellen) behandelt und die Probleme ihrer Verngerung umrissen.
- -331 C. H. Allen and B. G. Watters. Siren design for producing controlled wave form ith amplitude modulation. J. acoust. Soc. Amer. 31, 463-469, 1959, Nr. 4. (Apr.) Lambridge, Mass., Bolt Beranek and Newman.) Es wird eine Sirene beschrieben, bei er in einem weiten Frequenzbereich und in einem Dynamikbereich von über 40 dB ie Obertöne um über 15 dB schwächer sind als der Grundton. Der große Dynamikereich wird durch die Einführung einer zusätzlichen Lochscheibe (Shutter oder Moduttor) erreicht. Diese Scheibe kann auch dazu dienen, die Amplitude des Schalles vererrungsarm zu modulieren.

 M. Beyer.
- Harold Lamport and Hans H. Zinsser. Strain gauge measurement of output of nagnetostrictive ultrasonic transducer. Pitfalls of optical measurement. J. acoust. Soc. mer. 31, 435—438, 1959, Nr. 4. (Apr.) (New Haven, Conn., Yale Univ., School Med., Dep. Physiol.; New York, N. Y., Columbia Univ., Coll. Physic Surg., Dep. Urol.) Ein Dehnungsmeßdraht, der bifilar und spiralförmig um den Kopf eines magnetostriktiven fltraschallwandlers geklebt wurde, diente zur Messung der Amplitude des Wandlers. Diese Meßmethode erwies sich als bequemer und genauer als die übliche optische Methode. Zum Schluß werden Schwierigkeiten diskutiert, die bei den optischen Mesungen auftreten können.
- -333 G. B. Madella. On the class of "reciprocity methods". J. acoust. Soc. Amer. 32, 1960, Nr. 2. (Febr.) (Pisa, It., Univ. Ist. Fis. Tecn.) Außer den sogenannten "Rezirozitätsmethoden" für die Kalibrierung elektroakustischer Wandler basieren auch ndere Methoden auf dem Reziprozitätsprinzip. Ein typisches Beispiel ist die Kalirierung eines Wandlers durch elektrische Impedanzmessungen bei verschiedenen akustischen Abschlußwiderständen. Es wird angeregt, daß wenigstens bei theoretischen bhandlungen die einzelnen Methoden nur als Spezialfälle der allgemeineren Klasse on Reziprozitätsmethoden bezeichnet werden.
- -334 Robert Herman. Observations on the acoustical characteristics of the English flute. mer. J. Phys. 27, 22–29, 1959, Nr. 1. (Jan.) (Detroit, Mich., Gen. Motors Corp., Res. ab.) Die Wirkungsweise der Blockflöte und einige physikalische Betrachtungen über deses Instrument werden an Hand früherer Veröffentlichungen und eigener Frequenzntersuchungen beschrieben.
- -335 H. F. Olson, H. Belar and J. Timmens. Electronic music synthesis. J. acoust. oc. Amer. 32, 311—319, 1960, Nr. 3. (März.) (Princeton, N. J., RCA Lab.) Es wird einerät zur Komposition mit elektronischen Mitteln beschrieben. Es gestattet, gleichitig vier verschiedene Töne hervorzubringen, deren Frequenz, Intensität, Anklingen,

Dauer und Abklingen sowie Klangfarbe und Vibrato eingestellt werden kann. Dies g schieht nach einer Lochstreifenmethode. Beispiele von Partituren werden erläutert.

Lottermoser.

4-336 A. P. Buthod and Chi Tien. Critical velocity of gas. Canad. J. chem. Engng 374-77, 1960, Nr. 3. (Juni.) (Tulsa, Oklahoma, Univ.; Windsor, Ont., Univ., Esse Coll.) Es wird eine Beziehung zur Berechnung der kritischen Geschwindigkeit, d. h. d Schallgeschwindigkeit eines realen Gases abgeleitet. Für Kohlendioxyd und Äthyle werden die nach dieser Formel berechneten Werte mit experimentell bis zu Drücke von 60 at gefundenen Werten verglichen. Für das erstgenannte Gas ist die Übereinstir mung recht gut, während bei dem anderen Gas die berechneten Werte bei hohem Druch beträchtlich unter den gemessenen Werten liegen.

Eujen.

4-337 B. Ramachandra Rao and P. R. K. L. Padmini. A relation between ultra-son velocity and latent heat of vaporization. Nature, Lond. 187, 311—312, 1960, Nr. 473 (23. Juli.) (Visakhapatnam, Univ.) Die Schallgeschwindigkeit von 45 Flüssigkeite verflüssigten Gasen und geschmolzenen Metallen wurde auf die Temperatur extr poliert, bei der der gesättigte Dampf ein Volumen von 22,41 einnimmt. Die Verdam fungswärmen am Siedepunkt der einzelnen Stoffe wurden als Funktion der so erhalten und quadrierten Schallgeschwindigkeiten aufgetragen. Die Punkte häufen sich um ei Gerade, von der nur hochassoziierte Flüssigkeiten, wie Wasser, Alkohole und organisc Säuren, weiter entfernt liegen. Aus den Abweichungen lassen sich Rückschlüsse auf c Assoziationsenergie ziehen.

S. Parthasarathy and V. N. Bindal. Ultrasonic velocity in supercooled liquid Indian J. Phys. 34, 272-277, 1960, Nr. 6. (Juni.) (New Delhi, Nat. Phys. Lab.) Bei fü verschiedenen Flüssigkeiten, Thymol, Phenol, Phenylsalicylat, Benzophenon ut Diphenylamin, wurde bis in den unterkühlten Bereich hinein die Schallgeschwindigke gemessen. Die Meßtemperaturen wurden zwischen 30° und 70°C variiert, der Schme punkt der Proben liegt um 50°C. In einer Interferometeranordnung bilden sich in de zu prüfenden Medium stehende Wellen aus, die eine Schallgeschwindigkeitsmessung a 0,05% ermöglichen. Benzophenon, Diphenylamin und Phenylsalicylat zeigen a Schmelzpunkt einen Sprung der Schallgeschwindigkeit, der bei Thymol nur schwa ausgebildet ist. Außerdem ist bei Thymol und Benzophenon der Temperaturko fizient der Schallgeschwindigkeit im normalen und unterkühlten Zustand verschiede Phenol, das stark hygroskopisch ist, hat im gesamten untersuchten Temperaturberei den gleichen Schallgeschwindigkeitsgradienten. Es wird die Vermutung ausgesproche daß durch Anwesenheit von Wasser kleine Schallgeschwindigkeitsänderungen verdec werden. Frielinghaus.

4-339 John E. May jr. Wire-type dispersive ultrasonic delay lines. Trans. Inst. Rac Engrs, N. Y. UE-7, 44-53, 1960, Nr. 2. (Juni.) (Whippany, N. J., Bell Tel. Lal Inc.) Durch Dispersion der Longitudinalwelle in Runddrähten entstehen frequer abhängige Ultraschall-Verzögerungsleitungen. Das Vorhandensein eines Wendepunkt in der Frequenz-Verzögerungs-Charakteristik für den ersten Longitudinalwelle Schwingungstypus gestattet den Entwurf von Laufzeitgliedern mit linear, negativ och positiv gekrümmter Kennlinie. Von zwei praktisch ausgeführten Leitungen werden Meßergebnisse mitgeteilt. Für eine Frequenz von 0,86 MHz ergibt sich auf eine 100 Fuß langen Aluminiumdraht (1,8 mm \varnothing) eine Laufzeit von 6677 μ s, die sich leiner Frequenzänderung von \pm 12% um 435 μ s ändert. Die Verzögerungskennlist positiv gekrümmt, und der Störpegel durch Mehrfachechos und Biegeschwingung liegt bei - 40 dB. Einen ungefähr geradlinigen Verlauf der Verzögerungszeit realisiert zweite Entwurf, bei dem ein 10 Fuß langer Aluminiumdraht für eine Frequenz v 1,56 MHz eine Signalverzögerung von 1218 μ s bringt. Die Laufzeitänderung beträgt einer Frequenzvariation von \pm 10% 369 μ s und der Störabstand - 32 dB.

3-340 M. A. Breazeale and E. A. Hiedemann. Determination of the non-linearity parameter for liquids from optical measurements. Naturwissenschaften 47, 222, 1960, Nr. (Mai.) (East Lansing, Mich. State Univ., Dep. Phys.) In einer kurzen Note weisen Autoren darauf hin, daß der Nichtlinearitätsfaktor bei einer Schallwellenausbreitt mit großer Amplitude in Flüssigkeiten auch durch optische Messungen festgeste

rden kann. Dies ergibt sich aus dem bekannten Zusammenhang zwischen dem fraktionsindex einer Flüssigkeit und ihrer Dichte. Zur Illustration werden die nach ser Methode berechneten Nichtlinearitätsfaktoren für Benzol bei drei verschiedenen mperaturen angegeben. Ungeheuer.

341 P. S. Syrjanow, B. S. Borisow und G. G. Taluz. Die Besonderheiten der Schallauseitung im Metall. Fis. metall. (russ.) 7, 153—154, 1959, Nr. 1. (Orig. russ.)

H. R. Bachmann.

342 J. Clifton Samuels. On propagation of waves in slightly rough ducts. J. acoust. Soc. ner. 31, 319-325, 1959, Nr. 3. (März.) (Lafayette, Ind., Purdue Univ., Div. Engng. i.) Die Ausbreitung akustischer und elektromagnetischer Wellen zwischen zwei atten mit rauher Oberfläche wird theoretisch untersucht. Neben Wänden mit sinusmigen Rauhigkeiten werden auch solche mit statistischen Unebenheiten behandelt.

1. Beyer

- 343 C. K. Stedman. Acoustical damping for linear accelerometers. J. acoust. Soc. ner. 31, 333-337, 1959, Nr. 3. (März.) (Enumclaw, Wash.) Es wird ein akustisches impfungssystem für Beschleunigungsmesser beschrieben, das aus einer Membran, nem Kupplungshohlraum und einem Wirkwiderstand in Form eines Stopfens aus rösem, gesintertem Metall besteht. Das Besondere der Anordnung liegt darin, daß ecks Widerstandsanpassung von Hohlraum und Stopfen das Gas im Hohlraum unter hen Druck gesetzt wird. Die theoretische Frequenzkurve wurde durch Messung beitigt.

 M. Beyer.
- 344 J. M. Proud jr., R. T. Beyer and Paul Tamarkin. Reflection of sound from ranmly rough surfaces. J. appl. Phys. 31, 543-552, 1960, Nr. 3. (März.) (Providence, node, Isl., Brown Univ., Dep. Phys.) Die Reflexion von Wasserschallwellen an vollindig reflektierenden, rauhen, nicht periodischen Oberflächen (z. B. Kork) wird perimentell untersucht. Die Ergebnisse werden mit theoretischen Voraussagen (Theovon Eckart) verglichen.
- 345 R. F. Legget and T. D. Northwood. Noise surveys of cocktail parties. J. acoust. c. Amer. 32, 16-18, 1960, Nr. 1. (Jan.) (Ottawa, Can., Nat. Res. Counc., Div. Build. s.) Vff. haben die Theorie von MacLean über die Akustik von Cocktail Parties exrimentell geprüft. Nach dieser Theorie existiert eine kritische Teilnehmerdichte, von res abhängt, ob eine Party "ruhig" oder "laut" ist. Diese Abhängigkeit konnte loch experimentell nicht bestätigt werden. Dagegen zeigte sich eine geringe Abngigkeit vom Geschlecht der Teilnehmer.
- 346 Robert H. Tanner. Acoustical design and performance of the Stratford (Ontario) tival theatre. J. acoust. Soc. Amer. 32, 232-234, 1960, Nr. 2. (Febr.) (Belleville, Ont., n., North. Electr. Res. Devel. Lab.) Die akustischen Eigenschaften des Stratfordstspieltheaters werden beschrieben. Dieses Theater stellt in seiner Bauweise eine Fortzung griechischer und elisabethanischer Architekturtradition dar. Als Besonderheit die Bühne durch eine halbkreisförmige Rückwand abgeschlossen.
- 347 Helmut J. Ormestad, Robert S. Shankland and Arthur H. Benade. Reverberation ne characteristics of Severance Hall. J. acoust. Soc. Amer. 32, 371—375, 1960, Nr. 3. lärz.) (Cleveland, O., Case Inst. Technol., Dep. Phys.) Nach der Änderung der akustihen Bedingungen in der Severence Hall im Jahre 1958 wurden eine Scrie von Nachhallessungen bei verschiedenen Besetzungszuständen durchgeführt. Die Resultate zeigen genüber dem früheren Zustand bei allen Frequenzen ein merkliches Ansteigen der achhallzeit. Sie beträgt bei mittleren Frequenzen etwa 1,7 s und steigt bei tiefen equenzen bis etwa 2 s an.
- 348 Kozi Sato and Masaru Koyasu. Measurements of the sound absorption coefficient of the sound transmission loss at the Kobayasi Institute of Physical Research. J. acoust. C. Amer. 32, 376—379, 1960, Nr. 3. (März.) (Tokyo, Jap., Kobayasi Inst. Phys. Res.) den letzten Jahren wurden im Institut fünf hallige Meßräume gebaut. Die Abmessung der Räume, ihre Eigenschaften und Verwendungszwecke werden beschrieben.

🥕 Diestel.

Bd. 40

- 4-350 Melvin J. Jacobson. Correlation of a finite distance point source. J. acoust. Somer. 31, 448-453, 1959, Nr. 4. (Apr.) (Troy, N. Y., Rensselaer Polytechn. Inst., De Math.) Ein aus zwei Empfängern bestehendes Korrelationssystem, das zur Ortung ein weit entfernten Quelle bestimmt ist, zeigt die Richtung einer zu nahen Quelle im a gemeinen nicht richtig an. Der auftretende Fehler wird als Funktion der Position duelle berechnet.

 M. Beyer.
- 4-351 T. F. W. Embleton and I. R. Dagg. Accurate coupler pressure calibration condenser microphones at middle frequencies. J. acoust. Soc. Amer. 32, 320-326, 196 Nr. 3. (März.) (Ottawa, Can., Nat. Res. Counc., Div. Appl. Phys.) Die Kalibrierung v Kondensatormikrophonen wird in Kupplern von verschiedenen Volumina, mit Hil kapazitäten verschiedener Größe und bei verschiedenen Einstellungen der Dämpfung leitung durchgeführt. Hierdurch ergeben sich Anhaltspunkte für die Genauigkeit de Einzelbestimmungen. Die Messungen wurden über Zeiträume von 5 Monaten bis 2 Jahren erstreckt. Die gemessene Temperatur- und Druckabhängigkeit verschieden Mikrophone und ihr Äquivalentvolumen infolge der Nachgiebigkeit der Membran werd angegeben.
- 4-352 M. D. Burkhard, E. L. R. Corliss, W. Koidan and F. Biagi. Calibration for carroperated microphones and other reversible transducers. J. acoust. Soc. Amer. 32, 501-50 1960, Nr. 4. (Apr.) (Washington, D. C., Nat. Bur. Stand.) Die Mikrophone werden einer HF-Brückenschaltung betrieben und die bei Betönung des Mikrophons oder Manlegen einer Tonfrequenzspannung an die Mikrophonklemmen resultierende Membra bewegung (über die Kapazitätsänderung) gemessen. Die akustische Admittanz die Mikrophons kann durch Messung von drei Spannungsverhältnissen und durch Berecung der Admittanz des Kupplers berechnet werden. Durch Kombination des Resultat mit dem Druck-Übertragungsfaktor des Mikrophons kann die elektrisch-mechanisc Kopplungskonstante bestimmt werden.
- 4-353 Walter Koidan. Method for measurement of |E'/I'| in the reciprocity calibration condenser microphones. J. acoust. Soc. Amer. 32, 611, 1960, Nr. 5. (Mai.) (Washingto D. C., Nat. Bur. Stand.) Beschrieben wird eine Methode zur Bestimmung des Verhänisses Leerlaufspannung des Mikrophons zu Strom durch den Schallsender. Damit widie bei Kondensatormikrophonen mögliche Kapazitätsmessung auf eine Widerstambestimmung zurückgeführt.
- 4-354 W.F. Cox. Test setup for microphone calibration. J. acoust. Soc. Amer. 32, 508 509, 1960, Nr. 4. (Apr.) (Monrovia, Calif., Chadwick-Helmuth Co.) Die beschriebe Apparatur dient zur überschlägigen Kalibrierung von Mikrophonen nach der Kompa tionsmethode: Das zu kalibrierende Mikrophon und ein kalibriertes Standard-Mik phon werden gleichzeitig betönt und die erzeugten Mikrophonausgangsspannungen einem Zweistrahl-Oszillograph sichtbar gemacht.
- 4-355 William B. Snow. Calibration and rating of microphones. Trans. Inst. Radio Eng N. Y. AU-8, 5-13, 1960, Nr. 1. (Jan./Febr.) (Santa Monica, Calif.) Bei der Kalibrieru von Mikrophonen wird meist der Übertragungsfaktor, d. i. das Verhältnis der v. Mikrophon bei Betönung unter bestimmten Bedingungen erzeugten Spannung z. Schalldruck bestimmt. Die elektrische Impedanz des Mikrophons geht in den Übtragungsfaktor nicht ein. Soll die Impedanz berücksichtigt werden, so kann die v.

349 - 355

likrophon an einem Ohmschen Widerstand erzeugte elektrische Leistung auf die akustiche Leistung im Schallfeld bezogen werden. Die so gewonnene Bezugsgröße ist zwar für ie Rundfunk- und Studiotechnik geeignet, nicht jedoch für kleine Kondensatorikrophone.

-356 Edward J. Burge. On sheared spirals. Amer. J. Phys. 27, 60-61, 1959, Nr. 1. Jan.) (London, Engl., Univ., King's Coll.)

-357 A. B. Pippard. Theory of ultrasonic attenuation in metals and magneto-acoustic scillations. Proc. roy. Soc. (A) 257, 165-193, 1960, Nr. 1289. (6. Sept.) (Cambridge, Iniv., Cavendish Lab.) Es wird die Dämpfung einer Ultraschallwelle durch direkte Vechselwirkung mit den Leitungselektronen eines Metalls berechnet, ohne spezielle nnahmen über die Form der FERMI-Fläche zu machen. Das Problem wird auf eine Berechnung der Ströme zurückgeführt, die in einem stationären Gitter durch Kräfte auf ie Elektronen hervorgerufen werden; durch reale Kräfte entsprechend den elektrischen eldern und durch fiktive Kräfte entsprechend den Störungen durch die fortschreitende challwelle. Die fiktiven Kräfte haben ihren Ursprung in der relativen Bewegung der erschiedenen Teile des Metalls und in der Änderung der Gestalt der Gleichgewichtsorm der Fermi-Flächen als Folge der Gitterdeformation. Es ist angenommen, wie es ür Ultraschallfrequenzen unter 10° Hz zulässig ist, daß die elektrischen Felder dazu ienen, jeglichen Elektronenstrom relativ zum Gitter aufzuheben. Die Dämpfung strebt inem konstanten Grenzwert zu, wenn der Elektronenweg unendlich wird. Nur für reine ongitudinalwellen ist der Grenzwert einfach in der Form; er ist bestimmt durch die AUSSISCHE Krümmung und dem quadratischen Mittelwert des Deformationsparameters und um die Zone der FERMI-Fläche, auf der sich die Elektronen parallel zur Wellenront bewegen. — Um die Lage zu erfassen, die bei einem transversalen Magnetfeld ntsteht, ist die Berechnung auf den Grenzfall ausgedehnt, wenn der freie Weg lang st im Vergleich zu den Elektronen-Umlaufbahnen. In den vorausgesagten Typen des Szillationsverhaltens und in den Grenzwerten für die Absorption bei unbeschränkt achsendem Magnetfeld ähneln die Ergebnisse denen des freien Elektronen-Modells. ind jedoch offene Umlaufbahnen vorhanden, ändert sich das Grenzverhalten; die Aborption der Longitudinalwellen z. B. strebt mit H² nach unendlich.

Frielinghaus.

358 K.L. Zankel. The effect of a progressive ultrasonic wave on a light beam of finite width. Naturwissenschaften 46, 105-106, 1959, Nr. 3. (Febr.) (East Lansing, Mich., state Univ., Dep. Phys.) Angabe der theoretisch ermittelten Endformel für die Lichtnetensität bei Brechung eines Lichtbündels durch eine fortschreitende Ultraschallwelle.

Frielinghaus.

2359 Harmon D. Nine and Norman W. Schubring. Photographic verification of ultraonic plane wave scattering by cylinders. J. appl. Phys. 31, 1274—1278, 1960, Nr. 7. Juli.) (Warren, Mich., Gen. Mot. Corp., Res. Labs.) Mit Hilfe von parallel gebündelten ichtimpulsen, deren Dauer klein gegen die Ultraschallwellenlänge ist, werden Aufnahmen des Schallfeldes eines 3 MHz-Schwingers in Wasser gemacht. Die Schallwellen reffen auf einen längs eingespannten zylindrischen Körper. Es ist möglich, auf den Photographien die einfallende und gestreute Welle getrennt zu verfolgen. Die experimentellen Ergebnisse werden mit theoretisch ermittelten und an einer IBM 704 errecheten Wellenverläufen verglichen und in Übereinstimmung gefunden.

Frielinghaus.

1. G. Mikhailov and V. A. Shutilov. Diffraction of light by the harmonics of an altrasonic wave which is distorted in the course of propagation in a liquid. Soviet Phys. Leoust. 5, 75—78, 1959, Nr. 1. (Jan./März.) (Engl. Übers. aus: J. Acoust. SSSR 5, 7, 1959, Nr. 1.) (Leningrad, State Univ.) Es wird eine Anordnung beschrieben, bei der nit Hilfe der Lichtbeugung die Oberwellen eines Ultraschallstrahles beobachtet werden önnen, die auf dem Wege in einem flüssigen Medium (Wasser) entstehen. Genau senkeht zur Schall-Fortpflanzungsrichtung wird eine Scheibe als akustisches Filter in den challstrahl gebracht. Die Dicke der Platte beträgt ein ganzes Vielfaches der halben Vellenlänge der zu beobachtenden Frequenz, so daß sie für diese durchlässig ist, während

die Grund- und alle anderen Oberwellen total reflektiert werden. Es sind Photographie beigefügt, die die Lichtbeugung der 2. bis 5. Harmonischen demonstrieren. Die Frquenz betrug 583 kHz, die Intensität am Schwinger knapp 20 W/cm² und der Abstar des Filters vom Schwinger 20 bis 50 cm.

VII. Optik

4-361 J. Klebe. Über die Kompensation von Abweichungen der optischen Grundgrößeines beliebigen k-flächigen optischen Systems durch entsprechende Krümmungsänderunge Feingerätetechnik 9, 311-315, 1960, Nr. 7. (Juli.) (Potsdam, Pädagog. Hochsel Inst. theor. Phys.) Es wird ein in der Praxis der Optik-Rechenbüros gelegentlich at tretendes Problem behandelt, Abweichungen der Brennweite sowie der Bildschnittwei und des Abbildungsmaßstabes bei endlichen Objekten, die durch unvermeidba Änderungen bestimmter Konstruktionsdaten eingetreten sind, durch Änderung ein oder mehrerer Flächenkrümmungen wieder auszugleichen. Eine ähnliche Frage — dausgleich von Änderungen der Grundgrößen durch geeignete Dickenänderungen — het Autor früher (vgl. Ber. 39, Nr. 5-232, 1960) untersucht. Wie in diesen früher Arbeiten ergibt sich auch hier, daß die z. T. recht komplizierten exakten Formeln we gehend durch wesentlich einfachere Näherungsformeln ersetzt werden können. Sie auch Roll (Ber. 16, 2398, 1935) und Jensen (Ber. 18, 1056, 1937).

4-362 **H. Vonarburg.** Berechnung reflexionsvermindernder Doppelschichten. Opti Stuttgart 17, 426—433, 1960, Nr. 8. (Aug.) (Aarau/Schweiz, Kern & Co. A. G.) Die heu allgemein üblichen reflexvermindernden Schichten am Übergang Glas — Luft benutz eine Schicht von λ₀/4 Dicke, die nur ein Minimum der Reflexion bei λ₀ hat. Vf. unte sucht die Wirksamkeit von Doppelschichten, die bei passender Wahl der Schichtdick und Brechzahlen 2 Minima der Reflexion besitzen. Es werden für senkrechten Lichtaufall die Formeln für die Brechzahlen und Dicken der beiden Interferenzschichten ageleitet. Für die Berechnung wird die Analogie zwischen diesem optischen Problem und optimalen Energieabgabe eines Generators über eine Hochfrequenzleitung an eine Verbraucher in der elektrischen Übertragungstechnik benutzt. An einem Beispiel be Übergang Luft — Glas wird gezeigt, daß zwei λ/4-Schichten entsprechender Brechzeine bessere Kombination als eine λ/2 und eine λ/4-Schicht ergeben. Jedoch ist im 1. F die Einhaltung der geforderten Brechzahl kleiner als 1,3 für die Grenzschicht geg Luft bisher nicht aus genügend widerstandsfähigem Material möglich.

Rosenbruch

A. Narath und G. Schimmel. Das photographische Auflösungsvermögen als Fun tion von Filmschichtdicke und Objektivapertur. Z. wiss. Photogr. 53, 181-201, 19 Nr. 10/12. (Berlin, Tech. Univ., Inst. angew. Photochem. u. Filmtech.; Frankfurt/ Batelle-Inst.) Mit Versuchsemulsionen verschiedener Art und abgestufter Schichtdie wurde die Auflösungsgrenze in Abhängigkeit von der Objektivapertur für Licht v schiedener Wellenlänge (λ = 366, 435, 546 nm) bestimmt. Die Auflösungsgrenze nim mit wachsender Schichtdicke stark zu, d. h. das Auflösungsvermögen wird schlech und ist nur bei ultraviolettem Licht von ihr fast unabhängig. Der Anstieg ist besond groß bei großen Aperturwerten. Bei Werten der numerischen Apertur < 0,28 se sich die Auflösungsgrenze der Aufnahme additiv aus den Werten für das photographis Material und für das Objektiv zusammen. Bei Aperturwerten zwischen 0,28 und überwiegt der Einfluß der photographischen Emulsion, und die Beugungserscheinun bei der optischen Abbildung sind zu vernachlässigen. Bei noch größeren Aperturwer steigt die Auflösungsgrenze sehr stark an, verursacht durch den Einfluß der sch auffallenden Strahlen in Verbindung mit der endlichen Schichtdicke der Emulsi Es wird gezeigt, daß sich die experimentell gefundenen Kurven theoretisch gut deu lassen hinsichtlich des Einflusses von Objektiv und photographischem Material auf Auflösungsgrenze der Aufnahme. Ferner wird theoretisch abgeleitet, daß die RIESER verwendete Größe der "Konturenschärfe" und die "Auflösungsgrenze" einnder direkt proportional sind. Der Proportionalitätsfaktor ist angenähert 4, wie aus iner größeren Anzahl von Vergleichsmessungen hervorgeht. Es wird wegen der vorandenen Proportionalität zwischen Auflösungsgrenze und "Konturenschärfe" empfohen, den bisherigen Begriff "Auflösungsgrenze" bzw. "Auflösungsvermögen" beizu-ehalten und Begriffe, die den Wortbestandteil "Schärfe" enthalten, den Größen vorubehalten, die wie die Größe "Acutance" den visuellen Schärfeeindruck erfassen sollen.

A. Lohmann. Kontrastwiedergabe und Bildqualität gemessen mit dem Doppelstern--364 Terfahren. Hausmitt. Schneider 12, 97-111, 1960, Nr. 9/10. (Braunschweig.) Ein TEMENS-Stern in der Objektebene wird durch das Testobjektiv abgebildet auf einen weiten SIEMENS-Stern in der Bildebene. Dahinter wird der gesamte Lichtstrom genessen. Dieses Verfahren (Ullrich: Ber. 36, 2140, 1957) eignet sich zum Finden der esten Einstellebene und anderer Daten. Stimmt diese Einstellebene mit der subjektivesten Ebene überein, die man durch Vergleich von photographischen Bildern aus verchiedenen Ebenen findet? Zur Klärung dieser Frage wird dieses Testverfahren theoreisch behandelt mit dem Ergebnis: der photoelektrische Meßwert ist ein Mittelwert der Contrastübertragungsfunktion des Testobjektivs. Ein Gewichtsfaktor berücksichtigt lie niedrigen Ortsfrequenzen stärker als die höheren. Das ist sinnvoll im Hinblick auf den Gesamtübertragungsprozeß vom Motiv bis ins Hirn des Betrachters einer Photoraphie.

A. Förstner und H. Köhler. Die Kontrastübertragungsfunktion von Feldstechern. Optik, Stuttgart 17, 434-441, 1960, Nr. 8. (Aug.) (Oberkochen.) Vff. geben ein einfaches Verfahren zur Messung der Kontrastübertragungsfunktion von Prismenfernrohren an. Nach dem Vorschlag von LOHMANN wird ein Moiré-Gitter in der Bildebene eines Kollinators als Sinustest benutzt, und nach Durchgang durch den Prüfling wird mit einem Hilfsobjektiv das Testbild wieder auf einen Spalt gesammelt, hinter dem ein Sekundärlektronenvervielfacher und Galvanometer den Lichtstrom, der durch den Spalt geht, inzeigt. Durch mechanisches Verschieben des Testes senkrecht zur optischen Ächse und Indern der Gitterkonstante, kann so Punkt für Punkt die Kontrastübertragungscurve ausgemessen werden. Die Messungen an zwei Zeiß-Feldstechern 8 imes 30 ergeben in ler Achse ein Auflösungsvermögen von 80" bei 20% Kontrast am Okular.

4-366 Wilfried Eckhardt. Spektraluntersuchungen im Gebiet um 1 mm Wellenlänge. VI. Die Konstruktion eines Impuls-Massenstrahlers und seine Eigenschaften als spektroskopische Strahlungsquelle. Z. Phys. 160, 121-144, 1960, Nr. 2. (3. Okt.) (Frankfurt, Univ., Phys. Inst.) In eingehender Untersuchung werden Bedingungen entwickelt, unter denen mit dem Massenstrahlerprinzip nach GLAGOLEWA-ARKADIEWA optimale Emissionsverhältnisse und erhöhte Anzeigeempfindlichkeit erreicht werden. Der hiernach gebaute Impuls-Massenstrahler, dessen Einzelheiten beschrieben werden, liefert in Verbindung mit einem Kristalldetektor als Empfänger und entsprechend angepaßter Impulsgleichrichtung im Wellenlängengebiet λ $\gtrsim 1,5$ mm eine um mehr als eine Größenordnung höhere "spektroskopische Informationsleistung" als die sonst gebräuchliche Quecksilberlampe mit integrierendem thermischen Empfänger. Unterhalb 1 mm Wellenlänge bleibt die Hg-Lampe noch überlegen. Leo.

4-367 Rodica Mănăilă. Amélioration du pouvoir séparateur d'un spectrographe par intervention dans l'image intermédiaire. Rev. Phys., Bucarest 5, 33-39, 1960. Nr. 1. Bucarest, Univ., Lab. Opt. Elect.) Vf. zeigt rechnerisch, daß das Auflösungsvermögen eines Prismenspektrographen erhöht wird, wenn in der Nähe des Kollimators von den Beugungsbildern der Lichtquelle das zentrale Beugungsbild durch eine schmale Maske mehr oder weniger geschwächt wird. Bestätigung durch einige Versuche.

Bartholomeyczyk.

- 4-368 S. G. Rautian. Zur Theorie des Echelette's. Opt. i Spektrosk. 7, 564-566, 1968. Nr. 4. (Orig. russ.) Die durch die Doppelreflexion innerhalb eines Striches des Echelet Gitters hervorgerufenen Änderungen der Intensitätsverteilung werden berechnet.
- 4-369 P. M. Malyscheff, W. B. Skidan, E. E. Fradkin und M. P. Tschaika. Wirksamk eines Monochromators bei lichtelektrischer Registrierung. Opt. i Spektrosk. 7, 780-78, 1959, Nr. 6. (Orig. russ.) Indem außer der Beugung dem Verhältnis der Signalstär zum Rauschen Rechnung getragen wird, werden die Breiten des Ein- und des Austrit spaltes berechnet, bei denen eine optimale Trennung zweier gleichstarker monoch matischer Linien erreicht wird.
- 4-370 R. J. Ssemenoff, E. E. Fradkin und M. P. Tschaika. Die Apparatefunktion ein Fabry-Perot-Spektrometers mit rechteckiger Blende. Opt. i Spektrosk. 7, 785-788, 198. Nr. 6. (Orig. russ.) Die durch die durch das Zusammenwirken der runden Öffnung ovorgeschalteten Monochromators und des Ausblendespaltes entstehende spaltförmerechteckige Öffnung bedingte Intensitätsverteilung im Bilde einer monochromatisch Linie wird berechnet.
- 4-371 Wilhelm Bartholomeyczyk. Zur Verwendung des Wollastonprismas als Strateiler in Differentialinterferometern. Z. Instrum.-Kde 68, 208-213, 1960, Nr. 9. (Sep (Braunschweig, Phys.-Tech. Bundesanst.) Die bei der Verwendung von Wollaston-Prismen als Strahlteiler in differentialinterferometrischen Anordnungen auftreter Verzerrungsdeformation wurde berechnet. Die Verzerrungsdeformation ist von 2-Ordnung, wenn die Wollaston-Prismen so geneigt in den Strahlengang gestellt werd daß der Divergenzwinkel des Wollaston-Prismas sein Minimum annimmt. Hinweis a Vorteile bei Verwendung kombinierter Prismen.
- 4-372 U. Gerhardt. Bemerkungen zum Sterninterferometer nach Michelson. Feingerätechnik 9, 337-340, 1960, Nr. 8. (Aug.) (Berlin.) Beim MICHELSONSCHEN Sternint ferometer wird zur Messung des Abstandes eines Doppelsterns bzw. des Durchmess eines Sterns der Spaltabstand des Doppelspalts so eingestellt, daß die im Bild auftret den Interferenzen die größte Verwaschenheit zeigen. Vf. benutzt als Einstellkriteridas von Lau und Krug (Berlin, 1957) angegebene Verfahren der Schwärzungsplast Mit dem verbesserten Verfahren, wobei auch die Veränderung des Spaltabstands dweine Veränderung der Wellenlänge ersetzt wurde, wurden u. a. Durchmesser von glüh den Drähten gemessen.
- 4-373 Erich Helbig und Horst Klaus. Einige Untersuchungen über die Ermüdung var Temperaturabhängigkeit von Photoelementen. Jena. Jb. 1959, Teil II, S. 441-473. wurde die zeitliche Änderung des Photostromes von Selenphotoelementen zweier Jena hergestellter Typen in Abhängigkeit von der Beleuchtungsstärke (bis 12000 sowie bei verschiedener Temperatur und bei Beleuchtung mit Normlichtart A (2850° und anderer Spektralzusammensetzung sowie nach kurzer Erholung gemessen. zeigte sich eine Vergrößerung und eine Verkleinerung der Photoströme i. a. im Bere einiger Prozente pro 2 Stunden Belastung.
- 4-374 N. A. Pankratoff und L. M. Winogradowa. Über die größtmögliche Empfindlicheit eines selektiven optisch-akustischen Empfängers. Opt. i Spektrosk. 7, 789-7, 1959, Nr. 6. (Orig. russ.) Die Empfindlichkeit eines selektiven optisch-akustisc Empfängers mit einem optischen Mikrophon wurde auf experimentellem Wege untersud Die Zeitkonstante wurde geschätzt, das Spektrum des Rauschens aufgenommen, spektrale Empfindlichkeit und die Stärke des mittleren quadratischen Rauschens stimmt.
- 4-375 W. Krug. Äquidensitometrie. Verfahren zur zweidimensionalen Photometrie zur Analyse von Bildern. II. Arch. tech. Messen (V 434-9) 1959, S. 227-230, Nr. 2 (Nov.) (Berlin-Adlershof.) In Fortsetzung des früher erschienenen Berichtes (ATR 434-8) beendet Vf. seinen Überblick über die Äquidensitometrie mit den Abschnitt

Das Schwärzungsplastikverfahren [a) Die photographische Schicht als Silbergebirge, eindimensionale Photometrie, c) zweidimensionale Photometrie]. 6. Elektronische rfahren [a) Allgemeines, b) Äquidensographie, c) Äquidensoskopie]. 7. Vergleich der zelnen Verfahren.

- 376 A. C. Menzies. A study of atomic absorption spectroscopy. Analyt. Chem. 32, 8-904, 1960, Nr. 8. (Juli.) (London, Hilger & Watts Ltd.) Prinzip, Methode sowie aktische Technik der sich an die Flammenphotometrie der Alkaliund Erdalkalitalle anschließenden "atomaren Absorptions-Spektroskopie" werden besprochen.

 Bartholomeyczyk.
- 377 Thomas Gehrels and Thomas M. Teska. A Wollaston photometer. Publ. astr. c. Pacif. 72, 115—122, 1960, Nr. 425. (Apr.) Das Wollaston-Photometer, das im azelnen beschrieben wird, dient für Polarisationsmessungen in Verbindung mit dem "-Teleskop des McDonald-Observatoriums bei sehr verschiedenen Wellenlängen. Die cktiven Wellenlängen der Filter (im wesentlichen sechs) reichen von 0,325 μm bis 990 μm. Es wird bei jeder Farbe in sechs Polarisationsrichtungen gemessen; der wahrheinliche Fehler beträgt ± 0,07 Prozent Polarisation.—Es wird eine Beschreibung des duktionsverfahrens gegeben.
- 378 J. G. Frischmann. Registrierung von Nordlichtspektren mit Hilfe eines lichtktrischen Spektrometers. Opt. i Spektrosk. 7, 574-575, 1959, Nr. 4. (Orig. russ.) Beireibung eines lichtelektrischen registrierenden Sepktralphotometers zur Aufnahme r Spektren der Nordlichter. v. Keussler.
- 379 W. N. Zwetkoff und W. S. Skaska. Ein visueller Trübungsmesser. Opt. i Speknsk. 7, 808-812, 1959, Nr. 6. (Orig. russ.) Beschreibung einer Konstruktion und ihrer irkungsweise. Als Beispiel werden Meßergebnisse an Polystyrol im Benzol angeführt, e mit den in der Literatur angeführten Daten gut übereinstimmen.

v. Keussler.

- 380 B. S. Starobogatoff. Über die Beugung am Austritt eines optischen Wellenleiters. pt. i Spektrosk. 7, 823-824, 1959, Nr. 6. (Orig. russ.) Es wurden experimentelle rugungsbilder beim Austritt aus einem Kanal erhalten. v. Keussler.
- 381 J. N. Skljarewski, E. T. Werchowtzewa und G. N. Poljakowa. Zur Frage des bei r Dickenmessung dicker Schichten mit Hilfe der Interferenzmethode auftretenden "Noniusfektes". Opt. i Spektrosk. 7, 566-568, 1959, Nr. 4. (Orig. russ.) Durch rechnerische berlegungen wird gezeigt, daß der im Zusammenfallen der k-ten Linie des ersten mit (k + 1)-ten Linie des zweiten Interferenzsystems bei Vorhandensein eines Phasenrunges bei Reflexion an den metallisierten Oberflächen bestehende Effekt nicht istande kommen kann, was jedoch infolge der Kleinheit der Wellenlängendifferenz r zusammenfallenden Linien dennoch die genaue Dickenmessung nicht behindert. Is Beispiel wird das Ergebnis der Messung der Dicke einer ZnS-Schicht angeführt. v. Keussler.
- 382 G. D. Malyughinetz. Das Sommerfeldsche Integral und die Lösung von Beugungstgaben in Winkelgebieten. Ann. Phys., Lpz. 6, 107-112, 1960, Nr. 1/2. (Moskau, kad. Wiss., Akust. Inst.) Es wird nachgewiesen, daß ein von SOMMERFELD bei der ösung eines Beugungsproblems gefundenes Integral die analytische Fortsetzung des Ourterschen Integrals für ein keilförmiges Gebiet ist. Auf Grund dieses Zusammenuges lassen sich einige Umkehrformeln gewinnen, die zur Lösung verschiedener Beutugsaufgaben für Winkelgebiete verwendet werden können.

 Päsler.
- 383 B.E. Read. A light-scattering study of preferential adsorption in the system benne + cyclohexane + polystyrene. Trans. Faraday Soc. 56, 382-390, 1960, Nr. 3. Nr. 447.) (März.) (Cambridge, Mass. Inst. Technol., Dep. Chem.) Es wird die selektive dsorption von Makromolekeln in Mischungen von Lösungsmitteln an Hand der Utermodell-Theorie von Polymerlösungen diskutiert. Die Untersuchung der Lichtreuung im System Benzol-Cyclohexan-Polystyrol als Anwendung der theoretischen

Betrachtungen zeigt, daß zur Anpassung an die Ergebnisse ein ternärer Wech wirkungsparameter χ₁₂₃ notwendig ist. In Lösungen mit nur zwei Komponenten fir man diesen nicht.

- 4-384 C.V. Raman. Caustics formed by diffraction and the geometric theory of diff tion patterns. Proc. Indian Acad. Sci. (A) 49, 307—317, 1959, Nr. 6. (Juni.) (Bangal Raman Res. Inst.) Die Fresnelschen Beugungsbilder von elliptischen Scheiben Öffnungen werden als ein schönes Beispiel angeführt, für die Gültigkeit der geometrisc Methode für die Ableitung der Beugungsbilder, die der Vf. und seine Mitarbeite früheren Arbeiten gegeben haben. Die Beugungserscheinungen auch beim Übergang Fraunhofferschen Beugung werden experimentell an Photographien demonstriert mit den theoretischen Voraussagen verglichen.
- 4-385 A. Fingerland. Method of moments in analysis of X-ray diffraction lines. Cz J. Phys. (B) 10, 233-239, 1960, Nr. 3. (Prague, Acad. Sci., Inst. Tech. Phys.) Bei Analyse von Röntgen-Beugungslinien führt die Behandlung des Problems der expmentellen Linienverbreiterung und der Trennung der Komponenten eines Dubletts

die Lösung des Faltungsintegrals $h(x) = \int_{-\infty}^{+\infty} f(y) g(x - y) dy$, wobei h(x) die beobach

Intensität einer Probe unter Berücksichtigung der physikalischen Linienverbreiter ist, f(y) das Linienprofil ohne physikalische Linienverbreiterung (Instrumentfunkt und g(x) die Beugungsfunktion, d. h. das Intensitätsprofil der Probe, das man de Instrumenteinfluß beobachten würde. Statt der bisher üblichen Methode der FOUR Analyse wendet Vf. die aus der Theorie der LAPLACE-Transformationen stamme "Methode der Momente" an, welche genauer und mathematisch einfacher ist. statistische Charakter der Berechnungen wird betont. Schniederman

4-386 V. Syneček and M. Simerská. Rapid graphical determination of the radial in sity distribution of the small-angle scattering of X-rays from the measured data. Cz J. Phys. (B) 10, 240-246, 1960, Nr. 3. (Prague, Acad. Sci., Inst. Tech. Phys.) Vff. ge für die bei der Schlitzkorrektur in radialsymmetrischen Kleinwinkelbeugungsmus

auftretende Integralgleichung für die wahre radiale Intensität J (x) $= \int_{-\infty}^{+\infty} i(t_0)$ I ((2)

- t₀²)^{1/2} dt₀, welche die Linienverzerrung infolge der Strahlhöhe beschreibt, ein graphis Berechnungsverfahren an. Die Genauigkeit des Verfahrens wird an einem Bei untersucht. Außerdem wird gezeigt, daß die radiale Intensitätsverteilung im Priauch aus den Werten der Meßkurve bestimmt werden kann. Schniederman
- 4-387 D. M. Kheiker, I. E. Konstantinov and V. A. Alekseev. The use of scintilla counter in X-ray structure analysis. Soviet Phys.-Cryst. 4, 48-53, 1960, Nr. 1. (Engl. Übers. aus: Kristallografija 4, 54, 1959, Nr. 1.) (Moskau, Engng and Phys. I Es wird eine Anordnung zur Aufnahme von Röntgenbeugungsdiagrammen angege die an Stelle eines Zählrohres einen Szintillationszähler mit Differentialdiskrimir verwendet.
- 4-388 S. Kielich. A molecular theory of light scattering in gases and liquids. Acta polon. 19, 149-178, 1960, Nr. 2. (Poznań, Acad. Sci., Inst. Phys.) H. Ebe
- 4–389 W. Neuland. Lichtbrechung und Dispersionszahlen optischer Gläser im sichtt und angrenzenden unsichtbaren Spektralgebiet. Feingerätetechnik 9, 292–310, Nr. 7. (Juli.) (Jena, VEB Glaswerk Schott & Gen.) Vf. bringt einen vollständ Katalog der z. Z. im Jenaer volkseigenen Glaswerk serienmäßig hergestellten optis Gläser mit Angabe der Brechzahlen für 15 Wellenlängen vom IR (1128,7 nm) bis UV (356,0 nm), 14 Teildispersionen und 10 relativen Teildispersionen. Die Anggestatten auch, als Hauptbrechzahl ne zu wählen. Nur bei sehr wenigen Gläsern trunterschiede von 1·10-5 gegenüber den früheren Katalogen in einigen Brechzauf. Neben Angaben über die benutzte Meßmethode werden einige graphische stellungen relativer Teildispersionen und der Teildispersionen selbst gebracht einen Anhaltspunkt über die Sicherheit der Angaben ermöglichen. Zum Schluß wird eine Fehlertheorie gebracht.

- 390 W. Wardzyński and W. Giriat. Optical and photoelectric properties of thin CdSe yers. Bull. Acad. polon. Sci. (math. astr. phys.) 8, 325-332, 1960, Nr. 5. Es werden ebwerte für den Brechungsindex (~ 3) sowie für den spektralen Reflexions- und Abrotionsverlauf zwischen 0,5 und 1 µm mitgeteilt, die an dünnen, durch Verdampfen Vakuum hergestellten CdSe-Schichten gefunden wurden. Daraus wird der Verlauf se Photostromes als Funktion der Lichtwellenlänge und der Schichtdicke abgeleitet, enso die Abhängigkeit dieser Funktion von der Temperatur und der Belichtungsquenz bei modulierter Einstrahlung.
- 391 B.V. Ioffe. Determination of the index of refraction of volatile liquid mixtures means of the Pulfrich refractometer. Sh. fis. Chim. 34, 1133-1135, 1960, Nr. 5. (Leninad.)

 H. Ebert.
- 392 Sekiko Ogawa and Syoten Oka. Theory of electric birefringence in dilute solutions tobacco mosaic virus. J. phys. Soc. Japan 15, 658-668, 1960, Nr. 4. (Apr.) (Tokyo, etropol. Univ., Fac. Sci., Dep. Phys.)

 Behnsch.
- 393 A. S. Toropetz. Untersuchung der diffusen Reflexion von Pulvern bei diffuser gleuchtung. Opt. i Spektrosk. 7, 803-807, 1959, Nr. 6. (Orig. russ.) Mit Hilfe einer ektralphotometrischen Anordnung, deren wesentlicher Teil aus einer innen mit hwefelsaurem Barium bedeckten Hohlkugel besteht, wurde die diffuse Reflexion weißer id farbiger Pigmentpulver und ihrer Mischungen bei Beleuchtung mit diffusem Licht utersucht. Es wird gezeigt, daß zwischen der Pigmentkonzentration und der Differenz dem Gemisch und dem reinen Pigment entsprechenden Helligkeit eine lineare bhängigkeit besteht. Die Ergebnisse werden diskutiert und die beobachteten Erheinungen gedeutet.
- 394 M. Iwata, S. Katsube and T. Fukuda. Reflectivity curves by multiple layers of ternating refractive indices on image basis and Lippmann photography. Sci. of Light ap.) 7, 33—44, 1958, Nr. 2. (Aug.) (Osake, Indust. Res. Inst.) In Fortsetzung einer üheren Arbeit (M. IWATA, Ber. 35, 2525, 1956) werden die Reflexionskurven eines uderen Typs von Mehrfachschichten mit wechselnden Brechungskoeffizienten berechtt. ("Wechselnde Schichten auf Bild-Basis", womit gemeint ist, daß die Brechungsbeffizienten auf folgende Weise wechseln: n₁, n₂, n₂, n₁, n₁, n₂, n₂, n₁, n₂) Die Beschung erfolgt an Hand einer elektrischen Analogieschaltung. Optisch ähnelt der atersuchte dem früher beschriebenen Mehrschichtentyp ("wechselnde Schichten auf erativer Basis", d. h. Reihenfolge der Brechungsindizes: n₁, n₂, n₁, n₂... n₁, n₂) in vieler insicht, jedoch ist die Reflexionskurve beim ersten asymmetrisch, während sie beim tzteren symmetrisch ist. Die Reflexionskurve von LIPPMANN-Photographien besitzt ieselbe Charakteristik wie diejenige der Mehrfachschichten "auf Bild-Basis".

Vieth.

- -395 N. A. Wlasjenko. Untersuchung des Eigenabsorptionsspektrums von Zinksulphid. pt. i Spektrosk. 7, 511—517, 1959, Nr. 4. (Orig. russ.) ZnS-Schichten wurden im Vakuum uf Glas- und Quarzplatten aufgedampft und ihre Durchlässigkeit im Spektralbereich 20—600 nm sowie die Temperaturabhängigkeit im Gebiet 110—500°K untersucht. Die rgebnisse werden diskutiert.
- -396 Wan-Si-Fu, W. P. Ssilin und E. P. Petissoff. Über die optischen Eigenschaften challischer Häute im Bereich des anomalen Skin-Effekts. Opt. i Spektrosk. 7, 547—551, 959, Nr. 4. (Orig. russ.) Die optischen Eigenschaften leitender Häute werden einer teoretischen Betrachtung unterzogen in der Voraussetzung, daß die durch diffuse treuung der Elektronen an der Obersläche des Leiters bedingten Verluste verschwindend klein sind.
- -397 M. P. Lissitza und N. G. Zwjelych. Optik dünner Schichten. V. Eigenschaften des Miziums. Opt. i Spektrosk. 7, 552—557, 1959, Nr. 4. (Orig. russ.) Die Durchlässigsits- und die Reflexionskoeffizienten wurden für vier Wellenlängen des sichtbaren pektrums bei Schichtdicken von 0 bis 1200 Å gemessen und Durchlässigkeitskurven onstruiert. Bei größeren Schichtdicken wurden die Brechungsexponenten bestimmt. in Erscheinung der Alterung wurde teilweise untersucht.

- 4-398 Günter Hoff. Ein neues Verfahren zur Messung der optischen Konstanten der Dicke dünnster Metallschichten. Diss. Univ. Kiel, 1959.

 H. Ebert
- 4-399 A. Thomson, W. J. Hooker and S. S. Penner. Infrared absorptivities and emivities of gases. J. appl. Phys. 30, 124, 1959, Nr. 1. (Jan.) (Pasadena, Calif., Inst. Techn Daniel a. Florence Guggenheim Jet Propuls. Center.) Es wird ein Auszug aus umfareichen, noch nicht veröffentlichten Arbeiten über die theoretische Behandlung Absorptions- und Emissionsvermögens von Gasen im infraroten Spektralbereich geget Für einige spezielle Formen von Schwingungsbanden werden Ausdrücke für mitt Absorptionskoeffizienten angeführt.
- 4-400 D. Olfe and S. S. Penner. Relation between gas absorptivities and emissivit J. appl. Phys. 30, 125, 1959, Nr. 1. (Jan.) (Pasadena, Calif., Inst. Technol., Daniel Florence Guggenheim Jet Propuls. Center.) In der kurzen Mitteilung werden ber vorliegende theoretische Betrachtungen über die Beziehungen des Absorptions-Emissionsvermögen von Gasen durch Einführung einer willkürlichen Intensitz verteilungsfunktion ergänzt.
- 4-401 A. Mookherji and N. S. Chhonkar. Light absorption in paramagnetic ions state of solution. I. Cupric ions. Indian. J. Phys. 33, 74-88, 1959, Nr. 2. (Febr.) (As Coll., Phys. Labs.) Wäßrige Lösungen von 18 verschiedenen Kupfer(II)-Salzen wer im Wellenlängenbereich von 390 nm bis 1 μm untersucht. Sie zeigen eine ausgeprä Bande, die für die betreffenden Salze zwischen 811 nm und 618 nm liegt. Die Ergebn werden bezüglich der gefundenen magnetischen Momente und der g-Werte des Cu Ions diskutiert. Die berechneten Kovalenzfaktoren lassen schließen, daß die mittle magnetischen Momente bei den Sulfaten, Chloriden und Nitraten einander gleich s aber beträchtlich verschieden in Acetat, Aminen und Propionaten. Hier besteht Kovalenzfaktor aus zwei Gliedern, die von der Überlappung der 3 d-Elektronen σ- und π-Bahnen der umgebenden Atome herrühren.
- 4-402 Ernst Feldtkeller. Zum Energieumsatz bei röntgenphotochemischen Prozesser KBr-Kristallen. J. Phys. Chem. Solids 4, 50–57, 1958, Nr. 1/2. (Stuttgart, T. 2. Phys. Inst.) Es wird der in Wärme umgesetzte Anteil γ der absorbierten Röntgenergie bestimmt. Durch Vergleich mit einer Bleiprobe ($\gamma=100\%$) wird am rei KBr-Kristall $\gamma=90\%$ gefunden. Ein hydrierter KBr-Kristall zeigt nur zu Beginn Röntgenbestrahlung ein um 3% kleineres γ . Nach dem gleichen Verfahren gewont γ -Werte bei Lichtabsorption in der F-Bande des KCl werden mitgeteilt. Sie ergär den von BECKER und PICK gefundenen Fluoreszenzanteil dieses Prozesses zu 100%. F. Fische
- 4-403 Hans Stephani. Fokale und extrafokale Abbildung von eindimensionalen Objet Jena. Jb. 1959, Teil II, S. 271-289. Es wird eine Formulierung für die Abbildeines eindimensionalen Phasen- und Amplitudenobjektes bei parallelstrahliger leuchtung verschiedener Einfallsrichtung in die Bildebene eines mikroskopist Objektives gegeben und für übliche symmetrische Verhältnisse ausgewertet. Es sich, daß das kontrastreichste Bild nicht immer bei fokaler Einstellung zu erwarter Bei fokaler Einstellung entsteht das schärfste Bild, wenn die Beleuchtungsape gleich der halben Objektivapertur ist. Bei Veränderung von Phase und Amplitude in hinteren Objektivbrennebene (Phasenkontrastverfahren) ergeben sich für k Phasenobjektive dieselben Resultate wie mit den Methoden des Vektordiagran dagegen für große Phasenobjektive Abweichungen. Die Untersuchungen stellen Erweiterung bisheriger Ergebnisse auf den Fall endlicher Objektivapertur dar.
- 4–404 J. Kaczér and R. Gemperle. The thickness dependence of the domain structure of magnetoplumbite. Czech. J. Phys. (B) 10, 505–510, 1960, Nr. 7. (Prague, Acad, Inst. Phys.) Am hexagonalen PbFe $_{12}O_{19}$ werden mit BITTER-Streifen und FARA Effekt Bereichstrukturen in Abhängigkeit von der Dicke d des Kristalls untersucht Strukturen sind parallel zur hexagonalen c-Achse parallele Streifen, quer dazu konzierte Muster, die erst bei Dicken von 10 μ m und darunter einfacher werden. Sie

enen von BaFe₁₂O₁₉ ähnlich. Die Bereichgröße ist für d \geq 10 m μ proportional zu d^{1/2}, ährend unter 10 μ m der Exponent etwas größer ist. Im ersten Bereich ist also die Abängigkeit vorhanden, die die Theorien von Landau und Lifschitz sowie Kittel verlagen. Danach kann aus den Meßergebnissen die Bloch-Wand-Energie γ = 4,82 erg/cm² und die Konstante der Austauschenergie A = 0,66 · 10⁻⁶ erg/cm berechnet werden.

Hellbardt.

- 405 B. W. Bokuj und F. J. Fedoroff. Lichtausbreitung in absorbierenden magnetischktiven isotropen Medien und kubischen Kristallen. Opt. i Spektrosk. 7, 558-561, 1959,
 sr. 4. (Orig. russ.) Die Ausbreitung ebener elektromagnetischer Wellen in einem isoropen absorbierenden elektrisch und magnetisch aktiven Medium wird einer Betrachung unterzogen. Es wird gezeigt, daß bei Berücksichtigung der magnetischen Glieder
 er optischen Aktivität ein Rotationsdichroismus stattfinden muß. v. Keussler.
- -406 V. L. Ginzburg. Certain theoretical aspects of radiation due to superluminal notion in a medium. Soviet Phys.-Uspekhi 2, 874-893, 1960, Nr. 6. (Juni.) (Engl. Übers. us: Usp. Fiz. Nauk 69, 537, 1959.)

 V. Weidemann.
- 4-407 J. I. Gerlowin. Das optisch-akustische Phänomen im ultravioletten Teil des pektrums. Opt. i Spektrosk. 7, 571—572, 1959, Nr. 4. (Orig. russ.) Das optisch-akutische Phänomen wurde bei Verwendung einer Wasserstofflampe mit Flußspatfenster kurzwellige Durchlässigkeitsgrenze ≈ 1200 Å) an Stickstoff, Sauerstoff und Acetylen v. Keussler.
- 4-408 **Helmut Muntenbruch.** Die Schülersche Hohlkathode als Lichtquelle für Stark-Afektuntersuchungen und Hilfsmittel bei der Thermoanalyse von Zink. Diss. Univ. Kiel, 1959. H. Ebert.
- 1-409 Wolfgang Naundorf. Die Möglichkeiten des Einsatzes von Wärmeschutzfiltern und Kaltlichtspiegeln in Projektionsgeräten. Jena. Jb. 1959, Teil II, S. 290-299. Bezogen auf gleiche in einem Diapositiv bei Projektion absorbierter Energie wird die Steigerung der Lichtleistung untersucht, die durch Zwischenschalten von Farbglassittern verschiedener Dicke mit starker Extinktion oberhalb 800 nm, ferner mit im nahen UR reflektierenden Interferenzfiltern und mit Jaltlichtspiegeln möglich ist. So kann bei Licht von 3100° K Farbtemperatur mit 5 mm dickem Farbglasfilter die Lichtleistung auf das 10,43 fache bei 15,6 mal höherer Lampenleistung gesteigert werden. Bei Beleuchtung mit Beck-Bogen (4800° K) ist die mögliche Leistungssteigerung geringer entsprechend der günstigeren Spektralzusammensetzung des Lichtes.
- t-410 M. B. Purvis, G. V. Deverall and D. R. Herriott. Optics and photography in the flying spot store. Bell Syst. tech. J. 38, 403-424, 1959, Nr. 2. (März.) Es wird das aboratoriumsmodell eines photographischen Speichers beschrieben und gezeigt, daß ler Bau eines vielfachen optisch-photographischen und permanenten Gedächtnisses nöglich ist. Die mit der Konstruktion des Speichers zusammenhängenden optischen und photographischen Probleme werden diskutiert.
- 411 J. F. Hamilton and L. E. Brady. Print-out process in photographic emulsion trains. J. appl. Phys. 31, 609-610, 1960, Nr. 3. (März.) (Rochester, N. Y., Eastman Kodak Co., Res. Labs.) Fremdkörpereinschlüsse in Silberhalogenkristallen erzeugen Spannungen und dadurch plastische Deformationen der Kristalle. Prismatische Veretzungen bilden sich dabei an der Grenzfläche von Kristall und Einschluß und breiten ich von dem Teilchen in [110]-Richtung mit vernachlässigbarer Neigung aus. Es enttehen also prismatisch, von einem Einschluß ausgehende Versetzungen. Dieser Mehanismus gilt auch für Silberteilchen, die durch Photolyse gebildet werden. Vfl. wüfen dies durch elektronenmikroskopische Untersuchung an Kohleabdrücken von silberhalogenkörnern, die stark mit ultraviolettem Licht bestrahlt worden sind. In inem flachen photographischen Korn liegen sechs der prismatischen Versetzungen varallel zu den großen Flächen und durchstoßen die Seitenflächen, während je drei die über- und Unterfläche des Kristalls in dreiecksförmiger Anordnung durchstoßen.

Vieth.

Jedes innere Silberteilchen verursacht also in den großen Oberflächen drei Vorsprüng wobei die Seitenlänge der von diesen gebildeten Dreiecke durch den Abstand die Silberteilchens von der Oberfläche bestimmt wird. Die konstante Größe der Dreiecken einem Korn zeigt, daß sich alle inneren Silberteilchen auf einer, manchmal auch zweinneren Ebenen bilden, die parallel zu den großen Kristallflächen liegen. In 95% duntersuchten Körner befinden sich die Ebenen der Silberteilchen in der zentralkornhälte. Daher ist zu vermuten, daß die Zwillingsebene, die in solchen flach Körnern existiert, eine günstige Stelle für die Bildung der Silberteilchen darstellt.

4-412 H. Tellez-Plasencia. Introduction à la gammagraphie. I. Lois générales. Eff. d'absorption directe des photons gamma incidents. Sci. Industr. photogr. (2) 31, 49-51960, Nr. 2. (Febr.) Vf. untersucht theoretisch die Wirkung von γ-Strahlen auf phot graphische Emulsionen. Es wird wie bei früheren Arbeiten über die Wirkung v Röntgenstrahlen durch Rechnung die wahrscheinlichste Zahl von Emulsionskörnern b stimmt, die von Photonen bekannter Energie getroffen werden. Diese Zahl ist mit expe mentellen Werten zu vergleichen und aus dem Verhältnis der beiden Zahlen der Ant der entwickelbaren Körner unter den getroffenen Körnern abzuleiten. Möglichst s auch auf die minimale Energie geschlossen werden, die zum Erreichen einer Schwe der Entwickelbarkeit notwendig ist. Folgende Daten müssen der Rechnung zugrun gelegt werden: Zahl und Energie der Photonen; Angaben über die Änderung der Stra lungsenergie durch die Emulsion; Angaben über die Vorgänge, die zur Emission ein Elektrons führen, was unmittelbar auf die Körner wirkt; Angaben über die Sekund emission von Photonen. Die strenge Berechnung aller hierbei auftretenden Effel scheint unausführbar. Aber die Vorgänge lassen sich leicht in zwei Gruppen unterteile Die erste Gruppe enthält die meisten Primäressekte, von denen die häusigsten mit mi malem Fehler berechnet werden. In der zweiten Gruppe befinden sich die Reabsor tionseffekte. Für diese kann man Vereinfachungen einführen, da ihr geringer Beitr zur Gesamtwirkung auf die photographische Schicht eine strenge Rechnung nicht rec fertigt. Die Wirkung der Sekundärstrahlung soll in einer späteren Arbeit behand werden. Vieth.

4-413 R. Matejec. Untersuchungen über den Mechanismus der elektrischen Leitfähigk und der Photoleitfähigkeit organischer Farbstoffe. Photographische Sensibilisierun und Desensibilisierungsfarbstoffe. Z. phys. Chem. N. F. 24, 24-36, 1960, Nr. 1/2. (Ap (Leverkusen, Agfa AG., Wiss.-photograph, Lab.) Zur Aufklärung des Leitungsmechan mus der organischen Farbstoffe wird die Abhängigkeit der Dunkel- und der Photole fähigkeit von der Temperatur, von Fremdstoffeinflüssen usw. untersucht. Außerd wird das photochemische Verhalten studiert, um nachzuprüfen, ob photochemisch e standene ionische Ladungsträger als Ursache für die Photoleitfähigkeit sicher a zuschließen sind. Die Messungen erfolgen an einer Reihe von photographischen S sibilisierungs- und Desensibilisierungsfarbstoffen. Diese werden aus der Lösung mit Goldelektroden versehene Quarzplättchen zu 5 bis 100 µm dicken Schichten a kristallisiert. In einer evakuierbaren Meßzelle werden Dunkel- und Photoleitfähigk bei Temperaturen von -180° C bis $+200^{\circ}$ C gemessen. (Feldstärke: 10² bis 10⁴ V · cm Gleichspannung und Wechselspannung geben keinen nennenswerten Unterschied. I untersuchten Farbstoffe zeigen 1. einen steilen Anstieg der Dunkelleitung bei höhe Temperaturen, der etwas von schwer entfernbaren Verunreinigungen und von Vorgeschichte der Farbstoffschicht abhängt, sowie 2. ein Maximum bei Temperatu wenig unter 0°C, das durch sehr geringe Wasserspuren hervorgerußen wird. Die Pho leitfähigkeit zeigt den bereits bekannten zeitlichen Verlauf. Bei 20°C nimmt sie ind Maße ab, in dem das adsorbierte Wasser aus der Farbstoffschicht entfernt wird. einem Teil der Farbstoffe nimmt sie außerdem bei konstantem Wassergehalt mit nehmendem Sauerstoffdruck ab. Auch die wäßrigen Farbstofflösungen ergeben starker Bestrahlung mit weißem Licht (ohne Wärmestrahlung) im Thermostaten e Leitfähigkeitserhöhung. Die Diskussion der Ergebnisse zeigt, daß die Halbleit vorstellungen für die an derartigen Farbstoffen meßbaren Dunkel- und Photol fähigkeiten noch nicht absolut gesichert sind. Die Effekte können auch durch pho chemische Reaktionen verursacht werden. Vieth

- 4-414 Miguel Solís. Sensibilización de las emulsiones fotográficas con vapor de mercurio. An. Soc. esp. Fís. Quím. (A) 56, 83—90, 1960, Nr. 3/4. (März/Apr.) (Granada, Inst. Opt. "Daza de Valdés.") Die Hypersensibilisierung von drei Emulsionstypen durch Hg-Dampf wird für vier verschiedene Expositionszeiten zwischen 10-4 und 300 Sekunden in Abhängigkeit von der Einwirkungsdauer untersucht. Die maximale Empfindlichkeitszunahme beträgt 100%, und zwar bei einer Einwirkungsdauer von mehr als 30 Stunden und einer Belichtungszeit von 300 Sekunden. H.-J. Hübner.
- 4-415 Chester I. Pope. Formation of silver sulfide in the photographic image during fixation. J. Res. nat. Bur. Stand. 64C, 65-73, 1960, Nr. 1. (Jan./März.) (Washington, D. C.)

 Behnsch.
- 4-416 H. M. Cartwright. The theory of halftone screen image formation and its bearing on practical applications. J. photogr. Sci. 7, 1-10, 1959, Nr. 1. (Jan./Febr.) Vf. gibt einen Überblick über die theoretischen Grundlagen der Rasterbilderzeugung und ihrer Anwendung auf die Praxis.
- 4-417 P. A. Akishin, V. A. Naumov and V. M. Tatevskii. Electron diffraction investigation of the molecular structures of gallium and yttrium halides. Soviet Phys.-Cryst. 4, 174-180, 1960, Nr. 2. (Febr.) (Engl. Übers. aus: Kristallografija 4, 194, 1959, Nr. 2.) (Moscow, M. V. Lomonosov State Univ.) Mit Hilfe von Elektronenbeugungsaufnahmen wird der Versuch gemacht, genauere Aussagen über die Konfiguration und die geometrischen Parameter von Gallium-bzw. Yttrium-Haloiden zu gewinnen. Die erhaltenen experimentellen Intensitätskurven wurden den korrespondierenden theoretischen gegenübergestellt und interpretiert.
- 4-418 H. Hora. Zur Seitenversetzung bei der Totalreflexion von Materiewellen. Optik, Stuttgart 17, 409-415, 1960, Nr. 8. (Aug.) Die für elektromagnetische und akustische Wellen bekannte seitliche Versetzung eines im Bereich der Totalreflexion reflektierten Wellenbündels (Goos-Hänchen-Effekt) wird für Materiewellen berechnet. Die Schrödinger-Gleichung gestattet die Formulierung eines strengen Wellenbündels, dessen Breite bei Annäherung an den Grenzwinkel der Totalreflexion stärker gegen große Werte geht als die Größe der Strahlversetzung, weshalb der Effekt der Seitenversetzung nicht als eine Unstetigkeit am Grenzwinkel der Totalreflexion in Erscheinung tritt. Ferner wird festgestellt, daß ein kleinerer Dichteunterschied aneinandergrenzender Medien eine größere Versetzung ergibt, und es wird auf die analoge Versetzung bei Reflexion von elektromagnetischen Wellen an der Ionosphäre hingewiesen. Hora.
- J. D. Lawson, D. H. Lord and F. M. Russell. Pendulum analogues to illustrate the particle motion in spiral ridge accelerators. J. nuclear Energy (C) 1, 124-129, 1960, Nr. 3. (März.) (Harwell, Berks., Atom. En. Res. Est.) Die Bewegung einer Partikel in einem sich azimutal veränderndem spiralförmigen Feld wird durch zwei gekuppelte, nichtlineare Gleichungen beschrieben. Ist die azimutale Komponente Null, reduzieren sie sich auf die unabhängigen linearen Betatrongleichungen. Von den zwei hier behandelten Pendelanaloga stellt das erste nur die radiale Bewegung dar. Es besteht aus einem Torsionspendel mit einem magnetischen Moment, das von einem Drehfeld beeinflußt wird. Das zweite Analogon, das sowohl die radiale wie die vertikale Bewegung darstellt, ist ein Kreispendel, dessen magnetische Linse in einem wanderndem Magnetfeld schwingt. Das erste dieser Analoga wird zu einer umfassenden Betrachtung der maximal möglichen stabilen Amplitude der Bewegung in Abhängigkeit von den Parametern verwendet, die dem Firstwinkel, der Modulationstiefe des azimutalen Feldes und denr radialen Feldindex entsprechen. Mit dem zweiten Modell wurden keine quantitativen Messungen ausgeführt, aber die stabilisierende Wirkung der Spiralfirste auf die vertikale Bewegung demonstriert.
- 4-420 K. Keck und H. Deichsel. Die Verwendung der Elektronen-Einzellinse als "lichtstarkes" Energiefilter für Elektronenstrahlen. Optik, Stuttgart 17, 401—408, 1960, Nr. 8. (Aug.) (Mainz, Univ., Phys. Inst.) Es wurde untersucht, inwieweit eine elektrostatische

Elektroneneinzellinse mit Schlitzblenden als Energiefilter für Elektronenstrahlen ver wendbar ist, wenn man ein hohes Durchlaßvermögen fordert und große Elektroner strahlquerschnitte zuläßt, dabei aber auf eine hohe Energieauflösung (wie sie z. B. bei de Elektronenmikroskopie verlangt wird) verzichtet. Ein hoher Durchlaß läßt sich dadurc erreichen, daß man durch geeignete Formgebung der Mittelblende der Linse den Po tentialsattel möglichst flach macht. Bei einer 4 mm dicken Mittelblende, einer Spale breite von 2 mm und einem Elektronenstrahldurchmesser von 1 mm wurde für 1keV-Elektronen ein Durchlaßvermögen von 30% gefunden. Dabei war das Potentia der Mittelblende (Eintritts- und Austrittsblende geerdet) so bemessen, daß die Lins für Elektronen mit 3 eV Energieverlust als Spiegel wirkte. Mit dieser Elektronenlins wurden bei Streuexperimenten elastisch gestreute Elektronen von unelastisch gestreuten Elektronen innerhalb des oben angegebenen Elektronenenergiebereichs "lich stark" getrennt. - Die Einzellinse hat gegenüber anderen Energieanalysatoren de Vorteil, daß sie bei gleicher "Lichtstärke" und Energieauflösung wesentlich kleiner Abmessungen besitzt und mit weniger Aufwand herstellbar ist. — Für die Berechnun der Bewegung von achsennahen Elektronen in solch einer Einzellinse wird ein Rechen Deichsel. schema angegeben.

4-421 Bertil Agdur. Oscillations in long electron beams. Ericsson Tech. 16, 43-5 1960, Nr. 1. (Stockholm, Royal Inst. Technol., Elektron. Dep.) Es werden experimentel Untersuchungen an Elektronenstrahlbündeln (50 cm lang, 3 bis 5 mm Durchmesser die magnetischen Feldern ausgesetzt sind, beschrieben. Dabei werden zwei Arten vor Schwingungen beobachtet: 1. Schwingungen, die durch positive Ionen verursach werden, führen zu einer vergrößerten Rotationsbewegung des Strahls; die auftretende Frequenzen liegen in der Größenordnung der Ionen-Plasmafrequenz (hier: etwa 1 MHz 2. Schwingungen, die durch langsame Elektronen hervorgerufen werden; ihre Frequenzen liegen in der Nähe der Elektronen-Gyrofrequenz (hier: 2 bis 4 GHz).

Bittner.

Bd. 40,

- 4-422 Eizi Sugata and Shigeo Kaneda. Electron beam focusing with nonsinusoid periodic magnetic fields. J. Inst. elect. Commun. Engrs Japan 43, 12-18, 1960, Nr. (Jan.) (Orig. jap. m. engl. Zfg.) (Osaka, Univ., Fac. Engng.; Neyagawa, Osaka, Uni Prefect., Junior Coll. Engng.) Durch Berechnung mittels Analogrechner wird gezeig daß ein längs eines Elektronenstrahls periodisch verteiltes magnetisches Fokussierfe bei geeigneter Größe einer dritten Harmonischen in der Feldverteilung einer sinu förmigen Feldverteilung hinsichtlich Strahlwelligkeit (etwa um das 8fache) und hisichtlich Stabilität überlegen ist.
- 4-423 Kanwar Bahadur. Measurements of field ion currents. J. sci. industr. Res. 19. 177-179, 1960, Nr. 6. (Juni.) (New Delhi, Nat. Phys. Lab.) Zur Prüfung des the retischen Ausdrucks für den Ionenstrom im MÜLLERschen Feldelektronenmikroske wird ein Präzisionsmeßverfahren beschrieben, das die Verfälschung der Messung durentstehende Sekundärelektronen und Gasionen vermeidet.
- 4-424 H. Düker. Emissionsmikroskopie mit ionenausgelösten Elektronen. Schwei Arch. angew. Wiss. 26, 199-201, 1960, Nr. 5. (Mai.) (Stuttgart, Max-Planck-Ins Met.-Forsch., Abt. Sondermet.) Vf. beschreibt die Anwendung eines Oberfläche Elektronenmikroskops auf Probleme der Metallforschung. Bei dem hier beschrieben Mikroskop erfolgt die Abbildung der Metalloberfläche mit Hilfe von Elektronen, durch aufprallende Ionen aus der Oberfläche ausgelöst werden ("Emissionsmikroskop" Dieser Prozeß ist gegenüber der Auslösung der Elektronen durch Aufheizen der Obefläche, Bestrahlen mit kurzwelligem Licht oder durch Beschießen mit Korpuskula stralen unabhängig von der Objekttemperatur. Die Auflösung des Gerätes beträ maximal 500 Å. Intensiver Ionenbeschuß vermag die Probe zu "ätzen", was a Beispiel einer Aluminium-Kupferlegierung gezeigt wird. Weitere Aufnahmen wurd an einer Armco-Eisenprobe gemacht, wobei man besonders gut die α-γ-Umwandlubeobachten konnte.

425 - 431

- D. E. Bradley. Direct observation of surface contamination formed in demountable 4-425 vacuum systems. Nature, Lond. 187, 227-228, 1960, Nr. 4733. (16. Juli.) (Aldermaston, Berks., Assoc. Elect. Ind., Ltd., Res. Lab.) Die Mitteilung beschreibt eine Methode, mit der unter dem Elektronen-Mikroskop Kohlenwasserstoff-Absorptionsschichten nachgewiesen werden können, die sich unter Vakuum auf einer Obersläche ablagern. Es wird eine dünne Trägerfolie aus Kohlenstoff hergestellt, die Stufen in der Normalrichtung aufweist. Diese Folie wird eine bestimmte Zeit lang (zwischen 1-30 min) in einem Rezipienten unter Vakuum belassen - in vorliegendem Falle wurde eine Metrovak 0 3 B-Diffusionspumpe mit Apiezonöl B verwendet –. Dabei bilden sich infolge der Ölrückströmung dünne Absorptionsschichten auf der Obersläche. Nach vorgegebener Zeit wird über die Absorptionsschicht eine weitere Kohlenstoffschicht aufgedampft, wobei die Aufdampfrichtung schräg (26°-45°) zur Stufenkante gewählt wird. Die so präparierte Folie wird dann auf einem dünnen Gitter in den Objektraum eines Elektronen-Mikroskops gebracht und parallel zur Stufenkante beobachtet. Die Streuung der Atome der Absorptionsschicht ist geringer als die der Kohlenstoffschichten. Auf den elektronen-mikroskopischen Aufnahmen zeigen sich helle Streifen, deren Breite von der Zeit abhängt, während der sie dem Kohlenwasserstoff-Partialdruck im Vakuum ausgesetzt waren. Schichten bis zu 10 Å Dicke, d. h., mono-molekulare Lagen können noch nachgewiesen werden. Die Methode ist geeignet, die Güte eines Vakuumsystems im Hinblick auf den Kohlenwasserstoff-Partialdruck zu prüfen.
- 4-426 L. N. Malakhov and Yu. V. Vorob'ev. Electron microscope method of investigating microfields. Soviet Phys.-Doklady 4, 419-420, 1959, Nr. 2. (Okt.) (Engl. Übers. aus: Proc. Acad. Sci. SSSR 125, 315, 1959, Nr. 2.) Es wird eine elektronenmikroskopische Methode beschrieben, die die Beobachtung und Messung von Potentialverteilungen in Mikrobezirken auf der Oberfläche von Halbleitern erlaubt. Die Probe wird als schneidenförmiges Objekt in den Strahlengang eines Elektronenmikroskops gebracht. Durch eine an den Halbleiter gelegte Spannung wird ein elektrisches Feld aufgebaut, das diev Trajektorien der Elektronen verändert. Vff. geben eine Beziehung an zwischen der Verschiebung des Kantenbildes auf einem Leuchtschirm bei Änderung der Brennweite des Objektives und der Potentialverteilung längs der Kante. Schniedermann.
- 4-427 M. Trlifaj. Der Exzitonenzerfall im elektrostatischen Felde der Störstellen von Ionenkristallen. Czech. J. Phys. (B) 10, 7-13, 1960, Nr. 1. (Prag, Akad. Wiss., Phys. Inst.) Es wird abgeschätzt, daß eine Konzentration von 10¹⁴ bis 10¹⁶ Cu⁺-Lücken pro cm³ ausreicht, um eine durch strahlende Vernichtung von Excitonen bedingte Lumineszenz in Cu₂O-Kristallen zu unterdrücken. Hierzu wird der Wirkungsquerschnitt einer geladenen Störstelle für die Autoionisation eines Excitons bestimmt (Positronium-Modell im Kontinuum).
- 4-428 E. G. Petzold. Elektrolumineszenz-Eigenschaften von Zinkoxyd mit einer Beimischung von Wismutoxyd. Iswest. Akad. Nauk SSSR, Ser. fis. 24, 104-112, 1960, Nr. 1. (Orig. russ.)

 H. Weidemann.
- 4-429 M. Frackowiak and H. Waleryś. Decay of phosphorescence of trypaflavine in gelatine. Acta. phys. polon. 19, 199-215, 1960, Nr. 2. (Toruń, Kopernik Univ., Inst. Phys., Photoluminesc. Lab., Phys. Dep.)

 H. Ebert.
- 4-430 I. M. Rozman and S. F. Kilin. Luminescence of plastic scintillators. Soviet Phys.-Uspekhi 2, 856-873, 1960, Nr. 6. (Juni.) (Engl. Übers. aus: Usp. Fiz. Nauk 69, 459, 1959.)
- 4-431 W. H. Melhuish. A standard fluorescence spectrum for calibrating spectrofluorophotometers. J. Phys. Chem. 64, 762-764, 1960, Nr. 6. (Juni.) (Lower Hutt, N. Z., Inst. Nucl. Sci., Dep. Sci. Indust. Res.) Das Fluoreszenzspektrum von Chininbisulfat in Schwefelsäure wurde gemessen. Die Energie bei den einzelnen Wellenlängen wurde durch Vergleich mit einer Wolframlampe bekannter Farbtemperatur bestimmt. Das Fluoreszenzspektrum von Chininbisulfat wird als Standard zur Kalibrierung von Monochromatoren vorgeschlagen, die zur Messung von Fluoreszenz-bzw. Phosphoreszenzspektren benutzt werden sollen.

4-432 E. Murad. The fluorescence of acetaldehyde vapor. J. phys. Chem. 64, 942-945 1960, Nr. 7. (Juli.) (Rochester, N. Y., Univ., Dep. Chem.) Das Fluoreszenzspektrun wird mit einem HILGER-Quarzspektrographen aufgenommen. Es erstreckt sich vor 3515 bis 4700 Å, mit einem Maximum bei 4000 Å. Ein überlagertes Bandenspektrun stammt von dem durch photochemischen Zerfall entstehenden Biacetyl. Die Einflüsse von Temperaturänderungen und Beimischungen von Sauerstoff, Propan und Biacety in den einzelnen Bereichen des Spektrums werden untersucht.

4-433 H. G. Grimmeiss, R. Groth und J. Maak. Lumineszenz- und Photoleitungs eigenschaften von dotiertem GaN. Z. Naturf. 15a, 799-806, 1960, Nr. 9. (Sept.) (Aachen Philips Ind., Zentrallab.) Es wird eine Darstellungsmethode für GaN beschrieben, die den Vorteil niedriger Arbeitstemperatur hat und mannigfache Dotierungen ermöglicht Die Lumineszenzeigenschaften solcher GaN-Präparate werden in Abhängigkeit vor den Herstellungsbedingungen untersucht und die durch Dotierung hervorgerufener Emissionsbanden bestimmt. Löschung der Fluoreszenz durch Ultrarot ermöglicht be Zn-, Cd- und Li-Dotierung zusammen mit den Emissionsbanden die Angabe eine Termschemas, GLOW-Kurven eine Deutung der kurzwelligen Emissionen (sogenannt Satellungsmethode für GaN-Einkristalle angegeben und deren Photoleitung untersucht (Zfg.)

4–434 David A. Patterson. Excitation and high-temperature absorption of KCl: Tell Phys. Rev. (2) 119, 962–967, 1960, Nr. 3. (1. Aug.) (Washington, D. C., U. S. Naval Res Lab.) An unter Ar nach dem Kyropoulos-Verfahren gezogenen KCl·Tl-Kristallen mi 10^{-4} bis $5\cdot 10^{-3}$ Molprozent. Tl wird die Absorption zwischen Zimmertemperatur und 540° C und Erregungsspektren zwischen der Temperatur flüssigen Stickstoffs und 100° G gemessen. Die sieben Absorptionsbanden (A₁, A₂, A₃, je zwei B und C) verhalten sied wie folgt: A₁ (247 m μ) ist am stärksten, wächst mit dem Tl-Gehalt und abnehmende Temperatur, ergibt 305 m μ -Emission und gehört zu einem substitutionsmäßig einge bauten Tl+ mit CsCl-Umgebung. A₂ (253 m μ) wird bei tiefer Temperatur beobachtet wächst mit dem Tl+Gehalt, erregt UV-Emission und gehört zu Tl+ mit NaCl-Umgebung A₃ (262–266 m μ) wächst mit Tl+Gehalt und (zunehmender) Temperatur, gibt sicht bare Emission, gehört zu Mehrfachzentren bzw. Zentren mit Wechselwirkung. C is zweifach (195 und 201 m μ); ebenso B (209 bzw. 218 m μ , letzteres bei hoher Tl-Konzen tration). Nicht gefunden wurde bei B der Forro-Effekt (Wachsen mit abnehmende Temperatur). Geringer Sr-Gehalt verschiebt die Absorptionskante nach kurzen Wellen P. Brauer.

4-435 Ryumyo Onaka and Ikuo Fujita. α and β bands in NaF, NaCl and KCl. Phys Rev. (2) 119, 4597-4598, 1960, Nr. 5. (1. Sept.) (Tokyo, Jap., Univ., Inst. Opt. Res. α- und β-Banden im Ausläufer der Grundgitterabsorption an röntgenbestrahlten Alkali halogeniden wurden an KJ von Delbeco, Princsheim und Yuster (Ber. 31, 1736 1952) entdeckt und von den Vff. jetzt an NaF, NaCl und KCl bei der Temperatu flüssigen Stickstoffs gefunden wie folgt

$\alpha [\mathrm{in} \ \mathrm{nm}]$	β[in nm]	Intensitätsverhältnis β/F
NaF 131,5	127,0	0,9
NaCl 173,0	168,0	0,90
KCl 178,5	169,5	0,85

Die durch Fuchs' Theorie (Ber. 38, 1116, 1959) geforderte Dublettstruktur von wurde nicht gefunden.

P. Brauer.

4-436 W. E. Bron. Relation between X-ray coloration and optical bleaching of KC crystals. Phys. Rev. (2) 119, 1853-1863, 1960, Nr. 6. (15. Sept.) (Yorktown Height N. Y., Internat. Bus. Mach. Res. Center.) (S. nachst. Ref.) Reine, mit Ca versetzte un plastisch verformte KCl-Kristalle werden röntgenverfärbt und durch Einstrahlung i die F-Bande gebleicht, was durch Messung der Absorption zwischen 2000 und 10000

verfolgt wird. Es wird ein enger Zusammenhang gefunden zwischen den beiden Stufen der Verfärbung (CI und CII) und der Bleichung (BI und BII). Bei CI werden F-Zentren im Kristall-Volumen (R. B. GORDON und A. S. NOWICK, Phys. Rev. 101, 977, 1956; Ber. 39, Nr. 10-1096, 1960; H. RABIN, Phys. Rev. 116, 1381, 1959) erzeugt, dagegen bei C. II neben einfachen F-Zentren noch Aggregate (M, R, N usw.) an Versetzungen, von deren Menge C II abhängig ist. Gefunden wird, daß die Absorptionsänderungen (Bleichrate) bei BI bzw. B II entsprechen C I bzw. C II, d.h., enge Entsprechung C I und B I sowie C II und B II. Die Bleichrate ist bei B I (bei gesättigt verfärbten Kristallen) von der Bleichlicht-Intensität abhängig im Gegensatz zu B II (nachst. Ref.). Danach wäre hei C II wegen der Aggregate eine gegenüber reinem F geänderte Absorption zu erwarten, was in Zusammenhang mit F-Teilbanden (s. Petroff, Ber. 29, 1212, 1950; J. D. KONITZER und J. J. MARKHAM, Ber. 38, 697, 1959; F. LÜTY, Int. Symp. on Color Centres, Oregon 1959 (unpublished)) als auch mit dem Dichroismus der F- und M-Banden nach Einstrahlung in F allein (z. B. C. Z. VAN DOORN u. Y. HAVEN, Ber. 36, 1726, 1957 u. 37, 1020, 1958) bzw. den Modellen dieser Autoren oder H. Pick (Ber. 40, Nr. 1 bis 1077, 1961) oder S. Lambe und W. D. Compton (Phys. Rev. 106, 684, 1957) diskutiert wird. Die M-Absorption durchläuft beim Bleichen ein Maximum, weil während B I M-Zentren gebildet, aber dann unter Beteiligungen beweglicher Gitterdefekte mit F-Zentren gekoppelt werden.

4-437 W. E. Bron and W. R. Heller. Dependence of the optical bleaching rate of X-irradiated KCl crystals on light intensity. Phys. Rev. (2) 119, 1864—1868, 1960, Nr. 6. (15. Sept.) (Yorktown Heights, N. Y., Enternat. Bus. Mach. Res. Center.) (S. vorst. Ref.) Bei Zimmertemperatur röntgenverfärbte KCl-Kristalle wurden durch Einstrahlung in die F-Bande ausgebleicht. Bei der ersten Stufe des Bleichprozesses war die Zahl der sekundlich gebleichten F-Zentren anfangs proportional schwacher Liehtintensität, strebte aber bei Intensitäten größer als 5·10¹⁴ Photonen/sec cm² einer Sättigung zu. Primär werden dabei Photoelektronen an vorgebildeten Haftstellen gebunden. Reaktionskinetische Untersuchung des Prozesses führt zu einer Beschreibung des experimentellen Zusammenhanges und ergibt, daß das Verhältnis der Einfangkoeffizienten von Haftstellen und Halogen-Lücken etwa Eins ist, woraus geschlossen wird, daß die Haftstellen entweder positive Ladung haben oder, wenn neutral, bei F-Zentren liegen. Die viel kleinere Bleichrate bei der zweiten Bleichstufe ist intensitätsunabhängig (Sättigung schon bei kleinsten Lichtintensitäten: 10¹⁴ Photonen/sec cm²). Da hierbei kein Photostrom beobachtet wird (J. J. Oberly, Ber. 31, 1282, 1952) wird auf enge Nachbarschaft der bei der zweiten Verfärbungsstufe erzeugten Zentren geschlossen.

4-438 L. S. Pedrotti and D. C. Reynolds. Change in structure of blue and green fluorescence in cadmium sulfide at low temperatures. Phys. Rev. (2) 119, 1897-1898, 1960, Nr. 6. (15. Sept.) (Wright-Patterson Air Force Base O., Air Force Inst. Technol. and Aeron. Res. Lab.) Klassifizierung der beiden fundamentalen blauen und grünen Fluoreszenzen in CdS-Kristallen entsprechend ihren Wellenlangen nach UV-Erregung bei tiefen Temperaturen. Herstellung von Aufnahmen der Fluoreszenzlinien bei 4,2° und 77° K und Vergleich ihrer Strukturen. Dabei konnte eine Strukturänderung der grünen Emission nahe 5130 Å zwischen 4,2° und 77°K nachgewiesen werden. Ergebnisse im cinzelnen: 1. Die Fluoreszenz bei 77°K ist durch ziemlich breite Linien mit gradueller Intensitätsabschwächung bis zu einem Grenzwert gekennzeichnet. 2. Die Fluoreszenz bei 4,2°K ist durch schärfere Linien mit komplexer Struktur gekennzeichnet. Die blaue Fluoreszenz erscheint dabei in einer Reihe von Tripletts. 3. Die beiden Fluoreszenzen ändern im Temperaturbereich nicht nur ihre Struktur, sondern verschieben sich auch. Die blaue Fluoreszenz verschiebt sich mit sinkender Temperatur zu kürzeren Wellenlängen. Die grüne Fluoreszenz zeigt bei 4,2°K das Verschwinden einiger Linien, welche bei 77°K noch dominieren. Die übrigen grünen Linien werden mit sinkender Temperatur schärfer.

4-439 W. L. Lewschin und B. M. Orloff. Untersuchung der Energie der Wärmeaktivierung der Lichtanklingung bei ZnS-Cu, Pb-Phosphoren. Opt. i Spektrosk. 7, 530—536, 1959, Nr. 4. (Orig. russ.) Das Anwachsen des Leuchtens bei ZnSCu, Pb-Phosphoren unter

dem Einfluß infraroter Strahlung verschiedener Wellenlängen wurde experimentel untersucht. Dabei wurde festgestellt, daß zur Auslösung der Elektronen aus den Lokalisierungsniveaus eine vorläufige Aktivierung auf thermischem Wege notwendig ist, und daß die Aktivierungsenergie von der Art des Niveaus und nicht von der Wellenlänge der ausleuchtenden Strahlung abhängt.

v. Keussler.

- 4-440 J.B. Kwirim-Markus. Untersuchung der Lichtsummen im SrS-Eu, Sm-Phosphor II. Opt. i Spektrosk. 7, 537-541, 1959, Nr. 4. (Orig. russ.) Eine theoretische Deutung der in einer früheren Mitteilung des Vf. veröffentlichten experimentellen Ergebnisse über die Lichtsummen im SrS-Eu, Sm-Phosphor wird gegeben. v. Keussler.
- 4-441 A.N. Gorbanj und W.A. Ssokoloff. Kandolumineszenz und Oberstächenrekombi nationsleuchten von Phosphoren in der Atmosphäre eines aktiven Gases. Opt. i Spektrosk 7, 569, 1959, Nr. 4. (Orig. russ.) Der Phosphor ZnS, CdS-Cu wurde in einen seitlicher Ansatz eines mit Leuchtgas gefüllten Entladungsrohres eingeführt. Das erhaltene Phosphoreszenzspektrum wird mit dem des gleichen Phosphors in einer Flamme ver glichen.

 v. Keussler.
- 4-442 E.W. Stauer und M.P. Rosenblatt. Der Einfluß der Zerkleinerung auf die optischen und elektrischen Eigenschaften einiger ZnS-Elektroluminophore. Opt. i Spektrosk 7, 570-571, 1959, Nr. 4. (Orig. russ.) Bei einer durch Zerreibung von ZnS-Cu; ZnS-Cu Al; ZnS-Cu,Mn und anderer Phosphore um 2- bis 3mal verringerter Körnchengröß wurde eine Verringerung der Elektrolumineszenz konstatiert derart, daß die beider Konstanten im Exponentialgesetz verringert, das Gesetz als solches aber erhalten blieb Ferner setzte bei zerkleinerten Phosphoren die Temperaturtilgung schon bei tieferer Temperaturen ein, und der reelle und der imaginäre Teil der komplexen Dielektrizitäts konstante nahmen bei allen Frequenzen und Spannungen geringere Werte an.

v. Keussler.

Bd. 40, 4

- 4-443 J. P. Schapiro. Die Bestimmung der Spektren von Kristallphosphoren mit Hilf der Spektren der diffusen Reflexion. Opt. i Spektrosk. 7, 798-802, 1959, Nr. 6. (Origruss.) Die Absorptionsspektren und die Spektren der diffusen Reflexion einer Reihpulverförmiger Substanzen (Se, Cd, J₂, PbJ₂) sowie von Sulfidphosphoren wurden in sichtbaren Gebiet und im nahen Ultraviolett aufgenommen. Es wird gezeigt, daß di aus der diffusen Reflexion und direkt aus der Absorption dünner Häute bestimmtet Absorptionskoeffizienten sich in guter Übereinstimmung befinden und gestatten, die Konturen der Absorptionsbanden zu bestimmen.
- 4-444 W.W. Antonoff-Romanowski. Anfangsstadien des Anklingens der Lumineszen von Phosphoren mit mehreren verschiedenartigen Energieniveaus. Opt. i Spektrosk. 524-529, 1959, Nr. 4. (Orig. russ.) Unter der Voraussetzung, daß die Rekombinatio zu vernachlässigen ist und alle freien Ladungen thermischen Ursprungs sind, wird di Kinetik der Anklingung der Erregung im Anfangsstadium für den "quasilinearen" Fa einer theoretischen Betrachtung unterzogen.
- 4-445 W. W. Antonoff-Romanowski. Über die überlineare Zunahme der Lichtlei fähigkeit eines Phosphors in den Anfangsstadien der Anregung. Opt. i Spektrosk. 827-829, 1959, Nr. 6. (Orig. russ.) Theoretische Überlegungen an Hand eines Modell v. Keussler.
- 4-446 F. I. Wergunas und P. J. Ramasanow. Über die Möglichkeit der Wärmepolar sation von Elektronen in Zinksulfid-Kristallphosphoren. Iswest. Akad. Nauk SSSR, Se fis. 24, 214-219, 1960, Nr. 2. (Orig. russ.)
- 4-447 N. P. Kalabuchow. Über die Natur der stimulierten Lumineszenz in Kristalle von KCl. Iswest. Akad. Nauk SSSR, Ser. fis. 24, 229-231, 1960, Nr. 2. (Orig. russ
 H. Weidemann.
- 4-448 L.J. Schoen. Triboluminescence in a mercury bubbler. Canad. J. Phys. 367-970, 1960, Nr. 7. (Juli.) (Washington, D. C., Nat. Bur. Stand.) Ein schwach Leuchten ist zu beobachten, wenn manche Gase durch eine mehrere Millimeter die Quecksilberschicht perlen, die sich in einem Pyrex- oder Quarzglasgefäß unter Atme

phärendruck befindet. Der Vf. hat die spektrale Zusammensetzung des emittierten ichts für Helium und Argon untersucht; bei diesen Gasen war die Emission am stärkten. Die Spektren enthielten im Bereich von 2500 bis 6700 Å die Hg-Resonanzlinie 1537 Å und weitere Linien des Hg I-Spektrums, He I-Linien, die zweite positive Fruppe der No-Banden und OH-Banden. Außerdem traten noch Not-Banden auf, wenn lelium durch das Quecksilber perlte. — Die beobachtete Emission ist ein Beispiel für lie Tribolumineszenz, die durch die hydrodynamische Wechselwirkung zwischen einem trömenden Gas und einer Flüssigkeit hervorgerufen wird. Wenn ein Gas durch Queckilber perlt, laden sich Quecksilbertröpfchen auf. Anscheinend findet eine Entladung wischen den aufgeladenen Quecksilbertröpfehen und der Glaswand statt. Da sich das duecksilber gegenüber der Gefäßwand bewegt, kann es sich durch Reibung gegenüber ler Wand aufladen; es ist dann auch möglich, daß eine Entladung zwischen der Flüssigceit und der Glaswand auftritt. Die Hypothese, daß eine Entladung die Ursache des euchtens ist, wird durch die weitgehende Übereinstimmung des oben angegebenen pektrums mit dem eines Helium-Luft-Gemisches bei Atmosphärendruck gestützt, das bei Anregung mit Hilfe einer TESLA-Spule erhalten wurde.

4-449 K. Patek. The electroluminescence of ZnS-Cu single crystals excited with pulses of alternating polarity. Czech. J. Phys. (B) 10, 452-467, 1960, Nr. 6. (Prague, Acad. Sci., Inst. Phys.) Die Leuchtwellen der Elektrolumineszenz wurden an ZnS-Cu-Einkristallen bei rechteckförmiger Anregung in Abhängigkeit von Amplitude und Temperatur gemessen. Für die Elektronenprozesse in den Sperrschichten des Kristalls wird in konkretes Modell mit zwei Mott-Schottky-Randschichten vorgeschlagen. Seine Konsequenzen für die Abklingung sind in Übereinstimmung mit den Messungen.

F. W. Seemann.

- 4-450 K. Vacek. Luminescence decay in AgCl crystals. Czech. J. Phys. (B) 10, 468-474, 1960, Nr. 6. (Prague, Charles Univ., Inst. Phys.) Die Abklingung der Lumineszenz von normalen und deformierten AgCl-Einkristallen wurde bei der Temperatur des flüssigen Stickstoffs, auch mit gleichzeitiger β-Bestrahlung während der Anregung, gemessen. Für t $\leq 2,5 \cdot 10^{-3}$ s wurde hyperbolischer, sodann exponentieller Verlauf der Abklingung gefunden. Dieses Verhalten wird auf Prozesse in zwei Typen von Zentren zurückgeführt, nämlich auf Trapeinfang und Rekombination eines Excitons entweder in einer Kation-Leerstelle oder in einer Kation-Leerstelle an einer Versetzung. F. W. Seemann.
- 4-451 J. Dolejši and A. Bohun. Spectral composition of thermoluminescence of coloured NaCl crystals. Czech. J. Phys. (B) 10, 529—535, 1960, Nr. 7. (Prague, Acad. Sci., Inst. Tech. Phys.) Die spektrale Zusammensetzung der Thermolumineszenz in den verschiedenen Maxima wird an photochemisch gefärbten "reinen" und Cu-haltigen NaCl-Kristallen untersucht. Danach ist die Emissionsbande von 3600 Å in "reinen" Kristallen und das Zusammenwirken der Leitungselektronen mit Kupferionen, weniger mit Lochzentren zurückzuführen. Hier spielen möglicherweise Spuren von Verunreinigungen eine Rolle.
- 4-452 W. E. Oranowski und B. A. Chemlichin. Untersuchung der Elektrolumineszenz von ZnS-Cu-Einkristallen. Opt. i Spektrosk. 7, 542—546, 1959, Nr. 4. (Orig. russ.) Die Verfolgung der Helligkeit im Bereich eines leuchtenden "Striches" in einem elektrolumineszierenden ZnS-Cu-Einkristall hat gezeigt, daß bei Ultraviolettbestrahlung die Anregung und Ausstrahlung in der ganzen Ausdehnung des Striches erfolgt. Es wurde lestgestellt, daß Elektrolumineszenz bei Feldstärken von 10⁴ Volt/cm auftritt.

v. Keussler.

4-453 W. W. Ossiko. Über die Niedertemperaturlumineszenz des Zinkoxyds im roten Spektralgebiet. Opt. i Spektrosk. 7, 770—775, 1959, Nr. 6. (Orig. russ.) Spektren der Lumineszenz und der diffusen Reflexion des reinen Zinkoxyds sowie von solchem mit Lusatz von Mangan wurden im Gebiet von 400 bis 860 nm bei Temperaturen bis nerab zu 291°K aufgenommen und die Helligkeit des Leuchtens in Abhängigkeit von ler Temperatur und dem Gehalt an Mangan unterstellt.

- 4-454 O. N. Kasankin, F. M. Pekermann und L. N. Petoschina. Elektroluminesze von ZnS-Cu-Mn-Phosphoren im konstanten Feld. Opt. i Spektrosk. 7, 776-779, 1920 Nr. 6. (Orig. russ.) Es wird gezeigt, daß auf geeignete Art hergestellte Elektroluminophorom Typ ZnS-Cu-Mn in einem konstanten elektrischen Feld eine intensive Strahlu aussenden, was auf das Vorhandensein eines starken Stromes im Kondensator infolüberflusses an Cu₂S zurückgeführt wird.
- 4-455 B.C. Dutta and A.K. Ghosh. Spectral study of thermoluminescence emissis from KBr and NaBr. Indian J. Phys. 32, 155-164, 1953, Nr. 4. (Apr.) (Calcutta, Unicoll. Sci., Khaira Lab. Phys.) KBr und NaBr werden bei 90°K mit 10 kV-Elektron bestrahlt. Ein schnell registrierendes Quarzspektrometer (Registrierdauer 1 s) stattet die spektrale Zusammensetzung der Thermolumineszenz zu untersuchen. If folgenden Temperaturen werden starke GLow-Maxima gefunden: 163°K (522 nm 226°K (520 nm), 330°K (443 nm und 516 nm), 498°K (498 nm) für KBr 145° (457 nm), 268°K (500 nm) für NaBr. Die in Klammern gesetzten Wellenlängen bezeic nen die gefundenen Maxima der einzelnen Spektralbanden.
- 4-456 E. W. Anufriewa, M. W. Wolkenstein und T. W. Rasgoworowa. Verglasung v. Polymeren und Lumineszenz. Opt. i Spektrosk. 7, 505-510, 1959, Nr. 4. (Orig. rus Es wurde festgestellt, daß bei der Verglasungstemperatur die Temperaturabhängigk der Lumineszenzintensität im Polymer eingebetteter Moleküle sich bei Auramin (u starres Molekül) und einigen anderen Farbstoffen mit starrer Molekülstruktur sich der ändert, daß die Tangente in dem betreffenden Punkt einen Sprung erfährt.

 v. Keussler.
- 4-457 A.N. Garbanj und W.A. Ssokoloff. Zur Frage des Halbleitermechanismus a Oberflächenrekombinationslumineszenz. Opt. i Spektrosk. 7, 815-817, 1959, Nr. (Orig. russ.) Die Theorie des Vorganges bei dem von einem der Autoren zur Erkläru der Kandolumineszenz vorgeschlagenen Oberflächenrekombinationsmechanismus wi an Hand eines Zonendiagramms und des ihr entsprechenden Gittermodells entwicke v. Keussler.

VIII. Wärme-Thermodynamik

- 4-458 H. van Dijk and M. Durieux. Thermodynamic temperature scale (T_{L55}) in liquid He region. Low Temperature Phys. Chem. 5th int. Conf. 1957, Madison, Wi 1958, S. 192-198. (Leiden, Kamerlingh Onnes Lab.) Es werden die theoretisch und rechnerischen Grundlagen dargestellt für die Entwicklung der Dampfdrugleichungen, die zur Aufstellung der Dampfdrucktabelle im Bereich der Heliumtem raturen (T_{L55}) dienten.
- 4-459 E. W. Jackson. Temperature measurement and control. I. Thermocouples. Che Process Engng 41, 139-143, 1960, Nr. 4. (Apr.) Der Bericht gibt eine kurze Übersic über die historische Entwicklung der Temperaturmessung mit Thermoelementen uüber die Methoden zur Messung der Thermokräfte. Eine Anzahl von Metallen, die Thermoelemente Verwendung finden, und deren Verwendbarkeitsgrenzen werden met geteilt. Es wird darauf hingewiesen, daß neue Kombinationen von Metallen und Metallegierungen (Wo/WoRh) heute schon für Temperaturmessungen bis 2800°C benuwerden können.
- 4-460 W. J. A. Donnelly. Dasselbe. II. Temperature control data logging equipme Ebenda S. 144-145, 148. Es wird die Kontrollanlage eines Großbetriebes beschrieb mit der mehrere hundert Thermoelemente dauernd überwacht, deren Temperatur gaben nachgeprüft und im Falle anormaler Anzeigen Alarmsignale ausgelöst werden.
- J. Otto 4-461 A. S. Kaufman. Measurement of very high temperatures. Instrum. Pract Lond. 14, 502-507, 1960, Nr. 5. (Mai.) (Jerusalem, Israel, Hebrew Univ., Dep. Phy V. Weidemann

- 100
- 462 A. F. Vorob'ev, N. M. Privalova and S. M. Skuratov. Calorimeter for measuring centhalpy of decomposition of solids. Sh. fis. Chim. 34, 1142-1144, 1960, Nr. 5. (Orig. ss. m. engl. Zfg.)

 H. Ebert.
- 463 W. Marshall. Specific heat of dilute alloys. Phys. Rev. (2) 118, 1519—1523, 1960, t. 6. (15. Juni.) (Harwell, Berks, Engl., Atomic Energy Res. Est., Theor. Phys. Div.) ach Messungen von ZIMMERMAN verursacht die Zulegierung von Mn zu Cu einen beächtlichen, im Bereich von 0 bis 0,17 At.-% konzentrationsunabhängigen Zuwachs in Frespezifischen Wärme, der linear mit T anwächst, bis er bei einer bestimmten konzentionsabhängigen Temperatur steil auf Null fällt. Vf. erhebt Einwände gegen eine heerie von Overhauser (Ber. 40, Nr. 2—000, 1961), die auf der Basis eines neu entickelten Modells des Antiferromagnetismus die Effekte erklären soll, und zeigt, daß die klärung durch die bekannte Spin-Spin-Wechselwirkung mittels Leitungselektronen folgen kann. Voraussetzung ist dabei die plausible Annahme, daß die Spinverteilung n geordneten Zustand nur eine Orientierungsachse besitzt und z. B. nicht spiraltrmig ist.
- 464 M. P. Voukalovich, B. V. Dzampov, D. S. Rasskazov and S. A. Remizov. Thersal properties of water under pressure up to 1200 kg/cm² and at a temperature up to 90°C. Teploenergetika 1960, Nr. 7, S. 4—12. (Orig. russ.)
- 465 A. M. Sirota, B. K. Maltzev and P. E. Beliakova. About maximum values of water vecific heat c_v . Teploenergetika 1960, Nr. 7, S. 16-23. (Orig. russ. m. engl. Zfg.)
- 466 A. E. Sheindlin, E. E. Shpilrain and V.V. Sychev. Specific heat c_p of water and later vapour on the line of saturation. Teploenergetika 1960, Nr. 7, S. 23-27. (Orig. russ. v. Weidemann.
- 467 **R. E. Gaumer** and **C. V. Heer.** Atomic heat of sodium metal from 0.4 to 2° K. Phys. lev. (2) **118**, 955–957, 1960, Nr. 4. (15. Mai.) (Columbus, O., Univ., Dep. Phys.) ie Wärmekapazität von Na zwischen 0.4° K und 2° K läßt sich durch $C = \gamma T + a T^3$ arstellen ohne Anzeichen einer von RAYNE (Ber. **35**, 1739, 1956) bei 0.7° K diskutierten anomalie. Debye-Temperatur 158° K, effektive Elektronenmasse 1.21 m_e.

Harbeke.

- 468 William H. Lien and Norman E. Phillips. Heat capacity of sodium and potassium temperatures below 1°K. Phys. Rev. (2) 118, 958, 1960, Nr. 4. (15. Mai.) (Berkeley, alif., Univ., Lawrence Radiat. Lab., Dep. Chem.) Die Wärmekapazität von Na zwischen 45°K und 1°K zeigt keine Anomalien, die mit der Martensit-Transformation des Gitters nter 36°K in Zusammenhang stehen, der Verlauf läßt sich als Summe der in T linearen Clektronenwärme und der kubischen Gitterwärme darstellen. Aus den Meßwerten für da und K werden die Daten für die Debye-Temperaturen (156°K bzw. 89,9°K), den Proportionalitätsfaktor des Elektronenanteils und die effektiven Massen der Leitungslektronen (1,33 bzw. 1,3 Elektronenmassen) berechnet.
- 469 R. S. Jessup. Precise measurement of heat of combustion with a bomb calorimeter. Lat. Bur. Stand. Monograph 1960, Nr. 7, (26. Febr.) S. 1—23. (Washington, D. C.) Diese Monographie gibt eine eingehende Beschreibung der Apparate und Methoden, die m National Bureau of Standards zur genauen Bestimmung der Verbrennungswärme on flüssigen (Kohlenwasserstoff-) Brennstoffen gebraucht werden. In einem Zahleneispiel wird die rechnerische Auswertung der Meßwerte durchgeführt. Die Technik der lerstellung und Füllung von Glaskolben, die Proben der flüssigen Brennstoffe enthalten, at angegeben. Die relative Unsicherheit der beschriebenen Methode beträgt etwa 0,1%. Gehm.
- -470 G. Wedler. Elektronische Wechselwirkung und Adsorptionswärme bei der Chemiorption von Gasen an aufgedampften Metallfilmen. I. Adiabatisches Kalorimeter zur leichzeitigen Messung von Adsorptionswärme und Filmwiderstand. Z. phys. Chem. N. F. 4, 73-86, 1960, Nr. 1/2. (Apr.) (Hannover, T. H., Inst. Phys. Chem. u. Elektrochem.) I. erweitert frühere Untersuchungen über die Chemisorption von Gasen mit Hilfe der

Änderung des elektrischen Widerstandes und der lichtelektrischen Empfindlichk durch Messungen der Adsorptionswärme, um neben Aussagen über die Richtung Elektronenverschiebung und die Polarisation der Molekeln auch solche über die Stät der Bindung zu erhalten. In einem adiabatischen Kalorimeter, ähnlich demjenigen BEEK, COLE und WHEELER, wird dazu gleichzeitig die Adsorptionswärme und Änderung des elektrischen Widerstandes eines aufgedampften Metallfilmes gemess Es wird der Aufbau und die Kalibrierung des Kalorimeters beschrieben und am Beist der Chemisorption von Sauerstoff an einem Nickelfilm gezeigt, daß eine exakte Ermilung der Adsorptionswärme möglich ist unter Zuhilfenahme der durch die Widerstan messung gewonnenen Kinetik des Chemisorptionsprozesses.

- 4-471 K. F. Sterrett, W. V. Johnston, R. S. Craig and W. E. Wallace. Calorimet studies of the kinetics of disordering in MgCd₃ and Mg₃Cd. J. phys. Chem. 64, 705-71960, Nr. 6. (Juni.) (Pittsburgh, Penn., Univ., Dep. Chem.)

 H. Ebert
- 4-472 Edward A. Mason and Hans von Ubisch. Thermal conductivities of rare gas m tures. Phys. Fluids 3, 355-361, 1960, Nr. 3. (Mai/Juni.) (College Park, Marylan Univ., Inst. Molecular Phys.; Stockholm, A. B. Atomenerg., Sect. Phys. Meta Vff. benutzen die in der Arbeit von von Ubisch (Ark. Fys. 16, 93, 1959) zusamm gefaßten Ergebnisse über Messungen der Wärmeleitfähigkeit von 10 verschiedenen bir ren Mischungen der Edelgase He, Ne, Ar, Kr und Xe, um Vergleiche mit der kinetisch Theorie durchzuführen. Die Rechnungen basieren auf den von Muckenfuss und Curtiss abgeleiteten Formeln für die thermische Leitfähigkeit eines n-Komponentsystems. Verwendet wird ein exp-6-Potential, und die Potentialparameter für ungleic Moleküle werden aus den Daten für gleiche Moleküle mit Hilfe halbempirischer Komnationsregeln berechnet. Auch eine Näherungsformel wird getestet, in der nur die Lefähigkeiten der reinen Komponenten erscheinen. Außerdem wird eine neue halbemp sche Formel benutzt und diskutiert. Die Übereinstimmung der Theorie mit dem Expement ist für die erwähnten binären Mischungen zufriedenstellend. Kelbg
- 4-473 R. E. Walker, N. de Haas and A. A. Westenberg. New method of measuring thermal conductivity. Phys. Fluids 3, 482-483, 1960, Nr. 3. (Mai/Juni.) (Silver Spri Maryl., Johns Hopkins Univ., Appl. Phys. Lab.) In einer Reihe von Arbeiten wu über eine Methode berichtet, mit deren Hilfe Gasdiffusionskoeffizienten dadurch messen wurden, daß man das Gas durch eine Punktquelle in eine laminare Strömt eines zweiten Gases einströmen ließ. Der Erfolg dieser Methode legte es nahe, damit at die Wärmeleitfähigkeit zu messen. An Stelle der Punktquelle hat sich dabei eine lini förmige Wärmequelle als günstig erwiesen. Es wurden die bekannten Werte von λ Zimmertemperatur gemessen. Für N_2 erhielt man z. B. bei 300° K für $\lambda = 6,26 \cdot 10^{-5}$ cm⁻¹s⁻¹, während der bekannte Wert $6,24 \cdot 10^{-5}$ beträgt. Man hofft, diese Methode au für höhere Temperaturen anwenden zu können.
- 4-474 M.N. Kogan. On flows with large heat conductions. Soviet Phys.-Doklady 974-976, 1960, Nr. 5. (März/Apr.) (Engl. Übers. aus: Doklady Akad. Nauk SSSR 1 488, 1959, Nr. 3.) Die Wärmeleitfähigkeit eines ionisierten Gases wächst stark infolge großen Elektronenbeweglichkeit. So nimmt die Prandtl-Zahl Werte von 10-2 an. I kleine Prandtl-Zahlen wird die stationäre Wärmeleitungsgleichung für ein längs ei Platte strömendes Gas gelöst und die auf die Wand übertragene Wärmemenge berecht Knorr
- 4-475 Melville S. Green. Comment on a paper of Mori on time-correlation expressions transport properties. Phys. Rev. (2) 119, 829-830, 1960, Nr. 3. (1. Aug.) (Washingt D. C., Nat. Bur. Stand.) Es wird gezeigt, daß ein von Mori abgeleiteter Zeit-Korlationsausdruck für die thermische Leitfähigkeit einer Flüssigkeit sich nur schein von einem vom Vf. in einer früheren Arbeit (J. chem. Phys. 22, 398, 1954) angegebei Ausdruck unterscheidet.

 Kallenbach
- 4-476 R. E. Nettleton. Relaxation theory of thermal conduction in liquids. Phys. Fluid 216-225, 1960, Nr. 2. (März/Apr.) (Houston, Texas, Rice Inst., Dep. Chem.) Vf. e wickelt auf der Grundlage früherer Arbeiten von Vernotte eine lineare Relaxation

leichung für den Wärmestrom in Flüssigkeiten, die eine Verallgemeinerung des FOURIERchen Wärmeleitgesetzes darstellt. Der Gleichung liegt die Annahme zugrunde, daß Värme durch elastische Wellen von sehr hoher Frequenz transportiert wird. Für einige lüssigkeiten werden die Wärmeleitzahlen berechnet und mit experimentellen Ergebnissen verglichen. Die Übereinstimmung ist befriedigend.

- -477 N. B. Vargaftik and A. A. Tarzimanov. An experimental investigation into heat conductance of water vapour. Teploenergetika 1960, Nr. 7, S. 12-16. (Orig. russ. m. engl. V. Weidemann.
- 478 **D. S. Davis.** Thermal conductivities of metal walls. Chem. Process Engng 41, 15, 1960, Nr. 5. (Mai.) (Alabama, Univ.)
- 1-479 Karl Dieter. Wärmeübergangsmessungen an Dünnschichtverdampfern. Chem. ug. Tech. 32, 521—524, 1960, Nr. 8. (Aug.) (Karlsruhe, T. H., Inst. Apparatebau, Grährenstech.) An zwei Dünnschicht-Verdampfern verschiedener Bauart wurden der Värmeübergang sowie die Belastungsgrenzen experimentell bestimmt. Geändert wurden bei den Versuchen der absolute Druck in den Apparaten, die zugeführte Heizeistung, die Temperatur zwischen Gefäßwand und Dampfstrom sowie die Drehzahl ler rotierenden Einbauten. Die Ergebnisse sind in graphischer Form dargestellt worden.
- 480 M. M. Nazarchuk and N. I. Pol'skii. Asymptotic behavior of solutions in heat ransfer. Soviet Phys.-Doklady 4, 1227—1229, 1960, Nr. 6. (Mai/Juni.) (Engl. Übers. aus: Ooklady Akad. Nauk SSSR 129, 759, 1959, Nr. 4.)

 V. Weidemann.
- 481 A. Frank. Wärme- und Stoffaustausch zwischen Dampfblase und Flüssigkeit bei Stickstoff/Sauerstoff-Gemischen. Chem.-Ing. Tech. 32, 330-335, 1960, Nr. 5. (Mai.) Zürich, Eidg. T. H., Inst. kalor. Apparate u. Kältetech.) H. Ebert.
- 1-482 G. A. Tirskii. The heating of a heat-conducting wall behind a moving compression hock. Soviet Phys.-Doklady 4, 981-984, 1960, Nr. 5. (März/Apr.) (Engl. Übers. aus: Doklady Akad. Nauk SSSR 128, 1140, 1959, Nr. 6.) Eine ebene Stoßwelle bewegt sich nit konstanter Geschwindigkeit parallel zur Obersläche der Wand in ein ruhendes Gas. Is wird eine exakte Lösung der Ausheizung der Wand im Bereich hinter der Stoßwelle gegeben.

 Knorr.
- 483 Guy K. White. Thermal expansion at low temperatures. Nature, Lond. 187, 927 bis 29, 1960, Nr. 4741. (10. Sept.) (Sydney, C. S. I. R. O., Div. Phys.) Entwicklung eines even Meßverfahrens für den thermischen Expansionskoeffizienten α. Meßprinzip: xakter Vergleich kleiner Kapazitäten, die sich aus der Verwendung des zu messenden robestücks als Plattenkondensatordielektrikum bei zwei verschiedenen Temperaturen irgeben. Dabei kann eine Ausdehnung des Dielektrikums um 10^{-9} cm noch nachgewiesen werden. Temperaturbereich des Meßverfahrens: bis hinab zu $T \approx \delta/100$; t = 0 charakteristische Temperatur. Angabe von konstruktiven Einzelheiten über eine xpansionszelle, in welcher das Probestück bei Expansion kleinste Änderungen einer lattenkapazität bewirkt. Montage der Zelle in einen normalen Kryostaten mit einem iustellbaren Temperaturbereich von $1,2^{\circ}$ bis 300° K. Der Vf. führt Messungen an folcenden Stoffen aus: an ausgeglühtem, reinem Cu, an gesintertem Be und an ausgebühtem Fe mit einer Reinheit von 99,96%. Ferner werden die Daten für die relativen ängenänderungen von Stäben aus folgenden Materialkombinationen gemessen: Curgen Cu; Cu gegen Be und Cu gegen Fe. Zusammenstellung der Meßergebnisse.

Thoma.

484 H. N. V. Temperley. The equation of state of a gas of elastic spheres. Proc. phys. Foc. Lond. 71, 238–246, 1958, Nr. 2 (Nr. 458). (1. Febr.) (Aldermaston, Berks., Atom. Weap. Res. Establ.) Modell eines unvollkommenen Gases, bei dem die Mayersche Funktion $\exp{(- \epsilon_{12}/kT)} - 1$ durch die Gauss-Funktion $- \Lambda \exp{(- \epsilon_{12}/k^2)}$ gegeben ist. Febr geringe Wahrscheinlichkeit, daß sich Zentren zweier Moleküle einander auf Abtände \ll a nähern. Also Ähnlichkeit mit elastischen Kugeln, aber "Radius" kompli-

ziert temperaturabhängig. Theorie ergibt, daß Virialreihe analytisch mit Zeichenwe sel der Virialkoeffizienten bei genügend hoher Ordnung. Annäherung an dieses Gre verhalten möglicherweise sehr langsam. G. Schumann

- 4-485 M. P. Madan. Non-equilibrium properties of rare gases. J. phys. Chem. 62, 893 894, 1958, Nr. 7. (Juli.) (Lucknow, India, Univ., Dep. Phys.) In Fortsetzung frühe Arbeiten (Ber. 33, 2337, 1954; J. chem. Phys. 23, 763, 1955; 27, 113, 1957) wurden a Literaturwerten über Kompressibilität, Kristalleigenschaften, Diffusion und thermisch Diffusion mittels der schon beschriebenen Methoden die Parameter des Lenal Jones 12:6- und des Exp:6-Potentials für Xenon und Neon ermittelt und zur Bere nung der Werte für Selbstdiffusion, thermische Leitfähigkeit und Viskosität in Teperaturbereichen zwischen etwa 100 und 600° K verwendet. Ein Vergleich der bere neten mit den experimentell vorliegenden Werten ergibt teilweise recht befriediger Übereinstimmung. Die angegebenen Potentialbeziehungen sind auch hier wie früher die Berechnung einzelner Transporteigenschaften recht brauchbar, versagen jedoch der Anwendung auf größere Temperaturbereiche und für alle diese Eigenschaften sammengenommen.
- 4-486 G. M. Bartenev. Second order phase transitions and λ-curves. Sh. fis. Chim. 618-622, 1960, Nr. 3. (Orig. russ. m. engl. Zfg.) (Moscow.) Durch λ-Kurven geke zeichnete Umwandlungen sind in vielen Fällen Umwandlungen erster Ordnung o solche, die durch Störungen des Prozesses und andere Faktoren verwickelt sind. Desh hält es Vf. für irrtümlich, λ-Punkte mit Umwandlungen zweiter Ordnung oder Phas Umwandlungen gleichzusetzen. Die in der Literatur eingeführte Auffassung, daß λ-Umwandlungen solche erster Ordnung oder Phasenumwandlungen mit ausgebilde störenden Prozessen sind, schließt eine Umwandlung zweiter Ordnung aus. Die Det tion der Phasenumwandlung zweiter Ordnung, wie sie von Ehrenfest vorgeschlag wurde, ist unzureichend, seit Diskontinuitäten in den Eigenschaften auch bei Umwalungen beobachtet worden sind, die nicht vom Typ Glasumwandlung sind.
- 4-487 E. J. Partington, J. S. Rowlinson and J. F. Weston. The gas-liquid critical to peratures of binary mixtures. Trans. Faraday Soc. 56, 479-485, 1960, Nr. 4 (Nr. 4) (Apr.) (Manchester, Univ., Dep. Chem.) Die kritischen Temperaturen (Gas-Flüssigk von 15 binären Gemischen aus n-Pentan, Neopentan, n-Hexan, Cyclohexan, Benzol i Toluol wurden in kleinen Glasröhren von 17 cm Länge und 0,28 cm innerem Dur messer ermittelt. Die kritischen Temperaturen von Gemischen zweier ähnlicher S stanzen, wie z. B. zweier aliphatischer oder zweier aromatischer Kohlenwassersto sind nahezu eine lineare Funktion der Molfraktionen der Komponenten. Die kritisch Temperaturen von Gemischen eines aliphatischen und eines aromatischen Kohlenwas stoffs liegen gleichmäßig unter dieser Linie. Der Unterschied weist darauf hin, daß Energie der Wechselwirkung zwischen einem aliphatischen und einem aromatisc Molekül ungewöhnlich schwach ist. Dieses Verhalten wird gestützt durch die there dynamischen Eigenschaften der flüssigen Gemische, aber nicht durch die zweiten Vir koeffizienten von Gemischen aus Benzol- und Cyclohexan-Dampf, über deren Messun in einem Anhang berichtet wird. J. Otto
- 4-488 J. F. Connolly and G. A. Kandalic. Virial coefficients and intermolecular force hydrocarbons. Phys. Fluids 3, 463—467, 1960, Nr. 3. (Mai/Juni.) (Whiting, India Standard Oil Co.) Die zweiten Virialkoeffizienten stark asymmetrischer Moleküle von Benzol und n-Octan werden experimentell ermittelt durch Messungen der Kopressibilitäten in 10°-Intervallen zwischen 200 und 300°C. Weitere bekannte Ergnisse für niedrigere Temperaturen werden herangezogen, um in einem weiten Teperaturbereich Vergleiche zu den theoretischen Formeln durchzuführen. Die numerisc Rechnungen zeigen, daß die Formel für den zweiten Virialkoeffizienten für ein KIHA Potential besser als für ein LENNARD-JONES-Potential dem experimentellen Befund gepaßt werden kann. Auch für Propan, n-Butan, -Pentan, -Hexan und -Heptan lie das KIHARA-Potential in einem großen Temperaturintervall zufriedenstellende Ergnisse.

- 489 R. Berman and C. F. Mate. Some thermal properties of helium and their relation the temperature scale. Low Temperature Phys. Chem. 5th int. Conf. 1957, Madison, Visc. 1958, S. 199–201. (Oxford, Univ., Clarendon Lab.) Vff. benutzen die Gleichung ir die latente Wärme $L=L_a(1-\rho_v/\rho_l)$, in der ρ_v und ρ_l die Dichten des gesättigten lampfes bzw. der Flüssigkeit bedeuten, in Verbindung mit der Gleichung von CLAUSIUS-LAPEVRON, um zu untersuchen, ob die Skala T_{L55} oder T_{55E} besser mit den experimentlen Ergebnissen übereinstimmt. Sie kommen zum Schluß, daß T_{L55} weniger genau ist J. Otto.
- 490 A. Michels, W. de Graaff and G. J. Wolkers. Thermodynamic properties of hydrogen and deuterium at temperatures between 175° C and 150° C and at densities up to 540 amagat. Physica 25, 1097—1124, 1959, Nr. 11. (Nov.) (Amsterdam, Nederl., Gemeente iniv., Van der Waals-hab.) Aus früher veröffentlichten Kompressibilitäts-Isothermen ür Wasserstoff und Deuterium wurden kalorische und thermische Funktionen für die inrmalen und die Gleichgewichts(ortho-para)-Konzentrationen berechnet. Die berechneten Eigenschaften sind Energie, Entropie, freie Energie, Enthalpie, freie Enthalpie, nnere kinetische Energie, spezifische Wärmen, Schallgeschwindigkeit und JOULE-THOMSON-Koeffizient. Die Werte sind in Abhängigkeit von der Dichte (bis 840 Amagat) und von der Temperatur (— 175 bis + 150°C) dargestellt. Die Ergebnisse für den JOULE-THOMSON-Koeffizienten wurden mit den Ergebnissen früherer Beobachter verglichen.

J. Otto.

4-491 I. P. Ishkin and M. G. Kaganer. An investigation of the thermodynamical properties of air and nitrogen at high pressures and low temperatures. I. The isothermal Joule-Thomson effect for air and nitrogen. Soviet Phys.-Tech. Phys. 1, 2255—2262, 1957, Nr. 10. Okt.) (Engl. Übers. aus: J. tech. Phys. SSSR 26, 2329, 1956, Nr. 10.) Es wurde eine Versuchsanordnung zur Messung des isothermen JOULE-THOMSON-Effektes von Gasen entwickelt. Die speziellen Teile der Anordnung, wie Kryostat und Kalorimeter, und die Meßmethode sind im Vergleich zu einer früher verwendeten Apparatur wesentlich verbessert. Es wurde der isotherme JOULE-THOMSON-Effekt von Luft und Stickstoff im Temperaturbereich +30 bis —183°C bei Drucken von 1,5 bis 50 Atm gemessen. Im kritischen Bereich wurden die Isothermen mit Intervallen von 5 grd ermittelt.

J. Otto.

- d-492 I. P. Ishkin and M. G. Kaganer. An investigation of the thermodynamical properties of air and nitrogen at high pressures and low temperatures. II. Thermodynamical phase liagrams of air and nitrogen. Soviet Phys.-Tech. Phys. 1, 2263—2271, 1957, Nr. 10. (Okt.) (Engl. Übers. aus.: J. tech. Phys. SSSR 26, 2338, 1956, Nr. 10.) Die Ergebnisse der Messungen des isothermen Joule-Thomson-Effektes von Luft und Stickstoff wurden benutzt, um Enthalpie, Entropie und spezifisches Volumen zu berechnen und die thermodynamischen Phasen-Diagramme mit den Koordinaten T s, i s, pv/RT p und pv/RT T zu zeichnen. Die Diagramme umfassen den Temperaturbereich vom Siedepunkt bis 300° K bei Drucken bis 50 Atm. Die Luft-Diagramme reichen bis 200 Atm; der Bereich von 50 bis 200 Atm wurde unter Zuhilfenahme früher veröffentlichter Werte zezeichnet. Die so gewonnenen Phasendiagramme sind hauptsächlich bestimmt für lechnische Berechnung von Maschinen und Apparaten in solchen Anlagen.

 J. Otto.
- 4-493 Eduard Hála. Vapor-liquid equilibrium. Sh. fis. Chim. 33, 2435-2441, 1959, Nr. 11. (Orig. russ. m. engl. Zfg.) (Praga.) Vf. schlägt eine Beziehung vor, die geeignet st, die wechselseitige Abhängigkeit des Gleichgewichts der Zusammensetzung von Phasen in Systemen mit einer beliebigen Anzahl von Komponenten mit jeder gewünschen Genauigkeit auszudrücken. Die Zahl der Konstanten in dieser Beziehung ninmt atürlich mit steigender Genauigkeitsanforderung zu. Die praktische Bedeutung der zleichung beruht auf der Tatsache, daß sie den Gebrauch algebraischer Methoden bei echnischen Berechnungen ermöglicht und die Zahl der Versuche, die für eine volltändige Charakterisierung eines Systems erforderlich sind, beschränkt. Bei Systemen mit drei und mehr Komponenten kann die Mehrzahl der Konstanten aus Daten binärer Systeme ermittelt werden. Die vorgeschlagene Gleichung kann selbst bei Systemen vervendet werden, deren beide Phasen in hohem Maße nicht ideal sind.

 J. Otto.

- 4-494 A.V. Storonkin and A. I. Rusanov. Thermodynamic theory of critical phenomen in tricomponent systems. I. Thermodynamic inequalities characterizing the critical states. Sh. fis. Chim. 34, 530-536, 1960, Nr. 3. (Orig. russ. m. engl. Zfg.) (Leningrad.) Zw. Klassen von Ungleichungen, die den kritischen Zustand vielkomponentiger System charakterisieren, wurden näher untersucht: 1. Ungleichungen, die die Bedingungen für Stabilität der kritischen Phase ausdrücken, 2. Ungleichungen, die den Typ d. kritischen Punktes in Hinsicht auf Temperatur, Druck und Konzentration einer d. Komponenten bestimmen.
- 4-495 A. Defrain et I. Epelboin. Sur quelques propriétés thermodynamiques d'une pha solide du gallium instable à la pression atmosphérique. J. Phys. Radium 21, 76-7 1960, Nr. 1. (Jan.) (Paris, Fac. Soi. Lab. Phys.)

 Behnsch.
- 4-496 Frank H. Stillinger jr., John G. Kirkwood and Peter J. Wojtowicz. Theory fused salts. J. chem. Phys. 32, 1837—1845, 1960, Nr. 6. (Juni.) (New Haven, Communiv., Sterling Chem. Lab.) Es wird eine Theorie der geschmolzenen Salze, zunäch für solche vom symmetrischen Valenztyp, entwickelt. Dabei wird den abstoßende Kräften kurzer Reichweite, die für Anionen und Kationen identisch angenommen weden, und den Coulomb-Wechselwirkungen gleiche Bedeutung zugemessen. Die Analy liefert eine lineare inhomogene Integrodifferentialgleichung, die die Verteilungen d Ionenpaare bei großen Abständen beschreibt. Die Theorie hängt nicht von dem Restritionsprinzip der Superposition ab. Sie ergibt, daß ein Ion durchschnittlich von konzetrierten Schalen wechselnder Ladungsdichte umgeben ist, was eine Art lokaler Gitte struktur liefert.
- 4–497 Le point de solidification du zinc en tant que point fixe primaire de l'échelle intenationale de température. P. V. Com. int. Poids Mes. (2) 26-A, T 94—T 101, 195 (S. B.) In der Arbeit, die im National Physical Laboratory Teddington durchgefüh wurde, wird gezeigt, daß die Erstarrungstemperatur sehr reinen Zinks (Reinheit bess als 99,999%) mit einer Sicherheit von ± 0,0005 grd gemessen werden kann. Der Zin punkt läßt sich mit größerer Genauigkeit als der Schwefelpunkt darstellen. Es erschei daher zweckmäßig, den Schwefelpunkt als primären Fixpunkt der internationale Temperaturskala durch den Zinkpunkt zu ersetzen. Für den Zinkpunkt wurde mit zw Platinwiderstandsthermometern der Wert 419,5055°C ermittelt.
- 4-498 Otto Pfannenschmid. Bestimmung der Atomverteilung in einatomigen Meta schmelzen. Diss. T. H. Stuttgart, 1960. (Bobingen b. Augsburg, Farbwerke Hoechs H. Ebert.
- 4–499 J. Oishi et M. Awano. Note sur la réalisation du point de l'or. P. V. Com. in Poids Mes. (2) 26-A, T 75-T 77, 1959. (S. B.) Vff. haben die Bestimmungen des Gound des Siedepunktes mit dem Gasthermometer konstanten Volumens wiederhowobei das bisher einfache Glasgefäß zur Vermeidung von Diffusionseffekten durch edoppelwandiges Quarzgefäß ersetzt worden war. Sie fanden für t_{Au} = 1063,73° C u für t_{Ag} = 961,28° C, also den Goldpunkt um nur etwa 0,04 grd höher und den Siedepun um etwa 0,08 grd tiefer. Da bisher keine Erklärung für die Unterschiede gegenüber dvon Moser, Otto und Thomas wesentlich höher gemessenen Werten gefunden werd konnte, sollen die Messungen mit einem Gasthermometer mit konstanter Gefäßte peratur, das Moser und Mitarbeiter benutzten, wiederholt werden.
- 4-500 P.J. Bruijn. On the asymptotic growth rate of vapour bubbles in superheated bind liquid mixtures. Physica 26, 326-334, 1960, Nr. 5. (Mai.) (Wageningen. Nederland Landbouwhogeschool, Lab. Natuur-en Weerkde.) Die Wachstumsgeschwindigkeit v. Gasbläschen in siedenden Flüssigkeiten R ist bestimmt durch R = C·t^{1/2}, wobei to Zeit und C eine Konstante sind. Der Vf. zeigt, daß diese Beziehung auch für Cmische zweier Flüssigkeiten verschiedener Flüchtigkeit gilt, dabei ist C eine Funktiger Eigenschaften der Komponenten des Gemisches wie Wärmeleitung, Viskosität under Temperatur an der Begrenzung der Gasbläschen. Das Problem ist von Interes da niedrige Wachstumsgeschwindigkeiten oft hohen Werten der Wärmeleitungszentsprechen, wie empirisch festgestellt worden ist.

- 501 J. H. Born jr. and M. L. Jones. Efficiency of a high temperature vaporizer. Chem. ngng Progr. 56, 39-44, 1960, Nr. 7. (Juli.) Es wird der Wirkungsgrad eines Hochemperaturverdampfers mit einer organischen Flüssigkeit als Wärmeübertragungstittel untersucht. Angegeben wird die Zusammensetzung, der Heizwert und der Verauch des Heizöls, die Temperaturen und die Zusammensetzung der Gasgemische in den uzelnen Verbrennungsphasen und im Wärmeabsorptionsteil, ferner die Oberflächenmperaturen der mit den Gasen in Berührung kommenden Flächen. Die Ergebnisse reden für zwei Brennerarten in Kurven dargestellt.
- 1-502 G. Schneider. Verdampfungsgleichgewichte in Kohlenwasserstoff-Anilin-Systemen. phys. Chem. N. F. 24, 165-182, 1960, Nr. 3/4. (Mai.) (Göttingen, Univ., Inst. phys. hem.)

 H. Ebert.
- 5-503 Frederic E. Holmes. A single unit for scavenging and estimating waste from a later still. Analyt. Chem. 32, 304, 1960, Nr. 2. (Febr.) (Cincinnati, Ohio, Christ Hosp., Kirchner.
- 504 Jovanka M. Zivojinov. Détermination de l'entropie d'ébullition. Suppl. J. Phys. adium 21, 37 A-38 A, 1960, Nr. 3. (März.) (Belgrade, École Polytech., Inst. Phys.)
 Behnsch.
- 505 R. J. Berry. Relation température-temps dans la réalisation du point du soufre du point triple de l'eau. P. V. Com. int. Poids Mes. (2) 26-A, T 116—T 122, 1959. B.) Durch umfangreiche Untersuchungen wurde festgestellt, daß reiner siedender chwefel seine Gleichgewichtstemperatur erst nach etwa 10 Tagen erreicht und daß die ann endgültig erreichte normale Siedetemperatur um etwa 0,008 grd gegenüber der aninglichen Siedetemperatur gefallen ist. Der Ursprung des Schwefels und die Art des ber dem Schwefel befindlichen Gases scheinen ohne Einfluß zu sein. Weiter wurde festestellt, daß sich die Temperatur des Tripelpunktes von Wasser in den für diese Zwecke enutzten üblichen Gefäßen in den ersten Stunden des Gebrauchs bis zur Dauer von twa 2 Tagen um etwa 0,0003 grd ändern kann. Danach bleibt die Temperatur innerhalb er experimentellen Fehlergrenzen konstant.
- 506 A. J. Darnell and S. J. Yosim. Some thermodynamic properties of solid bismuth dorides. J. phys. Chem. 63, 1813-1815, 1959, Nr. 11. (Nov.) (Canoga Park, Calif., orth Amer. Aviat., Inc., Atom. Internat.) Die thermodynamische Stabilität von estem BiCl wurde im Hinblick auf seine Disproportionierungsprodukte - Bi (fest) und iCl_3 (gasförmig) - zwischen 127 und 242 $^{\circ}$ C bestimmt. Gleichzeitig wurden die Drucke s gasförmigen BiCl₃ über dem festen Subhalogenid und über reinem BiCl₃ mittels der ethode von Knudsen gemessen. Die Drucke des BiCl₃ aus der Sublimation und aus den isproportionierungsreaktionen lassen sich darstellen durch $\log p_{BiCl3}$ (atm) = (-6200) $(30)/T + 9.95 \pm 0.07$ bzw. $\log p_{BiCl3}$ (atm) = $(-6360 \pm 60)/T + 9.29 \pm 0.14$. Die rgebnisse zeigen, daß das Subchlorid im Hinblick auf seine Disproportionierungsodukte kaum stabil ist. Für die Bildung von festem BiCl wurden bei 298° K folgende Verte berechnet: $\Delta H^0 = -30.4$ kcal/mol, $\Delta F^0 = 24.0$ kcal/mol und $\Delta S^0 = -18.0$ ntropieeinheiten. Für die Bildung von festem BiCl₃ ergaben sich folgende neue Werte: $\mathbf{F^0} = -73.6$ kcal/mol, $\Delta S^0 = -57.1$ Entropieeinheiten und $S^0 = 36.4$ Entropieeineiten. J. Otto.
- 4. Hossenlopp, F. R. Frow, J. P. Dawson and Guy Waddington. Pyrrolidine: Chemical ermodynamic properties between 0 and 1500° K. Effect of pseudo rotation, and an unusual ermal anomaly in the liquid state. J. amer. chem. Soc. 81, 5884—5890, 1959, Nr. 22. (Nov.) (Bartlesville, Okla., U. S. Dep. Inter., Bur. Mines, Petrol. Exp. Stat., Thermorn. Lab.) Die chemischen thermodynamischen Eigenschaften von Pyrrolidin im idealen isförmigen Zustand wurden unter Verwendung kalorimetrischer, spektroskopischer und olekularer Struktur-Daten für den Temperaturbereich 0 bis 1500° K berechnet. Gesinsam mit anderen gesättigten Molekülen mit fünfgliedrigen Ringen besitzt das trolidin-Molekül einen "pseudorotationalen" Freiheitsgrad. Die beste Übereinstiming zwischen berechneten und beobachteten thermodynamischen Eigenschaften

wurde unter der Annahme erzielt, daß die "Pseudorotation" durch eine potenti Schranke von 300 cal/mol behindert wird. Umfangreiche experimentelle Untersuch gen lieferten u. a. folgende Werte: Wärmekapazitäten für den festen Stoff oberl 13°K, für die Flüssigkeit unterhalb 350°K und für den Dampf zwischen 350 und 500°eine Umwandlungstemperatur erster Ordnung im festen Zustand (207,14°K) mit einer Schm wärme von 2050 cal/mol; Dampfdrucke zwischen 43 und 121°C [log (Torr) = 6,92 — 1180,451/(t + 205,304)] und damit normale Siedetemperatur bei 359,72°K = 86,56 Verdampfungswärme beim normalen Siedepunkt 7890 cal/mol; thermodynamis Funktionen für den festen und flüssigen Zustand von 10 bis 360°K, Parameter der standsgleichung; Verbrennungs- und Bildungswärme bei 298,16°K. Eine ungewöhnlich Anomalie, die möglicherweise auf Effekte der beschränkten Pseudorotation und/c Assoziation zurückzuführen ist, wurde bei der Wärmekapazität des flüssigen Pyrrolie beobachtet.

4–508 **R. J. Sime** and **N. W. Gregory.** Vapor pressure of chromium (II) bromide. J. at chem. Soc. 82, 800–801, 1960, Nr. 4. (20. Febr.) (Washington, Univ., Dep. Che Die Dampfdrucke von festem CrBr_2 wurden zwischen 972 und 1083°K mittels Strömungsmethode unter Verwendung von Argon als Trägergas und in der Nähe 840°K mittels der Torsions-Ausströmungsmethode gemessen. Die gemessenen W lassen sich durch die Beziehung log p (Torr) = $-12050/\mathrm{T} + 11,06$ darstellen. Ther dynamische Eigenschaften der monomeren und dimeren Form wurden abgeschätzt J. Otte

4–509 John G. Malm, Henry Selig and Sherman Fried. The preparation and proper of ReF_7 . J. amer. chem. Soc. 82, 1510, 1960, Nr. 6. (20. März.) (Lemont, Ill., Argo Nat. Lab.) Bei Versuchen zur Darstellung von ReF_6 gelang es Vff., auch das bisher bekannte ReF_7 herzustellen. ReF_7 ist ein hellgelber fester Stoff mit einem Schmelzpu von 48,3° C, während das gelbe ReF_6 bei 18,6° C schmilzt. Weiter werden Dampfdru beider Substanzen im Temperaturbereich 0 bis etwa 34° C mitgeteilt. Dampfdich messungen ergaben folgende Molekulargewichte: 322,7 für ReF_7 und 300,9 für ReF_6 . J. Otto

4-510 J. R. Clement. The temperature scale and temperature measurement. The dynamic evaluation of the 55 E temperature scale. Low Temperature Phys. Chem. 5th Conf. 1957, Madison, Wisc. 1958, S. 187—192. (Washington, D. C., U. S. Naval Res. L. Es wird nachgewiesen, daß die Dampfdrucktabelle des Heliums, die der Vf. mit Lound Gaffeney (Ber. 35, 1738, 1956) auf Grund der vorliegenden Dampfdruckwerte Keller, Berman und Swenson, Erickson und Roberts, Ambler und Hudson agestellt und mit 55 E bezeichnet hatte, sowohl im Hinblick auf die direkten p. Messungen als auch vom Standpunkt der Thermodynamik eine voll zufriedenstelle Temperaturskale darstellt.

4-511 S. P. Detkov. On the differential effusion method of determining vapor press Sh. fis. Chim. 34, 196-199, 1960, Nr. 1. (Orig. russ. m. engl. Zfg.) (Sverdlovsk.) Für Korrektionsfaktor des Dampfdruckes, der aus den Werten berechnet wird, die mittels der differentiellen Ausströmungsmethode ergeben, wurde ein Ausdruck al leitet. Er berücksichtigt den Einfluß der Wanddicke der zylindrischen Öffnung in Effusionskammer.

4-512 Walter Deckert. Die exakte Bestimmung niedriger Kohlensäurekonzentrationer Luft. Z. anal. Chem. 176, 163–169, 1960, Nr. 3. (10. Aug.) (Hamburg, Hyg. In Untersuchungsanst. Städtehyg.) Die Genauigkeit der Bestimmung von kleinen Gehalten in Luft läßt sich erheblich steigern, wenn man bei der üblichen Rücktitrati methode auf -80° gekühlte alkoholische Lauge verwendet. Einfacher ist ein au Verfahren, bei dem das $\rm CO_2$ in 25%igem ammoniakalischem Alkohol absorbiert und schließend mit 0,1 n Natronlauge titriert wird. Relative Unsicherheit bei den vork menden Gehalten \pm 1% des $\rm CO_2$ -Gehaltes.

- 4-513 A. Packter. Precipitation from supersaturated solutions of insoluble and sparingly soluble metal salts. I. The particle size of crystalline precipitates. J. phys. Chem. 62, 1025 bis 1029, 1958, Nr. 9. (Sept.) (Middlesex, Engl.) Es werden die Faktoren diskutiert, die die Kristallgröße der Bodenkörper aus übersättigten schwer löslichen Metall-Salz-Lösungen bestimmen. Die experimentell gefundenen Werte lassen sich durch eine aufeinanderfolgende Zweistufen-Kernbildung und einen Kondensationsmechanismus ähnlich dem der Sol-Koagulation erklären. Bei beliebiger Übersättigung wird die Kristallgröße der Bodenkörper von Salzen unterschiedlicher Löslichkeit hauptsächlich durch die Konzentration bestimmt.
- 1-514 **D.M. Himmelblau** und **E. Arends.** Die Löslichkeit inerter Gase in Wasser bei hohen Temperaturen und Drucken. Chem.-Ing. Tech. (A) **31**, 791—795, 1959, Nr. 12. (Dez.) (Austin, Texas, Univ.) Die Arbeit vermittelt einen Überblick über experimentelle Untersuchungen der Gaslöslichkeit in Wasser bei hohen Drucken (teilweise bis zu 680 atm) und Temperaturen (bis zu etwa 300°C). Es wurden nur solche Gase berücksichtigt, die nicht mit Wasser reagieren (O₂, N₂, H₂, He, Xe, CH₄, C₂H₄, C₂H₆, C₃H₆, C₃H₈, n-C₄H₁₀ und i-C₄H₁₀). Theoretische Ansätze zur rechnerischen Behandlung des Problems werden mitgeteilt.
- 4-515 **D. M. Himmelblau.** Partial molal heats and entropies of solution for gases dissolved in water from the freezing to near the critical point. J. phys. Chem. **63**, 1803—1808, 1959, Nr. 11. (Nov.) (Austin, Texas, Univ., Dep. Chem. Engng.) Für die Löslichkeit von O₂, N₂, H₂, He, Xe und CH₄ in Wasser wurden unter Verwendung einer neuen Löslichkeitsbeziehung und der Prinzipien der idealen verdünnten Lösung thermodynamische Löslichkeitsfunktionen berechnet. Die partiellen molaren Löslichkeits-Wärmen und -Entropien wurden vom Gefrierpunkt des Wassers bis zu dessen kritischer Temperatur als Funktion von 1/T dargestellt. Die partiellen molaren Lösungswärmen scheinen am besten bei 25° mit Kräftekonstanten und bei 4° mit Polarisierungsfaktoren in linearer Beziehung zu stehen. Die partiellen molaren Lösungsentropien sind beträchtlich negativer als die derselben Gase im gleichen Standardzustand in nichtpolaren Lösungsmitteln. Eine Deutung des Verlauß der partiellen molaren Wärmekapazitäten und Entropien der Lösung erfolgt am besten durch Annahme eines höheren geordneten Zustandes im Wasser, d. h. einer quasi eisähnlichen Struktur.
- 4-516 H. Iveković and B. Milićević. Saturated ternary systems. I. Some physico-chemical properties of solutions of 1,1,1-trichloro-2,2-bis-(p-chlorophenyl)-ethane and of gamma-1,2,3,4,5,6-hexachlorocyclohexane in the systems water-acetone and water-1,4-dioxane. II. Equation of solubility in a mixture of two solvents. Croat, chem. Acta 31, 83-90/91 bis 98, 1959, Nr. 2. (Zagreb, Univ., Inst. Inorg. Analyt. Phys. Chem., Fac. Pharm.; Belgrade, Inst. Plant Protect.) I. Es wurden Untersuchungen über die Löslichkeit von 1,1,1-Trichlor-2,2-Dichlor-p-Diphenyl-Äthan (DDT) und von γ-1,2,3,4,5,6-Hexachlorcyclohexan in Wasser-Aceton und in Wasser-1,4-Dioxan durchgeführt. Die Dichten, die Oberflächenspannungen, die Viskositäten und die Brechungsquotienten dieser gesättigten ternären Systeme wurden bestimmt. Auffallende Änderungen der physikalischen Werte bei bestimmten Konzentrationen konnten mit der Annahme von Tri- und Tetrahydraten des Dioxans und des Acetons gedeutet werden. Im System DDT-Wasser-Dioxan wurden zwei gegenseitig nicht mischbare Zusammensetzungen gefunden. II. Für die Löslichkeit einer Substanz in einer Mischung von zwei Lösungsmitteln wurde eine Beziehung aufgestellt. Es konnte gezeigt werden, daß bereits bekannte Gleichungen Kirchner. Spezialfälle dieser Beziehung darstellen.
- 4-517 A. Yu. Namiot. Water solubility of gases under pressure. Sh. fis. Chim. 34, 1593—1598, 1960, Nr. 7. (Orig. russ. m. engl. Zfg.) (Moscow.) Mit Hilfe einer Analyse der experimentellen Daten über die Phasengleichgewichte und Volumenmessungen bei Lösungen von Methan, Stickstoff und Kohlendioxyd in Wasser bei 25° bis zu Drücken von 450 atm wurde gefunden, daß für diese Systeme das Henrysche Gesetz in seiner thermodynamischen Formulierung gilt. Die Wasserlöslichkeit der drei Gase unter Druck kann aus den Löslichkeitsdaten der binären Wasser-Gas-Systeme und den Aktivitätskoeffizienten der Komponenten in der Gasphase berechnet werden.

- 4-518 Harald Schäfer und Hans-Joachim Heitland. Gleichgewichtsmessungen im Syste Iridium-Sauerstoff. Gasförmiges Iridiumtrioxyd. Z. anorg. Chem. 304, 249-265, 196 Nr. 5/6. (Juni.) (Münster, Univ., Anorg.-Chem. Inst.)
- 4-519 Harald Schäfer und Alfred Tebben. Gleichgewichtsmessungen im System Plati Sauerstoff. Gasförmiges Platindioxyd. Z. anorg. Chem. 304, 317-321, 1960, Nr. 5/ (Juni.) (Münster, Univ., Anorg.-Chem. Inst.)
- 4-520 A. Henglein and G. A. Muccini. Mass spectrometric studies of ion-molecular reactions in mixtures of methane, methanol, water, argon and krypton with iodine. Partie pation of excited ions and atoms and some radiation chemical considerations. Z. Natur 15a, 584-593, 1960, Nr. 7. (Juli.) (Pittsburgh, Pa., Mellon Inst., Radiat. Res. Lak Es werden mit einem für Auftrittspotentialmessungen umgebauten Massenspektromet der Consolidated Electrodynamics Corp., Modell 21-103 C, Reaktionen in Gasgemisch verschiedener Substanzen mit Jod untersucht. Das Auftreten der Ionen XJ+ (X = CH CH_4O^+ , Ar^+ , Kr^+ etc.) wird auf die Reaktionen $\text{X}^+ + \text{J}_2 \to \text{XJ}^+ + \text{J}$ zurückgeführ Die Auftrittspotentiale der Ionen XJ^+ (z. B. für CH_4J^+ 10,7 V, d. h. 1,3 V über de Ionisierungspotential von Jod und 1,6 V unter dem von Methan) und die Formen d Ionisierungswahrscheinlichkeitskurven lassen darauf schließen, daß das Jodion i angeregten Zustand an der Reaktion beteiligt ist. ArJ+ tritt beim Anregungspotenti des metastabilen Zustandes des Argonatoms (3P2) auf (11,5 V). KrJ+ tritt 0,6 V unte halb des Ionisierungspotentials von Krypton auf. - Jod reagiert mit vielen Moleki und Bruchstückionen mit Wirkungsquerschnitten von der Größenordnung 50 Å Mittels einfacher Berechnungen wird gezeigt, daß diese Wirkung von Jod in Radika fängerexperimenten bei strahlungschemischen Untersuchungen in Betracht zu ziehen is Wachsmuth.
- 4-521 A. Schavo and C. A. Winkler. The reactions of active nitrogen with acetyler methyl-acetylene and dimethylacetylene. Canad. J. Chem. 37, 655-659, 1959, Nr. (Apr.) (Montreal, Que., McGill Univ., Phys. Chem. Lab.) Als Stickstoff enthaltend Hauptprodukt wird Cyanwasserstoff bei allen drei Reaktionen erhalten. Bei der Actylenreaktion wird nur ungefähr die Hälfte des aktiven Stickstoffs umgesetzt, währer die Umwandlung mit Methyl- und Dimethylacetylen vollständig ist. Die Bildung von HCN hängt wesentlich von der Strömungsgeschwindigkeit ab. Das Auftreten von kleineren Gehalten ähnlicher Produkte wird diskutiert.
- 4-522 P. G. Blake and Sir Cyril Hinshelwood. The homogeneous decomposition reaction of gaseous formic acid. Proc. roy. Soc. (A) 255, 444-455, 1960, Nr. 1283. (10. Mai.) (O ford, Engl., Univ., Phys. Chem. Lab.)
- 4–523 R. M. Barrer and T. Gabor. Sorption and diffusion of simple paraffins in silic alumina cracking catalyst. Proc. roy. Soc. (A) 256, 267–290, 1960, Nr. 1285. (21. Jun (London, Imp. Coll., Chem. Dep. Phys. Chem. Labs.)

 Behnsch.
- 4–524 J. R. Morton and D. S. Stark. The dissociation pressures of titanium and zirconiu deuterides as functions of composition and temperature. Trans. Faraday Soc. 56, 351–35 1960, Nr. 3 (Nr. 4/47). (März.) (Baldock, Herts., Serv. Electron. Res. Lab.) Die Gleic gewichts-Dissoziationsdrucke von Titan- und Zirkon-Deuteriden wurden in Abhängikeit von der Zusammensetzung und der Temperatur für atomare Verhältnisse (Deterium: Metall) zwischen 0,02 und 1,80 im Druckbereich 3 bis 100 μ Torr gemessen. einem Diagramm, dessen Abszisse 1/T° K·10³ ist und dessen Ordinate logarithmis geteilt ist, liegen die Drucke auf einer geraden Linie, deren Gradient die Dissoziation wärme liefert.
- 4-525 Joseph O. Hirschfelder and Sarah S. van Domelen. Propagation of flames suppleted by a zeroeth-order chemical reaction. Phys. Fluids 3, 210-216, 1960, Nr. 2. (Mäd Apr.) (Madison, Wis., Univ., Theor. Chem. Lab.) Flammen, die durch Reaktion nullter Ordnung unterhalten werden, zeichnen sich dadurch aus, daß Fortpflanzung geschwindigkeit und Reaktionszonenlänge von der Diffusion unabhängig sind und die Umsetzung in endlicher Entfernung von der Front abgeschlossen ist. Hiermit si diese als vereinfachtes Modell für komplizierte (3-dimensionale bzw. instationät

lammensysteme geeignet. Das Reaktionsprofil solcher Flammen wird für den station eindimensionalen Fall exakt und mit Hilfe einer einfachen Näherung, die die Lammenvariablen in geschlossener Form ergibt, berechnet und tabellenmäßig festzelegt.

- R. Ben-Aim. Théorie des explosions. Application au cas des flammes froides du entane normal. J. Chim. phys. 57, 683-706, 1960, Nr. 9. (Sept.) (Paris, Fac. Sci., Lab. him. Gén.) Vf. entwickelt die Theorie der nicht-isothermen Kettenreaktionen und eigt dabei, daß alle exothermen Kettenreaktionen einen positiven Verzweigungsaktor haben. Diese Theorie ist eine Synthese der Theorien der isothermen Kettenraktionen und der thermischen Reaktionen. Experimentell untersuchte Vf. die Oxyation von n-Pentan durch O2 bei tiefer Temperatur. Mittels eines Manometers wurde er Druck, mittels eines Thermoelements die Temperatur des Ofens gemessen. Mit inem Pt-Widerstandsthermometer wurde die Temperatur auf einem Durchmesser les Reaktionsgefäßes von 115 cm³ registriert. Die langsame Reaktion, deren kritischer emperaturanstieg in Übereinstimmung mit der Theorie zu etwa 14° bestimmt wurde, ührt zu einer Explosion mit starkem Anstieg der Temperatur, der wieder eine langame Reaktion folgt. Es können maximal 5 kalte Flammen auftreten, hierfür ist auch der Druck bedeutungsvoll. Der Verzweigungsfaktor ergibt sich ebenfalls in Übereinstimnung mit der Theorie zu 0,655. Es wird folgender Reaktionsmechanismus vorgeschlagen R = Kohlenwasserstoff-Rest): $RH + O_2 \rightarrow R' + HO_2$, $R' + O_2 \rightarrow ROO'$, $ROO' \rightarrow Idehyd$ oder Keton + OH, $ROO' + RH \rightarrow ROOH + R'$, $ROOH \rightarrow RO' + OH$, $RO' \rightarrow Aldehyd + R'; RO' + RH \rightarrow ROH + R'.$ M. Wiedemann.
- Kunio Terao. Selbstzündung des n-Hexan-Luft-Gemisches in Stoßwellen. J. phys. Soc. Japan 15, 1113—1122, 1960, Nr. 6. (Juni.) (Göttingen, Univ., Inst. phys. Chem.) In kinem Stoßwellenrohr wurde für ein explosibles Gemisch (n-Hexan/Luft) die Induktionszeit, das Zeitintervall zwischen dem Auftressen der Stoßwelle und der Entslammung les Gemisches unter verschiedenen Versuchsbedingungen ermittelt und daraus die tatistische Schwankung bestimmt. Die Induktionszeit der Entzündung besteht aus zwei Teilen, der Anlaufzeit und der Entzündungszeit. Während die erste nur von der Reaktionsgeschwindigkeit abhängt, ist die zweite eine Funktion der Gemischkonzentation. Aus der Entzündungsreaktion, die sich aus Start- und Sekundärreaktion zusammensetzt, kann die Aktivierungsenergie bestimmt werden und die Reaktionstufenzahl vermutet werden.
- 4-528 Peter Gray and M. J. Harper. Thermal explosions. I. Induction periods and emperature changes before spontaneous ignition. Trans. Faraday Soc. 55, 581-590, 1959, Nr. 4 (Nr. 436). (Apr.) (Leeds, Univ., School Chem.) Die in der Theorie der Wärmervplosion auftretenden Probleme bei stationären Zuständen können auch durch die Einführung einer dimensionslosen Temperatur Θ , gegeben durch die Beziehung $T-T_0=\Theta$ RT $_0^2$ /E, untersucht werden. Unter Benutzung dieser Temperatur geben die Vff. Dun mehr Näherungsmethoden für Nichtgleichgewichtszustände zur Berechnung der weitlichen Änderung der Temperaturen in exothermen Reaktionen und für Induktionszeiten vor Eintritt der Explosion an.
- 12-529 James A. Fay. Two-dimensional gaseous detonations. Velocity deficit. Phys. Fluids 2, 283—289, 1959, Nr. 3. (Mai/Juni.) (Cambridge, Mass., Inst. Technol.) Während lie Chapman-Joguet-Theorie den Einfluß der Gestalt und die Größe des Rohres, in dem eine Detonation stattfindet, auf die Detonationsgeschwindigkeit nicht berücksichtigt und die Theorie von Zeldovitch diesen nur qualitativ erklärt, wird hier durch Betrachungen über die Grenzschicht innerhalb der Reaktionszone eine Beziehung gefunden, lie den Unterschied zwischen den nach Chapman-Joguet berechneten und den in Rohren gemessenen Werten der Detonationsgeschwindigkeit für etliche als Beispielungeführte Gasgemische innerhalb eines Faktors 2 richtig wiedergibt.
- 1-530 A. F. Belyaev and R. Kh. Kurbangalina. The effect of the initial temperature on the value of the critical diameter of nitroglycerine and trotyl. Sh. fis. Chim. 34, 603-610, Nr. 3. (Orig. russ. m. engl. Zfg.) (Moscow.) Der kritische Durchmesser von Nitroglycerin, lüssigem Trinitrotoluol und Trinitrotoluolpulver wurde im Hinblick auf die Initial-

temperatur untersucht. Bei Zunahme der letzteren ergab sich eine Verminderung okritischen Durchmessers von Nitroglycerin und flüssigem Trinitrotoluol. So fielge kritische Durchmesser von 3,9 auf 1,1 mm, wenn die Initialtemperatur von Nitroglycerin von -20 auf +70°C stieg. Im Falle des flüssigen Trinitrotoluols hatte ei Zunahme der Initialtemperatur von 81 bis 240°C eine Abnahme des kritischen Durchmessers von 62 bis 6 mm zur Folge. Auf Grund der für den kritischen Durchmesserhaltenen Werte wurde geschlossen, daß sich Trinitrotoluol in der Nähe des Flampunktes im Hinblick auf Explosionsfähigkeit, Empfindlichkeit usw. ähnlich verhalt sollte wie Nitroglycerin. Unter der Annahme, daß flüssiges Trinitrotoluol und Nittglycerin infolge Wärmeentwicklung durch Kompression mit anschließender gleic förmiger Reaktion detoniert, sollte die Temperatur, die eine Stoßwelle erzeugt (Inititemperatur der chemischen Reaktion), bei 1100 bis 1200°K liegen.

4-531 Saburo Adachi. Impedance characteristics of a uniform current loop having spherical core. J. Res. nat. Bur. Stand. 64 D, 295-299, 1960, Nr. 3. (Mai/Juni.) (Control of the control of the lumbus, Ohio, Univ., Dep. Elect. Engng, Antenna Lab.) Die Strahlungsimpeda setzt sich aus der Eigenstrahlungsimpedanz des gleichförmigen Stromringes in L und einem durch die Wechselwirkung mit dem Kugelkern gleichen Durchmessers I dingten Anteil zusammen, der eng mit dem Koeffizienten zusammenhängt, der für d bei der Beugung einer ebenen Welle an einer Kugel entstehenden magnetischen Welle typ gültig ist. Aus der unter der Voraussetzung Ringdurchmesser « Wellenlänge wonnenen Resonanzbedingung wurde graphisch die Antiresonanzfrequenz in Abhäng keit von der Permeabilität μ_s bzw. Dielektrizitätskonstanten ε_s des verlustlosen Kern ermittelt. Der Resonanz-Durchmesser des Ringes nimmt von $0{,}159\cdot\lambda$ bei $\mu_s\epsilon_s=1$ $1,43 \cdot \lambda$ bei $\mu_s \varepsilon_s \to \infty$ zu. Zur qualitativen Abschätzung für beliebige μ_s, ε_s . Wertepa wurden Realteil und Imaginärteil der Impedanz und ihr Quotient jeweils für $\mu_s=10$ $\varepsilon_s=1$, für $\mu_s=1$, $\varepsilon_s=100$ und schließlich für $\mu_s=\varepsilon_s=1$ berechnet und dargeste Dabei zeigt sich, daß bei relativ niedrigen Frequenzen hochpermeable Kerne vor: ziehen sind. Jäkel

4-532 M. S. Wheeler. Response of a square aperture to a thermal point source of radiation Proc. Inst. Radio Engrs. N. Y. 48, 1170—1171, 1960, Nr. 6. (Juni.) Teil I. (Baltimo Md., Westinghouse Elect. Corp., Friendship Internat. Airport.) Vf. untersucht dieser Arbeit die Richtdiagramme von Aperturantennen, die von thermisch Strahlungsquellen ausgeleuchtet werden. Das effektive Richtdiagramm ist von Enandbreite der Strahlungsquelle abhängig. Eine Berechnung erfolgt über das RAYLEIG JEANSSChe Gesetz. Bei Antennen mit quadratischen Aperturen sind die erforderlich Integrationen geschlossen durchführbar. Mit wachsender Bandbreite der Strahlu wächst auch die Breite der mittleren Keule, aber die Fiederung des Richtdiagram verschwindet.

4-533 S. Albertoni, P. Boechieri and A. Loinger. New theorem in the classical ensembleory. J. Math. Phys. 1, 244-248, 1960, Nr. 3. (Mai/Juni) (Milano, Ist. Mat. Polit Ist. Naz. Fis. Nucl.; Pavia, Univ., Inst. Fis.) Die übliche Fundierung der klassisch statistischen Mechanik bildet der zweite Mischungssatz von Hopf in der Enseml Theorie. Dabei werden Systeme vorausgesetzt, die metrisch transitiv sind, wofür maber keine Kriterien kennt. Daher wird hier ein anderer zur Fundierung geeigne Satz aus der Ensemble-Theorie bewiesen. Der Satz lautet: Man betrachte eine fersonst beliebige Unterteilung der Energieschale I eines isolierten dynamischen System Zellen Iv (v = 1, 2, ..., N). Nach Einführung einer geeigneten Definition eines Futionalmittelwertes B gilt für "fast alle" Liouvilleschen Dichtefunktionen am Anfallen.

 $\rho\left(p',\,q';\,0\right)\colon D\equiv\frac{\lim_{N\to\infty}\frac{1}{T}}{T}\int_{0}^{T}\,dt\,\left\{\left[\int\!I\nu\,\rho\left(p',\,q';\,t\right)dp'dq'-\frac{\sigma_{\nu}}{\sigma}\right]^{2}\right\}=0,\,wo\,\sigma_{\nu}=\int\!I\nu\,dp'dt'$

 $\sigma = \int_{\Gamma} \mathrm{d} p' \, \mathrm{d} q'$ die Maße von I_V und I sind. "Fast alle" bedeutet eben, daß für jenen Mit wert \mathfrak{B} gilt: $\mathfrak{B}D = 0$. Unitarität des Koopman- von Neumannschen Zeitentwicklur operators, d. h. Kanonizität der Bewegungsgleichungen ist die einzige benötigte dy mische Eigenschaft. Beim Beweis dieses Satzes wird die Koopman-von Neumanns Formulierung der klassischen Dynamik im Hilbert-Raum benützt. E. Sautei

534 J. Salmon. Action de l'opérateur de collision élastique de Boltzmann sur une onction isotrope des vitesses dans un gaz de Lorentz imparfait. J. Phys. Radium 21, 17-222, 1960, Nr. 4. (Apr.) Unter der Voraussetzung eines nichtidealen LORENTZiases, das sich im thermischen Gleichgewicht befindet und sich aus schweren Partikeln nit der Dichte N, die einer Maxwellschen Verteilungsfunktion gehorchen, sowie leichen Partikeln der Dichte n zusammensetzt, wobei n \ll N, ist die Verteilungsfunktion ler leichten Partikeln nur von den Kollisionen mit den schweren Partikeln abhängig. Der BOLTZMANN-Operator J (f) für elastische Kollisionen wird unter Annahme zentraler töße abgeleitet und auf eine isotrope Verteilungsfunktion der leichten Partikel anrewendet. Um mathematische Schwierigkeiten zu umgehen, werden nur zwei Gruppen der leichten Partikeln betrachtet, solche mit hoher und solche mit niedriger Geschwinligkeit, unter Vernachlässigung der mittleren Geschwindigkeiten. J(f) wird unter der Annahme, daß die Differenz der Geschwindigkeiten der leichten Partikeln vor und nach dem Stoß gering ist, abgeleitet und integriert. Es wird gezeigt, daß dies zur Formel von Chapman und Cowling führt, welche jedoch nicht auf den Fall ${
m v}<({
m V})^{1/2}$ anwendbar st. Daher wurde eine besondere Formel für die niedrigen Geschwindigkeiten abgeleitet, um den Schwierigkeiten aus dem Wege zu gehen, die durch die Singularität hervorgerufen werden, die bei Anwendung der CHAPMAN-COWLING-Formel auftreten.

Steinacker.

4-535 Elliott Lieb. Hard sphere Bose gas: An exact momentum space formulation. Proc. uat. Acad, Sci., Wash. 46, 1000-1002, 1960, Nr. 7. (Juli.) V. Weidemann.

4-536 R. O. Davies. Some theorems on the perturbation of Brownian motion. Physica 24, 1955—1060, 1958, Nr. 12. (Dez.) (London, Queen Mary Coll.) Es werden die hauptsächlichsten Resultate von MacDonald (Ber. 37, 1358, 1958) über schwach gestörte Brownsche Bewegung bestätigt und verallgemeinert mittels einer vertrauteren Darstellungsweise in Termen, wobei die Störungstheorie auf die Einstein-Smoluchowskitlieichung systematisch angewendet wird. Nach einer Festlegung der Terminologie des Problems und der Aufstellung gewisser elementarer Beziehungen erfolgt die analytische Behandlung der Störungstheorie. Abschließend werden die erhaltenen Ergebnisse auf das Beispiel von MacDonald angewendet.

4-537 Cl. George. Mouvement brownien d'un oscillateur quantique. Physica 26, 453-477, 1960, Nr. 7. (Juli.) (Bruxelles, Univ., Fac. Sci.) Die von Prigogine und seinen Mitarbeitern entwickelte statistische Theorie irreversibler Prozesse wird auf das Studium der Brownschen Bewegung eines linearen Quantenoszillators angewendet, welcher in schwacher Wechselwirkung mit anderen, die Rolle des Thermostaten spielenden Quantenschwingern steht. Nach der Formulierung des Problems und der Ableitung der Gleichung für den Dichteoperator wird die Lösung für lange Zeiten gesucht und die Funktion im Sinne der der Wechselwirkung zuzuschreibenden Bewegung geändert. Nach der Lösung der Gleichung für die transformierte Funktion ergibt sich ein einfacher Ausdruck des Dichteoperators, die Anfangsbedingungen sind erfüllt. Der Bewegungsprozeß ist ein Markoffscher Prozeß. Im Grenzfall t → ∞ wird die erwartete Gleichgewichtsverteilung erreicht. Es wird in Anwendung der Ergebnisse das Verhalten der Wigner-Verteilungsfunktion untersucht und eine direkte Methode der Berechnung der mittleren Werte der reduzierten Verrückung und der reduzierten Geschwindigkeit des Oszillators in Termen der entsprechenden klassischen mittleren Werte gezeigt.

Golde.

H-538 Julius I. Bowen and Paul H. E. Meijer. Master equation solution of Ornstein-Whlenbeck processes. Physica 26, 485–491, 1960, Nr. 7. (Juli.) (Washington, D. C., Catholic Univ.) Die stetig "master equation" wird in geschlossener Form für GAUSSSChe Übergangswahrscheinlichkeiten unter der Annahme gelöst, daß die Gleichgewichtschwankungen GAUSSSChe Prozesse sind. In diesem Fall sind die nach der Symmetrierung der Kerne erhaltenen Eigenfunktionen der Integralgleichung lauter HERMITEICHE Funktionen und die Eigenwerte sind miteinander verwandt wie aufeinanderfolgende anzzahlige Potenzen einer Konstanten $\mu_n = p^n$. Die Konstante p ist Korrelationskoefizient für den Gleichgewichtsprozeß über die Einheitszeit, in der die Übergangswahrscheinlichkeiten ausgedrückt sind. Die vollständige (zeitabhängige) Lösung für die Wahrscheinlichkeiten ausgedrückt sind. Die vollständige (zeitabhängige) Lösung für die Wahrscheinlichkeiten ausgedrückt sind.

scheinlichkeitsdichtefunktion ist eine unendliche Folge von Funktionen Hermitesch Typs, jede durch einen mit der Zeit abnehmenden Term näher bestimmt. Für die Ornstein-Uhlenbeck-Prozesse nehmen die Relaxationszeiten umgekehrt proportion mit der Ordnung des Terms ab. Die zeitabhängigen Momente der Verteilung der Ordnun können aus der Kenntnis von nicht mehr als (n+1) 2 Momenten niedrigerer Ordnu der Anfangsverteilung berechnet werden. Mehrere Beispiele verschiedener Anfangverteilungen werden angegeben.

4-539 A. Stahl. Zur Anwendung des Informationsbegriffes in der statistischen Phys Z. Naturf. 15a, 655-662, 1960, Nr. 8. (Aug.) (Köln, Univ., Inst. Theor. Phys.) I Wahrscheinlichkeitsbegriff in der statistischen Physik läßt zwei Deutungen zu, ei objektive und eine subjektive. Die objektive Deutung führt auf relative Häufigkeit in einer Gesamtheit, die subjektive gibt ein Maß für die Wahrscheinlichkeit, mit ein Beobachter an das Eintreten eines Ereignisses auf Grund seiner Kenntnisse glaub darf. Vf. untersucht, wie die statistische Mechanik bei Zugrundelegung der zweiten A fassung zu formulieren wäre. Der Begriff "Unordnung" wird dabei systematisch dur "Unkenntnis" ersetzt. Zur Entwicklung der Gedankengänge dienen die Methoden einformationstheorie. Nach Ableitung eines Informationsmaßes wird die statistisch Mechanik begründet und ein Ausblick auf die Quantentheorie und die irreversible Prozesse gegeben.

H. Ehrhardt und O. Osberghaus. Temperaturabhängigkeit der Massenspektren 4-540 Kohlenwasserstoffmolekülen und ihre Bedeutung im Rahmen der statistischen Theor Z. Naturf. 15a. 575-584, 1960, Nr. 7, (Juli.) (Freiburg/Br., Univ., Phys. Inst.) E. brauchbare Theorie der Massenspektren großer Moleküle muß deren starke Temperati abhängigkeit wiedergeben. Es wird die statistische Theorie der Massenspektren ku behandelt und gezeigt, daß man mit Hilfe der Temperaturabhängigkeit der Masse spektren unter gewissen Voraussetzungen die für die Bildung des Spektrums vera wortlichen Zerfallskonstanten gewinnen kann. Die Verteilungsfunktion der thermisch Energie und der Energie nach dem Elektronenstoß wird für Propan berechnet. Fen wird die Temperaturabhängigkeit des Propanspektrums aus den Rosenstocksch Zerfallsfunktionen ermittelt. Beim quantitativen Vergleich mit der gemessenen Te peraturabhängigkeit treten Abweichungen auf, die auf die unzureichende Kenntnis Energieübertragungsfunktion beim Elektronenstoß zurückzuführen sind. Die Mass spektren einer Reihe weiterer Kohlenwasserstoffe werden in Abhängigkeit von Temperatur (100°C bis 700°C) gemessen und im Rahmen der statistischen Theorie kutiert. Wie im Fall des Propanspektrums stimmen qualitativ die theoretischen u experimentellen Ergebnisse überein. Wachsmuth

4-541 Richard K. Osborn. Transport in dilute gases and chemical forces. J. chem. Ph 32, 1817—1820, 1960, Nr. 6. (Juni.) (Ann Arbor, Mich., Univ., Dep. Nucl. Engr Es wird gezeigt, daß bei geeigneter Darstellung der inneren Freiheitsgrade des Syste bei der statistischen Beschreibung eines Systems polyatomarer Moleküle, z. B. bei handlung der Transportphänomene, charakteristische Züge der chemischen Kräbeibehalten werden können. Die Theorie der Transportphänomene in Gasen kann formuliert werden, daß die üblicherweise zur Charakterisierung der Molekülstruk benützten Potentiale auch die Wirkungsquerschnitte ausdrücken, die für die Wech wirkungen bei binären Stößen verantwortlich sind.

M. Wiedemann

4-542 William H. Hughes. Thermal force on particulate material at high Knud numbers in the absence of a thermal gradient. J. Colloid Sci. 15, 307-312, 1960, Nr (Aug.) (Los Angeles, Western Precipit. Corp.) Der Mechanismus für die durch thermis Elfekte an einem kleinen Teilchen in einer Gasphase wirkende Kraft wird unter der dingung einer hohen KNUDSEN-Zahl bei Nichtvorhandensein eines Temperaturgradit ten unter Verwendung eines vereinfachten Modells berechnet. Dabei wird gefund daß die Kraft proportional dem Druck und dem Querschnitt des Teilchens ist. Die retierende Geschwindigkeit ergibt sich als unabhängig von diesen Parametern.

4-543 J. L. Lebowitz, H. L. Frisch and E. Helfand. Nonequilibrium distribution futions in a fluid. Phys. Fluids 3, 325-338, 1960, Nr. 3. (Mai/Juni.) (New York, Yest Univ., Graduate School Math. Sci.; Murray Hill, N. J. Bell Teleph. Labs.) Vff. behand

Nichtgleichgewichtsprozesse in einfachen Gasen mit Hilfe der Theorie der Verteilungsunktionen. Bei hohen Verdünnungen werden die Transporteigenschaften derartiger ysteme durch die erste Verteilungsfunktion f1, die von den Orts- und Geschwindigleitskoordinaten abhängt, bestimmt. Drei Gleichungen werden diskutiert, die Boltz-AANNSche Gleichung, die modifizierte Boltzmannsche Gleichung, in der die Stoßterme ach Bhatnagar, Gross und Krook proportional zur Abweichung von der Maxwell-Verteilung angesetzt werden und die FOKKER-PLANCKsche-Gleichung, Lösungen der Gleichungen für f, als Funktion der linearen Gradienten der Dichte, der Strömungsreschwindigkeit und der Temperatur werden hergeleitet. Es zeigt sich, daß für alle drei Tälle eine Normallösung existiert, welche zwei Relaxationszeiten enthält. Diese Relaxaionszeiten hängen von der Struktur der Ausgangsgleichungen ab. Eine Betrachtung ler entsprechenden Gleichungen für die binären Korrelationsfunktionen schließt sich in. Auch Variationsprinzipien werden diskutiert. Kelbg.

544 Huzio Nakano. On the extremum property in the variation principle in the theory f transport processes. Progr. theor. Phys., Kyoto 23, 526-527, 1960, Nr. 3. (März.) Nagoya, Univ., Dep. Gen. Educat.) Wie bereits früher gezeigt wurde, kann man jeden Fransportkoeffizienten und die Zunahme an innerer Entropie als Extremwerte der Funktionale von Zustandsoperatoren gewinnen. Die formelle Aussage dieses Prinzips st gleichwertig dem Kohler-Sondheimer-Prinzip. Von den drei Variationsprinzipien, lie hier in Analogie zu obigem Prinzip vorgeschlagen werden, ergeben die Maxima der beiden ersten den Transportkoeffizienten oder die Produktion an innerer Entropie, las Maximum des dritten ergibt jedoch die Kehrwerte (Widerstand).

4-545 Huzio Nakano. On the extremum problem in the variation principle in the theory of susceptibility or relaxation phenomena. Progr. theor. Phys., Kyoto 23, 527-529, 1960, Nr. 3. (März.) (Nagoya, Univ., Dep. Gen. Educat.) In Anlehnung an die Anwendung des Variationsprinzips in der Transporttheorie wird hier gezeigt, daß die die magnetische Suszeptibilität und die Zunahme an innerer Energie infolge eines angelegten magnetischen Feldes als Extremwerte der Funktionale von Zustandsoperatoren gewonnen werden können, wenn der Zustandsoperator die Lösung der Schrödinger-Gleichung des Systems in Gegenwart eines Magnetfeldes ist.

4-546 Carlos E. Español and Carlos R. Carjuzaa. Theoretical calculations and experimental verification for a demonstration thermal diffusion column. Amer. J. Phys. 27, 87-89, 1959, Nr. 2. (Febr.) (Buenos Aires, Argent., Com. Nac. Energ. Atom.)

Schön.

4-547 Ivan Abonyi. Steady state solution of the relativistic Boltzmann transport equation. Z. angew. Math. Phys. 11, 169-175, 1960, Nr. 3. (25. Mai.) (Budapest.) Die JÜTTNERsche Formel für die Geschwindigkeitsverteilung eines einatomigen relativistischen Gases wird als stationäre Lösung der relativistischen Boltzmannschen Transportgleichung (in der Form von Clemmow, Willson und Ken-iti-Goto) erhalten. Ferner wird gezeigt, daß die kinetische Energie eines einatomigen relativistischen Gases keine homogen madratische Form in den Geschwindigkeitskomponenten ist. Dieses Ergebnis wurde ullerdings bereits von Synge (The Relativistic Gas, North Holland Publ. Comp. 1958) zezeigt.

←548 George H. Vineyard. Molecular distribution functions involving two times. Phys. Fluids 3, 339-345, 1960, Nr. 3. (Mai/Juni.) (Upton, N. Y., Brookhaven Nat. Lab.) Vf. entwickelt eine Theorie der zweizeitigen Verteilungsfunktionen, die eine natürliche Erweiterung der Überlegungen von van HovE über zeitverschobene radiale Verteilungsunktionen darstellt. Im Bereich der klassischen statistischen Mechanik bedeutet $\mathbf{r_q}(\mathbf{r_1}...\mathbf{r_q}\;\mathbf{t}\;\mathbf{r_1'}...\mathbf{r_q'}\;\mathbf{t'})\;\mathbf{dr_1}...\mathbf{dr_q}\;\mathbf{dr_1'}...\mathbf{dr_q'}\;$ die Wahrscheinlichkeit, daß irgendwelche b von N Molekülen zur Zeit t die Volumenelemente dr₁...dr_q besetzen und zur Zeit t' n den Volumenelementen dr...dr' zu finden sind. Dabei soll das Molekül, welches zur leit t in dr₁ war, in dr'₁ usw. übergehen. Entsprechend lassen sich Verteilungsfunktionen construieren, die neben den Koordinaten noch Geschwindigkeiten und auch noch zuätzlich Beschleunigungen enthalten. Es wird gezeigt, daß die Verteilungsfunktionen erallgemeinerten Liouville-Gleichungen genügen. Auch können Integrodifferentialgleichungen zwischen den q- und q+1-Verteilungen aufgestellt werden. Durch E führung von Superpositionsapproximationen lassen sich die offenen Folgen von Gleicht gen zwischen den ersten Verteilungsfunktionen schließen. Kelbg.

4-549 Paul Molmud. Expansion of a rarefied gas cloud into a vacuum. Phys. Fluids 362-366, 1960, Nr. 3. (Mai/Juni.) (Los Angeles, Calif., Space Technol. Labs, In Die Theorie von Keller (Comm. Pure. Appl. Math. 1, 275, 1948) über die eindimension. Ausbreitung einer Gaswolke ins Vakuum, wird auf zwei und drei Dimensionen erweite Angenommen werden ein freier Molekularsluß und eine lokale Maxwellsche Geschw digkeitsverteilung am Anfang. Die Verbindung zum Wärmeleitungsproblem wird gezeigt. Speziell wird die Expansion einer ansangs gleichförmigen sphärischen Gaskuins Vakuum näher untersucht. Ein Vergleich zur Kontinuumstheorie wird durchgefüh Kelbg

IX. Elektrizität und Magnetismus

4-550 John W. Dewdney. Graphical method for comparing galvanometer sensitivities. Amer. J. Phys. 28, 450-452, 1960, Nr. 5. (Mai.) (Hanover, N. Hampsh., Dartmouth Considered Estate wird eine verhältnismäßig einfache und übersichtliche Methode beschrieben, die staum graphischen Vergleichen von Galvanometern verschiedener Widerstände und Schwingungsdauern eignet und insbesondere einen schnellen Vergleich der effektiv Empfindlichkeiten in einer vorgegebenen Schaltung zuläßt.

4-551 Pierre L. Thellier. Compensation d'un asservissement sujet à saturation à l'a d'un compensateur arithmétique. Ann. Télécomm. 15, 185-195, 1960, Nr. 7/8. (Juli/Au Es wird theoretisch das Problem eines Kompensators für ein System behandelt, das e Sättigungskennlinie enthält. Als mathematisches Hilfsmittel wird dabei die Z-Tra formation benutzt, ein Sonderfall der LAPLACE-Transformation bei Anwendung Signalfunktionen, von denen in regelmäßigen Abständen Probewerte entnommen w den. Weiterhin finden die statistischen Methoden von WIENER, LEE und NEWT Anwendung. Obwohl die mathematische Lösung einfach erscheint, können sich in Praxis beträchtliche Schwierigkeiten ergeben. Dennoch führte das Verfahren in vie Fällen zum vollen Erfolg.

Rudolf Süß. Beitrag zur Messung von Phasenwinkeln und Phasenwinkelschweiter kungen. II. Ein photoelektrischer Meßwertwandler als Hilfsmittel zur automatisch Registrierung von Phasenwinkeln und Phasenwinkelschwankungen. Z. Instrum.-Kde 214-222, 1960, Nr. 9. (Sept.) (Braunschweig, Phys. Tech. Bundesanst.) Nachd gezeigt wurde, daß sich der Phasenwinkel bei dem im 1. Teil beschriebenen Meßv fahren als der geometrische Abstand zweier leuchtender markanten Bildpunkte dem Oszillographenschirm darstellen läßt, wird im 2. Teil eine Apparatur beschrieb die diese Meßgröße in eine ihr proportionale Gleichspannung umwandelt. Entsprech der Zeitkonstante des gesamten Systems kann ein daran angeschlossenes Registrierge auch relativ raschen Änderungen der Meßgröße folgen. Aus der dem Registrierstrei zu entnehmenden Amplitude ist der Betrag des Phasenwinkels, aus sei Wanderungsrichtung das Vorzeichen und aus seiner Wanderungsgeschwindigkeit ihr entsprechende Frequenzabweichung des Prüflings im betrachteten Zeitabschnitt bestimmen. Bei der Versuchsanordnung betrug das zeitliche Auflösungsvermögen ein 10-2 s, der optimale Phasenwinkelmeßbereich etwa ± 120°. An Hand von Meßerg nissen wird auf die Notwendigkeit des hohen zeitlichen Auflösungsvermögens bei Untersuchung von Frequenzumsetzern hingewiesen. Süf

4-553 Tafeln der technischen Daten von Oszillographen. Elektronik 9, 168-170, 18 Nr. 6. (Juni.) V. Weidemann

4-554 Thomas L. Zapf. Capacitor calibration by step-up methods. J. Res. nat. F Stand. 64C, 75-79, 1960, Nr. 1. (Jan./März.) (Boulder, Col.) Messung von Luftdr kondensatoren (100 bis 1100 pF) im Aufbauverfahren mittels Substitutionsmeth unter Benutzung eines einzigen Normals (100 pF). Außerdem kurze Betrachtung ü die (bekannten) Vorzüge dreipoliger Kondensatoren.

1-555 A. A. New. Some mechanisms of failure of capacitors with mica dielectrics. Proc. Instn elect. Engrs (B) 107, 357-364, 1960, Nr. 34. (Juli.) Vf. berichtet über systematische Untersuchungen der Mechanismen, die zur Zerstörung oder verminderter Brauchbarkeit von Glimmerkondensatoren führen können. Die getroffenen Feststelungen gelten teilweise auch für Kondensatoren mit anderen Dielektriken. In die Untersuchung sind alle erkennbaren Schädigungsmöglichkeiten einbezogen, die in der Naturdier verwendeten Materialien, den Herstellungsbedingungen des Kondensators oder seiner betriebsmäßigen Benutzung ihre Ursache haben können. Besonders aufschlußreich ist eine Übersicht, in der in fünf Schadensgruppen (Durchschlag, niedriger Isolationswiderstand, Kapazitätsänderung, Verlustfaktoranstieg, Rauschen) den feststellbaren Wirkungen die zur Erklärung möglichen Mechanismen gegenübergestellt sind. In einem kurzen Anhang sind die Arbeitsmethoden umrissen, deren sich Vf. beim Zerlegen der untersuchten Kondensatoren bediente, um Beeinflussungen des Befundes plurch den Zerlegungsvorgang selbst auszuschließen.

4-556 Rudolf K. Tenzer. Influence of various heat exposures on Alnico V magnets. J. appl. Phys. 30, 1959, Suppl. zu Nr. 4, (Apr.) S. 115S-116 S. (Valparaiso, Indiana, Steel Products Comp.) Magnete vom Typ Alnico V wurden für eine Dauer von etwa 1000 Std wärmebehandelt bei Temperaturen zwischen 350 und 550°C. Die Remanenzänderungen, die sich bei dieser Wärmebehandlung zeigten, wurden jeweils bei Raumtemperatur (ballistische Messung) gemessen. Die Ursachen für die Remanenzänderungen sind metallurgische und magnetische Prozesse. Beide Effekte konnten getrennt werden. Die Änderungen der magnetischen Eigenschaften infolge Temperatureinfluß können durch eine geeignete ausgedehnte Wärmebehandlung sehr erniedrigt werden, so daß Alnico V bis 500°C verwendet werden kann.

4-557 S. Shtrikman and D. Treves. Permanent magnets. On the remanence of ferromagnetic powders. J. appl. Phys. 31, 1960, Suppl. zu Nr. 5, (Mai.) S. 58 S-66 S. (S. B.) (Rehovot, Israel, Weizmann Inst. Sci., Dep. Electron.)

4-558 S.Shtrikman and D.Treves. Internal structure of Bloch walls. J. appl. Phys. 31, 1960, Suppl. zu Nr. 5, (Mai.) S. 147 S -148 S. (S. B.) (Rehovot, Israel, Weizmann Inst. Sci., Dep. Elect.)

4-559 A. J. J. Koch, P. Hokkeling, M. G. v. d. Steeg and K. J. de Vos. New material for permanent magnets on a base of Mn and Al. J. appl. Phys. 31, 1960, Suppl. zu Nr. 5, (Mai.) S. 75 S-77 S. (S. B.) (Eindhoven, Philips Gloeil.-Fabr., Metall. Lab.)

V. Weidemann.

4-560 Paul Jung. Régulateur de courant transistorisé pour aimant varian de 12 pouces. Suppl. J. Phys. Radium 21, 39 A - 42 A, 1960, Nr. 3. (März.) (Bruxelles, Europ. Res. Assoc.)

Behnsch.

4-561 Bernd Matthias. Relations between superconductors and ferromagnets. J. appl. Phys. 31, 1960, Suppl. zu Nr. 5, (Mai.) S. 23 S - 26 S. (S. B.) (Murray Hill, N. J., Bell Tel. Labs, Inc.)

4-562 Robert L. White. Spin waves and magnetostatic modes. J. appl. Phys. 31, 1960, Suppl. zu Nr. 5, (Mai.) S. 86S-94S. (S. B.) (Culver City, Calif., Hughes Res. Labs.)

4-563 L. G. Ipatov. About magnetic parameters of a ferromagnetic in oscillating regime. Sh. tech. Fis. 30, 685-659, 1960, Nr. 6. (Juni.) (Orig. russ.) V. Weidemann.

4-564 M. I. Kaganow und W. M. Zukernik. Nichtresonanz-Absorption der Energie eines magnetischen Wechselfeldes durch ein ferromagnetisches Dielektrikum. II. Sh. exp. teor. Fis. 38, 1320—1325, 1960, Nr. 4. (Orig. russ.) (Moskau, Phys.-Tech.-Inst.) Vff. hatten in ihrer Theorie der Nichtresonanzabsorption (Ber. 39, Nr. 7—450, 1960) angenommen, das Feld sei parallel zur Achse leichtester Magnetisierung. Hier wird dasselbe Problem für ein Feld senkrecht zu dieser Achse behandelt. Dann ist auch eine Energie-absorption ohne dissipative Prozesse möglich, falls die Feldfrequenz in einer ferromagnetischen Resonanz liegt. Da die Theorie diese Resonanz nicht miterfaßt, gelten die Ergebnisse nur in genügender Entfernung von Resonanzfrequenzen. Die dissipativen Prozesse beruhen auf der Wechselwirkung zwischen Magnetfeld und Spinwellen. Das

ferromagnetische Dielektrikum soll bis zur Sättigung bei der gegebenen Tempera $(T \otimes \Theta_c)$ magnetisiert sein (eine Domäne), ferner soll es so rein sein, daß der Einfluß v Fremdatomen gering ist. Mit Hilfe der Theorie der Spinwellen wird dann der Imagin teil der transversalen magnetischen Suszeptibilität bestimmt. Die Ergebnisse werd für folgende Grenzfälle dargestellt: Tiefe Frequenzen $(\nu \otimes 1, \eta), \eta \otimes 1$; Resonat frequenz $(\nu = \eta;$ nur Beitrag der Nichtresonanzabsorption); hohe Frequenzen: $1 \gg \nu$ und $\eta, \nu \gg 1$. (Dabei ist $\eta = \mu H_e/T$, $\nu = \hbar \omega/T$.)

- 4-565 J. A. Turow ind N. G. Husseinow. Über die magnetische Resonanz in rhomboed schen schwachen Ferromagnetika. Sh. exp. teor. Fis. 38, 1326—1331, 1960, Nr. 4. (Or russ.) (Moskau, Inst. Metallphys.) Ausgehend von den Vorstellungen von DsJAI SCHINSKI (Ber. 38, 284, 1959) über die Natur des schwachen Ferromagnetismus, spez von seinen Symmetriebetrachtungen und dem daraus gefolgerten Hamilton-Opera werden die Bedingungen für magnetische Resonanz in schwachen Ferromagnetika rhomboedrischem Gitter vom Typ α-Fe₂O₃ oder MnCO₃ untersucht. Der Einfluß Anisotropie in der Basisebene auf die Resonanz wird berücksichtigt. Es ergeben schwache für die Resonanzfrequenzen in Abhängigkeit von Größe und Richtung magnetisierenden Feldes. Die Überlegungen liefern ein besseres Verständnis für beobachteten Resonanzeigenschaften des Hämatits, die in guter Übereinstimmung statischen Messungen von Magnetisierung und Suszeptibilität ist (im Gegensatz ze Theorie von Shimizu, J. phys. Soc. Japan 11, 1078, 1956).
- 4-566 Je. A. Turow und A. I. Mizek. Zur Theorie der Temperaturabhängigkeit der fer magnetischen Anisotropie. Phys. Abh. Sowjetunion N. F. 2, 296-302, 1960, Nr. (Übers. aus: Sh. exp. teor. Fis. 37, 1127-1132, 1959.)
- 4-567 E. I. Kondorski. Theorie der Stabilität der magnetischen Zustände von fer magnetischen Substanzen während der Magnetisierung. Phys. Abh. Sowjetunion N. 2, 289-295, 1960, Nr. 4. (Übers. aus: Sh. exp. teor. Fis. 37, 1110-1114, 1959, Nr. (Moskau, Staatl. Univ.)
- 4-568 Convers Herring. Magnetism, general and theory. The state of d electrons in trantion metals. J. appl. Phys. 31, 1960, Suppl. zu Nr. 5, (Mai.) S. 3 S-11 S. (S. B.) (Muri Hill, N. J., Bell Tel. Labs.) V. Weidemann
- 4-569 Ernst Feldtkeller. Eine anschauliche Darstellung der kohärenten Magnetisierun drehung in dünnen ferromagnetischen Schichten. Z. angew. Phys. 12, 257-261, 190 Nr. 6. (Juni.) (München, Siemens-Halske AG., Forschungslab.) Ausgehend von CLANDAU-LIFSHITZ-Gleichung wird ein graphisches Verfahren entwickelt, das es erlau Richtung und Geschwindigkeit der Magnetisierungsänderung in ihrem zeitlichen Verfazu bestimmen. Am Beispiel dünner Permalloy-Schichten wird gezeigt, daß eine gerir Spindämpfung genügt, um das Überschwingen der Präzessionsbewegung praktisch unterdrücken. Die Magnetisierungsrichtung weicht dabei nur um kleine Winkel von Schichtebene ab; die Präzession erfolgt um das sehr hohe "entmagnetisierende Feldas senkrecht auf der Schichtebene steht. Hierauf beruht die hohe "Schaltgeschwind keit" dünner Schichten.
- 4-570 F. A. Koch. Untersuchungen über die Temperaturabhängigkeit des Procop Effektes. Z. Phys. 155, 475-478, 1959, Nr. 4. (16. Juli.) (Cluj, Rum., Univ., Phys. Le Die Umkehrung des Matteucci-Effekts an Fe zeigt eine ähnliche Temperaturabhäng keit wie die Anfangspermeabilität.
- 4-571 Manfred Hoffmann. Blochwände in dünnen Eisenschichten. Wiss. Z. Fr. Schil Univ. Jena 9, 71-78, 1959/60, Nr. 1/2. Die Energie nichtebener 180°- und 90°-Wär mit und ohne Pole an der Schichtoberfläche wird näherungsweise berechnet, wobei z Wandformen vorgegeben werden, nämlich von der Schichtmitte symmetrisch in linear zu den Oberflächen zunehmende bzw. abnehmende Wanddicke. Die Ergebn deuten darauf hin, daß bei den behandelten Wandtypen bevorzugt eine zur Schie mitte hin zunehmende Wanddicke auftritt.
- 4-572 N. I. Ananthanarayanan and R. J. Peavler. Room temperature decomposition austenite in fifty percent nickel-fifty percent iron magnetic alloy tapes. J. appl. Phys. 1959, Suppl. zu Nr. 4, (Apr.) S. 202 S-203 S. (East Pittsburgh, Penn., Westingho

ilect. Corp.) Nach langer Lagerung bei Raumtemperatur kann man feststellen, daß die unächst einphasige Fe-Ni-Legierung (50%) in eine nickelreiche, kubisch flächenzenrierte γ-Phase und eine eisenreiche kubisch raumzentrierte α-Phase übergeht. Bei nassivem Material wird der Gleichgewichtszustand, d. h. der vollständige Zerfall in zwei Phasen, bei Temperaturen unterhalb 500°C nur sehr langsam (nach mehreren Monaten) rreicht. Stellt man jedoch diese Legierung pulvermetallurgisch her, so erhält man chon nach wenigen Stunden Gleichgewichtsstrukturen. Von den ausgeschiedenen Phasen wurden die Oberflächenstrukturen elektronenmikroskopisch sichtbar gemacht und der Grad der Umwandlung röntgenographisch nachgewiesen. Der Einfluß von Vermreinigungen auf die Umwandlungsgeschwindigkeit wurde untersucht. Magnetische Messungen ergaben, daß der Zerfall in zwei Phasen die magnetischen Eigenschaften lieser Legierung meßbar nicht beeinflußt.

- drathin molybdenum Permalloy tape. J. appl. Phys. 30, 1959, Suppl. zu Nr. 4, (Apr.) S. 208 S—210 S. (Brackenridge, Penn., Allegheny Ludlum Steel Corp., Res. Devel. Labs.; Marengo, Ill., Arnold Engng Co.) Poldichtestereogramme von {111} Polen 0.003 mm dünner Bänder wurden unter verschiedensten Bedingungen aufgenommen, um lie möglichen Veränderungen in Textur und magnetischen Eigenschaften festzustellen. Als magnetische Parameter wurden der Schaltkoeffizient, das Rechteckigkeitsverhältnis B_rB_m) und die Koerzitivkraft zur Kennzeichnung der Bandkerne gemessen. Es scheint möglich, Beziehungen zwischen der Textur einerseits und dem Rechteckigkeitsverhältnis und der Koerzitivkraft andererseits zu finden; dagegen wurde keine Abhängigkeit des Schaltkoeffizienten von der Textur gefunden. Gengnagel.
- 4-574 D. M. Grimes, R. D. Harrington and A. L. Rasmussen. Magnetic properties of polycrystalline materials. J. Phys. Chem. Solids 12, 28—40, 1959, Nr. 1. (Dez.) (Ann Arbor, Univ. Mich.; Boulder, Col., Nat. Bur. Stand.) Im Anschluß an die Arbeit von GRIMES (Ber. 39, Nr. 8-458, 1960) wird der Verlustwinkel der reversiblen Suszeptibililät in Abhängigkeit von der Vormagnetisierung, der Frequenz des überlagerten Wechselseldes und dessen Richtung berechnet. Vorausgesetzt ist ein polykristallines Material ohne Textur. Ohne besondere Annahmen über die Richtungsverteilung der Atommomente können Aussagen gewonnen werden, wie sich der Verlustwinkel bei den Mechanismen der 180°-Wandverschiebungen und der homogenen Drehungen in Abhängigkeit von der Vormagnetisierung und der Feldrichtung verhält. Solange das angelegte Feld klein gegenüber dem Anisotropiefeld ist, äußern sich die beiden Mechanismen verschieden. Aus der Messung der Frequenz- und Magnetisierungsabhängigkeit der komplexen reversiblen Suszeptibilität von vier verschiedenen Ferriten wird auf deren Mechanismus der Anfangssuszeptibilität geschlossen und gefunden, daß er je nach Art und Herstellung des Ferrits verschieden sein kann. Die Verteilungsfunktion der Richtungsverteilung der Atommomente, die in der ersten Arbeit als Boltzmann-Verteilung vorausgesetzt war, wird hier als Entwicklung nach Kugelfunktionen eingeführt. Die ersten vier Entwickungskoeffizienten können u. U. aus Meßdaten bestimmt werden.
- 4-575 A. F. H. Thomson. Ferromagnetic amplifiers. Proc. Inst. Radio Engrs, N. Y. 48, 259, 1960, Nr. 2. (Febr.) (Harlow, Essex, Serv. Electron. Res. Lab. Ext.) Vf. fand bei sinem Yttrium-Eisen-Granat-Kristall, der sich in einem Magnetfeld befand, beim Andegen eines Mikrowellenfeldes, dessen H-Komponente parallel zur Magnetisierungsrichtung angelegt war und ungefähr eine doppelt so große Frequenz wie die des Magnetisierungsfeldes besaß, eine Mikrowellenabsorption für einen bestimmten Schwellenwert des Feldes. Dieser Wert des Mikrowellenfeldes liegt bei 0,5 Oe und ändert sich nur wenig mit Form und Orientierung des Yttrium-Eisen-Granatkristalls. Es wird angenomnen, daß es sich hierbei um eine parametrische Anregung von Spinwellenpaaren hanlelt. Strahlung wurde nicht entdeckt. Ebenfalls versagten Versuche, die Absorption lurch Leistungseinstrahlung senkrecht zum Pumpfeld mit Frequenzen angenähert tenen des Magnetisierungsfeldes (steady field) zu beeinflussen.
- 4-576 E. Igras, G. V. Spivak and I. S. Zheludev. Microrelief and domain structure on the surface of single crystals of barium titanate. Soviet Phys.-Cryst. 4, 111-114, 1960, Nr. 1. (Jan.) (Engl. Übers. aus: Kristallografija 4, 121, 1959, Nr. 1.) (Moscow, State

Univ.) Mit Hilfe von elektronenoptischen und lichtoptischen Methoden wurde die Ob fläche von Bariumtitanateinkristallen verschiedener Kristallebenen bezüglich o Mikrostruktur untersucht. Die Untersuchungen wurden oberhalb wie unterhalb und der Umgebung der Curie-Temperatur durchgeführt.

4-577 G.V. Spivak, É. Igras, I. A. Pryamkova and I. S. Zheludev. Detection of domain structure in barium titanate with an electron reflector. Soviet Phys.-Cryst. 115-117, 1960, Nr. 1. (Jan.) (Engl. Übers. aus: Kristallografija 4, 123, 1959, Nr. (Moscow, State Univ.) Grundaufbau und Entwicklungsprinzipien eines "Elektrone spiegels" zur Abbildung von ferromagnetischen Domänen (z. B. in Bariumtitan werden aufgezeigt.

4-578 V. V. Kobelev and I. I. Nadashkevich. Regarding the arbitrary reversal of magnetic polarity of Mn-Mg and Ni-Zn ferrites. Soviet Phys.-Solid State 1, 1043-10 1960, Nr. 7. (Jan.) (Engl. Übers. aus: Fis. Tverd. Tela 1, 1140, 1959, Nr. 7.) (Mosco Inst. Exact Mech. a. Comput. Technol.) Bei der Untersuchung der Ummagnetisierun zyklen von ringförmigen Proben aus Rechteckferrit zeigte sich, daß deren Verhalten se stark von der magnetischen Vorgeschichte abhängt. Geht man z. B. von demselb Remanenzpunkt aus, nachdem man vorher jedoch auf jeweils unterschiedlichen Weg dorthin gelangt war, so stimmen die nachfolgenden Magnetisierungskurven nie überein. Die nähere Untersuchung mit Hilfe einer größeren Anzahl aufeinander i gender Magnetisierungsimpulse gleicher bzw. verschiedener Polarität ergab, daß ersten Fall der vom ersten Impuls hervorgerufene Zustand von den folgenden nur we verändert, dabei aber mehr und mehr stabilisiert wird. Bei Impulsen wechselne Polarität stellt sich eine Ummagnetisierungsschleife ein, die in Richtung auf den A gangszustand verschoben ist und deren Mittelpunkt keine Tendenz aufweist, wie zum Ursprung des B-H-Koordinatensystems zu wandern. Eine Deutung dieses V haltens läßt sich aus der Vorstellung der schichtweisen Flußumkehr bei Rechte ferriten gewinnen, die auch dem Begriff der magnetischen Vorgeschichte eine re Bedeutung gibt und es gestattet, den grundsätzlichen Verlauf der Magnetisierun linie im voraus zu bestimmen.

Zentgraf

4–579 Tadayasu Mitui. Magnetic anisotropy induced by cold rolling of Cu–Co all J. phys. Soc. Japan 15, 929, 1960, Nr. 5. (Mai.) (Sapporo, Jap., Univ., Fac. Sci., D Phys.) Eine Cu–Co-Legierung mit 2% Co im gelösten Zustand wurde 10–90% k gewalzt und bei 750° C angelassen. Die Anisotropie wurde im Drehmagneten bestimm Sie stieg bei 15–30 min Anlaßzeit mit zunehmendem Walzgrad zunächst an und wur bei größeren Verformungen als 60% wieder kleiner. Mit zunehmender Meßtempera nimmt sie ab. Nach 12 h Anlaßzeit steigt die Anisotropie linear mit dem Walzgrad ganzen Bereich. Sie ist bei 300° K und 77° K Meßtemperatur gleich. Daraus wird folgert, daß es sich um Formanisotropie der Ausscheidungen handelt. Inhomog Gleitung ruft den Abfall bei großen Verformungen und kurzen Anlaßzeiten herv Superparamagnetismus bedingt die Temperaturabhängigkeit. Nach langem Anlassind alle Ausscheidungen so groß, daß kein Superparamagnetismus mehr auftritt.

Hellbardt

4–580 Seiji Tezuka, Sukeyoshi Sakai and Vasuaki Nakagawa. Ferromagnetism Mn–Zn alloy. J. phys. Soc. Japan 15, 931, 1960, Nr. 5. (Mai.) (Tokyo, Gakush Univ., Dep. Phys. Chem.) Eine Mn–Zn-Legierung mit 27 At.-% wurde bei 550°C glüht und abgeschreckt. Dadurch wurde bei Zimmertemperatur die hexagonal dichte Kugelpackung erhalten, die durch Tempern unter 100°C wahrscheinlich in einen Cnungszustand übergeht. Gleichzeitig wird dadurch die ferromagnetische Sättigung die metastabilen Phase erhöht. Ihr Curie-Punkt liegt über 400°K. Nach sehr langem Glübei 100°C ist nur noch die kubisch flächenzentrierte Phase vorhanden, deren Curie-Pubei 140°K liegt.

4-581 Minoru Takahashi and Tatsuo Kōno. Magnetic annealing of Co and Co-Ni all J. phys. Soc. Japan 15, 936-937, 1960, Nr. 5. (Mai.) (Sendai, Univ., Res. Inst. In Steel, Other Metals.) Vielkristalline Co-Ni-Legierungen wurden von hohen Temperatu

- m Magnetfeld abgekühlt. Die dadurch entstandene einaxiale Anisotropie wurde im Drehmagneten gemessen. Nickelreiche Legierungen zeigen Anisotropien von der Größenschung wie die von Fe-Ni-Legierungen, kobaltreiche Legierungen erhalten sehr starke Anisotropien. Die maximale Anisotropiekonstante ist $K_u=23\cdot 10^4$ erg/cm³ bei 80% Co. Bei 95% Co oder mehr ergeben sich negative Werte für K_u . Für reines Co wurde —6 104 erg/cm³ gefunden. Die starke Anisotropie von reinem Co widerspricht der Erkläung des Magnetfeldeffektes durch Paarbildung von Legierungsatomen und Orienterungsüberstruktur nach Néel u. a. Hellbard t.
- 4-582 Richard Boll. Wirbelströme und Spinrelaxation in dünnen Bändern aus weichnagnetischen Legierungen. Diss. T. H. Stuttgart, 1960. (Mühlheim/Main.)
- 4–583 Karl Merkle. Über die ferromagnetische Dehlinger Anisotropie und ihre quantentheoretische Behandlung durch ein Einelektronenmodell. Diss. T. H. Stuttgart, 1960. (Esslingen/N.) H. Ebert.
- 4-584 L. Néel, R. Pauthenet, G. Rimet and V. S. Giron. On the laws of magnetization of ferromagnetic single crystals and polycrystals. Application to uniaxial compounds. J. ppl. Phys. 31, 1960, Suppl. zu Nr. 5, (Mai.) S. 27 S-29 S. (S. B.) (Grenoble, France, Univ.)
- 7-585 A. C. Moore and A. S. Young. Some physical properties of thin magnetic films. J. appl. Phys. 31, 1960, Suppl. zu Nr. 5, (Mai.) S. 279 S-280 S. (S. B.) (Malvern, Engl., Roy. Radar Est.)
- 4-586 W. Dietrich and W. E. Proebster. Millimicrosecond magnetization reversal in thin magnetic films. J. appl. Phys. 31, 1960, Suppl. zu Nr. 5, (Mai.) S. 281 S-282 S. (S. B.) Zürich, Internat. Bus. Mach. Corp., Res. Lab.) V. Weidemann.
- 4-587 B. N. Figgis, J. Lewis and F. Mabbs. The magnetic properties of vanadium. III. Complexes. J. chem. Soc. 1960, S. 2480-2485, Juni. (London, Univ. Coll., William Ramsay and Ralph Forster Labs.)

 H. Ebert.
- 4-588 S. D. Margolin und I. G. Fakidow. Magnetische Untersuchungen an Legierungen des Systems Mangan-Germanium. Fis. metall. (russ.) 7, 157-159, 1959, Nr. 1, (Orig. uss.)

 H. R. Bachmann.
- Akio Yoshimori. A new type of antiferromagnetic structure in the rutile type crystal. I. phys. Soc. Japan 14, 807—821, 1959, Nr. 6. (Juni.) (Sakai, Univ. Osaka Prefect., Dep. Phys.) Es wird eine neue Art der Spinanordnung in Antiferromagnetika vorgeschlagen. Sie ist in Kristallen mit Rutilstruktur theoretisch möglich und scheint im Folianit, MnO₂, verwirklicht zu sein. Die Spins sind dabei schraubenförmig um die vierählige Achse angeordnet. Von dieser und anderen Spinanordnungen werden die Stabitätsbereiche betrachtet, wobei drei verschiedene Austauschwechselwirkungen antenommen wurden. Von den magnetischen Eigenschaften dieser schraubenförmigen Struktur werden die Anisotropieenergie, sowohl von Dipolwechselwirkungen wie auch mom Kristallfeld herrührend, die Suszeptibilität, die Spinwellen und die Neutroneneugungsdiagramme behandelt. Neutronenbeugungsaufnahmen von Erickson an Folianit lassen sich mit einer schraubenförmigen Spinanordnung, deren Ganghöhe 7/2) c beträgt, in Einklang bringen. Auf dieser Grundlage werden die magnetischen Eigenschaften des MnO₂-Kristalls diskutiert.
- 4-590 Kō Yasukōchi, Kazuo Kanematsu and Tetuo Ohoyama. Ferrimagnetism of Mn₅Ge₂. J. phys. Soc. Japan 15, 932, 1960, Nr. 5. (Mai.) (Tokyo, Nihon Univ., Coll. Sci. Engng, Dep. Phys.; Metropolitan Univ., Fac. Sci., Dep. Phys.) Das magnetische Serhalten von Mn₅Ge₃ wurde im Bereich von etwa 100° bis 800° K mit einem Pendelagnetometer bzw. einer magnetischen Waage untersucht. Zur Herstellung dieser Versindung wurden Mn (99,9%) und Ge (Siebenneuner) im gewünschten Verhältnis bei 150°C in einem evakuierten Quarzrohr zusammengeschmolzen und dann von 750°C und Wasser abgeschreckt. Anschließend erfolgte dreitägiges Tempern bei 500°C und ereutes Abschrecken in Wasser. Die Abhängigkeit der spontanen Magnetisierung von

der Temperatur zeigt den gleichen Verlauf wie der von Néel in seiner Theorie des Fermagnetismus vorausgesagte N-Typ, d. h. es gibt einen Kompensationspunkt, der lag5°K liegt und bei dem sich die Richtung der spontanen Magnetisierung umkeh Der Ferrimagnetismus verschwindet bei 710°K; dazwischen liegt ein Maximum etwa 630°K. Die 1/x-T-Kurve oberhalb des Curie-Punktes ist konkav zur T-Ach Eine Untersuchung über die Kristallstruktur ist im Gange.

- M. E. Fisher. Lattice statistics in a magnetic field. I. A two-dimensional sup exchange antiferromagnet. Proc. roy. Soc. (A) 254, 66-85, 1960, Nr. 1276. (5. Ja Die Zustandsfunktion eines zweidimensionalen Superaustausch-Antiferromagnetism in einem beliebigen magnetischen Feld wird streng abgeleitet. Das Modell ist ein "del riertes" quadratisches Gitter, in dem magnetische Ising-Spins, die auf den Verbindun linien benachbarter Gitterpunkte sitzen, miteinander gekoppelt sind über nichtmag tische ISING-Spins auf den eigentlichen Gitterplätzen. Mit Hilfe einer "Dekoration Transformation können alle thermodynamischen und magnetischen Eigenschaft dieses Modells aus der Onsagerschen Lösung für das quadratische Standardgitter Felde null abgeleitet werden. Die Übergangstemperatur Tt ist eine eindeutige, monot abnehmende Funktion von H. Energie und Magnetisierung sind kontinuierliche Fun tionen von T für alle Felder, dagegen werden die spezifische Wärme und der Temperat gradient der Magnetisierung unendlich wie - ln T - Ttl. Die Anfangssuszeptibili ist eine kontinuierliche und langsam veränderliche Funktion von T mit einem Maxim bei etwa 1,4 T_c ; dagegen wird $\partial \chi/\partial T$ bei $T=T_c$ unendlich. In einem endlichen Fhat die Suszeptibilität bei T = Tc eine logarithmische Unendlichkeitsstelle. Bei kleir Feldern wird das Verhalten in der Nähe des kritischen Punktes wiedergegeben dur $\chi \approx (N \mu^2 / \kappa \tau) \{2 - \sqrt{2'} - D(T - T_c) \ln |T - T_c| - D' M^2 \ln |T - T_c| \}, \text{ wo } D \text{ und}$ Konstanten sind. Perthel
- 4–592 **M. E. Fisher.** Dasselbe. 11. Order and correlations of a two-dimensional supexchange antiferromagnet. Ebenda 256, 502–513, 1960, Nr. 1287. (19. Juli.) (Lond King's Coll., Wheatstone Phys. Lab.) Die Fernordnung und die Funktionen für Paar-Korrelationen eines zweidimensionalen Superaustausch-Antiferromagnetismus einem beliebigen Magnetfeld werden aus den Eigenschaften des quadratischen Standa ISING-Gitters streng abgeleitet (Modell s. vorst. Ref.) Das Verhalten in der Nähe Übergangstemperatur in einem endlichen Feld ist ähnlich dem des normal ebei Gitters; d. h. die Fernordnungen oder spontanen Magnetisierungen der Untergitter vschwinden wie $(T_t T)^{1/8}$, und die Paar-Korrelationen verhalten ich wie $\omega_c + W T_t$) $\ln |T T_t|$. Die Entropie der Anordnung wird diskutiert und die anorm Entropie beim kritischen Feld am absoluten Nullpunkt exakt berechnet.

Perthel

4-593 M. Sh. Giterman and Yu. P. Irkhin. Theory of electrical conductivity of antifer magnetic polar crystals. Soviet Phys.-Solid State 2, 134-141, 1960, Nr. 1. (Juli.) (En Übers. aus.: Fis. Tverd. Tela 2, 144, 1960, Nr. 1.) (Sverdlovsk, Univ., Acad. Sci., In Met. Phys.) Das Energiespektrum der Ladungsträger wird für den Fall der Eigund Störleitung in antiferromagnetischen polaren Kristallen berechnet, wobei Elektronen-Phononkopplung und der Effekt der magnetischen Ausrichtung einbezo werden. Der letztere bestimmt die Variation der Aktivierungsenergie und die effekt Masse nahe der Néel-Temperatur. Die Ergebnisse sind in Übereinstimmung mit experimentellen Daten für die elektrische Leitung in NiO-Kristallen.

Golling

4-594 M. Emshwiller, E. L. Hahn and D. Kaplan. Pulsed nuclear resonance specscopy. Phys. Rev. (2) 118, 414-424, 1960, Nr. 2. (15. Apr.) (Berkeley, Calif., Univ., I Phys.) VII. berichten über eine Technik zur Beobachtung von schwachen Kernresona wechselwirkungen in Festkörpern. Diese Impulsmethode erfordert keine Besetzur zahldifferenz auf Grund einer Boltzmann-Verteilung der Spins, die Resonanz der vermessenden Spins muß jedoch eine genügend starke Dipol-Dipol-Wechselwirkung einer zweiten Spinsorte haben. Durch eine 90°-180°-Pulsfolge erhält man das Sechosignal der zweiten Spinsorte. Während des 180°-Pulses reorientiert ein weit 180°-Puls bei Resonanz die zu untersuchenden Spins. Diese stören durch die Dipol-Di

Wechselwirkung die Präzessionsphasen der zweiten Spinsorte, und ihr Echosignal wirdverkleinert. Mit dieser Methode wurden Kernquadrupolkopplungskonstanten in Chloraten von K, Cs und Rb-Isotopen vermessen, wobei der Cl³⁵-Kern für das beobachtete Kernquadrupolecho sorgte. Eine Analyse der Ergebnisse wird für den Fall geringer Konzentration der unbekannten Spinsorte angegeben. Es wurden Doppelquantentbergänge beobachtet und spezielle Eigenschaften der Kernquadrupolspektren untersucht.

- 4-595 W. E. Blumberg, J. Eisinger, V. Jaccarino and B. T. Matthias. Nuclear magnetic resonance in scandium and lanthanum metal. Phys. Rev. Letters 5, 52-53, 1960, Nr. 2. (15. Juli.) (Murray Hill, N. J., Bell Teleph. Lab.) Es wurden Kernresonanzuntersuchungen an spektroskopisch reinen Metallen von Sc45 und La139 bei Temperaturen zwischen 1,7° K und 300° K durchgeführt. Die Abhängigkeit des KNIGHT-Shifts von der Temperatur wird angegeben. Sowohl die Gausssche Form der Linien als auch ihre Breite von 16 Gauss (Sc) und 13 Gauss (La) sind unabhängig von Temperatur und Magnetfeldstärke. Die longitudinale Relaxationszeit T₁ wurde als Funktion der Temperatur durch Messung der Sättigung bei verschiedenen Mikrowellenfeldstärken bestimmt. T₁ ergab sich als eine Funktion von 1/T, wobei das Produkt T₁T für La mit 0,2 sec °K, für Sc mit 0,6 sec °K angegeben wird. Der große Anstieg des KNIGHT-Shifts von d¹-Metallen zu d³-Metallen wird als Vergrößerung der s-Elektronpolarisation durch s-d-Austauschwechselwirkung gedeutet.
- 4-596 V. Jaccarino, M. Peter and J. H. Wernick. Nuclear magnetic resonance in α and β manganese. Phys. Rev. Letters 5, 53-55, 1960, Nr. 2. (15. Juli.) (Murray Hill, N. J., Bell. Teleph. Lab.) Die Eigenschaften der Kernresonanz von Mn⁵⁵ in α- und β-Mangan wurden als Funktion der Temperatur und des Magnetfeldes untersucht. Beim α-Mangan wurde eine 250 GAUSS breite, asymmetrische Linie gefunden, deren Zentrum einem negativen KNIGHT-Shift entsprach. Beim β-Mangan wurde ebenfalls ein negativer KNIGHT-Shift von ca. 0,12% gefunden, der in den experimentellen Fehlergrenzen unabhängig von Temperatur und Magnetfeld ist. Die Änderung der Linienbreite mit dem Magnetfeld zeigt, daß $e^2 q Q/h < 1$ MHz ist.
- 4-597 H. J. Gerritsen and H. R. Lewis. Paramagnetic resonance of V^{4+} in TiO_2 . Phys. Rev. (2) 119, 1010—1012, 1960, Nr. 3. (1. Aug.) (Princeton, N. J., RCA Lab.) Das Spektrum der paramagnetischen Resonanz des Vanadiums, das, entsprechend einem Kernspin I = 7/2, aus acht Hyperfeinstrukturkomponenten besteht, wurde in einem Einkristall von TiO₂ bei 10,14 und 22,68 kMHz beobachtet. Die Analyse des Spektrums zeigt, daß die Resonanz einem 3 d-Elektron des vierwertigen Vanadiums zuzuschreiben ist, das den Platz eines Ti-Atoms im Kristall eingenommen hat. Durch Messung bei verschiedenen Winkeln zwischen Magnetfeld und Kristallachse ergibt sich der g-Tensor zu $\mathbf{g}_{\mathbf{x}} = 1,915, \, \mathbf{g}_{\mathbf{y}} = 1,912, \, \mathbf{g}_{\mathbf{z}} = 1,956.$ Die Hyperfeinwechselwirkungskonstante beträgt $\mathbf{A}_{\mathbf{x}} = 0,0031 \, \mathrm{cm}^{-1}, \, A_{\mathbf{x}} = 0,0043 \, \mathrm{cm}^{-1}, \, A_{\mathbf{z}} = 0,0142 \, \mathrm{cm}^{-1}.$ Scheffler.
- 4-598 J. C. Anderson. Internal ferromagnetic resonance and magnetostatic modes in nickel-iron alloys. Proc. phys. Soc. Lond. 76, 273–281, 1960, Nr. 2 (Nr. 488). (1. Aug.) (Johannisburg, Univ.) Teilchen von ca. 1 bis 25 μ Durchmesser erzeugt mittels Bogenentladung in trockenem Wasserstoff und eingebettet in Paraffin. Messung der komplexen Permeabilität als Funktion der Frequenz. Nachweis der Resonanz und Korrelation zur bekannten Änderung der Anisotropie-Energie mit der Zusammensetzung der Legierung. Minimum der totalen Anisotropie bei 65% Ni. Berechnung der Anisotropie-Konstanten $K_1,\ K_2$. Deutung der Maxima in der Permeabilitätskurve als magnetostatische Spinwellen-Resonanz. G. Schumann.
- 4-599 E. A. Faulkner. Strain-broadening of nuclear magnetic resonance lines in copper. Phil. Mag. (8) 5, 843–851, 1960, Nr. 56. (Aug.) (Melbourne, Univ., G. S. I. R. O., Div. Tribophys.) Vf. untersucht bei Zimmertemperatur die 63 Cu-Resonanz von dünnen, verschieden stark ausgewalzten Kupferstreifen (99,98% Cu). Die Meßfrequenz beträgt 5,5 MHz und die Meßgenauigkeit des mittleren Quadrates der Linienbreite $\overline{\Delta f^2} \pm 4\%$. Bei einer plastischen Verformung bis zu 99% wächst $\overline{\Delta f^2}$ von 7,4 auf 10,2 (kHz)² an.

Mit den gespeicherten Energiewerten S von Clarebrough u. a. (Acta Met. 5, 738, 1956 wird ein Zusammenhang in der Form $\overline{\Delta}f^2=17$ S + 7,4 gefunden. Beim Tempern der Proben bis zu 350°C zeigen diese je nach dem Verformungsgrad ein Temperaturverhalte das der Rekristallisation zugeschrieben wird. Im theoretischen Teil der Arbeit berechn der Vf. aus dem gefundenen Wert 17 (kHz)²/(cal · grd^-1) unter bestimmten Annahm die Komponente F_{11} des Tensors, der den elektrischen Feldgradienten mit der Spannum Gitterpunkt verknüpft. Der Wert $F_{11}=7\cdot 10^{13}$ es E wird mit dem aus der Ladung verschiebung gewonnenen verglichen.

- 4-600 V. J. Kowalewski and R. A. Hoffman. A nuclear magnetic resonance spectr meter. Nuclear Instrum. 6, 357-360, 1960, Nr. 4. (März.) (Uppsala, Univ., Inst. Phy. Vff. beschreiben eine Brücken- und Vorverstärkeranordnung zum Nachweis v. magnetischen Kernresonanzen bei verschiedenen Frequenzen.
- 4-601 J.M. Daniels and K. E. Rieckhoff. Spin lattice relaxation in neodymium ethy sulphate at liquid helium temperatures. Canad. J. Phys. 38, 604-615, 1960, Nr. 5. (Ma (Vancouver, Brit. Col., Univ., Dep. Phys.) Vff. benutzten den optischen FARADA Effekt, um die augenblickliche Magnetisierung in Neodym-Äthylsulfat zu messen. Serreichten die Störung der Besetzung der Spinzustände durch Einstrahlung von Mikr wellenpulsen, deren Frequenz auf die paramagnetische Resonanz abgestimmt war, udurch adiabatische Magnetisierung und Entmagnetisierung. Die Einstellung des Gleic gewichtszustandes in Abhängigkeit von der Zeit wurde untersucht. Vff. fanden ein exponentiellen Verlauf der Relaxation und konnten die Spin-Gitter-Relaxationszeit für Temperaturen zwischen 1,3°K und 4,2°K und für Magnetfelder zwischen 80 un 6000 Oersted messen. Sie fanden eine Abnahme der Relaxationszeiten mit steigende Magnetfeld und eine Temperaturabhängigkeit von annähernd 1/T³. Vff. fanden kei Abhängigkeit der Relaxationszeiten von der Pulslänge.
- 4-602 J. Sierro, R. Lacroix et K. A. Muller. Structure hyperfine du spectre de résonan magnétique du chrome dans le rutile. Helv. phys. Acta 32, 286–288, 1959, Nr. 4. (S. I (Genf, Univ., Inst. Phys.; Battelle Memor. Inst.) Die paramagnetische Resonanz vor Cr*++ wurde in ${\rm TiO}_2$ -Einkristallen, die $0,029/_{00}$ Chromionen enthielten, untersucht. V beobachteten außer der starken Linie der geraden Chromisotope (90%) die Hyperfei strukturaufspaltung des 53 Cr mit dem Kernspin I = 3/2. Die gefundenen sieben Komp nenten und ihre relativen Intensitäten wiesen auf verbotene Übergänge hin. Die konnten auf die Störung der Auswahlregel durch Mischung der beiden im nichtkubisch Feldanteil auftretenden Dubletts mit dem Energieabstand von 1,45 cm $^{-1}$ zurückgefür werden.
- 4-603 J. C. Pebay-Peyroula. Résonance magnétique de niveaux atomiques excités par bobardement électronique. I. J. Phys. Radium 20, 669—679, 1959, Nr. 7. (Juli.) In angeregt Zuständen des Quecksilbers wurden magnetische Resonanzen beobachtet. Die Anregu der untersuchten Niveaus erfolgte durch Elektronenbeschuß, dadurch wurde ei Nichtgleichbesetzung der ZEEMAN-Niveaus erreicht. Diese konnte durch Polarisation messung der emittierten Linien nachgewiesen werden. Der Polarisationsgrad wird Abhängigkeit von der Elektronenenergie angegeben. Die magnetische Resonanz fül zu einer Gleichbesetzung der ZEEMAN-Niveaus, und die damit verbundene Depolasation der optischen Übergänge diente als Detektor. In dieser Weise wurden magnetisc Übergänge im 6 ³F₄- und 5d 6s²6⁹p¹D₂-Niveau beobachtet; außerdem wurden Reinanzen in einem ³P₂-Term vermessen, dessen Konfiguration jedoch nicht mit Sicherh bestimmt werden konnte. Ebenfalls wurden Zyklotronresonanzen gefunden, die jede durch sorgfältige Konstruktion der Elektroden vermieden werden konnten.

Scheffler. 4-604 Ju. A. Isjumow. Die Rolle der Dipol-Dipol-Wechselwirkung bei der ferromagne schen Resonanz. Phys. Abh. Sowjetunion N. F. 2, 463-477, 1960, Nr. 6. (Übers. at Fis. metall. 8, 807-819, 1959.) Die allgemeine Theorie der magnetischen Resonan absorption von Kubo und Tomita wird auf die Berechnung der Linienform bei Gerromagnetischen Resonanz unter Berücksichtigung der Austausch- und Dipol-Dip Wechselwirkung der Elektronen angewandt. Es wird gezeigt, daß die Dipol-Dip

cchselwirkung auf den Kittelschen Ausdruck für die Resonanzfrequenz führt und ne Linienverbreiterung verursacht, die mit der Temperatur zunimmt. Beim absoluten ullpunkt der Temperatur erweist sich die Linienbreite zwar als endlich, aber außerdentlich klein. (Zfg.)

- 605 A. A. Galkin und I. W. Máthiás. Untersuchungen über Kernresonanz in einem Isorbierten Gas. Sh. exp. teor. Fis. 38, 1332—1334, 1960, Nr. 4. (Orig. russ.) Aus der orm der Resonanzkurven in dünnen Absorptionsschichten läßt sich die Wechselirkung zwischen den adsorbierten Molekülen sowie der Einfluß der Unterlage studieren. ff. untersuchten dünne Schichten von H₂, H₂O und CH₄ an Aktivkohle nach der Methode Spinechos; longitudinale und transversale Relaxationszeiten (T₁ und T₂) werden messen und der Diffusionskoeffizient abgeschätzt. Im konstanten Magnetfeld von 300 Oe konnten Relaxationszeiten zwischen 10⁻⁴ und 10 s gemessen werden. Bei 77°K and die Resonanzlinien von H₂ an Kohle 0,2 Oe breit, was in dicker Schicht erst dicht berhalb der Erstarrungstemperatur eintritt; bei 25°K werden die Linien 2 Oe breit, in mer Flüssigkeitsschicht dagegen nur 0,03 Oe.
- A. P. Alexandrow, J. I. Chanin and E. G. Jaschtschin. Beobachtung der sponnen kohärenten Emission eines Feldes in einem Resonator. Sh. exp. teor. Fis. 38, 34-1336, 1960, Nr. 4. (Orig. russ.) (Moskau, Univ., Inst. Radiophys.) Elektronenbinsysteme können im Gebiet der Ultrahochfrequenzen spontan und kohärent strahlen; ir Erzeugung solcher Strahlung werden meistens Paramagnetika verwendet, die bei eliumtemperaturen sehr große Spin-Gitter-Relaxationszeiten haben (ms bis min). ei großen Relaxationszeiten kann man ein Spinsystem leicht anregen (nach der Methode s adiabatischen schnellen Durchgangs oder mit Hilfe von 180°-Impulsen). Ferrite aben meistens eine viel kleinere Relaxationszeit au; Vff. wählten daher ein anderes eßprinzip: Die Resonanzstrahlung des Ferrits wird bei einer Frequenz v, verschieden on der spontanen Emissionsfrequenz v2 erregt; Anregung und Emission sind durch ein ritintervall getrennt, während dessen sich das äußere Magnetfeld von $m H_1=2~\pi v_1/\gamma$ auf $_2=2~\pi v_2/\gamma~(\gamma~{
 m gyromagnetisches~Verhältnis~für~das~Elektron)}$ ändert; damit die Präzeson des magnetischen Moments des Ferrits in dieser Zeit nicht zu stark abklingt, darf e nicht viel größer als τ sein. Es wurde bei $\gamma_1=8900~\mathrm{MHz}$ angeregt; die Emissionsequenz konnte durch Umbau des Resonators zwischen 9000 und 9800 MHz variiert erden. Das Magnetfeld war 3050 Oe, das Impulsfeld 700 Oe mit einer Steilheit dH/dt $3 \cdot 10^{10}$ Oe/s (Zeitintervall $3-15 \cdot 10^{-9}$ s). Die Emissionssignale wurden neben ferroagnetischen Resonanzen an einem Yttrium-Ferrigranat beobachtet.
- -607 N. G. Koloskowa und U. Ch. Copvillem. Die Linienform der akustischen Kernsonanz. Sh. exp. teor. Fis. 38, 1351-1353, 1960, Nr. 4. (Orig. russ.) (Kasan, Univ.) ROCTOR u. a. und BOLEF u. a. (Ber. 36, 1579, 1957; 39, Nr. 9-417, 1960) haben die sustische Kernresonanz behandelt und die Form der akustischen Resonanzabsorption (w) und den Relaxationsprozeß in akustisch angeregten Spinsystemen auf Grund der sherigen Theorie der kernmagnetischen Resonanz gedeutet. Untersuchungen der Vff. of Grund der Quantentheorie der irreversiblen Prozesse über die Wechselwirkung eines ltraschallfeldes mit dem Kernspinsystem in kubischen Kristallen zeigen, daß diese eutung nicht zutrifft: Die Linienform der üblichen paramagnetischen Resonanz wird urch die Fourier-Transformierte der Autokorrelationsfunktion $\mathrm{G}_{\mathtt{M}}(\mathfrak{t})$ des magnetischen oments des Spinsystems beschreiben, die Linienform der akustischen Kernresonanz agegen durch die Autokorrelationsfunktion $G_{K}(t)$ des Kernquadrupolmoments des pinsystems. Da M und $m K_0$ durch eine lineare bzw. eine bilineare Funktion der Spinriablen beschrieben werden, ändern sich beide unter dem Einfluß von Dipol-Dipol-, ustausch- und anderen inneren Wechselwirkungen zeitlich verschieden, die Autokorretionsfunktionen verhalten sich also auch verschieden. Für die Ausbreitung einer ngitudinalen Schallwelle in [110]-Richtung eines kubischen Kristalls im starken atischen Magnetfeld, das mit der [110]-Richtung einen Winkel Θ bildet, wird Λ (ω) rechnet; die Absorptionskurve besteht aus einer Anzahl Gaussscher Linien, die um $\Delta_{a\gamma}^2/\omega_{\gamma}$ gegen die Resonanzfrequenzen ω_a verschoben sind ($\Delta_{a\gamma}^2$ adiabatische bzw. adiabatische zweite Momente der Resonanzlinie für Übergänge mit Änderung von m m γ, ωγ Übergangsfrequenzen). Wird die Halbwertsbreite durch Defekte vom Dislo-

kationstyp bestimmt, so ist für I = 3/2 bzw. I = 5/2 das Verhältnis der Breiten Ultraschall- und magnetischer Resonanz $\sqrt[4]{5/3}$ bzw. $\sqrt[4]{12/5}$; (die gemessenen Werter 1,7 und < 1,7). Bei der Anregung einer freien Kernpräzession um $\mathfrak H$ durch einen Ulschallimpuls wird der zeitliche Abfall des Signals der Kerninduktion G durch Fourier-Transformierte $G_K(t)$ von $A(\omega)$ beschrieben; wegen $G_K(t) \neq G_M(t)$ lie also Ultraschall-Impulsmethoden Daten, die nach der Spinechomethode nicht zu halten sind.

- 4-608 Jun Kondo. Electron spin resonance of Mn⁺⁺ ion in ionic crystals. Progr. the Phys., Kyoto 23, 106—114, 1960, Nr. 1. (Jan.) (Kanada, Tokyo, Nihon Univ., Fac. Engng, Dep. Phys.) Vf. berechnet die Feinstrukturkonstanten E und D für das M Ion in ionischen Kristallen mit Hilfe des Überlappungs- und des kovalenten Mod Die Ergebnisse werden mit den Experimenten von WATKIN (Phys. Rev. 113, 79, 1 und TINKHAM (Proc. roy. Soc. (A) 236, 535, 1956) verglichen. Aus den Vorzeichen E und D, die experimentell bestimmt sind, kann gezeigt werden, daß im Fall von M in Alkalichloriden Kovalenz vorherrscht, während im Fall von Mn⁺⁺ in ZnF₂ der Ülappungseffekt ausschlaggebend ist. Vf. zeigt weiterhin, daß in jedem Fall sein Medie richtige Größenordnung der Feinstrukturkonstanten liefert. Das Modell gibt den Anstieg von D von LiCl bis KCl richtig wieder.
- 4-609 Kiyoshi Kume and Yoshinobu Kakiuchi. Proton magnetic resonance in hydronded dimers in solids. J. phys. Soc. Japan 15, 1277—1284, 1960, Nr. 7. (Juli.) (To Univ., Inst. Solid State Phys.) Einkristalle und Pulver von Kaliumbicarbonat und ver von Borsäurekristallen wurden mit Protonenresonanz untersucht. Durch Bes mung der temperaturunabhängigen zweiten Momente der Protonenresonanz gelandie räumliche Lage der Protonen zu bestimmen. Ergebnisse: C-O-H-Winkel 10-H-Abstand 1,2 Å; die Protonen liegen annähernd auf der Verbindungslinie Sastoff-Sauerstoff der beiden zu einem Dimeren vereinigten Bicarbonationen. B-C Winkel 96°, O-H-Abstand 1,02 Å; hier befinden sich die Protonen beträchtlich vor Verbindungslinie der wasserstoffbrückengebundenen Sauerstoffe des Borsäurepolym entfernt. Die Ergebnisse werden mit der Stärke der Wasserstoffbindung beider Mole in Beziehung gebracht.
- 4-610 A. H. Wapstra. Kernresonantiemetingen met behulp van gepolariseerde neutre Ned. Tijdschr. Natuurk. 26, 101-108, 1960, Nr. 4. (Apr.) (Amsterdam, Inst. Kernonderzoek.)
- 4-611 C. Kittel. Microwave resonance in rare earth iron garnets. J. appl. Phys 1960, Suppl. zu Nr. 5, (Mai.) S. 11 S-13 S. (S. B.) (Berkeley, Univ. Calif., Miller Basic Res. Sci.)
- 4-612 M. H. Seavey jr. Galvanomagnetic effects in ferromagnetic resonance. J. Phys. 31, 1960, Suppl. zu Nr. 5, (Mai.) S. 216S-217S. (S. B.) (Lexington, Mass. Technol., Lincoln Lab.)
- 4-613 P. E. Seiden and H. J. Shaw. Saturation effects in ferrimagnetic resonance appl. Phys. 31, 1960, Suppl. zu Nr. 5, (Mai.) S. 225S-226S. (S. B.) (Stanford, Univ., W. M. Hansen Labs Phys., Microw. Lab.)
- 4-614 G. P. Rodrigue, H. Meyer and R. V. Jones. Ferrimagnetic resonance effect miscellaneous. Resonance measurements in magnetic garnets. J. appl. Phys. 31, Suppl. zu Nr. 5, (Mai.) S. 376 S-382 S. (S. B.) (Harvard Univ., Div. Engng Phys., Gordon McKay Lab.)

 V. Weideman
- 4-615 R. E. Richards and R. W. Yorke. Hydrogen resonance spectra at low temperator pure hydrocarbons and of selected coal samples. J. chem. Soc. 1960, S. 2489—Juni. (Oxford, Phys. Chem. Lab.)
- 4-616 D. B. Powell and N. Sheppard. Nuclear magnetic resonance and infrared sp scopic evidence for the structure of some metal-olefin complexes. J. chem. Soc. 1960, S. 25' 2521, Juni. (London, Sir John Cass Coll.; Cambridge, Univ. Chem. Lab.) H. Ebe

- 617 E.M. Roberts and W.S. Koski. An electron spin resonance study of copper oporphyrin II. J. amer. chem. Soc. 82, 3006—3009, 1960, Nr. 12. (20. Juni.) (Baltiore, Maryl. Univ., Dep. Chem.)
- 618 E. B. Whipple, J. H. Goldstein and Leon Mandell. Proton magnetic resonance in bstituted propenes. I. 2-substituted propenes. J. amer. chem. Soc. 82, 3010-3013, 66, Nr. 12. (20. Juni.) (Atlanta, Georgia, Univ., Dep. Chem.)
- 619 R. E. Naylor jr. and S. W. Lasoski jr. Nuclear magnetic resonance spectra of me fluorine-containing polymers. J. Polym. Sci. 44, 1-7, 1960, Nr. 143. (Mai.) (Buffalo, ew York, E. I. du Pont de Nemours & Co., Inc.m, Film Dep.)
- 620 Shizuo Fujiwara. Proton magnetic resonance in irradiated and unirradiated objectively alcohol. J. Polym. Sci. 44, 93-105, 1960, Nr. 143. (Mai.) (Tokyo, Univ., lectro-Communicat.)

 H. Ebert.
- -621 Jerome I. Kaplan. Correlation times, line widths and cross relaxation of spin stems in solids. Amer. J. Phys. 28, 491—494, 1960, Nr. 5. (Mai.) (Waltham, Mass., niv.) In einer frühere Arbeiten zusammenfassenden Theorie wird eine einfache Formel atwickelt, die es gestattet, Linienbreiten und Relaxationszeiten der Elektronenspinsonanz und Kernresonanz in Festkörpern zu berechnen. Die Methode ist nicht nur ir reine Zeeman-Energien geeignet, sondern kann für jeden Spin-Hamilton-Operator agewendet werden. Die Ergebnisse werden als Fourier-Transformierte einer Korretionsfunktion dargestellt.
- -622 Ch. Ryter. Direct measurement of the electron density at the nucleus in metallic thium at liquid helium temperature. Phys. Rev. Letters 5, 10-11, 1960, Nr. 1. (1. Juli.) Gif sur Yvette, Seine et Oise, Fr. Contre Et. Nucl. Saclay.) Wenn die Elektronenspinesonanz in einem Metall teilweise gesättigt wird, wird die Kernspinpolarisation sehr ergrößert und gibt Anlaß zu einer Verschiebung des Signals der Elektronenresonanz, ie proportional zur Elektronendichte am Metallkern ist und von der Größe der zur lessung gelangenden Metallpartikel ist. Das Experiment wurde mit Mikrowellenenerien bis 30 mW bei 9340 MHz zwischen Temperaturen von 1,5° K bis 4,2° K an Einkristaln von LiF durchgeführt, die nach Bestrahlung mit thermischen Neutronen einige rozente koagulierte Li-Metallpartikel von der Größe eines Mikrons enthielten. Durch ine besondere Meßtechnik konnte sowohl die unverschobene als auch die verschobene omponente in einer Messung beobachtet werden. Für den Abbau der Kernspinpolarition wird T₁ = 9,8 s bei 4,2°K angegeben. Für die Elektronendichte am Ort des erns ergibt sich in Übereinstimmung mit anderen Experimenten $\xi = \langle \Psi_{\rm F}^2 \rangle / |\Psi_{\rm a}(0)|^2$ = 0.442 + 0.015.Scheffler.
- -623 I. S. Ciccarello, M. B. Palma-Vittorelli and M. U. Palma. An electron spin resoance investigation of photographic processes in crystals of AgCl containing traces of CuCl. hil. Mag. (8) 5, 723-727, 1960, Nr. 55. (Juli.) (Palermo, Univ., Ist. Fis.) Vff. berichten ber vorbereitende Experimente für die Untersuchung des Verhaltens der positiven öcher in belichteten Silberhalogenidkristallen. Es wird die Elektronenspinresonanz von lberchlorid-Einkristallen, die etwa 0,1 Mol-% CuCl enthalten, mit einem früher behriebenen Spektrometer im 3 cm-Band gemessen. Unbelichtete Kristalle zeigen weder ei Raumtemperatur noch bei der Temperatur des flüssigen O2 eine Elektronenspinsonanz. Nach Bestrahlung 10 -20 s lang in 10 cm Abstand mit einer Quecksilberunpflampe (Hanau 500 W, S 500/PL 324) bei Raumtemperatur ergibt sich ein Spekum, wenn die Kristalle sofort nach der Bestrahlung sehnell auf die Temperatur der issigen Luft abgekühlt werden. Das Spektrum verschwindet schnell, wenn die Kristalle ich der Bestrahlung oberhalb von $-140 \, ^{\circ}$ C gehalten werden. Die Ergebnisse werden t der Grundlage der Theorie von MITCHELL gedeutet. Danach dürfte das positive och von einem Cu⁺-Ion eingefangen werden und damit Cu⁺⁺ bilden. Das Cu⁺⁺-Ion ergibt e Elektronenspinresonanz. Das Zurückgehen des Spektrums oberhalb - 140°C kann it dem Springen eines Ag-Ions aus der Nachbarschaft des Cu⁺⁺-Ions auf einen Zwischentterplatz und der anschließenden Wegdiffusion zusammenhängen.

D. Fraitova. On the theory of the ferromagnetic resonance of thin films. Czech Phys. (B) 10, 74, 1960, Nr. 1. (Prague, Acad. Sci., Inst. Phys.) Entsprechend VALEN Methode, die einzelnen Atomlagen eines ferromagnetischen Metallfilmes als Untergi aufzufassen, werden für einen n-lagigen (100)-Eisenfilm die Bloch-Gleichungen für Bewegung der Magnetisierung in jeweils einer Lage unter dem Einfluß der angeleg Magnetfelder und der Molekularfelder der Nachbarlagen angeschrieben. Die Resona eigenfrequenzen wurden bis zu n = 60 als Wurzeln der Säkulardeterminanten numer berechnet und hängen quadratisch von der Ordnungszahl der Resonanz und der r proken Zahl der Atomlagen ab. Das Ergebnis stimmt mit den Beobachtungen der S Methfesse wellenresonanz durch SEAVY und TANNENWALD überein.

4-625 S. Geschwind, L. R. Walker and D. F. Linn. Exchange resonances in gadolin iron garnet at 24000 Mc. J. Phys. Radium 20, 344-348, 1959, Nr. 2. (Febr.) (Mur Hill, N. J., Bell Tel. Labs.) In der Nähe des magnetischen Kompensationspunk $T_c = +13$ °C, wurde bei 24 kMHz die ferrimagnetische Resonanz an Einkrista von Gadolinium-Eisen-Granat untersucht. Entsprechend den normalen und ges läufigen Präzessionsrichtungen der gekoppelten Eisen- und Gadoliniumuntergit wurden zwei Resonanzen beobachtet. Die Ergebnisse werden mit einer die magnetis Suszeptibilität des Gd berücksichtigenden Theorie verglichen. In Übereinstimmung experimentellen Magnetisierungsdaten wurde aus den Messungen für Te ein Austaus feld von 183 000 Gauss bestimmt. Ebenfalls konnten Aussagen über die Anisotropie die Differenz der g-Faktoren vom Fe und Gd gemacht werden. In einem Bereich einem Grad um die Kompensationstemperatur konnten zusätzliche Resonanzen be achtet werden, die auf die Fe- und Gd-Untergitter zurückgeführt wurden, die para zu einer (111)-Richtung, jedoch nicht parallel zum äußeren magnetischen Feld a gerichtet sind. Scheffle:

J. Paulevé, B. Dreyfus et M. Soutif. Resonance ferrimagnétique des ferrite grenats à température de compensation. J. Phys. Radium 20, 355-359, 1959, No (Febr.) (Grenoble, Univ.) Es wird ein Verfahren angegeben, auf einfache Weise die R nanzbedingungen eines Ferrits mit zwei magnetischen Teilgittern zu bestimmen. De werden allerdings die durch Anisotropie und Relaxation bedingten Einflüsse at acht gelassen. Die experimentellen Befunde bei Lithium-Chrom-Ferrit sowie Ga linium- und Erbium-Granat stimmen jedoch recht gut mit den theoretischen Ü legungen überein. Bei diesen Stoffen ergibt sich bei einer bestimmten Temperatur vollständige Kompensation der Magnetisierungen beider Teilgitter. In der Umgeb dieses Kompensationspunktes konnten die aufgestellten Beziehungen mit Vorteil gewendet werden, um Änderungen des Resonanzfeldes in Ferriten zu untersuchen. Zentgra

4-627 R. M. Bozorth and J. H. van Vleck. Magnetic susceptibility of metallic europi Phys. Rev. (2) 118, 1493-1498, 1960, Nr. 6. (15. Juni.) (Murray Hill, N. J., Bell Tele Labr.; Cambridge, Mass., Univ.) Die Suszeptibilität von Europium wurde zwisc 1,3 und 300°K in Feldern bis 12 kOe gemessen. Dabei wurde gefunden, daß di Metall nicht ferromagnetisch ist, jedoch bei tiefen Temperaturen eine sehr hohe p magnetische Suszeptibilität besitzt, die etwa 40mal größer ist als beim freien Ion ode wasserhaltigen Salzen. Unterhalb 100°K ist die Suszeptibilität auch feldstärker hängig. Bei sehr tiefen Temperaturen (< 15° K) findet man den gleichen Verlauf wie einer Magnetisierungskurve; allerdings ist dieses Verhalten praktisch unabhängig der Temperatur. Die Suszeptibilität bei hohen Temperaturen ($\mu_{eff}=8.3~\mu_{B}$) ist zu klären durch ein Modell mit zweiwertigen Ionen. Das magnetische Verhalten bei ti Temperaturen kann dagegen kaum mit zweiwertigen Ionen erklärt werden, dageger eine Deutung mit einer Theorie, die für Eu+++ entwickelt wird, möglich. Vom me kundlichen Standpunkt aus muß allerdings Europium auch bei tiefen Temperati zweiwertig bleiben. Perthe

4-628 D. D. Davis and R. M. Bozorth. Magnetic properties of thulium metal. P. Rev. (2) 118, 1543-1545, 1960, Nr. 6. (15. Juni.) (Murray Hill, N. J., Bell Teleph. I. Messungen, die im Temperaturintervall von 1,3 bis 300°K und in Feldern bis zu 12 ausgeführt wurden, zeigen, daß Thulium beim Abkühlen unterhalb 60°K antife magnetisch und unterhalb 22°K ferromagnetisch wird. Die Suszeptibilität bef bereinstimmend mit anderen Autoren, zwischen 70 und 300°K das Curie-Weisssche esetz mit einem magnetischen Moment von 7,6 $\mu_{\rm B}$. Dieser Wert ist gleich dem Moment nes dreiwertigen Ions, das zwei Löcher in der 4 f Schale hat. Das größte beobachtete romagnetische Moment beträgt nur 0,5 $\mu_{\rm B}$ gegenüber einem theoretischen Wert von = 7. Bei den tiefsten Temperaturen wurden große Hysterese und hohe Kristallisotropie beobachtet. Es wird daher vermutet, daß die Anisotropie so groß ist, daß e Magnetisierung nicht merklich aus der hexagonalen Achse herausgedreht werden un. Diese Annahme wird dadurch gestützt, daß Henry bei 70 k Oe nur 3,4 $\mu_{\rm B}$ fand; er höchste Wert, der bei polykristallinem Material unter obiger Annahme zu erwarten t, beträgt 3,5 $\mu_{\rm B}$.

629 N. B. Brandt. Der Löcheranteil der Fermi-Fläche im Wismut. Sh. exp. teor. Fis. , 1355-1356, 1960, Nr. 4. (Orig. russ.) (Moskau, Univ.) Bei der Untersuchung der nisotropie der magnetischen Suszeptibilität von Bi bei sehr tiefen Temperaturen waren ue Oszillationen mit hoher Frequenz beobachtet worden, die auf Löchergruppen behen (Ber. 39, Nr. 5-390, 1960). Weitere Messungen zeigten, daß die FERMI-Fläche r die Löchergruppe in erster Näherung ein in Richtung der trigonalen Achse verlängers Rotationsellipsoid ist; die Flächen der Hauptquerschnitte sind senkrecht zur igonalen Achse $S_1 = 6.75 \cdot 10^{-42} \, \text{g}^2 \, \text{cm}^2 \, \text{s}^{-2}$, parallel dazu $S_2 = 25.75 \cdot 10^{-42} \, \text{g}^2 \, \text{cm}^2 \, \text{s}^{-2}$; e Löcherkonzentration ist p = $0.34 \cdot 10^{18}$ cm⁻³, die Fermi-Energie $E_0^* \approx 2.5 \cdot 10^{-14}$ erg $\ell_0/k \approx 180^{\circ} \, \mathrm{K}$), die effektiven Massen senkrecht bzw. parallel zur trigonalen Achse nd m₁ = m₂ = 0,05 m₀ bzw. m₃ = 0,7 m₀. Die Anisotropie der Fermi-Fläche und die Tektiven Massen stimmen gut mit Zyklotron-Resonanz-Messungen von GALT u. a. Ber. 39, Nr. 11-473, 1960) und Messungen des anomalen Skineffektes von SMITH Phys. Rev. 115, 1561, 1959) überein, obwohl dort eine anomal kleine FERMI-Grenze ngenommen wurde (entsprechend der großen elektronischen, spezifischen Wärme des i). Die Löcherkonzentration in diesem einen Rotationsellipsoid ist fast gleich der Elekonenkonzentration in den drei Ellipsoiden des Modells von Shoenberg (0,39 10¹⁸ cm⁻³); diese beiden Gruppen "leichter" Elektronen und Löcher sind offenbar erantwortlich für die galvanomagnetischen Eigenschaften des Bi. Die Differenz der littelwerte für die effektiven Elektronenmassen im Modell von Shoenberg und die öchermassen im Modell mit einem Ellipsoid stimmt gut mit dem Unterschied der mittren Beweglichkeiten von Elektronen und Löchern unter der Annahme ungefähr leicher freier Flugdauer überein. Da die spezifische Wärme der "leichten" Löcher klein egen das beobachtete lineare Glied in der spezifischen Wärme des Bi ist, muß man indestens drei Gruppen von Ladungsträgern annehmen.

Robert M. May. Diamagnetism of electrons in a weak periodic potential. Progresor. Phys., Kyoto 23, 400–407, 1960, Nr. 3. (März.) (Sydney, Univ., School Phys., B. S. Falkiner Nucl. Res. a. Adolph Basser Comput. Labs.) Das magnetische Veralten eines Systems wird im allgemeinen durch die Formel M(q) = K(q) B(q) behrieben, wobei M die Magnetisierung, B die Induktion und K die Greensche Funktion urstellt, welche bei Verwendung einer normierungskovarianten Hamilton-Funktion indeutig, bei Verwendung einer angenäherten nicht-normierungs-kovarianten Hamilton-Funktion jedoch so lange unbestimmt ist, als nicht einem Parameter $\alpha(q)$ ein Wert ugeschrieben wird, der K in Form einer Potenzreihe dem exakten Wert so nahe wie öglich bringt. Diese Methode wird hier auf Elektronen angewendet, die sich in einem hwachen periodischen Gitter bewegen. Unter Verwendung der in der Theorie der etalle häufig verwendeten Näherungswellenfunktionen wird eine Verbesserung gegender dem freien Elektronen-Modell erreicht. Die Kohäsionskräfte in Metallen können it Hilfe dieser Methode berechnet werden. Die Resultate für magnetische Größen werden jedoch nicht normierungs-kovariant sein.

631 W. G. Henry and J. L. Rogers. The magnetic susceptibilities of some diamagnetic loys. The primary solid solutions of cadmium, indium, tin and antimony in copper and in wer; zinc, gallium, germanium, and arsenic in silver; copper in silver and silver in copper. and J. Phys. 38, 908—926, 1960, Nr. 7. (Juli.) (Los Angeles, Space Technol. Labs.) ach Angaben über die Darstellung der Legierungen sind die Ergebnisse der Suszepti-

bilitätsmessungen an den im Titel aufgeführten Mischkristallen bei Raumtempera in Abhängigkeit von der Konzentration der gelösten Komponente tabellarisch sammengestellt. Die Ergebnisse werden durch ein von den Vff. an anderer Stelle (1 35, 2109, 1956) beschriebenes Modell diskutiert. Berechnung der Dichte der Elektron niveaus für Silber unter der Annahme fast freier Elektronen. Es wird festgestellt, daß s die Mischkristalle im System Ag-Cu anomal verhalten.

4-632 Taiichiro Haseda. Paramagnetic susceptibility of CoCl2 · 6H2O and its deuter salts. J. phys. Soc. Japan 15, 483-488, 1960, Nr. 3. (März.) (Sendai, Tohoku Ur Res. Inst. Iron, Steel, other Metals.) Die paramagnetische Suszeptibilität eines C · 6 H.O-Einkristalles wurde mit der üblichen Wechselstrombrücken-Methode zwisc 1° und 20°K gemessen. Dabei wurde ein Übergang in den antiferromagnetischen stand bei etwa 3,3°K beobachtet. Die leichte Magnetisierungsrichtung liegt parallel c-Achse. Im paramagnetischen Zustand ergaben sich unterhalb 20°K die g-Werte $g_c = g_b = 4.9$ und $g_{c,\perp} = 2.9$. Zu den anisotropen Suszeptibilitäten im paramagnetisc Zustand werden einige Überlegungen auf der Grundlage der Kristallfeldtheorie wie gegeben. Die Austauschwechselwirkung in diesem Salz wird diskutiert, indem Wechselwirkungsweg zwischen den magnetischen Ionen, der über Chloratome Wassermoleküle geht, betrachtet wird. Messungen an deuterierten Salzen sollten schluß über den Beitrag der Wasserstoffbindung zur magnetischen Austauschwech wirkung geben. Das Ergebnis ist negativ; es konnte keine nennenswerte Verschieb Perthe des Umwandlungspunktes gefunden werden.

4-633 W. L. Granowski und E. I. Urasakow. Ein magnetomechanischer Rotationse im Niederdruckplasma. Sh. exp. teor. Fis. 38, 1354-1355, 1960, Nr. 4. (Orig. ri (Moskau, Univ.) BOSTIK und LEVINE (Ber. 35, 145, 1956) haben für die positive S einer Niederdruckentladung eine Rotation des Gases um die Säulenachse beim Anle eines longitudinalen homogenen Magnetfeldes vorausgesagt. Vff. versuchten die Effekt mit Hilfe einer dünnen festen Platte zu finden, die ins Gas gehängt wird und mit diesem drehen müßte. Die positive Säule wurde in einem vertikalen Zylinder aktivierten Elektronen (zur Stromumkehr) an den Enden erzeugt. Im Plasma hing rechteckiges, "hochkant" gestelltes Glimmerplättehen mit einem Spiegelchen an ei Quarzfaden. Die Füllung bestand aus Argon oder Neon mit 0,1-0,5 Torr. Beim Anle des Magnetfeldes wird das Plättchen abgelenkt, nach dem Abklingen der Schwingur bleibt eine neue Einstellung konstant (Felder zwischen 100 und 800 Oe); die Ablenk betrug mehrere Grad. Die Stationarität des Effekts zeigt, daß er vom konstanten gnetfeld, nicht aber von induzierten Wirbelströmen erzeugt wird. Bei Umpolung Magnetfeldes ändert auch die Ablenkung ihr Vorzeichen, dagegen bleibt sie bei polung des Entladungsstromes ungeändert. Der Effekt beruht nicht auf einer un ständigen Parallelität zwischen Plasmastrom und Magnetfeld. Der magnetomechani Effekt, die Rotation der positiven Säule, kann auf einer Trägerdiffusion senkrecht Magnetfeld und zum Konzentrationsgradienten beruhen (Diffusions-HALL-Stron Elektronen und Ionen bewegen sich dann azimutal und entgegengesetzt; der verse dene Impuls beider Ströme erteilt dem ganzen Gas ein Drehmoment. Diese Deu soll weiter geprüft werden. Voge

4-634 Mikio Yamamoto and Takurô Nakamichi. Magnetostriction constants of centered cubic nickel-copper and nickel-cobalt alloys. Sci. Rep. Res. Insts Tôhoku Univ 168—182, 1959, Nr. 3. (Juni.) An kubisch flächenzentrierten Ni-Cu- und Ni-Cogierungen wurden bei 20°C die Magnetostriktionskonstanten λ_{100} und λ_{111} bestim Gemessen wurde die Magnetostriktion der Einkristallscheiben mit Hilfe von Dehnu meßstreifen. Die experimentell gefundene Konzentrationsabhängigkeit von λ_{100} λ_{111} steht in sehr guter Übereinstimmung mit den theoretischen Werten für bifeste Lösungen (nach Wonsowski-néel).

4-635 I. Mitsuko Nakamura. Magnetoresistance and magnetostriction in ferrite. Bull. electrotech. Lab. Tokyo 24, 457-466, 1960, Nr. 6. (Orig. jap. m. engl. Zfg. Einkristallen aus Mn-Ferrit und Co-Fe-Ferrit wurden bei Zimmertemperatur magnetische Widerstand, die Magnetostriktion und die Induktion gemessen. Die

erkenswerten Änderungen, denen diese Größen unterworfen sind, entsprechen den rschiedenartigen Magnetisierungsprozessen, nämlich BLOCH-Wandverschiebungen, rehungen und Sättigungserscheinungen. Die Änderungen herrschen besonders im vereich der Drehprozesse vor. Hinsichtlich der Änderung des magnetischen Widerstansweisen die beiden untersuchten Ferrite gegensätzliches Verhalten auf; bei beiden ist icse jedoch der Längenänderung durch Magnetostriktion nahezu proportional. Die irkung von Magnetfeldtemperungen wurde bei Co-Fe-Ferrit ebenfalls untersucht. uch daraus ergab sich eine enge Verknüpfung von magnetischem Widerstand und agnetostriktion.

Zentgraf.

- 636 N. H. Saunders and R. S. Tebble. Magnetothermal effects in silicon-iron alloys. roc. phys. Soc. Lond. 76, 282–294, 1960, Nr. 2 (Nr. 488). (1. Aug.) (Leeds Univ., cp. Phys.; Sheffield, Univ., Dep. Phys.) Messungen von (I, H), $\beta = (\partial I/\partial T)_H$ und der versiblen Suszeptibilität $\varkappa_r = (\partial I/\partial H)_T$ (1 Magnetisierung, H Feldstärke, T absolute emperatur) an je einer polykristallinen Probe mit 4 und 0,29 Gew.-% Si. Mit zunehendem H nähert sich die Größe $[-T\beta (T/I_0)(\partial I_0/\partial T)(I + H\varkappa_r)]/H\varkappa_r$ der Konstann (T/K₁) ($\partial K_1/\partial T$), K_1 erste Anisotropie-Konstante.
- -637 A.V. Pohm, A.A. Read, R.M. Stewart jr. and R. F. Schauer. Operation of agnetic film parametrons in the 100- to 500-Mc regions. J. appl. Phys. 31, 1960, Suppl. Nr. 5, (Mai.) S. 119 S-120 S. (S. B.) (Ames, Iowa State Univ., Sci., Technol., Elect. ugng Dep., Engng Exp. Stat.)

 V. Weidemann.
- 638 H. F. Ludloff. Magnetic boundary layers. A. R. S. J. 29, 590-591, 1959, Nr. 8. aug.) (New York, N. Y., Univ.) Es wird die Grenzschicht an einem schlanken Profil tersucht. Hierbei wird von den linearisierten Bewegungsgleichungen ausgegangen. er Verlauf eines äußeren magnetischen Feldes wird so angenommen, daß geschlossene ösungen gefunden werden können.
- 639 Dwight W. Berreman. Electromagnetic equations written in a form independent of e system of units. Amer. J. Phys. 27, 44—46, 1959, Nr. 1. (Jan.) (Eugene, Oreg., Univ.) Schön.
- 640 R. H. Good jr. Electromagnetic multipole radiation. Ann. Phys., N. Y. 1, 213 bis 20, 1957, Nr. 3. (Juni.) (University Park, Pennsylvania State Univ., Dep. Phys.) ekanntlich (R. H. Good Jr., Phys. Rev. 105, 1914, 1957) lassen sich die Maxwellhen Gleichungen für das Strahlungsfeld auf Hamiltonsche Form umschreiben: $\psi = ih \partial \psi / \partial t$ mit $\psi = \{\psi_j\}, \ \psi_j = E_j + iB_j$. (H beschreibt die zeitliche Entwicklung 25 Systems, ist aber nicht mit der Energie identisch.) Dadurch wird es möglich, die ormeln für elektromagnetische Multipolstrahlung in völliger Analogie zu den Schrönger- und Dirac-Strahlungsproblemen herzuleiten: Abseperation des Zeitfaktors $(p ih^{-1}Wt)$ führt auf die Eigenwertgleichung Hw = Ww für den räumlichen inteil w(x) von ψ (x, t). Vf. bestimmt die Lösungen im ganzen Gebiet mit Ausnahme 21 Ursprungs und mit nichtverschwindender Frequenz, die in großer Entfernung vom in auslaufende Wellen übergehen und gleichzeitig Eigenfunktionen des Quadrats wie der z-Komponente des Drehimpulsoperators sind. Auf diese Weise erhält man die ekannten Ergebnisse in einer neuen Form.
- -641 Paul Poincelot. Critère d'unicité pour les solutions des équations de Maxwell. Ann élécomm. 15, 77—83, 1960, Nr. 3/4 (März/Apr.) Vf. untersucht die Lösungen einiger ektromagnetischer Randwertaufgaben auf ihre Eindeutigkeit. Päsler.
- 642 F. R. Scott and R. F. Wenzel. Experimental plasma flow into a vacuum magnetic sp field. Phys. Rev. (2) 119, 1187—1188, 1960, Nr. 4. (15. Aug.) (San Diego, Calif., en. Atom., Hopkins Lab. Pure Appl. Sci.) Durch ein elektromagnetisches Ventil wird as in eine konische Pinch-Funkenstrecke am Ende eines evakuierten Glasrohres eindassen. Plasma hoher Dichte dringt dann in eine magnetische "Cusp"-Anordnung ein de wird dort festgehalten. Das Plasma hat eine Geschwindigkeit von 8 · 10⁸ cm/sec and 16 μsec nach Gaseinlaß im Zentrum der Spule eine Ionendichte von 8,5 · 10¹⁵ cm⁻³ it einer Abklingkonstanten von 13,5 μsec. Magnetfeldsondenmessungen in der Achses, "Cusp"-Feldes lassen die Wirkung des Magnetfeldes auf das Plasma erkennen. Das

schnelle Absinken von Elektronentemperatur und Ionendichte, das spektrale B achtungen zeigen, weist auf engen Kontakt des Plasmas mit der Wand hin. Für wei Untersuchungen sind höhere Energie und bessere Trennung des Plasmas von der W erforderlich.

Muntenbrue

4-643 Erich S. Weibel. On the confinement of a plasma by magnetostatic fields. P Fluids 3, 52-56, 1959, Nr. 1. (Jan./Febr.) (Los Angeles, Calif., Space Technol. La Es wird ein Plasma behandelt, das aus klassischen Teilchen der Masse m⁺ und m⁻den Ladungen ±e bestehen soll. Es wird gezeigt, daß ein solches Plasma von einem gnetostatischen Feld nicht beeinflußt wird, wenn es sich im thermodynamisc Gleichgewicht befindet. Falls keine Stöße auftreten, gibt es für das Magnetfeld und Teilchenverteilung im Phasenraum Lösungen derart, daß das Gas zusammengehe wird. Als Beispiel wird der lineare Pinch behandelt. Für einen Spezialfall werder Felder, die Teilchendichten und die Stromdichten berechnet.

4-644 William J. Guman. Partition of energy in a pulsed plasma accelerator. P Fluids 3, 483-484, 1960, Nr. 3. (Mai/Juni.) (Farmingdale, New York, Repartition Corp.) Es wird gezeigt, daß im Plasma hinter einer magnetisch beschleuni Stoßwelle (aus einem gepulsten Beschleuniger) die innere Energie nicht immer gerkinetischen Energie ist. Die kinetische Energie kann größer sein als die thermi Energie, wenn die Stoßwelle in ein sich gleichförmig bewegendes Gas hineinit Außerdem wird gezeigt, daß eine Umwandlung von thermischer in kinetische Enerreicht wird, wenn die Stoßwelle mit einer Verdünnungswelle zusammenstößt.

Ringle

- 4-645 Ira B. Bernstein. Plasma oscillations perpendicular to a constant magnetic Phys. Fluids 3, 489-490, 1960, Nr. 3. (Mai/Juni.) (Princeton, N. J., Univ.) In ekürzlich erschienenen Artikel hat OSTER (Rev. Modern Phys. 32, 141, 1960) die Dissionsbeziehungen für die longitudinalen Plasmaschwingungen, die sich senkrecheinem konstanten äußeren Magnetfeld fortpflanzen (GROSS, Ber. 30, 1132, 1951) BERNSTEIN, Ber. 37, 1953, 1958) kritisiert. BERNSTEIN weist diese Kritik wegen der ihm angewandten LAPLACE-Transformationsmethode zurück.
- 4-646 J. Slepian. A fundamental error in thermonuclear research. Phys. Fluids 3, 1960, Nr. 3. (Mai/Juni.) (Pittsburgh, Penn.) Vf. macht auf eine nicht allgemein lässige Formulierung im Buch von Simon "An Introduction to Thermonuclear Resea aufmerksam, in dem Simon aus der allgemeinen Bewegungsgleichung die Gleich $\nabla P = jx B$ erhält da er dv/dt und nicht nur $\partial v/\partial t = 0$ setzt. Dann nämlich ist $\rho v + \nabla P = jx B$. Der Term $\rho v \nabla v$ ändert den Betrag für die "Containment"-Zeit Plasmas völlig und muß deshalb berücksichtigt werden.
- David M. Wetstone, Melvin P. Ehrlich and David Finkelstein. Experimen plasmoid motion along magnetic fields. Phys. Fluids 3, 617-630, 1960, Nr. 4. (Juli/A) (New York, Univ., Inst. Math. Sci.) In ein etwa 100 cm langes, auf 10-6 Torr evakui Glasrohr von 2,3 oder 5,1 cm Durchmesser wird eine Plasmawolke (Plasmoid) in Ac richtung eingeschossen. Durch eine um das Glasrohr gewickelte Spule wird ein ac paralleles, homogenes Magnetfeld (bis 30 kGAUSS) erzeugt, das durch verschie Blenden und durch Änderung der Windungsdichte an bestimmten Stellen modif werden kann. Außerdem werden schwach gekrümmte Rohre mit entsprechene krümmten Magnetfeldern verwendet. Die Spur des leuchtenden Plasmoids wird p graphiert, außerdem werden Geschwindigkeitsmessungen mit Multipliern gem Geschwindigkeiten von 1,9 · 106 cm/s werden erreicht. Daraus wird eine obere G für die Ionentemperatur zu 120 eV ermittelt und ein Mechanismus angegeben, der hohe thermische Energie verständlich macht. Die übliche Behandlung der Reflexie magnetischen Spiegeln wird durch Ableitung eines Reflexionskoeffizienten fü Plasmoid, das in einen magnetischen Spiegel strömt, auf den vorliegenden Fall gedehnt. - Eine Methode zur maschinellen Berechnung von Magnetfeldern, anwei für eine große Mannigfaltigkeit von Spulen-Geometrien und Kombinationen, wir gegeben. Witkows

- 648 N. A. Borzunov, D. V. Orlinsky and S. M. Osovets. Investigation of pulsed high rrent gas discharges by high speed photography. J. nuclear Energy 9, 135—139, 1959, r. 1/4. (Juni.) Von Hochstromentladungen (Ströme > 10⁵ A) in Deuterium und den lelgasen (Drücke zwischen 0,01 und 1 Torr) werden nebeneinander HF-kinematoaphische Aufnahmen (10⁵ Bilder/s) gemacht und oszillographisch der Spannungsdid Stromverlauf registriert. Die VII. finden die Theorie der Plasmaeinschnürung von zontovich und Osovets im wesentlichen bestätigt.
- 649 V. I. Kogan. The role of the radiation from impurities in the energy balance of a usma pinch. Soviet Phys.-Doklady 4, 1057—1060, 1960, Nr. 5. (März/Apr.) (Engl. bers. aus: Doklady Akad. Nauk SSSR 128, 702, 1959, Nr. 4.) Die Energieausstrahlung nes Plasmas erfolgt durch Frei-Frei, Frei-Gebunden und Gebunden-Gebundenrahlung, die insbesondere für Verunreinigungen mit großem Z beträchtlich werden. Fir einen als stationär angenommenen Pinch wird das Verhältnis der abgestrahlten zur, irch Joulesche Heizung hineingesteckten Energie berechnet. Eine Faustformel für Gesamtstrahlung in Abhängigkeit von Z und der Temperatur wird angegeben.

Knorr.

- 650 Tarô Dodo. Formation of a plasma by low energy ion injection and cyclotron ating. J. phys. Soc. Japan 15, 906-916, 1960, Nr. 5. (Mai.) (Tokyo, Hitachi Centr. cs. Lab.) Es wird eine Methode zur Erzeugung eines Plasmas hoher Temperatur in ner magnetischen Flasche vorgeschlagen. Ionen werden entlang der Achse parallel zu n magnetischen Feldlinien eingeschossen. Durch ein dem konstanten Feld übergertes magnetisches Wechselfeld, dessen Frequenz gleich der Gyrationsfrequenz der nen ist, wird die Ionengeschwindigkeit quer zum Magnetfeld erhöht, wenn das beeffende Ion in Phase mit dem Wechselfeld ist; das Ion wird eingefangen. Ein Ion, das cht in Phase mit dem Wechselfeld gyriert, wird gebremst und entkommt durch die piegel. Die Wahrscheinlichkeit, daß ein eingeschossenes Ion eingefangen wird, beträgt nach Größe des Wechselfeldes 0,3 bis 0,5. Durch die Rückwirkung des Ionenstromes der Flasche auf das Wechselfeld ist die Ionendichte auf etwa 1012 cm-3 begrenzt. Für as Experiment ist ein Vakuumgefäß von 10 cm Durchmesser und 400 cm Länge aus uarz geplant. Das auf einer Länge von 220 cm homogene Magnetfeld von 10000 Gauss ird an beiden Enden durch Spiegel mit einer Feldstärke von 20000 GAUSS abgeschlosn. Für das überlagerte Wechselfeld wird eine Leistung von etwa 20 kW veranschlagt. Witkowski. ie Deuteriumionen werden mit 400 eV injiziert.
- 651 Mintcho P. Zlatev. Détermination des courants de Foucault au moyen du potentiel cteur électrique. Suppl. J. Phys. Radium 21, 16A—18A, 1960, Nr. 3. (März.) (Sofia, cole Polytech.)

 Behnsch.
- 652 L. P. Gor'kov. Two limiting momenta in scalar electrodynamics. Soviet Phys.-ETP 5, 167-169, 1957, Nr. 2. (Sept.) (Engl. Übers. aus: J. exp. theor. Phys., Moskau 2, 359-362, 1957, Febr.) (USSR, Acad. Sci., Inst. Phys. Probl.) Die Möglichkeit der inführung von zwei Grenzimpulsen (Abschneideverfahren) in die skalare Elektronamik wird untersucht. Wie sich zeigt, treten die Schwierigkeiten, die mit dem Verhwinden der renormalisierten Ladung im Grenzfall einer Punktwechselwirkung zummenhängen, auch in einer solchen Theorie auf.

 Kl. Müller.
- 653 M. A. Kriwoglas und A. A. Smirnow. Über die Möglichkeit einer Bestimmung der orm der Fermi-Fläche aus der Winkelverteilung der γ-Quanten, die sich bei der Ummundlung von Elektronen-Positronen-Paaren in Photonen bilden. Fis. metall. (russ.) 7, 4–152, 1959, Nr. 1. (Orig. russ.)
- 654 I. G. Fakidow und W. P. Krasowskij. Die elektrische Leitfähigkeit von Mangan-10sphiden. Fis. metall. (russ.) 7, 156-157, 1959, Nr. 1. (Orig. russ.) H. R. Bachmann.
- 655 Ludwig Reimer. Messung der Temperaturabhängigkeit des ferromagnetischen all-Effektes von Nickelaufdampfschichten zur Ermittlung der Curie-Temperatur. Z. 178. 155, 524—530, 1959, Nr. 5. (5. Aug.) (Münster, Univ., Phys. Inst.) Die Messungen auten darauf hin, daß bei Zimmertemperatur aufgedampfte Schichten einen niedriren Curie-Punkt besitzen als heiß aufgedampfte.

- 4-656 P. A. Bender and W. F. Love. Hall coefficient in tin-bismuth alloys. Phys. I (2) 119, 506-507, 1960, Nr. 2. (15. Juli.) (Boulder, Col., Univ., Phys. Dep.) Vff. ha in einer früheren Arbeit (Love, Ber. 34, 1345, 1955) aus Supraleitungsmessungen Verlauf der Zustandsdichte an der Fermi-Oberfläche in Abhängigkeit von der Konzentration in Sn-Bi-Legierungen zwischen 0 und 12 At.-% Bi angegeben. Mit Fvon Hall-Effektmessungen wird die Bandstruktur dieser Überlappungsleiter weuntersucht, wobei im wesentlichen nur qualitative Schlüsse gezogen werden können die Trägerbeweglichkeiten nicht bekannt sind. Entgegen den Aussagen über die standsdichte sind auch bei mehr als 6% Bi noch Defektelektronen am Leitungsmecha mus beteiligt, deren Beweglichkeit sehr viel größer als die der Elektronen sein muß.
- 4-657 R.W. Wright and J. A. Bastin. The characteristic temperature and effected electron mass for conduction processes in cadmium oxide. Proc. phys. Soc. Lond. 109-116, 1958, Nr. 1 (Nr. 457). (1. Jan.) (Ibadan, Nigeria, Univ., Coll.) Messunger Hall-Koeffizient, Widerstand, magnetischen Widerstandseffekt, Thermokraft an i 50 Sinterproben mit aus Hall-Koeffizienten ermittelten Elektronenkonzentratic von 2·10¹⁸ bis 4·10¹⁹ cm⁻³ entsprechend verschiedener Wärmebehandlung. Vergl mit Theorie von Sondheimer für Leitungsmechanismus in polaren Kristallen lie effektive Elektronenmasse der Größenordnung 0,1 m₀ und charakteristische Temper für longitudinale optische Schwingungen von etwa 500° K.
- 4-658 W.N. Nowogrudski, A. A. Samochwalow und I. G. Fakidow. Über den Effekt in Ferromagnetika. Phys. Abh. Sowjetunion N. F. 2, 478-481, 1960, N (Übers. aus: Fis. metall. 8, 834-836, 1959.) Eigene und fremde Versuchsergebr sprechen dafür, daß der HALL-Effekt in Ferromagnetiken durch eine dreigliedrige Forausgedrückt werden muß, die eine Kombination der beiden verschiedenen, bi üblichen zweigliedrigen Formeln darstellt.

 H. R. Bachman
- 4-659 K. P. Bjelow und Je. P. Swirina. Der Hall-Effekt in Ferriten in der Nähe Curie-Temperatur. Phys. Abh. Sowjetunion N. F. 2, 388-394, 1960, Nr. 5. (Übers. Sh. exp. teor. Fis. 37, 1212-1216, 1959.) (Moskau, Staatl. Univ.)

 V. Weideman
- 4-660 Francis H. Webb jr., Harry H. Bingham and Alvin V. Tollestrup. High endensities before dwell in electrically exploded wires. Phys. Fluids 3, 318—319, 1960, N (März/Apr.) (Pasadena, Calif., Electro-Opt. Systems, Inc.) In der kurzen Notiz wird is Strom- und Spannungsmessungen und Kurzzeitaufnahmen bei explodierenden Dräl von 25 μm Durchmesser aus Al, Cu und Ag berichtet. Die Energie wird einem Konsator von 17000 pF und 18 kV entnommen. Der Entladekreis hat eine Gesamtinduk tät von 0,036 μH und anfangs einen Ohmschen Widerstand von 1Ω, der Anteil 7 mm langen Drahtes ist 0,01 μH und 0,4 Ω. Die höchsten erreichten Energiedic betragen 16 eV pro Atom, der Anfangsstromanstieg 3 · 10¹¹ A/s, das Strommaxin von 2100 Λ (Stromdichte 4 · 10⁸ A/cm²) wird nach 17 · 10⁻⁹ s erreicht, danach fällt Strom schnell ab und steigt erst nach einer Pause von etwa 20 · 10⁻⁹ s auf höhere W. Aus Kurzzeitphotographien entnimmt man, daß der Radius der leuchtenden Zone der Drahtexplosion während der Strompause mit konstanter Geschwindigkeit 9 km/s wächst. Unter Annahme eines idealen Gaszustandes beträgt der Druck in stromlosen Pause einige hunderttausend Atm.
- 4-661 G. Wentzel. Phase transition of a superconductor. Science 131, 1320, INr. 3409. (29. Apr.) (Chicago, Univ.)
- 4-662 S. W. Wonsowski und M. S. Swirski. Über den Einfluß der Austausch-Wee wirkung auf die Sprungtemperatur von Supraleitern. Phys. Abh. Sowjetunion N. 327-329, 1960, Nr. 4. (Übers. aus: Sh. exp. teor. Fis. 37, 1494-1496, 1959.)
- V. Weideman 4-663 E.C. Crittenden jr., J. N. Cooper and F. W. Schmidlin. The "Persistor" superconducting memory element. Proc. Inst. Radio Engrs, N. Y. 48, 1233-1246, Nr. 7. (Juli.) (Monterey, Calif., U. S. Nav. Postgraduate School, Dep. Phys.; Los Ales, Space Technol. Labs, Inc.) Der Persistor besteht aus einer supraleitenden Induly

- t L und einem parallel dazu liegenden, im normalen Betriebszustand ebenfalls supratenden Widerstand R, der lediglich für den Schreib- und Lesevorgang kurzzeitig brmalleitend gemacht wird. In dem aus L und R gebildeten Stromkreis kreist ein apraleitungsstrom, dessen Richtung die Information speichert. Die Zeitkonstante / R kann wesentlich kleiner sein als die des Kryotrons. Versuchsmodelle erreichten aktfrequenzen bis 15 MHz und benötigten Schreibimpulse von 15 nsec Länge. Speicheratrizen mit Koinzidenzaufruf können aufgebaut werden. Als gedruckte Schaltelemente binnen bis zu 40 Elemente in einem cm³ untergebracht werden.
- 664 B. G. Lasarew, A. I. Sudowzew und Je. Je. Semenko. Über die Supraleitung des errylliums und seine Tieftemperatur-Polymorphie. Phys. Abh. Sowjetunion N. F. 2, 30-332, 1960, Nr. 4. (Übers. aus: Sh. exp. teor. Fis. 37, 330-332, 1960, Nr. 4.)
- 665 I.B. Borowski und I.A. Owsjannikowa. Untersuchung der Röntgenspektren der praleitenden Verbindung CuS. Phys. Abh. Sowjetunion N. F. 2, 333-335, 1960, r. 4. (Übers. aus: Sh. exp. teor. Fis. 37, 1458-1460, 1959.) V. Weidemann.
- 666 R. E. Jones jr. A thermodynamic treatment of dilute superconducting alloys. BM-J. Res. Dev. 4, 23-27, 1960, Nr. 1. (Jan.) Die Thermodynamik eines Supraleiters it Zusätzen geringer Konzentration wird für zwei verschiedene Ansätze über die freie nergie entwickelt: 1. Lineare Änderung der freien Energie mit der Zusatzkonzentration. iese Annahme führt zu einem Übergang 1. Ordnung bei Abwesenheit eines Magnetfeldes nd unendlicher Steigung des kritischen Feldes bei der Übergangstemperatur. Der Übergang sei 2. Ordnung bei Abwesenheit eines Magnetfeldes, und die Anfangseigung des kritischen Feldes bei der Übergangstemperatur sei endlich. Diese Annahme ihrt zu einer Fern-Wechselwirkung zwischen den Zusatzatomen schon bei starker Verinnung.
- -667 N.W. Sawarizki. Untersuchung der thermischen Eigenschaften von Supraleitern. II. Anisotropie der Wärmeleitfähigkeit von Gallium. Phys. Abh. Sowjetunion N. F. 2, 13-426, 1960, Nr. 5. (Übers. aus: Sh. exp. teor. Fis. 37, 1506-1516, 1959.)
 V. Weidemann.
- 668 G. Briegleb und J. Czekalla. Die Intensität von Elektronenüberführungsbanden in lektronen-Donator-Akzeptor-Komplexen. Z. phys. Chem. N. F. 24, 37-54, 1960, r. 1/2. (Apr.) (Würzburg, Univ., Inst. Phys. Chem.) Auf der Grundlage der von ULLIKEN entwickelten Theorie der Elektronendonator-Akzeptor-Wechselwirkung ird eine theoretisch-empirische Beziehung abgeleitet, die den Extinktionskoeffizienten es Maximums der Elektronenüberführungsbande, ε_{\max} , mit der Anregungsenergie h_{\max} eser Bande und der Resonanzenergie des Komplexes verknüpft. Soweit die Resonanzergien bekannt sind, ist diese Gleichung befriedigend erfüllt. Für alle anderen Fälle tt sich durch Abschätzung des Anteils der Resonanzenergie an der gesamten Bindungshergie ein Bereich angeben, in dem die tt wesentlich zu erwarten sind. Die bei einigen omplexen mit großer Bindungsenergie wesentlich zu kleinen tt werte werden durch erische Einflüsse, zu hohe tt werte bei kleinen Bindungsenergien durch den Beitrag on Stoßkomplexen zur Gesamtabsorption erklärt.
- -669 J. E. Parrott. The theory of the Nernst effect in semiconductors. Proc. phys. Soc. ond. 71, 82-87, 1958, Nr. 1 (Nr. 457). (1. Jan.) (Aldermaston, Berks., Aldermaston ourt, Assoc. Elect. Ind. Ltd., Res. Lab.) Berechnung des Nernst-Koeffizienten für nfache Fälle. Umkehrung des Vorzeichens bei Abweichung vom Phononengleichewicht, weil Kopplung der Phononen mit langsamen Elektronen stärker als mit schneln. Befriedigende Übereinstimmung mit Experiment.
- -670 W. G. Skobow. Zur Theorie der Leitfähigkeit eines Elektronengases im starken lagnetfeld. Sh. exp. teor. Fis. 38, 1304—1310, 1960, Nr. 4. (Orig. russ.) (Leningrad, "hys.-Tech. Inst.) Adams und Holstein (Ber. 39, Nr. 7—532, 1960) haben die galvanoungnetischen Eigenschaften im starken Magnetfeld untersucht und dabei die Wechselirkung der Elektronen mit den verschiedenen Streuzentren als Störung betrachtet; as setzte eine endliche Breite der Elektronenkerne voraus, damit in der Bornschen häherung keine Divergenzen auftraten. Vf. berechnet die Leitfähigkeit eines Elektronengases in einem elektrischen Feld und einem dazu senkrechten starken Magnetfeld,

wobei $\omega \tau \gg 1$ ist (τ Relaxationszeit der Elektronen, $\omega = e\,H/m$, $\hbar = c = 1$). Es w nur die elastische Streuung der Elektronen an zufällig verteilten ruhenden Zentren trachtet, deren Wirkungsradius klein gegen die Wellenlänge der Elektronen und ge den mittleren Abstand der Streuzentren sein soll. Die Wechselwirkung zwischen El tron und Streuzentrum wird ohne Störungstheorie behandelt, da bei kleinen Energ die Bornsche Näherung streng genommen ungültig ist. Die Rechnung geht aus von dallgemeinen Ausdruck von Kubo (J. phys. Soc. Japan 12, 570, 1957) für den Leitfäl keitstensor. Die Fälle der Boltzmann- und der Fermi-Statistik (nichtentartetes bentartetes Gas) werden gesondert behandelt. In beiden Fällen ergeben sich Ausdrüfür die Leitfähigkeit als Funktion des Magnetfeldes und der exakten Streuamplitude ein Elektron der Energie Null an einem Zentrum ohne Magnetfeld.

- 4-671 G. Je. Pikus und G. L. Bir. Der Einfluß von Deformationen auf das Energies trum der Löcher in Germanium und Silizium. Phys. Abh. Sowjetunion N. F. 2, 336 1960, Nr. 4. (Übers. aus:s. Fis. Twerd Tela 1, 1642 1658, 1959.) (Leningrad, Akad. W. Inst. Halbleiter.)

 V. Weidemann
- 4-672 H. Rupprecht, R. Weber und H. Weiss. Über die galvanomagnetischen Ei schaften von InSb-Einkristallen mit Te-Dotierung. Z. Naturf. 15a, 783-794, I Nr. 9. (Sept.) (Erlangen, Siemens-Schuckertw., Forschungslab.) An InSb-Einkrista mit einem Te-Gehalt größer als 2 · 1016/cm³ wurde die Änderung des elektrischen Wi standes im Magnetfeld in Abhängigkeit von Dotierung, magnetischer Induktion Winkel zwischen Strom und magnetischer Induktion bei Zimmertemperatur, 78 und 4,2°K gemessen. Es ergab sich eine scheinbare Anisotropie derart, daß die W der transversalen Widerstandsänderung mit Probenstrom parallel zur Wachstu richtung [111] immer größer waren, als wenn der Strom senkrecht zur Wachstumsr tung floß. Die Unterschiede betrugen bis zu 2 Größenordnungen. Aus den Messun des planaren HALL-Effektes folgt, daß in n-leitendem InSb bei Zimmertemperatur Widerstandsänderung fast ausschließlich durch die gemischte Leitung verursacht w Dieser überlagert sich eine durch die Präparation bedingte Anisotropie. - Im Ge satz zur Widerstandsänderung ist die Elektronenbeweglichkeit isotrop. Der H. Koeffizient ist im Bereich zwischen 100 Gauss und 10 k Gauss innerhalb der Fel grenze von einigen Promillen konstant. (Zfg.) Madelun
- 4-673 Eberhardt Braunersreuter, Friedrich Kuhrt und Hans-Joachim Lippmann. He Konstante und Elektronenbeweglichkeit von InSb, InAs und In $(As_{0:8}P_{0:2})$ bei he Magnetfeldern. Z. Naturf. 15a, 795 799, 1960, Nr. 9. (Sept.) (Genf, CERN; Nürnb Siemens-Schuckertw., Lab. Zentralwerksverw.) HALL-Konstante und Elektronenbewelichkeit wurden an drei verschiedenen III-V-Halbleitern, die für die technische Anw dung der galvanomagnetischen Effekte von besonderem Interesse sind, bis zu Mag feldern von 180 kG gemessen. Die Hall-Konstante von InAs und In $(As_{0:8}P_{0:2})$ ist Rahmen der Meßgenauigkeit feldunabhängig, während die Hall-Konstante von I bis 170 kG um 15% abfällt. Hall-Generatoren aus InAs und InAsP sind daher für Messung höchster Magnetfelder geeignet. Da die Elektronenbeweglichkeit bei a drei Materialien mit wachsendem Magnetfeld stark abnimmt, durchläuft der H. Winkel in Abhängigkeit vom Magnetfeld ein Maximum. (Zfg.)
- 4-674 C. Hilsum and R. Barrie. Properties of p-type indium antimonide. I. Electroproperties. Proc. phys. Soc. Lond. 71, 676-685, 1958, Nr. 4 (Nr. 460). (1. Apr.) (Bald Herts., Serv. Electron. Res. Lab.) Proben mit Verunreinigungs-Konzentrationen bis 2·10¹⁷ cm⁻³. Messung der Änderungen des HALL-Koeffizienten und des spezifisc Widerstandes in Abhängigkeit von transversalem Magnetfeld. Ableitung der Berlichkeit für Elektronen und Defektelektronen. Entartung des Elektronengases und weichung des Leitfähigkeitsbandes von der parabolischen Form vernachlässig Deutung unter der Annahme, daß die Relaxationszeit der Ladungsträger unabhä von der Energie ist. Folgerung, daß polare Streuung und Elektron-Defektelekt Streuung die vorherrschenden Mechanismen im reinen InSb sind.

- 675 F. D. Rosi, D. Meyerhofer and R. V. Jensen. Properties of p-type GaAs prepared copper diffusion. J. appl. Phys. 31, 1105—1108, 1960, Nr. 6. (Juni.) (Princeton, J., RCA Labs.) Durch sorgfältige Reinigung wurden n-leitende GaAs-Kristalle mit in hohen spez. Widerstand von etwa 10⁵ Ωcm hergestellt. Die Eindiffusion von Kupfer ichte dieses Material p-leitend. Messungen der HALL-Beweglichkeit als Funktion der Deherkonzentration im Bereich von 2 · 10¹⁶ bis 3 · 10¹⁷ cm⁻³ bei Zimmertemperatur igten eine Abhängigkeit, die mit der Theorie übereinstimmt. Aus den Meßergebnissen Igt eine Gitterbeweglichkeit der Löcher von 450 cm² V⁻¹s⁻¹ bei 300° K. Die Beweglichit folgt im Bereich von 76 bis 300° K angenähert einem T ^{2,3}-Gesetz. Bei niedrigen mperaturen beginnt die Zahl der ionisierten Verunreinigungen bei 2 · 10¹⁵ cm ³. Die urch das Cu in GaAs eingeführten Energieniveaus liegen 0,023 und 0,15 eV über dem dienzband.
- 676 Yu. K. Barsukov. An investigation of p-n junctions at high current densities, wiet Phys.-Solid State 1, 1518—1524, 1960, Nr. 11. (Mai.) (Engl. Übers. aus: Fis. verd. Tela 1, 1659—1667, 1959, Nr. 11.) (Leningrad, Acad. Sci., Semiconduct. Inst.) np-n-Übergängen des Systems In-Ge werden bei Stromdichten von 10 bis 1000 Λ/cm² e Sperreigenschaften, die Diffusionsspannung und die Leitfähigkeit der Basisschicht s eine Funktion des Stromes untersucht. Die Trägheit des Überganges nimmt mit uchsendem Strom ab, weil die Zunahme der Minoritätsträgerkonzentration nachläßt. veser Vorgang wird durch die Größen der Ströme in Durchlaβ- und Sperrichtung beimmt, und nicht nur durch ihr Verhältnis, wie im Falle niedrigerer Stromdichten is zu 10 A/cm²). Eine näherungsweise Berechnung steht in guter qualitativer Übereinimmung mit den experimentellen Daten.
- 677 Frithjof Karstensen. Über die Diffusion in Germaniumkristallen, die eine Kleininkel-Korngrenze enthalten. Diss. Univ. Kiel, 1959. H. Ebert.
- 678 K. D. Glinchuk, E. G. Miselyuk and N. N. Fortunatova. A study of the state of liver and gold local levels in germanium. Soviet Phys.-Solid State 1, 1234-1238, 1960, r. 9. (März.) (Engl. Übers. aus: Fis. Tverd. Tela 1, 1345, 1959, Nr. 9.) (Kiev, Acad. 1979, Phys. Inst.) Es wird der Einfluß einer Temperung bei 400 bis 600° C auf die Niveaus in Silber- und Gold-Verunreinigungen in Germanium untersucht und hierfür die rägerlebensdauer und die Temperaturabhängigkeit der Trägerkonzentration gemessen. ie Silberniveaus werden durch die Temperung entaktiviert. Es wird der Schluß gegen, daß die Silber-Akzeptor-Niveaus in hohem Maße essektive Rekombinationszentren urstellen, da ihr Rückgang die Trägerlebensdauer erhöht. Entsprechende Messungen urden an Gold-Verunreinigungs-Niveaus durchgesührt; hier verursachte das Tempern urstellen die Energien und die Einfangquerschnitte der Rekombinationsniveaus beimmt.
- 1. V. Mochan, Yu. N. Obraztsov and T. V. Smirnova. Investigation concerning the teraction of holes in p-germanium with acoustic branch vibrations. Soviet Phys.-Solid ate 1, 1239—1245, 1960, Nr. 9. (März.) (Engl. Übers. aus: Fis. Tverd. Tela 1, 1351, 159, Nr. 9.) (Leningrad, Acad. Sci., Semiconduct. Inst.) Es werden Messungen der Temraturabhängigkeit der Phononenkomponente $\alpha_{\rm ph}$ der thermoelektrischen Kraft von Prmanium und ihre Änderung $\Delta a_{\rm ph}$ in einem Magnetfeld mitgeteilt. Aus diesen Ergebssen und denen anderer Autoren findet man, daß für n- und p-Germanium $\alpha_{\rm ph} \sim \overline{\tau}_{\rm ph}$. T \sim T $^{-2.2}$ ist, wo T= abs. Temperatur, $\overline{\tau}_{\rm ph}=$ Relaxationszeit der Phononen, zurückführen auf Wechselwirkung mit den Elektronen, $\overline{\tau}'_{\rm e}=$ Relaxationszeit der Löcher, rückzuführen auf Ein-Phononen-Streuprozesse an longitudinalen Wellen in promanium. Die Temperaturabhängigkeit von $\overline{\tau}'_{\rm ph}$ dem Gesetz $\overline{\tau}_{\rm ph} \sim$ T $^{-2.7}$ bei Temraturen zwischen 50 und 200° K. Die Temperaturabhängigkeit der Löcherbeweglichter erfordert zur Erklärung noch einen zusätzlichen Streumechanismus neben dem an ustischen Wellen, zum Beispiel die Streuung durch optische Phononen.

Schroen.

680 **H. Fritzsche** and **M. Cuevas.** Impurity conduction in transmutation-doped p-type manium. Phys. Rev. (2) **119**, 1238-1245, 1960, Nr. 4. (15. Aug.) (Chicago, Ill.,

Univ., Dep. Phys., Inst. Study Met.) Der Hall-Koeffizient und der Widerstand Germaniumeinkristallen, die mit langsamen Neutronen bestrahlt worden waren, wur im Bereich von 1,2°K bis 300°K gemessen und hieraus die Eigenschaften der du Kernumwandlung erzeugten Ga-, As- und Se-Störstellen bestimmt. Gleichzeitig statteten diese Messungen, bei tiesen Temperaturen den Übergang zur Störbandleits bei kontinuierlicher Erhöhung der Störstellendichte zu verfolgen. Madelung

- 4-681 F. Fehér, G. Kuhlbörsch und H. Luhleich. Über eine neue, einfache Arbeitsteck zur Handhabung der Silane und anderer luft- oder feuchtigkeitsempfindlicher Flüssigkeit Z. anorg. Chem. 303, 294-302, 1960, Nr. 5/6. (März.) (Köln, Univ., Chem. Inst., Anorgan. u. Analyt. Chem.)
- 4–682 L. C. F. Blackman, J. F. Mathews and A. R. Ubbelohde. Electrical propertie crystal compounds of graphite. II. Acid salts of graphite. Proc. roy. Soc. (A) 258, 329 338, 1960, Nr. 1294. (25. Okt.) (London, Imp. Coll. Sci. Technol., Dep. Chem. En Chem. Technol.) Für die durchgeführten Messungen des spezifischen elektrischen Wistandes wurde als Ausgangsmaterial sowohl pyrolytisch aus Methan bei Temperatubis 2050° \pm 100° C hergestellter Graphit (Typ A) als auch aus Typ A durch Rekrists sation bei etwa 2700° C erhaltener Graphit (Typ B) verwendet. Der spezifische Wistand lag für Typ A zwischen 9 und 40 · 10⁻⁵ Ω · cm und für Typ B zwischen 4,7 8,3 · 10⁻⁵ Ω · cm in Richtung der a-Achse und betrug für beide Typen 0,38 Ω · cn Richtung der c-Achse des Graphits. Durch anodische Oxydation dieser Graphite Schwefelsäure oder Perchlorsäure wurde Graphitbisulfat C+ (HSO₄)_n · xH₂SO₄ un schiedlicher Zusammensetzung und Graphitperchlorat gewonnen. Der spezifische Wistand ist bei allen diesen Proben kleiner als der des Ausgangsmaterials, beim Graphisulfat wird mit steigendem n der Widerstand kleiner. Die Änderungen im elektrisc Widerstand werden an Hand von zwei- und dreidimensionalen Elektronenenergiebe strukturen diskutiert.

 A. Hoffman
- 4-683 L. C. F. Blackman, J. F. Mathews and A. R. Ubdelohde. Electrical properties crystal compounds of graphite. III. The role of electron donors. Proc. roy. Soc. (A) 339-349, 1960, Nr. 1294. (25. Okt.) (London, Imp. Coll. Sci. Technol., Dep. Cl Engng Chem. Technol.) Aus zwei Graphittypen A und B (vgl. Teil II, vorst. Ref.) wu durch Vakuumdestillation bei etwa 300°C Alkaliverbindungen bis zur Sättigung (mit M = K, Rb, Cs) hergestellt. Die Änderungen des elektrischen Widerstandes und Thermokraft wurden als Funktion der Zusammensetzung an Kalium-Graphitver dungen CKn in Richtung der a- und c-Achse des Graphits gemessen. Mit größer wer dem n wird der Widerstand in Richtung der c-Achse stetig kleiner, in Richtung a-Achse wird er zunächst kleiner und bleibt ab etwa n = 0,02 konstant. Die Anisoti des elektrischen Widerstandes wird also kleiner und für die Thermokraft wird sie p tisch Null. Die Verbindungen zwischen Graphit und Rubidium bzw. Caesium wu nur in der Nähe der Sättigung untersucht, hier ist ebenfalls der Widerstand kleine beim reinen Graphit. Auf Grund der experimentellen Ergebnisse werden mög Bändermodelle für Graphitverbindungen sowohl mit Elektronendonatoren als -akzeptorenatomen erörtert. A. Hoffman
- 4–684 J. Black, S. M. Ku and H. T. Minden. Some semiconducting properties of HgT electrochem. Soc. 105, 723–728, 1958, Nr. 12. (Dez.) (Bayside, N. Y., Sylvania E Prod. Inc., Res. Labs.) Von etwa Raumtemperatur an bis 500° K überwiegt Eigenleit Oberhalb 500° K Neigung zur Zersetzung. $1/H \cdot \sqrt{\Delta \rho/\rho}$ ($\Delta \rho/\rho$ rel. Widerstandsände im Magnetfeld) als Maß der Trägerbeweglichkeit und die Hall-Konstante R sind unabhängig von der magnetischen Feldstärke H und geben zusammen eine Elektrobeweglichkeit $\mu_n=16\,000~\text{cm}^2/(V.~\text{s.})$ und ein Beweglichkeitsverhältnis $b=\mu_n/\mu_p$ etwa 10 (Mittelung aus 5,27 bei Boltzmann-Statistik und 14,5 bei FermI-Di Statistik) für Raumtemperatur. Infolge der kleinen Bandlücke, die sich aus der peraturabhängigkeit des el. Widerstandes ergibt, geht in die ΔE -Berechnung neben Wechsel der Statistik der $T^{3/2}$ -Faktor der Zustandsdichte stark mit ein, wodurch Auswertung labil wird. Angenommener Wert $\Delta E=0,025$ eV. Aus dem R der E

tung ergibt sich das geometrische Mittel der beiden effektiven Trägermassen zu 81 m_o (nach der angegebenen Formel statt 0,035 m_o wie ausgerechnet). Bei tieferen mperaturen Verhalten am besten durch p-Leitung zu deuten, zu der aber wegen der hinen $\Delta \mathrm{E}$ der Übergang verfließend erfolgt. R und $1/\mathrm{H}\cdot\sqrt{\Delta
ho/
ho}$ nehmen dabei jetzt mit kender Temperatur (bis 80°K) ab (nicht aber bis zur Vorzeichenumkehr des negaren R), und zwar um so mehr, je stärker die Verunreinigung und je höher das Magnetd ist. (Benutzt wurden zwei Arten von Proben: Einkristalle nach BRIDGMAN aus 1999%-Material und 35fach zonengereinigtes HgTe mit 99,8% igem Te.) p-Leitung tweder durch eine vorherrschende Beimengung gegeben, oder durch zwangsläufiges bweichen von der Stöchiometrie, wahrscheinlich mit Te auf Zwischengitterplatz.

- L. Hrivnák. Temperature dependence of energy levels of exciton in Cu₂O. Czech. J. nvs. (B) 10, 160-161, 1960, Nr. 2. (Bratislava, Univ., Natur. Sci. Fac., Dep. Phys.) xperimentell wird praktisch nur eine Temperaturabhängigkeit des Energiewertes E₁ obachtet. Die nähere Untersuchung der potentiellen Energie der Elektron-Lochechselwirkung führt zu dem Schluß, daß die Temperaturabhängigkeit der Frequenz r optischen Gitterschwingungen für den Effekt verantwortlich ist. Empirisch wird eine leare Temperaturabhängigkeit angenommen, die die beobachtete Änderung von E, zu klären vermag. Zehler.
- 686 D. H. Lee and D. H. Roberts. New infra-red detectors for the 1 to 7 micron region. pt. Acta 7, 271 – 280, 1960, Nr. 3. (Juli.) (Caswell, Towcester, Engl., Plessey Co. Ltd.) ie Arbeit beschäftigt sich mit der Photoleitung und den photoelektromagnetischen fekten von Indiumarsenid und Indiumantimonid. Unter Hinblick auf die theoretischen rgebnisse über diese Effekte und auf den Zusammenhang mit den Materialkonstanten eser Stoffe werden die Möglichkeiten einer praktischen Anwendung von Halbleiterementen aus diesen Stoffen als Strahlungsempfänger im nahen Ultrarot besprochen und e Konstruktion sowie die Leistungsfähigkeit der Empfänger angegeben.

- 687 G. A. Korsunovskii. Mechanism of electronic exchange in the photooxidation of ater on semiconductors. Sh. fis. Chim. 34, 510-517, 1960, Nr. 3. (Orig. russ. m. engl. ig.) (Leningrad.) Es werden die Änderungen der elektrischen Leitfähigkeit von Pulvern is ZnO, TiO2 und WO3 durch Lichteinwickung und durch Sauerstoff und Wasserdampf ntersucht. Außerdem wird der Einfluß der Temperatur und von adsorbierten Farboffen auf die Ad- und Desorption von Sauerstoff und Wasser gemessen. Die Halbleiter nd Photokatalysatoren und sensibilisieren die Oxydation von Wasser zu Hydroxyl. emäß dem vorgeschlagenen Mechanismus der Reaktion findet die Bildung reaktiver adikale als Dunkelreaktion statt, während ihre Desorption von der Halbleiteroberiche unter der Wirkung des Lichtes erfolgt. (Zfg.)
- J. A. Kopylow. Untersuchung der Photo-Leitfähigkeit von ätherischen Lösungen. west. Akad. Nauk SSSR, Ser. fis. 24, 237-245, 1960, Nr. 2. (Orig. russ.) H. Weidemann.

- J. A. van der Hoek, J. H. Lupinski and L. J. Oosterhoff. Semiconductivity in ganic molecular complexes. Mol. Phys. 3, 299-300, 1960, Nr. 3. (Mai.) (Leiden, Univ., iv. Theor. Org. Chem. | Vorläufige Ergebnisse von Leitfähigkeitsmessungen an verhiedenen Benzidin-Komplexen. Benzidin selbst erwies sich bei Zimmertemperatur als Schnupp. olator.
- A. G. Chynoweth and R. A. Logan. Internal field emission at narrow p-n juncons in indium antimonide. Phys. Rev. (2) 118, 1470-1473, 1960, Nr. 6. (15. Juni.) Jurray Hill, N. J., Bell Teleph. Lab.) Nach einer Theorie von Keldysh (Sov. Phys. TP 7, 665, 1958) verläuft die Feldabhängigkeit des Tunnelstroms in schmalen p-npergängen nach $\exp{(-\alpha \cdot \epsilon^{3/2}/\mathrm{E})}$, wobei α bei direkten bzw. indirekten (unter gleichtiger Absorption oder Emission eines Phonons) Tunnelübergangen verschieden ist und den jeweiligen Bandabstand darstellt. Vff. haben nach Messungen an Ge- und Si-

Dioden diese Formel auch für InSb bestätigt und gemäß der bekannten Lage Leitungsbandminimums bei $\vec{k}=0$ gefunden, daß die Tunnelübergänge direkt erfolg da die Elektronen beim Übergang nicht den Wellenzahlvektor zu ändern brauchen. Harbeke

- 4-691 P. A. Lindsay and F. W. Parker. Potential distribution between two plane emittelectrodes. J. Electronics (1) 7, 289-315, 1959, Nr. 4. (Okt.) (Wembley, Engl., G. Elect. Co. Ltd., Res. Labs.) Numerische Rechnungen werden durchgeführt für den leiner ebenen Diode mit von außen angelegter Potentialdifferenz, wobei beide Elektro auf der gleichen Temperatur sind. Es zeigt sich, daß alle möglichen Potentialverteilun dargestellt werden können durch eine einzige Familie von Exponentialausdrücken. einen vorgegebenen Potentialunterschied ergibt sich damit die gleiche allgemeine Pot tialverteilung unabhängig von den Austrittsarbeiten.
- 4-692 E.S. Rittner. On the theory of the close-spaced impregnated cathode thermic concerter. J. appl. Phys. 31, 1065—1071, 1960, Nr. 6. (Juni.) (Irvington-on-Huds N. Y., Philips Labs.) Eine exakte Theorie für den thermionischen Energiewandler waufgestellt und die mit einer Rechenmaschine berechneten Werte mit der exak Theorie von Langmuß und der angenäherten Theorie von Nottingham verglich Die Ergebnisse werden angewendet auf einen Energiewandler mit sehr kleinem Absta Kathode-Anode (Größenordnung 1/100 mm) unter Verwendung von zwei imprägnier L-Kathoden. In die Formeln werden gemessene Werte des Strahlungsvermögens egesetzt und der Wirkungsgrad dieses Umwandlers neu berechnet. Der Einfluß des El trodenabstandes der Austrittsarbeit von Kathode und Kollektor und der Emissic temperatur wird untersucht. Als Wirkungsgrad für die ideale Diode ergibt sich bei Temperatur von 1465° K 9½/20. Die optimale Leistungsabgabe beträgt bei 0,0,55 W/cm².
- 4-693 David P. Kennedy. Minority carrier recombination in a cylindrical transit base region. J. appl. Phys. 31, 954-956, 1960, Nr. 6. (Juni.) (Poughkeepsie, N. Y., I. Corp.) Es wird gezeigt, daß man keinen wesentlichen Fehler macht, wenn man die kombination in zylindrischen Basisanordnungen eindimensional berechnet und radiale Ausbreitung der Minoritätsträger vernachlässigt.
- 4-694 J. W. Easley and J. A. Dooley. On the neutron bombardment reduction of transicurrent gain. J. appl. Phys. 31, 1024—1028, 1960, Nr. 6. (Juni.) (Whippany, N. J., 1 Teleph. Labs, Inc.; Wright-Patterson Air Force Base, Ohio, Wright Air Devel. Cent Bei Beschuß mit schnellen Neutronen nimmt die Stromverstärkung bei einem legier Germanium—pnp-Transistor nicht wie bei einem npn-Transistor linear mit der Zeit Beim pnp-Transistor ändern sich beim Beschuß die Rekombinationsgeschwindigkei an den vorhandenen und neu entstandenen Rekombinationszentren und ändert sich Breite der Verarmungszone am Kollektor.
- 4-695 Gerald Lucovsky. Photoeffects in nonuniformly irradiated p-n junctions. J. ap Phys. 31, 1088—1095, 1960, Nr. 6. (Juni.) (Philadelphia, Penn., Philoo Corp., Res. D Für den seit kurzer Zeit bekannten Photoeffekt an p-n-Übergängen bei gleichmäßi Bestrahlung werden unter Verwendung der Kontinuitäts- und Diffusionsgleichun Differentialgleichungen zur Beschreibung der Photospannung abgeleitet. Ein west liches Ergebnis ist die Tatsache, daß der Effekt der ungleichmäßigen Bestrahlung un größer ist, je größer das Verhältnis des Flächenwiderstandes zum Transversalwickstand ist. Experimentelle Kurven zeigen weitgehende Übereinstimmung mit den thetischen Überlegungen.
- 4-696 K. Seiler. Die Physik des p-n-Überganges. Nachrichtentech. Fachber. 18, 18, 18-4. (S. B.) (Freiburg/Brsg.)
- 4-697 H. Hinrichs. Physik des Transistors. Nachrichtentech. Fachber. 18, 18, 5-10. (S. B.) (Freiburg/Brsg.) V. Weideman

961

-698 R. Wiesner. Physikalische und technologische Grenzen des Hochfrequenz-Transisbrs. Nachrichtentech. Fachber. 18, 1960, S. 19-29, (S. B.) (München.)

4-699 **H. Gissel.** Über negative Widerstände zur Entdämpfung und Schwingungsereugung. Nachrichtentech. Fachber. **18**, 1960, S. 104—110. (S. B.) (Backnang.)

V. Weidemann. 1-700 J. W. Allen. Gallium arsenide as a semi-insulator. Nature, Lond. 187, 403—405, 1960, Nr. 4735. (30. Juli.) (Baldock, Herts., Serv. Electron. Res. Lab.) Halbleiter mit störniveaus, deren Abstand von den Bandkanten groß gegen kT ist, werden wegen ihres hohen spezifischen Widerstandes im allgemeinen als Isolatoren bezeichnet. Der Vf. lieht wegen ihrer Fähigkeit, Elektronenströme zu leiten, die Bezeichnung "Halbsolatoren" vor. Im Vergleich zu dem häufig beschriebenen Cadmiumsulfid hat das hier Intersuchte Galliumarsenid vom n- oder p-Typ den Vorteil der einfacheren Präparation. Das Modell des Vf., im dem flache Donatoren durch tiefe Akzeptoren autosumpensiert werden, läßt ausgesprochene Locheinfangessekte erwarten bei geringem Elektroneneinsag. Eine praktische Anwendung wäre z. B. die hohe Photoleitung.

F. W. Seemann.

4-701 J. L. Chait. Über die Kinetik der Ionenleitfähigkeit und der elektrischen Polariation kondensierter Körper. Iswest. Akad. Nauk SSSR, Ser fis. 24, 202-213, 1960, Nr. 2. (Orig. russ.)

H. Weidemann.

7-702 Emil Proksch. Zur Theorie der Methode der wandernden Grenzslächen. Z. physchem. N. F. 23, 282-291, 1960, Nr. 3/4. (Febr.) (Wien, T. H., Inst. f. Verfahrenstecht. Technol. Brennstoffe.) Die Wanderung von Grenzslächen zwischen stromdurchtossenen Elektrolytlösungen wird auf die Verschiebung allgemeiner Konzentrationsvosile im elektrischen Feld zurückgeführt. In einfachen Fällen können Wanderungsteschwindigkeiten und Stabilitätskriterien — auch für Grenzslächen zwischen schwachen Elektrolyten — exakt angegeben werden. (Zfg.)

4-703 W.Biermann und W. Jost. Elektrische Leitfähigkeit fester Elektrolyte mit strukwreller Fehlordnung. Z. phys. Chem. N. F. 25, 139-141, 1960, Nr. 1/2. (Juli.) (Göttingen, Univ., Inst. phys. Chem.) Die elektrische Leitfähigkeit fester Elektrolyte läßt sich im regrenzten Temperaturgebiet durch die Formel $\sigma = A \exp(-Q/RT)$ darstellen, dabei bedeuten A eine von Elektrolyt zu Elektrolyt verschiedene Konstante und Q die Aktivierungsenergie. Für besonders gut leitende Elektrolyte muß diese Formel modifiziert werden; unter der Annahme, daß Beiträge von Schwingungen unberücksichtigt bleiben können und im wesentlichen zwei Lagen wanderungsfähiger und nicht wanderungsahiger Teilchen vorhanden sind, ergibt sich der Anteil der wanderungsfähigen Teilchen $\sigma = \exp(-U/RT)/1 + \exp(-U/RT)$ und die Leitfähigkeit zu $\sigma = B \cdot \alpha$. Dabei pedeuten B wieder eine Stoffkonstante und U den Energieunterschied zwischen wanlerungsfähigen und nicht wanderungsfähigen Teilchen. Als Beispiele werden B und U ungegeben für α-AgJ 9,18 Ohm⁻¹cm⁻¹ und 1480 cal und für α-CuBr 12 bzw. 1300. Für z-AgJ werden die experimentellen Werte mit den berechneten Leitfähigkeitswerten im Temperaturgebiet zwischen 150 und 550°K verglichen, die Übereinstimmung ist besser als mit der ersten Formel.

1-704 W. T. Grubb. Ionic migration in ion-exchange membranes. J. phys. Chem. 63, 55-58, 1959, Nr. 1. (Jan.) (Schenectady, N. Y., Gen. Elect. Res. Lab.) Die Widertandsfähigkeit einiger Ionenaustauschmembranen wurde bei Frequenzen von 1000 Hertz nittels einer Shedlovskyschen Leitfähigkeitsbrücke untersucht. Die Wirkungen der röße der beweglichen Ionen, der Temperatur und der Einfluß des Wassers auf die Viderstandsfähigkeit wurden gemessen. Für die einzelnen Effekte werden Erklärungen tegeben. Einige Resultate werden in bezug auf den Ionenwanderungsmechanismus in ionenaustausch-Polymeren diskutiert.

4-705 Herbert S. Harned and Joseph A. Shropshire. The diffusion coefficient at 25° of potassium chloride at low concentrations in 0,25 molar aqueous sucrose solutions. J. amer. them. Soc. 80, 5652—5653, 1958, Nr. 21. (5. Nov.) (New Haven, Yale Univ., Dep. Chem.) Wit Hilfe von Leitfähigkeitsmessungen wurde der Diffusionskoeffizient von in verschiedenen Konzentrationen (0,004 bis 0,025 molar) in 0,25 molarer, wässeriger Rohrzucker-

lösung gelöstem Kaliumchlorid bei 25°C bestimmt. Die erhaltenen Werte wurden m den nach der Theorie von Onsager und Fuoss errechneten verglichen. Weiter wi mittels des Diffusionskoeffizienten der Wert des Aktivitätskoeffizienten für Kalium chlorid ermittelt. Kirchner.

- 4-706 Ju. P. Raiser. Eine einfache Methode zur Berechnung der mittleren Reichweite a Strahlung in ionisierten Gasen bei hohen Temperaturen. Phys. Abh. Sowjetunion N. 2, 317-322, 1960, Nr. 4. (Übers. aus: Sh. exp. teor. Fis. 37, 1079-1083, 1959.)
 V. Weidemann.
- 4-707 Jacob Enoch. Equivalence of the Landau and Fokker-Planck collision terms. Phy Fluids 3, 353-354, 1960, Nr. 3. (Mai/Juni.) (Los Alamos, N. M., Sic. Lab.) Vf. zeig daß die Landauschen Stoßterme den Fokker-Planck-Stoßtermen äquivalent sind, fa binäre Stöße vorherrschen. Dieses Ergebnis ist von Wichtigkeit bei der Anwendurkinetischer Methoden auf die Physik hochionisierter Gase. Kelbg.
- R. J. Lomax. Exact electrodes for the formation of a curved space-charge beam. I J. Electronics (1) 7, 482-490, 1959, Nr. 6. (Dez.) (Cambridge, Univ.) Gegenüber ein früheren Arbeit, in der für den Entwurf von PIERCE-Elektroden explizite analytisc Ausdrücke für die Potential- und Feldverteilung als notwendig erachtet wurden, wi hier am Beispiel der WALKERschen Lösung der Raumladungsgleichungen gezeigt, d diese Größen auch durch Differentialgleichungen definiert sein können. Die WALKERSC Lösung gilt für den Elektronenfluß zwischen geneigten ebenen Elektroden. Nach ein kurzen Ableitung dieser Lösung, die keine geschlossenen Ausdrücke ergibt, wird wie der früheren Arbeit vorgegangen, und nach einer konformen Transformation werden ersultierenden Gleichungen für die Äquipotentialflächen in eine für die numerischen Berechnung geeignete Form gebracht, d. h. in eine Gruppe von gewöhnlichen real Differentialgleichungen erster Ordnung umgeformt. Das geschieht durch eine Annah über die Radialgeschwindigkeit vr, nämlich vr = wa, wobei w eine der konform tra formierten Variablen ist. Nach Aufstellung der Grenzbedingungen wurden die Gleicht gen diesen unterworfen und mit einer elektronischen Rechenmaschine gelöst. Die Res tate sind graphisch dargestellt. Steinacker.
- 4-709 A. N. Prasad and J. D. Craggs. Measurement of ionization and attachma coefficients in humid air in uniform fields and the mechanism of breakdown. Proc. phys. S. Lond. 76, 223-232, 1960, Nr. 2 (Nr. 488). (1. Aug.) Liverpool, Univ., Dep. Ele Engng.) Messung der Durchschlagsspannung und des Stromes vor Eintreten des Übschlags für E/p von 30 bis 500 V/cm Torr bei Gesamtdrucken von 150 bis 300 Torr n Wasserdampf-Partialdrücken zwischen 2,5 und 15 Torr und in reinem Wasserdam bei Drucken von 10 bis 20 Torr. Deutung durph Townsend-Mechanismus. Berechnu der primären und sekundären Townsend-Koeffizienten und eines Anlagerungskofizienten, definiert als mittlere Zahl der Anlagerungen pro Elektron und cm Drift Feldrichtung. Bestätigung für die früher vermutete Form der Anlagerung e + A → A B⁻ oder A + B⁻.
- 4-710 W. S. Komelkow und Ju. W. Skworzow. Die Verbreiterung des Kanals ei starken Funkentladung in einer Flüssigkeit. Phys. Abh. Sowjetunion N. F. 2, 404-41960, Nr. 5. (Übers. aus: Dokl. Akad. Nauk 129, 1273-1276, 1959.)
- 4-711 A. A. Mak. Die Ladungsträgerkonzentration im Plasma eines Funkenentladun kanals. Phys. Abh. Sowjetunion N. F. 2, 410-412, 1960, Nr. 5. (Übers. aus. Sh. eteor. Fis. 37, 1488-1490, 1959.)

 V. Weidemann
- 4-712 Eugen Badareu and Iovitzu Popescu. Some problems regarding the phenome occurring at the cathode of the glow discharge. Rev. Phys., Bucarest 5, 41-82, 19 Nr. 1. (Bucarest, Univ., Lab. Elect.) Vff. diskutierten den Mechanismus der kathodisci Entladungsteile der Glimmentladung, wobei im einzelnen die Kinetik der positi Ionen (Driftgeschwindigkeit), die Verteilung des elektrischen Feldes und der Ionisat im Zusammenhang mit den Stationaritätsbedingungen besprochen werden. Auf Hochkathodenwirkung wird ebenfalls eingegangen. Als wesentlicher Prozeß der Ion

inetik erweist sich der bereits von Sena diskutierte Prozeß des Ladungsaustausches wischen Ionen und dem neutralen Atom beim Stoß. Bartholomeyczyk.

-713 F. L. Curzon, A. Folkierski, R. Latham and J. A. Nation. Experiments on the rowth rate of surface instabilities in a linear pinched discharge. Proc. roy. Soc. (A) 257, 36—401, 1960, Nr. 1290. (20. Sept.) (London, Imp. Coll., Dep. Phys.) Mit Hilfe von Kerr-Zellen- und Bildwandleraufnahmen einer linearen "Pinch"-Entladung in Argon ird die zeitliche Entwicklung von Oberflächeninstabilitäten gemessen. Das Entladungsohr besteht aus einem Pyrex-Glas-Zylinder von 50 cm Länge und 15 cm lichter Weite nit ebenen Kupferelektroden; als Rückleiter dient ein Kupferdrahtnetz in etwa 1 cm Abstand vom Glaszylinder. Die Kondensatorbatterie hat 3900 μF und eine maximale adespannung von 5 kV. Der Argonanfangsdruck wird variiert von 10⁻³ bis 10⁻² Torr, las Strommaximum liegt bei 150 kA. — Starke Instabilitäten treten hauptsächlich wischen der ersten und zweiten Kontraktion auf. Die Anwachsgeschwindigkeiten timmen bis auf den Faktor zwei mit den theoretischen Werten der RAYLEIGH-TAYLORnstabilitäten überein. Die Wellenlänge der Störungen wächst mit der Zeit. In der Nähe der zweiten Kontraktion werden die Instabilitäten wieder schwächer.

Witkowski.

1-714 V. S. Komel'kov. Selfconstricting discharges in deuterium at high rates of current growth. Soviet Phys.-JETP 8, 10-20, 1959, Nr. 1. (Jan.) (Engl. Übers. aus: J. exp. heor. Phys., Moskau 35, 16-26, 1958, Juni.) Es wird berichtet über lineare Pinchntladungen mit Anfangsstromanstiegen bis 1,4 · 10¹² A/s und Maximalstromstärken ois 2 · 10⁶ A. Der Anfangsdruck des Deuteriumgases wurde variiert zwischen 0,1 und 10 Torr. Die hohen Stromanstiege werden durch induktionsarme, kurze Entladungsgefäße mit einer Kondensatorspannung von 40 kV erreicht. Die Halbwellendauer st etwa 10 μs. Photographische Aufnahmen werden mit Hilfe von vier Kerr-Zellenverschlüssen in zeitlichem Abstand gleichzeitig mit Schmierkamerabildern gemacht, aus denen man Kontraktionsgeschwindigkeiten von 10⁶ bis 10⁷ cm/s ermittelt. Unter der Annahme, daß die gesamte kinetische Energie des Kontraktionsvorganges in Wärme umgesetzt wird, schätzt man die erreichte Temperatur auf 200 eV. Es wird keine Neutronenemission festgestellt.

4-715 V. P. Granovskii, K. P. Riumina, V. I. Savoskin and G. G. Timofeeva. Observations of the pinch effect at decreasing currents. Soviet Phys.-JETP 8, 33-36, 1959, Nr. 1. (Jan.) (Engl. Übers. aus: J. exp. theor. Phys., Moskau 35, 45-49, 1958, Juli.) Mit Bildwandlern werden zeitlich aufeinanderfolgende Bilder von Entladungen in Wasserstoff und Quecksilberdampf von 10⁻² bis 10⁻³ Torr gemacht. Die Entladungsrohre haben einen Durchmesser von 10 bis 32 mm. Die Halbwellendauer der Entladung beträgt 300 µs, die maximale Stromstärke 1,3 bis 5,5 kA. Es werden elektromagnetische Deformationen ("Pinch"- und "Kink"-Effekt) auch im Gebiete abnehmenden Stromes beobachtet. Man findet, daß diese Deformationen zuerst an den Stellen der Entladung verschwinden, an denen die Gasdichte am größten ist. Das kann je nach den experimentellen Bedingungen in der Nähe der Anode oder der Kathode der Fall sein.

4-716 A. Coumes. Oscillations collectives d'un système de trous en présence de phonons. J. Phys. Radium 21, 229–232, 1960, Nr. 4. (Apr.) (Grenoble, École Ing. Électron.) In einem System, bestehend aus Elektronen (a), Löchern (B) und Ionen (C), in dem die beiden schweren Partikeln von den Elektronen abgeschirmt werden, stellen sich kollektive Schwingungen ein, sogenannte Dämonen, deren Dämpfung in erster Linie ihrer Wechselwirkung mit den Schwingungen des Kristallgitters zuzuschreiben sind. In die Hamilton-Funktion des Systems wird der Abschirmungseffekt der negativen Ladungen lurch Reduktion der spezifischen Ladungen um Δ e und Δ e' eingeführt, wobei sich zeigt, daß nur Fernwirkungen merklich zur Rechnung beitragen. Nach der Methode von Bohm und Pines werden in der Hamilton-Funktion verschiedene Arten von kollektiven Schwingungen ausgesondert, die globalen Plasmaschwingungen und diejenigen der Phononen und Dämonen. Anstelle der von Nozibres und Pines verwendeten Methode zur Berechnung der Dämonenfrequenz mit Hilfe einer kanonischen Transformation wird hier eine raschere Methode angegeben, um die Abschirmung der Ionen zu erhalten

und diesen Wert auf die Löcher auszudehnen, was durch einen Vergleich der Forn für die Fortpflanzungsgeschwindigkeit longitudinaler Wellen in einem Kristall und de jenigen für die Phononenfrequenz erfolgt.

- 4-717 B. M. Bulgakov, V. P. Shestopalov, L. A. Shiskin and İ. P. Jakimenko. Stawaves in the spiral waveguide with plasma. Sh. tech. Fis. 30, 840–850, 1960, Nr. 7. (Juli (Orig. russ.) Vff. untersuchen die Dispersion einer Wendelleitung, die auf einem elektrischen Rohr aufgewickelt ist. Im Inneren des Rohrs befinde sich ein Plasm längs der Achse sei ein homogenes Magnetfeld angelegt. In diesem System können sin einem weiten Frequenzbereich langsame Wellen ausbreiten. Ohne Magnetfeld existie eine Grenzfrequenz; Wellen unterhalb dieser Frequenz werden stärker, Wellen oberhalbeiter Frequenz schwächer verzögert als Wellen auf der freien Wendelleitung. Bei Volliegen eines Magnetfelds haben Vorwärts- und Rückwärtswellen verschiedene Phase geschwindigkeit. Ist die Frequenz kleiner als die Präzessionsfrequenz $\omega_0 = \gamma H$, existieren gleichzeitig zwei Vorwärts- und zwei Rückwärtswellen.
- 4-718 J. Kracík. Anmerkung zur Lösung der Temperaturänderung in der positiv Säule. Czech. J. Phys. (B) 10, 549-550, 1960, Nr. 7. (Podebrady, Phys. Inst. elektr tech. Fak.)

 Bartholomeyczyk.
- 4-719 R. E. Rowinski und G. P. Rasumtzewa. Über den Grad der Durchlässigkeit ein Entladung in Xenon bei überhohen Drucken. Opt. i Spektrosk. 7, 725-728, 1959, Nr. (Orig. russ.) Die Abhängigkeit des Absorptionskoeffizienten wurde für die Gesan strahlung einer Xenonlampe im sichtbaren Spektralbereich, sowie für die drei Welle längen 483, 530 und 608 nm in Abhängigkeit von der Stärke der Entladung gemesse v. Keussler.
- 4-720 Radu Grigorovici und George Christescu. Beitrag zur Theorie der Hochfrequet Fackelentladung. Rev. Phys., Bucarest 4, 153-176, 1959, Nr. 2. (Bukarest, Uni Opt. u. Akust., Katheder-Gasentladungen.) Die in letzter Zeit durchgeführten Versuc über die Hochfrequenz-Fackelentladung ermöglichen jetzt, ein widerspruchsfreies B des Entladungsmechanismus zu geben. Der Rechnung liegt die Energiebilanz der Er ladung zugrunde. Achsentemperatur, Temperaturverteilung und Stromleistung charakteristik werden berechnet. Ferner werden die speziellen "kalten" Fackeler ladungen der Edelgase im Gegensatz zu den heißen Fackelentladungen der Molekt gase gestellt, da bei ersteren keine Energie als Dissoziationswärme an die Umgebu weitergegeben werden kann.

 Bartholomeyczyk.
- 4-721 Michel Cloupeau. Particularités des ondes de choc produites par les déchar, condensées dans un gaz à basse pression. J. Phys. Radium 21, 489-193, 1960, Nr. (März.) (Paris, Inst. Radium, Lab. Rech. Électron.) In leuchtenden Stoßwellen, durch die Entladung eines Hochspannungskondensators mit einer Energie von einig Joule in kleinen Blitzlampen mit einer Geschwindigkeit M < 6 erzeugt werden, ist. Temperaturerhöhung, die durch die Wellen im Gas außerhalb des Plasmafadens herv gerufen wird, zu gering, um eine merkliche Ionisation hervorzurufen. Die Sichtbark der Wellen wird einer Vorionisation durch parasitäre Effekte zugeschrieben. Außerd sind die Stoßfront und die Kontaktfläche oft sehr nahe aneinandergerückt oder pretisch nicht zu trennen. Die Lichtemission hinter der Stoßfront kann hauptsächlich ader Gegenwart von Gas beruhen, das durch die elektrische Entladung ionisiert wur Steinacker
- 4-722 G. J. M. Ahsmann et Z. v. Gelder, La chute cathodique normale pour des catho monocristallines. Vide, Paris 15, 226-233, 1960, Nr. 87. (Mai/Juni.) (Eindhov Philips' Glocilampenfabr., Lab. Rech. Philip.) Messungen des normalen Kathode falls mit einkristallinem Kathodenmaterial zeigen, daß Einkristalle für die Herstellt von Spannungsstabilisatoren besonders gut geeignet sind. Die Spannungsreproduzi barkeit und die Spannungskonstanz sind besser als bei Verwendung von polykristallin Kathodenmaterial; der Temperaturkoeffizient kann jedoch in gewissen Fällen etv größer sein (Zfg.).

- 723 Tomonao Hayashi. Effect of magnetic field on microwave noise in glow discharge ubes. J. Inst. elect. Commun. Engrs Japan 43, 305-310, 1960, Nr. 3. (März.) (Tokyo, ist. Phys. Chem. Res.) In verschiedenen Entladungslampen wurde auch unter verhiedenen Bedingungen die gleiche Resonanzerscheinung im 4000-MHz-Rauschen bei twa 1470 Gauss beobachtet, was der Resonanzfeldstärke freier Elektronen für ω_e 4000 MHz entspricht.
- 724 H.B. Dunford and Bernadine E. Melanson. The reaction of active nitrogen with ydrogen bromide. Canad. J. Chem. 37, 641—648, 1959, Nr. 4. (Apr.) (Halifax, N. S., Jalhousie Univ., Dep. Chem.; Edmonton, Alberta, Univ.) Es wird nachgewiesen, daß ie Reaktion von aktivem Stickstoff mit Bromwasserstoff als Hauptprodukte Brom und mmoniumbromid liefert. In Spuren anfallende andere Reaktionsprodukte konnten als romamin und Bromimin identifiziert werden. Eine katalytische Rekombination der tickstoffatome durch den Bromwasserstoff scheint stattzufinden. Kirchner.
- -725 S. le Montagner. Phénomènes de relaxation dipolaire en fonction de la température. Phys. Radium 21, 609-614, 1960, Nr. 7. (Juli.) (Rennes, Fac. Sci.) Zunächst werden ie Aussagen der Debyeschen Relaxationstheorie unter Voraussetzung von $\tau = \tau_0$ exp (U/kT) in bezug auf die Temperaturabhängigkeit des Realteils $arepsilon_1$ und des Imaginäreils z₂ der Dielektrizitätskonstanten untersucht. Weist die Temperaturabhängigkeit er statischen DK, $\varepsilon_s(T)$ infolge einer Phasenänderung des untersuchten Stoffes bei To inen Knickpunkt oder eine endliche Unstetigkeit mit nachfolgendem Abfall $arepsilon_{s}^{'}<0$ auf, o kann $\varepsilon_1(T)$ für eine Temperatur $T_1>T_0$ ein Maximum zeigen. T_1 und die Differenz $\epsilon_{1m}(T_1) - \epsilon_{1m}$, wo ϵ_{1m} den Maximalwert darstellt, nehmen mit wachsendem Frequenzarameter ω zu. Weiter zeigt sich, daß die Wertepaare (ω2, T2) des Maximums von ₂(T) verschieden sind von den entsprechenden Paaren (ω₃, T₃) für das Maximum der requenzabhängigkeit $\varepsilon_2(\omega)$. Für $\omega_2=\omega_3$ ist die Differenz $(1/T_2-1/T_3)$ negativ bei oositivem ε_s und umgekehrt, der Betrag der Differenz ist jedoch unabhängig vom Voreichen von &. Die theoretischen Aussagen wurden an Ammonium-Aluminium-Alaun ind an Ammonium-Eisen-Alaun geprüft, die bei 55°K bzw. 85°K eine Phasenänderung ufweisen. Für erstere Verbindung wurden für 63 bis 102°K die gemessenen Werte von $arepsilon_{
 m s}-arepsilon_{
 m im}$ und $arepsilon_{
 m 2m}$ in ausreichender Übereinstimmung mit den berechneten gefunden. n Diagrammen sind für beide Stoffe $\varepsilon_1(T)$ und $\varepsilon_2(T)$ für einzelne Frequenzen zwischen 60 Hz und 5 MHz dargestellt. Die Kurven zeigen den vorausgesagten Verlauf.

Jäkel.

- 4-726 V. A. Yurin and I. S. Zheludev. The effects of heat treatment on the electrical parameters of impure Rochelle salt. Soviet Phys.-Cryst. 4, 232—234, 1960, Nr. 2. (Febr.) Engl. Übers. aus: Kristallografija 4, 253, 1959, Nr. 2.) In einer kurzen Studie wird über das elektrische Verhalten von Rochellesalz berichtet, dem geringe Kupferbeimengungen CuCO₂) zugesetzt worden sind, und das verschiedenen Wärmebehandlungen unterlogen wurde.

 Hahlbohm.
- 4-727 A. Pekara. Dielektrische Durchlässigkeit von flüssigen Dielektriken in starken lektrischen Feldern. Iswest. Akad. Nauk SSSR, Ser. fis. 24, 19—24, 1960, Nr. 1. (Orig. uss.)
- 7-728 A. M. Kaschtanowa, N. N. Kurzewa und G. I. Skanawi. Untersuchung der Relaxationspolarisation und der Phasenzusammensetzung von Dielektriken des Systems TIO_3 - TIO_3 TIO_2 (n=2,3). Iswest. Akad. Nauk SSSR, Ser. fis. 24, 114–123, 1960, Nr. 2. (Orig. russ.)
- 7-729 G. I. Skanawi. Über die Relaxationszeit und die Verteilungsfunktion von Quasi-Dipolen in Ionen-Kristallen mit Defektstruktur. Iswest. Akad. Nauk SSSR, Ser. fis. 24, 24-131, 1960, Nr. 2. (Orig. russ.)
- -730 **J. W. Sinjakow** und **A. M. Solok.** Relaxationspolarisation des Systems $SrTiO_3 \cdot n$ 4 $n\Theta$. Iswest. Akad. Nauk SSSR, Ser. fis. **24**, 132—136, 1960, Nr. 2. (Orig. russ.)
- -731 N. P. Bogorodizki, B. A. Kulik und I. D. Fridberg. Dielektrische Verluste von onen-Kristallen in Abhängigkeit von ihrer Struktur. Iswest. Akad. Nauk SSSR, Ser. 8. 24, 137-141, 1960, Nr. 2. (Orig. russ.)

 H. Weidemann.

- 4-732 K. A. Wodopjanow und G. I. Galibina. Untersuchung der dielektrischen Verluin festen Dielektriken bei Hochfrequenz. Iswest. Akad. Nauk SSSR, Ser. fis. 24, 142-11960, Nr. 2. (Orig. russ.)
- 4-733 W.W. Pantschenko. Wärmeausdelnung, dielektrische Durchlässigkeit und Vluste von Alkalihalogenidkristallen. Iswest. Akad. Nauk SSSR, Ser. fis. 24, 150-11960, Nr. 2. (Orig. russ.)
- 4–734 W. N. Losowski. Über Relaxationspolarisation und Verluste in Einkristal von Alkalihalogenidsalzen. Iswest. Akad. Nauk SSSR, Ser. fis. 24, 161–169, 1960, Nr. (Orig. russ.)
- 4-735 I. Z. Ljast. Über die Relaxationspolarisation von Kristallen mit Rutil- und Feastruktur. Iswest. Akad. Nauk SSSR, Ser. fis. 24, 170, 1960, Nr. 2. (Orig. russ.)
- 4-736 P. A. Suris und B. N. Finkelstein. Zur Theorie der dielektrischen Durchlässigleines anisotropen Mediums, das mit endlicher Geschwindigkeit polarisiert wurde. Iswe Akad. Nauk SSSR, Ser. fis. 24, 189-191, 1960, Nr.2. (Orig. russ.)
- 4-737 J. W. Stauer und W. P. Isotow. Über die dielektrischen und optischen Eigenschten einiger Zinksulfide. Iswest. Akad. Nauk SSSR, Ser. fis. 24, 224-228, 1960, Nr. (Orig. russ.)
- 4-738 Horst E. Müser. Messung der dielektrischen Nicht-Linearität von Seignettes Z. angew. Phys. 12, 300-306, 1960, Nr. 7. (Juli.) (Münster, Univ., Inst. Angew. Phy Die Beziehung zwischen dielektrischer Verschiebung D und elektrischer Feldstärke mit der H. MÜLLER zuerst das dielektrische Verhalten von Ferroelektrika beschriel hat: $E = AD + BD^3$, wird an freien Seignette-Einkristallen zwischen -25 und +36und in einem möglichst weiten Bereich von D geprüft. Hierfür ist die Meßgenauigl dadurch erhöht, daß direkt die zeitlichen Ableitungen von E und D auf dem Oszi graphen gemessen werden. Die Abweichungen von der MÜLLERschen Gleichung tragen beim größten verwendeten D von etwa 3 · 10-3 C/cm² höchstens 10%. Dans können A und B aus direkten Messungen auf den Sättigungsästen der Hystere Kurven ermittelt werden. B ergibt sich mit einer Genauigkeit von etwa 10% unabhän von der Temperatur zu $61\cdot 10^{12}~{\rm Vm^5/C^3}$, ein Wert, der im Vergleich zum norma Dielektrikum nicht als ungewöhnlich hoch angesehen wird. A ist mit der Dielektr tätskonstanten für kleine Wechselfelder eng verknüpft, die bei 5 kHz ebenfalls an d selben Proben gemessen ist. Die daraus gewonnenen A-Werte stimmen nur außerh des ferroelektrischen Bereiches mit denen aus der Hysterese-Kurve überein, währe innerhalb Diskrepanzen auftreten. Sie werden ebenso wie die bezüglich der Koerzi Feldstärke Einflüssen der Domänenstruktur zugeschrieben. Klages
- 4-739 A. Lurio and E. Stern. Dielectric behavior of single crystals of tri-glycine sul (TGS) from 1 kc to 2500 Mc. J. appl. Phys. 31, 1125—1126, 1960, Nr. 6. (Juli.) (New Yon, Y., 1BM Watson Res. Lab.) An ferroelektrischen TGS-Einkristallen wurden Frequenzen zwischen 1 kHz und 2000 MHz die DK und der tan δ als Funktion der Tperatur aufgenommen. Dabei wurde der Temperaturbereich von 40—60°C mit ei Temperatursteigerungsgeschwindigkeit von 20 grd/h durchlaufen. Die Messun führten zu Kurvenscharen mit sehr steilen Maxima bei etwa 48 bis 49°C, der Tempera bei der der Übergang (zweiter Ordnung) vom ferro- zum paraelektrischen Verhalstattfindet (Curie-Punkt).
- 4-740 N. N. Krainik and A. I. Agranovskaya. Antiferroelectric and ferroelectric perties of certain solid solutions containing Pb_2 $MgWO_6$. Soviet Phys.-Solid State 2, 63–1960, Nr. 1. (Juli.) (Engl. Übers. aus: Fis. Tverd. Tela 2, 70, 1960, Nr. 1.) (Lening Acad. Sci., Semicond. Inst.) An festen Lösungen aus antiferroelektrischem PbW $_{1/2}O_3$ einerseits und ferroelektrischem PbTiO $_3$ oder PbMg $_{1/3}Nb_{2/3}O_3$ anderers wurden die Umwandlungstemperatur in Abhängigkeit vom Mischungsverhältnis der Übergang von Antiferro- zu Ferroelektrizität untersucht. H. E. Müse

- 741 E.V. Sinyakov and E. A. Staflichuk. BaTiO₃-based solid solution of niobates nd tantalates of transition metals. Soviet Phys.-Solid State 2, 66−71, 1960, Nr. 1. (Juli.) Engl. Übers. aus: Fis. Tverd. Tela 2, 73, 1960, Nr. 1.) (Dnepropetrovsk, Univ.) Unterluchungen an festen Lösungen von 0,5 bis 7 Mol-% AB₂O₆ und AB₂O₆ (A = Mn, Co, ii; B = Nb, Ta) in BaTiO₃. Die Zusätze sind bis hinab zu −195°C nicht ferroelektrisch. Bei steigendem AB₂O₆-Zusatz sinkt der Curie-Punkt zunächst stark ab und steigt ann wieder bis zum Curie-Punkt von reinem BaTiO₃ an, wobei die DK-Spitze am Lurie-Punkt rasch abnimmt. Bei wenig mehr als 1 Mol-% verschwindet die Ferroelektrizität völlig. Bei AB₂Oȝ-Zusatz sinkt der Curie-Punkt beständig ab. Die DK-pitze durchläuft gelegentlich ein Maximum bei einigen Mol-%. H. E. Müser.
- 742 N. S. Novosil'tsev, A. L. Khodakov, M. L. Shokholovich, E. G. Fesenko and P. Kramarov. Experience with growing monocrystals of ferroelectrics. Soviet Phys.-ryst. 4, 95—100, 1960, Nr. 1. (Jan.) (Engl. Übers. aus: Kristallografija 4, 101, 1969, Nr. 1.) (Rostov-on-Don, State Univ.) Herstellungsverfahren sowie eine Anzahl verchiedener physikalischer Eigenschaften (z. B. Dielektrizitätskonstanten, Verlustvinkel, Dichten, Curie-Punkte) von ferroelektrischen Einkristallen auf Titanbasis u. a. (Ba-Pb) TiO₃, (Sr-Pb) TiO₃, Pb (TiO₃)] werden beschrieben.
- 743 O. P. Kramarov. Production of ferroelectric monocrystals by zone recrystalliation. Soviet Phys.-Cryst. 4, 101-104, 1960, Nr. 1. (Jan.) (Engl. Übers. aus: Kristallorafija 4, 109, 1959, Nr. 1.) (Rostov-on-Don, State Univ., Phys.-Math. Res. Inst.) Vf. berichtet über seine Erfahrungen bei der Herstellung von Bariumtitanateinristallen, die er durch eine Zonentemperung unterhalb des Schmelzpunktes gewinnt. Hahlbohm.
- 4-744 R. Cooper and A. Fernandez. Directional electric breakdown of KCl. Proc. phys. Soc. Lond. 71, 688-692, 1958, Nr. 4 (Nr. 460). (1. Apr.) (Univ. Manchester, Elect. Engng. Labs.) Elektrisches Gleichspannungsfeld in (110)-Richtung. Bei 33 getemperten Proben meist Durchschlag in Richtung (100), in wenigen Fällen in (110) mit Durchschlagfeldstärke > 1,1 MV/cm. Bei 25 ungetemperten Proben überwiegend Durchschläge der letzteren Art, daneben einige der ersteren. Hohe Durchschlagfeldstärken gekoppelt mit mechanischen Spannungen im Kristall. Durchschlagmechanismus scheint unabhängig von Kristallsymmetrie bei Feldstärken hinreichend über 1,6 MV/cm. G. Schumann.
- 1-745 R. Rompe. Zum Durchschlag fester Dielektrika. Abh. dtsch. Akad. Wiss., Berlin 1960, Nr. 1, S. 5-6, (S. B.) (Berlin, Akad. Wiss., Phys.-Tech. Inst.)
- 4-746 F. Stöckmann. Zum Einfluß der Kontakte auf die Strom-Spannungs-Abhängigkeit von Photoströmen. Abh. dtsch. Akad. Wiss., Berlin 1960, Nr. 1, S 13—16. (S. B.) (Darmtadt, T. H., Phys. Inst.)
- 1-747 W. J. Merz. Raumladungsbegrenzte Ströme in CdS und ZnS. Abh. dtsch. Akad. Wiss., Berlin 1960, Nr. 1, S. 17—18. (S. B.) (Zürich, RCA-Lab.)
- 4-748 U. Kümmel. Dielektrische Nachwirkungen an CdS-Einkristallen. Abh. dtsch. Akad. Wiss., Berlin 1960, Nr. 1, S. 19-23. (S. B.) (Berlin, Akad. Wiss., Phys.-Tech. inst.)
- 4-749 **J. Dziesiaty.** Durchschlag von CdS-Einkristallen bei Impulsbeanspruchung. Abh. Itsch. Akad. Wiss., Berlin 1960, Nr. 1, S. 24-26. (S. B.) (Berlin, Akad. Wiss., Phys.-Fech. Inst.)
- 1-750 Jan Tauc und Antonin Abrahám. Der elektrische Durchschlag an p-n-Überängen in Silizium. Abh. dtsch. Akad. Wiss., Berlin 1960, Nr. 1, S. 27-31. (S. B.) Prag, Akad. Wiss., Inst. tech. Phys.)
- 1-751 K. Seeger. Heiße Elektronen in Germanium. Abh. dtsch. Akad. Wiss., Berlin 1960, Nr. 1, S. 32-33. (S. B.) (Heidelberg, Univ., Phys. Inst.)
- 4-752 W. Misselwitz. Zum Durchschlag dünner Schichten. Abh. dtsch. Akad. Wiss., Berlin 1960, Nr. 1, S. 34-38. (S. B.) (Berlin.) V. Weidemann.

- 4-753 F. Obenaus. Der Luftüberschlag als Modell des Isolierstoffdurchschlages. Aldtsch. Akad. Wiss., Berlin 1960, Nr. 1, S. 39-42. (S. B.) (Dresden, T. H., Inst. Hospannungstech.)
- 4-754 J. Schmidt. Quantitative Messungen an Entladungen in festen Isolierstoffen inhomogenen Feld. Abh. dtsch. Akad. Wiss., Berlin 1960, Nr. 1, S. 47-48. (S. (Dresden, T. H., Inst. Hochspannungstech.)
- 4-755 J. A. Afanasjewa, W. S. Winogradow und J. A. Konorowa. Abhängigkeit Stromes in KBr-Einkristallen von der Temperatur und der Spannung unterhalb der Durschlagsfeldstärke. Iswest. Akad. Nauk SSSR, Ser. fis. 24, 66-74, 1960, Nr. 1. (Orruss.)
- 4-756 A. A. Worobew und G. A. Worobew. Gesetzmäßigkeiten des Impulsdurchschlefester Dielektrika. Iswest. Akad. Nauk SSSR, Ser. fis. 24, 75-83, 1960, Nr. 1. (Orruss.)

 H. Weidemann
- 4-757 R. W. Keyes and M. Pollak. Effects of hydrostatic pressure on the piezoresistat of semiconductors: i-InSb, p-Ge, p-InSb and n-GaSb. Phys. Rev. (2) 118, 1001—101960, Nr. 4. (15. Mai.) (Pittsburgh, Penn., Westinghouse Res. Lab.) Es wird der Piezwiderstandseffekt einiger Halbleiter unter gleichzeitigem allseitigem Druck bis 13000 atm untersucht. Das meßtechnische Problem, die auf die Probe wirkende Zuder Wechselkraft unter Druck zu messen, wird durch Vergleichsmessung gegen eigleitendes InSb gelöst, da die Leitfähigkeit wegen der geringen effektiven Masse fallein durch Elektronen getragen wird und wegen der einfachen sphärischen Leitunbandstruktur der Piezoeffekt leicht aus dem Widerstands-Druck-Verlauf berecht werden kann. Die Messung an p-Ge und p-InSb zeigt, daß in diesen Substanzen er Piezoeffekt praktisch druckunabhängig ist, was mit der gleichen Eigenschaft Löcherbeweglichkeit im Einklang steht. Die Ergebnisse am GaSb bestätigen quantita das Leitungsbandmodell von Sagar (Ber. 39, Nr. 10—468, 1960), in dem neben ein

tiefsten Minimum bei k = (000) ein um 0,07 eV höheres Minimum bei k = (111) lie Unter allseitigem Druck gehen Elektronen vom (000)-Minimum in das (111)-Minim über, und Vff. geben durch Extrapolation auf den Druck, bei dem alle Elektronen (111)-Band sind, effektive Masse und Beweglichkeit für das (111)-Band an.

Harbeke

- 4-758 I. S. Rez, A. S. Sonin, E. E. Tsepelevich and A. A. Filimonov. Experiment investigations in the search for new piezoelectric substances. Soviet Phys.-Cryst. 4, 59-1960, Nr. 1. (Jan.) (Engl. Übers. aus: Kristallografija 4, 65, 1959, Nr. 1.) Eine Livon 355 anorganischen und organischen Verbindungen mit starkem und schwach piezoelektrischem Effekt wird angegeben.
- 4-759 A. A. Chumakov and V. A. Koptsik. Experience in the crystallization of piezoelectric substances. Soviet Phys.-Cryst. 4, 212-215, 1960, Nr. 2. (Febr.) (El Übers. aus: Kristallografija 4, 235, 1959, Nr. 2.) Es wird über die Erfahrungen berich die bei der Herstellung von piezoelektrischen Kristallen entweder durch Verdamp des Lösungsmittels oder Temperaturerniedrigung der Lösung gewonnen wurden. einer Tabelle sind für 49 Präparate Lösungsmittel, Kristallsymmetrie, Schmelztem ratur, Dichte und chemische Formel zusammengestellt. 21 Verbindungen wurden weihres besonders großen mechanisch-elektrischen Kopplungsfaktors hervorgehoben.
- Hahlbohm 4-760 J. Fousek and B. Březina. The movement of single 90° domain walls of BaT in an alternating electric field. Czech. J. Phys. (B) 10, 511-528, 1960, Nr. 7. (Prag Acad. Sci., Inst. Phys.) 90°-Wände wurden in Bariumtitanat-Einkristallen stroskopisch im elektrischen 50-Hz-Feld beobachtet. Eine Wand bleibt bei Feldstär unterhalb 0,3 kV/cm bis 3,1 kV/cm (der genaue Wert hängt von der Vorgeschichtet der Lage der Wand ab) völlig in Ruhe. Bei stärkeren Feldern schwingt sie asymmetri bezüglich der Ausgangslage mit einer Amplitude, die im allgemeinen linear mit Feldstärke ansteigt. Bei länger anliegenden starken Feldern überlagert sich der Waschwingung eine gleichförmige Bewegung, so daß diejenige Domäne wächst, de

ontane Polarisation parallel zum Feld orientiert ist. Dabei kann eine Wand ganz aus em Kristall hinauslaufen. Im Normalfall wird die Wand parallel verschoben; es kommt uch vor, daß sich Wände im Feld verbiegen. Durch benachbarte Wände wird die Wandewegung beeinflußt. Die Ergebnisse werden phänomenologisch diskutiert. Wegen der ielektrischen Anisotropie ist die Feldstärke in Kristallen mit 90°-Wänden nicht omogen. Es wird eine Kraft auf die Wand berechnet, die bei gegebener Feldstärke och stark von der Lage der Wand im Kristall und von der Struktur der 180°-Wände bhängt. Nimmt man - ähnlich wie im Ferromagnetismus - für die Energie der Wand ine etwa periodische Ortsabhängigkeit an, so wird das beschriebene umfangreiche atsachenmaterial verständlich.

- E. F. Gross, Ia. Ia. Abolin'sh and A. A. Shultin. Optical-acoustic effect in cryals. Soviet Phys.-Tech. Phys. 3, 2070-2072, 1958, Nr. 10. (Okt.) (Engl. Übers. aus: tech. Phys. SSSR 28, 2255, 1958, Nr. 10.) Es wird ein Kristall aus Kaliumchromalaun nit intermittierendem unzerlegtem Licht bestrahlt. Der Nachweis einer synchronen eriodischen Ausdehnung des Kristalls gelingt mit elektrischen Mitteln. Piezoelektrische Cristalle, wie Rochelle-Salz, erlauben eine sehr wirkungsvolle Umwandlung ihrer eriodischen Ausdehnung in elektrische Schwingungen. Solche Kristalle sollen verwenet werden, um die Wahrscheinlichkeit für strahlungslose Übergänge und die spektrale bhängigkeit des optisch-akustischen Effektes zu bestimmen.
- -762 B. M. Golovin, N. T. Kashukeev and V. M. Fridkin. Role of the field in the prouction of the photoelectret heterocharge. Soviet Phys.-Doklady 4, 985-989, 1960, Nr. 5. März/Apr.) (Engl. Übers. aus: Doklady Akad. Nauk SSSR 128, 63, 1959, Nr. 1.)
- 4763 A. N. Gubkin und W. S. Sorokin. Der Piezoeffekt in Elektreten. Iswest. Akad. Nauk SSSR, Ser. fis. 24, 246-252, 1960, Nr. 2. (Orig. russ.) H. Weidemann.
- -764 Makoto Kikuchi and Kenkichi Tachikawa. Visible light emission and microblasma phenomena in silicon p-n junction. I. J. phys. Soc. Japan ${f 15}$, 835-848, 1960, Nr. 5. (Mai.) (Tokyo, Electrotech. Lab.; Res. Lab.) Es wird über Experimente zur Unteruchung der Lichtemission von in Sperrichtung gepolten, diffundierten Si pn-Überängen berichtet. Im Gegensatz zu den Beobachtungen von CHYNOWETH et al. (Ber. 39, Nr. 2-542, 1960) erfolgt die Lichtemission nicht immer am Ort von Ätzgruben. An vorngrenzen wurde ebenfalls keine Lichtemission festgestellt. Dagegen wurden Leuchtrscheinungen um den Spitzenkontakt an der diffundierten Schicht beobachtet, die bei Veränderung der Lage des Kontaktes zusammen mit dem Kontakt wanderten. Die ichtemission wird durch Temperaturänderung nicht beeinflußt. Wird die Sperrspanung erhöht, treten Stromimpulse auf. Höhe, Breite und Folgefrequenz der Impulse ind spannungsunabhängig. Mit Hilfe eines Lichtstrahles, der die Oberfläche der Probe iberstreicht, gelang es, den Ort des Mikroplasmas festzustellen. Es wurde beobachtet, laß dieser Ort und die lichtemittierende Stelle nicht übereinstimmen. Die Trägermultidikation ist von der angelegten Spannung unabhängig. Dagegen ist innerhalb der Abchnitte der Sperrspannung, in denen Impulse auftreten, die Impulswahrscheinlichkeit ine monoton zunehmende Funktion der Spannung. Die Lichtausbeute nimmt mit teigender Spannung ebenfalls zu. Zur Ermittlung der beobachteten Erscheinungen vird der Einfluß von Störstellen, besonders von Sauerstoff und als physikalisches Modell ine pn pn-Folge, betrachtet.
- -765 Makoto Kikuchi and Takashi Iizuka. Observation of microplasma pulses and lectroluminescence in gallium phosphide single crystal. J. phys. Soc. Japan 15, 935, 1960, Nr. 5. (Mai.) (Tokyo, Elektrotech. Lab.) Es wurden GaP-Einkristalle mit einer Wolframpitze kontaktiert und in Sperrichtung belastet. Dahei wurden, ebenfalls wie bei Si n-Übergängen, am Durchbruch innerhalb bestimmter Spannungsbereiche Strommpulse, die mit der Bildung von Mikroplasmen zusammenhängen, und Elektro-Lumines-Eigler. enz beobachtet.
- -766 B. J. Hopkins and F. A. Vick. Charge localization on the surfaces of oxide-coated athodes. Brit. J. appl. Phys. 11, 223-227, 1960, Nr. 6. (Juni.) (Keele, Staffs., Univ. hys. Dep.) An Bariumoxyd- und Calciumoxydkathoden wird nach der KELVINschen

Methode die Kontaktpotentialdissernz gegenüber Gold gemessen, nachdem in einig Torr Wasserstoff eine Entladung stattgefunden hat. Es treten dann Kontaktpotent dissernzen von über 20 Volt auf, deren Vorzeichen von der Polung der Kathode bei Gasentladung abhängt. Die hohen Spannungen klingen im Lause von Stunden Tagen auf den üblichen Wert des Kontaktpotentials ab. Die hohen Potentiale hän nicht mit der Austrittsarbeit zusammen, sondern werden durch Elektronen oder posit Ionen bewirkt, die sich je nach dem elektrischen Widerstand der Kathodenmaterial so lange an der Obersläche aufhalten. Der Absall der hohen Kontaktpotentialdissernach der Aktivierung wird durch Erwärmen der Kathode beschleunigt.

- 4-767 W. B. Pearson. Interpretation of relative thermoelectric phenomena at low temper tures with special consideration of the effects of cold-work on copper. Phys. Rev. (2) 1 549-553, 1960, Nr. 2. (15. Juli.) (Ottawa, Can., Nat. Res. Counc., Div. Pure Phys. Mit aus der Theorie der Transporterscheinungen von Kohler (Ber. 29, 399, 1950) wonnene Formeln für die Thermokraft eines homogenen Leiters mit Ladungsträgern reines Vorzeichens, die mehreren Streumechanismen unterliegen, werden die relativ Thermokräfte (gegen Kupfer) von Metallen, binären Legierungssystemen mit gering Prozentgehalten eines Partners und von kaltverformtem Kupfer bei tiefen Temperatur berechnet. Da die Theorie nur die Diffusionsthermokraft liefert, wird der phonon-dranteil außer Betracht gelassen und kann umgekehrt aus der Differenz zu den Meßwert an kaltverformtem Kupfer bestimmt werden.
- 4-768 S. A. Sukhov, S. Ya. Kadlets and G. D. Paylyuk. Investigation of electroly thermocouples. Measurement Tech. 1959, S. 121-123, Nr. 2. (Febr.) (Engl. Übers. at Ismeritelnaja Technika 1959, S. 35.) Das elektrolytische Thermopaar besteht aus ein Draht, von dem eine gewisse Länge elektrolytisch mit einem anderen Metall beschich ist. Anfangs- und Endpunkt der Schicht dienen als Lötstellen. Die an den Enden omassiven Drahtes gemessene Thermospannung ist kleiner als die Thermospannung ein üblichen Themoelements aus den beiden Metallen. Sie hängt von der Schichtdicke of Überzuges und dem Verhältnis der Widerstände des Drahtes und der Schicht ab. I Anwendung von elektrolytischen Thermopaaren kann vorteilhaft sein, wenn aus ein Metall kein Draht gezogen werden kann. Es kann in diesem Fall als Schicht für elektrolytisches Thermopaar verwendet werden. Ferner wird die Herstellung ein Thermosäule mit vielen hundert Lötstellen aus elektrolytischen Thermopaaren Schrieben.
- 4-769 S. K. Danishevskii. Selection and calibration of tungsten and molybdenum was for thermocouples. Measurement Tech. 1959, S. 333-338, Nr. 5. (Mai.) (Engl. Übers. at Ismeritelnaja Technika 1959, S. 25.) Nach einer Prüfung des Wolfram- und Molybdädrahtes auf Homogenität werden aus den besten Rollen jedes Metalls Normale in gestellt, die genau kalibriert werden. Es zeigte sich, daß die Thermokraft-Temperat Kurven der aus dem übrigen Material hergestellten Thermoelemente im Bereich v 1200 bis 1700° C parallel zur Normalkurve verschoben sind. Daher wird jeweils aus dzu untersuchenden Material und dem Standardmaterial ein Thermoelement hergest und die Thermospannung bei 1500° C gemessen. An Hand der gemessenen Abweicht gen von der Standardkalibrierung bei 1500° C können für jedes Thermoelement Wolfram- und Molybdändrähte so ausgewählt werden, daß man Thermoelement der Standardkalibrierung erhält.
- 4-770 St. Grosu. Quelques effets des fluctuations de la barrière de potential à la surf des conducteurs. Stud. Cerc. Fiz., Bukarest 11, 55-60, 1960, Nr. 1. (Orig. rum. m. Zfg.) Vf. gibt eine halb-quantitative Analyse des Einflusses der Elektronendick schwankungen in der Nähe von Metalloberflächen auf die thermoelektrische Elektronemission, indem er annimmt, daß diese Schwankungen durch Schwankungen der Pot tialschwelle beschrieben werden können. Ohne äußeres Feld werden diese Schwankun ebenso wie ihr Mittelwert verändert. Wenn ein Feld angelegt wird, werden die Effe noch deutlicher.

4-771 George Comsa. Über die Temperaturabhängigkeit der Austrittsarbeit an Nic Rev. Phys., Bucarest 4, 337-344, 1959, Nr. 3. Für Nickel wurde der Temperat koeffizient der Austrittsarbeit im Bereich von 720 bis 1025° K zu $(-2,65\pm0,03)$ 10^{-5}

OT

- d bestimmt. Um Fehlermöglichkeiten durch Verunreinigungen der Oberfläche, auf e die abweichenden Ergebnisse früherer Arbeiten zurückgeführt werden, auszuhließen, wurde vor der Messung 4000 h ausgeheizt und ein Vakuum von etwa 10⁻⁹ Torr pfrechterhalten.
- -772 V. N. Lepeshinskaya and V. N. Belogurov. Change in the work function of molybenum on deposition of thin sodium and cesium films. Soviet. Phys.-Solid State 1, 1656 bis 561, 1960, Nr. 12. (Juni.) (Engl. Übers. aus: Fis. Tverd. Tela 1, 1806, 1959, Nr. 12.) Leningrad, M. I. Kalinin Polytech. Inst.)
- 4.773 A. Bohun. The effect of annealing on thermostimulated processes of coloured dium chloride crystals. Czech. J. Phys. (B) 10, 360—365, 1960, Nr. 5. (Prague, Acad. L., Inst. Tech. Phys.) Es wird gezeigt, daß nach dem Tempern von NaCl-Proben nicht die Thermolumineszenz im Hochtemperatur-Maximum ansteigt, sondern gleichitig die Thermoemission von Elektronen abnimmt. Der Effekt kommt wahrscheinlich urch eine Verdampfung von Na-Atomen aus der Oberflächenschicht zustande, die zu her Erhöhung der Na-Leerstellen führt. Diese Leerstellen verhindern den Austritt in Elektronen aus dem Kristall und erhöhen die Wahrscheinlichkeit einer Wechselirkung zwischen Elektronen und Fehlern im Innern des Kristalls, z. B. die Rekombiation mit F-Zentren.
- -774 Shoichi Hirota and Tetsuji Imai. Electron microscope study of the decomposition rocess of oxide coated cathodes. J. phys. Soc. Japan 15, 137—144, 1960, Nr. 1. (Jan.) Tokyo, Nippon Telegr. Teleph. Public Corp., Elect. Commun. Lab.) Das Verhalten von xydkathoden beim Zersetzungsprozeß und bei verlängertem Erhitzen wird mit dem Elektonenmikroskop untersucht. Wegen der geringen Haltbarkeit der Oxydkathode mit wer porösen Obersläche an der Atmosphäre wird ein spezielles Abdruckversahren durch ufdampfen von SiO, Abdrücken in einem Kunststoff-Film, schrägem Ausdampfen on Germanium, welches noch mit einem Kohlesilm verstärkt wird, angewendet. Aus en Versuchen geht hervor, daß das Wachsen der Oxydkristalle erst von einer gewissen ersetzungstemperatur ab merklich wird. Diese kritische Temperatur liegt beim ripel-Carbonat bei rund 1100°C, während sie beim einsachen Carbonat wesentlich veith.
- -775 **J. A. Konorowa.** Ströme in Alkalihalogenid-Kristallen, die bei Elektronenemission us einer Kathode in starken elektrischen Feldern entstanden sind. Iswest. Akad. Nauk SSR, Ser. fis. **24**, 58-65, 1960, Nr. 1. (Orig. russ.)

 H. Weidemann.
- -776 A. J. Dekker. Secondary electron emission. Solid State Phys. 6, 251—311, 1958. Minneapolis, Univ. Minnesota, Dep. Elect. Engng.) Zusammenfassende Darstellung it folgenden Kapiteln: Einführung, experimentelle Daten über die Gesamtausbeute; albempirische Theorie der Sekundär-Emission; Rückstreuung, Reflexion und charakeristische Energieverluste der Primärelektronen; Theorie der Sekundäremission in letallen; verschiedene Eigenschaften der Sekundäremission. 158 Literaturzitäte.

W. Kolb.

- Gerhard K. Grau. Die Energiebilanz im parametrischen Elektronenstrahlverstärker. Urch. elekt. Übertr. 14, 247—255, 1960, Nr. 6. (Juni.) (Wien, T. H., Inst. Hochfrequenzech.) Bei ebener eindimensionaler Energieströmung wird für die Energie- und Feldrändiger Berücksichtigung der Pump- und Signalfrequenz benutzt. Auch bei volltändiger Berücksichtigung der Nichtlinearitäten ist eine getrennte Behandlung der dieich- und mittleren Wechselenergie möglich. In Analogie zu den Manley-Rowedeziehungen läßt sich der Wechselenergieerhaltungssatz in so viel Gleichungen zerlegen, die Erregungsfrequenzen benutzt werden.
- -778 David Middleton. On new classes of matched filters and generalizations of the catched filter concept. Trans. Inst. Radio Engrs, N. Y. IT-6, 349—360, 1960, Nr. 3. Juni.) (Waltham, Mass., Sylvania Electron. Syst., Res. Lab.) Die Struktur, "angepaßter ilter" (matched filters) hängt von dem Charakter der Signale, den statistischen Eigenchaften des begleitenden Geräusches und dem Kriterium für den Optimalbegriff ab.

Während die beiden ersten Merkmale meist a priori bekannt sind, läßt sich der Optim begriff in verschiedener Form fassen. Bei den bisherigen Optimalfiltern wurde maximales Nutz/Störverhältnis am Filterausgang angestrebt. Vf. definiert nun neue u allgemeinere Klassen von "BAYES-Filtern", die auf dem Entscheidungsprinzip beruf (Signal — kein Signal), und die die Entscheidung im Mittel mit geringsten Kosten h beiführen. Es wird gezeigt, daß in einigen wichtigen Fällen bei inkohärentem Empfa Optimalfilter im alten Sinne auch solche im neuen Sinne sind. Die Filter sind im agemeinen zeitabhängig und nicht eindeutig, sie besitzen ein gewisses Maß an Entschungsfreiheit. Es werden sowohl diskrete wie auch kontinuierliche Filter betrachtet.

4-779 Thomas Kailath. Correlation detection of signals perturbed by a random chant Trans. Inst. Radio Engrs, N. Y. IT-6, 361-366, 1960, Nr. 3. (Juni.) (Cambridge, Ma M. I. T., Dep. Elect. Engng, Res. Lab. Electron.) Vf. behandelt theoretisch das folger Problem: Es werde ein Signal xk(t) aus einer endlichen Menge x(t) dem Empfän bekannten Signale endlicher Dauer über einen linearen, aber zeitlich veränderlich und mit begrenzter Speicherfähigkeit ausgestatteten Kanal übertragen. Das estehende Signal zk(t) werde weiterhin durch Gausssches Rauschen n(t) gestört, so die Empfangsfunktion yk(t) = zk(t) + n(t) lautet. Es wird das Optimalfilter im Sivon Woodward gesucht, das die a posterori-Wahrscheinlichkeiten dafür ermittelt, yk(t) ein bestimmtes Element aus der Menge x(t) darstellt. Die Aufgabe schließt i besondere die Signalübertragung bei Fading-Störungen (Mehrwegübertragung Verzögerung) ein. Das Problem wird mit Hilfe elementarer Matrizenrechnung gelien.

4-780 F. W. Brown. Radio propagation research at the National Bureau of Standar Amer. J. Phys. 26, 628-634, 1958, Nr. 8. (Dez.) (Boulder, Co., Nat. Bur. Stand.) Schön

4-781 George W. Haydon. Optimum frequencies for outer space communication. J. I. nat. Bur. Stand. 64D, 105-109, 1960, Nr. 2. (März/Apr.) (Washington, D. C., U. Army Radio Frequency Engng Office.)

- 4-782 E. F. Florman and R. W. Plush. Measured statistical characteristics and narrband teletype message errors on a single-sideband 600-mile-long ultrahigh-frequency trospheric radio link. J. Res. nat. Bur. Stand. 64D, 125-133, 1960, Nr. 2. (März/A) (Boulder, Col., Nat. Bur. Stand., Centr. Radio Propag. Lab.)

 Behnsch
- 4-783 S. R. Seshadri. High-frequency diffraction of plane waves by an infinite slit. I. Proc. nat. Inst. Sci. India (A) 25, 301-321/322-336, 1959, Nr. 6. (26. Nov.) (Cabridge, Mass., Harvard Univ., Gordon McKay Lab.) Die Beugung einer elektromagtischen Welle an einem unendlich langen Spalt der Breite 2 a wird theoretisch behand Der Spalt wird aus zwei Halbebenen unendlich guter Leitfähigkeit und verschwinden Dicke gebildet. Die Formulierung des Problems führt auf eine Integralgleichung, den Spezialfall, bei dem die Richtung der einfallenden elektromagnetischen Welle einer Ebene senkrecht zur Spaltebene liegt und die Ränder des Schlitzes parallel zmagnetischen Vektor der einfallenden Welle liegen, erfolgt die explizite Lösung den Durchlaß-Wirkungsquerschnitt (Durchgelassene Energie pro Einheitslänge Schlitzes: Einfallende Energie pro Einheitsfläche) durch Reihenentwicklung bis Ordnung (ka)-4. Im zweiten Teil der Arbeit wird der andere Spezialfall behandelt, dem die Ränder des Schlitzes dem elektrischen Vektor der einfallenden Welle parsind. Die Reihenentwicklung erfolgt hier bis zur Ordnung (ka)-5/2. Das Lösus verfahren für das verallgemeinerte Problem wird besprochen. Graphische Darstellunder errechneten Ergebnisse sind beigefügt.
- 4-784 V. S. Buldyrev. The investigation of exact solutions of nonstationary diffract problems in the neighborhood of wave fronts. Soviet Phys.-Doklady 4, 1218-1221, Jr. Nr. 6. (Mai/Juni.) (Engl. Übers. aus: Doklady Akad. Nauk SSSR 129, 291, 1959, Nr.
- 4-785 G. A. Grinberg. Diffraction of electromagnetic waves by strip of finite with Soviet Phys.-Doklady 4, 1222-1226, 1960, Nr. 6. (Mai/Juni.) (Engl. Übers. 2) Doklady Akad. Nauk SSSR 129, 295, 1959, Nr. 2.) V. Weideman

- -786 James R. Wait. Propagation of electromagnetic pulses in a homogeneous conducing earth. Appl. sci. Res., Hague (B) 8, 213-253, 1960, Nr. 3. (Danbury, Conn., Newbort Exploration Ltd.)
- 787 V. P. Shestopalov, K. P. Jatsuk and N. D. Bugay. The registration of the periodic roperties of the spiral in measuring the permittivity with the spiral waveguide method. h. tech. Fis. 30, 460-463, 1960, Nr. 4. (Apr.) (Orig. russ.) V. Weidemann.
- 788 Bengt Enander. On microwave propagation in a plasma-filled coaxial line. Ericsson ech. 16, 59–75, 1960, Nr. 1. (Stockholm, Royal Inst. Technol., Electron. Dep.) he Ausbreitung von Mikrowellen (1 bis 3 GHz) in einer Koaxialleitung, in der eine Gasentladung brennt, wurde experimentell untersucht. Die Gasentladung (Ar, 10^{-3} bis 10^{-1} Torr) verläuft radial zwischen Außenleiter (5 cm ϕ) und Innenleiter (2,2 cm ϕ), vobei der Außenleiter als Kathode fungiert; der Entladungsstrom beträgt maximal A. Auf diese Gasentladung wirkt außerdem ein axiales Magnetfeld (bis 800 Gavss), das urch eine 40 cm lange Spule erzeugt wird. Bei Variation der Versuchsbedingungen ann man eine maximale Dämpfung von 40 dB erreichen. Sie kommt dadurch zustande, laß die Mikrowellenenergie von der Gasentladung absorbiert wird.
- 789 A.N. Akhiezer. About connection of two waveguides by means of the opening in the arge wall. Sh. tech. Fis. 30,851—854,1960, Nr. 7. (Juli.) (Orig. russ.) Die Anwendung der luasistationären Theorie Bethes (Phys. Rev. 66, 163, 1944) zur Berechnung der Koppung zweier Hohlleiter durch ein Loch in der gemeinsamen Breitseite ergibt bei endlicher Vandstärke Resultate, die vom Experiment nicht bestätigt werden. Vf. erhält bei Sessungen an Richtkopplern mit 9370 MHz bis zu 15 dB Abweichungen von der Theorie. Mit zwei empirischen Faktoren korrigiert, stimmt die Formel bis auf 2,2 dB Abweichung mit den Messungen überein. Die korrigierte Formel wurde noch durch Messungen bei 2800 und 37500 MHz bestätigt.
- 1-790 Susumu Okazaki and Hiroshi Oki. Measurement of lifetime in Ge from noise. Phys. Rev. (2) 118, 1023—1024, 1960, Nr. 4. (15. Mai.) (Iakyama, Jap., Univ., Fac. Sci., Dep. Phys.) Aus dem zusätzlichen Stromrauschen bei 1,6 MIIz, das durch Belichtung eines Teilstücks der Probe verursacht wird, wird unter der Annahme, daß die Rauscheistung der Zahl der zusätzlich erzeugten und rekombinierenden Minoritätsträger lirekt proportional ist, die Lebensdauer der Minoritätsträger bestimmt. Harbeke.
- 4-791 A. U. MacRae and H. Levinstein. Surface-dependent 1/f noise in germanium. Phys. Rev. (2) 119, 62-69, 1960, Nr. 1. (1. Juli.) (Syracuse, N. Y., Univ., Phys. Dep.) Degleich eine befriedigende Erklärung für das 1/f-Rauschen in Halbleitern noch austeht, geht aus mehreren Arbeiten ein Zusammenhang mit den Oberflächeneigenhaften hervor. Vff. versuchen durch gleichzeitige Messung des Stromrauschens und les Feld-Effekts exakte Beziehungen zwischen den Oberflächenparametern und dem /f-Anteil festzustellen. Das 1/f-Rauschen hängt in der Weise von der umgebenden Atmosphäre ab, daß es mit abnehmender Relaxationszeit der Oberflächenzustände unimmt. Es nimmt weiter sehr stark zu, wenn durch das Querfeld die Oberflächenchicht im Leitungstyp gegenüber dem Volumen konvertiert wird, wodurch auch seine Cemperaturabhängigkeit erhöht wird. Es wird kein zusätzlicher 1/f-Anteil festgestellt, ler auf Ladungstransport zwischen dem Volumen und den "langsamen" Oberflächenuständen schließen läßt.
- -792 W.E. Vivian. Transport of noise at microwave frequencies through a spaceharge-limited diode. J. appl. Phys. 31, 957-962, 1960, Nr. 6. (Juni.) (Ann Arbor, Mich., Iniv., Dep. Elect. Engng, Radiat. Lab.) Mathematische Analyse der Unterdrückung es Schrot-Effektrauschens durch das Raumladungsgebiet. Abnahme des Effekts mit teigender Frequenz.
- -793 **J. E. Meggitt.** Error correcting codes for correcting bursts of errors. IMB-J. Res. Dev. 4, 329-334, 1960, Nr. 3. (Juli.) Bei datenverarbeitenden Prozessen tritt häufig der all ein, daβ Fehler durch Rauschen nicht in statistischer Verteilung, sendern gehäuft

(in "bursts") auftreten. Die fehlerkorrigierenden Kodes müssen dieser Erscheinu Rechnung tragen. Vf. gibt ein Transformationsverfahren für Kodes von Abramso Melas u. a. an, nach welchem sie für diesen Zweck geeignet sind.

Kallenbach
4-794 C.T.J. Alkemade. On the problem of brownian motion of non-linear system
Physica 24, 1029-1034, 1958, Nr. 12. (Dez.) (Utrecht, Rijks-Univ., Fys. Lab.) I
einen nicht linearen RC-Kreis, der aus einer idealisierten Diodenröhre im thermisel
Gleichgewicht und einem Kondensator besteht, wird in erster Näherung eine kinetise
Ableitung der spektralen Rauschintensität S für relativ hohe Frequenzen angegeb
Drückt man die Rauschintensität S in Termen der Durchschnittsleitfähigkeit
Diodenröhre aus, findet man die gebräuchliche Nyquist-Formel versehen mit ein
Korrekturfaktor, der dem nichtlinearen Effekt zu verdanken ist. Der Widerspruch in
den von MacDonald (Ber. 37, 1358, 1958) und von van Kampen (Ber. 38, 210, 19
erhaltenen Ergebnissen auf der Grundlage einer sehr allgemeinen Hypothese, bei welch
der Mechanismus des das Rauschen erzeugenden Elementes kinetisch nicht im einzeln
bezeichnet ist, wird diskutiert.

4-795 P. R. Melsaac and I. Itzkan. A new class of switching devices and logic element Proc. Inst. Radio Engrs, N. Y. 48, 1264—1271, 1960, Nr. 7. (Juli.) (Great Ne N. Y., Sperry Gyroscope Co.) Vff. beschreiben Elemente, die es ermöglich durch Mikrowellensignale andere Mikrowellensignale zu steuern, und die in he kömmlicher Klystron- oder Wanderfeldröhren-Technik aufgebaut sind. Schaltzeit unter 1 ns lassen sich erreichen. Vff. diskutieren die notwendige Bandbreite (> 5 Gür 1 GHz Taktfrequenz), Fehlerquellen und Nachteile (Verzögerung des Ausgansignals, Größe und hoher Preis) dieser Elemente. Ein Versuchsmodell ließ sich in 1 schalten. — Außer als logische Elemente können diese Bauteile auch für ns-Impugeneratoren, Frequenz-Konverter und schnelle Koinzidenz- und Antikoinzidenz-Det toren eingesetzt werden.

4–796 A. A. Aref'ev. Three-channel amplifier equipment for thermocouples. Measument Tech. 1959, S. 120–121, Nr. 2. (Febr.) (Engl. Übers. aus: Ismeritelnaja Techni 1959, S. 34.) An Hand eines Schaltplanes wird ein Verstärker zur Verstärkung v Thermospannungen beschrieben. Meßbereiche: 0 bis 6 mV, 0 bis 12 mV und 0 18 mV. Bei einem Außenwiderstand von 3,5 Ω beträgt der maximale Ausgangsstr70 mA. Die Abweichungen des Ausgangsstroms von der Linearität sind kleiner \pm 0,5 mA.

Hans Georg Wahsweiler. Entwicklung optimaler Breitband-Rundstrahltennen. Z. angew. Phys. 12, 450-461, 1960, Nr. 10. (Okt.) (Marburg/Lahn, Un Inst. angew. Phys.) Die Arbeit befaßt sich mit der Aufgabe, eine Rundstrahlanter von solcher Form zu finden, daß ihr Eingangsscheinwiderstand über mehrere Okta an den reellen Wellenwiderstand der Speiseleitung optimal angepaßt ist, während s ihr Strahlungsdiagramm mit der Frequenz möglichst wenig ändert und ihre Lä im Verhältnis zur größten Betriebswellenlänge möglichst gering ist. Die strenge handlung des Randwertproblems wird durch eine Störungsrechnung ersetzt und es v eine Näherungsformel abgeleitet, die die Änderung des Reslexionsfaktors am Antenn eingang infolge einer Formänderung des Antennenumrisses darstellt. Von dieser For ausgehend wird ein Verfahren zur Ermittlung von Rundstrahlern mit vorgesch benem Wellenwiderstand und optimalem Frequenzgang entwickelt. Anschließend v eine Schar Rundstrahlerprofile mit günstigsten Widerstandseigenschaften vorgefü und besprochen. Das Richtdiagramm einer jeden dieser Antennen stimmt in er Näherung mit dem einer Kegelantenne von etwas kleinerem Öffnungswinkel über Kautte:

4-798 Ronold King and Charles W. Harrison. Half-wave cylindrical antenna i dissipative medium: Current and impedance. J. Res. nat. Bur. Stand. 64D, 365-1960, Nr. 4. (Juli/Aug.) (Albuquerque, N. M., Sandia Corp.) Vff. untersuchen die chateristischen Größen einer λ/2-Antenne, die in einem Dielektrikum eingebettet ist. Integralgleichung für die Stromverteilung auf der Antenne wird nach einem besond Verfahren gelöst. Die Amplitude des Stromes wird mit wachsender Leitfähigkeit

P61 IX. 16. Physik der elektrisch

ie Antenne umgebenden Mediums kleiner. Wesentlich ist die relativ starke Änderung es Eingangswiderstandes der Antenne bei Änderung der Leitfähigkeit. Die berechnete mpedanzverschiebung gestattet es, Antennen als Sonden etwa bei Plasmaunteruchungen einzusetzen.

4-799 A. C. Wilson. Impedance of a corner-reflector antenna as a function of the diameter and length of the driven element. J. Res. nat. Bur. Stand. 64D, 135—137, 1960, Nr. 2. März/Apr.) (Boulder, Col., Nat. Bur. Stand., Centr. Radio Propag. Lab.)

sennsch.

- 1-800 Isao Takahashi, Tsuneo Hashi, Masaru Yamano, Motokazu Yamamoto, Shireyoshi Suzuki and Tsutomu Makita. Maser oscillation on 6-6 line of $N^{15}H_3$. J. phys. Soc. Japan 15, 531—532, 1960, Nr. 3. (März.) (Kyoto, Univ., Fac. Sci., Dep. Phys.; Dep. Chem.) Vff. untersuchen die Maser-Oszillation der $N^{15}H_3$ 6-6 Linie in Abhängig-ceit vom Druck in der Quelle und von der Fokussierungsspannung und vergleichen sie uit dem Verhalten der $N^{14}H_3$ 3-3 Linie. Sie verwendeten $N^{15}H_3$, hergestellt aus mit 38% N^{15} angereichertem Ammoniumsulfat, und natürliches Ammoniak. Das Intensitätsverhältnis der beiden Linien weicht sehr stark vom theoretischen Wert 1 ab, hervorgerufen durch die gegenseitige Beeinflussung von $N^{14}H_3$ und $N^{15}H_3$.
- 4-801 J.W. Coltman and A. E. Anderson. Noise limitations to resolving power in electronic imaging. Proc. Inst. Radio Engrs, N. Y. 48, 858-865, 1960, Nr. 5. (Mai.) Pittsburgh, Penn., Westinghouse Res. Labs.) Die theoretische und experimentelle Untersuchung der Auflösungsgrenze der Fernsehübertragung zeigt, daß die eben noch erkennbare Linienzahl eines Balkenrasters mit sinusförmigen Übergängen bei gegebener Bandbreite dem Verhältnis Signalstrom zu Rauschstrom proportional ist. Bei gegebener Rauschleistung pro Bandbreite ist sie unabhängig von der oberen Grenzfrequenz des Rauschspektrums. Der Einfluß eines vom Signal unabhängigen bzw. abhängigen Rauschens, des Kontrastes und einer speichernden Bildwiedergabe werden untersucht.

4-802 Robert H. Dimond. Interplanetary telemetering. Proc. Inst. Radio Engrs, N. Y. 48, 679-685, 1960, Nr. 4. (Apr.) (Orlando, Fla., Radiation, Inc., Res. Div.)

V. Weidemann.

- J. A. Swanson. Physical versus logical coupling in memory systems. IBM-J. Res. Dev. 4, 305-310, 1960, Nr. 3. (Juli.) Vf. betrachtet bistabile Speicherelemente aus Ferriten, Ferroelektriken und ähnlichen Materialien, die jeweils ein bit zu speichern gestatten. Die Speicherkapazität bei einer vorgegebenen Menge des Speichermaterials läßt sich dadurch vergrößern, daß die Speicherelemente möglichst klein gemacht werden. Es besteht dabei jedoch eine Grenze, weil bei zu kleinen Elementen die Speicherung infolge des quantenmechanischen Tunnelessektes und durch die Wärmebewegung unzuverlässig wird. Diese Unsicherheit kann durch physische Kopplung mehrerer Elemente oder durch Einführung von Redundanz ("logische Kopplung", fehlerkorrigierende Kodes) bis zu einem gewissen Grade ausgeglichen werden. Unter Berücksichtigung dieser Gesichtspunkte wird die optimale Größe für ein Speicherelement berechnet. Ist die Wärmewirkung die größte Fehlerquelle, so liegt die optimale Größe bei weniger als 100 Elementarspeichern (Elektronenspins, Dipolen u.s.w.). Bei der Untersuchung wurden die in der Praxis auftretenden Komplikationen bei der Kodierung sowie der Ein- und Ausgabe der Information nicht berücksichtigt. Kallenbach.
- 4-804 S. Garbe, A. Klopfer and W. Schmidt. Some reactions of water in electron tubes. Vacuum, Lond. 10, 81-85, 1960, Nr. 1/2. (Febr./Apr.) (Aachen, Philips Ind. GmbH., Zentrallab.) Aus den Untersuchungen der Vff. ergibt sich, daß beim Abpumpen von Elektronenröhren hauptsächlich Wasser von den Oberflächen und aus den verschiedenen Materialien desorbiert, insbesondere von Glas und Glimmer. Bei kurzer Entgasungszeit überwiegt die Wasserdampfbildung von der Glasoberfläche, wodurch die Oberflächenbedeckung mit Wasser abnimmt. In abgeschlossenen Systemen wird Wasserdampf an den Oberflächen adsorbiert oder reagiert mit verschiedenen Materialien, z. B. mit der heißen Kathode, wodurch sich H₂, CO₂ CO und CH₄ bildet, oder mit dem Barium-Getter, was H₂ und CH₄ ergibt. Nach Erwärmung des Getters einer Fernsehbildröhre

und Einlaß von $8\cdot 10^{-3}$ Torr Wasserdampf, enthält die Röhre viel mehr H_2 , CH_4 w CO_2 als nach einer Benutzung von 180 Std. Dauer. Der H_2O -Druck jedoch nimmt v 10^{-5} Torr auf $4\cdot 10^{-9}$ Torr ab. Allgemein ist zu schließen, daß mit zunehmender Wasse dampfbildung höhere Restdrucke von H_2 , CH_4 und CO_2 während der Lebensdauer d Röhren entstehen.

- 4-805 Kazuji Hashimoto, Hideo Iwayanagi and Hiroshi Fukushima. Measureme of gas evolution and absorption from materials used in vacuum tubes. Vacuum, Lond. I 92—99, 1960, Nr. 1/2. (Febr./Apr.) Vff. geben eine Übersicht über die üblichen Method zur Messung der Gasbildung in Vakuumröhren (Sammeln des entstehenden Gases, Gaströmung in Kapillaren und Messung der Druckdifferenz, Strömungsmessen na UEDA) und diskutieren die Empfindlichkeit für verschiedene Gase und die experime tellen Schwierigkeiten. Als Beispiel werden die Entgasungseigenschaften einiger Metaplatten angegeben, gemessen mit einer registrierenden Anordnung der Vff. Die Gassorption und die Gasentwicklung von Titan wird experimentell und theoretisch unt sucht. In einer Titanplatte wächst die Absorptionsgeschwindigkeit beobachtbar Sauerstoff bei 500°C, für andere Gase bei 600 bis 700°C. Bei niedrigen Drucken ist Absorptionsgeschwindigkeit konstant und hängt von den Oberflächeneigenschaft der Metalle, nicht aber von der Diffusion ab. Für polymolekulare Gase ist der Mechan mus der Dissoziation zu betrachten.
- 4-806 G. H. Metson and Edith Macartney. The conductivity of oxide cathodes. V. Solid semiconduction. Proc. Instn elect. Engrs (C) 107, 91-97, 1960, Nr. 11. (Mär
- 4-807 A. Lallemand, M. Duchesne and G. Wlérick. La photographie electronique Advanc. Electron. 12, 5-16, 1960. (S. B.) (Paris, Obs.) V. Weidemann.
- 4-808 M. R. Barber and K. F. Sander. The calculation of electrostatic electron-gun p formance. J. Electronics (1) 7, 465-481, 1959, Nr. 6. (Dez.) (Auckland, N. Zeal., Na Res. Labs.; Cambridge, Univ. Engng Lab.) Diese Bestimmungsmethode, die mit Hi des Elektrolyttank-Simulators arbeitet, besteht aus sechs Schritten: 1. Bestimmu einiger (hier von sechs) Elektronenbahnen und Flugzeiten ohne Raumladung. 2. A änderung der Flugzeiten, um die Konvergenz zu beschleunigen. 3. Punktweise Berec nung des Feldes über der Kathode, das durch den Einheitsstrom zwischen zwei Bahn hervorgerufen wird. 4. Algebraische Berechnung der Stromdichte aus dem Ausglei zwischen dem Feld des Kathodenpotentials und der Raumladung. 5. Bestimmung der Flugbahnen unter Berücksichtigung der Raumladung. 6. Iteration. Das Versucl arrangement wird genau beschrieben und anschließend über die Untersuchung von verschiedenen Elektronenkanonen berichtet, wobei sich herausstellt, daß diese im a gemeinen nichtlaminare Elektronenstrahlen liefern.
- 4-809 B. Meltzer. Triode Pierce guns. J. Electronics (1) 7, 491-496, 1959, Nr. 6. (De (Edingburgh, Univ.) PIERCE-Elektronenkanonen wurden bisher hauptsächlich als D den gebaut und waren dieserart wenig für den Modulationsbetrieb geeignet. Jede Die kann jedoch durch PIERCE-Trioden ersetzt werden, in denen Elektroden entlang irger welcher Äquipotentialflächen eingebaut werden, von deren Anordnung abhängt, ob Triode mit positiver oder negativer Vorspannung arbeitet. Einige theoretische Betratungen geben Außehluß über den Verstärkungsfaktor und den Durchgriff von PIERT Trioden, was zu einer Anwendung der PIERCE-Methode auf die Auslegung von Triod mit negativer Gittervorspannung führt, wie sie in Kathodenstrahl- oder Aufnahr röhren verwendet werden.
- 4-810 R. Hübner. Automatik- und Zählschaltungen mit Kaltkathodenröhren. Feinwe technik 64, 349-351, 1960, Nr. 10. (Okt.) (Baden/Schweiz.) Anwendungen der Kakathodenröhren, darunter eine Zählröhre mit einer Schaltfrequenz von 10⁶/s.
- H. Ebert. 4-811 H. Hubert et J. P. Freytag. Méthode de recouvrement de cathodes à oxydes pentrifugation. Vide, Paris 15, 234-250, 1960, Nr. 87. (Mai/Juni.) (Orsay, Co. G. TSF.) Es hat sich gezeigt, daß gute Überzüge auf Oxydkathoden mittels Zentrifugier

rgestellt werden können. Dabei werden allerdings auch nicht emittierende Teile begt. Das Verfahren aber ist einfach, für mehrere Stücke zugleich möglich und liefert produzierbar dicke Überzüge auf den verschiedenen Kathoden. (a. Zfg.)

H. Ebert.

X. Aufbau der Materie

- 1812 Kurt Hunger. Quantitative Analyse des Infrarot-Spektrums des AO-Sternes Ipha Lyrae. Z. Astrophys. 49, 129–150, 1960, Nr. 2. (26. Jan.) (Hannover, T. H., Inst. heor. Phys.) Die Äquivalentbreiten von 16 Linien der Elemente N, O, Mg, Si und Ca Infraroten und die Profile von H_{α} , P 12 und P 13 werden berechnet unter Verwendung 1955 vom Vf. vorgeschlagenen Atmosphärenmodells M IV. Für die Metallinien ereist sich die Dämpfung als sehr wesentlich. Diese wird berechnet unter besonderer erücksichtigung des quadratischen STARK-Effekts. Zum Schluß werden in einer Tabelle Elementhäufigkeiten, die sich aus dem Spektrum der Vega ergeben, zusammenstellt und verglichen mit anderen zuverlässig bestimmten stellaren und solaren Häufigeiten.
- -813 G. V. Gorshkov, F. M. Karavaev and N. S. Shimanskaya. Assaying radium reparations for radium content. Measurement Tech. 1959, S. 222—223, Nr. 3. (März.) Engl. Übers. aus: Ismeritelnaja Technika 1959, S. 52.) Vff. untersuchten an 3 sorgfältig preinigten Radiumpräparaten, die für kalorimetrische Messungen der Halbwertszeit on ²²⁶Ra bestimmt waren, die Übereinstimmung des gewogenen Radiumgehalts mit em aus Ionisationsstromvergleichen abgeleiteten Wert. Als Vergleichsquellen für die bnisationsmessungen dienten 2 Staats-Standards. Die Wägung lieferte einen durch-chnittlich um 2% höheren Radiumgehalt. Der Einfluß der äußeren und der Selbstbsorption wird diskutiert.
- E14 Wolfgang Schneider. Ein Laufzeitkettenverstärker für kernphysikalische Koinzienzmessungen. Anz. österr. Akad. Wiss. 1959, S. 29, Nr. 3. (S. B.) Der Verstärker ist nit Spanngitterröhren E 180 F bestückt und hat eine Anstiegszeit von 4 ns bei einer pannungsverstärkung von 450. Ausführliche Beschreibung in Acta Phys. Austr.

W. Kolb.

Parine Brinckmann und D. Gerber. Untersuchungen an BF_3 -Proportionalzählehen. Kernenergie 3, 309—314, 1960, Nr. 4. (Apr.) (Rossendorf, Zentralinst. Kernphys.; presden, VEB Vakutronik.) Es wurde gezeigt, daß der Meßfehler durch Eigenaktierung der Aluminium- bzw. Kupferkathoden in Neutronenssissen bis $5 \cdot 10^6$ Neutroen/cm²·s bei geeigneter Wahl der Zählrohrspannung vernachlässigt werden kann. Die erkürzung des Zählrohrplateaus bei Vorhandensein eines starken Gammastrahlenntergrundes ist um so ausgeprägter, je höher der BF_3 -Druck im Zählrohr ist. Die Lagereständigkeit von BF_3 -Zählrohren mit Kupferkathode ist bei gleichartiger Vorbehanding wesentlich besser als die von Glaszählrohren mit Aquadag-Kathode. Das BF_3 -Gasuß vor dem Einfüllen einer mehrfachen Vakuumdestillation unterworfen werden, ährend mehrfache "soak"-Füllungen nicht erforderlich sind. Es wird eine Näherungsurmel für die Abhängigkeit der Impulslebensdauer von der Gasverstärkung angegeben. ie relative Häusigkeit des Überganges in den Grundzustand einer ^{10}B (n, α) Li-Reaktion urde aus der differentiellen Impulshöhenverteilung zu $(6,51 \pm 0,05)$ % ermittelt.

K. H. Oertel.

816 K. H. Oertel, J. Büttner und Ch. Weissmantel. Die Dissoziation von Isopentan Geiger-Müller-Zählrohren. Kernenergie 3, 422—424, 1960, Nr. 5. (Mai.) (Dresden, EB Vakutronik; T. H., Inst. Elektrochem. u. Phys. Chem.) Die Zersetzung des Löschumpfes in Zählrohren, die mit Isopentan-Argon gefüllt waren, wurde massenspektroctrisch untersucht und mit der Änderung der Plateaukenngrößen als Funktion der npulslebensdauer verglichen. Änderungen des Massenspektrums, die nach 1 bis 3·407 npulsen deutlich bemerkt werden, wirken sich auf die Güte des Zählrohres erst nach 1. 1·108 Impulsen aus. Neben einer Zunahme der Methan-Linie, die aus dem Molekül-

aufbau des Isopentans zu erklären ist, treten im Laufe der Alterung verstärkt Acety (ME = 26) und Äthylen (ME = 28) auf, die beide zur Polymerisation neigen und du Erzeugung fester Niederschlagsprodukte auf der Kathode die Lebensdauer des Zärohres begrenzen.

K. H. Oertel

4-817 R. A. R. Palmeira and K. G. McCracken. Observation of a short-lived cosmic-solar flare increase with a high-counting-rate meson detector. Phys. Rev. Letters 5, 15—1960, Nr. 1. (1. Juli.) (Cambridge, Mass., Inst. Technol., Phys. Dep., Lab. Nucl. S Drei große Zählrohrteleskope mit einer wirksamen Fläche von 10 m² liefern 1. Werte 6 Minuten, 2. Stundenwerte und 3. zusammengefaßt 30 Sekundenwerte. Am 4. Mai 1 wurde bei den letzteren Werten ein Anstieg der Strahlung um 6%, dem Vierfachen statistischen Fehlers gegen 10,32 Weltzeit beobachtet, der etwa 5 Minuten anhi In den übrigen Auswertungen wurde nichts Besonderes festgestellt. Die Zunahme Strahlung ist wahrscheinlich durch eine Sonneneruption der Größe 2 verursacht.

4-818 W. F. Merritt. System for counting tritium as water vapor. Analyt. Chem. 1745-1747, 1958, Nr. 11. (Nov.) (Chalk River, Ontario, Atomic Energy Canada, L Environmental Res. Branch, Biology Helath Phys. Div.) Es wird über eine Meth und eine Versuchseinrichtung berichtet, welche die Auszählung des Tritiums als Was dampf in einem heizbaren, mit Methan gefüllten Proportionalzähler gestattet. Die l führung der Probe und die Kalibrierung mit einer Standardprobe werden näher schrieben. Die Reproduzierbarkeit wird mit $\pm 2\%$ angegeben. Kirchne

4-819 R. N. Glover. Aluminium proportional counter for the measurement of low neutron flux. Nuclear Instrum. 3, 316-319, 1958, Nr. 6. (Dez.) (Barrow-in-Furn Vickers-Armstrongs Ltd.) Ein einfaches Geiger-Müller-Aluminiumzählrohr ist de Nachweis des 3-Zerfalls von ²⁷Mg (Halbwertszeit 9,8 min), das infolge der Reak ²⁷Al(n, p) ²⁷Mg in der Wandung durch schnelle Neutronen erzeugt wird, ein Neutron flußdetektor, der gegenüber den üblichen Schwellenwertdetektoren eine Empfindlikeitssteigerung aufweist. Es können hiermit noch schnelle Neutronenflüsse von acm-²s-¹ nachgewiesen werden. Zählercharakteristiken und Empfindlichkeit wei diskutiert.

4-820 K. Subrahmanyam. An instrument for measuring the activity of radioisotope sci. industr. Res. 19 Λ, 212-215, 1960, Nr. 5. (Mai.) (Trombay, Bombay, Atom. Est., Electron. Div.) Eine Luftionisationskammer aus 3 koaxialen Zylindern (it 4,5 cm ∅, Sammelelektrode als Cu-Netz 7 cm ∅, außen 9,5 cm ∅) ist sowohl für Messung von γ-Strahlern (Einführung in inneren Zylinder) als auch von β-Strahlern gerichtet. Im letzteren Fall wird das Präparat durch einen Schieber direkt unter Boden des Außenzylinders gebracht, der an dieser Stelle aus einer Al-Folie von 2,9 cm² besteht. Meßbereiche 0,01 bis etwa 2500 mg Ra-Äquivalent für γ-Strahler und 0,5 με aufwärts für ³²P, als Beispiel für β-Strahler. Ionisationsstrom wird in Gleichst verstärker mit Elektrometerröhre CK 5886 und 6 AK5 als Kathodenfolger verstä Sättigung für Kammerspannungen von 5 V (1,28 mc 6°Co) bis 28 V (2,5 c 6°Co).

Ramthu

4-821 L. H. Johnston, D. H. Service and D. A. Swenson. Inelastic nuclear reaction protons in scintillators. Trans. Inst. Radio Engrs, N. Y. NS-5, 95—98, 1958, N. (Dez.) (Minneapolis, Minn., Univ., School Phys.) Bei spektrometrischen Untersuchur von Protonen treten infolge (p, n)-Prozessen in Szintillationskristallen Energie schmierungen auf, die durch Beschuß dieser Kristalle mit monoenergetischen Proteines Linearbeschleunigers untersucht wurden. Die Energieverschmierung betru NaJ (Tl) 0,41%, 1,2%, 2,3% für 10, 28, 40 MeV Protonen und in Scintilon 0,82%, 26,4% für 10, 40, 68 MeV.

4-822 Michel Vergnes et Raymond David-Boyer. Essai d'utilisation d'un cristal pur comme détecteur γ en coincidence rapide. J. Phys. Radium 21, 65-67, 1960, N (Jan.) (Orsay, Lab. Phys. Nucl.) Die Versuche zeigen, daß NaJ (rein)-Kristalle merkliche Verbesserung gegenüber NaJ (Tl)-Kristallen als Empfänger ergeben.

- -823 Frantisek Lehar. Wirkungsgrad der Szintillationszähler für schnelle Neutronen. zech. J. Phys. 8, 583—591, 1958, Nr. 5. (Orig. russ. m. dtsch. Zfg.) (Prag. Tschechosl. kad. Wiss., Inst. Kernphys.) Durch Einmischen von ZnS (Ag) in Paraffin, Polymethyletacrylat, Polystyrol wurden Szintillatoren hergestellt und deren Ausbeute für ihnelle Neutronen in Abhängigkeit von der ZnS-Korngröße, dem Gehalt an ZnS und der intillatordicke untersucht.
- 824 G.Finocchiaro, R.Finzi and L.Mezzetti. How much do wave length shifters used r Čerenkov counters scintillate? Nuovo Cim. (10) 15, 317—322, 1960, Nr. 3. (1. Febr.) Roma, Univ., Ist. Fis.; Ist. Naz. Fis. Nucl.) Es wurden verschiedene Substanzen beigieh ihrer Eigenschaft, das ultraviolette Čerenkov-Licht in das sichtbare Gebiet zu rschieben, untersucht: 1. β-Methyl-Umbelliferone in Wasser, 2. Popop in Tetradorkohlenstoff und 3. kristallines Natriumsalycilat. Mit Hilfe einer Čerenkov-Lichtuelle (89Sr + 6mm H₂O), bei der die ionisierenden Teilchen wahlweise am Eintritt in die utersuchte Flüssigkeit gehindert werden können, wurde festgestellt, daß bei den ubstanzen 1 und 2 die Vergrößerung der Lichtausbeute in starkem Maße auf Szintiltionseffekten beruht. Substanz 3 bewirkt eine echte Wellenlängenverschiebung, die rößer als die von MgO ist, jedoch wird die Wirksamkeit als Wandmaterial eines Zählers urch geringere Reflektivität herabgesetzt.

 K. H. Oertel.
- -825 W. R. Harding, C. Hilsum, M. E. Moncaster, D. C. Northrop and O. Simpsonallium arsenide for γ-ray spectroscopy. Nature, Lond. 187, 405, 1960, Nr. 4735. (30. Juli.) Baldock, Herts., Serv. Electron. Res. Lab.) n- oder p-leitendes Galliumarsenid von $0^6 \Omega$ cm in Scheiben von $1 \times 0.2 \times 0.1$ cm³ wird als Zähler für geladene Teilchen und Strahlen mit Reichweiten über 1 mm vorgeschlagen.
- -826 A. W. Knudsen and R. Hofstadter. A sodium iodide (Tl) total absorption spectroleter for high energies. Trans. Inst. Radio Engrs, N. Y. NS-5, 152-155, 1958, Nr. 3. Dez.) (Stanford, Calif., Univ., High-Energy Phys. Lab., Dep. Phys.) Mit Elektronen bis a 600 MeV testeten Vff. einen $9^1/2'' \times 9^1/2'' \oslash NaJ$ (Tl)-Kristall. Die Energieauflösung etrug 14%, 17% bei 350 MeV und 600 MeV, die Linearität der Impulshöhe in Abhängigeit von der Elektronenenergie war bis zu 600 MeV erfüllt. Die theoretische und experientelle Impulshöhenverteilung der Elektronenstrahlen werden verglichen. Der Aufbaues luftdicht abgeschlossenen Kristalls und seine optische Verbindung mit dem Sekunärelektronenvervielfacher sind angegeben.
- -827 K. K. Aglincev und V. P. Kasatkin. Eine auf Untersuchungen der Elektronenbektren in den Feldern von β-Strahlern beruhende β-Dosimetriemethode. Kernenergie 3, 52-455, 1960, Nr. 5. (Mai.) V. Weidemann.
- -828 J. J. Brown, R. I. Reed and W. Simpson. Magnetically operated mass-marker. sci. Instrum. 37, 236-238, 1960, Nr. 7. (Juli.) (Glasgow, Univ.) Ein Teil des Erregertromes des Ablenkmagnetleldes eines Massenspektrometers wird über einen in Stufen gelbaren Spannungsteiler geleitet. Dadurch wird eine Röhrenkippschaltung angestoßen, enn der Erregerstrom zwischen 50 bis 290 mA um jeweils 10 mA zugenommen hat. Die Lippschaltung erzeugt eine Strommarke auf dem Massenliniendiagramm und schaltet en Spannungsteiler automatisch in erforderlicher Weise für die nächste Stromstufeum. Durch entsprechende Dimensionierung des Spannungsteilers könnte erreicht werden, aß die Strommarken mit ausgewählten Massenlinien zusammenfallen, wenn man das einzip der Umschaltung in gleichen Stromschritten verläßt. Die Abhängigkeit der larkierung von den Hysterese-Effekten des Magneten wird diskutiert. Der experimentelle Fehler der Anlage beträgt ca. 1 ME im Bereich der Masse 500.

K. H. Oertel.

- -829 P. I. Vacet, S. G. Tonapetjan und G. A. Dorofeev. Ein Neutronendetektor konanter Empfindlichkeit für Neutronen mit Energien zwischen 0,025 und 14 MeV. Kernnergie 3, 399-401, 1960, Nr. 4. (Apr.) (Übers. aus: Atomn. Energ. 7, 172, 1959, V. Weidemann.
- -830 E. Schönheit. Massenspektrometrischer Ionennachweis mit dem Ionenwandlerletektor. Z. Naturf. 15a, 839-841, 1960, Nr. 9. (Sept.) (Berlin, Freie Univ., I. Phys. ast.) Es wird eine als Ionenwandler-Detektor bezeichnete Anordnung beschrieben, in

der die zu registrierenden Ionen, aus dem Analysatorspalt des Massenspektrometers komend, auf eine jalousieartige Cu-Be-Blechelektrode treffen und dort Sekundärelektrometers auslösen. Diese werden mit einer Rohrlinse auf einen Leuchtschirm fokussiert; das ihm entstehende Licht wird auf die Kathode des Photomultipliers (RCA 931 A) gebildet. — Der Verstärkungsfaktor $V = J_A/J^+$ ($J_A = \text{Anodenstrom}$ des Multiplie $J^+ = \text{Ionenstrom}$) wurde für verschiedene Ionenarten gemessen; er steigt mit der Ionenasse leicht an. — Innerhalb eines Spektrums ließen sich Ionenströme über einen reich von 6 Zehnerpotenzen messen. Die Nullpunktswanderung wird als kleiner $5 \cdot 10^{-20} \, \text{A/h}$ angegeben. Wachsmuth

- 4-831 E. Schönheit. Massenspektrometrische Untersuchung der Photoionisation Wasserstoff. Z. Naturf. 15a, 841-842, 1960, Nr. 9. (Sept.) (Berlin, Freie Univ., I. Ph. Inst.) Zur Fortsetzung früherer Untersuchungen (Ber. 37, 914, 1958) wurde die Appatur um einen Vakuummonochromator erweitert; die Transmission des stigmatisch kussierenden Massenspektrometers wurde vergrößert, die Empfindlichkeit des Ionnachweises gesteigert (s. vorst. Ref.). Eine kondensierte Kapillarentladung in Ar. (50 Hz) diente als UV-Lichtquelle. Als Ionisationsprodukte wurden H+, H½, H⅓ beachtet. Die relative Photoionisierungsausbeute (Zahl der pro Lichtquant, Wegner Druckeinheit erzeugten Ionen im relativen Maß) wurde für H½-Ionen im Wellenläng bereich von der Ionisierungsgrenze bis herab zu 436 Å ermittelt. Als Grenzwellenläng wurde (804 ± 1) Å \triangleq (15,42 ± 0,02) eV Ionisierungsenergie gefunden (Übereinst mung mit spektroskopischem Wert). Bezogen auf die Ausbeute von H½ = 1,0 trug die von H+ = 0,1 von H⅓ = 0,03.
- 4-832 Torsten Alväger. The high-frequency deflection method for measuring short h lives. II. The electron coincidence spectrometer and related arrangements used in connect with the high frequency deflection, time measuring instrument. Ark. Fys. 17, 495−5 1960, Nr. 6. (Stockholm, Nobel Inst. Phys.) Es werden die Dimensionierungsgrundlader früher beschriebenen Anlage erläutert und Hinweise für weitere Verbesserungen geben: 1. Form, Erzeugungsart, Regelung und Fokussierungseigenschaften der Magnefelder (≤ 300 Gauss). 2. Quelle und Detektoren. 3. Linienbreiten mit und ohne HFlenkplatten. 4. Laufzeitdifferenzen der untersuchten beiden Elektronen infolge schiedener Wege in den Magnetfeldern und unterschiedlicher Energie. 5. Hilfsmi zur Vergrößerung der Transmission. Die Laufzeitdifferenzen werden am einfachsten du eine besondere Stellung der Ablenkkondensatoren zum Magnetfeld korrigiert, während Transmission durch eine zylindrische, elektrostatische Linse mit Achsenelektrode (Dre verbessert werden kann. K. H. Oertel
- 4-833 Joachim Trümper, Eine Methode zur Bestimmung der Bahnen ionisierer Teilchen mit Parallelplattenzühlern. Diss. Univ. Kiel, 1959.
- 4-834 Johann Carl Vogel. Isotopentrennfaktoren des Kohlenstoffs im Gleichgewick system Kohlendioxyd-Bikarbonat-Karbonat. Diss. Univ. Heidelberg, 1959.

H. Eber

- 4–835 **H. A. Tasman** and **A. J. H. Boerboom.** Elimination of the radial second of angular aberrations in inhomogeneous field mass spectrometers by inclined plane boundar Z. Naturf. **15a**, 736–738, 1960, Nr. 7. (Aug.) (Amsterdam, Holl., Lab. Massaspec Im Anschluß an vorausgehende Arbeiten (Ber. **38**, 2086, 1959; Ber. **39**, Nr. 6–66–633, 6–634, 9–633, 1960) werden für magnetische Sektorfelder zwischen konisc Polschuhen mit geraden Feldgrenzen bei symmetrischer Objekt- und Bildlage die Chungen gelöst, die das Verschwinden des radialen und axialen Öffnungsfehlers bei gen. Es wird der Tangens des Eintrittswinkels in Abhängigkeit von n mit Φ_{μ} als Pameter graphisch wiedergegeben.
- 4-836 D. C. Newton, J. Sanders and A. C. Tyrrell. Isotopic analysis of silicon by so source mass spectrometry using negative ions. Nature, Lond. 187, 673, 1960, Nr. 4 (20. Aug.) (Towcester, Northants., Plessey Co., Ltd.) In einem A. E. J.-Massenspek meter (Type M. S. 2/S) mit einer Dreifaden-Ionenquelle zur thermischen Ionisierung fe

oben wurden Alkali-Silikate untersucht. Es wurden negative SiO₃--Ionen mit m/eerten von 76,77 und 78 registriert. Die Intensität der Ionenströme war bei Caesiumikat groß, bei Kaliumsilikat klein, bei Naţriumsilikat Null.

Wachsmuth.

- 837 K. Bier. Umkehrung der Trenndüsen-Entmischung in überexpandierten Gasstrahn. Z. Naturf. 15 a, 714—723, 1960, Nr. 8. (Aug.) (Karlsruhe, Kernforschungszentrum u. H., Kernverfahrenstech. Inst.) Zur Erklärung des "negativen" Trenndüsenessektes größerer Entsernung von einer rotationssymmetrischen Düse reichert sich die leichre Komponente eines ausströmenden Gases im Strahlkern an) wird der räumliche erlauf der Entmischung der Argonisotope sowie eines Wasserstoss-Heliumgemisches i verschiedenen Gasdrucken untersucht. Die Mischungsverhältnisse wurden massenektrometrisch bestimmt. Es zeigt sich, daß unter den Versuchsbedingungen, die zu ner negativen Entmischung führen, eine beträchtliche Überexpansion des Strahles ausstr. Für die Größe des negativen Trennessektes, die die des positiven erreichen kann, nd die in stark überexpandierten Strahlen ausstretenden Verdichtungsstöße von Betuung. Als Ursache sür den Essekt wird im wesentlichen die Druckdissusion in dem außen nach innen gerichteten Druckgefälle gefunden, das von den Verdichtungsößen ausgebaut wird.
- 838 P. Preiswerk. Hochenergiephysik. Experientia 16, 222-228, 1960, Nr. 6. 5. Juni.) (Genf, CERN.) V. Weidemann.
- -839 H. D. Beckey. Massenspektrometrische Untersuchungen über Ionen-Molekülaktionen und über die Assoziation des Wassers mit Hilfe einer Feldemissions-Ionenquelle, Naturf. 15a, 822-827, 1960, Nr. 9. (Sept.) (Bonn, Univ., Inst. Phys. Chem.) Es wird ne Feldemissions-Ionenquelle kurz beschrieben, in der eine Rohr- und Schlitzlinsenombination zur Fokussierung verwendet wird. Die dadurch verbesserte Fokussierung höht die Transmission des Massenspektrometers und vermindert — ebenso wie die ühlung der Wolframspitze und der sie umgebenden zylindrischen Beschleunigungsektrode - die Ionenstromschwankungen. Mit der Ionenquelle wird die Abhängigkeit niger Ionen-Molekülreaktionen von der Feldstärke an der Emissionsspitze untersucht. m Methanolspektrum nimmt das Intensitätenverhältnis CH₃OH⁴/CH₃OH⁴, im Spekum des Stickstoffs mit Wasserzusatz das Verhältnis N_2H^+/N_2^+ mit steigendem Feld ark ab. - Bei der Untersuchung der Assoziation des Wassers wurden bei Zimmeremperatur Polymere bis zum $H^+(H_2O)_4$, bei -195° C Polymere bis zum $H^+(H_2O)_{10}$ geinden. Die Assoziationsenergie von zwei Wasserpolymeren wurde ermittelt. - Die eldionisierung des auf der Wolframspitze kondensierten Wassers, die eine viel größere Vahrscheinlichkeit als die der Edelgase hat, wird als Dissoziations-Feldeffekt interretiert; dazu werden Dissoziationsgrad und -geschwindigkeit, die nach ONSAGER nter Einwirkung eines äußeren elektrischen Feldes vergrößert werden, berechnet.
- 7-840 M. von Ardenne und S. Schiller. Über die Erzeugung von Elektronen-Fadenrahlen mit hohem Energietransport. Exp. Tech. Phys. 8, 97—102, 1960, Nr. 3. (Dresden, Veißer Hirsch, Forschungsinst.) Mit Hilfe eines beschriebenen Flektronenstrahlers oher Perveanz ($P = 6 \cdot 10^{-7} \, \text{A} \cdot \text{V}^{-3/2}$) wurden Elektronen-Fadenstrahlen mit 2A trahlstrom und 3 mm Durchmesser bei 22,5 kV Beschleunigungsspannung sowie bei nem Restgasdruck um 10^{-4} Torr hergestellt. Diese Werte entsprechen einem Energieransport von 45 kW, d. h. einem Energietransport, welcher etwa 5 Größenordnungen öher ist als bei den 1929 entwickelten Einheiten (z. B. edelgasgefüllten Oszillographenshren) mit Fadenstrählbildung. Diese Fadenstrahlen hoher Energie finden Anwendung Elektronenstrahlöfen,
- -841 Wilmot N. Hess. Neutrons from (α, n) sources. Ann. Phys., N. Y. 6, 115-133, 259, Nr. 2. (Febr.) (Berkeley, Calif., Univ., Ernest O. Lawrence Rad. Lab.) Die Enerespektren und Ausbeuten von den (α, n) Neutronenquellen Po-Li, Po-Be, Lo-B, u-Be, Ra-Be wurden berechnet und mit experimentellen Werten verglichen. Vf. nahm

an, daß monoenergetische α-Teilchen auf eine dicke Targetplatte auftreffen und Winkelverteilung der erzeugten Neutronen isotrop im Schwerpunktsystem ist. I Einfluß anderer Winkelverteilungen und die elastische Streuung der Neutronen in Quelle wurden untersucht.

- 4-842 V.V. Vladimirsky and V.V. Sokolovsky. Review of pulsed neutron sources neutron spectrometers. Prog. Nuclear Energy (1) 3, 1959, S. 74-87. Zusammenfassen Beschreibung über die in der Sowjetunion aufgebauten schnellen Neutronenzerhack über ein 12 MeV-Zyklotron mit elektrischer Deuteronenstrahlablenkung und ein Elektronen-Linearbeschleuniger mit Uranauffänger.
- 4-843 M. A. Bak, G. V. Gorskov, V. I. Matvienko, K. A. Petrjak and I. F. Roman Radon neutron sources. Bul. Inst. Polit. Iasi (NS) (rum.) (7) 3, 1957, Nr. 4/2, S. 47— (Orig. russ. m. engl. Zfg.) Aus der räumlichen Verteilung der thermischen Neutronen Wasser wurden Quellstärken, Relaxationslängen und mittlere Neutronenenergien v folgenden Neutronenquellen bestimmt: $\operatorname{Rn}(\alpha)\operatorname{Be}, \operatorname{Rn}(\alpha)\operatorname{B}, \operatorname{Rn}(\alpha)\operatorname{C}, \operatorname{Rn}(\alpha)\operatorname{Ca}\operatorname{Rn}(\alpha)\operatorname{Mg}, \operatorname{Rn}(\alpha)\operatorname{A}, \operatorname{Rn}(\alpha)\operatorname{Si}.$
- 4-844 G. I. Zhileiko. On the problem of particle bunching in a travelling wave lin accelerator. J. nuclear Energy 8, 159-162, 1958, Nr. 1/3. (Nov.) Vf. zeigt die Beding gen, die zur Erzeugung von kurzen Elektronenimpulsen in einem Wanderwellen-Line beschleuniger erfüllt sein müssen. Die max. Elektronenenergien in Abhängigkeit der Strahlstromstärke und die Energieflußdichte in der Führungswelle sind angegeb
- 4-845 F. W. K. Firk, G. W. Reid and J. F. Gallagher. High resolution neutron time flight experiments using the Harwell 15 MeV linear electron accelerator. Nuclear Instru 3, 309-315, 1958, Nr. 6. (Dez.) (Harwell, Didcot, Berks., Atom. Energy Res. E. Durch Modulation des Elekronenstrahls im 15 MeV Linearbeschleuniger werden Bretstrahlungsimpulse von 0,2 µs erzeugt, die in einem Uranblock Photoneutronen auslös Ihre Flugdauer bis zu dem 31,8 m entfernten Detektor wird in Zeitintervallen v 0,2 µs bestimmt. Es wird eine Auflösung von 8 mµs/m erreicht. Die Verbesserung Auflösungsvermögens wird an der Messung des totalen Wirkungsquerschnitts von Bi Energiegebiet von 10 bis 20 keV gezeigt.
- 4-846 Jiří Teichman. The influence of fringing on betatron oscillations in an acceler with a sectioned magnet. II. Czech. J. Phys. 9, 388-394, 1959, Nr. 3. (Orig. russ. m. et Zfg.) Der Einfluß der Streufelder an den Rändern der Polstücke auf die Deformat der Gleichgewichtsbahn und Betatronoszillation wird untersucht.
- 4-847 Daniel Cribier. Sur une méthode pour augmenter la luminosité d'un spectrom à temps de vol pour neutrons lents. C. R. Acad. Sci., Paris 251, 230—231, 1960, Nr (11. Juli.) (Saclay, C. E. N.) Um bei einem Flugzeit-Spektrometer für langsame N tronen die Lichtstärke bei gleichbleibender Auflösung zu erhöhen, wird die Dauer vom Monochromator gegebenen Impulse konstant gehalten, die Zwischenzeit v jedoch verkürzt. Ein entsprechend synchronisierter Verschluß läßt nur diejeni Neutronen durch, die im interessierenden Energiebereich liegen. Zahlenbeispiele sangegeben.
- 4-848 Miloš Seidl. Equilibrium state of toroidal electron beam. Czech. J. Phys. 9, 721 735, 1959, Nr. 6. (Prague, Res. Inst. Vacuum Electron.) Theoretische und experim telle Untersuchung der Elektronenverteilung in einem Betatron. Der gesamte Stwird durch seine Perveanz i· U^{-3/2} und seine aus der mittleren transversalen kinetisc Energie berechneten "transversalen Temperatur" charakterisiert. Es wird der stat sche Gleichgewichtszustand unter Berücksichtigung der eigenen Raumladungsdichte mittelt. Die Wechselwirkung von Elektronen verschiedener longitudinaler Geschwin keit wird hierbei vernachlässigt. Die tatsächlich beobachteten Strahlen haben har Temperatur und erreichen nicht die bei verschwindender transversaler Bewegung nliche Dichte. Durch Einführung einer Relaxationszeit kann auch das "Auskühlen"

- rahls bei Einbringung eines Hindernisses beschrieben werden, das die Elektronen t größerer transversaler Amplitude ausscheidet. Die experimentelle Überprüfung beitet an einem ringförmigen Strahl von ca. 20 cm Durchmesser bei U = 5 kV und Schiske.
- 849 A. P. Komar, G. F. Mikheev, V. P. Fominenko and N. N. Tchernov. A new thod for investigation of the electron injection in betatron. Sh. tech. Fis. 30, 855-859, 60, Nr. 7. (Juli.) (Orig. russ.) Es wird eine neue Methode der Untersuchung des Einigs von Elektronen bei Beschleunigung im Betatron beschrieben, hierbei werden die ektronen in eine genau bestimmte, willkürlich wählbare Bahn injiziert und der nfluß von Elektronen von außerhalb wird ausgeschaltet. Der Injektor ist genau berieben, skizziert und abgebildet. Ferner ist das Blockdiagramm der Anordnung, Schaltschema des Generators der rechteckigen Impulse und des Verzögerungsnals wiedergegeben. Man injiziert monoenergetische Elektronen. Die Synchronisation diskutiert.
- 850 Cern Proton Synchrotron Machine Group. Operation and development. Quarterly port No. 1, January-March 1960. CERN 1960, Nr. 60—23, (15. Mai.) S. 1—24.
 V. Weidemann.
- 851 G. Diambrini, A. S. Figuera, A. Serra e B. Rispoli. Risultati preliminari della erminazione dello spettro di bremsstrahlung dell'elettrosincrotrone di Frascati. Nuovo m. (10) 15, 500-503, 1960, Nr. 3. (1. Febr.) (Frascati, C. N. R. N., Lab. Naz.; Roma, N. R. N., Div. Elettron.)

 Behnsch.
- 852 H. Shelton, C. D. Hendricks jr. and R. F. Wuerker. Electrostatic acceleration of croparticles to hypervelocities. J. appl. Phys. 31, 1243--1246, 1960, Nr. 7. (Juli.) os Angeles, Div. Thompson Ramo-Wooldridge, Inc., Res. Lab.) Es wird eine Apparar beschrieben zur elektrostatischen Beschleunigung von Eisenteilchen mit einem urchmesser ~ 1 μm bis zu Geschwindigkeiten von einigen km/s. Die Aufladung der ilchen geschieht an einer Wolframspitze 12 μm Durchmesser bei 20 kV. Teilchenschwindigkeit, Ladung und Masse werden in einem an die Beschleunigungsstrecke schließendem Laufraum elektronisch gemessen.
- 853 S. Balke. Atomkerntechnik als Ergebnis naturwissenschaftlicher Forschung. Math. turw. Unterr. 13, 97—103, 1960/61, Nr. 3. (1. Juli.) Wiedergabe des Festvortrages läßlich der 51. Hauptversammlung des Deutschen Vereins zur Förderung des matheatischen und naturwissenschaftlichen Unterrichts e. V. in Düsseldorf am 11. April 60—
- 854 K. H. Waechter. Nukleare Überwachungssysteme. Tech. Mitt. Haus d. Technik 6, 67-71, 1960, Nr. 2. (Febr.) (Erlangen.) Elementarer, einführender Vortrag, gehalten 11. 1960 in Essen. (Insgesamt 10 Vorträge auf den Seiten 41-98 des gleichen Heftes.) M. Kolb.
- 855 N. I. Laletin. Der Einfluß eines zylinderförmigen Kanals auf die Neutronendiffun. Kernenergie 3, 360-366, 1960, Nr. 4. (Apr.) (Übers. aus: Atomn. Energ. 7, 18, 1959, Nr. 1.)
- 856 V. A. Dmitrievskij und I. S. Grigor'ev. Bestimmung der kritischen Masse und der eutronenfluβverteilung mittels der Methode der physikalischen Nachbildung. Kernenergie 366-370, 1960, Nr. 4. (Apr.) (Übers. aus: Atomn. Energ. 7, 27, 1959, Nr. 1.)
 V. Weidemann.
- 857 A. Z. Akcasu and A. Dalfes. A study of nonlinear reactor dynamics. Nuclear Sci. ngng 8, 89—94, 1960, Nr. 2. (Aug.) (Lemont, Ill., Argonne Nat. Lab.) Die nichtlineare abilität von stationären Reaktorsystemen wird nach 2 Verfahren untersucht. Die nalytische Methode gibt der Theorie der nichtlinearen Stabilität eine feste mathematische rundlage. Die 2. Methode beruht auf dem Stabilitätskriterium von Weinberg und

Ergen für nichtlineare mechanische Systeme und benutzt ein elekrisches Ersatzsch bild. In beiden Methoden kann die Rückkopplung im Reaktorsystem linear oder ni linear sein. Die verzögerten Neutronen werden berücksichtigt. Die bisher von ande Autoren hergeleiteten Stabilitätsbedingungen erweisen sich als Spezialfälle der hier geleiteten Kriterien.

4-858 Hj. Matzke und R. Lindner, Diffusion von Xe-133, Rn-222 und J-131 in Thorioxyd. Z. Naturf. 15a, 645-646, 1960, Nr. 7. (Juli.) (Göteborg, Schwed., T. H., Kchem. Inst.) Im Rahmen einer größeren Versuchsserie wurde die Beweglichkeit Spaltprodukten in Thoriumoxyd — was im Hinblick auf keramische Brenn-Brutelemente besonders interessant ist — untersucht. Da überdies zur Kenntnis Diffusion von Gasen in Festkörpern beigetragen werden sollte, wurde auch ²²²Rn in Kreis der Untersuchungen einbezogen. Die Meßapparaturen und der Bestrahlu mechanismus werden genau beschrieben. Die Ergebnisse: Die Absolutwerte der Diffuvon Xe in ThO₂ sind kleiner als in UO₂. Die Aktivierungsenergie bei ThO₂ ist geri als die bei UO₂. Absolute Diffusionswerte und Aktivierungsenergie für ²²²Rn in Tsind denen mit UO₂ vergleichbar.

4-859 Ernst Bayer und H. Möllinger. Mikrobestimmung, selektive Abtrennung Anreicherung von Uran mittels Schiffscher Basen. Angew. Chem. (A) 71, 426—1959, Nr. 13. (7. Juli.) (Karlsruhe, T. H., Inst. Organ. Chem.) Organische Kompbildner neigen zur Ausbildung sehr stabiler Uran-Komplexe, welche stabiler sind als entspr. Nickel- und Kobalt-Verbindungen. Dies kann sowohl zur spezifischen UBestimmung als auch zur selektiven Anreicherung und Abtrennung des Uranylvon anderen Metallionen benutzt werden. Mit Glyoxal-bis(2-hydroxyanil) läßt spezifisch bis zu 1 γ U/ml photometrisch als rotviolettes Dioxo-glyoxal-bis(2-hydranil)-uran(VI) bestimmen. Durch Einbau der komplexbildenden Gruppierung des oxal-bis(2-hydroxyanils) in Makromoleküle werden makromolekulare Komplexbilderhalten, welche ähnlich Kationenaustauschern, aber unvergleichlich selektiver, Anreicherung und Abtrennung des Urans geeignet sind. Die makromolekularen Kplexbildner werden mit verd. Säuren regeneriert. Es werden Anreicherungen beschen, bei denen Uran selbst bei 100 000 01 achem Überschuß von anderen Metallic selektiv abgetrennt wird. (Zfg.)

4-860 Neue Wege zur Beryllium-Bearbeitung bei Hawker-Siddeley. Atompraxi 272-274, 1960, Nr. 7. Beryllium ist ein wichtiger Reaktorwerkstoff für Umhüllur von Brennelementen. Der neue Reaktor der britischen Atomenergiebehörde wird derartigen Umhüllungen ausgerüstet. In Coventry wurde eine moderne Fabrik für Bearbeitung von Be eingerichtet. Die Maschinen befinden sich in gut gelüfteten Schrechen gehäusen, weil der Be-Staub gesundheitsschädigend ist. Messerschmid

E. W. Becker, R. Klingelhöfer und P. Lohse. Über die Möglichkeit der ge teten Einführung von Deuterium und Tritium bei Kernfusionsexperimenten. Z. Na 15a, 642-643, 1960, Nr. 7. (Juli.) (Karlsruhe, T. H., Inst. Kernverfahrenste Versuche mit einer verbesserten Apparatur zeigen, daß das gerichtete Einführen Deuterium und Tritium bei Kernfusionsexperimenten möglich ist. Die wesentlichen besserungen der Apparatur sind: Es wurde eine konvergente Düse mit engstem Du messer von 0,15 mm verwendet. Die Mündungsdurchmesser der konisch ausgeführ Abschäl- und Kollimatorblende betrugen 0,99 bzw. 0,80 mm. Der Abstand Di mündung-Abschäler betrug 4,0 mm, während die Entfernung Mündung Kollim blende-Abschäler 10,4 mm betrug. An die erste Druckstufe war ein Rootsgebläs 500 m³/h Saugleistung angeschlossen. Die zweite Druckstufe war mit einer Öldiffus pumpe - 1500 l/s Saugleistung - verbunden. Das Vakuum in der Meßkammer w durch eine Öldiffusionspumpe mit 5000 l/s Saugleistung aufrecht erhalten. Die Düse der Abschäler waren mit flüssigem Wasserstoff, die Kollimatorblende mit flüss Stickstoff gekühlt. W. Kui

4-862 J.B. Fajnberg, Über die Teilchenbeschleunigung im Plasma. Kernenerg 338-349, 1960, Nr. 4. (Apr.) (Übers. aus: Atomn. Energ. 6, 431, 1959, Nr. 4.)

- -863 S. N. Rodionov. Experimentelle Prüfung des Verhaltens geladener Teilchen in ner adiabatischen Falle. Kernenergie 3, 355—360, 1960, Nr. 4. (Apr.) (Übers. aus: tomn. Energ. 6, 623, 1959, Nr. 6.)
- -864 B. V. Čirikov. Resonanzprozesse in magnetischen Fallen. Kernenergie 3, 435 bis 41, 1960, Nr. 5. (Mai.)
- -865 Joseph Slepian. Two fundamental errors widely held in fusion research. Science 31, 1321, 1960, Nr. 3409. (29. Apr.) (Pittsburgh, Penn.)
- -866 M. B. Gottlieb. Der Stellarator und andere amerikanische Projekte zur Erzeugung ermonuklearer Energie. Endeavour 19, 62-71, 1960, Nr. 74. (Apr.) V. Weidemann.
- -867 Peter D. Noerdlinger. Stability of uniform plasmas with respect to longitudinal scillations. Phys. Rev. (2) 118, 879—885, 1960, Nr. 4. (15. Mai.) (Pasadena, Calif., nst. Technol., Norman Bridge Lab.) Wird ein Plasma mit einer von der MAXWELL-erteilung abweichenden Geschwindigkeitsverteilung sich selbst überlassen, so können negitudinale Plasmaschwingungen auftreten. Vf. gibt für ein unendliches, homogenes nagnetfeldfreies Plasma ein Kriterium an, aus dem bei gegebener Anfangsverteilung indeutig hervorgeht, ob und mit welcher Stärke und Frequenz Schwingungen erregt erden. Es zeigt sich u. a., daß Schwingungserregung nur dann eintreten kann, wenn die erteilungsfunktion ein genügend ausgeprägtes Minimum besitzt. Welly.
- -868 Donald C. Kelly. Microwave conductivity of a plasma in a magnetic field. Phys. Rev. (2) 119, 27—39, 1960, Nr. 1. (1. Juli.) (New Haven, Conn., Univ., Lab. Marine thys.) Zur Berechnung der Leitfähigkeit eines homogenen Plasmas in Abhängigkeit von requenz, Magnetfeld und Ionisationsgrad wird die Boltzmann-Gleichung für die lektronen durch Entwicklung der Verteilungsfunktion nach Eigenfunktionen gelöst. Tir die Ionen und Neutralteilchen wird eine Maxwell-Verteilung angesetzt. Es werden Jäherungen verschieden hohen Grades miteinander verglichen, insbesondere wird unterucht, wie sich eine Vernachlässigung der Wechselwirkung der Elektronen untereinnder auf die Leitfähigkeit auswirkt.
- -869 Gordon Gibson, Willard C. Jordan and Eugene J. Lauer. Containment of posicons in a mirror machine. Phys. Rev. Letters 5, 141-44, 1960, Nr. 4. (15. Aug.) Livermore, Calif., Univ., Lawrence Radiat. Lab.) Es wird eine Apparatur beschrieben, nit der es gelang, die im Inneren eines Behälters erzeugten Positronen für eine mittlere Leit von 10 s im Behälter festzuhalten. Die Apparatur bestand aus einer Spiegelmaschine mit zwei Spiegeln aus statischen Magnetfeldern.
- 2870 M. G. Haines. The Joule heating of a stable pinched plasma. Proc. phys. Soc. and. 76, 250-260, 1960, Nr. 2 (Nr. 488). (1. Aug.) (London, Imp. Coll. Sci. Technol., Phys. Dep.) Ableitung der Bedingungen für Druckgleichgewicht der Entladung in onisiertem Deuterium. Bei Temperaturerhöhung durch Joulesche Wärme muß Erschung der Stromstärke Druckgleichgewicht erhalten. Berechnung der Zeitabhängigteit für Temperatur, Strom und elektrisches Feld unter der Annahme, daß Bremsstrahung einziger Wärmeverlust, Zyklotronstrahlung und Wärmeleitung vernachlässigt. Annahme der Stabilität der Entladung ist physikalisch für die in Betracht kommenden Zeiten bisher nicht zu realisieren. Bei Druckgleichgewicht nimmt elektrische Feldstärke nit wachsender Temperatur ab, muß aber stets klein sein gegen kritische Feldstärke, bei ler die Elektronen und damit die für die Aufheizung der Ionen erforderlichen Energien intweichen. Sie regelt den Radius der Plasmasäule. Ableitung der Beziehungen zwischen inter zeitweise wirksamen Energiequelle für die Aufheizung und Dichte, Dimensionen and Höchsttemperatur des Plasmas.

 G. Schumann.
- 2-871 D. G. Dow and R. C. Knechtli. Plasma containment by r. f. and d. c. field combinations. J. Electronics (1) 7, 316-343, 1959, Nr. 4. (Okt.) (Pasadena, Calif., Inst. Technol.; Culver City, Calif., Hughes Res. Labs.) Zur Plasmabegrenzung bei thermouklearen Reaktionen wird vorgeschlagen, zusätzlich ein Hochfrequenzfeld anzulegen. Die Vorteile sind: geringe Eindringtiefe des Hochfrequenzfeldes; die Leckstellen des

Hochfrequenzfeldes wandern; das Hochfrequenzfeld gibt den Teilehen entlang den mag tischen Feldlinien eine kohärente Geschwindigkeit; es sind Feldkonfigurationen gestatt die beim Gleichstromfeld verboten sind. Nachteile sind: Der Skineffekt, der nur geringes Eindringen des Stromes in den Metalleiter zuläßt; der geringe Wirkungsgr bei Umwandlung von Gleichstromenergie in Hochfrequenzenergie; die Verluste Teilchen beim Nulldurchgang des Feldes. Aus Überlegungen zur Wärmeableitung von Metallrohr ergibt sich ein maximaler Überdruck von 1/4 at, der vom Hochfrequenzf auf das Plasma ausgeübt werden kann. Der Teilchenverlust beim Nulldurchgang d Hochfrequenzfeldes, die Effekte der Ionen und die transversale Bewegung der Teilch während einer Halbperiode bedingen eine Mindestfrequenz von einigen MHz. günstigsten ist eine circular polarisierte Welle mit entgegengesetztem Drehsinn zu natürlichen Drehsinn der Elekronen, wobei die Frequenz größer als die Ionencyclotro und kleiner als die Elektronencyclotronfrequenz sein sollte. Im einzelnen werden Verhältnisse an Spiegel und Stellaratormaschinen diskutiert. Es wird angenommen, d nach diesem Verfahren Plasmen mit 1014-Ionen/cm3 und Temperaturen von über 10 Franke begrenzt werden können.

4-872 P. Ohlin, K. Siegbahn, T. Sundström and S. Svennerstedt. Studies of neutroproduction in linear deuterium pinches. Nuclear Instrum. 3, 237-244, 1958, Nr. (Okt.) (Uppsala, Inst. Phys.) Durch Entladung einer Kondensatorbatterie in einverdünnten Deuteriumatmosphäre wird durch den Pincheffekt ein schmaler linea Plasmaschlauch erzeugt, in dem auf thermonuklearem Wege Neutronen erzeugt werd Es wurde der Stabilisierungseffekt des Pinches durch ein äußeres magnetisches Funtersucht. Die Neutronenausbeute hängt nur schwach von dem Magnetfeld ab, uzwar sinkt sie gegenüber dem fehlenden Feld für 760 GAUSS auf ²/₃ ab. Mit ansteigend Gasdruck (9·10-3 — 30·10-3 Torr) fällt die Neutronenausbeute bei fehlendem Magn feld, während sie bei eingeschaltetem Feld im wesentlichen konstant ist. Der Widstand der Entladung sinkt im ersten Zehntel der Entladungsperiode auf 0,01 Ohm.

4-873 Masao Sumi. Non-linear effects on electron-plasma oscillations. J. phys. S Japan 15, 1086—1093, 1960, Nr. 6. (Juni.) (Tokyo, Elect. Commun. Lab.) Es werd Elektronenschwingungen berechnet, die in einem Plasma, das von einem Elektronestrahl durchsetzt wird, angeregt werden. Hierzu werden folgende Annahmen gemac die Ionen bilden einen gleichförmigen positiven Ladungsträgerhintergrund; Stöße kleinen Abständen werden vernachlässigt; es sind keine statischen Felder vorhandd as Problem ist eindimensional; Strahl- und Plasmaelektronen bilden zwei Gruppen, getrennt behandelt werden; die entstehenden Wellen sollen eine definierte Freque besitzen. — Für die beiden Elektronengruppen werden die Boltzmann-Gleichung und die Poisson-Gleichung aufgestellt und nach einem Verfahren der Störungsrechnungelöst. Sowie eine Fundamentalwelle berechnet ist, ist die zweite harmonische Weunter Berücksichtigung des nichtlinearen Teiles der Fundamentalwelle bestimmt. einzelnen werden die Gleichungen diskutiert, wenn die Elektronendichten in Plas und Elektronenstrahl voneinander abweichen. Hier ergeben sich dann die Fälle, denen man mit einer linearen Theorie rechnen kann. Insbesondere werden die Stad der Entstehung der Welle und die Grenzfälle großer Amplitude erörtert. Franke

4-874 Kiyoe Kato. Oscillations in a plasma in a weak magnetic field. J. phys. S Japan 15, 1093-1101, 1960, Nr. 6. (Juni.) (Tokyo, Univ. Educat.) In einem Entladungefäß werden mit einer Sonde bei einem Hg-Dampfdruck von 10-3 Torr Schwingun messungen ausgeführt. Die Kathode ist geheizt, als Elekrodenmaterial wird Niebzw. Platin verwandt. In den verschiedenen Entladungszonen (im konvergenten Strain der Grenzzone des konvergenten Strahles, im divergenten Strahl) werden und schiedliche Schwingungsformen festgestellt. Wird in Richtung des Entladungsstror ein Magnetfeld angelegt, so beobachtet man zunächst einige Farbeffekte in den Grezonen. Bei 10 Gauss erfolgt eine Kontraktion des Plasmas. Mit zunehmender Feldstä verschwinden bei etwa 25 Gauss die Schwingungen im divergenten Strahl und in Grenzzone des konvergenten Strahles, während die Schwingungen im konvergen Strahl zunächst verschwinden, dann aber bei etwa 40 Gauss wieder auftreten. Im Und

uchungsgebiet von 0-350 GAUSS kann man bei der letztgenannten Schwingung zwei ypen unterscheiden: die Frequenz des einen Typs hängt nur vom Magnetfeld ab Cyclotronschwingung), während die des anderen Typs nur von der Elektronendichte bhängt (Plasmaschwingung). Die Amplitude der Plasmaschwingung ist größer als die er Cyclotronschwingung, sie nimmt jedoch bei der doppelten Cyclotronfrequenz stark b. Die Frequenz der Cyclotronschwingung ist kleiner als berechnet, was auf die diaagnetischen Eigenschaften des Plasmas zurückgeführt wird.

Taro Kihara, Yukio Midzuno and Shobu Kaneko. Transport properties of plasmas n a strong magnetic field. J. phys. Soc. Japan 15, 1101—1107, 1960, Nr. 6. (Juni.) Tokyo, Univ., Fac. Sci., Dep. Phys.) Für ein mehrkomponentiges Plasma in einem lektrischen und magnetischen Feld wird nach den Verfahren der irreversiblen Thermoynamik die allgemeine Teilchenbewegungsgleichung aufgestellt. Im Falle eines schwahen Magnetfeldes reduzieren sich die Koeffizienten der Onsaggerschen Reziprozitätsedingungen auf Skalare, wie MAECKER und PETERS (Ber. 35, 1867, 1956) zeigen konnen. Im hier zu behandelnden Fall eines starken Magnetfeldes sind diese Koeffizienten ensoren. In einem Zwei-Komponentensystem wird der modifizierte Diffusionskoefzient berechnet. Für ein Elektronen-Ionensystem werden bei verschwindender Wechselkirkung die Komponenten des Tensors der elektrischen Leitfähigkeit und des Diffusionsoeffizienten ermittelt, wobei die MAXWELLsche Verteilungsfunktion wesentlich einreht. Das Diagonalelement des Diffusionskoeffizienten tritt nur auf, wenn eine Wechselvirkung zwischen Ionen und Elektronen existiert. Hierbei ist das Verhältnis von Wechelwirkungszeit und der Periode der Gyration von Bedeutung. Die thermische Leitähigkeit wird unter der Voraussetzung berechnet, daß sowohl Elektronen wie Ionen wischen zwei Stößen viele Gyrationen machen. Die Komponente λ¹¹ wird unter völliger Vernachlässigung der Stöße ermittelt, während für λ¹ nur die Stöße der Ionen unter ich berücksichtigt werden. Das Ergebnis stimmt mit dem von Frankin (J. exp. theor. Phys. (USSR) 32, 459, 1957) nach einer anderen Methode ermittelten überein.

Franke.

-876 Tarô Dodo. Heating of a plasma by acoustic waves. J. phys. Soc. Japan 15, 1292 bis 1295, 1960, Nr. 7. (Juli.) (Tokyo, Hitachi Cent. Res. Lab.) In einem zylindrischen Plasma wird einem konstanten axialen Magnetfeld B₀ ein magnetisches Wechselfeld B₁ iberlagert. Wenn die mittlere freie Weglänge kürzer ist als der Plasmaradius, so wird durch B₁ eine Schallwelle erzeugt. Berechnet man die Schallgeschwindigkeit im Plasma ind vermeidet die Grenzfälle des isothermen und adiabatischen Prozesses, so ergibt sich aus der Gleichung, daß Energie der Schallwelle in "thermische Energie" des Plasmas umgewandelt wird. Die aufgestellten Gleichungen werden für den Fall der stehenden und fortlaufenden Welle diskutiert. Für ein zylindrisches Deuteriumplasma (R = 5 cm, Γ = 10^{5} °K, n₁ = 10^{15} Ion/cm³) erhält man für eine Schallwelle von 20 cm einen Wirkungsgrad von 60% bei stehender Welle, im Falle einer fortlaufenden Welle mit einer Wellenlänge von 27 cm und sonst entsprechenden Daten berechnet sich der Wirkungsgrad zu 80%.

4-877 B. Pontekorwo. Elektronen- und Müonen-Neutrinos. Phys. Abh. Sowjetunion N. F. 2, 355-363, 1960, Nr. 5. (Übers. aus: Sh. exp. teor. Fis. 37, 1751-1757, 1959.) (Dubna, Verein. Inst. Kernforsch.) V. Weidemann.

4-878 Chang Lee. Stationary states of electron-positron systems and annihilation transitions. Soviet Phys.-JETP 6, 281-291, 1958, Nr. 2. (Febr.) (Engl. Übers. aus: J. exp. theor. Phys., Moskau 33, 365-378, 1957, Aug.) (Leningrad, State Univ.) Es wird ein Rechenversahren angegeben, das bei der Wechselwirkung des Elektron-Positronenseledes mit einem Strahlungsfeld den Einsluß eines äußeren Feldes und die gegenseitigen Elektron-Positronenwechselwirkung berücksichtigt. Das Versahren wird auf die Untersuchung der stationären Zustände im Elektron-Positronensystem und auf die Zweiphotonenvernichtung des Positrons im Vielektronensystem angewandt.

4-879 **Ken Kawarabayashi** and **Tetsuo Sawada.** S-wave pion- Σ-hyperon scattering. Progr. theor. Phys., Kyoto **23**, 583-596, 1960, Nr. 4. (Apr.) (Tokyo, Univ., Dep. Phys.) Da es schwierig ist, über $\pi\Sigma$ -Streuung direkte Information zu erhalten, wurden K⁻-

Einfang-Experimente herangezogen. Der qualitative Charakter der S-Wellen- π Streuung wurde dann mit der S-Wellen- π N-Streuung verglichen unter der Symmetr voraussetzung, daß das Σ -Hyperon und das Nukleon N gleiche mesonische Strukt (bis auf Größe der Kopplungskonstanten und Isospin) besitzen. Es ergibt sich, daß si die großen Phasen und die große Isospinabhängigkeit bei der $\pi\Sigma$ -Streuung nur erklär lassen, wenn die von Pais vorgeschlagene Dublettapproximation aufgegeben wi Zunächst vernachlässigten Vff. den Einfluß der K-Mesonen-Baryonen-Kopplung folgenden Abschnitt wird dieser Einfluß auf die S-Wellen- $\pi\Sigma$ - und S-Wellen- π Streuung untersucht mittels der Tamm-Dancoff-Methode. Es scheint, daß die K-Koplung durch Absorptionsprozesse wichtig wird, besonders für die K'-N-Streuung, au wenn die K-Mesonen-Baryonen-Kopplungen um eine Größenordnung schwächer sind die π -Mesonen-Baryonen-Kopplungen.

4-880 Shoji Sawada and Minoru Yonezawa. Mass levels of baryons and mesons. Pro theor. Phys., Kyoto 23, 662-693, 1960, Nr. 4. (Apr.) (Hiroshima, Univ., Dep. Phy Ausgangspunkt ist die Elementarteilchentheorie von SAKATA mit Proton, Neutr A-Teilchen als Fundamentalteilchen. IKEDA u. a. (Ber. 39, Nr. 9-149, 1960) konst ierten eine Theorie (IOO-Theorie) zur Erklärung einer vermuteten Symmetrie zwisch diesen drei Teilchen. Hier wird nun untersucht, wie die beobachteten Massenniver von Baryonen und Mesonen und die Resonanzniveaus in πN- und KN-Reaktionen i den verschiedenen Konfigurationen von Teilchenzuständen nach der IOO-Theo zusammenhängen. Zunächst wird eine zweiparametrige Massenformel für zusamm gesetzte Teilchen aufgestellt, die ähnlich der halbempirischen Massenformel MATUMOTO (Ber. 37, 1711, 1958) ist. Mit dieser Formel werden dann Fermion- u Bosonzustände diskutiert, und zwar bis zu Fünfkörper-Konfigurationen, nämli 1-Baryon-System, ein Baryon und ein Antibaryon, zwei Baryonen und ein Antibary zwei Baryonen und zwei Antibaryonen, drei Baryonen und zwei Antibaryonen. Es ze sich eine sehr gute Korrespondenz zwischen Theorie und Experiment, mindestens den verläßlichen experimentellen Daten. Voraussagen, die noch nicht experimen gestützt werden, beziehen sich auf I = 3/2-Resonanzzustände in der \(\pi^+ \text{p-Streuu} \) auf I = 0- und I = 1-Resonanz in der KN-Streuung, auf I = 0-Resonanz in KN-Streuung und auf neue vermutete Teilchen. In einem ausführlichen Anhang s die expliziten Ausdrücke für die benötigten Konfigurationen angegeben, ferner die th retischen und experimentellen Werte der Massen der Zustände. E. Sauter

4-881 Gerhard Wilhelm Bund and Paulo Leal Ferreira. On the meson mass different Progr. theor. Phys., Kyoto 23, 700-716, 1960, Nr. 4. (Apr.) (Sao Paulo, Inst. Fis. Te Neue Experimente ergeben $m_{k^{\circ}} < m_{k^{+}}$, im Gegensatz zu $m_{\pi^{+}} < m_{\pi^{\circ}}$. Daher wird Problem der elektromagnetischen Mesonenselbstmasse neu unterscht. Es wird e effektive Wechselwirkungs-Hamilton-Funktion zwischen Spin-0-Mesonen und d elektromagnetischen Feld angenommen, die nichtlokal ist infolge der Einführung kov anter Formfaktoren und die eichinvariant ist bis zu Gliedern mit e2. Die Formfakto entsprechen Ein- und Zweiphotonenvertices, wodurch sich starke Wechselwirkung rücksichtigen läßt. Die Selbstmassen ergeben sich aus kovarianter Störungstheo Aus einer Spektralzerlegung der Formfaktoren ergeben sich allgemeine Ausdrücke für Selbstmassen. Es folgt dann die numerische Diskussion der Massendisserenzen nach Methode von KATAYAMA u. a. (Ber. 30, Nr. 12-602, 1960) unter Benützung nur einfachsten Typen der Formfaktoren. Die abweichenden experimentellen Ergebn können erklärt werden mit der verschiedenartigen Natur der neutralen K- und Mesonen. Im nächsten Abschnitt wird die benutzte Hamilton-Funktion untersu nach der üblichen Störungsmethode, nach der virtuelle Baryonenpaare am meisten starken Wechselwirkung beitragen. E. Saute:

4-882 **Ziro Maki.** A note on the leptonic decay of hyperons. Progr. theor. Phys., Ky 23, 853-858, 1960, Nr. 5. (Mai.) (Nagoya, Univ., Inst. Theor. Phys.) Die leptonise Zerfälle nicht-seltsamer Teilchen scheinen durch die universellen V-A-Wechselwirkun verursacht zu sein, die Kopplungskonstanten gleicher Größe (bis auf Renormalisieruneffekte infolge starker Wechselwirkung) besitzen. Um Aussagen über die leptonisch

erfälle von seltsamen Teilchen, besonders von Hyperonen machen zu können, werden ie Zerfälle $\pi \to \mu + \nu$ und $K \to \mu + \nu$ verglichen. Behandelt man den zweiten Prozeß ach dem Elementarteilchenmodell von Sakata, so erhebt sich die Vermutung, daß die quadrierten) unrenormalisierten Kopplungskonstanten der "Strangeness"-nichtrhaltenden Vierfermionen-Wechselwirkung etwa um den Faktor 10 kleiner sind als dienigen der gewöhnlichen Fermt-Wechselwirkungen. Damit würden die leptonischen erfälle der seltsamen Teilchen die Universalität des V-A-Schemas verletzen.

E. Sauter.

-883 Yoshio Yamaguchi. Classification of composite bosons in the Sakata model. Progr. heor. Phys., Kyoto 23, 882-886, 1960, Nr. 5. (Mai.) (Geneva, CERN.) Als Spezialfall es Sakata-Modells wurden von verschiedenen Autoren früher schon die globale Näheung (Vernachlässigung der mittelstarken Wechselwirkung = MSI, die zur N Λ lassenaufspaltung führt), und die ladungsunabhängige Näherung (MSI berücksichtigt, ber elektromagnetische und schwache Wechselwirkungen vernachlässigt) eingeführt. n einer früheren Arbeit (Progr. theor. Phys. Kyoto 23, Suppl., Nr. 11, 1959) betrachete Vf. in der globalen Näherung die Mesonen als zusammengesetzt aus Barvonen-Paaren: Man erhält die Mesonenzustände durch Ausreduzierung der $\overline{
m B} imes
m B$ -Darstellung, wo B \equiv (p,n, Λ) das Basisfeld des SAKATA-Modells bedeutet. Da der neuerdings vernutete π - π -Resonanzzustand mit I = J = 1 und das Dubna-Teilchen bei den irreluziblen Bestandteilen von $\overline{\mathrm{B}} imes \overline{\mathrm{B}}$ nicht vorkommen, werden hier die Zwei-Baryonen-Paar-Zustände $\mathrm{B} imes \mathrm{B} imes \mathrm{B} imes \mathrm{B}$ betrachtet. Diese Darstellung läßt sich zerlegen in zwei indimensionale (schon bekannt), vier achtdimensionale (ebenfalls schon bekannt), eine ?7-dimensionale (wird hier nicht weiter betrachtet) und zwei zehndimensionale g(10), (10) irreduzible Darstellungen. g
(10) enthält die Antiteilchen von g
(10). Es läßt sich voraussagen, daß das Dubna-Teilchen ein pseudoskalares oder ein vektorielles Teilchen sein nuß.

4-884 Yoshio Yamaguchi. Interactions induced by high energy neutrinos. Progr. theor. Phys., Kyoto 23, 1117-1137, 1960, Nr. 6. (Juni.) (Geneva, CERN.) Neutrinos scheinen mit anderen Teilchen nur schwache Wechselwirkungen zu machen. Über Neutrinoreaktionen bei sehr hohen Energien ist jedoch noch nichts bekannt. Daher werden hier inige Neutrinoreaktionen, besonders bei hohen Energien, theoretisch untersucht, deren experimentelle Durchführng jetzt bevorstehen. Neutrino-Elektron-Wechselwirkungen lassen sich jedoch wohl nicht durchführen: zu kleine Wirkungsquerschnitte und noch nicht hinreichend große verfügbare Energien. Daher werden nur einige Vermutungen und deren Folgerungen besprochen. Vf. betrachtet dann die "elastischen" Prozesse $\overline{\nu} + p \rightarrow n + e^+$ und $\nu + n \rightarrow p + e^-$. Unter der Annahme der universellen schwachen Wechselwirkung können die Wirkungsquerschnitte σ für diese Prozesse mit Hilfe der elektromagnetischen Formfaktoren der physikalischen Nukleonen berechnet werden. Es ergibt sich $\sigma(v+n \to p+e^-) \gtrsim 0.8 \cdot 10^{-38} \, \mathrm{cm}^2$ für Neutrinoenergien Viah > 1 BeV im Laboratoriumssystem. Der totale Wirkungsquerschnitt für hochenerretische Neutrinos muß wesentlich größer sein als dieser "elastische" Wirkungsquerschnitt. Daher erscheint es möglich, Neutrinowechselwirkungen mit $\nu_{\rm Lab}=1$ bis $10~{
m BeV}$ E. Sauter. zu entdecken.

4-885 Yoshio Miyatake. On the model of elementary particles. Progr. theor. Phys., Kyoto 23, 957-958, 1960, Nr. 5. (Mai.) (Kyoto, Univ., Yoshida Coll.) Vf. lehnt die Vorstellung von Vernichtung und Erzeugung von Elementarteilchen als unstetigle Prozesse ab und bespricht in allgemeinen Zügen seine Ideen über ein neues Modell: lie stabilen Teilchen p, e, ν, γ seien die Fundamentalteilchen. Außerdem wird natürlich urgendein Energieterm (z. B. = Geon) benötigt, um die Massen der Elternteilchen zu erhalten.

E. Sauter.

4-886 Katsumi Tanaka. Baryon mass spectrum. Phys. Rev. (2) 119, 1436—1441, 1960, Nr. 4. (15. Aug.) (Argonne, Ill., Nat. Lab.) Voraussetzungen sind: die π -Baryonen-Wechselwirkungen seien universell, während die K-Baryonen-Wechselwirkungen zu den großen Massendifferenzen zwischen den Baryonen beitragen; Baryonenspin sei $^{1}/_{2}$, K-Mesonen-Spin $^{1}/_{2}$, die (Σ, Λ) -Parität gerade und die (Σ, Λ) -Massendifferenz vernachässigbar. Hiermit wird ein Ausdruck für die Selbstmasse der Baryonen aufgestellt. Für

die Baryonenmassen findet Vf. eine Relation $m(N)+m(\Xi)=m(\Lambda)+m(\Sigma)$, gültig ist für alle Ordnungen in der π -Kopplung und bis zur zweiten Ordnung in der Kopplung. Schließlich wird ein vollständiger Satz von Zwischenzuständen in den Ardruck für die Selbstmasse eingesetzt und die K-Baryonen-Kopplungskonstanten geschätzt unter Berücksichtigung des Einbaryonen-Zwischenzustandes und des stands mit einem Baryon und einem Baryonenpaar. E. Sauter.

4-887 I. S. Zukerman. Leptonzerfälle von Hyperonen mit Emission von Pionen. exp. teor. Fis. 38, 1285-1287, 1960, Nr. 4. (Orig. russ.) Am Beispiel des einfachst Matrixelementes der universellen V-A-Wechselwirkung werden für eines der möglich Diagramme der Störungstheorie die Gesamtwahrscheinlichkeiten für den Leptone zerfall von Hyperonen unter Pionenemission von der Form $Y \to N(Y') + 1 + \nu + 1$ abgeschätzt (l Elektron oder Myon). Alle diese Zerfälle werden durch eine universe schwache Wechselwirkung mit dem Hamilton-Operator $H = (G/\sqrt{2})(\psi_N \gamma_\alpha (1 + \gamma_5)\psi_N \gamma_\alpha ($ $(\psi_1 \gamma_\alpha (1+\gamma_5)\psi_\nu)$ beschrieben $(C_V=-C_A=G/\sqrt{2})$. Da keine konsequente Theo der starken Wechselwirkungen vorliegt, wird der Prozeß durch ein phänomenologisch Matrixelement beschrieben; es enthält acht unbekannte skalare Funktionen von varianten, die aus Produkten der Viererimpulse der beteiligten Teilchen aufgebaut sir Der Vergleich der theoretischen Zerfallswahrscheinlichkeiten mit den gemessen zeigt, daß die effektive Konstante der schwachen Wechselwirkung etwa eine Größe ordnung unter ihrem üblichen Wert G = 10⁻⁵/m_p liegt (m_p Masse des Protons); dies ka an einer Renormierung der Konstanten Cy und Ca infolge der starken Wechselwirkung liegen. Die unter dieser Voraussetzung bestimmten Lebensdauern der Hyperonen gege über den sieben möglichen Zerfallsschemata mit Elektronen- bzw. Myonenprodukti sowie die Lebensdauern gegenüber dem üblichen Leptonenzerfall werden angegeben. Vogel

4–888 Chou Huang-Chao. Über den Zerfall der Σ -Hyperonen. Sh. exp. teor. Fis. 4342–1343, 1960, Nr. 4. (Orig russ.) (Dubna, Vereinigt. Kernforschungsinst.) Die Mowerte über Wahrscheinlichkeiten und Asymmetriekoeffizienten des Σ -Zerfalls nach v schiedenen Kanälen entsprechen offenbar der Regel $|\Delta I| = ^1/_2$; wenn sich dies endgül bestätigt, muß man auf die Theorie der universellen schwachen Wechselwirku zwischen geladenen Strömen verzichten. Eine genaue Prüfung dieser Regel ist also swichtig; dafür werden Hinweise gegeben: Eine Messung der Richtung der Nukleone polarisation liefert nicht nur Auskunft über diese Regel, sondern auch eine Entscheidu zwischen den beiden möglichen Lösungen der Bedingung für das Fehlen einer Asymmetrie beim Zerfall $\Sigma^{\pm} \to n + \pi^{\pm}$. Tritt beim Σ^- -Zerfall keine transversale Polarisation er Neutronen auf, so war das Σ^- -Teilchen unpolarisiert; das Fehlen einer Asymmet führt dann zu einer anderen Bedingung, die aus der longitudinalen Polarisation al lysiert werden kann.

4-889 Gyo Takeda und Masaaki Kato. Globalsymmetrie und Isospinerhaltung bei nic leptonischen Hyperonzerfällen. Kernenergie 3, 350-355, 1960, Nr. 4. (Apr.) (Übers. a Atomn. Energ. 6, 556, 1959, Nr. 5.) (Tokio, Univ., Inst. Kernforsch.; Phys. Fa V. Weidemann

4-890 G. Quareni, A. Quareni Vignudelli, G. Dascola and S. Mora. Experimental evide for the decay mode $\Sigma^+ \to p + \gamma$. Nuovo Cim. (10) 14, 1179—1180, 1959, Nr. 5. (1. De (Bologna, Univ., Ist. Fis.; Ist. Naz. Fis. Nucl.; Parma, Univ., Ist. Fis.) Behnsch

4-891 Zdeněk Korbel and Ladislav Rob. The meson decay of light hyperfragmet Czech. J. Phys. 9, 288—290, 1959, Nr. 3. (Orig. russ. m. engl. Zfg.) Die Bindungsenergien v fünf verschiedenen leichten "Hyperfragments" (leichte Atomkerne, die anstatt ei Neutrons ein Hyperon enthalten) wurden gemessen. Hyperfragments entstehen du Wechselwirkung von K-Mesonen mit leichten Atomkernen in Kernemulsionen.

4-892 Kazuaki Daiyasu and Reiji Sugano. $K^+ - K^0$ mass difference. Progr. the Phys., Kyoto 23, 846-852, 1960, Nr. 5. (Mai.) (Osaka, Univ., Dep. Phys.; Kyoto, Uni Res. Inst. Fundam. Phys.) Es wird eine effektive Hamilton-Funktion für elekt

nagnetische Wechselwirkung für Bosonen eingeführt, die eichinvariant und nichtlokal st und aus Stromterm, Pauli-Term und dem Term für elektromagnetische Polarisierbarkeit besteht. Damit wird die Massendifferenz mittels relativistischer Störungstheorie die zur zweiten Ordnung ausgerechnet. Zunächst werden die den Formfaktoren auffelgten Einschränkungen in dem Falle untersucht, daß der Polarisierbarkeitsterm chlt. Dann werden — für exponentiellen Formfaktor — die Größe des Pauli-Terms und des Polarisierbarkeitsterms so bestimmt, daß sich das Ergebnis mit dem experimentellen Ergebnis deckt. Zum Schluß folgt eine feldtheoretische Diskussion über die irößenordnung der Stärke dieser Wechselwirkung.

4.893 M. Bander and G. Feinberg. μ -meson decay into three electrons. Phys. Rev. (2) 119, 1427—1429, 1960, Nr. 4. (15. Aug.) (New York, N. Y., Columbia Univ., Dep. Phys.) I'm etwaige Unterschiede in den Quantenzahlen von μ und e festzustellen, wird hier der Zerfall $\mu^+ \to e^- + e^+ + e^+$ über innere Konversion untersucht. Ausgangspunkt ist in früher hergeleitetes (Phys. Rev. Letters, 3, 111, 244, 1949) phänomenologisches Matrixelement für die μ e γ -Wechselwirkung. Damit werden die Zerfallsrate und die Energieverteilungen der Elektronen in Abhängigkeit von den Formfaktoren berechnet, tie in jenem Matrixelement auftreten. Das Ergebnis wird verglichen mit den gegenwärtigen experimentellen Werten.

4-894 R. F. Sawyer and K. C. Wali. Pion-pion interactions in τ and τ' decays. Phys. Rev. (2) 119, 1429-1436, 1960, Nr. 4. (15. Aug.) (Madison, Wisc., Univ.) Mit Hilfe der MANDELSTAM-Darstellung werden bei den τ - und τ' -Zerfällen von K⁺-Mesonen (K⁺ $\rightarrow \pi^+$ + $(\pi + \pi) \pi\pi$ - Wechselwirkungen beim Endzustand untersucht. Nur die S- Wellenamplitude der ππ-Streuung sei groß genug, um einen merklichen Imaginärteil zu besitzen. Für die Streuamplituden des Prozesses $au + \pi o \pi + \pi$ ergeben sich in den physikalischen und unphysikalischen Bereichen gekoppelte, lineare, singuläre Integralgleichungen (I). Aus deren Lösungen können die au und au-Zerfallsmatrixelemente der Mandelstam-Darstellung konstruiert werden. Im allgemeinen benötigt man zwei Parameter zur Beschreibung des au-Zerfalls. Anwendung der $\Delta T={}^1\!/_2$, ${}^3\!/_2$ -Regel ergibt einen einfacheren Satz von Gleichungen mit nur einem Parameter, und hieraus folgen dann die au- und '-Spektren. Vff. finden hier, daß $\Delta T = \frac{1}{2}$ zu den gleichen Ergebnissen führt wie ΔT $=\frac{1}{2}$, $\frac{3}{2}$. Daher kann das Energiespektrum des τ -Zerfalls nicht als kritischer Test für lie $\Delta T=\frac{1}{2}$ -Regel dienen. Es ergibt sich weiter, daß das Zerfallsmatrixelement nicht n eine Reihe nach ganzzahligen Potenzen der kinetischen Energie der Pionen entwickelt verden kann. — Die Integralgleichungen I werden näherungsweise gelöst in Ausdrücken auon $\pi\pi$ -Phasen und Integralen über $\pi\pi$ -Phasen. Die Phasen selbst erhält man aus sichtlinearen Integralgleichungen für die $\pi\pi$ -Streuung nach CHEW, MANDELSTAM und NOYES. Übereinstimmung mit dem Experiment ergibt sich für Werte der Kopplungsconstanten mit abstoßenden T = 0- und T = 2-Phasen.

2895 Shigeo Minami. S-wave pion-nucleon interaction. Progr. theor. Phys., Kyoto 23, 187—895, 1960, Nr. 5. (Mai.) (Osaka, Univ., Dep. Phys.) Es handelt sich um eine Modizierung der üblichen Pionenfeldtheorie im Bereich des Kerninnern (< 1/M, wo M = Mukleonenmasse). Seien $D_+(\omega) + iA_+(\omega)$ und $D_-(\omega) + iA_-(\omega)$ die Vorwärts-Streumplituden für π^+ p- und π^- p-Streuung bei der Energie ω . In der niederenergetischen Grenze der π N-Streuung wird die Wirkung der inneren Struktur des Kerns fast aufehoben in $D^{(2)}(\mu) = \frac{1}{2}[D_-(\mu) - D_+(\mu)]$, was in $(\alpha_1 - \alpha_3)$ ausgedrückt werden kann, rährend sie eine wichtige Rolle spielt in $D^{(1)}(\mu) = \frac{1}{2}[D_-(\mu) + D_+(\mu)]$, was in $(\alpha_1 - \alpha_3)/3$ ausgedrückt werden kann. Hierbei sind μ = Pionenmasse, α_1 und α_3 = S-Vellen-Phasen für Zustände mit Isospin I = $\frac{1}{2}$ und $\frac{3}{2}$. Vergleicht man das Ergebnis ei gewöhnlicher Störungsrechnung für $D^{(1)}(\mu)$ mit dem Beitrag von gebundenen Zutänden zu $D^{(1)}(\mu)$ in Dispersionsrelation, so ergibt sich, daß die korrekte Dynamik bei newendung auf Probleme im Kerninnern die effektive renormierte Kopplungskonstante der symmetrischen pseudoskalaren Theorie auf $(\mu/2M)$ · g reduzieren müßte. Dieser chluß paßt bei hoch- und bei niederenergetischen Pionenphänomenen auf die Experimente. Vf. versucht dann auf Grund dieses Ergebnisses die in $D^{(1)}(\mu)$ in der Dispersionselation enthaltene Divergenz zu beseitigen. Die experimentellen Daten für die S-Wellenhasen α_1 und α_3 können mit der Methode des Vfs. erklärt werden.

4-896 Shigeo Minami. On the interaction in nucleon core. Progr. theor. Phys., Kyo 24, 216-218, 1960, Nr. 1. (Juli.) (Osaka, Univ., Dep. Phys.) In einer früheren Arbeit d Vf. (vorst. Ref.) wurde gezeigt, daß die Kopplungskonstante g im Kerninneren a $f = (\mu/2 \text{ M})g$ reduziert werden muß. M und μ sind hierbei die Massen von Nukleon un Pion. Hier nun wird gezeigt, wie sich diese Verringerung der Kopplungskonstante im Rahmen des Multipolmodells der Elementarteilchen ergibt.

4-897 Chiaki Ihara. Pion-nucleon interaction, anomalous magnetic moment of nucleand composite model for pion. Progr. theor. Phys., Kyoto 23, 1035—1054, 1960, Nr. (Juni.) (Kyoto, Univ., Dep. Phys.) Im "composite-particle"-Modell für das Pion widas Pion als gebundener Zustand eines Nukleonenpaares aufgefaßt; die fundamenta Wechselwirkung wird als beliebige Linearkombination von skalaren (s), tensoriellen und pseudoskalaren (p) (= Fall I) oder von vektoriellen (v) und axialvektoriellen (= Fall II) Kopplungen vom Fermi-Typ angesetzt. Zunächst untersucht Vf. das Eige wertproblem für den gebundenen Zustand (= Pion) des Nukleonenpaares mit der neu Tamm-Dancoff-Methode. Für diesen Zustand erhält man eine normierte Wellenfuntion. Mit dieser Wellenfunktion ergibt sich durch eine kanonische Transformation ei effektive πN-Wechselwirkung. Anschließend wird das anomale magnetische Mome des Nukleons störungstheoretisch bis zur Ordnung eg² berechnet. Durch Anpassu aller Ergebnisse an das Experiment wird für die Linearkombination der Kopplungen egeignete Kombination von s, t und p oder v und a gesucht.

E. Sauter.

4-898 Chiaki Ihara. On the G_A/G_V ratio in β -decay. Progr. theor. Phys., Kyoto 211-213, 1960, Nr. 1. (Juli.) (Kyoto, Univ., Dep. Phys.) Die Berechnung des V hältnisses G_AG_V geschieht hier auf Grund des "composite-particle"-Modells für das Pie Die früher vom Vf. bestimmten Kopplungskonstanten (vorst. Ref.) werden hier benützt. Tabelle I zeigt die Ergebnisse für skalare, tensorielle und pseudoskalare Kollung, Tabelle II für vektorielle und axialvektorielle Kopplung. Vf. glaubt, daß man then Beiträgen zweiter Ordnung dem experimentellen Wert $G_A/G_V=1,2$ näherkommer. Sauter

4-899 M. Richter. Untersuchungen zum verallgemeinerten Albedo-Problem. Ann. Phy Lpz. (7) 6, 221-226, 1960, Nr. 3/4. (Zeuthen b. Berlin, Akad. Wiss., Kernphys. Im Die Albedo eines Cadmiumblechs, das sich in einem homogenen Neutronenfeld befind wird experimentell untersucht. Die Erzeugung des Neutronenfeldes in einem Parafiblock mit einer 500 mC Ra-Be-Quelle und die Bestimmung der Neutronendichte zu Dysprosiumsonden werden beschrieben. Die Meßergebnisse zeigen, daß Albedo-Proble in der Neutronenphysik besser mit einem von Lyons angegebenen Ansatz als nach linearen Fermischen Diffusionstheorie berechnet werden können.

4-900 M. Richter. Der Dichteverlauf thermischer Neutronen in der Nähe des Raneines Streumediums. Ann. Phys., L.pz. (7) 6, 227-232, 1960, Nr. 3/4. (Zeuthen b. Ber Akad. Wiss., Kernphys. Inst.) Die lineare Fermische Diffusionstheorie versagt Randnähe eines Streumediums. Nach einem Ansatz von Lyons kann jedoch die N tronendichte auch bei anisotroper Streuverteilung berechnet werden. Der nach die Theorie vorhergesagte Dichteverlauf thermischer Neutronen am Rand eines wasserst haltigen Moderators wurde experimentell nachgeprüft. Als Neutronenquelle wurde Reaktor in Rossendorf bei Dresden bei einer thermischen Leistung von 300 bis 500 benutzt. Die Neutronendichten wurden mit Dysprosiumsonden gemessen. Die Meigebnisse stimmen mit dem aus der Theorie von Lyons berechneten Dichteverlauf friedigend überein. Über den Grad der Streuanisotropie werden wahrscheinliche gaben gemacht.

4-901 Takeshi Kanki and Kunio Yamamoto. The proton-neutron mass difference the inner structure of the nucleon. Progr. theor. Phys., Kyoto 24, 135—148, 1960, N (Juli.) (Osaka, Univ., Coll. Gen. Educ., Inst. Phys.; Dep. Phys.) Die Versuche, Proton-Neutron-Massendifferenz (MD) mit elektromagnetischen Wechselwirkunger erklären unter Benützung der experimentellen Daten aus der hochenergetischen Etronenstreuung in Stanford (z. B. von Feynman-Speisman = FS), waren bisher unbefriedigend. Hier wird nun eine Methode vorgeschlagen, den Beitrag vom Nukleon

arzustand in die Berechnung der MD heranzubringen, ohne die Form der zugehörigen trixelemente berücksichtigen zu müssen. Es zeigt sich für den inneren Bereich des rns (core) ein beträchtlicher Unterschied zwischen den Resultaten der Vff. und derigen von FS. Die Formfaktoren werden in den isoskalaren und in den isovektoriellen iteil aufgespalten und das Modell für die Formfaktoren betrachtet, in welchem der re nur im isoskalaren Anteil existiert. Es ergibt sich jedoch ein falsches Vorzeichen die MD. Vff. schließen daher, daß der für den isoskalaren Anteil angenommene raarfe core nicht genügt für eine theoretische Erklärung der MD, d. h. daß ein gleicher re auch in den isovektoriellen Anteil der Ladung und/oder der magnetischen Formktoren eingeführt werden sollte. Die Größe und das Vorzeichen des core wird für jeden pvon Formfaktoren kurz abgeschätzt.

Hiroshi Katsumori. Electromagnetic mass difference of elementary particles. ogr. theor. Phys., Kyoto 24, 35-58, 1960, Nr. 1. (Juli.) (Osaka, Univ., Dep. Phys.) . nimmt an, daß die Massendisserenz (MD) zwischen den Gliedern jedes Ladungsultipletts elektromagnetischen Ursprungs ist. Daher werden die elektromagnetischen lbstenergien berechnet, als Abschneideparameter dient der elektromagnetische rmfaktor. Ebenso werden die Transformationseigenschaften jedes einzelnen Teilens im Isoraum bei den phänomenologisch angenommenen Formfaktoren berücksichgt. Die beobachtete MD zwischen Neutron und Proton kann erklärt werden mit einem eigneten Formfaktor, der unterhalb 1 BeV/c mit dem empirischen übereinstimmt; r größere Impulsübertragungen wird er dagegen abweichend vom empirisch gefunnen Ausdruck mit Hilfe von zwei verschiedenen einfachen Ansätzen so gewählt, daß e beobachtete MD herauskommt. Wählt man beim Σ-Hyperon einen Formfaktor, der em Ausdruck bei den Nukleonen ähnlich ist, so ergibt sich die Σ -MD: sowohl die große $T-\Sigma^+$ -MD als auch der kleine Wert für $(M_{\Sigma^+}+M_{\Sigma^-})/2-M_{\Sigma_0}$ lassen sich verehen. Es folgt dann eine Überlegung für die \(\Xi\)-MD. Danach geht Vf. noch ein auf die D bei den Mesonen. Mit geeigneten Formfaktoren ergeben sich wieder die $\pi \pm - \pi^0$ -MD nd die K⁰(K⁰) — K⁺-MD. Zum Schluß wird der Einfluß von starken Wechselwirkungen bgeschätzt. E. Sauter.

agnetic dipole interactions. Phys. Rev. (2) 119, 919-921, 1960, Nr. 3. (1. Aug.) (Bereley, Calif., Univ., Dep. Phys.) Die zweiten und vierten Momente der drei Grundlinien er Ultraschallabsorption freier Spins wurden unter Zugrundelegung einer phänomenogischen Spin-Phonon-Wechselwirkung berechnet. Sowohl Austausch- als auch Dipolechselwirkungen wurden in Betracht gezogen, und es wurde gefunden, daß die Austauschwechselwirkung in allen drei Fällen zu einer Verbreiterung der Linie führt. Für ist Komponente bei der LARMOR-Frequenz wurden die Momente mit denen der entbrechenden Photonabsorptionslinie, für die Austauschverschärfung eintritt, verglichen.

F. R. Halpern, L. Sartori, K. Nishimura and R. Spitzer. The physical nucleon is static source meson theory. Ann. Phys., N. Y. 7, 154—173, 1959, Nr. 2. (Juni.) (Prince-pon, Univ., Palmer Phys. Lab.; New Brunswick, Rutgers Univ., Dep. Phys.; New York, olumbia Univ., Dep. Phys.) Mittels der "Methode der Momente" wird ein Zustandsektor für das physikalische Nukleon konstruiert. Er wird in der n-ten Näherung als $Y_n = P_n(H) \Phi$ angesetzt, wobei P_n ein Polynom n-ten Grades im Gesamt-Hamilton-perator H des Systems ist und Φ einen beliebigen Zustand (der von den Vff. als Zustand es nackten Nukleons gewählt wird) repräsentiert. Die Koeffizienten von P_n werden durch in Variationsverfahren (Minimum der Energie) bestimmt. Y_n enthält Beiträge von uständen, die bis zu n−1 Mesonen besitzen. Die Konvergenz der Methode wurde ürzlich bewiesen, und es wird gezeigt, daß in der durchgeführten (bis zu n = 5 voretriebenen) Näherung der Grundzustand des Nukleons gut approximiert wird. Mit Y_n werden die Matrixelemente der Nukleonoperatoren (Kernspin- und Isotopenspin-Peratoren) berechnet. Sie sind fast ausschließlich durch die Kinematik der Mesonen- olke bestimmt und fast unabhängig vom Cutoff und der Kopplungskonstante; für sie at starke Kopplung bereits eingesetzt, wenn der Cutoff ungefähr gleich der Nukleonenasse ist und die renormierte Kopplungskonstante den konventionellen Wert ($Y_n^* \approx 0.08$)

besitzt. Aus den ebenfalls berechneten Matrixelementen der Meson- (Erzeugungs-Vernichtungs-) Operatoren ergibt sich der korrekte Wert für den Vektoranteil des amalen magnetischen Moments des Nukleons. Dagegen stimmen die berechneten W für den skalaren Anteil des Moments und den Ladungsradius des Neutrons mit experimentellen Daten nicht überein; sie unterscheiden sich wenig von den von Cr und Low in der Ein-Meson-Näherung erhaltenen Resultaten. Die Summenregeln nCINI und FUBINI sind nicht erfüllt: die Vff. leiten eine exakte Beziehung zwischen re mierter und unrenormierter Kopplungskonstante her, die für $\mathbf{f}_r^2 = 0,08$ den V $\mathbf{f}_0^2 = 0,6$ liefert, was in scharfem Gegensatz zu den Summenregeln steht, wenn man experimentellen Werte für die Wirkungsquerschnitte verwendet. Die Ergebnisse Arbeit machen somit die Gültigkeit des Modells der statischen Quelle fraglich.

H. Pau

4-905 V.V. Balashov and V. A. Eltekov. Method for separating the relative motio two nucleons in oscillator potential well. Nuclear Phys. 16, 423-431, 1960, Nr. 3. (Moscow, Univ., Res. Inst. Nucl. Phys.) Die von Talm eingeführten Koeffizienten zur Sration der Relativbewegung zweier Nukleonen in einem Oszillatorpotential hängen den magnetischen Quantenzahlen ab und sind daher unbequem für praktische Runngen. Vff. führen deshalb "verallgemeinerte Talmi-Koeffizienten" ein, die direkt Separation der Schwerpunktsbewegung zweier Nukleonen vom ihrer Relativbeweg in einem Zustand mit bestimmtem Gesamtdrehimpuls durchzuführen gestatten. EKoeffizienten werden für die ersten Oszillatorzustände (bis zu den 3-p und den Schalen) tabellarisch angegeben. Ihre Eigenschaften werden diskutiert und schließ wird mit ihrer Hilfe die Berechnung von Matrixelementen des Paar-Wechselwirku Operators der Nukleonen vorgenommen.

4-906 A. S. Dawydow, N. S. Robotnow und A. A. Tschaban. Rotationsenergie Trägheitsmoment für nichtaxialsymmetrische Kerne. Sh. exp. teor. Fis. 38, 1311-1 1960, Nr. 4. (Orig. russ.) (Moskau, Univ.) In der früher entwickelten Theorie der tationszustände nichtaxialer Kerne (J. exp. theor. Phys. 35, 440, 1958; Ber. 39, Nr.4-1960) wurde gezeigt, daß das Energieverhältnis für einen beliebigen Rotationszust bzw. den ersten Anregungszustand mit dem Spin 2 eindeutig gegeben ist, wenn di Verhältnis für einen zweiten Term mit dem Spin 2 gemessen ist, und daß die relat Wahrscheinlichkeiten für elektrische Quadrupolübergänge zwischen Rotationszustär ebenfalls eindeutig durch dieses Energiverhältnis festgelegt sind. Dabei wurde Un hängigkeit des inneren Zustandes des Kerns von der Rotation (adiabatische Näher) und Zusammenhang der Hauptträgheitsmomente mit den Parametern A und γ r dem hydrodynamischen Modell vorausgesetzt. Es wird untersucht, wie sich die Er nisse bei Verzicht auf diese Annahmen ändern. Zunächst werden in adiabatis Näherung die Rotationszustände nichtaxialer Kerne mit drei beliebigen Hauptträgh momenten untersucht; im allgemeinen Fall läßt sich das Verhältnis der Rotati energien durch zwei Parameter ausdrücken, nämlich ξ , das Verhältnis der Enerzweier Zustände mit dem Spin 2 und η , einen Parameter, der vom Charakter der ko tiven Rotationsbewegung abhängt. Ein Vergleich mit dem Experiment zeigt, daß hydrodynamische Näherung für die Energieverhältnisse brauchbar ist; die Abweich gen beruhen auf der Wechselwirkung zwischen Rotation und innerem Zustand Kerns, also auf der partiellen Unzulänglichkeit der adiabatischen Näherung. Es ist günstiger, auf die adiabatische Näherung zu verzichten, während die hydrodynami gut brauchbar bleibt. Voge

4-907 G. F. Filippow. Zur Gleichgewichtsform der Atomkerne. Sh. exp. teor. Fis. 1316—1319, 1960, Nr. 4. (Orig. russ.) (Moskau, Univ.) Die bisher vorliegenden tretischen Argumente für oder gegen die Existenz einer Symmetrieachse in deformie Kernen werden kritisch diskutiert, besonders die Arbeit von A. Bohr (Dan. Mat. Medd. 26, 14, 1953) über die Gleichgewichtsform eines Kerns mit einem Außennukl Dort ergab sich ein Minimum für die Wechselwirkungsenergie Rumpf-Außennuk für $\gamma=0$ bzw. $\gamma=\pi$, allerdings nur in erster Näherung der Störungstheorie; Vf. rechnet die Korrektur zweiter Näherung (Beitrag der hinsichtlich ję, nichtdiagon

mente des Wechselwirkungsoperators; jg z-Komponente des Gesamtmomentes des Bennukleons). Dann kann statt eines Energieminimums sogar ein Maximum auften; jedenfalls ist der Bohrsche Nachweis einer Symmetrieachse auch für ein Außenkleon nicht korrekt. BIRBRAIR, PEKER und SLIW (Ber. 38, 2295, 1959) haben unter ir allgemeinen Voraussetzungen ebenfalls $\partial \varepsilon/\partial \gamma = 0$ für $\gamma = 0$, π bewiesen; wie Vf. gt, kann es sich auch hier um ein Maximum handeln. Unter Verzicht auf die BOHRhe Annahme einer Axialsymmetrie der Gleichgewichtsform, aber mit allen übrigen nschränkungen stellt Vf. die Abhängigkeit ε(γ) für einige Fälle explizit dar. Vielfach reben sich für Mehrteilchenkonfigurationen nichtaxiale Gleichgewichtsformen (beders wenn Neutronen und Protonen verschiedene Schalen besetzen wie in schweren d halbschweren Kernen). Auch für stark deformierte Kerne bleibt gültig, daß für lige Zustände die Energie des Außennukleons minimal für eine abgeplattete axialnunetrische Form, maximal für eine verlängerte ist, während für andere Zustände das genteil gilt; es gibt also Konfigurationen, bei denen die Konkurrenz dieser Zustände e nichtaxiale Form liefert. Für Mehrteilchenkonfigurationen kann die Korrelation r Außennukleonen (Zusatzwechselwirkung mit Rumpfdeformationen) wesentlich wern, die früher (Ber. **39**, Nr. 3-824, 1960) untersucht wurde.

J. C. Verstelle, G. W. J. Drewes and C. J. Gorter. The spin-spin relaxation of PPH in parallel fields. Physica 26, 520–528, 1960, Nr. 7. (Juli.) (Leiden, Kamerlingh nes Lab.) Es wird eine Methode angegeben, mit der es bei Benutzung einer Doppel-Brücke möglich ist, gleichzeitig die beiden Komponenten der komplexen magnetischen szeptibilität, $\chi = \chi' - j\chi''$, zu messen. Die experimentellen Ergebnisse werden für 8 Radikal Diphenylpikrylhydrazil in Abhängigkeit von der Größe des parallelen agnetfeldes dargestellt. Die Relaxationszeit wird für 20,4°K angegeben. Sie ist vom Beren, konstanten Magnetfeld abhängig.

J. H. van Vleek. Note on the gyromagnetic ratio of Co^{++} and on the Jahn-Teller fect in Fe^{++} . Physica 26, 544-552, 1960, Nr. 7. (Juli.) Mit Hilfe der Methode der seudodrehimpulse — der Tatsache, daß die Bahndrehimpulse eines in einem kubischen ertauschungsrelationen wie die Bahndrehimpulse eines p-Zustandes gehorchen ertauschungsrelationen wie die Bahndrehimpulse eines p-Zustandes gehorchen das gyromagnetische Verhältnis des Co^{++} im kubischen Feld zu g=1,65 berechnet, i einer weiteren Anwendung dieser Methode wird gezeigt, daß der Jahn-Teller-Effekt der magnetischen Resonanz von Fe^{++} zu vernachlässigen ist.

1910 I. A. Vaisman. Certain new magic nucleon numbers. Soviet Phys.-JETP 7, 4-915, 1958, Nr. 5. (Nov.) (Engl. Übers. aus: J. exp. theor. Phys., Moskau 34, 125-1327, 1958, Mai.) Aus der Isotopenverteilung von Ni und Fe und aus ihren reuquerschnitten für thermische Neutronen wird auf eine magische Zahl 30 für Neutonen geschlossen. Infolge Fehlens von stabilen Kernen und aus weiteren Phänomenen och den Protonen- und Neutronenzahlen 42 und 60 gibt Vf. diese auch als magische ablen. Alle neuen Zahlen lassen sich nicht nach dem Schalenmodell erklären und müssen dere Ursache haben.

911 G. Breit. Vector meson coupling in nucleon-nucleon interactions. Science 131, 16-1317, 1960, Nr. 3409. (29. Apr.) (S. B.) (Yale Univ.) V. Weidemann.

912 B. Johansson and T. Alväger. The high-frequency deflection method for measuring ort half-lives. I. Principle and some measurements. Ark. Fys. 17, 163-176, 1960, Nr. 2. tockholm, Nobel Inst. Phys.) Zwei Elektronen, die einem Kaskaden-Übergang entammen, durchlaufen getrennte (doppelfokussierende) magnetische Zylinderlinsen und nier dem Magnetfeld je einen Plattenkondensator, an dem eine Hochfrequenzwechselannung liegt, welche die Elektronen senkrecht zur Ebene der magnetischen Radiallenkung beeinflußt. Hinter den Kondensatoren befindet sich je ein Auffängerspalt it Detektoren, die in Koinzidenz geschaltet sind. Entsprechend der Emissionsvergerung der einen Elektronensorte gegenüber der anderen werden die Elektronen unterhiedlich in Axialrichtung abgelenkt. Die Auslenkung kann entweder durch eine eichspannung an einem der Kondensatoren oder durch eine Phasenverschiebung r Hochfrequenz gegeneinander beeinflußt werden. Aus der Koinzidenz-Phasen-

verschiebungsfunktion folgt die Halbwertszeit des untersuchten Energiezustandes Kaskade wie bei der Methode der verzögerten Koinzidenzen. Daten: 1. Magnetfe Mittlerer Radius der Elektronenbahn = 15 cm; Transmission = 0,1 . . . 0,2%; Abstaur Quelle = 5 cm; Abstand zum Auffängerspalt = 120 cm. 2. Wechselfeldfreque 146 MHz; Amplitude 3 kV für 300 keV Elektronen. 3. Detektoren: Plastische Sztillatoren mit RCA 6342—SEV. 4. Koinzidenzauflösung 2 τ = 3,5 ns. Erreichte nauigkeit: $T_{1/2} \ge 3 \cdot 10^{-11}$ s. Es werden Werte für einige Niveaus von ²⁰³Tl, ²³³U, ²⁰⁶ und ²¹²Bi angegeben. K. H. Oertel

4–913 Torsten Alväger. The empirical matrix element of the M 4 transition in Xe Ark. Fys. 17, 521–534, 1960, Nr. 6. (Stockholm, Nobel Inst. Phys.) Es wurde Zerfallskette $^{135}J \rightarrow ^{135}Xe \rightarrow ^{135}Cs \rightarrow ^{135}Ba$ zur Herstellung von ^{135}Xe benutzt. A gangsmaterial: im Reaktor bestrahltes Uranylnitrat. Die Meßproben wurden du elektromagnetische Isotopentrennung gereinigt (Trennfaktor ca. 3 · 104; Ionenstr zum Kollektor: 10 . . . 50 μ A; Auflösung des Trenners: 1000 . . . 2000). Die Halbwe zeit des ^{135m}Xe -Niveaus wurde an einer jodfreien Probe durch Beobachtung der keV γ -Linie (Szintillationsmeßtechnik) zu (15,8 \pm 0,4) min bestimmt. Auf gleicl Wege ergab sich ein K-Konversionskoeffizient $\alpha_K = 0.21 \pm 0.05$. Die Energiebestimm des M4-Überganges erfolgte mit einem doppelfokussierenden β -Spektrometer und e ^{135}J -Quelle, die in einem "schnellen" Trennverfahren angereichert wurde. E $_{\gamma} = (527, 0.8)$ keV. Die Matrixelemente von ^{125m}Xe , ^{132m}Xe , ^{131m}Xe sind innerhalb der Fergrenzen konstant; nur das von ^{125m}Xe ist kleiner. $T_{1/2}$ (^{131m}Xe) = (12,0 \pm 0,2) d; (^{129m}Xe) = (8,9 \pm 0,2) d.

4-914 P. G. Roll and F. E. Steigert. Characteristics of heavy ion tracks in nuclear en sions. Nuclear Phys. 16, 534-544, 1960, Nr. 3. (Mai.) (New Haven, Conn., Ur Sloane Phys. Lab.) Untersucht wurden die Spuren von ⁴He, ¹⁰B, ¹¹B, ¹²C, ¹⁴N, ¹⁶C, und ²⁰Ne. Die von einem Linearbeschleuniger gelieferten Strahlen dieser Ionen wur nach dem Durchlaufen von Bremssubstanzen zur Energiebestimmung magnet analysiert und unter einem Winkel von 5° in 50 µm dicke Schichten photographisc Kernemulsion eingeschossen. - Mikroprojektoren wurden verwendet, um die Re weiten der Ionen in den Emulsionsschichten zu messen. Die resultierenden Ener Reichweite-Beziehungen in Ilford G-5-Emulsion mit einer Dichte von 4,00 g sind in Kurven- und Tabellenform dargestellt. Die relative Unsicherheit sowohl in Reichweite als auch in der Energie wird oberhalb von 2 MeV pro Masseneinheit ± 1% angegeben. — Mit Mikroprojektoren sowie mit binokularen Mikroskopen, mit Spezialokularen ausgerüstet waren, wurde die Spurbreite für die verschiede Ionen als Funktion der Restreichweite bestimmt. Außer der bekannten Abnahme Spurbreite zum Spurende hin ergab sich, daß bei gleicher Restreichweite die Spuren stets etwas breiter sind als die 10B-Spuren. Trägt man die Spurbreite als Funk der Teilchengeschwindigkeit auf, dann fallen die Kurven für 10B und 11B zusammer Tietg

4-915 G. B. Beard and W. H. Kelly. Search for the natural alpha activity of turn Nuclear Phys. 16, 591-596, 1960, Nr. 4. (Juni.) (East Lansing, Mich., Univ., Phys. Astron.) Die Szintillationseigenschaften von CdWO₄- und CaWO₄-Krista wurden untersucht, um sie auch bei der Suche nach der natürlichen α-Aktivität von Vram einsetzen zu können. Die relative γ-Ansprechwahrscheinlichkeit ist für beide stalle etwa gleich und etwa der 0,1. Teil der Ansprechwahrscheinlichkeit eines NaI Kristalles. Eine äußere 5,3 MeV-α-Quelle erzeugt etwa die gleichen Impulse wie 4,7 MeV γ. Die Szintillationszerfallszeiten betragen 3,3 μs bzw. 3,9 μs für CaWO₄ CdWO₄. Eine natürliche α-Aktivität von Wolfram konnte nicht festgestellt wer Es kann aus den Messungen geschlossen werden, daß, wenn ein Wolframisotop α-ε ist, dann dessen Halbwertszeit größer als 8 K·10¹⁷ a ist, wobei K der relative Antei aktiven Isotops im natürlichen Isotopengemisch ist.

4–916 A. K. Walter, I. I. Zalubovsky, A. P. Klucharev and V. P. Lutzik. Energy of Zn^{65} . Ukrain. fis. Sh., Kiew 4, 46–51, 1959, Nr. 1. (Jan./Febr.) (Orig. ukrain. m. Zfg.) Vff. ermittelten das Niveauschema von ⁶⁵Zn aus den γ-Übergängen der Real ⁶⁵Cu (p, nγ) ⁶⁵Zn und des β-Zerfalls von ⁶⁵Ga, das durch die Reaktion ⁶⁴Zn (p, γ) erzeugt wurde. Für die Halbwertszeit von ⁶⁵Ga erhielten sie (16 \pm 1) min. Po

- Naoshi Mutsuro, Yuji Ohnuki, Kazuo Sato, Kosuke Kageyama and Motoharu mura. Fine structure in the $N^{14}(\gamma,n)$ N^{13} activation curve. J. phys. Soc. Japan 14, 57–1458, 1959, Nr. 10. (Okt.) (Sendai, Tohoku Univ., Dep. Phys.) Die relative egrale Photoneutronenausbeute von ¹⁴N wurde im Energiebereich von 10 bis 17 MeV remsstrahlung eines 25 MeV Betatrons) nach der Bestrahlung von NaN₃ durch den chweis der Positronenvernichtungsstrahlung von ¹³N bestimmt. Hierbei konnten aus n Verlauf der Aktivierungskurve außer den bekannten Energieniveaus für ¹⁴N von 49; 11,61; 12,39; 12,92; 13,28 MeV (\pm 0,5 MeV) noch Niveaus bei 13,87; 14,62; 30 MeV (\pm 0,5 MeV) festgestellt werden.
- 918 **0. Hittmair.** Kernreaktionen in direkter Wechselwirkung. Acta phys. austr. **12**, —90, 1958, Nr. 1. (Buenos Aires.) V. Weidemann.
- B. Czapp und H. Vonach. Messung des Wirkungsquerschnittes und der Energieteilung der a-Strahlen bei der Reaktion Cu⁶³ (n, a) Co⁶⁰. Anz. Österr. Akad. Wiss.. th.-naturw. Kl. 1960, S. 13-23, Nr. 2. (S. B.) Für Messungen von Energieverteilungen d Wirkungsquerschnitten bei (n, α)-Prozessen in Kernspurenemulsionen wurde eine eignete Vakuumkammer gebaut. Der Wirkungsquerschnitt der Reaktion Cu⁶³ (n, α) 60 ergab sich: a) photographisch zu 67/4πmb/Einheitsraumwinkel in der Vorwärtshtung (Winkelbereich 0 bis 17°) — bei Isotropie der Winkelverteilung entspricht dies nem Wert von 67 mb ($\pm 25\%$), b) durch Aktivierungsmessungen zu 47 mb ($\pm 20\%$). e beiden Werte sind relativ zu dem (n, α)-Wirkungsquerschnitt von Aluminium von 6 mb gemessen worden. Die Energieverteilungen der α-Teilchen aus den Reaktionen ⁶³ (n, α) und Al²⁷ (n, α) wurden in Photoplatten bestimmt. Die Maxima der gemessenen hergieverteilungen liegen für Al²⁷ bei 4,5 MeV und für Cu⁶³ bei 8 MeV. Es zeigt sich eine rschiebung der Maxima mit steigendem Z im Gegensatz zu den Messungen von I. Ku-BE, jedoch in Übereinstimmung mit den Messungen von C. B. FULMER und L. Cohen an (p,α) -Reaktionen. Die Werte wurden mit der statistischen Reakonstheorie verglichen. Die Messungen ergeben keinen Widerspruch zur Theorie, wenn an den Berechnungen neuere Literaturwerte für die Niveaudichtezunahme zugrundegt. Doch ist die Errechnung der ot-Werte noch zu unsicher, um entscheidende Ausgen machen zu können. Die sich aus den Energieverteilungen ergebenden Kernmperaturen betragen: Na²⁴ T = 1,4 MeV (\pm 14%), Co⁶⁰ T = 1 MeV (\pm 17%). Die iveaudichtefunktion läßt sich bei Anregungsenergien von 3 bis 8 MeV als Gerade im alblogarithmischen Maßstab darstellen.
- 920 E. Almqvist, D. A. Bromley and J. A. Kuehner. Resonances in C^{12} on carbon actions. Phys. Rev. Letters 4, 515–517, 1960, Nr. 10. (15. Mai.) (Chalk River. Ont., un., Atom. Energy Can., Chalk River Lab.) Vff. untersuchen die Reaktionsausbeuten γ , γ , γ , n) der Reaktion γ chalk River Lab.) Vff. untersuchen die Reaktionsausbeuten urde ein γ chart definierter Energie (9–29 MeV in Laboratoriumskoorditen) aus einem Tandembeschleuniger auf ein C-Target geschossen. Für Einfallstergien unterhalb der Coulomb-Schwelle für Anregung zu γ Mg (20 MeV) wurden für le angegebenen Reaktionsprodukte übereinstimmende, scharf isolierte Resonanzen funden. Im Gegensatz hierzu stiegen die Reaktionsausbeuten bei der Reaktion γ + 160 stetig mit der Anregungsenergie an. Aus diesem Befund wird auf die Bildung un quasimolekularen Zuständen mit einer Lebensdauer von etwa 10-20 s geschlossen. iese enden entweder durch Übergang in den Compoundkern oder durch Reemission nes 12C-Kerns durch die Coulombschen Abstoßungskräfte. Danach hat das Wechselrkungspotential noch jenseits der Coulomb-Barriere ein Minimum.
- 1921 Erich Vogt and Hugh McManus.,, Molecular" states formed by two carbon nuclei.

 Tys. Rev. Letters 4, 518-520, 1960; Nr. 10 (15. Mai.) (Chalk River, Ont., Can., Atomic nergy Can.) Es werden physikalische Ursachen dieser neuen Zustandsform und die olgerungen für die Kernstruktur diskutiert. Vgl. die Arbeit von Almquist, Bromley and Kuehner, vorst. Ref.
- 922 G. F. Bogdanov, N. A. Vlasov, S. P. Kalinin, B. V. Rybakov and V. A. Sidorov. he (p, n) reaction on lithium and the ground state of the ⁶Be nucleus. J. nuclear Energy 8, 8–155, 1958, Nr. 1/3. (Nov.) Nach der Laufzeitmethode wurden beim Beschuß von

⁶Li und ⁷Li (angereichertes Material) mit 9 MeV-Protonen die Neutronenspektren stimmt. Die beobachteten Neutronengruppen der Reaktionen ⁶Li (p, n) ⁶Be und (p, n) ⁷Be entsprechen beim ⁶Be dem Übergang in den Grundzustand und beim Übergängen in drei angeregte Zustände. Der Q-Wert für die ⁶Li-Reaktion bet —5,2 MeV, die Breite des Grundzustandes von ⁶Be ist kleiner als 0,3 MeV. Die derentiellen Wirkungsquerschnitte obiger Reaktionen für 0, 15, 30, 60 und 120° sind gegeben.

- 4–923 **B. D. Kuz'minov** and **G. N. Smirenkin.** Systematics of the average number prompt fission neutrons. Soviet Phys.-JETP 7, 356–347, 1958, Nr. 2. (Aug.) (Edibers, aus.: J. exp. theor. Phys., Moskau 34, 503–504, 1958, Febr.) Durch Betr tung der einzelnen Energieanteile in der Energiebilanz bei der Kernspaltung I $E_k + \nu \cdot E_n + E_\gamma$ ($E_f = \text{Spaltenergie}$, $E_k = \text{kinetische}$ Energie der Bruchstü $\nu \cdot E_n$ und E_γ sind die durch Neutronen und γ -Strahlung abgegebenen Energien die durchschnittliche Anzahl ν der prompten Spaltneutronen in Abhängigkeit von Ladung Z und Massenzahl A der spaltbaren Kerne (Z > 90) erhalten. Hierbei z sich bis auf den Wert von ²³⁸U eine Übereinstimmung mit dem Experiment. Die Schastruktur der Kernbruchstücke bedingt, daß ν in Abhängigkeit von A bei konstante für die Kerne Z < 94 nicht monoton mit A ansteigt.
- 4–924 **D. Magnac-Valette, E. Lacombe, R. Bilwes** et **P. Cüer.** Détermination des sect efficaces de la réaction D+D=p+T+4,03~MeV à des énergies inférieures à 15 J. Phys. Radium **21**, 125–126, 1960, Nr. 2. (Febr.) (Strasbourg, Fac. Sci., Lab. Pcorpusculaire.) Behnse
- Masahiko Matsumoto. Photodisintegration of the deuteron in the high en 4 - 925range. Progr. theor. Phys., Kyoto 23, 597-609, 1960, Nr. 4. (Apr.) (Otsu, Univ.) Gegensatz zu den meisten Autoren, die sich bei der Behandlung der elektrischen Wec wirkung zwischen dem Deuteron und der Strahlung auf die Berechnung der E1-E2-) Übergänge beschränken und außerdem nur das erste Glied in der Potenzreiher wicklung jeder Multipolwechselwirkung nach xr (x Impuls des Photons) berücksi gen, verwendet Vf. einen vollständigen Ausdruck für die elektrische Wechselwirk der alle Multipolordnungen enthält, und vermeidet eine Entwicklung nach Pote von xr. Für den Anfangszustand des Deuterons wird die aus der Pionen-Theorie folg Wellenfunktion benutzt; genauer gesagt, eine analytische Approximation dieser F tion, die 7% D-Zustands-Beimischung enthält und das Quadrupolmoment 2,6·10-2 liefert. Der Endzustand wird als ebene Welle idealisiert. Für den Bereich zwis 80 und 300 MeV der Energie Ey des einfallenden Photons werden (unter Berücksi gung allein der elektrischen Übergänge) der disserentielle und der totale Wirkt querschnitt für die Photospaltung berechnet. Es zeigt sich, daß für $E_{\gamma} \gtrsim 80~MeV$ Entwicklung der Wechselwirkung nach zr nicht statthaft ist und zu einer Unterse zung der Wirkungsquerschnitte führt. Weiterhin wird ersichtlich, daß der Einfluß Multipolordnungen, die höher als E2 sind, für Eγ ≤ 80 MeV keine Rolle spielt, und die D-Zustands-Beimischung eine große Bedeutung für die Ergebnisse besitzt. Di rechnete Anregungsfunktion kann den experimentellen Höcker bei 280 MeV reproduzieren; es ist zu erwarten, daß eine Übereinstimmung zwischen den theoretis und den experimentellen Werten durch Hinzunahme der virtuellen Mesoneffekte et werden kann, wobei noch ein geeigneter Singulett-Zustand als Endzustand beim 1 nanzübergang zu verwenden ist. H. Pa
- 4-926 T. J. Kennett and H. G. Thode. Diffusion phenomena and isotope effects is extraction of fission-product xenon and krypton from irradiated U_3O_8 . Canad. J. 138, 945-954, 1960, Nr. 7. (Juli.) (Hamilton, Ont., Univ., Dep. Phys.) U_3O_8 -Prwurden im Reaktor NRX bestrahlt, anschließend aufgeheizt und die Spaltprodukt und Kr extrahiert. Deren dabei auftretende Diffusion wurde als Funktion der Teratur untersucht. Dabei zeigten sich Isotopen-Fraktionierung und zwei Wert die Diffusions-Aktivierungsenergie. Für die Spaltproduktausbeuten von ¹³¹Xe und ergab sich abnorme Anreicherung bis zum Faktor zehn. Beim Vorkömmen von Isotopen-

aktionierung zeigten die Diffusionsversuche einen extrem niedrigen Wert der tivierungsenergie (0,13 eV). Isotopen-Anreicherung und Aktivierungsenergie stehen glicherweise zur Lebensdauer der Xe-Mutterprodukte in Beziehung.

. Schneider.

- 927 B. M. Spicer. The photodisintegration of nuclei with Z between 9 and 30. Aust. J. ys. 11, 490—501, 1958, Nr. 4. (Dez.) (Melbourne, Univ., Phys. Dep.) Die Größe der ispaltung einer Riesenresonanz bei Kernphotoreaktionen (Danos-Okamoto-Essekt) abhängig von der Deformation des Kernes. In fünf Fällen wurde die Theorie von Nos experimentell verifiziert, während weitere fünf Fälle noch experimentell zu üfen sind.
- 928 E. W. Titterton and T. A. Brinkley. Rare modes in the spontaneous fission of ifornium-252. Nature, Lond. 187, 228–229, 1960, Nr. 4733. (16. Juli.) (Canberra, istral. Univ., Res. School Phys. Sci.) Winzige 252 Cf-Mengen wurden in Ilford- K_0 und 1-Emulsionen eingeschlossen. In diesen zeigten sich folgende Teilchenspuren bei sponner 252 Cf-Spaltung: 50000mal Zwei-Teilchen-Spaltung, 179mal Drei-Teilchen-Spaltung vei schwere Kerne und ein a-Teilchen langer Reichweite), 8 als sicher, 4 als möglich zusehende Fälle von Spaltung in vier (schwere) Bruchstücke, 3 wahrscheinliche Sonderle davon (zwei schwere Kerne, ein leichter Kern kurzer, ein a-Teilchen langer Reichite). Außerdem kommen vor: Zwei- und Drei-Teilchen-Spaltungen mit anschließendem ickstoß der Fragmente, Drei-Teilchen-Spaltungen mit einem leichten Kern kurzer ichweite (Wahrscheinlichkeit gegenüber Zwei-Teilchen-Spaltung $1:80\pm20)$ und in ei etwa gleiche Bruchstücke. Die Befunde werden kurz diskutiert.

W. Schneider.

- 929 0. M. Bilaniuk and J. B. French. s-particle doublets in certain light nuclei. uclear Phys. 17, 435-447, 1960, Nr. 3. (Juli.) (Rochester N. Y., Univ., Dep. Phys. tron.; Utrecht, Rijksuniv., Fys. Lab.) Die Aufspaltung eines zu einem Nukleon im Lustand bei 11B gehörigen Dubletts wurde theoretisch untersucht. Danach ist für jene weekenselwirkung zuständig, deren Spinabhängigkeit vorzugsweise durch einen Ausuck der Form (s₁·s₂) (t₁·t₂) darstellbar ist. (s, t Spin=, Isobarenspinoperator.) eitere s-Dubletts von 16N, 28Al, 32P wurden betrachtet; die Spinahhängigkeit reffektiven n-p-Wechselwirkung zwischen inäquivalenten Nukleonen scheint hwächer als vermutet. Die Wechselwirkungsenergien wurden auf ganz einfache Weise rechnet.
- Rudolph Sher and Jean Leroy. The value of ν for fission spectrum induced and contaneous fission of ²³⁸U. J. nuclear Energy (A) 12, 101–107, 1960, Nr. 3. (Juni.) pton, Long Isl., Brookhaven Nat. Lab.; Gif-sur-Yvette, France, Centre Etudes Nucl. clay.) Der effektive Wert von ν für die ²³⁸U-Spaltung durch schnelle Neutronen paltneutronen) wurde mit Hilfe von Streumessungen und mit Hilfe einer Koinzidenzeßtechnik gemessen. Das Verhältnis ν_{238}/ν_{235} (therm.) stimmt mit früheren Messungen erein. Man erhält als besten Wert für dieses Verhältnis 1,160 \pm 0,020. Für ν_{235} erem.) = 2,47 \pm 0,03 ergibt sich ν_{238} (Spaltspektrum) = 2,86 \pm 0,05. Für die spontane valtung von ²³⁸U ergibt sich ν = 2,10 \pm 0,08 in guter Übereinstimmung mit anderen Röbert.
- Wang Han-chang, Wang Tsu-tsen, W. I. Wechsler, N. M. Wirjassow, I. Vranabing Da-tsao, Kim Chi In, E. N. Kladnizkaja, A. A. Kusnezow, A. Michul, Ngujen in Ty, A. W. Nikitin und M. I. Solowjew. Erzeugung eines $\overline{\Sigma}$ -Hyperons durch ein gatives Pion mit einem Impuls von 8,3 GeV/c. Sh. exp. teor. Fis. 38, 1356-1359, 1960, r. 4. (Orig. russ.) (Dubna, Vereinigt. Kernforschunginst.) Unter 40000 Aufnahmen in der Propan-Blasenkammer, die mit negativen Pionen mit $8,3\pm0,6$ GeV/c im konstanten agnet-feld von 13700 Oe beschossen wurde, fanden Vff. einen Erzeugungs- und Zerfallsakt des $\overline{\Sigma}$ -Hyperons. Das Primärpion erzeugt einen Stern mit vier geladenen, sehr energie-
- nes Σ^- -Hyperons. Das Primärpion erzeugt einen Stern mit vier geladenen, sehr energieichen Teilchen, zwei K° -Mesonen und ein langsames Teilchen. Eines der positiven
 eilchen zerfällt in ein π^+ und ein neutrales Teilchen, das seinerseits einen sechsstrahich Stern mit der Kinematik eines Σ -Zerfalls erzeugt. Er enthält fünf positive Teilchen
 id ein negatives Pion; die positiven Teilchen scheinen vier Protonen und ein positives
 on zu sein. Die Energie der geladenen Teilchen des Sterns ist größer als die E_{kin} eines

Neutrons mit 1628 MeV/c; es handelt sich also um die Vernichtung eines Antineutr an einem C-Kern, wahrscheinlich $\bar{n}+C\to He_2^4+4p+3n+\pi^++\pi^-+n\pi^0$. Abschätzungen über die Energien der erzeugten Neutronen und π^0 erhält man e Energie des Sterns von 2336 MeV. Das läßt auf die Vernichtung eines Antineutr schließen, das in der Reaktion $\bar{\Sigma}^-\to\pi^++\bar{n}$ aus einem Antihyperon entstanden Die Wahrscheinlichkeit für die zufällige Koinzidenz von Ereignissen in einer Aufnah die den beschriebenen Prozeß vortäuschen, ist 10°. Als wahrscheinlichste Reakt für den Primärstern wird angenommen $\pi^-+C\to\bar{\Sigma}^-+K^0+\bar{K}^0+K^-+p+\pi^-+R$ ückstoßkern. Für die Lebensdauer des $\bar{\Sigma}^-$ ergeben sich $(1,18\pm0,07)\cdot10^-$ Voge

- 4-932 R.N. Spear. Excited states of *Be from the *TLi (d, n) *Be reaction. Aust. J. Pl. 11, 502-506,-1958, Nr. 4. (Dez.) (Melbourne, Univ., Phys. Dep.) Das Neutronenspektr der Reaktion *TLi (d, n) *Be (Deuteronenenergie 700 keV) wurde mittels Kernemuls bei 0°, 75° und 135° aufgenommen. Obschon Statistik und Auflösungsvermögen anderen Autoren übereinstimmten, fand der Vf. im Gegensatz zu diesen, daß außer direkten Übergang in den Grundzustand nur das 2,9 MeV-Niveau des *Be an die Reaktion beteiligt ist.
- 4-933 V. G. Nosov. Fine structure of α-decay of even-even nuclei. Bull. Acad. Sci. Sci. Phys. 21, 1541-1545, 1957, Nr. 12. Die Feinstruktur des α-Zerfalls wird auf regung von Rotationszuständen des Tochterkernes zurückgeführt. Auf Grund di Vorstellung werden für schwere (g,g) Kerne Deformationsgrade berechnet, die in grundlitativer Übereinstimmung mit den Meßdaten aus Anregungsenergien sind.
- 4-934 C. J. Herrlander, R. Stockendal and R. K. Gupta. The decay of Tl²⁰¹. Ark Fys. 315-335, 1960, Nr. 3/4. (Stockholm, Nobel Inst. Phys.) Mit einem doppelfokussieren β-Spektrometer (0,3 bzw. 0,17% Auflösung) wurden durch Ausmessen der inneren K version die Energien von 5 Übergängen zu 30,60; 32,19; 135,34; 165,88 und 167,43 bestimmt. Es sind alles M1-Übergänge, obwohl im Falle des 165,88 keV-Überganges 7% jeger E2-Beitrag nicht ausgeschlossen werden kann. Die Multipolaritäten wurde zwei Fällen auch mit Hilfe der äußeren Konversion überprüft (2,19 mg/cm² Uranl verter), indem auf diesem Wege der Absolutwert des inneren K-Konversionsko zienten ermittelt wurde. Elektronen-γ und γ-γ-Koinzidenzmessungen (Auflösung 0,2 unterstützen die Diskussion des Zerfallsschemas. Die ersten 3 angeregten Ener niveaus von Hg²⁰¹ sind 1,57; 32,19 und 167,49 keV, ohne daß für sie oder den Grusstand schon eine eindeutige Spin-Paritätszuordnung angegeben werden kann.
- 4–935 R. K. Gupta. On the determination of the electron-capture decay energies of and Tl^{202} . Ark. Fys. 17, 337–342, 1960, Nr. 3/4. (Stockholm, Nobel Inst. Phys.) I methodik: Aufnahme des Szintillationsspektrums mit einem konventionellen 1,5 1" bzw. 3" × 3" NaJ(Tl)-Szintillationsspektrometer. Bestimmung der Koinzide zwischen den energiereichsten γ -Strahlen und den K-Röntgenstrahlen, um das Verhä von L₁-Elektroneneinfang zu K-Elektroneneinfang beim Übergang in den höchster geregten Zustand des Tochterkernes zu ermitteln, woraus die gesamte Zerfallsenerg bei Elektroneneinfang folgt. 1. 201 Tl (Koinzidenzen mit der 167 keV- γ -Strahlung aus 2. angeregten Zustand des 201 Hg): $E_d = (405 \pm ^{40}_{40})$ keV. 2. 202 Tl (Koinzidenzen mit 965 keV- γ -Strahlung des 2. angeregten Zustandes von 202 Hg): $E_d = (1110 \pm 20)$
- 4–936 G. Bäckström and I. Marklund. The decay of As⁷⁶ to Se⁷⁶. Ark. Fys. 17, 393–1960, Nr. 5. (Uppsala, Inst. Phys.) Mit einem doppelfokussierenden β-Spektrom (50 cm Radius) wurden unter Anwendung der äußeren Konversion (Konvertermal 1...3 mg/cm² Uranoxyd bzw. Blei) Präzisionsbestimmungen des γ-Spektrums digeführt, wodurch bisher nicht aufgelöste Linienpaare bei 1200, 1400 und 2100 festgestellt wurden. Diese Ergebnisse führen zusammen mit γ-γ-Koinzidenzmessu zu neuen Energieniveaus des ⁷⁶Se: 1788, 2112 und 2434 keV. Dem höchsten Nibei 2656 keV werden entgegen bisherigen Auffassungen ungerade Parität und Okt Schwingungen zugeschrieben.

- -937 R. G. Wilson and M. L. Pool. Radioactive decay of Lu^{172} . Phys. Rev. (2) 118, 067—1072, 1960, Nr. 4. (15. Mai.) (Golumbus, O., Univ., Dep. Phys. Astr.) Ytterbium-xyd, das zu 95,9% an dem Isotop 172 Yb angereichert ist, wird mit 6 MeV-Protonen eschossen. Eine induzierte Aktivität, die durch Elektroneneinfang mit der Halbwertseit (6,70 \pm 0,04) Tage zerfällt, wird 172 Lu zugeschrieben und dafür ein Zerfallsschema ufgestellt.
- -938 0. E. Johnson and W. G. Smith. Beta decay of Y^{91} . Phys. Rev. (2) 118, 1315—1318, 960, Nr. 5. (1. Juni.) (Lafayette, Ind., Univ., Phys. Dep.) Mit einem NaJ(Tl)-Szin-üllationszähler und einem $^4\pi$ -β-Szintillationsspektrometer wird der Zerfall von 91 Y $T_{1/2}\approx 60$ d) untersucht. Zu 99,7% findet direkter β-Übergang in den Grundzustand on 91 Zr statt (1,53 MeV). Die einzige γ-Linie wurde zu (1,208 ± 0,010) MeV bestimmt. Das Spektrum des zugehörigen β-Übergangs wurde in Koinzidenz gemessen. Es hat die Maximalenergie (0,319 ± 0,010) MeV, der Formfaktor steht klar im Gegensatz zu dem ermuteten für einen einfach verbotenen Übergang.
- 4-939 **B. D. Kern, W. E. Thompson** and **J. M. Ferguson.** Cross sections for some n, p) and (n, α) reactions. Nuclear Phys. 10, 226–234, 1959, Nr. 3. (März.) (San Francisco, Calif., U. S. Naval Radiol. Def. Lab.) Die Wirkungsquerschnitte der Reaktionen $^{14}\text{Mg}(n, p)$ ^{24}Na , $^{27}\text{Al}(n, \alpha)$ ^{24}Na , $^{28}\text{Si}(n, p)$ $^{28}\text{Si}(n, p)$ ^{28}Al , $^{52}\text{Cr}(n, p)$ ^{52}V , $^{56}\text{Fe}(n, p)$ ^{56}Mn wurden in $^{3}\text{H}(d, n)$ $^{4}\text{He-Neutronen}$ von 11 MeV bis zu 18 MeV (teilweise) nach der Aktivierungsnethode bestimmt, wobei die den β-Zerfall begleitende γ-Strahlung nachgewiesen wurde.
- 4-940 A. N. Sosnovsky, P. E. Spivak, Yu. A. Prokofiev, I. E. Kutikov and Yu. P. Dobrinin. Measurement of the neutron life-time. Nuclear Phys. 10, 395-404, 1959, Nr. 4. [Apr.] (Moscow, USSR Acad. Sci., Atom. Energy Inst.) Für die Halbwertszeit des Neutrons erhielten Vff. $T=(11,7\pm0,3)$ min. Hierzu bestimmten sie die in einem intensiven Neutronenstrahl bekannter Dichte durch β -Zerfall erzeugten Protonen durch Registrierung der unter genau bekannten geometrischen Bedingungen aus diesem Strahl austretenden Zerfallsprotonen.
- 4-941 H. Postma, A. R. Miedema and M. C. Eversdijk Smulders. Angular distribution and linear polarization of gamma rays from aligned ^{166m}Ho nuclei. Physica 25, 671-687, 1959, Nr. 8. (Aug.) (Leiden, Kamerlingh Onnes Lab.) Aus der Anisotropie und der inearen Polarisation der γ-Strahlung beim β-Zerfall von ^{166m}Ho wurden der Charakter und die Multipolordnung dieser Strahlung gewonnen. Das ^{166m}Ho lag bei tiefsten Versuchstemperaturen orientiert vor. Die 817 bzw. 706 keV-Strahlung sind fast reine E2- bzw. E1-Strahlungen. Für die Kernspins und Paritäten ihrer Anfangsniveaus 973 bzw. 1790 keV ergeben sich daraus die Werte 5 bzw. 6-. Der Kernspin von ^{166m}Ho ist ≥ 6. Pott.
- 1-942 Jerzy Jastrzebski. Étude de la désintégration du 139 Ba. J. Phys. Radium 21, 2-16, 1960, Nr. 1. (Jan.) (Orsay, Lab. Phys. Nucl.) Das bisher gefundene Zerfallschema von ¹³⁹Ba weist drei β-Spektren mit Energien von 2380, 2230 und 820 keV auf. Verschiedene Unstimmigkeiten in Arbeiten anderer Autoren (MACKLIN, MITCHELL) pezüglich der Zuordnung der γ- zu den β-Spektren führten zu dieser Untersuchung. Die Proben wurden durch eine (n, γ)-Reaktion aus ¹³⁸Ba im ZoE hergestellt und 60 min nach ler Bestrahlung in einem Siegbahn-Slätis-Spektrometer gemessen, das auch für γ-β-Coinzidenzmessungen mit einer Auflösungszeit von $2 \tau \sim 4 \cdot 10^{-7}$ sec ausgerüstet war. ds wurden 4 β -Gruppen mit Energien von $\beta_1=2300,\ \beta_2=2140,\ \beta_3=1400$ und $\beta_4,$ 000 keV entdeckt. Außerdem existiert eine K- und L-Konversionsstrahlung mit 166 keV, lie mit β2 koinzidiert, welche Energie auch aus den γ-Messungen gefunden wurde. Zur Intersuchung der auftretenden kontinuierlichen Hintergrundstrahlung wurden β-γ-Coinzidenzmessungen durchgeführt. Aus diesen und aus den γ-γ-Koinzidenzmessungen rgibt sich die Existenz eines Energieniveaus mit 950 keV in ¹³⁹Ba, das sich weiter über wei schwache Maxima von 500 und 280 keV entregt. Die Halbwertszeit des 166 keV-Viveaus ergab sich zu \sim 1,7 \cdot 10⁻⁹ s. Die Spinmessung des Grundzustandes von $^{139}{
 m La}$ rgibt 7/2, was mit den Voraussagen des Schalenmodells übereinstimmt. Die Unteruchung gestattet die Aufstellung eines Zerfallsschemas für 139 Ba. Steinacker.

- 4-943 K. Ia. Gromov, B. S. Dzhelepov, A. G. Dmitriev and B. K. Preobrazhem $Nd^{140} \rightarrow Pr^{140} \rightarrow Ce^{140}$ decay series. Bull. Acad. Sci. SSSR, Ser. Phys. 22, 151-155, L. Nr. 2. Vff. untersuchen von neuem die Ausbeute an Auger-Elektronen beim Zedurch K-Einfang von 140 Pr im Gleichgewicht mit 140 Nd. Im Gegensatz zu frühe Bearbeitern wird innerhalb des apparativen Fehlers der theoretische Wert erreicht.
- 4-944 E. P. Grigor'ev, A. V. Zolotavin, I. I. Kuz'min and E. D. Pavlitskaia. D of Rh^{106} . Bull. Acad. Sci. SSSR, Ser. Phys. 22, 191-194, 1958, Nr. 2. (Leningrad, S Univ., Phys. Inst.) Mit einem doppelt fokussierenden β-Spektrometer werden die I versionslinien das kontinuierliche β-Spektrum und das Photoelektronenspektrum 106 Rh aus der Zerfallsreihe 106 Ru \rightarrow 106 Rh \rightarrow 106 Pd untersucht. Ramthu
- 4-945 **B. W. Heschkenbein.** Der β -Zerfall des P^{32} . Sh. exp. teor. Fis. 38, 1341—1 1960, Nr. 4. (Orig. russ.) Der erlaubte $1^+ \rightarrow 0^+$ -Übergang im P^{32} müßte ein Fermis Spektrum haben, die Polarisation müßte v/c sein. Die Messungen von Porter und Johnson u. a. (Ber. 37, 659, 1958; 38, 1901, 1959) zeigen eine kleine Abweich von dieser Form und dieser Polarisation. Vf. schlägt eine Erklärungsmöglichkeit vor darauf beruht, daß für P^{32} gilt $\ln t = 7.9$, dagegen für erlaubte Gamow-Tell

Übergänge In ft \approx 4, so daß das Matrixelement $\int \stackrel{\rightarrow}{\sigma}$ etwa 30–40mal kleiner ist als normaler Wert; dann müssen aber auch Glieder entsprechend dem zweiten Verbot

rücksichtigt werden (hier Glieder von der Form $\int_{-\sigma}^{\sigma} r^2$, $\int_{-(\sigma r)}^{(\sigma r)} r$, $\int_{-(\sigma r)}^{(\sigma r)} r |\operatorname{und} \int_{-(\sigma r)}^{\sigma} r^2$). Der Bei dieser Matrixelemente (der beiden letzten, die am wesentlichsten sind), wird abgeschaften in the second of the second

wobei das Matrixelement $\int |\alpha \mathbf{r}|$, weil es ein Glied proportional zur Energie liefert, da

Experiment fehlt, gleich Null gesetzt wird. Das Verhältnis $\mathbf{x} = \int \mathbf{r} \gamma_5 \mathbf{r} / \int \vec{\sigma}$, das bei Ügängen mit normalem ln ft einen Wert $\approx 0,02$ hat, ist hier $\approx 0,07$, so daß auch Gli mit \mathbf{x}^2 berücksichtigt werden müssen. Die Ausdrücke für Korrekturfaktor und Posation gehen bei Vernachlässigung der \mathbf{x}^2 -Glieder in die Formeln von Morita (PRev. 113, 1584, 1959; Ber. 40, Nr. 1–830, 1961) über; für $\mathbf{x} = 0,08$ erhält man gute Üeinstimmung mit der Messung. Abweichungen vom Fermischen Spektrum und vor Polarisation $-\mathbf{v}/\mathbf{c}$ treten auch beim $1^+ \rightarrow 0^+$ -Übergang im In¹¹⁴ auf; hier erhält Übereinstimmung bei $\mathbf{x} = 0,057$, was allerdings mit dem ln ft von 4,4 schwer zu einbaren ist.

- 4–946 W. L. Tschichladse, D. E. Chulelidse und I. P. Selinow. β und γ -Spektren Isotope Sb^{113} und Sb^{115} . Sh. exp. teor. Fis. 38, 1353, 1960, Nr. 4. (Orig. russ.) Die β - γ -Spektren der von Selinow u. a. entdeckten neuen Sb-Isotope (Atomnaja Ener 5, 660, 1958) wurden mit einem Zweilinsen– β -Spektrometer untersucht. Das Positro spektrum des Sh¹¹³ besteht aus zwei Komponenten mit den Grenzenergien 1,85 \pm und 2,42 \pm 0,02 MeV und den In ft-Werten 4,4 bzw. 4,7. Das Positronenspektrum Sb¹¹⁵ hat die obere Grenze 1,51 \pm 0,02 MeV und In ft = 4,25. Beide Spektren he eine "erlaubte" Form. Das Konversionsspektrum des Sb¹¹⁵ zeigt eine deutliche γ -I von 0,499 \pm 0,002 MeV; der Konversionskoeffizient ist $\alpha_{\rm K}=0,00625$. Das Verhä der Konversionskoeffizienten aus der K- und der L-Schale liegt bei 6. Im γ -Spekt des Sb¹¹³, das mit einem Szintillationsspektrometer untersucht wurde, ließen sich i vorläufigen Ergebnissen acht Linien feststellen. Weitere Ergebnisse über das γ -Spekt sollen in den Arbeiten der X. Tagung über Kernspektroskopie veröffentlicht wer
- Voges 4-947 Ichiro Kawakami. On ratios of the renormalized and the bare coupling cons in the beta decay interaction. Progr. theor. Phys., Kyoto 24, 27-34, 1960, Nr. 1. (Tokyo, Univ., Dep. Phys.) Auf zwei verschiedenen Wegen wird das Verhältnis renormierter zur "reinen" Kopplungskonstante für den Betazerfall ausgerechnet. unbeobachtbare "reine" (bare) Kopplungskonstante ist hierbei definiert als der F faktor a (ξ) an der hochenergetischen Grenze, für $\xi \to \infty$. 1. Es werden die Beiträge von Prozeß ausgewertet, bei dem ein Neutron und ein Antiproton (erzeugen virtuell un lich viele Pionen) in ein Elektron-Neutrino- (oder Antineutrino)-Paar zerstrahlen. I für wird eine Dispersionsrelation für die Vertexfunktion des Betazerfalls angenom

- and mit deren Hilfe das Verhältnis r in der "Leiternäherung" von Federbush u. a. Ber. 38, 1838, 1959) ausgerechnet. Es ergibt sich zu r < 1. 2. Der Beitrag der virtuellen ukleonenpaare wird herücksichtigt: Zunächst wird eine Gleichung für den Vertexperator beim Betazerfall aufgestellt und dann dieser Vertexoperator mit der Näherung on Goto u. a. (Progr. theor. Phys., 20, 216, 1958) berechnet. Für die Axialvektoropplungskonstanten wird r > 1, für die Vektor-Kopplungskonstanten r < 1. Der kperimentelle Wert r \approx 1,2 ergibt sich für ziemlich kleine Abschneideenergie (Ein-Gruhmasse).
- -948 William W. Pratt and Robert G. Cochran. Beta- and gamma-ray spectra of Dd¹¹¹. Phys. Rev. (2) 118, 1313-1315, 1960, Nr. 5. (1. Juni.) (University Park, Penn., Iniv., Dep. Phys. and Coll. Engng. Archit.)

 Ramthun.
- -949 F. Boehm and C. J. Gallagher jr. Measurement of the circular polarization of esonance-scattered gamma rays following the electron capture of Se⁷⁵. Phys. Rev. (2) 119, 58—262, 1960, Nr. 1. (1. Juli.) (Pasadena, Calif., Inst. Technol.) Die zirkulare Polariation der 265 keV-Gammastrahlung, die dem Elektroneneinfangszerfall des Se⁷⁵ zum s⁷⁵ folgt, wurde gemessen. Der Impuls des Neutrons wurde mit Hilfe eines Resonanztreuungsprozesses festgelegt. Aus dem experimentell bestimmten rechtshändigen irkularen Polarisationsgrad von -0,21 ± 0,15 wurde geschlossen, daß das Vorzeichen des Matrixelementes, welches das Verhältnis von Gamow-Teller-Anteilen zu Ferminteilen festlegt, negativ ist.
- 4-950 A. Kjelberg, H. Taniguchi and L. Yaffe. Gamma radiation in the decay of Ag¹¹³. Canad. J. Phys. 38, 866—868, 1960, Nr. 6. (Juni.) (Montreal, Univ., Dep. Chem., Radiochem. Lab.) Die γ-Strahlung des 5,3 h-Isotops ¹¹³Ag wurde mittels Szintillationspektrometer (3"×3" NaJ(Tl) Kristall, 100 Kanal-Analysator) untersucht. Die agen und relativen Intensitäten der gefundenen sieben Linien wurden tabuliert und versuchsweise ein Zerfallsschema von ¹¹³Ag aufgestellt. W. Schneider.
- 7.6. N. Whyte, Balraj Sharma and H. W. Taylor. A note on the decay of Cs^{132} . Canad. J. Phys. 38, 877—880, 1960, Nr. 6. (Juni.) (Kingston, Ont., Univ., Phys. Dep.) Die γ -Linie von 132 Cs wurde mittels Szintillationsspektrometer (3" \times 3" NaJ(Tl) Kristall, W. Kanal-Analysator) gemessen. Als ihre Lage wurde (0,6679 \pm 0,0004) MeV, als Halbwertszeit von 132 Cs (6,48 \pm 0,03) d gefunden. W. Schneider.
- 4-952 Yu. I. Petrov. Gamma radiation from ²³⁵U and ²³⁹Pu fission fragments. J. nuclear energy (A) 12, 129—132, 1960, Nr. 3. (Juni.) Die von den Spaltprodukten des ²³⁵U und ²³⁸Pu emittierte γ-Strahlung wurde für den Zeitraum zwischen 0,6 s und 11 h nach der urzzeitigen Bestrahlung (Impuls) mit luftäquivalenten Ionisationskammern und iEIGER-MÜLLER-Zählrohren in Luft und in Wasser in verschiedenen Abständen von der ²⁷robe gemessen. Für den resultierenden Ionisationsstrom wird eine Formel mit Gültigeit im Bereich zwischen 0,05 und 14 s und im Abstand zwischen 8,2 und 70 cm antegeben. Weitere Ausdrücke werden aus den Ergebnissen gewonnen für die in probekunde emittierte γ-Energie für Zeiten zwischen 0,05 s und 11 h nach der Spaltung.
- 953 Mitsuo Sakai. Spin order in the doublet at the second excited level in even-even needium nuclei. J. phys. Soc. Japan 15, 933, 1960, Nr. 5. (Mai.) (Tokyo, Univ., Inst. Nucl. Stud.) Zwölf gerade-gerade-Nuklide mittlerer Massenzahl wurden in ein Diagramm mit abszisse $\varepsilon_2(2)/\varepsilon_1(2)$ und Ordinate $\varepsilon_1(4)/\varepsilon_2(2)$ eingetragen; $\varepsilon_m(n)$ ist die γ-Übergangsinergie des m-ten angeregten Zustands mit Spinquantenzahl n. Diese experimentellen Verte liegen auf einer flachen Kurve, die ungefähr parallel, aber entgegen der Situaion bei schweren Kernen in beträchtlichem Abstand zu der auch eingezeichneten Kurve der asymmetrischen Rotortheorie nach Davydov und Filippov (1958) verläuft. W. Schneider.
- -954 G. B. Holm, J. R. Burwell and D. W. Miller. Levels in Bi^{210} from the $Bi^{209}(d, p)$ eaction. Phys. Rev. (2) 118, 1247—1256, 1960, Nr. 5. (1. Juni.) (Bloomington, Ind., iniv., Dep. Phys.) Die Q-Werte und differentiellen Wirkungsquerschnitte für Kernzu-

stände im ²¹⁰Bi wurden mit Hilfe der ²⁰⁹Bi (d, p)-Reaktion gemessen. Dabei wurde bisher unbekannte Gruppe mit $Q=2,35\mp0,03$ MeV gefunden, die einem Zustand der wahrscheinlichen Proton-Neutron-Zuordnung (h_{9/2} g_{9/2}) entspricht. Der gefund Q-Wert ist in guter Übereinstimmung mit dem für den 1⁻-Grundzustand des RaE warteten. Es wurden Gruppen mit Anregungsenergien von 0,41, 0,88, 1,4, 2,02, 2,2,18, 3,15 und 4,13 MeV gefunden und Neutronen-Zuordnungen von g/9/2, i_{11/12}, 6_{1/2}, g_{7/2}, d_{3/2} und (h₁₁/2) betrachtet. Ein Vergleich mit den Berechnungen NEWBY und Konopinski für die (h_{9/2} g_{9/2}) Gruppe stützt deren Beobachtung, daß Berechnung von Niveaus in der Umgebung des ²⁰⁸Pb weit weniger genau ist, wensich um Proton-Neutron statt um Proton-Proton bzw. Neutron-Neutron-Wechselkung handelt.

- 4-955 C. G. Shull, M. K. Wilkinson and M. H. Mueller. Slow neutron scattering by titanium isotopes. Phys. Rev. (2) 118, 797-798, 1960, Nr. 3. (1. Mai.) (Oak Ric Tenn., Nat. Lab.; Lemont, Ill., Argonne Nat. Lab.) Es wird über Neutronenbeugun untersuchungen an Proben von TiO₂ mit unterschiedlicher Anreicherung der Ti-Isot berichtet. Es werden die kohärenten Streuamplituden der einzelnen Titanisotope stimmt.
- 4-956 J. M. Ferguson and W. E. Thompson. Cross sections for the (n, 2n) reaction N^{14} , P^{31} , Cu^{83} and Pr^{141} . Phys. Rev. (2) 118, 228-232, 1960, Nr. 1. (1. Apr.) (San Freisco, Calif., U. S. Naval Radiol. Defense Lab.)
- 4-957 H. S. W. Massey and A. H. A. Moussa. The elastic scattering of positrons by attended molecules. Proc. phys. Soc. Lond. 71, 38-44, 1958, Nr. 1 (Nr. 457). (1. Jan.) (Lond Univ. Coll.) Theoretische Überlegungen. Gegenüber Elektronen Vereinfachung du Fehlen von Austauscheffekten, aber bei abstoßendem Potential Wirkungsquerschweniger empfindlich für Einzelheiten von dessen Form, Berücksichtigung der Polarisationtig. Auf Grund der Analyse der experimentellen Daten für He, Ne, A scheint Polsation wesentlich. Dafür spricht auch Variationsrechnung für Streuung an molekular Wasserstoff ohne Berücksichtigung der Polarisation und Vergleich mit diesbezüglich Experiment. Variationsrechnung für atomaren Wasserstoff ohne und mit Einbezieht der Polarisation dagegen ergibt keinen nennenswerten Einfluß der Polarisation.

G. Schumann

- 4-958 James W. Albrecht. Elastic and inelastic scattering cross-sections. An. Soc. of Fis. Quim. (A) 55, 223-226, 1959, Nr. 7/8. (Juli/Aug.) (Chicago, Univ.) Mit Hilfe Streumatrix werden einfache Ausdrücke für die integralen elastischen und unelastisc Streuquerschnitte abgeleitet.
- 4-959 R. S. Barnes and G. B. Redding. The behaviour of helium atoms injected a beryllium. J. nuclear Energy (A) 10, 32-35, 1959, Nr. 1/2. (Juli.) (Harwell, Didd Berks., Atomic Energy Res. Est.) Es wurden Berylliumscheiben mit α-Teilchen 40 MeV (Zyklotron) beschossen und die Zone der He-Anreicherung mikroskopisch uns sucht. Dabei zeigte sich, daß das eingeschlossene He nur dann in Gasblasen auftr wenn das Be hinterher auf 800°C erhitzt wurde. Weitere Erhitzung zeigte mit de Wachsen der He-Blasen eine Abnahme ihrer Anzahl.
- 4-960 M. de Croës, W. Parker and K. Sevier jr. Thin film thickness distribution by all absorption. Nuclear Instrum. 7, 160-166, 1960, Nr. 2. (Mai.) (Uppsala, Inst. phy Eine Anordnung zur Durchmusterung der Dickenverteilung von Filmen, wie man sie Zählrohrfenster und zur Präparierung radioaktiver Quellen braucht, wird beschrieb Damit wird das gasäquivalente Flächengewicht der Folie mittels Durchstrahlung 2010 po-α-Strahlen zwischen 61 und 2050 μg/cm² gemessen. Dickenverteilungen wurd aufgenommen für Al, Al-Oxyd, Au, Ni, Mylar und Zapon. Der mittlere Fehler der zeigten Verteilungen lag bei (± 1) μg/cm².
- 4-961 R. E. Chrien and A. H. Benade. Photoproton and photoneutron production aluminum and copper. Phys. Rev. (2) 119, 748-754, 1960, Nr. 2. (15. Juli.) (Clevela O., Case Inst. Technol.) Es wurde das Verhältnis der Ausbeute von Photoprotonen Photoneutronen in Aluminium und Kupfer bei Bestrahlung mit Betatron Bremsstr

- ung bis zu einer Energie von 20,8 MeV gemessen. Für Aluminium ergab sich eine etwa leiche Ausbeute für Protonen und Neutronen mit Wirkungsquerschnitten von 19 bzw. 1 millibarn. Bei 20,8 MeV erhält man für Kupfer sechs Neutronen für ein Proton mit nem maximalen Wirkungsquerschnitt von 23 millibarn für die Photoprotonen. Die rgebnisse werden mit einer Rechnung verglichen, die annimmt, daß die Reaktion über hen Compoundkern läuft.
- 962 Margaret E. Law, G. W. Hutchinson and D. H. White. Total cross sections for 10 MeV protons. Nuclear Phys. 9, 600-614, 1958/59, Nr. 4. (Jan.) (Birmingham, iniv., Dep. Phys.) Für 910 MeV-Protonen wurden an C, O, D, H folgende totale Wirungsquerschnitte gemessen: $\sigma(C) = (362, 0 \pm 2, 4)$ mbarn; $\sigma(0) = (469 \pm 10)$ mbarn, $(D) = (79, 1 \pm 1, 0)$ mbarn; $\sigma(p) = (46, 1 \pm 0, 5)$ mbarn. Durch Differenzbildung von (D) und $\sigma(p)$ und Korrektion für das freie Neutron ergibt sich für dieses ein totaler Virkungsquerschnitt von $\sigma(n) = (39, 2 \pm 3, 1)$ mbarn.
- -963 **F. R. Metzger, C. P. Swann** and **V. K. Rasmussen.** Partial gamma ray widths for ow lying level in aluminium and magnesium. Nuclear Phys. **16**, 568−590, 1960, Nr. 4. Iuni.) (Swarthmore, Penn., Franklin Inst., Bartol Res. Found.) Wenn Al und Mg mit 3, bis 4,2 MeV-Protonen beschossen werden, so werden 27 Al, 24 Mg und 25 Mg-Niveaus ngeregt, die γ-Quanten aussenden. Verwertet man die Resultate der Selbstabsorption Ind Resonanzstreuungsuntersuchungen, so erhält man folgende Γ_0 -Werte: (1,01 MeV, 2 +) Niveau in 27 Al Γ_0 = 0,98 eV; Γ = 3,9 ± 1,6 · 10⁻⁴ eV 2,21 Niveau in Al²⁷: Γ_0 = 0,98 eV; Γ = (g₁/g₂)·(2,4 ± 0,3)·10⁻² eV (1,37 MeV, 2+) Niveau in Mg²⁴: = (4,2 ± 1,5)·10⁻⁴ eV (1,61 MeV, 7/2+) Niveau in Mg²⁵: Γ = (3,0 ± 1,5)·10⁻² eV ie Winkelverteilung der 1,01 MeV-Resonanzstrahlung hat die Form W(Θ) = 1 + (0,02 ± 0,13) Γ_2 (cos (Θ)) und die der 2,21 MeV-Strahlung W(Θ) = 1 + (0,23 ± 0,03) Γ_2 (cos (Θ)).
- d-964 Marcel Froissart et Raymond Stora. Depolarisation d'un faisceau de protons volarisés dans un synchrotron. Nuclear Instrum. 7, 297—305, 1960, Nr. 3. (Juni.) (Gifur-Yvette, Saclay, C. E. N.) Wird ein anfänglich polarisierter Protonenstrahl in ein eynchrozyklotron eingespeist, so kann er gewissen depolarisierenden Effekten unterliegen, die durch die Inhomogenitäten des Magnetfeldes bedingt sind. Theoretisch wird liese Frage für das 3 GeV-Synchrozyklotron (Saclay) untersucht. Als besonders tritisch für die Depolarisationsessekte wird die vertikale Betatron-Oszillation kombinert mit dem Randessekt des Magnetseldes erkannt. Störungen innerhalb der Quadranen und im Beschleunigungsteil wirken sich weniger aus. Die hier entwickelte Analysest auch auf andere Beschleuniger bzw. andere beschleunigende Teilchen anwendbar. W. Kunz.
- 30 -965 M. Suffert, P. M. Endt and A. M. Hoogenboom. Polarization measurements f proton capture gamma rays. Physica 25, 659—670, 1959, Nr. 8. (Aug.) (Utrecht, Rijksuniv., Fys. Lab.) Für acht beim Protoneneinfang auftretende γ-Linien der Reaktionen 24 Mg (p, γ) 25 Al, 30 Si(p, γ) 31 P, 32 S(p, γ) 33 Cl wurde die lineare Polarisation bestimmt. Die Messung erfolgte durch den Nachweis der Asymmetrie der an einem NaJ-Kristall OMPTON-gestreuten Protoneneinfangstrahlung. Auf Grund der Messungen konnten Olgende Aussagen erhalten werden: Das 2,85 bzw. 2,86 MeV-Niveau in 33 Cl besitzt den Kernspin 5 2+ bzw. 3 2-. Die 2,96 und 2,24 MeV-Strahlung der Reaktion 24 Mg(p, γ) 25 Al E_p = 418 keV) und die 2,85 MeV-Strahlung der Reaktion 32 S(p, γ) 33 Cl (E_p = 580 keV) aben hauptsächlich M 1-Charakter, während die 8,04 MeV-Strahlung der Reaktion Si(p, γ) 31 P (E_p = 776 keV) im wesentlichen E 2-Charakter besitzt.
- -966 N. P. Bogatschew, S. A. Bunjatow, J. P. Merekow, W. M. Sidorow und W. A. arwa. Unelastische Wechselwirkung von 9 GeV-Protonen mit freien und gebundenen Lukleonen in Photoemulsionen. Sh. exp. teor. Fis. 38, 1346-1348, 1960, Nr. 4. (Orig. 1881.) (Dubna, Vereinigt. Kernforschungsinst.) In einer Emulsionskammer, die mit dem ynchrophasotron von Dubna beschossen wurde, registrierten Vff. nach der Methode der Jurchsicht längs der Spur 243 unelastische Wechselwirkungen von 9 GeV-Protonen mit reien und gebundenen Nukleonen (140 pp- und 103 pn-Fälle). Diese Fälle wurden nach en Kriterien einer früheren Arbeit (Ber. 39, Nr. 9-871, 1960) ausgewählt. Zur Gewin-

nung von Energie- und Winkelgrößen der Sekundärteilchen wurde für alle Spurent einem Neigungswinkel unterhalb 5° gegen die Emulsionsebene die Mehrfach-Coulousterung und die Ionisierung gemessen. Für die pp-Wechselwirkungen sind die Wind verteilungen von Protonen und Pionen im Schwerpunktsystem stark anisotrop (Hawertsbreiten 16 ± 6 bzw. $38\pm 10^\circ$); das widerspricht der statistischen Theorie, wenigst der Variante ohne Berücksichtigung des Einflusses der Drehimpulserhaltung. Die meleren Anzahlen von Protonen und geladenen Pionen pro pp-Akt sind 1.3 ± 0.3 bit 1.9 ± 0.3 (nach der statistischen Theorie 1.2 bzw. 2.3); die Trennung beider Ladur vorzeichen lieferte 1.3 ± 0.3 positive und 0.61 ± 0.06 negative Pionen. Das Impspektrum der Pionen liegt bei etwas niedrigeren Impulsen als das theoretische, dage das Protonenspektrum bei höheren Impulsen (mittlere Impulse im Schwerpunsystem für Protonen und geladene Pionen 1.2 ± 0.1 GeV/c bzw. 0.4 ± 0.1 GeV/c, net statistischen Theorie 0.79 bzw. 0.51 GeV/c). Die Energieverluste des Primärprot in Form von Pionenerzeugung (geladene und neutrale) bei pp-Stößen ist $36\pm 2\%$ Laborsystem, der Inelastizitätskoeffizient (Energieverhältnis im Schwerpunktsyste 0.52 ± 0.03 ; die statistische Theorie liefert fürs Laborsystem mindestens 50%.

4–967 Yukiyasu Oda, Minoru Takeda, Chuin Hu and Shōhei Kato. Scattering of protopy silicon and sulphur. J. phys. Soc. Japan 14, 1255–1260, 1959, Nr. 10. (Okt.) (Oss Univ., Dep. Phys.) Zwischen 4,95 MeV und 5,45 MeV wurde in Schritten von 100 keV Winkelverteilung der elastisch und unelastisch gestreuten Protonen sowie ihre totz Wirkungsquerschnitte gemessen. Die unelastisch gestreuten Protonen sind den Retionen $^{28}\mathrm{Si}\,(\mathrm{p,\,p'})^{28}\mathrm{Si^+}\,(\mathrm{Q}=-1,78~\mathrm{MeV})$ und $^{32}\mathrm{S}\,(\mathrm{p,\,p'})^{32}\mathrm{S^+}\,(\mathrm{Q}=-2,24~\mathrm{MeV})$ zu schreiben.

4–968 Masaaki Kawaguchi. Polarization of the recoil nucleon from the photoproduct of pion. Progr. theor. Phys., Kyoto 23, 984–988, 1960, Nr. 6. (Juni.) (Kyoto, Un Res. Inst. Fundam. Phys.) Die transversale Polarisation des Rückstoßprotons $\gamma + p \to \pi^0 + p$ wird für Energien E $\gamma = 260$, 300, 320, 350, 400 MeV in phänomengischer Weise bestimmt. Die einfallenden Teilchen seien unpolarisiert. Da die magnetis Dipolstrahlung mit dem p_{3/2} Zustand den Hauptbeitrag liefert, wird elektrische Q drupolstrahlung (und höhere Multipolstrahlungen) vernachlässigt. Als bekan Größen werden nur die experimentellen Winkelverteilungen von $\gamma + p \to \pi^0 + p$ $\gamma + p \to \pi^+ + n$ und sechs Phasen von der π N-Streuung benutzt. Nach Lösung sechs simultanen quadratischen Gleichungen können sechs Übergangsamplituden Photopion-Erzeugung (entsprechend $s_{1/2}$ -, $p_{3/2}$ -Endzustände mit den Isotop spins l_2 und l_2 - in jenen bekannten Größen ausgedrückt werden. Es ergibt sich the tisch eine Erwartung von 10 bis l_2 - Polarisation über einen weiten Winkelbereich Schwerpunktssystem.

4-969 Yatendra Pal Varshni. Range-energy relation for protons in various substat Indian J. Phys. 32, 373-386, 1958, Nr. 8. (Aug.) (Allahabad, Univ., Dep. Phys.) schlägt als Reichweitebeziehung für Protonen die Formel R = a (E + c)ⁿ vor, in de und E Reichweite und Energie der Protonen, a, c und n Konstanten bedeuten. Formel gilt im allgemeinen auf 1% zwischen 0,1 und 100 MeV. Die Konstanten Luft, Be, Al, Cu, Ag, Au, $C_{57}H_{110}O_{6}$, $(CH_2)_n$, Kernemulsion Ilford C2 sind angege

4-970 G. R. Satchler and W. Tobocman. Gamma rays from deuteron stripping reactives. Rev. (2) 118, 1566-1574, 1960, Nr. 6. (15. Juni.) (Oak Ridge, Tenn., Nat. L. Houston, Tex., Rice Inst.) Die "distorted-wave"-Näherung wird benutzt, um Winkelkorrelationen verschiedener Deuteronen-Stripping-Reaktionen zu berech Es werden ein Fall von 1=2-und vier Fälle von 1=4-Einfang betrachtet. Dabei wein einigen Fällen die Form der Verteilung wesentlich von der durch die Born Näherung für die ebene Welle erhaltenen ab, und dieser Effekt ist stark von der Richt des emittierten Protons und der Art der angenommenen "distortion" abhängig. Eine gemeine Diskussion der Theorie der $(d, p\gamma)$ Korrelationen wird angeschlossen.

- 971 D. R. Koehler and W. L. Alford. Excitation function for Zn64 (n, 2n) Zn63. Phys. ev. (2) 119, 311-312, 1960, Nr. 1. (1. Juli.) (Redstone Ars., Alab., Army Rocket, luid. Miss. Ag., Res. Lab.) Die Anregungsfunktion wird für Neutronenchergien von 2.2 bis 18,1 MeV gemessen und dazu die relative Ausbeute an 63Zn durch Zählung der duzierten β -Aktivität ($T_{1/2} = 38 \text{ min}$) bestimmt. Die Anregungsneutronen entstehen ach T(d, n) He4 in einem Tritium-Zirkon-Target, die Deuteronen entstammen einem MeV-van de Graaff-Beschleuniger. Zur Energieänderung der Neutronen werden die nergie der Deuteronen und der Bestrahlungswinkel 64Zn-Tritiumtarget-Deuteronenrahl variiert. Die gemessene Anregungsfunktion zeigt die gleiche Form wie die theotisch nach der statistischen Theorie berechnete. Ramthun.
- -972 H. A. Enge, D. L. Jarrell and C. C. Angleman. Results of stripping analysis of the o⁵⁹ (d, p) Co⁸⁰ reaction. Phys. Rev. (2) 119, 735-740, 1960, Nr. 2. (15. Juli.) (Cambridge, lass., Inst. Technol., Phys. Dep., Lab. Nucl. Sci.) Mit dem elektrostatischen Generator 11T-ONR und einem magnetischen Breitband-Spektrographen wurden Protonenruppen untersucht, die bei dem Beschuß von dünnen Kobalt-Targets mit 6,0-MeVeuteronen entstehen. Die Winkelverteilung der 28 intensivsten Protonengruppen, enen genau soviel Niveaus im 60Co entsprechen, wurde gemäß der stripping-Theorie nalysiert, um den Bahndrehimpuls des eingefangenen Neutrons zu bestimmen. Die -Werte der (d, p)-Reaktion wurden für 60 Niveaus von 60Co gemessen. Der Q-Wert es Grundzustandes wurde zu (5,262 + 0,011) MeV gefunden (Zfg.)

- 973 E. W. Hamburger and A. G. Blair. (d, p) and (d,t) reactions on magnesium sotopes. Phys. Rev. (2) 119, 777-787, 1960, Nr. 2. (15. Juli.) (Pittsburgh, Penn., Univ.) Natürliche und angereicherte Magnesium-Targets wurden mit 14,8 MeV-Deuteronen bechossen. Die Reaktionsprodukte wurden magnetisch getrennt und in einem Szintilationszähler nachgewiesen. Für die meisten der folgenden Reaktionen wurde die Winkelerteilung von 10 bis 60° (in einigen Fällen bis 90°) aufgenommen: 24Mg (d, p) zum 0-; ,61- und 1,96-MeV-Niveau von 25Mg. 25Mg (d,t) zum 0-; 1,37-; 4,12-; 4,24-; 5,24-; ,01-; 7,33- und 7,60-MeV-Niveau von Mg²⁴. Mg²⁶ (d,t) zum 0-; 0,58-; 0,98-; 1,61-; .96-; 2,56-; 2,74-; 2,80-; 3,40- und 3,90-MeV-Niveau von 25Mg. Aus den beobachteten Vinkelverteilungen wurden nach der stripping-Theorie l-Werte und absolute reduzierte Ramthun. liveaubreiten berechnet.
- 974 I. P. Selinov, Iu. A. Grits, D. E. Khulelidze, E. E. Baroni, Iu. A. Bliodze, A. G. Comin and Iu. P. Kuschakevich. New antimony isotopes. J. nuclear Energy (A) 11, 76, 1960, Nr. 2/4. (Febr.) Beim Beschuß von 112Sn und 114Sn mit 10 MeV-Deuteronen rurden zwei bisher unbekannte Aktivitäten mit 7 und 31 min Halbwertszeit gefunden. lan nimmt an, daß es sich um 113Sb und 115Sb handelt.
- -975 W. A. Karnauchow und J. Z. Oganesjan. Die γ-Emission bei der Wechselwirkung eschleunigter C12-Ionen mit Sn-Kernen. Sh. exp. teor. Fis. 38, 1339-1340, 1960, Nr. 4. Orig. russ.) Bei Kernreaktionen, die durch schnelle schwere Ionen ausgelöst werden, ntstehen Compoundkerne mit hoher Anregungsenergie und hohem Drehimpuls. Nach TRUTINSKI wird bei dessen Zerfall der Hauptteil des Drehimpulses von einer γ-Kaskade bgeführt. Vff. untersuchen das Energiespektrum der γ-Strahlung, die beim Beschuß on Sn mit 78 MeV-C12-Ionen auftritt. Die maximale Anregungsenergie wird dabei zu ≠66 MeV, der maximale Drehimpuls zu ≈ 45 h abgeschätzt. Das korrigierte γ-Spekum ist kontinuierlich und hat ein Maximum bei 0,8 MeV. Der Vergleich mit dem für en Zerfall eines Compoundkerns typischen Spektrum aus Sm¹⁵⁰(n,γ) für thermische eutronen (Drehimpuls annähernd so wie im Grundzustand) zeigt, daß im untersuchten all die Rückkehr in den Grundzustand durch Emission weicherer γ-Quanten erfolgt s beim Strahlungseinfang eines Neutrons (Maximum dort bei $\approx 2~{
 m MeV}$). Es wurde Ich versucht, die mittlere Anzahl der pro Zerfallsakt emittierten γ-Quanten abzuhätzen. Das Verhältnis der Flächen unter den Spektren bei verschiedenen Abständen wischen Target und Spektrometerkristall liefert ca. 1,8 gleichzeitig registrierte γuanten; wegen des Fehlens von Daten über die Winkelverteilung kann die Anzahl der uanten in der Kaskade nur sehr grob auf mindestens 10 abgeschätzt werden.

Vogel.

- 4-976 W. Pohlit und H. Pohlit. Strahlenschutzmessungen in gemischten Neutronenfeld mit Paraffinmoderatoren. Nukleonik 2, 175—178, 1960, Nr. 5. (Sept.) (Frankfurt/Max-Planck-Inst. Biophys.) Für Fluß- und Dosisleistungsmessungen an schnellen N tronen wird im Innern eines Moderators der Zusammenhang zwischen dem Fluß th mischer Neutronen mit dem Fluß bzw. der Dosisleistung schneller Neutronen an Oberfläche untersucht. Hinter einer 6-8 cm starken Moderatorschicht (H₂O, Parafist der thermische Neutronenfluß nur wenig von der Energie der Neutronen an Oberfläche abhängig. Hinter einer Moderatorschicht von 11 cm ist der thermische N tronenfluß ein nur wenig von der Energie abhängiges Maß für die Neutronendosisleist an der Oberfläche. Das Verhältnis dieser Neutronenflüsse hinter den ausgewähl Moderatordicken ist stark von der Neutronenenergie abhängig und kann damit Messung der mittleren Neutronenenergie benutzt werden. Zur Neutronenflußmesst werden BF₃-Zählrohre oder Indiumfolien benutzt.
- 4-977 J. E. Lynn. A new development in the area method of neutron resonance analy Nuclear Phys. 7, 599-612, 1958, Nr. 6. (Aug.) (Harwell, Berks, Atomic Energy F. Est.) Die Flächenmethode in der Neutronenresonanzanalyse wird unter Berücksichtigt verschiedenartiger Interferenzterme erweitert. Der Hauptinterferenzterm entst zwischen der Resonanz- und Potentialstreuung. Die DOPPLER-Verbreiterung wnumerisch ermittelt. Interferenzen durch benachbarte Resonanzen werden in die Methode durch Korrektionen berücksichtigt.
- 4-978 J. E. Lynn, M. C. Moxon and F. W. K. Firk. The low energy neutron resonant of bismuth. Nuclear Phys. 7, 613-621, 1958, Nr. 6. (Aug.) (Harwell, Berks., Ator Energy Res. Est.) Aus Transmissionsmessungen nach der Laufzeitmethode wurdtotale Neutronenwirkungsquerschnitte von Bizwischen 300 eV und 4000 Ve bestim Für die Neutronenresonanzen (784 \pm 9) eV bzw. (2230 \pm 40) eV erhielten Vff. du Resonanzanalyse den Kernspin J = 5 bzw. 4 und die Resonanzbreite T = 4,34 eV bz 16,7 eV Der Potentialstreuquerschnitt für die 784 eV-Resonanz ergab (10,4 \pm 0 barn.
- 4–979 M. J. Nurmia and R. W. Fink. Cross-sections for (n,p) and (n,α) reactions magnesium with 14,8 MeV neutrons; a new isotope Na²⁶. Nuclear Phys. 8, 139–1 Nr. 2. (Sept.) (Fayetteville, Univ. Arkansas, Dep. Phys. Chem.) Durch Bestrahl von natürlichem Mg bzw. angereichertem ²⁶MgO mit 14,8 MeV-Neutronen wurde ²⁶ nach der Reaktion ²⁶Mg (n,p) ²⁶Na erzeugt, das mit einer Halbwertszeit von $(1,04\pm0,0)$ und einer β-Maximalenergie von > 5 MeV zerfällt. Im Vergleich zur Reaktion ¹⁶O (n,p) (89 mbarn) betrug der Wirkungsquerschnitt für die obige Reaktion (50 ± 5) mbarnalog wurden für die gleichzeitig ablaufenden Reaktionen ²⁶Mg (n,α) ²³Ne und ²⁴ (n,p) ²⁵Na Wirkungsquerschnitte von (89 ± 5) mbarn und (60 ± 10) mbarn erhalt Die β-Halbwertszeit von ²³Ne wurde zu $(38,0\pm0,3)$ s bestimmt.
- 4–980 C. S. Khurana and H. S. Hans. Measurements of (n,p), (n,α) and (n,2n) tross sections at 14 MeV. Nuclear Phys. 13, 88–91, 1959, Nr. 1. (Okt.) (Aligarh, In Muslim Univ., Dep. Phys.) Relativ zu der Reaktion 56 Fe (n,p) 56 Mn wurden nach Aktivierungsmethode die Wirkungsquerschnitte für 14 MeV-T (d,n) 4 He-Neutro $(E_{\alpha}=130~{\rm keV})$ für folgende Reaktionen bestimmt: 27 Al (n,p) 27 Mg $((115\pm10)~{\rm mbarn})$ 27 Al (n,α) 24 Na $((111\pm9)~{\rm mbarn})$; 123 Sb (n,2n) 122 Sb $((1706\pm120)~{\rm mbarn})$; 123 Sb (n,2n) 120 Sb $(453\pm43~{\rm mbarn})$; 109 Ag (n,2n) 109 Ag $((619\pm40)~{\rm mbarn})$; 109 Ag (n,α) 106 Rh $((38\pm160))$; 46 Sc (n,2n) 44 Sc $((129\pm9)~{\rm mbarn})$; 45 Sc (n,α) 46 Sc (n,2n) 46 Sc (n,2n) 46 Sc $((129\pm9)~{\rm mbarn})$; 46 Sc (n,α) 46 Sc
- 4-981 K. F. Alexander und V. Bredel. Erzeugung kurzlebiger Isomere durch Impaktivierung mit thermischen Neutronen. Nuclear Phys. 17; 153—162, 1960, Nr. 1. (Ju (Rossendorf b. Dresd., Zentralinst. Kernphys.) Ein Neutronenbündel aus einem Kanal Rossendorfer Forschungsreaktors wurde mittels eines Stahlrotors (4 bis 1800 U/r periodisch unterbrochen. Anbringung von Proben im modulierten Neutronenst ermöglicht die Beobachtung von Isomeren mit Halbwertszeiten im ms-Bereich, die du Einfang thermischer Neutronen erzeugt werden. Die γ-Übergangsenergien der Isom wurden mit einem Szintillations-Einkanalspektrometer gemessen. Halbwertsze wurden mittels eines quarzgesteuerten Fünfkanal-Zeitanalysators (Kanalbreite 10 μ

-) s) bestimmt. Meßergebnisse: 24m Na 475 \pm 10 keV, (20 ± 1) ms; m Ga (99 ± 5) keV, (38 ± 2) ms; 116m In (160 ± 8) keV, (2460 ± 80) ms; 166m Ho (131 ± 5) keV, (0.214 ± 0.010) ms. Das kürzlich entdeckte 166m Ho hat den K-Konversionskoeffizienten ≈ 0.4 ; der Übergang gehört also wahrscheinlich zum Typ E2. W. Schneider.
- 4-982 Roger Balian et Vincent P. Gillet. L'éjection par interaction directe dans la réaction le (n, 2n) Be⁸. Nuclear Phys. 17, 448—467, 1960, Nr. 3. (Juli.) (Saclay, Gif-sur Yvette, & O., C. E. N.) Berechnet wurde der Kernreaktionsquerschnitt für Ejektion, die zu nem Drei-Teilchen-Kanal führt. Das Ergebnis wurde ausgewertet für Be⁹ (n, 2n) Be⁸ ait 14 MeV-n-Einfallsenergie, wobei sich n-Ausfallsenergien bei 0,5 und 5 MeV beninstigt zeigten. Wechselwirkungsheiträge von verschiedenen Kernbereichen wurden etrennt behandelt. Danach findet die Reaktion bevorzugt außerhalb des Kerninnern tatt. Der errechnete Wirkungsquerschnitt stimmt mit experimentellen Daten befriediend überein. Bei Annahme eines Zerbrech- anstelle eines Anlagerungsvorgangs ist die bereinstimmung weniger gut.
- **D. Meneghetti** and **H. H. Hummel.** Effect of (n,2n) and (n,α) reactions on age alculations for beryllium. Nuclear Sci. Engng 6, 57–62, 1959, Nr. 1. (Juli.) (Lemont, II., Argonne Nat. Lab.) Das Alter von Spaltneutronen, die auf 1,44 eV abgebremst verden, ergibt sich nach der Vielgruppen-Age-Theorie in Beryllium ohne Berücksichtiung von Einfangprozessen zu 85 cm². Unter Einschluß der (n,2n) und (n,α) Reakionen wird ein Wert von 71 cm² erhalten gegenüber einem experimentellen Wert von 60 cm². Die Diskrepanz wird auf die noch zu rohe Rechenmethode bzw. nicht genügend bekannten Rechenparameter zurückgeführt.
- 4-984 T. Teichmann. Slowing down of neutrons. Nuclear Sci. Engng 7, 292—294, 1960, Nr. 4. (Apr.) (Sunnyvale, Calif., Lockheed Aircraft Corp., Missiles Space Div.) Gezeigt wird, wie systematische Anwendung der Methode der Laplace-Transformationen die Berechnung der Neutronen-Stoßdichte nicht nur für große Lethargie-Werte ermöglicht, undern auch für kleine, die kleinen Stoßzahlen entsprechen. Es ergibt sich, daß die Differentialgleichungen der Stoßdichte zwischen den Stößen nicht gelöst zu werden vauchen. (Zfg.)
- 1-985 W. R. Conkie. Velocity dependent neutron transport theory. Nuclear Sci. Engng (1, 295-303, 1960, Nr. 4. (Apr.) (Chalk River, Ont., Atomic Energy Can. Ltd., Theor. Phys. Branch.) Gesucht wurden geschwindigkeitsabhängige Lösungen der Neutronen-Transportgleichung unter Benutzung der Momentmethode. Ausgegangen wurde von der P₁-Näherung und einem idealen Gas einheitlicher Masse als Streusubstanz. Die Gechwindigkeitsverteilung wurde nach Tschebyscheff-Polynomen entwickelt, die numerisch auszuwerten sind. Als Beispiel wurde eine Abart des MILNE-Problems betechnet: Bestimmung der geschwindigkeitsabhängigen Neutronenverteilung in einem um streuenden Halbraum fester Temperatur, durch Vakuum begrenzt. Weiterer Ausbau des Verfahrens wird angedeutet.
- Muclear Sci. Engng 7, 355—362, 1960, Nr. 4. (Apr.) (Lemont, Ill., Argonne Nat. Lab.) Das Neutronenspektrum im Zentrum des Schnell-Langsam-Reaktors ZPR-V wurde nit Spaltkammern untersucht, die quantitative galvanische Niederschläge von ²³⁴U, ³⁵⁰U, ²³⁶U und ²³⁸U enthalten. Die mit dieser Anordnung gefundenen Spalthäufigkeiten entvier-Gruppen-Spektrum, das leichte Auswertung aus Funktion der durch Antriebsmethoden gegebenen Detektorposition gestattet. Dasselbe Verfahren wurde ur Messung des Gleichgewichtsspektrums in einer U^{nat}-Exponentialsäule angewandt. Alle Ergebnisse wurden mit theoretischen Werten und mit Meßwerten einer von 0,2 bis 2,2 MeV reichenden Kernemulsionsmessung graphisch zusammengestellt und verglichen. Die Herstellung der Spaltkammern wird beschrieben. W. Schneider.
- 4–987 W. P. Stinson, L. C. Schmid and R. E. Heineman. An investigation of effective neutron temperatures. Nuclear Sci. Engng 7, 435–441, 1960, Nr. 5. (Mai.) (Richland, Vashington, Gen. Elect. Co., Hanford Labs. Operat.) Verhältnismessung der thermichen Spalthäufigkeiten von ²³⁹Pu: ²³⁵U-Folien führte zur Bestimmung der effektiven

Neutronentemperatur T_n einer Anordnung mit nicht rein thermischer Neutronenv teilung. Die Meßfolien waren in mit bzw. ohne Wasser umgebenen U^{nat}-, Pb-und Graph Körpern im Zentrum der thermischen Säule des thermischen Testreaktors (TT Hanford angebracht, deren letztere Temperatur $T_g=18$ bis 640°C betrug. Die Graph kurve stimmt innerhalb der Fehlergrenzen mit der von Westcott (1958) erhalter überein und wurde als Kalibrierkurve der Neutronentemperatur genommen. In danderen Fällen wurden Ausdrücke der Form $T_n=a\,T_g/(1+b\,T_g)$ gewonnen. W. Schneider

- 4-988 W. Rothenstein and J. Chernick. Resonance capture of neutrons in nonheabsorbers. Nuclear Sci. Engng 7, 454-457, 1960, Nr. 5. (Mai.) (Upton, New York, Brochaven Nat. Lab.) Die Näherungsmethoden der "engen Resonanzen" bzw. der "unerlichen Absorbermasse" versagen in mehreren Fällen der Berechnung des Neutron Resonanzeinfangs, wofür hier Beispiele gebracht werden. Der Resonanzeinfang in Graphitgittern wurde mit folgenden Voraussetzungen berechnet: 1. Doppler-Verbrerung für die Bi-Resonanzen vernachlässigbar, 2. Interferenzstreuung eingeschloss da Γ_n groß, 3. Neutronenfluß durch Absorption im Bi nicht gestört. Die Ergebni wurden mit denen nach Monte-Carlo-Verfahren gewonnenen verglichen und in befrie gender Übereinstimmung gefunden. Dagegen liefert die Methode der engen Resonanz zu kleinen, die der unendlichen Absorbermasse zu großen Einfang. W. Schneider
- 4-989 D. C. Anderson. On the temperature dependence of the thermal neutron flux kern Nuclear Sci. Engng 7, 468-471, 1960, Nr. 5. (Mai.) (Pittsburgh, Penn., Westingho Elect. Corp., Bettis Atom. Power Lab.) Der Kern der Integraldarstellung des ther schen Neutronenflusses einer Spaltneutronenquelle wurde berechnet mit Voraussetzt f(r) = $C(E_0, E_1)\chi(E_1, r)$ (E_0 obere thermische Energiegrenze, E_1 willkürliche epitt mische Energie) für die Quelle epithermischer gebremster Neutronen. Die Temperat abhängigkeit des Kerns wurde abgeschätzt mittels der experimentell bekannten Teperaturabhängigkeit der Diffusionslänge und mit geeigneten Annahmen über analytischen Darstellungsfunktionen. Die Rechnung zeigt, daß der Kern für Was gegenüber Diffusionslängenänderungen ziemlich unempfindlich ist und daß der mit multiplizierte Fluß sich in guter Annäherung wie f(rp) (p temperaturabhängiges spisches Gewicht) verhält.
- 4-990 S. M. Shafroth, E. N. Strait and R. T. Carpenter. The response of a Na1 (crystal to monoenergetic neutrons. Nuclear Instrum. 3, 298-302, 1958, Nr. 5. (Nov.) (Ev ston, Ill., Northwestern Univ.) Durch den Neutroneneinfang ¹²⁷J (n, γ) ¹²⁸J wird im N Kristall ein für die γ-Spektroskopie störender Untergrund erzeugt, der mittels ⁷Li (p ⁸Be-Neutronen (bis zu 1,162 MeV) untersucht wurde. Die Energieverteilung des γ-Untgrundes nimmt für die untersuchten Neutronenenergien zwischen 4 und 6,6 M (γ-Energieskala) linear ab und schneidet zwischen 6,6 und 7,0 MeV die Energieac Diese Grenzenergie entspricht der Bindungsenergie des letzten Neutrons im ¹²⁸J 6,58 MeV.
- 4-991 Yu. Ya. Stavisskii and V. A. Tolstikov. Measurements of the fast neutron radia capture cross-sections of gallium isotopes. J. nuclear Energy (A) 12, 132-133, 19 Nr. 3. (Juni.) Die Messung der Energieabhängigkeit erfolgte durch Vergleich mit entsprechenden Abhängigkeit von ¹²⁷J, die zusammen im Fluß mit schnellen Neutrobestrahlt wurden. Für ¹⁹Ga und ⁷¹Ga werden die Wirkungsquerschnitte zwischen 200 kund 2000 keV gegeben. Während sich für ⁶⁹Ga eine stetige Änderung mit der Energiet, zeigt sich für ⁷¹Ga bei 550 keV ein starker Abfall.

 Röbert
- 4-992 M.V. Pasechnik, I. F. Barchuk, I. A. Totsky, V. I. Strizhak, A. M. Korol Y. V. Gofman and G. I. Lovchikova. Fast neutron scattering and capture by atomic nur Prog. Nuclear Energy (1) 3, 1959, S. 88-107. Zusammenfassender Bericht über folgein der Akademie der Wissenschaften der Ukraine (z. T. Sowjetunion) durchgefüh Neutronenstreuexperimente: Messung der Winkelverteilung von elastisch gestreu Neutronen (220 keV, 900 keV und 2,8 MeV) mit Diskussion dieser Ergebnisse in beauf ein optisches Modell mit diffuser Oberfläche, Bestimmung der γ-Spektren bei der elastischen Streuung von 2,8 MeV-Neutronen wie der Einfangquerschnitte (Aktivieru von 2,5; 3,1 und 4 MeV-Neutronen.

- 4-993 A. I. Leipunsky, O. D. Kazachkovsky, G. Y. Artyukov, A. I. Baryshnikov, T. S. elanova, V. I. Galkov, Y. Y. Stavissky, E. A. Stumbur and L. E. Sherman. Measurements radiative capture cross sections for fast neutrons. Prog. Nuclear Energy (1) 3, 1959, 108—124. Zusammenfassende Darstellung über die Messung von effektiven Neutroneninfangquerschnitten für Materialien, die zum Bau und Betrieb von schnellen Brutzaktoren benutzt werden. Als Neutronenquellen dienten (d, n) und (p, n)-Prozesse, hotonenneutronenquellen, und ein schneller Reaktor. Die Einfangquerschnitte wurden flativ zu Standardsubstanzen durch Aktivierung, Einfang-γ-Strahlung und Oszilationsmessung im Reaktor bestimmt.
- -991 B. C. Diven. Radiative capture of fast neutrons. Prog. Nuclear Energy (1) 3, 1959, 125—132. (Los Alamos, N. M., Univ. Calif., Sci. Lab.) Die absolute Bestimmung des keutroneneinfangquerschnittes erfolgte durch Nachweis der gesamten beim Einfang ntstehenden γ-Strahlung, deren jeweilige Gesamtenergie gleich der Bindungsenergie es Neutrons im Restkern plus seiner kinetischen Energie ist. Zum vollständigen Nachzeis der Einfang-γ-Strahlung wurde ein Flüssigkeitsszintillator von 1 mφ und Länge enutzt. Zwecks Ausnutzung von komplizierteren Neutronenspektren wurden Neutronquelle und Detektor gepulst. Im Neutronenenergiebereich von 175 bis 1000 keV sind ür Fe, Ni, Zr, Nb, Mo, Au, ²³⁸U Einfangquerschnitte angegeben.
- -995 **E. W. J. Mitchell** and **P. T. Wedepohl.** The scattering of long wavelength neutrons y irradiated and unirradiated quartz. Phil. Mag. (8) **3**, 1280–1286, 1958, Nr. 35. (Nov.) Reading, Univ., Phys. Res. Labs.) Messungen von totalen Wirkungsquerschnitten Transmissionsmessungen) für langsame Neutronen zwischen 5 Å und 12 Å ergaben ür einen brasilianischen Quarzkristall: $\sigma_{\rm T} = (0.55 \pm 1.63) \, \lambda \, (\sigma \, {\rm in \, barn}, \, \lambda \, {\rm in \, Å})$. Für sinen mit 6,4 · 10¹⁸ schnellen Neutronen pro cm² bestrahlten Kristall lag der Querchnitt um 0,2 bis 0,5 barn höher.
- 1-996 Martin J. Berger and John W. Cooper. Reflection of fast neutrons from water. I. Res. nat. Bur. Stand. 63 A, 101–144, 1959, Nr. 2. (Sept./Okt.) (Washington, D. C.) Die Rückstreuung schneller Neutronen (0,3;1,3,6,9 und 14 MeV) an einem unendlich usgedehnten Halbraum aus Wasser wurde nach der Monte-Carlo-Methode mit einer elektronischen Rechenmaschine berechnet. Hierbei wurden Winkel- und Spektralzerteilung (bis herab zu 0,5 eV), Teilchenzahl- und Energiealbedo in Abhängigkeit von der Primärenergie gewonnen. In den Rechnungen sind die elastische Streuung am Wassertoff, n-α- und n-p-Prozesse berücksichtigt worden. Parallelrechnungen mit abgeänderten Reaktionsquerschnitten lassen Abschätzungen zu über die Empfindlichkeit der Albedo on den Reaktionsquerschnitten.
- 1997 D. H. Peirson. Interpretation of γ-ray scintillation spectra from fission-product nixtures. Brit. J. appl. Phys. 11, 346—353, 1960, Nr. 8. (Aug.) (Harwell, Atom. En. Res. Est.) Vf. beschreibt eine Methode zur Bestimmung solcher Radionuklide nach Art und Menge, die bei der Spaltung von 235 U durch langsame Neutronen entstehen und die Strahlen emittieren. Sie beruht auf einer Analyse des γ-Spektrums des Spaltstofftemisches zu verschiedenen Zeiten und erübrigt so die komplizierte Abtrennung der einelnen Radionuklide. In Tabellen und Diagrammen werden theoretisch berechnete γ-Spektren und ihre zeitliche Änderung für die wichtigsten Spaltaktivitäten gezeigt. Veiter wird eine schnelle Methode der Halbwertszeitanalyse für solche Fälle beschrieben, dei denen keine Auflösung der Photopeaks mehr erfolgt.
- 7-998 **P. S. Dubbeldam.** Draaiing van de polarisatievector van D-D neutronen. Ned. Tijdschr. Natuurk. **24**, 210–212, 1958, Nr. 8. (Aug.) (Amsterdam, Univ., Nat. Lab., Vrije.) Aus der Streuung von Neutronen an Kohlenstoff und der anschließenden Drehung der Neutronenspins um \pm 90° durch ein zur Flugbahn gleich- bzw. entgegeugerichtetes Magnetfeld wurde der Polarisationsgrad von DD-Neutronen ($E_D=370~{\rm keV}, D_{\rm Lab}=45^{\circ}$) **u** (11,0 \pm 2,4)% ermittelt.
- 4-999 H. H. Thies, B. M. Spicer and J. E. E. Baglin. The photoneutron cross section of Be in the intermediate energy range. Aust. J. Phys. 12, 21-29, 1959. Nr 1. (März.) Melbourne, Univ., Phys. Dep.) Der Photoneutronenquerschnitt von Be wurde im Energiebereich von 6,5 bis 18 MeV mit der gefilterten Bremsstrahlung eines 18 MeV-

Synchrotrons bestimmt. Während der integrale Wirkungsquerschnitt mit frühe Messungen übereinstimmte, wurden infolge besserer Auflösung zwei Maxima $(11,25\pm0,2)~{\rm MeV}~((4,5\pm0,6)~{\rm barn})~{\rm und}~(13,25\pm0,2)~{\rm MeV}~((3,2\pm0,6)~{\rm barn})$ funden. Der Verlauf des Querschnitts wird mit dem Niveauschema von ⁹Be vergliche

- 4-1000 J. E. Evans, B. B. Kinsey and B. G. Whitmore. Measurement of the energy of nuclear states excited by inelastic neutron scattering, and as search for electric monopy transitions in Pb. Canad. J. Phys. 37, 396—412, 1959, Nr. 4. (Apr.) (Harwell, Engla Atom. Energy Res. Est.) Durch unelastische Streuung von Li (p, n)- und T (p, n)- Nr. Tronen an Th, Zr, Ni, Pb wurden Anregungsniveaus bestimmt. Die gegen den Primstrahl um 90° gestreuten Neutronen wurden bei dem hier benutzten Verfahren einem für 255 keV-Neutronen selektiven Detektor (Li-Platte umgeben von in Paraleingebetteten BF₃-Zählrohren) und die ungestreuten mit einem "langen Zähler" na gewiesen. Das Verhältnis der beiden Zählraten in Abhängigkeit von der primären Nr. Tronenenergie zeigte einige durch Resonanzstreuung hervorgerufene Maxima. Die regungsniveaus erhielten Vff. durch Kalibrierung mit einem Standardmaterial (561) Außer den bekannten Energiezuständen sind einige bisher nicht beobachtete gefund worden.
- 4-1001 J. Juna. Basic relations for proposing mechanical neutron selectors. Czech. Phys. 8, 592-599, 1958, Nr. 5. (Orig. russ. m. engl. Zfg.) (Prague, Czechosl. Acad. S. Inst. Nucl. Phys.) Für einen Neutronenzerhacker werden die Beziehungen zwischen d. Rotorradius, der Umdrehungsgeschwindigkeit, der geometrischen und effektiven Schlweite, der Kurvenform des Schlitzes, dem Flugweg und den physikalisch interessier den Parametern wie Auflösungsvermögen und Ausbeute angegeben.
- 4–1002 V. P. Kovalev. The measurement of the spectra of fission neutrons from U U^{235} , and Pu^{239} in the 50-700 keV range. Soviet Phys.-JETP 7, 345-346, 1958, Nr (Aug.) (Engl. Übers. aus: J. exp. theor. Phys., Moskau 34, 501-502, 1958, Fe Die bei der Bestrahlung durch thermische Neutronen in Uran- bzw. Plutoniumox proben entstehenden Spaltneutronen wurden in einer mit Wasserstoff und Wasserdar gefüllten Nebelkammer (210 Torr) mittels stereoskopischer Aufnahmen nachgewies Hierbei wurde die Gültigkeit der Wattschen Formel für die Energieverteilung der Spneutronen in dem Meßbereich von $50~{\rm keV}$ bis $700~{\rm keV}$ innerhalb der relativen Meßsicherheit von 10-12% festgestellt.
- 4–1003 Kazunori Yuasa. Differential elastic scattering of 14 MeV neutrons in alumin iron, lead and bismuth for large angles. J. phys. Soc. Japan 13, 1248–1258, 1958, Nr. (Nov.) (Kobe, Konan Univ., Fac. Sci., Dep. Phys.) Die absoluten differentiellen V kungsquerschnitte von Al, Fe, Pb, Bi für die elastische Streuung von 14 MeV-Neutro wurden für Streuwinkel zwischen 70° und 170° bestimmt. Die an den plattenförmi Proben gestreuten ³T (d, n) ⁴He-Neutronen wurden mit einem organischen Kris nachgewiesen. Dieser war zur Unterdrückung des Untergrundes mit einem α-Detek der die bei der Neutronenerzeugung entstehenden α-Teilchen registrierte, in Koinzie (4 ns Auflösung) geschaltet. Mit Ausnahme des leichten Kernes Al sind die Winkel teilungen in Übereinstimmung mit dem optischen Modell.
- 4-1004 S. Yamaguchi. Zur Temperaturerhöhung durch Elektronenbombardement. Na wissenschaften 47, 302, 1960, Nr. 13. (Juli.) (Tokio, Inst. Phys. Chem. Res.) In teilchen, deren Curie-Punkt 120°C beträgt, haften an der Kante einer magnetisie Rasierklinge. Es werden zwei Beugungsaufnahmen auf der gleichen Platte gemach die erste sofort nach Einschalten des Strahles, die zweite zwei Minuten später. Mat hält zwei Beugungsdiagramme, die gegeneinander verschoben sind, da die Probe längerer Bestrahlung den Curie-Punkt überschreitet und sich damit die Ablenkung Strahles ändert. Werden die Aufnahmen zwei bzw. drei Minuten nach Einschalten Strahles gemacht, so ergibt sich nur ein Beugungsbild, da die Curie-Temperatur be bei der ersten Aufnahme überschritten war.
- 4-1005 J. B. Bellicard et P. Barreau. Mesures de diffusion élastique d'électrons 28 MeV par les noyaux lourds. Nuclear Phys. 17, 141-152, 1960, Nr. 1. (Juni.) (Sac C. E. N., Sect. Phys. Nucl. Moy. Energie.) 28-MeV-Elektronen wurden an Au- und

ternen gestreut und anschließend mittels Magnetspektrometer analysiert. Die gesesene Elektronen-Winkelverteilung ermöglichte die Bestimmung des mittleren Radius der Ladungsverteilung der beiden Kernarten. Ausgehend von $R=r_0A^{1/3}$ wurde geinden (je in 10^{-13} cm): $r_0=1,17\pm0,02$ bei Au; $r_0=1,15\pm0,03$ bei Bi. Diese Werte immen innerhalb der Fehlergrenzen mit denen überein, die Hofstadter u. a. (1956) urch Streuversuche mit 150- bis 185-MeV-Elektronen gefunden haben.

W. Schneider.

W. M. Schechter. Über den Proze β $e^- + p \rightarrow A + \nu$. Sh. exp. teor. Fis. 38, -1006 343-1345, 1960, Nr. 4. (Orig. russ.) (Leningrad, Phys.-Tech. Inst.) Bisher sind nur wei Zerfälle $\Lambda o \mathrm{p} + \mathrm{e}^- + \hat{\mathfrak{v}}$ gefunden worden, obwohl nach dem Schema der univeralen VA-Wechselwirkung von FEYNMAN und GELL-MANN (allerdings ohne Berücksichgung der Renormierung der Zerfallskonstanten) die Zerfallswahrscheinlichkeit etwa wanzigmal größer ist. Vf. diskutiert den inversen Prozeß e $^-+$ p $ightarrow \Lambda+$ v, der durch ie gleiche Wechselwirkung vermittelt wird und dessen Statistik man grundsätzlich eliebig umfangreich machen kann. Die Schwelle dieser Reaktion im Laborsystem ist 94 MeV, und bis zur Schwelle der Photoerzeugung von 912 MeV können A-Teilchen ur durch diese Reaktion erzeugt werden (höchstens noch durch $e^- + p \rightarrow \Sigma^0 + \nu$; $\Delta_0 \to \Lambda + \gamma$). Es wird ein Ausdruck für den Querschnitt dieser Reaktion gefunden, der ei reiner VA-Wechselwirkung bei E = 400 MeV einen Wert von der Größenordnung 0⁻⁴⁰ cm² hat. Zur Beobachtung der Reaktion bei einer Elektronenweglänge von 10 cm n flüssigem H., mit $10^{22} \, \mathrm{Atomen/cm^3}$ brauchte man $10^{18} - 10^{19} \, \mathrm{Elektronen}$, was durchaus rreichbar ist; für schwere Kerne wird die Wahrscheinlichkeit größer, aber die Ausvertung der Ergebnisse schwieriger, weil das reagierende Proton anfangs gebunden ist Entstehung von A-Kernen). Die Untersuchung ist überhaupt schwierig (Registrierung von A-Teilchen über einen großen Untergrund), aber interessant, weil man durch Variaion von E direkt die Abhängigkeit der Formfaktoren von Q2 bestimmen könnte. Neben ler betrachteten Reaktion lassen sich so auch $e^- + p \rightarrow \Sigma^0 + \nu$ und $e^- + n \rightarrow \Sigma^- + \nu$ vehandeln. Analoge Prozesse mit μ- statt e- sind der Messung kaum zugänglich (zu geringe μ⁻-Intensitäten verfügbar).

1-1007 William R. Frazer and Jose R. Fulco. Partial-wave dispersion relations for pion-nucleon scattering. Phys. Rev. (2) 119, 1420–1426, 1960, Nr. 4. (15. Aug.) (Prince-on, N. J., Inst. Adv. Study; Buenos Aires, Arg., Univ. Dep. Phys.) Die Berechnung on Wirkungsquerschnitten für starke Wechselwirkungen mit Hille von Partialwellendispersionsrelationen wurde von Chew und Mandelstam (Phys. Rev. 119, 467, 1960) forgeschlagen. Vff. wenden diese Methode hier auf π N-Streuung an. Nach einer Berechung der Mandelstam-Darstellung (MD) werden die Singularitäten der Partialwellen-Amplituden bestimmt. Die Symmetrieeigenschaften der MD liefern Ausdrücke für die Unstetigkeiten an den unphysikalischen Verzweigungsschnitten. Diese Ausdrücke unthalten die Streuamplituden für π N-Streuung und den Prozeß $\pi + \pi \rightarrow N + \overline{N}$. Dum Schluß wird eine Näherungslösung angegeben: Behält man nur die dem physikalischen Bereich nächsten Singularitäten bei (niederenergetische Näherung), so ergibt sich us den Partialwellen-Dispersionsrelationen und aus der Unitaritätsforderung die Formel von Chew-Low für den effektiven Bereich.

1-1008 A. I. Lebedew und W. A. Petrunkin. Zur Frage nach der Bildung von Pionen in V-Stößen. Sh. exp. teor. Fis. 38, 1337–1339, 1960, Nr. 4. (Orig. russ.) (Moskau, Lebedewnst.) Die gemessenen Impulsverteilungen der Pionen aus der Reaktion $\pi + N \rightarrow 2\pi + N$ lei 1,0 und 1,4 GeV im Laborsystem bestätigen nur qualitativ das Modell von Linden auf und Sternheimer (Phys. Rev. 109, 1723, 1958), nach dem das zusätzliche Meson ur über den Isobar-Zustand (T = 3/2, J = 3/2, I = 1) mit endlicher Breite erzeugt wird. Die statistische Theorie von Fermi erklärt diese Verteilungen nicht, eine Berücksichtigung des Isobars mit M = 1,32 in dieser Theorie führt ebenfalls nur zu qualitativer bereinstimmung. Ruskin (Ber. 39, Nr. 5–938, 1960) hat versucht, die Lage durch Berücksichtigung einer Resonanz–ππ-Wechselwirkung (Einführung eines Teilchens I mit M = 0,47, das in zwei Pionen zerfällt), zu verbessern. Analoge Rechnungen der M. führen zwar zu einer Verbesserung, die aber nicht so günstig ist wie bei Ruskin; de zeigen hier, daß man eine genauso gute Beschreibung der Messungen ohne Mesonleson-Wechselwirkung, allein unter Berücksichtigung der Pionenspektren, die beim

Isobarzerfall mit endlicher Breite des letzteren entstehen, in der statistischen Theorzielt. Sie benutzten dazu die Methode von Watson (Phys. Rev. 88, 1163, 196 Berücksichtigung der Wechselwirkung im Endzustand); es wird nur die Wechselwirkung eines Mesons mit dem Nukleon betrachtet. Die berechneten Histogramme für 1,0 u 1,4 GeV decken sich mit den Messungen nicht schlechter als die Rechnungen nach estatistischen Theorie mit Berücksichtigung der Resonanz- $\pi\pi$ -Wechselwirkung. E Einführung des II-Teilchens ist also nicht nötig, zumal der auf seiner Erzeugung ruhende peak in der Impulsverteilung der Rückstoßnukleonen auch in neueren Messigen nicht zu sehen ist. Die Berücksichtigung eines zweiten Resonanzzustandes (T = J = 3 /2, 1 = 2) im System π -N (zweites Isobar mit M = 1,52 entsprechend 600 MeV Laborsystem) verschlechtert die Übereinstimmung: sowohl die Pionen aus dem Zerdieses Isobars als auch die Rückstoßmesonen leisten einen Beitrag in dem Impubereich, wo experimentell ein Plateau oder eine Einsenkung liegt.

4–1009 **H. Vonach** und **H. Münzer.** Bestimmung des Wirkungsquerschnittes für (n,2n)-Prozeß an Sr–86, Y–89, Nb–93 und Cs–133 für 14,1 MeV-Neutronen. Anz. öst Akad. Wiss. 1959, S. 120–126, Nr. 6. (S. B.) Die Wirkungsquerschnitte wurden du Aktivierung der betreffenden natürlichen Elemente und Absolutmessung der γ -Strahle der durch die (n,2n)-Reaktion entstandenen Radionuclide bestimmt. Als Neutron quelle diente ein 200 kV-Beschleuniger; mit Hilfe der T (d,n)-He⁴-Reaktion wur 14 MeV-Neutronen erzeugt. Der Neutronenfluß wurde durch Mitaktivierung von Aminiumfolien gemessen. — Für ⁹³Nb, 133 Cs, 89 Y und 89 Sr betragen die gemessenen V kungsquerschnitte $\sigma(n,2n)$ in barn: $0,43\pm0,07,1,55\pm0,25,0,54\pm0,08$ und 0 ± 012 . Sie sind wesentlich kleiner als die nach der Theorie zu erwartenden, die et falls angegeben werden. Die Gründe hierfür werden diskutiert. — Die Halbwertszei von 92 Nb und 132 Cs wurden neu bestimmt zu $(9,9\pm0,1)$ d bzw. $(7,0\pm0,1)$ d.

4-1010 K. Eftimiu und K. Vrejoiu. Über die elastische Streuung von Photonen Coulomb-Feld der Kerne. Sh. exp. teor. Fis. 38, 1348—1350, 1960, Nr. 4. (Orig. ru (Bukarest, Univ.) Die bisherigen Abschätzungen über die elastische Streuung Protonen im Kernfeld (Rohrlich und Glückstern, Ber. 32, 958, 1953) beziehen auf sehr kleine Winkel und sehr hohe Energien, dagegen die Experimente zur deckung dieses Effekts (Bernstein, Mann, Ber. 38, 669, 1959) auf Winkel obert 15—20° und Energien von der Größenordnung 1 MeV. Vff. geben zwei Näherur methoden an, deren Anwendungsgebiet dem experimentellen Bereich näherkom Eine dieser Methoden wird in Bull. Acad. R. P. R. (im Druck) ausführlich dargel Nach der anderen Methode wird der differentielle Querschnitt als Polynom in sin

4-1011 Otto-Claus Allkofer. Ein neuartiger Impulsspektrograph zur Registrierung Impulsspektrums und des positiven Exzesses der kosmischen Ultrastrahlung. Diss. U Kiel, 1959.

H. Eber

und cos $\Theta/2$ entwickelt; der Querschnitt fällt mit wachsendem Θ , und zwar un

schneller, je höher die Energie ist, was der Beobachtung entspricht.

4-1012 Yoshinosuke Terashima. Solar modulation of primary cosmic rays. Progr. th Phys., Kyoto 23, 1138-1150, 1960, Nr. 6. (Juni.) (Kyoto, Univ., Dep. Nucl. 9 Gestörte und ungestörte magnetische Felder, die vermutlich solaren Ursprungs swerden für die Modulation der kosmischen Strahlung verantwortlich gemacht. gestörte Magnetfeld verbreitet sich weit über das Sonnensystem und moduliert die egiearme kosmische Strahlung. Die charakteristischen Formen der Energiespektren Primärstrahlen werden nach den neuesten Messungen für geringe und hohe Ene einer besonderen Untersuchung unterzogen. Die elfjährige Periode wird einem Ülagerungseffekt mit dem in Erdnähe befindlichen ungestörten Magnetfeld zugeschrie Die tägliche Periode wird ähnlich erklärt. Die kontinuierlichen Ströme von der Sound die intensiveren bei Sonneneruptionen sind für die Modulation maßgebend.

Messerschmid

Voge

4-1013 Hermann Erbe. Auswirkung der Variationen der primären kosmischen Strah auf die Messung der Mesonen- und Nucleonenkomponente am Erdboden. Diss. T. H. Stgart, 1960. (Lindau üb. Northeim/Hann.)

H. E ber

- -1014 I. Hauser. Zum Übergangseffekt der neutronenauslösenden Komponente der kossischen Strahlung in Blei. Ann. Phys., Lpz. (7) 5, 327-334, 1960, Nr. 5/6. (Zeuthen, kad. Wiss. Bln., Kernphys. Inst.) Der Übergangseffekt der neutronenauslösenden trahlung in Blei wurde mit borbeladenen Agfa K3 Emulsionen (3 × 6 × 0,01 cm³) in 630 m Höhe untersucht. Hierzu dienten senkrecht ineinander stehende Blei- und faraffinzylinder, in deren Mitte sich die Emulsionen befanden. Die Bleizylinder hatten Nandstärken von 5,9; 12,1 und 24,4 mm. Die integrale Kurve der Neutronenerzeugung eigt einen glatten Verlauf, d. h. es besteht eine exponentielle Abnahme der erzeugenden trahlung. Ein von anderen Autoren beobachtetes Maximum zwischen 1 und 2 cm Bleiturde nicht gefunden.
- 1015 I. Hauser, P. Landrock, K. Lanius, L. Mitrani und A. Peeva. Zum Übergangsffekt der sternauslösenden Komponente der kosmischen Strahlung in Blei. Ann. Phys.,
 102. (7) 5, 335—338, 1960, Nr. 5/6. (Zeuthen, Akad. Wiss. Bln., Kernphys. Inst; Sofia,
 1034 Akad. Wiss., Phys. Inst.) In einem Bleiabsorber (Durchmesser 32 cm, Höhe 22 cm)
 1036 varden in einer axialen Bohrung von 5,6 cm 4 Ilford G5-Emulsionen 28 Tage in 2960 m
 1036 löhe exponiert. Es wurden alle Sterne nach besonderer Auswahl mit drei und mehr
 1037 rmen registriert. Die Sternhäufigkeit wurde in sechs je 1 cm breiten Streifen ausge1038 vertet, wobei der oberste Streifen außerhalb des Absorber lag. Es wurde kein Maximum
 1038 lernhäufigkeit hinter 1 bis 2 cm Blei beobachtet, was den theoretischen Erwar1049 ungen entspricht.
- 1016 E. V. Chitnis, V. A. Sarabhai and G. Clark. Arrival directions of cosmic-ray air phowers from the equatorial sky. Phys. Rev. (2) 119, 1085—1091, 1960, Nr. 3. (1. Aug.) Ahmedabad, India, Phys. Res. Lab.; Cambridge, Mass., Inst. Technol., Lab. Nucl. Sci.) Die Anlage bestand aus vier großen plastischen Szintillatoren, die an den Ecken eines (uadrates im Abstand von 35,5 m in Kodaikanal (h = 2034 m, φ = 10° N, λ = 78° E) aufgestellt waren. Die Einfallsrichtung wurde aus den Laufzeitdifferenzen zwischen den einzelnen Zählern bestimmt. 100000 Schauer mit mehr als 105 Teilchen wurden ausgewertet. Die Winkel lagen zwischen 30° und $+50^\circ$ bei einer Auflösung von 4°. Wie bereits in früheren Versuchen wurde innerhalb der Meßgenauigkeit von 5% keine Abweichung von der Isotropie gefunden. Die Absorption in der Atmosphäre wurde aus der Zenitwinkelabhängigkeit und dem Vergleich mit dem Meeresniveau mit einer Absorptionslänge von 107 g cm⁻² ermittelt. Die absolute Intensität für die genannten Schauer beträgt in 2034 m Höhe $(1,11\pm0,30)\cdot 10^{-9}$ cm⁻² s⁻¹ sr⁻¹.
- 4–1017 E. G. Boos und S. S. Takibajew. Verteilung des Transversalimpulses der Schauercilchen in Strahlströmen. Sh. exp. teor. Fis. 38, 1276-1284, 1960, Nr. 4. (Orig. russ.) Experimentelle Daten über die Verteilung der Transversalimpulse sekundärer Schauerleilchen werden mit den Ergebnissen der verschiedenen Theorien und phänomenologischen Beschreibungen der Vielfacherzeugung von Mesonen verglichen. Mit der Annahme iner Monochromasie der erzeugten Mesonen läßt sich die beobachtete Verteilung nicht rklären (die Winkelverteilung ist stark anisotrop). Man kann annehmen, daß im Schwerounktsystem die Anisotropie der Winkelverteilung der Mesonen größer ist als im System ler angeregten Volumina. Selbst im Schwerpunktsystem ist die gemessene Anisotropie aber zu klein. Dieser Widerspruch fällt fort, wenn man für die erzeugten Mesonen ein Energiespektrum ähnlich dem nach der Theorie von Heisenberg annimmt. Die hydrolynamische Theorie von LANDAU liefert eine pa-Verteilung, die infolge des sehr harten Energiespektrums der erzeugten Mesonen nach größeren p₁ verschoben ist. In ihrer Verfeinerung durch MILECHIN (J. exp. theor. Phys. **35**, 1185, *1958*) stimmt die Vereilung von pu gut mit dem Experiment überein; diese Verfeinerung ist aber nicht rein lydrodynamisch und überlagert der hydrodynamischen Bewegung eine thermische. Die Theorie von Fermi führt in thermodynamischer Näherung zu einer der Beobachtung vidersprechenden p_-Verteilung. Allgemein scheint die Theorie von Heisenberg am oesten zu stimmen; das Energiespektrum der erzeugten Teilchen nach dieser Theorie st experimentell bestätigt worden. Die Winkelverteilung folgt nicht direkt aus der Theorie, läßt sich aber nach Heisenberg qualitativ verstehen. Eine Entscheidung wischen der Feldtheorie von Heisenberg und der hydrodynamischen Theorie mit ediglich thermischer Transversalbewegung ist aus der pt-Verteilung noch nicht nöglich.

4-1018 S. Z. Belen'kii and I. P. Ivanenko. Cascade theory of showers. Soviet Ph Uspekhi 2, 912-957, 1960, Nr. 6. (Juni.) (Engl. Übers. aus: Usp. Fiz. Nauk 69, 1959.) V. Weidemann

4-1019 Masahiro Kodama and Masami Wada. Intensity minimum in cosmic-ray neutroning the International Geophysical Year. J. geophys. Res. 65, 2203-2205, 1960, N. (Juli.) (Tokyo, Inst. Phys. Chem. Res. Itabashi, Cosmic-Ray Lab.) Die Vff. untersuctie langzeitlichen Schwankungen der kosmischen Strahlung an 9 Stationen in schiedenen geomagn. Breiten während des geophys. Jahres. Der Monat mit dem niedsten Mittelwert liegt bei den einzelnen Stationen zwischen Nov. 57 und April 58. Ein niert man kurzzeitige Schwankungen, dann wird der Intensitätsverlauf an den versedenen Stationen einander ähnlicher, und das Minimum der Strahlung liegt zwischen. 57 und Febr. 58. Der Breiteneffekt der langzeitlichen Schwankungen zeigt charteristische Unterschiede von dem der kurzzeitigen Variationen.

4-1020 W. Messerschmidt. Zur täglichen Periode der kosmischen Strahlung. Z. Nat 15a, 734-736, 1960, Nr. 8. (Aug.) (Halle, Dtsch. Akad. Wiss. Berlin, Inst. exp. Ph Das Material der Neutronenregistrierungen des ersten Jahres des "Internation Geophysikalischen Jahres" wurde bezüglich der täglichen Periode ausgewertet. Dies auf der ganzen Erde mit maximaler Amplitude in mittleren Breiten vorhanden. Jahresgang der täglichen Periode ist in allen Breiten gleichlaufend. Es bestehen allem keine Unterschiede zwischen der nördlichen und südlichen Halbkugel. Es diese Periode daher der Sonnentätigkeit zuzuordnen. An Hand eigener Messur konnte weiter gezeigt werden, daß die tägliche Periode unter 14 m Wasseräquiva stark ausgeprägt sein kann, während an der Erdoberfläche keine Besonderheiten zustellen sind.

4–1021 Devendra Lal, James R. Arnold and Masatake Honda. Cosmic-ray product rates of Be⁷ in oxygen and P^{32} , P^{33} , S^{35} in argon at mountain altitudes. Phys. Rev. (2) 1626–1632, 1960, Nr. 6. (15. Juni.) (La Jolla, Calif., Univ., School Sci. Engng., Scr Inst. Ocean.) Wasser und Argon wurden 1959 in Perioden von zwei bis vier Monate einer Atmosphärentiefe von 685 g cm⁻² unter $\varphi = 51^{\circ}$ N zur Erzeugung radioakt Isotope exponiert. Die Abtrennung der Isotope erfolgte chemisch. Die Erzeugu raten werden in der Anzahl der gebildeten Atome pro g Argon und s angegeben. Sie tragen $7.6 \cdot 10^{-6}$ für P 32, $6.2 \cdot 10^{-6}$ für P 33 und $1.4 \cdot 10^{-5}$ für S 35 und $9.0 \cdot 10^{-6}$ Be 7, bezogen auf 0. Die gemessenen Werte sind um die Faktoren 1,1; 1,8; 1,4 und höher als die berechneten. Diese Tatsache wird aus der Abnahme der Intensität der mischen Strahlung um 15% seit dem Jahre 1948 erklärt. In dem interessierenden E giebereich scheint der Wirkungsquerschnitt zur Bildung von Be 7 für N und O gleic sein. Es lassen sich die Berechnungen für alle Höhen und Breiten anwenden.

Messerschmid

4-1022 F. Bachelet, P. Balata, A. M. Conforto and G. Marini. Cosmic ray and magnetic disturbances from July 1957 to July 1958. I. The cosmic ray events and correlation with the geomagnetic events. Nuovo Cim. (10) 16, 292-319, 1960, N (16. Apr.) Die Vff. untersuchen die Zusammenhänge zwischen Schwankungen der mischen Strahlung und geomagnetischen Effekten zwischen Juli 57 und Juli 58. Be kosmischen Strahlung wurden außer FORBUSH-Effekten auch kleinere weltweite Sch kungen beobachtet, langsamer Rückgang, allmählicher Anstieg, bayförmige Störm und Intensitätsspitzen sowie ortszeitabhängige Tagesgänge. Die beobachteten 1 BUSH-Effekte wurden nach der Steilheit des Absalls in vier Gruppen eingeteilt und Hauptdaten, Zeitpunkt des Beginns, Amplitude und Dauer angegeben. Die magnetis Stürme werden entsprechend ihrem Verlauf in fünf Gruppen eingeteilt. In einer Ta wird jedem beobachteten F.-E. ein M. S. zugeordnet. In 21 von 24 Fällen ist dies in halb eines Zeitintervalls von \pm 6 Stunden möglich. Die übrigen drei Forbush-Eff sind nur schwach ausgeprägt. Meist gehen die magnetischen Stürme den FORB Effekten voraus. - Folgt während eines Forbush-Effektes ein weiterer magnetis Sturm, dann wirkt er sich auf die kosmische Strahlung nicht aus. Magnetische Sti des Typs C und C, die für die Zeit des Sonnenfleckenminimums typisch sind, lösen l DRBUSH-Effekte aus. Dieser Befund wird durch die Chree-Analyse bestätigt. wischen der Größe der Forbush-Effekte und der der magnetischen Stürme besteht in Zusammenhang.

1023 F. Bachelet, P. Balata, A. M. Conforto and G. Marini. Dasselbe. II. The geoagnetic events. Ebenda S. 320-331. (Roma, Univ., Ist. Fis.; Ist. Naz. Fis. Nucl.; ommiss. Italiana Anno Geofis. Intergaz.) Die magnetischen Stürme werden entspreend ihrem Verlauf in fünf Gruppen eingeteilt. Charakteristika: Sudden commencement C. (plötzlicher Einsatz des Sturms) - Hauptphase (Abfall der magnetischen Horiontalkomponente kurz nach Beginn des magnetischen Sturms). Weiterer Verlauf, Typ A. lassischer magnetischer Sturm mit S. C. Hauptphase und Erholung. Dauer meist eniger als 48 Stunden. — Typ B beginnt mit S. C., hat aber keine Hauptphase und ist ur von kurzer Dauer. - Typ C beginnt auch mit S. C. Darauf folgen unregelmäßige chwankungen von H, die bis zu 9 Tagen anhalten. Typ A und C entspricht A und C, doch fehlt der S. C. — Typ C und \overline{C} ist charakteristisch für die Zeit des Sonnenfleckeninimums. Außer diesen magnetischen Stürmen werden noch kleinere geomagnetische törungen beobachtet. Zur Untersuchung der magnetischen Stürme zwischen Juli 57 nd Juli 58 wurden die Registrierungen von Gibilmanna (38,5° geomagn. N.), L'Aquila Vittorina (42,9° geomagn. N.) und Asiago (46,6° geomagn. N.) in Italien verwandt wie veröffentlichte Daten anderer Stationen. In einer Tabelle werden die Daten der 2 beobachteten Stürme dargestellt. Dabei sind 26 vom Typ A, 9 A, 6 C, 11 C und 20 B. be starken magnetischen Stürme sind alle vom Typ A. Die vom Typ B sind schwach, azwischen liegen die übrigen.

Adolf Müller. Theoretische Untersuchungen über das Verhalten geladener Teilchen a Sattelpunkten elektrischer Wechselfelder. Ann. Phys. Lpz. (7) 6, 206—220, 1960, fr. 3/4. (Berlin-Pankow, Wiss.-Tech. Büro Reaktorb.) Die Bewegung eines geladenen eilchens in elektrischen Gleich- oder Wechselfeldern wird unter Berücksichtigung der Erdbeschleunigung untersucht. Die Gleichungen sind nichtlineare differentialgleichungen mit periodischen Koeffizienten. Beachtet werden vor allem eriodische Lösungen auf den Symmetrieachsen in der Nähe des Sattelpunkts. Die peziellen Potentialfelder eines Paralleldrahtsystem-Kreisrings, Schlitzblenden- und vreislochblenden-Kondensators werden behandelt. Die Bedingungen, unter denen das eladene Teilchen im Sattelpunkt., frei aufgehängt" werden kann, werden aufgestellt zuch das Verhalten von zwei gleich geladenen Teilchen in der Symmetrieebene wird ertert. Ferner werden die Möglichkeiten zur Bestimmung von Ladung und Masse der eilchen diskutiert.

-1025 Romuald Zalubas. New description of thorium spectra. Nat. Bur. Stand. Monoraph. 1960, Nr. 17, (21. Juni.) S. 1—103. Wellenlängen von 2000 bis 11500 Å und ntensitäten bei Erregung in einer elektrodenlosen Thoriumhalidlampe und in Funkenchtquellen wurden für etwa 15000 Spektrallinien von Th I bis Th IV nach Messungen NBS zusammengestellt. Die Klassifizierung nach den Ionisationsstufen von Th erolgte unter Zuhilfenahme von Zeeman-Aufnahmen. Bereits vorher veröffentlichte uterferometrische Messungen sind in der Tabelle besonders gekennzeichnet.

Bartholomeyczyk.

-1026 Russell A. Fisher, William C. Knopf jr. and Frances Eshbach Kinney. Laboratory wave lengths and intensities in the near infrared spectra of nine elements. Astrophys. 130, 683-687, 1959, Nr. 2. (Sept.) (Evanston, Ill., Northwest. Univ., Dep. Phys.) m Wellenlängenbereich von 1,9 bis 2,3 µm wurden mit Bleisulfidzelle und Gitterspekrograph für Fe, Ni, Ta, La, Sc, Na, Rb und Cs Wellenlängen und Intensitäten gemessen. Bartholomeyczyk.

-1027 N. I. Ionow und M. A. Mitzew. Bestimmung der ersten Ionisierungspotentiale der Atome Neodym und Praseodym nach der Methode der Oberflächenionisierung. Sh. exp. eor. Fis. 38, 1350—1351, 1960, Nr. 4. (Orig. russ.) (Leningrad, Phys.-Tech. Inst.) Wegen er Kompliziertheit ihrer Spektren sind für die meisten seltenen Erden die Ionisierungssetentiale V noch nicht spektroskopisch bestimmt worden. Wie Ionow früher gezeigt at (Bakulina, Ionow, Ber. 39, Nr. 1—937, 1960), muß für ein V, das wesentlich

größer als die maximale lokale Austrittsarbeit ist, der Logarithmus des Ionenstraus der Oberfläche linear mit 1/T zusammenhängen. Ionisiert man an der Oberflägleichzeitig zwei verschiedene Elemente $(n_1$ bzw. n_2 Atome/s), so wird das Verhälihrer Ionenströme gegeben durch ln $(J_1/J_2)=\ln{(n_1A_1/n_2A_2)}+5040~(V_1-V_2)/T,$ wo $\Lambda=Q_+/Q_0$ das Verhältnis der Zustandssummen des positiven Ions und des Atoms Bei den Messungen wurde als Vergleichselement das Indium mit V=5,79eV benu In, Nd und Pr wurden von einem Wolframfaden verdampft. Die 1/T-Abhängigkeiten $\ln{(J/J_{70})}$ und $\ln{(J_1/J_2)}$ sind zwischen 2300 und 2700° K gut linear. Mit einer Korrel auf die Temperaturabhängigkeit des Verhältnisses A ergeben sich $V_{\rm Pr}=5,48\pm0,01$ und $V_{\rm Nd}=5,51\pm0,02$ eV. Die Ergebnisse bestätigen die Brauchbarkeit der frientwickelten Formeln für die Oberflächenionisierung der untersuchten Metalle. Voge

4-1028 Toshiro Masui, Isamu Miyasato and Makoto Koyama. Wavelength measuren in the near infrared by using a phototransistor. J. appl. Phys., Japan 29, 487—491, 18 Nr. 7. (Juli.) (Orig. jap. m. engl. Zfg.) (Tokyo, Cent. Insp. Inst. Weights Meas.) Mit en Germanium-Phototransistor als Empfänger in einem MICHELSON-Interferometer wer neue Präzisionsmessungen der Wellenlängen von drei Kryptonlinien und zwei Qursilberlinien im Gebiet nahe 1 μm durchgeführt. Die daraus mit einer Unsicherheit etwa ± 0,01 Å erhaltenen Werte für die Kryptonlinien sind: 9856,330 Å, 11457,50 und 12204,518 Å; für die Hg-Linien: 10139,777 Å und 13570,528 Å (n. engl. Zfg.).

4-1029 Peter Hey. Messung der absoluten Übergangswahrscheinlichkeiten einiger zium- und Chlor-Linien. Diss. Univ. Kiel, 1959.

H. Eber

4-1030 I. Agîrbiceanu, C. Ghită and V. Topa. Action of argon on the spectrum of I. pour. Rev. Phys., Bucarest 3, 195-202, 1958, Nr. 3/4. Bartholomeyczy

4-1031 P. Marguin et A. Moussa. Étude des électrons de conversion et des électronauger K et L de la désintégration $^{170}Tm^{-170}Yb$. J. Phys. Radium 21, 17-23, 1960, N (Jan.) (Lyon, Inst. Phys. Nucl.) Das Ziel dieser Arbeit war, durch Verwendung des Strometers des Institutes für Kernphysik in Lyon das Konversionselektronenspektivon ^{170}Tm zu präzisieren und das Spektrum der (nach-beschleunigten) Augeber Elektronen mit einem dünnen Zählerfenster zu untersuchen. Die Proben wurden in Bestrahlung von Tm_2O_3 mit einem Fluß von $1,9\cdot 10^{12}\,\mathrm{n/cm^2s}$ während 1698 Stunnach einer genau beschriebenen Methode hergestellt. Nach Angaben über das lösungsvermögen des Spektrometers und über die Grenzabsorption der Zählerfen wird das experimentell erhaltene Konversionselektronenspektrum, in dem die Strahlung graphisch in L_1 , L_{111} , L_{111} , aufgelöst wurde, als in guter Übereinstimm mit den theoretischen Rechnungen für die Verhältnisse K/L und $L_1/L_{111}/L_{111}$ gefunwohingegen die Überschreitung der theoretischen Werte für K/L+M und L/M mit Nichtberücksichtigung der endlichen Kerndimensionen erklärt wird. Das Studium Augeber L-Elektronen führt zu einer Tabelle für die wahrscheinlichsten Übergänge ihre berechneten Energien. Der erhaltene Fluoreszenzkoeffizient von $0 < \omega_L < k$ ann nur schwer mit den Ergebnissen nach anderen Methoden verglichen werden.

4-1032 P. Marguin et A. Moussa. Étude des électrons Auger K et L du ¹⁸⁷Ba. J. P. Radium 21, 149-156, 1960, Nr. 3. (März.) (Lyon, Inst. Phys. Nucl.) Im Anschlu vorhergehende Arbeiten, deren Ergebnisse diskutiert werden, wurde hier das int Konversionsspektrum und dasjenige der Auger-Elektronen mit Hilfe des H leistungsspektrometers am Institut für Kernphysik in Lyon untersucht, welches in der Kalibrierung mit Radiothorium eine Unsicherheit von 2,2 · 10⁻⁴ erreichte. Die K Gruppe der Auger-Elektronen zeigt 5 gut getrennte Maxima, von denen das mit sich aus Überlagerungen zusammensetzt. Die gemessenen Energien der KLL-Strah wurden theoretisch durch Anwendung der Släterschen Regel und nach der Met von Asaad und Burhoop nachgeprüft, wobei zum Vergleich auch die Meßwerte Johnson und Foster herangezogen wurden. Die L-Auger-Elektronen bilden Spektrum von Strahlen aller Energien, aus dem 6 Maxima herausragen, wesweger Bestimmung des Fluoreszenzkoeffizienten schwierig war.

- 1-1034 F. M. Pichanick, P. G. H. Sandars and G. K. Woodgate. The nuclear magnetic trople moments of the stable isotopes of europium and the hyperfine structure anomaly. Proc. roy. Soc. (A) 257, 277—282, 1960, Nr. 1289. (6. Sept.) (Oxford, Univ., Clarendon ab.) Mit einer neuen, für kleine Felder schon beschriebenen Methode eines Atomstrahlesonanzexperiments, das drei Hochfrequenzübergänge nacheinander induziert, gelang s, das magnetische Moment des $^{151}\mathrm{Eu}\text{-Kerns}$ zu $(3,419+0,004)~\mu_{\mathrm{K}}$ zu bestimmen. Ebenfalls konnte das Verhältnis $\mu(\mathrm{Eu}^{151})/\mu(\mathrm{Eu}^{153})$ zu $2,2686\pm0,0015$ angegeben verden. Mit dem bekannten Verhältnis der A-Faktoren A (151)/A (153) = 2,26498 $\pm0,00008$ ergibt sich daraus eine Hyperfeinstrukturanomalie zu $(1,0\pm0,23)\%$. Ein heoretischer Wert der Anomalie wird zu 0,9% abgeschätzt. Scheffler.
- t-1035 L. M. Wolkowa und A. M. Dewjatoff. Die effektiven Anregungsquerschnitte iniger Spektrallinien des Argons. Opt. i Spektrosk. 7, 819-820, 1959, Nr. 6. (Orig. russ.) Mit Hilfe einer von einem der Vf. früher beschriebenen Anordnung werden die Wirkungsquerschnitte bei der Anregung einiger Argonlinien in Abhängigkeit von der Spannung bestimmt.

 v. Keussler.
- 4-1036 M. P. Tschaika und E. E. Fradkin. Eine Methode zur Transformation der Konturen von Spektrallinien und ihre Anwendung zur Messung der Temperatur und anderer Parameter einer Lichtquelle. Opt. i Spektrosk. 7, 820-823, 1959, Nr. 6. (Orig. russ.) Aus der scheinbaren Intensitätsverteilung einer Linie und dem als bekannt vorausgesetzten Verhältnis der wahren Intensitätsverteilungen zweier Linien wird die wahre Intensitätsverteilung einer anderen Linie bestimmt.

 v. Keussler.
- 4-1037 Vernon H. Dibeler and Robert M. Reese. Multiple ionization of sodium vapor by electron impact. J. chem. Phys. 31, 282—283, 1959, Nr. 1. (Juli.) (Washington, D. C. Nat. Bur. Stand.) Die Häufigkeit von Mehrfach-Ionisation von Natriumdampf durch Zusammenstöße mit den Elektronen eines Strahles wird als Funktion der Elektronenenergie bis 200 eV untersucht. Die Anzahl der Ionen einer Ionisationsstufe wird durch den entsprechenden Ionenstrom gemessen. Der Strom der Na⁺-Ionen ist linear, der Strom der Na⁺⁺-Ionen ist quadratisch, und der Strom der Na⁺⁺-Ionen ist kubisch von der Elektronenenergie abhängig. Übersteigt die Elektronenenergie die Ionisationsenergie um etwa 30 eV, so weichen die Messungen wahrscheinlich infolge der dann merklichen Antegungen des Ions von diesen Gesetzen ab. Die Ionisationspotentiale werden aus den erhaltenen Kurven durch Extrapolation gefunden und stimmen gut mit den spektroskopischen Werten überein.
- I-1038 Mikiya Yamane. Ionization in argon mixtures by electrons in an electric field. J. phys. Soc. Japan 15, 1076—1086, 1960, Nr. 6. (Juni.) (Tokyo, Hitachi Cent. Res. Lab.) Gasverstärkungsmessungen der Ionisation werden in einer Zylinderelektrodenmordnung vorgenommen, in die axial α-Strahlung eintritt. Der Gesamtdruck beträgt 760 Torr. Es werden zu Argon folgende Gase zugegeben: Methan, Äthan, Propan, n-Butan, iso-Butan, n-Pentan, iso-Pentan, Äthylen, iso-, cis-, traus-Buten, Methylalkohol, Åthylalkohol, n-Propylalkohol, Benzen, Acetylen, Krypton und Xenon (alle Substanzen etwa 0,001—100 Torr). In allen Fällen ergibt sich in Abhängigkeit der zugegebenen Menge ein Ansteigen des Ionisationsgrades, der dann aber wieder abnimmt. Der

experimentelle Befund läßt sich nicht durch den Penning-Effekt (primär Anregumetastabiler Argonniveaus, durch diese Ionisierung der zugegebenen Moleküle) klären. Die für direkte Elektronenstoßionisierung aufgestellten Formeln ergeben quativ den Verlauf der gemessenen Kurven. Es wird als zusätzlicher Mechanismus no auf den Effekt der Photoionisierung hingewiesen.

- 4-1039 J. Eriesson and L. P. (Johansson) Sjöfall. Spectral line broadening measured shearing interferometric methods. Opt. Acta 7, 105-112, 1960, Nr. 2. (Apr.) (Sto holm, Inst. Opt. Res.) Es werden zur Bestimmung des Profils von Spektrallinien zweinsache Apparate beschrieben, die nach der Shearing-Interferenzmethode arbeiten. wird eine begrenzte Anzahl von Punkten der Sichtbarkeitskurve (Fourieransmierte der Intensitätsverteilung in der Spektrallinie) bestimmt. Daraus ist eine Aschätzung der gesamten Kurve möglich. Lichtquellen sehr geringer Intensität köm untersucht werden. Ein Interferometer arbeitet mit Savart-Platte und Eintritsspadas andere mit Wollaston-Kompensationsprisma für große Aperturen (kein Eintritspalt, Kombinationsmöglichkeit mit Breitband-Monochromator). Registriert wauf einer Photoplatte, die mit einem Spektralplattenphotometer photometriert werd muß. Messungen an Hg-Nieder- und Hochdrucklampen werden als Beispiel gegeben.
- 4–1040 S. K. Sinha and A. Mukherji. Nuclear magnetic shielding in molecules: hydrog molecule. J. chem. Phys. 32, 4652–1656, 1960, Nr. 6. (Juni.) (Calcutta, India, Saha In Nucl. Phys.) Unter Benützung von Valenzbindungs- oder LCAO (lineare Kombinatiatomarer Bahnen) Molekülbahnen (orbitals) wurde die kernmagnetische Abschirmuberechnet. Die Störung der molekularen Wellenfunktion infolge eines konstanten Mentfeldes wird als Lösung einer Störungsgleichung erster Ordnung erhalten. Die Methe wird auf das $\rm H_2$ -Molekül angewandt und für die Protonenabschirmung $\sigma = -0.55\cdot 1$ erhalten, in guter Übereinstimmung mit dem experimentellen Wert der Spin-Rotatio kopplungskonstante von $\rm H_2$.
- 4–1041 Georges Bessis et Savo Bratož. Etude de la structure électronique de l'ion FHH l'aide de la mécanique ondulatoire. J. Chim. phys. 57, 769–773, 1960, Nr. 9. (Ser (Paris, Centre Méc. Ondul. Appl.) Im Kristall KHF $_2$ ist das Ion FHF $^-$ linear und symetrisch. Es enthält die kürzeste bekannte Wasserstoffbindung, $R_{\rm FH}=1/2$ $R_{\rm FF}=2,12$ Das Molekülion wird nach der Methode der Konfigurationswechselwirkung untersuc Nach der Theorie ist der Grundzustand stabil und die angeregten Zustände sind instal Die Bildung der Wasserstoffbrücke ist von einer Wanderung von 0,6 Elektronen v Wasserstoffatom zum Fluoratom begleitet, wie nach dem elektrostatischen Modell zunehmen. M. Wiedemann
- 4-1042 J. Sobhanadri. Calculations on ionic character and hybridization from dipmoments for $A*F_3$ and $A*Cl_3$. Proc. phys. Soc. Lond. 76, 267—272, 1960, Nr. 2 (Nr. 44 (1. Aug.) (Waltair, India, Univ., Phys. Dep.) Berechnung mittels Theorie der mkularen Eigenfunktionen unter Benutzung der beobachteten Dipolmomente. Folgeru daß die nichtbindenden Elektronen einen wesentlichen Beitrag zum totalen Dipolmom liefern.
- 4–1043 J. Morcillo, J. Herranz y C. Rodríguez. Intensidades absolutas en infrarrojo las bandas fundamentales de diclorodifluormetano. An. Soc. esp. Fís. Quím. (A) 56, 65 70, 1960, Nr. 3/4. (März/Apr.) (Madrid, Inst. Quím. Fís.) Im Ultrarot werden die soluten Intensitäten der Absorptionsbanden von sieben Fundamentalschwingungen CCl₂F₂ bestimmt. Die Rotationsstruktur wird durch ein nichtabsorbierendes Fremd höheren Druckes (trockene Luft bei 1 Atm) verschmiert. Die Gesamtintensität wird jede Symmetrieklasse in Abhäugigkeit vom Bindungsmoment und dessen Ableitun für die C-Cl- und C-F-Bindungen diskutiert.
- 4-1044 S. M. Jasykowa. Eigenwerte der π -Elektronen in einem Potentialkasten mit e ganzen Zahl n von Schwellen. Opt. i Spektrosk. 7, 729-732, 1959, Nr. 6. (Orig. ru Unter Zugrundelegung eines Metall-Molekülmodells mit unendlichen Wänden wi eine Formal zur Berechnung der Eigenwerte der π -Elektronen im periodischen F mit gerader Schwellenzahl erhalten. Mit Hilfe dieser wurden die Energieniveaus e der Glieder der Polyonreihe $C_{10}H_{12}$ berechnet.

1045 F. A. Ssawin und J. J. Sobelmann. Intensitäten in den Spektren der Kombiationsstreuung und das Metallmodell des Moleküls. I. Polyenverbindungen. Opt. i Spekrosk. 7, 731—739, 1959, Nr. 6. (Orig. russ.) Eine von einem der Vf. früher angebene Methode wird unter Zugrundelegung des Metall-Molekülmodells zur Berechung der Intensitäten in den RAMAN-Spektren der Polyenverbindungen angewendet. is wird gezeigt, daß die erhaltenen Ergebnisse sich in befriedigender Übereinstimmung it den in der Literatur vorhandenen experimentellen Daten befinden.

v. Keussler.

- 1046 F. A. Ssawin und J. J. Sobelmann. Intensitäten in den Spektren der Kombinationsstreuung und das Metallmodell des Moleküls. II. Aromatische Verbindungen. Opt. Spektrosk. 7, 740—743, 1959, Nr. 6. (Orig. russ.) Eine von einem der Vf. früher utwickelte Methode wird unter Zugrundelegung des Metall-Molekülmodells zur Becknung der Intensitäten in den Spektren aromatischer Verbindungen angewendet. Im Beispiel des Benzols, Toluols und Deuterobenzols wird gezeigt, daß die theoretichen Ergebnisse sich in befriedigender Übereinstimmung mit einer Reihe experimenteller Daten befinden.
- 1-1047 E. E. Nikitin. Die Bandenform der erzwungenen Rotations- und Schwingungspektren dipolloser Moleküle. Opt. i Spektrosk. 7, 744-750, 1959, Nr. 6. (Orig. russ.) form und Halbwertsbreite der durch Doppelstöße erzwungenen Rotations- und Schwingungsabsorptionsbanden wurde für dipollose Moleküle berechnet. Die theoretischen und experimentellen Bandenbreiten einer Reihe von Molekülen befinden sich in beriedigender Übereinstimmung. Die Analogie zwischen den Spektren erzwungener Aborption bzw. Emission und den Elektronen-Absorptions- bzw. Lumineszenzspektren omplexer Moleküle wird einer kurzen Betrachtung unterzogen.
- (-1048 V. N. Filimonov. Induced absorption of infrared radiation by molecules. Soviet Phys.-Uspekhi 2, 894—911, 1960, Nr. 6. (Juni.) (Engl. Übers. aus: Usp. Fiz. Nauk 69, V. Weidemann.
- 1-1049 Earle K. Plyler, Alfred Danti, L. R. Blaine and E. D. Tidwell. Vibration-rotation tructure in absorption bands for the calibration of spectrometers from 2 to 16 microns. Nat. Bur. Stand. Monograph 1960, Nr. 16, (21. Juni.) S. 1—20. Einige 600 Rotationsschwintungslinien von H₂O, CO₂, CO, HCl, HBr, NH₃, C₂H₂, CH₄, N₂O und Polystyrol-Folie wurden als Wellenlängenstandards im Bereich von 2 bis 16 μm mit einer Genauigkeit con etwa 0,03 cm⁻¹ neu vermessen und in 20 Spektrogrammen dargestellt. Die neuen Nellenzahlen der Linien sind zusammen mit zuverlässigen Messungen anderer Laboatorien tabuliert.

 H.-J. Hübner.
- 1050 W. J. Iwanoff. Der Einfluß der Temperatur auf das Absorptionsspektrum des Stickstoffoxyds. Opt. i Spektrosk. 7, 813-815, 1959, Nr. 6. (Orig. russ.) Das Absorptionsspektrum des NO wird bei Temperaturen von 20 bis 1020°C photographiert und die Ergebnisse diskutiert.

 v. Keussler.
- 1-1051 Kurt Bühler. Über die Schwingungsspektren von Fluorpkosphaten und Fluoarselaten. Diss. T. H. Stuttgart, 1960. (Stuttgart-Degerloch.) H. Ebert.
- 1052 Heinz W. Schrötter. Intensitätsmessungen in Raman-Spektren. Z. Elektrochem. 4, 853–866, 1960, Nr. 6. (15. Aug.) (Bamberg, Hochsch., Phys. Inst.) Drei verschiedene Methoden zur Aufstellung einer absoluten Intensitätsskala von Raman-Linien werden verglichen. Da sie nicht befriedigen, müssen weiterhin relative Intensitätsangaben besützt werden, als Referenzlinie soll 459 cm⁻¹ bei CCl₄ bevorzugt werden. Die in Fermitesonanz stehenden Raman-Linien v₁ = 655 cm⁻¹ und 2 v₂ = 796 cm⁻¹ des CS₂ wurden 5 bzw. 4 Komponenten aufgelöst, die an Hand eines Energieniveau-Schemas zugeordet werden, die Übereinstimmung mit Messungen am Dampf ist gut. Es wurde auf das Verhältnis der Intensitäten von Grund- und Oberton geschlossen. Die Resonanzbaman-Spektren von p-Nitranilin, p-Nitrodimethylanilin und p-Nitrodiäthylanilm vurden photoelektrisch in CCl₄, Benzol und Methanol bei verschiedenen Konzentrationen aufgenommen. Wellenzahlen, Depolarisationsgrade und Intensitäten sind registriert. Die Intensität ist nach einigen Korrekturen der Konzentration proportional. Die Nachseisgrenzen der einzelnen Substanzen wurden diskutiert. Ferner wurden die Raman-pektren mit den Infrarot-Absorptionsbanden verglichen. M. Wiedemann.

- 4-1053 Dieter Fenchel. Schwingungsspektren von Pyridinanlagerungsverbindung Diss, T. H. Stuttgart, 1960. (Sulzbach/Taunus.)
- 4-1054 G. S. Rao. Infra-red spectra of the complexes of titanium and zirconium te halides with organic ligands. II. Nitrile complexes. Z. anorg. Chem. 304, 351-51960, Nr. 5/6. (Juni.) (Saugar, India, Univ., Dep. Chem.)
- 4-1055 R. M. S. Hall. High-energy oxygen ions in carbon dioxide mass spectra. Natu Lond. 187, 683, 1960, Nr. 4738. (20. Aug.) (Leatherhead, Surrey, Cent. Elect. F. Labs.) Das Massenspektrum von Kohlendioxyd wurde mittels einer Elektronenst ionenquelle Nierscher Art (70 V Elektronenbeschleunigungsspannung) bei niedri Ionenbeschleunigungsspannung (230 V) durch magnetisches Abtasten aufgenomm Ionen einer Masse und thermischer Anfangsenergie erzeugen dann die Hauptli während Ionen derselben Masse und höherer Anfangsenergie Satellitenlinien auf höheren Massen entsprechenden Seite der Hauptlinie bilden. Für Sauerstoffionen wu ein um 3,5 V höherer Energiezustand gefunden. Der Entstehungsprozeß dieser Io wird diskutiert. Niedrige Repellerspannungen begünstigen den höher energetisc Zustand.
- 4-1056 M. A. Kowner und B. N. Snjegireff, Intensitäten und Depolarisationen in Spektren der Kombinationsstreuung der Polymethylbenzole. Opt. i Spektrosk. 7, 487—1959, Nr. 4. (Orig. russ.) Tensorelemente der Ableitungen der Polarisierbarkeit PRAMAN-Effekt wurden für 38 Schwingungen des Toluolmoleküls berechnet. Sie wei durch die Atommassen, die Bindungslängen, die Polarisierbarkeiten der Bindungen ihre Ableitungen, die Matrikelemente der normierten Koeffizienten der Schwingu formen und die der entsprechenden reziproken Matrizen ausgedrückt.

v. Keussle

- 4-1057 E. M. Reeves, R. W. Nicholls and D. A. Bromley. Optical excitation of N 0,5 MeV hydrogenic ions. Proc. phys. Soc. Lond. 76, 217–222, 1960, Nr. 2 (Nr. 4 (1. Aug.) (London, Ont., Univ., Dep. Phys., Calk River, Atom. En. Canada I Ionenstrahlen von 0,5 bis 5 μ A aus Van de Graaff. Atom- und Molekülionen 0,5 bis 1,5 MeV. N₂-Kammer mit Druck unter 0,1 Torr. Lineare Abhängigkeit der Banden-Intensität vom Druck bis wenigstens 0,06 Torr, keine Balmer-Linien. W scheinlichster Primärmechanismus $H^+ + N_2 \rightarrow H^+ + N_2^+ + e$. Sekundärelekter tragen wenig zur Anregung von N½-Banden bei, aber wesentlich zu der von N₂-Ban Bei Molekülionen schwache NI- und NII-Linien. G. Schuman
- 4-1058 L. M. Bibermann, S. P. Jerkowitsch und W. N. Ssoschnikoff. Über die Legangswahrscheinlichkeit im Schuman-Runge-Bandensystem des O₂-Moleküls. Or Spektrosk. 7, 562—563, 1959, Nr. 4. (Orig. russ.) Unter Berücksichtigung des flusses der Franck-Condon-Faktoren wird eine Formel für die Bandenintensit angegeben und die danach für verschiedene Temperaturen berechnete Wellenabhär keit der Intensität mit den Messungen von Keck, Camm und Kivel verglichen.

 v. Keussle
- 4-1059 K. P. Wassilowski und B. S. Neporent. Der Einfluß fremder Gase auf die sorption infraroter Strahlung durch Wasserdampf im Gebiet der Einfachlinie der B 2,7 μ. Opt. i Spektrosk. 7, 572-574, 1959, Nr. 4. (Orig. russ.) Die Abhängigkeit Integralabsorption durch H₂O wurde als Funktion des Druckes der Zusatzgase Aund CO₂ gemessen.

 v. Keussle
- 4-1060 W. M. Tschulanowski, J. W. Peisachson und D. N. Schtschepkin. Bestimm des Absolutwertes der die Intensität im infraroten Absorptionsspektrum bei Fehlen zeitl Verzerrungen charakterisierende Parameter. I. Opt. i Spektrosk. 7, 763-769, Nr. 6. (Orig. russ.) Eine Registriermethode infraroter Spektren, bei der die durc Trägheit beim Registrieren hervorgerufenen Verzerrungen keine Rolle spielen, wir schrieben. Drei Verfahren zur Gewinnung auf Verzerrung durch die Apparatefunk korrigierter Werte der optischen Dichte im Maximum, der integralen Dichte und Halbwertsbreite werden angegeben.

Martha Spitzer. Résonance optique et réflexion sélective avec les vapeurs de cadium et de zinc. Ann. Phys., Paris (13) 5, 707-767, 1960, Nr. 5/6. (Mai/Juni.) Obwohl e optische Resonanz, der Einfluß eines Magnetfeldes auf die Polarisation des dabei mittierten Lichtes und die selektive Reflexion ursprünglich an Quecksilberdampf beobrhtet wurde, sind Cadmium- und Zinkdämpfe wegen ihrer Ähnlichkeit mit Hg und der esseren Lage der betrachteten Wellenlängen im Spektrum experimentell besser geeiget. Der Einfluß eines Magnetfeldes auf die Polarisation eines durch Resonanz emittiern Lichtbündels wird berechnet und die Anregungs- und Emissionscharakteristiken estimmt. Sind die hyperfeinen Zustände weiter als natürlich getrennt, kann man die desonanzeffekte für die Komponenten getrennt betrachten, was für den Fall einer Angung mit axialer und ohne axiale Symmetrie erfolgt. Nach eingehender Beschreibung er Apparatur werden die Resultate für beide Symmetriefälle diskutiert und schließlich le selektive Reflexion an Cadmiumdampf betrachtet. Im Falle axialer Symmetrie erlärt der Kernspin das Fehlen der totalen Polarisation, wie sie mit dem Isotop 144 Spin 0) auch erzielt wird. Steinacker.

1–1062 A. M. Evseev. Calculation of the summation of rotation states of molecules in a quid. Sh. fis. Chim. 34, 1148–1149, 1960, Nr. 5.

H. Ebert.

-1063 J. A. Goedkoop en B. O. Loopstra. Neutronendiffractie en structuuronderzoek in Kjeller. Ned. Tijdschr. Natuurk. 25, 29—41, 1959, Nr. 2. (Febr.)

ormod Riste. Magnetic scattering of neutrons. Ebenda S. 42-51. (Kjeller, Joint Est. Vucl. Energy Res.) Übersicht über Kristallstrukturuntersuchungen mit thermischen Neutronen am Reaktor Jeep in Kjeller (Norwegen) nach der Debye-Scherrer- und inkristallmethode.

Pott.

- 1.1064 B. D. Sharma. Interferometric studies of deformation bands in metal crystals.
 1. sci. industr. Res. 19B, 180–183, 1960, Nr. 6. (Juni.) (Chandigarh, Punjab Engng Coll.)
 Mit Hilfe der optischen Interferometrie wurden die bei inhomogener Deformation von
 Metallen auftretenden Strukturänderungen wie Deformationszonen usw. beobachtet.
 Die an Wismut und Zinn durchgeführten Messungen werden mit Hilfe der Versetzungsheorie gedeutet.

 Schniedermann.
- 1-1065 N. L. Smirnova. The superstructures possible in close-packed structures. Soviet Phys.-Cryst. 4, 10-16, 1960, Nr. 1. (Jan.) (Engl. Übers. aus: Kristallografija 4, 13, 1959, Nr. 1.) (Moscow, State Univ.) In Fortsetzung früherer Untersuchungen werden Übertrukturbildungsmöglichkeiten und reale Überstrukturen beschrieben, die sich aus zwei Atomarten mit dem Mengenverhältnis $B: A \geq 3$ zusammensetzen. Hahlbohm.
- 1-1066 N. L. Smirnova. Possible superstructures in a simple cubic structure. Soviet Phys.-Cryst. 4, 17-20, 1960, Nr. 1. (Jan.) (Engl. Übers. aus Kristallografija 4, 20, 1959, Nr. 1.) (Moscow, State Univ.) Die Möglichkeiten der Überstrukturbildung im einachen kubischen Gitter beim Vorhandensein von zwei Atomarten A und B werden discutiert und tabellarisch zusammengefaßt.
- Hans Georg von Schnering, Rudolf Hoppe und Josef Zemann. Die Kristallstruktur des $BaZnO_2$. Z. anorg. Chem. 305, 241–254, 1960, Nr. 5/6. (Aug.) (Münster, Univ., Norg.-Chem. Inst.; Göttingen, Univ., Mineral.-Kristall. Inst.) Hexagonal; a = 5,886 Å, = 6,734 Å; $d_{R\bar{0}} = 5,82$, $d_{p\bar{p}k} = 5,78$ g/cm³; aufgefüllte Gerüststruktur.

H. Ebert.

7-1068 C. W. W. Hoffman and R. W. Mooney. Crystallographic data of beta- $Sr_2P_2O_7$. Lelectrochem. Soc. 107, 854-855, 1960, Nr. 10. (Okt.) (Towanda, Penn., Sylvania Select. Prod. Inc., Chem. Metall. Div.) a = 6,920 und c = 24,79 Å, ρ = 3,91 g/cm³.

1. Ebert

-1069 Horst Moenke. Ultrarot-spektralphotometrische Bestimmung der gesteinsbildenen Salzmineralien. Jena. Jb. 1959, Teil II, S. 361—395. Von 26 anorganischen Mineraen werden die Ultrarotabsorptionsspektren zwischen 5,5—25 μm aufgenommen und die iagnostisch brauchbaren Ultrarotbanden tabellarisch zusammengestellt. Hora.

- 4-1070 C. Hermann. Zur Nomenklatur der Gitterkomplexe. Z. Kristallogr. 113, 142-1 1960, von Laue-Festschrift II. (Apr.) (Marburg, Univ., Kristallograph. Inst.) Z Zwecke der kurzen Beschreibung von Raumgruppen und Kristallstrukturen wird für non- und monovarianten Gitterkomplexe eine Nomenklatur und für Komplexe mehr Freiheitsgraden eine behelfsmäßige Bezeichnung vorgeschlagen. Diese erlauf die systematische Behandlung einer Anzahl von kristallgeometrischen Fragestellung die von Niggli, Weissenberg und Vf. stammen. (n. Zfg.)
- 4-1071 G. Menzer. Über Raumgruppensymbole. Z. Kristallogr. 113, 155-177, 19 von Laue-Festschrift II. (Apr.) (München, Univ., Inst. Kristallographie u. Mineralog Für den Zweck, die Gitterkomplexe in ein System zu bringen, wurden die Raumgrup in einer der Gadollinschen Ableitung (1871) der 32 Kristallklassen analogen Weise zusammengestellt.

 H. Ebert
- 4-1072 G. Menzer. Symbole der Gitterkomplexe. Z. Kristallogr. 113, 178-194, 18 von Laue-Festschrift II. (Apr.) (München, Univ., Inst. Kristallographie u. Mineralog Es erhalten die Komplexe Symbole, die aus ihrer Zähligkeit und einem großen Bustaben als Index bestehen, und die Gitterkomplexe mit einem Freiheitsgrad außer ihr Symbol einen kleinen Buchstaben, der sich auf die Drehungsachse, welche die Punlage trägt, bezieht. (n. Zfg.)
- 4-1073 G. Menzer. Über die Ladung ideal begrenzter Ionenkristalle. Z. Kristallogr. 1 28-38, 1960, Nr. 1/2. (Juni.) (München, Univ., Inst. Kristallographie u. Mineralog Die betrachteten Fälle (NaCl, CsCl, CaF₂, ZnS), Ionenkristalle, die von den Forr {100}, {110} oder {111} ideal begrenzt sind, verteilen sich auf die drei möglichen Ladur typen mit Ladungen von der Größenordnung $N^n \cdot e$ (n=0,1,2...N, etwa gleich Anzahl identischer Punkte längs einer Gittergeraden durch den ganzen Kristall). Spaltung erfolgt bei allen untersuchten Strukturen nach Flächen n=0 oder n=1. H. Eber
- A. Seeger, P. Schiller and H. Kronmüller. Observation of interstitial atoms f. c. c. metals, Phil. Mag. (8) 5, 853-857, 1960, Nr. 56. (Aug.) (Stuttgart, Max-Plan Inst. Metallforsch.; T. H., Inst. theor. angew. Phys.) Aus theoretischen Untersuchun geht hervor, daß in kubisch-flächenzentrierten Metallen die Energie der Zwischengit atome in der sog. Hantellage (intersticialcy) in Cu um etwa 0,6-0,7 eV kleiner ist al der kubisch symmetrischen Lage im Würfelmittelpunkt. Da die Hantellage eine te gonale Symmetrie mit einer bevorzugten (100)-Achse hat, muß beim Anlegen ei elastischen Spannung (oder in magnetischen Materialien beim Anlegen eines magn schen Feldes) ein Ausrichten der Hanteln in die durch die äußere Einwirkung bevorzt Richtung erfolgen. Das ergibt ein dem sog. SNOEK-Effekt in α-Eisen analoges Verhal Die Untersuchungen wurden an kaltverformten polykristallinen Ni-Drähten du geführt. Bei den mechanischen Messungen mit Hilfe des Torsionspendels ergab sich Dämpfungsmaximum, das einem mit der Temperatur monoton ansteigenden Untergr überlagert war. Bei den magnetischen Messungen wurde die ferromagnetische Des kommodation zwischen 0 und 24°C bestimmt. Die Ergebnisse beider Meßmethoden las sich durch eine Arrhenius-Gleichung darstellen ($\tau = \tau_0 \exp Q/kT$) mit den Konstar $au_0 = 4 \cdot 10^{-12} \, {
 m sec}$ und ${
 m Q} = 0.79 {
 m eV}$. Untersuchungen über das Ausheilen der Effe ergaben eine Wanderungsaktivierungsenergie der Zwischengitteratome von rund 1
- Schille 4-1075 J. I. Gorkun und K. B. Tolpygo. Besonderheiten der Bewegung schneller Strträger in polaren Kristallen. Iswest. Akad. Nauk SSSR, Ser. fis. 24, 94-100, 1960, N (Orig. russ.)
- 4–1076 K. B. Tolpygo. Anwendung der Schwingungstheorie eines Kristallgitters mit de mierten Ionen zur Untersuchung der physikalischen Eigenschaften von binären kubist Kristallen. Iswest. Akad. Nauk SSSR, Ser. fis. 24, 177–188, 1960, Nr. 2. (Orig. ru
- 4-1077 K.B. Tolpygo. Grundlagen der Theorie der polaren Kristalle. Iswest. Al Nauk SSSR, Ser. fis. 24, 192-201, 1960, Nr. 2. (Orig. russ.) H. Weidemann

A. J. Glauberman. Über eine neue Form eines polaren Kristallmodells. Iswest. -1078 kad. Nauk SSSR, Ser. fis. 24, 101-103, 1960, Nr. 1. (Orig. russ.)

H. Weidemann.

- -1079 M. Balarin. Elektronenenergieniveaus in Kristallen. I. Thalliumaktivierte Alkalialogenide. Ann. Phys., Lpz. (7) 6, 120-130, 1960, Nr. 3/4. (Rossendorf b. Dresden, entralinst. Kernphys.) Für Tl+-aktivierte Alkalihalogenidkristalle wird der Einfluß des Wirtsgitters auf die Elektronenterme des Aktivators untersucht. Bei den Rechnungen ird vom Zentralionenmodell ausgegangen; als nullte Näherung werden die Funkionen der freien Ionen eingesetzt. Die Gitterwirkungen werden folgendermaßen berückichtigt: In erster Näherung wird das elektrostatische Potential punktförmiger Ionenndungen und in zweiter Näherung die räumliche Verteilung der Elektronenladungen ingesetzt. Dabei wird gezeigt, daß für die zweite Näherung nur die erstnächsten Nacharn des Zentralions zu berücksichtigen sind. - Für die optischen Übergänge ergibt lie Rechnung, daß sich die Emissionsspektren Tl⁺-aktivierter Alkalihalogenide von den vichtigsten optischen Übergängen (${}^{1}S_{0} \rightarrow {}^{3}P_{1}; {}^{1}S_{0} \rightarrow {}^{1}P_{1}$) im freien Tl⁺-Ion durch eine erschiebungsgröße unterscheiden, die das in der Umgebung des Aktivatorions herrchende Kristallfeld berücksichtigt. Einige der angegebenen Regeln müssen noch experinentell bestätigt werden. Im Anhang wird eine analytische Näherung für das effektive Potential von Halogen- und Alkaliionen angegeben.
- 1-1080 J. F. Barnes and R. H. Tredgold. Field dependent electron mobility in ionic rystals. Proc. phys. Soc. Lond. 76, 261-266, 1960, Nr. 2 (Nr. 488). (1. Aug.) (Bangor, niv. Coll., Phys. Dep.) Berechnung der Wechselwirkung zwischen Leitungselektronen und Gitterschwingungen unter Beschränkung auf die hauptsächlich wirksamen longitulinalen optischen Schwingungen mit näherungsweise einheitlicher Kreisfrequenz on. Bestimmung der Verteilungsfunktion der Elektronen unter der Annahme, daß sie regenüber der Verteilung ohne Feld lediglich verschoben ist, aber dieselbe (MAXWELLche) Form besitzt. Näherungslösung entwickelt nach der 3. Potenz der Feldstärke. Numerische Werte für $\hbar \omega_0 = 2 \ \mathrm{kT}$ und $^{1}\!/_{2} \ \mathrm{kT}$. Unterhalb der Durchbruch-Feldstärke Größenordnung 10° V/cm) Abnahme der Beweglichkeit mit wachsender Feldstärke. Interhalb 105 V/cm nicht-Ohmsche Effekte vernachlässigbar.
- 1081 Robert H. Wood. Madelung constant for K₂SO₄(II). J. chem. Phys. 32, 1690 bis 692, 1960, Nr. 6. (Juni.) (Newark, Dela., Univ., Dep. Chem.) Mittels Rechemmaschine vurden die MADELUNG-Konstanten von NaCl, CsCl und $\rm K_2SO_4$ berechnet. Um eine Correktur für Oberflächendipole (DE BOER-Effekt) zu vermeiden, wird die Gitterenergie iber neutrale Schalen mit Atomen summiert, wobei jede Schale aus Elementarzellen usammengesetzt ist. Die Gitterenergien sind tabelliert. Bei K2SO1 ergibt sich die MADELUNG-Konstante als Funktion der Ladung am Sauerstoff e zu $M_d=6.922\pm0.36$ e. M. Wiedemann.
- -1082 I.M. Rumanova. Normal and bounded generalized electron-density projections with the original phase. Soviet Phys.-Cryst. 3, 672-683, 1960 Nr. 6 (Jan.) (Engl. Übers. us: Kristallografija 3, 664, 1958, Nr. 6.) Die bei der Beschreibung eines Metallgitters bliche atomare Beschreibung mit Hilfe der Elektronendichte läßt sich einmal durch ie Berechnung der FOURIER-Reihe für die dreifach-periodische Elektronendichteunktion lösen. Diese im allgemeinen recht mühsame Berechnung wird wesentlich verinfacht durch das Verfahren der Projektion. Die hierbei bisher üblichen Methoden aben folgenden Nachteil: 1. Die Überlappung der einzelnen Atom-Anteile erlaubt icht die genaue Festlegung der Atomkoordinaten. 2. Nur zwei Atomkoordinaten issen sich aus jeder Projektion berechnen, und es ist oft recht schwierig, die dritte zu nden. — Vf. schlägt deshalb die Anwendung von verallgemeinerten Projektionen vor, ie es ermöglichen, alle drei Koordinaten des Atoms zu bestimmen, besonders aber die - und y-Koordinate des Atoms, die sich in der x-y-Projektion überlappen. Schniedermann.

-1083 A. A. Levin and M. A. Porai-Koshits. X-ray structure calculations on the "Strela" niversal computer. Soviet Phys.-Cryst. 4, 141-145, 1960, Nr. 2. (Febr.) (Engl. Übers. us: Kristallografija 4, 157, 1959, Nr. 2.) Programmierungsprobleme und Möglichkeiten für die Berechnung von Elektronendichten und PATTERSON-Vektoren, Strukturamp tuden und Atomkoordinaten mit dem Universal-Rechner "Strela" werden diskutie Hahlbohm.

4-1084 T. C. Harman, J. I. Genco, W. P. Allred and H. L. Goering. Preparation of some characteristics of single-crystal indium phosphide. J. electrochem. Soc. 105, 731 735, 1958, Nr. 12. (Dez.) (Columbus, Ohio, Battelle Memor. Inst.) 1. In hochevakuier Quarzglasapparatur Einwirken von gesättigtem Dampf aus zweifach vordestilliert Phosphor bei bis 485°C (Eindiffusion von O2 wird durch eine Außenhülle mit Arg füllung und Titangetter verhindert) auf Indium (Abtrennen des Oberflächenoxyds du Ablaufenlassen). Das In befindet sich bei der Reaktion in einem Quarzglasschiffel mit einem Temperaturgefälle von 1060 auf 1000°C. Gemäß dem Überschreiten der L lichkeitsgrenze mit wachsender InP-Bildung scheidet sich dieses an der kälteren Se aus dem flüssigen In unterhalb seines Schmelzpunktes aus. Beim Abkühlen entstel allerdings Spannungen durch Festhaften am Behälter. 2. Beschreibung einer Krist ziehapparatur mit magnetischer Ankoppelung, bei der sich Quarzglastiegel und Hal mit Keimkristall in einem abgeschmolzenen Vycorgefäß befinden; Punkt tiefster Te peratur 485°C, zusätzliche Induktionsheizung. Gezogenes InP aus mehreren Kristal bestehend, n-leitend, Trägerkonzentration n_e = 10¹⁷/cm³, Beweglichkeit 3000 cm (K. s.). Bei anderen Proben ne nur 1010 bis 1017/cm3 wahrscheinlich durch Kompensat verursacht. Photoelektrische Lebensdauermessung mit $\tau = 6 \cdot 10^{-4}$ s deutet auch tiefliegende Fangstellen vermutlich durch O_2 -Verunreinigung. Optische Durchlässigke von 1,5 bis 15 μ m gleiche Struktur bei $n_e = 1,4 \cdot 10^{10}$ und $4 \cdot 10^{15}/\text{cm}^3$, bei letzter jedoch zusätzliche Absorption, vermutlich durch freie Träger. Flechsig

Michiyasu Doi. A possible mode of twin in the ε-phase of Cu-Sb alloy. J. ph Soc. Japan 15, 849-852, 1960, Nr. 5. (Mai.) (Sao Paulo, Univ., Inst. Pesquisas Tecn Sect. Met. Phys.) Es werden verschiedene Hypothesen der Zwillingsbildung von Osa und SHIBATA, BOETTCHER und THUN, THOMPSON und MILLARD sowie JAWSON und De an der ε-Phase einer Cu-Sb-Legierung bei Annahme einer angenähert hexagonal di testgepackten Substruktur auf geometrischer Grundlage diskutiert. Aus der Betra tung werden folgende Schlußfolgerungen gezogen: In obiger Legierung wird Symmetrieebene (1210) festgestellt; die Einheitszelle enthält 8 Sb-Atome und auch Le stellen im Gegensatz zur üblichen Einheitszelle hexagonal-dichtestgepackter Met gitter, welche 9 Sb-Atome enthalten. Die Symmetrieebene stimmt mit der Scherflä überein und steht senkrecht zur Zwillingsbildungsebene (1011); das axiale Verhäl wird zu c/a = 0,7947 angegeben. Aus einer Betrachtung der Atombewegung bei ei angenommenen Zwillingsbildung in der (1011)-Ebene wird gefolgert, daß die Mögl keit des Nachweises von Zwillingen in der z-Phase von Cu-Sb-Legierungen sehr k ist; sie beträgt nur ¹/6 der Möglichkeit in üblichen hexagonal dichtestgepackten Met gittern. Weiterhin wird die Zwillingsbildung in geordneten Fe5Al-Kristallen diskutiert wird versucht, die hierbei erhaltenen Ergebnisse zu verallgemeinern. Löschner

4-1086 Bruno Predel. Die Zustandsbilder Gallium-Wismuth und Gallium-Quecksil Vergleich der Koexistenzkurven mit den Theorien der Entmischung. Z. phys. Chem. N 24, 206-216, 1960, Nr. 3/4. (Mai.) (Münster, Univ., Inst. Metallforsch.)

4-1087 A. Münster und K. Sagel. Über die Atomanordnung in festem Zustand des stems Aluminium-Zink. Z. Phys. Chem. N. F. 24, 217-239, 1960, Nr. 3/4. (Mai.) (Fre furt/Main, Metallges. AG., Met.-Lab.)

4-1088 Charles L. Bauer and Robert B. Gordon. Dislocation damping effects in rock 3. appl. Phys. 31, 945-949, 1960, Nr. 6. (Juni.) (New Haven, Connect., Yale Ur Hammond Metallurg. Lab.) An NaCl-Einkristallen wird die innere Reibung als Funkt der Dehnungsamplitude, Einfluß von Röntgenstrahlen auf den Elastizitätsmodul so die Ätzgrübchendichte bestimmt. Messung der inneren Reibung und des Elastizit moduls während einer 31 kV Röntgenbestrahlung erfolgte piezoelektrisch bei e Resonanzfrequenz von 89,7 kHz. Die erzielten Meßergebnisse wurden zur Überprüf von 2 Theorien verwendet: 1. Berechnung der mittleren Länge eines Versetzusegmentes L, welches mit der Frequenz einer von außen angebrachten mechanisch

pannung schwingt, nach Granato und Lücke. 2. Bestimmung von L aus dem Elastitätsmodul nach Gordon und Nowick. — Aus den Betrachtungen wird die Folgerung ezogen, daß die überprüften Theorien die Erscheinungen der Versetzungsdämpfung in fact in brauchbarer Weise darstellen, und daß Messungen der inneren Reibung zur fortufenden Beobachtung von Versetzungen verwendet werden können. Das beschriebene erfahren kann weiterhin zur Untersuchung von Erholung, Rekristallisation, Ausfartungserscheinungen, Polygonisation, Kriechen und weiteren ähnlichen Erscheinungen erwendet werden.

- -1089 W. I. Wladimirow. Eine Theorie der Koagulation überschüssiger Lücken bei der Abkühlung fester Körper. Phys. Abh. Sowjetunion N. F. 2, 512-523, 1960, Nr. 6. (Übers. us: Fis. Twerd. Tela 2, 157-167, 1960.) Es werden Fragen behandelt, die bei Temeratursenkung mit der Koagulation von Leerstellen im festen Körper zusammenängen. Im einzelnen werden folgende Faktoren diskutiert: Form und Energie der Keime; Gleichgewichtskonzentration der Leerstellen und "Blättchen" (Blättchen-Keime, welche in der Mitte zusammengedrückte Hohlräume darstellen) und ihre Wechelwirkungsquerschnitte; kritische Temperatur und Keimbildung; Keime; Beweglichkeit der Leerstellen,,paare" und -,,tripel"; Abschätzung der Ausmaße ler Blättchen und der Einfluß der Probenausmaße auf die Koagulation der Leerstellen. Es wird gezeigt, daß die Koagulation verteilter Leerstellen im Zustand des thermischen Gleichgewichtes nur zur Entstehung von Fehlstellen atomarer Größe führt, während die Koagulation der beim Abkühlungsprozeß entstehenden Leerstellen unter bestimmten Bedingungen zu makroskopischen Defekten (= 10³a; a = Gitterkonstante) führen kann. Diese Defekte bilden sich auch bei einer bestimmten Temperatur, wenn in der Probe "Blättchen" auftreten, die fähig sind zu wachsen. Berechnung der Abhängigkeit ler Defektgröße von der Abkühlungsgeschwindigkeit. Abschätzung der Wahrscheinichkeit für den Übergang der Leerstellen an die Oberfläche.

1-1091 I. Babuska, E. Vitasek and F. Kroupa. Some applications of the discrete Fourier runsform to problems of crystal lattice deformation. I. Czech. J. Phys. (B) 10, 419-427, 1960, Nr. 6. Die Theorie der diskreten Fourier-Transformation wird zur Lösung eines systems von Differenzen-Gleichungen angewandt. Das Gleichungssystem beschreibt Lage der Atome in einem deformierten Kristallgitter. Als Näherung wird ein modiziertes Born-Kármán-Modell verwendet.

- 1. 1092 I. Babuška, E. Vitasek and F. Kroupa. Dasselbe. 11. Ebenda S. 488-504, Nr. 7. (Prague, Acad. Sci., Inst. Math.; Inst. Phys.) Die in einer früheren Arbeit (vorst. Ref.) entwickelte Methode wird auf Baufehler in ebenen Gittern und linearen Ketten ingewandt. Die Methode liefert Aufschlüsse über die Deformationen in der Umgebung Golling.
- 1-1093 B. G. Lasarew, O. N. Owtscharenko und I. R. Chwedtschuk. Zur Frage der Bestimmung der Aktivierungsenergie für die Leerstellenbildung aus dilatometrischen Mesungen. Fis. metall. (russ.) 7, 154-155, 1959, Nr. 1. (Orig. russ.)

 H. R. Bachmann.
- -1094 Fritz Lüty. Höhere Anregungszustände von Farbzentren. Z. Phys. 160, 1-45, 1960, Nr. 1. (14. Sept.) (Stuttgart, T. H., II. Phys. Inst.) In additiv verfärbtem KCl, KBr, KJ, RbCl, RbJ zeigt die optische Absorption auf der kurzwelligen Seite der F-Bande außer bekannten K-Bande drei weitere Maxima L₁, L₂ und L₃. Das Intensitätsverhältnis er Banden K, L₁, L₂, zur F-Bande wird konzentrationsunabhangig gefunden. Sie

stellen somit Übergänge des F-Elektrons in höhere Anregungszustände dar. Die To peraturabhängigkeit von Lage und Halbwertsbreite der Banden wird untersucht. A dem Vergleich der Flächen der Absorptionsbanden werden relative Übergangswa scheinlichkeiten für die verschiedenen angeregten Zustände erhalten. F. Fischer

- 4–1095 A. Bohun, J. Kanturek, J. Trnka and M. Lébl. Electronic processes and Z centric in NaCl and KCl crystals. Czech. J. Phys. (B) 10, 349–359, 1960, Nr. 5. (Prague, Ac Sci., Inst. Tech. Phys.) Die Vff. berichten über experimentelle Ergebnisse einer Un suchung von "reinen" und Ca-dotierten NaCl- und KCl-Kristallen. Der Mechanism der zur Bildung von R-Zentren durch Koagulation von F-Zentren und zur Bildung Z-Zentren aus F-Zentren führt, wird diskutiert. Ein brauchbares Modell für Z₃-Zentwird vorgeschlagen. Auf mögliche Zusammenhänge zwischen physikalischem Chemischem Verhalten wird hingewiesen.
- 4-1096 J. A. Parfianowitsch und E. J. Schuwalowa. Über den Einfluß des Aktivat auf die Stabilität der F-Zentren. Opt. i Spektrosk. 7, 518-523, 1959, Nr. 4. (Orig. ru Der Zeitverlauf des Zerfalls der F-Zentren wurde an reinen NCl-Kristallen und an echen, die bei 680-760°C durch Nickel und Kupfer aktiviert und durch Röntgenstr len verfärbt worden waren, untersucht. Es wird gezeigt, daß die Zerfallsgeschwindig mit der Konzentration des Aktivators zunimmt. Die durch Beleuchtung mit Licht dem Gebiet der F-Bande hervorgerufene Änderung im Absorptionsspektrum wu ebenfalls untersucht. Die Ergebnisse werden diskutiert.
- 4-1097 Tetsuhiko Tomiki. Thermal stability of the R, N and M centres and the oscill strength of the M band of KCl crystal. J. phys. Soc. Japan 14, 1114, 1959, Nr. 8. (A Tetsuhiko Tomiki. Photo- and thermochemical reactions in potassium chloride crystals quantitative study of the M centre. Ebenda 15, 488-510, 1960, Nr. 3. (März.) (Sen Tohoku Univ., Fac. Sci., Dep. Phys.) Es wird an additiv verfärbten KCl-Kristallen thermische Stabilität der R-, M- und N-Zentren untersucht. R₁- und R₂-Zentren di zieren in F-, M- und N-Zentren oberhalb 50°C. N-Zentren dissoziieren in F- und Zentren oberhalb 100°C. M-Zentren dissoziieren in F-Zentren oberhalb 130°C. Das Zentrum dissoziiert mit der Relaxationszeit $\tau=0.5\cdot 10^{-12}\cdot \exp{(1.31/kT)}$ s. N polarisiertem Einstrahlen in F- und M-Bande wird geschlossen: Die Oszillatorensti der M-Bande ist 0,83. Eine zweite M-Bande ist der F-Bande unterlagert, mit ein Kontinuum an der kurzwelligen Seite. Das M-Zentrum besitzt ein Elektron. Als Qu tenausbeute $\eta_{\rm M}$ für das optische Bleichen der M-Bande wird gefunden: $1/\eta_{\rm M}=1+10^{-7}\exp{(0.5~{\rm eV/kT})}$.
- 4-1098 **S. Amelinck**x and **P. Delavignette.** Dislocation loops due to quenched-in p defects in graphite. Phys. Rev. Letters **5**, 50—51, 1960, Nr. 2. (15. Juli.) (Mol, B Gent. Et. Energie Nucl.) Graphitkristalle wurden durch Elektronenbeschuß auf 270 bis 3000°C erhitzt und abgeschreckt. Nach Temperung bei 1200°C wurden elektromikroskopisch Versetzungslinien beobachtet, deren Struktur darauf schließen läßt, die zugrundeliegenden Gitterfehler Leerstellen sind.
- 4–1099 D. H. Niblett and J. Wilks. Dislocation damping in metals. Advanc. Phy. 1–88, 1960, Nr. 33. (Jan.) (Oxford, Clarendon Lab.) Zusammenfassender Artikel.

 Behnsc

4-1100 Jens Lothe. Theory of dislocation climb in metals. J. appl. Phys. 31, 1077—1 1960, Nr. 6. (Juni.) (Oslo, Univ., Fys. Inst.) Zur Aufstellung einer exakten Theorieveine sorgfältige Analyse über das Klettern von Versetzungen durchgeführt. Es wird Kletterbewegung von Versetzungssprüngen unter der Voraussetzung bestimmt, Versetzungen als Wanderwege einer geringen Diffusion betrachtet werden kön Diskussion über das Klettern von Versetzungen unter der Bedingung eines angenäten Gleichgewichtes. Es wird ein Wert für die kritische Konzentration der Bildustellen von Leerstellenübersättigungen längs Versetzungen abgeleitet, der in Wisspruch zu bisherigen Theorien steht. Erörterung der Bedeutung einer Dehnung von setzungslinien beim Hochtemperaturkriechen und bei der Verhinderung einer Krbildung an Whiskers. Diskussion über die Beseitigung einer durch Abschrecken standenen Leerstellenübersättigung durch Wärmebehandlung. In einem mathen

hen Anhang werden abschließend noch folgende Betrachtungen durchgeführt: 1. Apoximation unbeweglicher Quellen und Senken von Leerstellen. 2. Ausgleichsvorgänge i Diffusion. 3. Diffusion von Versetzungskernen.

1101 E. F. Holländer. The basic equations of the dynamics of the continuous distribution dislocations. I. General theory. Czech. J. Phys. (B) 10, 409-418, 1960, Nr. 6. (Bratisva, Welding Res. Inst.) Die Grundgleichung der Dynamik der Versetzungen bei kontinierlicher Verteilung wird analog den MAXWELLschen Gleichungen in einer Reihe on Arbeiten entwickelt (I, II, III). Im I. Teil wird die Grundgleichung für die kontinierliche Verteilung der Versetzungen im dynamischen Fall hergeleitet. Die Analogie wischen elastischen und elektromagnetischen Feldern wird untersucht.

Golling.

1102 E. F. Holländer. The basic equations of the dynamics of the continuous distribuon of dislocations. II. Interpretation of general theory. Czech. J. Phys. (B) 10, 479—487,
1600, Nr. 7. (Bratislava, Welding Res. Inst.) Die Analogie zwischen elastischen und
ektromagnetischen Feldern wird untersucht und eine physikalische Interpretation
es Spannungs- und Verzerrungstensors gegeben. Außerdem werden Ausdrücke für die
nergiedichte der elastischen Felder in Versetzungen betrachtet. Die verallgemeinerten
rundgleichungen schließen Poisson-Verhältnisse ungleich Null und endliche Körperunensionen ein. Ins einzelne gehende Erkäuterungen werden für die Tensorkompoenten der "Stromdichte" der Versetzungen (dislocation current density) gegeben.

folling.

1103 A.P. Kapustin. Disclosure of dislocations by means of ultrasonics. Soviet Phys.ryst. 4, 247-250, 1960, Nr. 2. (Febr.) (Engl. Übers. aus: Kristallografija 4, 265, 1959, r. 2.) In einem kurzen Bericht wird die Möglichkeit diskutiert, Versetzungen als Ätzfiguren" sichtbar zu machen, die lediglich durch die Einwirkung von Ultraschallervorgerufen wurden. Als Versuchsobjekt dienten Lithiumfluorid-Kristalle.

Hahlbohm.

- -1104 J. Washburn, A. Kelly and G. K. Williamson. Direct observation of dislocations magnesium oxides Phil. Mag. (8) 5, 192-193, 1960, Nr. 5. (Febr.) (Cambridge, Engl., inv., Dep. Metall.)

 Behnsch.
- -1105 E. F. Gross and A. A. Kaplyanskii. Quadrupole optical excitation of the basic ate of excitons on a cuprous oxide crystal. Soviet Phys.-Solid State 2, 353—354, 1960, r. 2. (Aug.) (Engl. Übers. aus: Fis. Tverd. Tela 2, 379, 1960, Nr. 2.) Die Untersuchung es Exzitonenabsorptionsspektrums von Cu₂O-Einkristallen ergab, daß die Absorption er Linie $\lambda = 6125$ Å anisotrop ist (bezügl. Polarisationszustand und Intensität). Die nisotropie wird durch Quadrupolübergänge erklärt (in Übereinstimmung mit der heoretischen Vorhersage anisotroper optischer Absorption von kubischen Kristallen ufolge von Quadrupolübergängen durch Hellwege, Ber. 30, 1758, 1951).

Zückler.

- -1106 N.M. Melaneholin. Absorptionsspektren von Kristallen einiger Thiacin- und kacin-Farbstoffe. Opt. i Spektrosk. 7, 498-504, 1959, Nr. 4. (Orig. russ.) Die Unteruchungen sind im sichtbaren Spektralbereich an Thioninblau, Toluidinblau und Caprilau ausgeführt worden. Es wurden charakteristische Absorptionskurven erhalten, die eu drei Achsen der optischen Indikatrix paralleler Schwingungen entsprechen. Es wurden einige früher bei anderen Kristallen gefundene Anomalien und die anomale Disperson er Indikatrixachsen bei den Kristallen des Capriblau festgestellt. Es wird versucht, ie beobachtete Verschiebung der Absorptionsbanden bei Änderung der Wellennormale erklären.
- "1107 A. Kats and Y. Haven. Infra-red absorption bands in α -quartz in the 3 μ -region. Thys. Chem. Glasses 1, 99–102, 1960, Nr. 3. (Juni.) (Eindhoven, Philip's Gloeilampenthr., Res. Labs.) An einer ausgesuchten, reinen, insbesondere wasserfreien (d. h. ohne 1 oder D) α -Quarzprobe konnte gezeigt werden, daß die Schwingungsbanden bei 204 cm⁻¹, 3300 cm⁻¹ und 3392 cm⁻¹ als Ober- und Kombinationsschwingungen der dundfrequenzen des Quarzschwingungsspektrums anzusehen sind. An Quarzproben it höherem Verunreinigungsgrad treten im 3 μ m-Bereich zusätzliche Banden bei

3311 cm⁻¹, 3371 cm⁻¹ und 3435 cm⁻¹ auf, die OH-Schwingungen zuzuordnen sind. Beweis erfolgte durch Austausch von H gegen D in H₂O- bzw. D₂O-Atmosphäbei 1000°C und etwa 25 at Druck.

Brückner

- 4-1108 R. L. Batdorf and F. M. Smits. Diffusion of impurities into evaporating silid. J. appl. Phys. 30, 259-264, 1959, Nr. 2. (Febr.) (Murray Hill, N. J., Bell Teleph. La Wenn man Verunreinigungen in ein Stück Silicium eindiffundiert, dessen Oberflädurch Erhitzen der Probe im Abdampfen begriffen ist, dann erhält man Schichten genau festgelegter Verunreinigungsverteilung, und zwar einer exponentiellen Verteilt Die Menge des verdampfenden Siliciums wurde für Temperaturen von 1200 bis 132 aus Messungen des Gewichtsverlustes bestimmt. Mit der Diffusionstechnik konnte lunterschied der Verdampfungsmenge für verschiedene kristallographische Ebenen beachtet werden, jedoch zeigte die Ausbildung von Ätzgruben mit flachem Boden, die Oberflächen mit einer Orientierung etwa in der (111)-Ebene auftrat, daß diese Elvermutlich die stabilste ist. Es wurden Diffusionen von Phosphor und Gallium in eium untersucht, und zwar sowohl bei getrennter als auch bei gleichzeitiger Verdafung dieser Substanzen.
- 4-1109 A. S. Zdorovets. The influence of stressed states on the diffusion process in bir solutions. Ukrain. fis. Sh., Kiew 4, 357-362, 1959, Nr. 3. (Mai/Juni.) (Orig. ukrain engl. Zfg.) Für einen Mischkristall wird mit Hilfe der freien Energie eine Beziehung die Diffusion abgeleitet, welche unter gewissen Vereinfachungen in die von Kobersky, Lyubov und Frastov aufgestellte Diffusionsgleichung übergeht. Problem der seitlichen Ausbreitung von elastischen Wellen in einem entspam Mischkristall wird behandelt. Die Dämpfungskonstante, die Ausbreitungsgeschwinkeit und die Absorptionskonstante wird bei einer Wellenlänge bestimmt.
- 4-1110 Atsushi Tachibana. Equivalent circuits of anisotropic bodies in elastic vibra J. Inst. elect. Commun. Engrs Japan 43, 46-50, 1960, Nr. 1. (Jan.) (Orig. jap. m. Zfg.) (Yokohama, Hitachi Ltd., Totsuka Works.) Die Arbeit behandelt die elektrise Ersatzschaltbilder anisotroper Körper, also z. B. von Einkristallen. Dabei wird anger men, daß die betrachteten Körper unter dem Einfluß äußerer Kräfte nach einer funktion ejut stationär schwingen. Die Verteilung des Zeitfaktors längs der Oberfl und im Innern des Körpers ist dabei als willkürlich vorausgesetzt. Es wird gezeigt, sich die mechanische Impedanz in einem beliebigen Körperpunkt aus den Eigenf tionswerten der freien Schwingungen berechnen läßt. Unter gewissen Bedingu hinsichtlich der angreifenden äußeren Kräfte können die Äquivalentschaltunge Gestalt einer Vielzahl von Zweipolen dargestellt werden. Die elektrischen Ansch entsprechen dabei den Zuführungsstellen der Vibrationsenergie. Wenn weiter äußeren Kräfte den angelegten elektrischen Spannungen, die mechanischen Vers bungsgeschwindigkeiten den Strömen entsprechen, können die Ersatzschaltunger Parallelschlüsse von Serienresonanzkreisen dargestellt werden, wobei letztere den El resonanzen des Systems zuzuordnen sind. Wießne
- 4-1111 Manfred Evers. Untersuchung der oberen Streckgrenze an Einkristallen aus und α-Messing. Diss. T. H. Stuttgart, 1960. (Göttingen, Univ., Inst. Metallphys.)

 H. Eber
- 4-1112 M. Rytel. Sur une méthode d'évaluation de l'anharmonicité des molécules atomiques. Acta phys. polon. 19, 273-275, 1960, Nr. 3. (Szczecin, Phys. École St Agronom.) Vf. berechnet auf Grund einer Analyse des Oszillationsspektrums die K und Anharmonizitätskonstanten für Wasser und seine deuterierten Abkömmlinge, für diese Stoffe und die entsprechenden Tritiumverbindungen die harmonischen quenzen. Die Ergebnisse werden mit früher erhaltenen Werten verglichen.
- Polt 4-1113 Takeshi Satoh. A simple model of aqueous solution of strong electrolyte. J. p. Soc. Japan 15, 1134-1135, 1960, Nr. 6. (Juni.) (Obaradai, Yokosuka, Defense A Dep. Phys.) Bei verdünnten wäßrigen Lösungen starker Elektrolyte lassen sich Modifikationen des Lösungsmittels unterscheiden. Die Ionen sind zunächst von der eine Modifikationen des Lösungsmittels unterscheiden.

der chemischen Hydrathülle umgeben, dann folgt die zweite oder physikalische Hydratulle, die aus Wassermolekeln besteht, deren Dipolstruktur durch die elektrostatischen kräfte der Ionen gestört ist. Schließlich folgt das eigentliche Lösungsmittel — Wasser nit normaler Struktur. Mit zunehmender Konzentration c nimmt das Wasser noraler Struktur mehr und mehr ab und verschwindet schließlich bei einer kritischen Konentration c_{Kr} vollkommen, die Ionen mit ihren sogenannten ersten Hydrathüllen benden sich dann faktisch in einem Lösungsmittel anderer Eigenschaften — nämlich dem Vasser mit der gestörten Struktur. Bei weiterer Erhöhung von c geht die Lösung mehr und mehr in einen quasikristallin geordneten Zustand über. Für NaCl-Lösungen zeigt ie dielektrische Sprungwellenlänge λ mit zunehmendem c zunächst einen relativ tarken linearen Abfall, der oberhalb 1,7—1,8 mol/Liter nach einer Knickstelle schwächer vird. Ebenso läßt sich aus Messungen der Molekularrefraktion von KBr-Lösungen auf ine entsprechende Lage von c_{Kr} schließen, die allgemein etwa zwischen 1,5 und 2,0 mol/Liter liegen müßte.

1-1114 H. E. Hall. The rotation of liquid helium II. Advanc. Phys. 9, 89-146, 1960, Nr. 33. (Jan.) (Manchester, Univ., Phys. Labs.) Zusammenfassender Artikel.

Behnsch.

N. Y. CP-7, 26-33, 1960, Nr. 1. (März.) (Great Neck, N. Y., Sperry Gyroscope Co.)

2-1116 Shichibei Kozawa. Light scattering by optical glasses. J. appl. Phys., Japan 29, 137—343, 1960, Nr. 5. (Mai.) (Orig. jap. m. engl. Zfg.) Es wurden die Intensitätsvereilung, Depolarisation und die Unsymmetrie des gestreuten Lichtes und die Fluoreszenz optischer Gläser gemessen. Die Intensität des Streulichts hängt mit der chemischen Konstitution zusammen, die Depolarisation ist klein, die Fluoreszenz zu vernachlässigen und die Unsymmetrie ist eins. Optisches Glas hat die Charakteristik einer unterkühlten Flüssigkeit. Bei steigender Temperatur nimmt die Streulichtintensität ab. Die Streuung m Glas wird vom Vf. folgendermaßen erklärt: Bei der Verfestigung aus dem unterkühlten Zustand werden thermische Dichte- und Konzentrationsschwankungen eingeroren, bevor sie sich ausgeglichen haben, ferner geben diese thermischen Schwankungen nikroskopische Bereiche von Spannungen im Glas, wenn es fest wird.

Rosenbruch,

- Alira Miyake. On the eigenvalue problem associated with the solution of generalized diffusion equation. Progr. theor. Phys., Kyoto 23, 521-522, 1960, Nr. 3. (März.) (Shizuka, Univ., Fac. Liberal Arts a. Sci., Dep. Phys.) Ausgehend von der Lösung f der verdligemeinerten Diffusionsgleichung ohne äußere Kräfte wird dieselbe nach ψ_{λ} entwickelt, vobei ψ_{λ} die orthonormale Eigenfunktion des selbstadjungierten Operators L ist, der in der der Diffusionsgleichung zugeordneten Bedingungsgleichung erscheint. Es wird geleigt, daß die Eigenwerte von L sich auf $\lambda > 0$ beschränken.
- I-1118 J. R. Philip. General method of exact solution of the concentration-dependent diffusion equation. Aust. J. Phys. 13, 1–12, 1960, Nr. 1. (März.) (Canberra, C. S. I. R. O., Div. Plant. Ind.) Nachdem bisher für die Lösung der konzentrationsabhängigen Diffusionsgleichung nur numerische Methoden mit Ausnahme von 3 Lösungen von Fujitand einer umständlichen Stufenfunktionslösung des Autors bekannt waren, wird hier ine sehr allgemeine Methode zur Auffindung von exakten Lösungen dargelegt. Durch ine geeignete Transformation $\varphi = xt^{-1/2}$ wird die Lösung in Form einer Integrolifferentialgleichung definiert und dann den Grenzbedingungen unterworfen. In einer Tabelle werden einige einfache Funktionen angeführt, die die Gleichung und die Grenzbedingungen erfüllen. Auch für die Beschränkung, daß D (0) endlich und verschieden von Wull ist, wird eine Tabelle von Lösungen angegeben. Es werden Vorschläge zur Lösung les in der Praxis meist auftretenden Problems, der Berechnung vou $\varphi(\Theta)$, wenn D (Θ) —neistens experimentell bekannt ist, gemacht.
- -1119 J.R. Philip. The function inverse Φ . Aust. J. Phys. 13, 13—20, 1960, Nr. 1. März.) (Canberra, C. S. I. R. O., Div. Plant. Ind.) In konzentrationsahhängigen diffusionsproblemen wird oft vorteilhaft eine Umkehrung in der Form: Abstand explizite Funktion der Konzentration und der Zeit, verwendet, welche die Einfüh-

rung der "inverfe" als Umkehrfunktion von erfex $=2/\pi^{1/2}\int_{-\infty}^{\infty} \exp\left(-\zeta^2\right) d\xi$ mit sich brack

Diese Funktion, ihre Ableitungen und ihr erstes Integral über Θ werden untersucht udie Funktion selbst tabelliert. Sie wird außerdem nach Potenzen von ϑ entwick $(\vartheta=1/2,\pi^{1/2}(1-\Theta))$, was zur Bestimmung von inverfc Θ in der Umgebung von Θ nützlich ist. Für kleines Θ wird eine asymptotische Formel mit fortgesetzten Logari men angegeben. Weiter werden die ersten sieben Ableitungen der Funktion und gemeine Formeln für die n-te Differentiation angegeben, wohingegen die höheren Ingrale als unwesentlich nicht behandelt werden. Die Funktion $B(\Theta)=2/\exp\left[-(\text{inverfc }\Theta)^2\right]$, die eng mit der ersten Ableitung und dem ersten Integral verknüist, wird zusammen mit genaueren Werten von inverfc tabelliert.

- 4-1120 **D. Cribier** et **B. Jacrot.** Diffusion quasi-élastique des neutrons froids par l'et coefficient d'autodiffusion du liquide. J. Phys. Radium **21**, 69-71, 1960, Nr. 1. (Jackay, C. E. N.)
- 4-1121 O.B. Ptitsyn. Intramolecular interactions in polymer chains. Soviet Physpekhi 2, 797-830, 1960, Nr. 6. (Juni.) (Engl. Übers. aus: Usp. Fiz. Nauk 69, 3 1959.)
- 4-1122 John I. Lauritzen jr. and John D. Hoffman. Theory of formation of polycrystals with folded chains in dilute solution. J. Res. nat. Bur. Stand. 64 A, 73-11960, Nr. 1. (Jan./Febr.) (Washington, D. C.) Es wird gezeigt, daß in sehr stark verdüten Lösungen von Hochpolymeren aus kinetischen Gründen ein einzelnes Molekül ein wachstumsfähigen Keim bilden kann. Es ist in diesem Falle also im Gegensatz konzentrierten Lösung oder der Schmelze, wo stets Büschelkeime auftreten eine vorzugte Bildung von Kristallkeimen mit gefalteten Ketten zu erwarten. Die Faltun periode, die nur einen Bruchteil der Moleküllänge ausmacht, ist durch die Grenzfläch energie und die Unterkühlung der Lösung bestimmt; sie nimmt mit der Kristallisatiet temperatur zu. Die aus solchen Keimen gewachsenen Kristalle haben die Gestalt Täfelchen, deren Dicke der Faltungsperiode entspricht. Die "Falten" liegen dabei in beiden Deckflächen. Die Folgerungen aus der Theorie stimmen mit einer Reihe von ber vorliegenden experimentellen Erfahrungen anderer Autoren überein.

G. F. Schmid

- 4-1123 G. Farrow and D. Preston. Measurement of crystallinity in drawn polyethylterephthalate fibres by X-ray diffraction. Brit. J. appl. Phys. 11, 353—358, 1960, Ni (Aug.) (Harrogate, Yorks., Imp. Chem. Ind. Ltd., Fibres Div., Resp. Dep.) Die röntgenographischem Wege bestimmte Kristallinität von orientierten Polyäthylterephthalat-Fasern zeigt keine Übereinstimmung mit den Ergebnissen entsprechen Dichtemessungen. Die Röntgendiagramme wurden photographisch registriert. einwandfreie Versuchsbedingungen zu gewährleisten, wurde mit streng monochromscher Strahlung sowie einer evakuierbaren Aufnahmekammer gearbeitet. Das Ausgamaterial wurde so weit zerkleinert, daß es möglich war, vollständig isotrope Proherzustellen; die Röntgendiagramme zeigten dann keine Textur, so daß die Auswert besonders einfach war.

 G. F. Schmid
- 4-1124 *Karl-Heinz Hellwege und Werner Knappe. Die Festigkeit thermoplastis Kunststoffe in Abhängigkeit von den Verarbeitungsbedingungen. Forschungsber. Le Nordrhein-Westfalen Nr. 880. 63 S. m. 30 Abh. Westdeutscher Verlag, Köln u. Oplact 1960. Biegefestigkeit und Schlagzähigkeit von Standard-Polystyrol werden durch Art der Verarbeitung stark beeinflußt. Die über die in DIN 7741 vorgeschriebe Mindestwerte der Typen 501 und 502 hinausgehenden Abweichungen sind durch frieressekte beim Abkühlen in der Form erklärbar. Teilweise sind die Ergebnisse bei veröffentlicht (s. Kunststoffe 49, 257, 1959).
- 4-1125 R. Brückner. Instationäre Grenzflächenvorgänge zwischen partiell mischb Lösungen. Naturwissenschaften 47, 372-373, 1960, Nr. 16. (Aug.) (Würzburg, Martiell mischbaren Lösungen auf die in der nachst. referierten Arbeit angegebene it ung zurückführen lassen. Die Vorgänge wurden gefilmt.

- 1126 R. Brückner. Instationäre Grenzflächenvorgänge zwischen mischbaren Flüssigkein. Naturwissenschaften 47, 371–372, 1960, Nr. 16. (Aug.) (Würzburg, Max-Plancknst. Silikatforsch.) Es werden Wirbelerscheinungen an Grenzflächen beschrieben und urch Betrachtung der Grenzflächenspannungen an den Dreiphasenlinien gedeutet. Das uftreten des Wirbelphänomens ist nach dem Vf. nicht von der durch andere Autoren ngegebenen Bedingung $\Delta \rho \cdot \Delta \sigma < 0$ ($\Delta \rho$ Dichte-, $\Delta \sigma$ Oberflächenspannungsdifferenz) bhängig.
- -1127 Arthur W. Mosen and George Buzzelli. Determination of impurities in helium by as chromatography. Analyt. Chem. 32, 141–142, 1960, Nr. 1. (Jan.) (San Diego, Calif., ien. Dynam. Corp., Gen. Atomic Div., John Jay Hopkins Lab., Pure appl. Phys.) is wird über eine gaschromatographische Methode berichtet, mit der Verunreinigungen es Heliums qualitativ und quantitativ bestimmt werden können. Die Verunreinigungen verden vorerst in einem mit flüssigem Stickstoff gekühlten und mit Aktivkohle gefüllten -Rohr angereichert und dann mit einer Molekularsieb-Kolonne analysiert. Etwaiges O₂ wird mit einer gleichfalls in den Gasstrom einschaltbaren Silicagel-Kolonne bestimmt. auerstoff, Stickstoff, CO₂ und Methan können so in Heliumproben in einem Konzenrationsbereich zwischen 1 und 100 ppm erfaßt werden.
- 2-1128 W. J. de Wet and Victor Pretorius. Factors affecting the use of gas-liquid chronatography for the separation of large samples. Sample inlet system, distribution coefficient f solute, and amount of liquid in stationary phase. Analyt. Chem. 32, 169—174, 1960, Nr. 2. (Febr.) (Pretoria, Univ., Dep. Agricult. a. Phys. Chem.) Bekanntlich nimmt die Nirksamkeit einer Kolonne für die Gaschromatographie mit zunehmendem Volumen der u analysierenden Probe ab. In vorliegender Arbeit werden diese Einflüsse experimenell und theoretisch untersucht. Die optimalste Wirksamkeit bei Verwendung großer Proben ergab sich bei schneller konzentrierter Einführung der zu trennenden Mischung und bei Wahl einer reichlich vorhandenen stationären Phase, in welcher der Verteilungstoeffizient der gelösten Substanz klein ist.
- 1-1129 R. L. Faley and J. F. Long. High temperature seal for gas chromatography letectors. Analyt. Chem. 32, 302, 1960, Nr. 2. (Febr.) (Victoria, Texas, E. I. du Pont de Nemours Co., Polychem. Dep.) Es wird eine Anordnung beschrieben, welche das Einetzen und Auswechseln einer Wärmeleitfähigkeitszelle als Detektor für die Gaschromatographie einfach, ohne Undichtigkeiten und ohne Störungen im elektrischen Teil bei z. T. Erheblichen Temperaturunterschieden (20 bis 500°C) gestattet.
- 1-1130 James F. Hanlan and Mark P. Freeman. Gas adsorption chromatography. Canad. Chem. 37, 1575—1588, 1959, Nr. 9. (Sept.) (Berkeley, Calif., Univ., Dep. Chem.) is wird gezeigt, daß sich das sogenannte Retentionsvolumen in der Gas-Adsorptionshromatographie in einfacher Weise mit der von HALSEY für die physikalische Adsorption bei hohen Temperaturen gemachten Annahme eines Scheinvolumens vergleichen fäßt. Es wird nachgewiesen, daß sich eine Vielzahl von experimentellen chromatographischen Daten einfach auf zwei Parameter dieser Theorie reduzieren läßt. Ein die Emperaturabhängigkeit beschreibender Parameter scheint bei einer Anzahl von Kohenwasserstoffen mit der Zahl der Gerüst-Kohlenstoffatome verknüpft zu sein.

Kirchner.

- 1131 M.M. Kussakov and D. N. Nekrassov. Capillary hysteresis in the rise of liquids a capillary of varying cross section. Sh. fis. Chim. 34, 1602-1609, 1960, Nr. 7. (Origuss. m. engl. Zfg.) (Moscow.) Das Problem der Steighöhe von Flüssigkeiten in Kapilaren, deren lichte Weite periodische Veränderungen aufweist, derart, daß ein Achschnitt innen sinusförmige Begrenzungslinien ergibt, wird behandelt. Es ergibt sich, aß mehrere im stabilen und labilen Gleichgewicht befindliche Steighöhen existieren önnen in Abhängigkeit von den Abmessungen und der Eintauchtiefe der Kapillare. Die für Wasser und ein nicht polares Öl gemessenen Werte sind in guter Übereinstimung mit den nach zwei verschiedenen Methoden berechneten.
- 1132 O. L. Anderson. The role of surface shear strains in the adhesion of metals. I. Vear 3, 253-273, 1960, Nr. 4. (Juli./Aug.) (Murray Hill, N. J., Bell Tel. Labs.) Adhasion wischen zwei Metallen kann, wie der VI. durch Versuche an Aluminium, Kupfer- und

Goldoberflächen nachweist, nur auftreten, wenn die stets vorhandenen äußeren Gre schichten (Oxyde oder adsorbierte Gase) durch eine tangential wirkende Schubbe spruchung so weit zerstört und beseitigt werden, daß die darunterliegenden rein Metalle in atomar engen Kontakt kommen. Bei der Schubdeformation der Oberfläch können einzelne Partikel der abgetragenen Grenzschicht in tiefere Zonen der sich rührenden Metalle geschoben und dort völlig eingeschlossen werden. Diese Deformat ist häufig mit einer Kaltverfestigung der Metalle in den nächst der Oberfläche liegend Bereichen verbunden. Die Trümmer der aufgerissenen Grenzschicht bewirken ein A rauhen der Oberfläche, wodurch die Zahl der Berührungsstellen zwischen den rein Metallen vermehrt und damit die Adhäsion vergrößert wird. Ein Schmelzen der Metallen vermehrt und damit die Adhäsion vergrößert wird. an den Kontaktstellen tritt bei der Schubbeanspruchung nicht auf. Die durch Sch kräfte bewirkte Adhäsion ist größenordnungsmäßig etwa gleich jener, die zwischen z völlig reinen Metalloberflächen im Hochvakuum besteht. Die Versuchsergebnisse stätigen die Vermutung, daß Reibung und Verschleiß im wesentlichen durch die v. Weingraber häsion verursacht werden.

4-1133 H. P. Boehm und G. Kämpf. Zur Kenntnis der Wasserdampf-Adsorption Siliciumdioxyd-Oberflächen. Z. phys. Chem. N. F. 23, 257-266, 1960, Nr. 3/4. [Fel (Darmstadt, T. H., Eduard Zintl-Inst. anorg. u. phys. Chem.) In einer früher beschrie nen Apparatur bestimmen Vff. auf chemischem Wege die Zahl der oberflächenständig Hydroxylgruppen von Aerosil, einem feinteiligen, armophen Siliciumdioxydpräpan das aus kugelähnlichen Teilchen von rund 150 Å Durchmesser besteht und nicht onur in sehr geringem Umfang porös ist. Die Bestimmung durch Umsetzung mit Thior chlorid und Bestimmung des dabei gebundenen Chlors ergibt einen Platzbedarf von 32 Ų pro Hydroxylgruppe. Diese Menge pro Flächeneinheit liegt unter dem maxim möglichen Wert. Aus der Auswertung der Wasserdampf-Adsorptionsisothermen met folgt, daß bei Aerosil in der ersten Schicht weniger Wassermolekeln adsorbt werden als bei einem vollständig mit Hydroxylgruppen belegten Silicagel. In der ers Schicht wird gerade die zur Ausfüllung der Lücken zwischen den Hydroxylgruppen forderliche Wassermenge adsorbiert.

F. W. Schapink, M. Oudeman, K. W. Leu and J. N. Helle. The adsorption thiourea at a mercury-electrolyte interface. Trans. Faraday Soc. 56, 415-423, 1960, N (Nr. 447). (März.) (Amsterdam, Koninklijke/Shell-Lab.) Mit einer anderweitig besch benen Methode (differentielle Kapazitätsmessung an einer Quecksilbertropfelelektro messen Vff. die Doppelschichtkapazität an der Grenzfläche zwischen Quecksilber einer elektrolytischen Lösung von Thioharnstoff oder Anilin und Mischungen davol 0,1 m NaF. Die Adsorption von Thioharnstoff wird als Funktion der Oberflächenlad berechnet und wächst allmählich mit steigender positiver Oberflächenladung des Que silbers. Bei negativer Oberflächenladung scheint die differentielle Kapazität eine Fu tion der adsorbierten Thioharnstoffmenge, jedoch unabhängig von der Ladung der Elektrode zu sein. Die Adsorptionsisothermen von Thioharnstoff können bei konsta Oberflächenladung, außer für hohe negative Ladungen, durch eine LANGMUIR Gleichung dargestellt werden. Die Oberflächenzustandsgleichung hängt von der O flächenladung, sogar bei ziemlich geringer Oberflächenbedeckung ab. In Metha Lösung wird ein ähnliches Verhalten des Thioharnstoffes beobachtet. Wenn sich sow Thioharnstoff als auch Anilin in der Lösung befindet, scheinen beide Komponente verschiedenen Bereichen des Elektrodenpotentials bevorzugt adsorbiert zu werden. Viet:

4-1135 J. J. Kipling and R. B. Wilson. Adsorptive properties of polymer carbons Comparative data. II. Determination of pore sizes. Trans. Faraday Soc. 57, 557—562—569, 1960, Nr. 4 (Nr. 448). (Apr.) (Hull, Univ., Dep. Chem.) Die Adsorptionske zitäten verschiedener Polymer-Aktivkohlen für Wasser und eine Reihe von organisc Substanzen werden mit denen von (Saran-) Aktivkohle aus Polyvinylenchlorid einer typischen Aktivkohle aus Kokosnußschale verglichen. Die Polyvinylidenk besitzt im unaktivierten Zustand eine bemerkenswert hohe Kapazität. Die Wirks keit dieser Kohle als Molekularsieb ist in mancher Beziehung auch bei anderen Kozu finden. Die vermuteten Vorgänge bei der Verkohlung der einfachen Polymere wei

skutiert. Aus der Wirkung als Molekularsiebe ergeben sich für eine Reihe von aktierten Polyvinylchloridkohlen Porendurchmesser von unter 6 Å bis etwa über 8 Å. iese sind zu klein für die Kapillarkondensation von Wasser, so daß die Kelvinsche leichung auf die H₂O-Adsorptionsisothermen nicht anzuwenden ist. Die Isothermen nd vom Bett-Typ V und zeigen Hysterese, im Gegensatz zu der von Dacey angegebenen sotherme an Polyvinylidenchloridkohle. Die Hysterese kann auf Grund der Theorie on Pierce und Smith durch polare Adsorptionsplätze an der Oberfläche der Polyinylchloridkohle erklärt werden, die bei Polyvinylidenchloridkohle fehlen mögen. Die Form der Wasser-Adsorptionsisothermen ist merklich von der Konzentration polarer tome in der Kohle abhängig. Die Adsorption an Polyacrylonitrilkohle ergibt eine sotherme vom Typ I. Das Adsorptionsverhalten der Polymerkohlen läßt auf Poren it schlitzförmigen Öffnungen schließen. Die aus der Adsorption von N₂ bei tiefen emperaturen berechneten spezifischen Oberflächen von lochaktivierten Kohlen sind u hoch, um stimmen zu können.

-1136 A. Nasini, F. Ricca and G. Saini. Clean surfaces and sorption of gases. Vacuum, and 10, 68—74, 1960, Nr. 1/2. (Febr./Apr.) (Torino, Univ., Ist. Chim.) Vff. diskutieren die Untersuchung der Adsorption von Gasen an festen Oberflächen, die sich in den etzten Jahren mehr auf Messungen an sauberen Festkörperoberflächen verlagert hat, ind untersuchen die Adsorption von Stickstoff und Kohlenmonoxyd an Wolfram. Ähnsch wie bei der Untersuchung von Gettern wird eine Anordnung benutzt, bei der die Adsorptionsgeschwindigkeit mit Hilfe des Gasstromes durch eine Kapillare bekannter abmessungen ermittelt wird. Als Adsorbens dient ein Wolfram-Plättchen von der Dicke 10025 cm und der Oberfläche 27,5 cm². Die Messungen erfolgen im Druckbereich von 10-7 bis 10-8 Torr und bei Temperaturen zwischen 90 und 480°K. Ein Problem von 10-7 bis 10-8 Torr und bei Temperaturen 90 und 480°K. Ein Problem von 10-7 bis 10-8 Torr und bei Temperaturen 2 wischen 90 und 480°K. Ein Problem von 10-7 bis 10-8 Torr und bei Temperaturen zwischen 90 und 480°K. Ein Problem von 10-7 bis 10-8 Torr und bei Temperaturen 2 wischen 90 und 480°K. Ein Problem von 10-7 bis 10-8 Torr und bei Temperaturen 2 wischen 90 und 480°K. Ein Problem von 10-8 tort und aus der Tatsache, daß die Adsorptionsgeschwindigkeit nfangs unabhängig von der Oberflächenbedeckung ist. Die Adsorptionsgeschwindigkeit at direkt proportional dem Gasdruck.

1-1137 P. della Porta. Apparatus and techniques for measurements of the adsorption of asses by evaporated getters. Vacuum, Lond 10, 181-187, 1960, Nr. 1/2. (Febr./Apr.) Milan, S. A. E. S. Getters.) Überblick über die im Laboratorium des Vf. angewandten fethoden und die Probleme bei der Untersuchung der Gassorption an Gettern. Hinweis uf die im gleichen Band erfolgenden Veröffentlichungen der Meßergebnisse.

Vieth.

1138 M. G. Charlton, D. Newson and P. J. Whitchurch. An automatic apparatus for the testing of getter adsorption. Vacuum, Lond. 10, 189—193, 1960, Nr. 1/2. (Febr./Apr.) The beschreiben eine automatische und registrierende Apparatur zur Untersuchung der Gasaufnahme von Gettern bei konstantem Gasdruck. Der Gaseinlaß erfolgt mit einem ortlaufend und schnell öffnenden und schließenden Magnetventil, dessen Öffnungsnad Schließungszeiten automatisch so geregelt werden, daß der Gasdruck im Unteruchungsgefäß konstant bleibt. Die Regelung und die Registrierung des Gasdrucks urch einen Potentiometerschreiber werden mit Hilfe von PIRANI-Manometern im Meßefäß und im Gasreservoir durchgeführt. Durch Einschaltung einer Kapillare und eines IRANI-Manometers zwischen Meßraum und Magnetventil läßt sich die Gasaufnahme des letters mit der Zeit direkt registrieren. Die Anordnung wurde für Kohlenmonoxyd und Vasserstoff bei Drucken von etwa 10-3 Torr benutzt. Für höhere Drucke ist sie ebenfalls eeignet. Bei niedrigeren Drucken läßt die Regelgenauigkeit des Gasdrucks nach, die i 10-3 Torr nicht schlechter als ± 10%, meist sogar viel besser war.

-1139 Bert H. Clampitt and Dale E. German. Adsorption on porous solids. J. phys. hem. 64, 284—286, 1960, Nr. 2. (Febr.) (Wichita, Kansas, Boeing Airplane Co., Phys. ci. Staff.) Vff. diskutieren in Erweiterung einer früheren Arbeit die Konstante, "g" der desorptionstheorie von BRUNAUER, DEMING, DEMING und TELLER (BDDT). Es wird exeigt, daß "g" nur eine Eigenschaft des Adsorbates ist und ohne Durchführung von dsorptionsuntersuchungen bestimmt werden kann. Vieth.

- 4-1140 Manfred J. D. Low. Rates of adsorption of hydrogen on palladium and on r dium. Canad. J. Chem. 38, 588-595, 1960, Nr. 4. (Apr.) (Beacon, N. Y., Texas R Center.) Zur weiteren Erforschung der in manchen Adsorptionssystemen Gas-Fe körper auftretenden isothermen Diskontinuitäten untersucht Vf. den Einfluß der Te peratur und des Anfangsgasdruckes auf die Kinetik der Chemisorption von Wasserst an Palladium- und Rhodium-Katalysatoren auf Al₂O₂-Trägern. Bei beiden Systemen gibt sich, daß die Adsorption in drei verschiedenen und aufeinanderfolgenden kind schen Stufen fortschreitet. Jede der Stufen kann durch die ELOVICH-Gleichung schrieben werden. Der zeitliche Bereich für die Existenz jeder kinetischen Stufe temperatur- und druckabhängig, wobei niedrige Anfangsdrucke und hohe Temperatu ein frühes Auftreten jeder Stufe begünstigen. Durch Steigerung der Temperatur vo auf 400°C nimmt die adsorbierte H2-Menge bei beiden Katalysatoren ab. In dies Temperaturbereich wird die Adsorptionsgeschwindigkeit mit wachsender Tempera an Pd kleiner, während sie an Rh steigt. Allgemein bewirkt eine Steigerung des Anfan gasdruckes im Intervall von 10 bis 60 Torr eine Erhöhung sowohl der Geschwindigkeit Vieth auch der Menge der Adsorption.
- 4-1141 Chi Tien. A simplified method for determination of solid diffusion coefficient wann-linear adsorption isotherm. Canad. J. Chem. Engng 38, 25-28, 1960, Nr. 1. (Fel (Windsor, Ont., Assumption Univ., Essex Coll., Dep. Chem. Engng.) Es wird eine veinfachte Methode zur Bestimmung der Diffusionskoeffizienten in Festkörpern Systemen mit nichtlinearer Adsorptionsisotherme vorgeschlagen. Die Bestimmung folgt mit Hilfe von Sorptionsmessungen aus einem begrenzten und konstanten Volumeiner gut durchgeführten Flüssigkeit. Die Methode umfaßt die näherungsweise Ermlung der zeitlichen Konzentrationsänderung einer flüssigen Phase mit Funktionen, aus Polynomen bestehen. Als Beispiel wird die Adsorption von Oxalsäure aus ei Glykollösung an Permutit SKB untersucht. Die experimentellen Ergebnisse sind friedigend.
- 4-1142 Z. A. Solov'eva. A study of the rate of adsorption of surface active substances a metal. Sh. fis. Chim. 34, 537—542, 1960, Nr. 3. (Orig. russ. m. engl. Zfg.) (Mosco Die Adsorptionsgeschwindigkeit von Octyl-, Hexyl-, Amyl- und Butylalkoholen an Oberfläche von Zinkelektroden wird mit einer elektrochemischen Methode untersut Die Adsorptionsgeschwindigkeit der Alkohole aus 1 n ZnSO₄-Lösungen ist nicht s groß und nimmt bei Vergrößerung der ZnSO₄-Konzentration auf 4 bis 6 n beträc lich ab. Umrühren des Elektrolyten beeinflußt die Geschwindigkeit der Einstellung Adsorptionsgleichgewichtes nicht. Die Ersetzung des ZnSO₄ durch äquivalente Men indifferenter Salze (Na₂SO₄, MgSO₄, Al₂(SO₄)₃) hat eine qualitativ ähnliche Wirku Es wird vermutet, daß die langsame Adsorption oberflächenaktiver Substanzen an metallischen Oberfläche auf das schwierige Eindringen organischer Molekeln in elektrische Doppelschicht, besonders in hochkonzentrierten Lösungen, zurückzufüh ist. (Zfg.)
- 4-1143 R. P. Misra. Use of the A. S. T. M. reference planar diode for studying geproperties. Vacuum, Lond. 10, 188, 1960, Nr. 1/2. (Febr./Apr.) (Bloomfield, N. J., Tu Sol Elect., Inc.)
- 4-1144 Ted A. Erikson. Mass accommodation coefficients at a liquid-vapour bound J. phys. Chem. 64, 820—822, 1960, Nr. 6. (Juni.) (Chicago, Inst. Technol., Armour J Found., Chem. Res. Div.) Auf Grund von früheren Messungen des Massenflusses einem stationären Verdampfungsvorgang werden Massen-Akkommodationskoeffizier an einer Flüssigkeits-Dampf-Grenzfläche für Wasser und Tetrachlorkohlenstoff bernet. Dabei wird angenommen, daß diese Koeffizienten nur von der Oberflächentemp tur für die reine Flüssigkeit abhängen.
- 4-1145 Mark P. Freeman. The nature of the van der Waals interaction of gases and sol I. Second-order interaction. J. phys. Chem. 62, 723-728, 1958, Nr. 6. (Juni.) Das Mo für Hochtemperatur-Wechselwirkung zwischen Gasen und Festkörperoberflächen, es zuerst von HALSEY und seinen Mitarbeitern vorgeschlagen worden ist, wird mit kannten Absorptionstheorien verglichen und seine thermodynamische Gleichwertig

it der Gibbsschen Randbedingung nachgewiesen. Ein verbessertes Modell für die Vechselwirkungsenergie Gas-Oberfläche — 1/r³ für Anziehung und 1/r³ für Abstoßung — urde untersucht und festgestellt, daß es mit den experimentellen Werten gut übernstimmt. Außerdem wird festgestellt, daß großflächige Oberflächen im allgemeinen omogener sind, als gewöhnlich angenommen wird.

-1146 Mark P. Freeman. Dasselbe. II. Third-order interaction. Ebenda S. 729-732. Berkeley, Calif., Univ., Dep. Chem.) Es wird versucht, die experimentellen Werte für ie Wechselwirkung dritter Ordnung zwischen Gasen und Oberstächen einem Modell anupassen unter Annahme paarweiser Additivität der Potentiale, von denen bekannt ist, aß sie in jedem Einzelfall für die betressende Wechselwirkung zweiter Ordnung gültig ind. Da keine Übereinstimmung erzielt werden konnte, wird angenommen, daß die otentialfunktion durch einen Dreikörperpotentialterm beherrscht wird. Das Verhalten er absorbierten Systeme als harte Kugeln wird diskutiert.

1147 Mark P. Freeman. The quantum mechanical correction for the high temperature an der Waals interaction of light gases and surfaces. A new method of determining surface rea. J. phys. Chem. 64, 32-37, 1960, Nr. 1. (Jan.) (Berkeley, Calif., Univ., Dep. Chem.) Vf. berichtet über ein Experiment, mit dem die genaue Größe des Einflusses diskreter negativer Energieniveaus auf den Potentialwall für die Wechselwirkung von Gas und berfläche bestimmt wird. Dabei wird die Oberflächenwechselwirkung von zwei verchieden Arten von Gasmolekeln ermittelt, die sich nur in der Masse unterscheiden H₂ und D₂ mit etwa 1700 m² Oberfläche von Aktivkohle, Messung des Unterschiedes les scheinbaren Volumens und Extrapolation auf Druck Null für Temperaturen zwischen M,2°K und 225°K). Die Werte werden an Hand der Hochtemperaturzustandsgleichung "ur die Gas-Oberflächen-Wechselwirkung interpretiert, die für ein "fast klassisches" quantenmechanisches System modifiziert ist. Die quantitative Übereinstimmung be-timmter, unabhängig voneinander erhaltener Parameter zeigt, daß die quantenmechanische Zustandsgleichung für diese leichten Gase wenigstens ebenso gut ist, wie die classische Gleichung für die Interpretation der Meßwerte von schweren Gasen gewesen st. Es wird offenbar eine Darstellung des 9-3-Potentialmodells gefunden und eine neue Art zur Bestimmung einer unzweideutig definierten Oberfläche für die Wechselwirkung Fas-Adsorbens diskutiert, die aus dem Modell folgt.

4-1148 W. M. H. Sachtler und G. J. H. Dorgelo. Widerstandsänderungen bei der Chemiorption von Gasen an dünnen Metallschichten. Z. phys. Chem. N. F. 25, 69-74, 1960, Vr. 1/2. (Juli.) (Amsterdam, Shell-Lab.) Zur Untersuchung des Bindungszustandes bei ler Chemisorption von Gasen wird u. a. der elektrische Widerstand herangezogen. Aus len durchgeführten Untersuchungen an Schichten post statum nascendi bei jungfräuicher Belegung mit Gassremdatomen ergibt sich grundsätzlich erst eine Erhöhung des lektrischen Widerstandes des metallischen Filmes, die darauf zurückzuführen ist, daß lie Oberflächenatome des Filmes aufhören, dem metallischen Zustand des Filmes anzuehören und zusammen mit dem Adsorbat einen Oberflächenkomplex bilden. Bei der versuchsdurchführung ist eine strenge Trennung zwischen Adsorption und Absorption Okklusion) anzustreben. Die Untersuchungen müssen aus diesem Grund bei sehr tiefen emperaturen durchgeführt werden. Vff. untersuchen sehr eingehend das System Pt-H₂. Jede Sorption eines Nichtmetalles an der Oberfläche eines Metallfilmes muß zu iner Erhöhung des elektrischen Widerstandes führen. Die auftretende Abnahme des lektrischen Widerstandes im Verlauf einer weiteren Wasserstoffzugabe ist durch im stallgitter absorbierten Wasserstoff bewirkt. Stets ist mit der Chemisorption eine chrumpfung der Teilchengröße, innerhalb deren die kollektiven Erscheinungen des Rohländer. netallischen Zustandes wirksam sind, verbunden.

-1149 M. Müller. Eine Methode zur Herstellung dünner Schichten, insbesondere Kohlechichten. Exp. Tech. Phys. 8, 133-137, 1960, Nr. 3. (Leuna-Merseburg, T. H. Chemie, nst. Phys.) Zur Herstellung von Kohleschichten hoher Reinheit unter definierten Relingungen wird Spektralkohle im Lichtbogen verdampft und das entstehende Kohlentoffgas im Kapillarbogen ionisiert; nach elektrischem Absaugen der positiven C-lonen verden diese auf einen Auffänger fokussiert. Es ist dabei möglich, die ionisierten Teil-

chen nach ihrer Masse und nach ihrer Energie zu sortieren. Der Ionenstrom im Auffän konnte im Vergleich zu Literaturwerten um den Faktor 5 gesteigert werden. Die Met dik hat sich als gut brauchbar erwiesen und ist nicht nur auf Kohle beschränkt.

Schroen

- 4-1150 Marvin Chester. Evidence for a configurational EMF in a conducting media Phys. Rev. Letters 5, 91-93, 1960, Nr. 3. (1. Aug.) (Pasadena, Calif., Inst. Techn Eine dünne Schicht leitenden Metalls wird derart aufgedampft, daß der sonst konsta Querschnitt an einer Stelle sprunghaft auf einen kleineren, wieder konstanten Wert sinkt. Fließt ein elektrischer Strom durch diese Schicht, so muß an der Sprungstelle Sprung in der Spannung auftreten, in Analogie zur Bernoullischen Gleichung Hydrodynamik inkompressibler Medien. Die ersten Versuche scheinen einen solch Effekt zu bestätigen, wenn auch die quantitativen Resultate unbefriedigend sind. Hunger
- 4-1151 F. E. C. Culick, Comments on a ruptured soap film. J. appl. Phys. 31, 1128 1129, 1960, Nr. 6. (Juni.) (Cambridge, Mass. Inst. Technol., Naval Superson. Le Wird in einem horizontalen Seifenfilm ein Punktloch erzeugt, so weitet sich dieses reiner bestimmten Geschwindigkeit aus. Berechnet man diese auf Grund des Energerhaltungssatzes, so besteht zwischen diesem theoretischen Ergebnis und der experim tellen Messung eine ziemliche Diskrepanz. Es wird auf Möglichkeiten für eine Erklärt der letzteren hingewiesen: Verbrauch von Energie für die Beschleunigung der im Fruhenden Flüssigkeiten bis auf die Geschwindigkeit der Lochkarte und Energiedig pation wegen der Flüssigkeitszähigkeit; ferner Abweichung des Filmquerschnitts und em einer planparallelen Platte usw. Dementsprechend werden Korrektionsglieder in etheoretischen Beziehungen entwickelt.

 H. Mayer
- 4-1152 R. M. Koros, J. Deckers and M. Boudart. More experiments on liquid films. appl. Phys. 31, 1129-1130, 1960, Nr. 6. (Juni.) (Princeton, Univ., Chem. Engng La Kurze Mitteilung über Ergebnisse, die bei der Untersuchung jener dünnen Flüssigke filme gewonnen wurden, die sich beim Zusammenprall zweier senkrechter, einander e gegengesetzter Flüssigkeitsstrahlen in horizontaler Lage bilden. Aus elektrischen Widstandsmessungen an solchen Schichten werden Zusammenhänge zwischen Oberfläch spannung, Viskosität, Strahlgeschwindigkeit, Radius der Schicht und Mischungsv gängen erschlossen.
- 4-1153 **J. Montilla.** Método de medida de espesores de células de absorción para infrarran. Soc. esp. Fis. Quim. (A) **56**, 105-108, 1960, Nr. 3/4. (März/Apr.) Vf. beschre eine neue Methode zur Messung der Schichtdicke von Absorptionszellen für das Ultrot mit Hilfe eines Michelson-Interferometers. Die Unsicherheit der Schichtdicke bestimmung beträgt $2 \cdot 10^{-4}$ mm, unabhängig von der Schichtdicke selbst.

H.-J. Hübnei

- 4-1154 Aurica Munteanu et Alexandru Cisman. Force électromotrice de polarisation couches diamagnétiques très minces. Rev. Phys., Bucarest 3, 5-15, 1958, Nr. 1. Bei Untersuchung der Polarisation sehr dünner Schichten von ferromagnetischen Metal läßt der Verlauf der Spannung in Abhängigkeit von der Schichtdicke auf einen Schitungseffekt schließen. Die Vff. untersuchten in gleicher Weise den Verlauf der EMK Kupfer und Silber, wobei sich kein Anzeichen für eine Schichtenbildung zeigte. I steht nicht in Übereinstimmung mit der auf Grund der Meßergebnisse an ferromagn schen Stoffen entwickelten Theorie.
- 4-1155 Mircea Oncescu. The thermic coefficient of resistivity of tin in thin layers. Phys., Bucarest 3, 71-76, 1958, Nr. 1. (Bucarest, Inst. Atom. Phys.) Der elektris Widerstand von ca. 30 bis 1000 Å starken, bei 77 und 293° K aufgebrachten Zinnschitten höchster Reinheit wird unter Bedingungen besten Vakuums in Abhängigkeit von Schichtdicke und der Temperatur untersucht. Bei 77° entsteht hiernach bei kleine Dicken eine amorphe Schicht, die bei steigender Temperatur granuliert. Bei 293° bil sich infolge der größeren kinetischen Energie der Atome leichter ein kristallines Git Der Temperaturkoeffizient des Widerstandes ist in diesem Falle für dünnere Schichnegativ, und zwar schwächer mit wachsender Schichtdicke.

- 1156 F. Ciorăseu, M. Nachman and M. Oncescu. Resistivity of thin tin layers. Rev. Phys., Bucarest 3, 107—118, 1958, Nr. 2. Der elektrische Widerstand von Aufdampfchichten von Zinn mit Dicken von 1 bis 2000 Å auf Molybdänglas wurde gemessen. Der influß von adsorbierten Gasen wurde durch langes Ausheizen und Einhalten eines akuums besser als 10-7 Torr unterdrückt. Untersucht wurde die Abhängigkeit des Wierstandes von der Schichtdicke bei 77 und 293°K und der Einfluß einer Temperaturnderung. Bei beiden Temperaturen nimmt der Widerstand mit wachsender Schichtlicke ab. Dies kann durch die Abhängigkeit der mittleren freien Weglänge der Elekronen von der Schichtdicke erklärt werden. Bei Erwärnung erhält man bei kleineren Schichtdicken eine irreversible Widerstandschöhung, die auf eine Granulatbildung zuückzuführen ist.
- 1157 N. Croitoru, A. Dévényi et G. Ciobanu. La dépendance de température de la granulation des couches minces d'or. Rev. Phys., Bucarest 4, 39-47, 1959, Nr. 1. Nach Ausheizen und unter gutem Vakuum zur Vermeidung von Nebenessekten wurden Goldschichten mit Dicken von 25-465 Å auf Quarzglas ausgedampst und die Granulatoildung in der Schicht in Abhängigkeit von der Temperatur durch Messung des elektrischen Widerstandes untersucht. Ferner wurde das Aussehen der Schichten bei 12000- bis 16000sacher Vergrößerung setzgestellt. Für jede Schichtdicke ninmt der Widerstand mit steigender Temperatur bis zu einem Kleinstwert ab und steigt dann stark an. Bei siner Dicke unter 25 Å tritt schon bei Zimmertemperatur Granulation ein, so daß ohne Temperaturerniedrigung keine homogenen Goldschichten von kleinerer Dicke erhalten Poltz.
- 4-1158 W. Schüppel, O. Stemme, W. Andrä und Z. Málek. Über die direkte Messung der magnetischen Anisotropie dünner Schichten. Phys. Abh. Sowjetunion N. F. 2, 488—500, 1960, Nr. 6. (Übers. aus: Fis. metall. 8, 837—846, 1959.) (Jena, Akad. Wiss., Inst. Magn. Werkstoffe; Prag, Akad. Wiss., Phys. Inst.) Es wird ein sehr empfindlicher Anisotropiemesser (10-3 dyn·cm/Skt) zur Direktmessung der magnetischen Anisotropie dünner Schichten beschrieben. Um eine so hohe Empfindlichkeit ausnutzen zu können, müssen eine Reihe störender Effekte vermieden werden. Diese Störungen werden näher untersucht, ihr Einfluß auf die Anisotropiemessung abgeschätzt sowie Methoden zur Herabsetzung der Fehler angegeben. Ein Beispiel zeigt, wie sich ein Teil der verbleibenden Fehler eliminieren läßt. (Zfg.)
- 4-1159 L. S. Palatnik and V. M. Kosevich. The crystallization of antimony in thin films. II. The effects of various backings. Soviet Phys.-Cryst. 4, 37-41, 1960, Nr. 1. (Jan.) (Engl. Übers. aus: Kristallografija 4, 42, 1959, Nr. 1.) (Kharkov, State Univ.; V. I. Lenin Polytech. Inst.) Im Zusammenhang mit einer früheren Arbeit wird gezeigt, daß aufgedampfte Antimonschichten je nach der Grundlage (amorphe oder kristalline Materialien, Metalle usw.) größere oder kleinere kritische Dicken des stabilen amorphen Zustandes erreichen. Der Nachweis des kristallinen Aufbaus wird mit Elektronenbeugungsaufnahmen geführt.
- 4-1160 D. W. Pashley. A study of the deformation and fracture of single-crystal gold films of high strength inside an electron microscope. Proc. roy. Soc. (A) 255, 218-231, 1960, Nr. 1281. (22. März.) (Cambridge, Engl., T. I. Res. Labs.)

 Behnsch.
- 4-1161 G.V. Rozenberg. Absorption spectroscopy of dispersed materials. Soviet Phys.-Uspekhi 2, 666-698, 1959, Nr. 5. (Sept./Okt.) (Engl. Übers. aus: Usp. Fiz. Nauk 69, 7-104, 1959, Nr. 5.) V. Weidemann.
- 1-1162 Wahid U. Malik and S. Anwar Ali. Studies on tungstate gels. I. Time of setting of ferric tungstate gel and variations in viscosity, conductivity and hydrogen ion concentration during sol-gel transformation. Kolloidzschr. 70, 35-38, 1960, Nr. 1. (Mai.) (Aligarh, India, Muslim Univ., Chem. Dep.)

XI. Geophysik

- 4-1163 A discussion on the results of the Royal Society's expedition to Halley Ba Antarctica, during the International Geophysical Year. Proc. roy. Soc. (A) 256, 145-26 1960, Nr. 1285. (21, Juni.) Behnsch.
- 4-1164 *F. Rudolf Jung. Die geodätische Erschließung Kanadas durch elektronisc Entfernungsmessung mit Diskussionsbemerkungen. Arbeitsgem. f. Forschung d. Land Nordrhein-Westfalen Heft 84. 77 S. mit 36 Abb. Westdeutscher Verlag, Köln u. Oplade 1960. DM 9,— (kart.) Die beschriebenen Trilaterationen geben mit ihren geodätisch Festpunkten den Rahmen für die Nachfolgearbeiten: Netzverdichtungen mit Shor. (short range navigation), Shorankontrollierte photogrammetrische Bildflüge, Verdictung des Trilaterationsnetzes. Das entwickelte Tellurometer arbeitet mit 10 cm Welle längen (geringer Meßfehler, kurze Meßdauer).
- 4-1165 H. Berckhemer und W. Hiller. Kurzperiodische Stationsseismographen Trägerfrequenzverstärker und mechanischer Registrierung. Z. Geophys. 26, 1-8, 196 Nr. 1. Mit den Schwingungen eines Nahbebenseismographen des Typs "Stuttgarändern sich die Luftspalte zweier Eisenkerninduktivitäten, die mit zwei Widerständ eine Wechselstrombrücke bilden, welche von einem Trägerfrequenzstrom (50 Fdurchflossen wird. Auslenkungen aus der Symmetrielage verursachen einen ihnen protionalen Brückenstrom. Nach Verstärkung mit zwei RC-Transistorverstärkern ließe eine phasenempfindliche Gleichrichterschaltung einen Strom, dessen Richtung von ach Ausschlagsrichtung des Seismographen abhängt. Ein Transistorendverstärker gibt dann eine Leistung ab, die ausreicht, einen Differentialdrehspulschreiber zu betägen. Registriert wird in üblicher Weise auf berußtem Papier. Eine eingehende Beschreitung der Apparatur und ein Abriß der Theorie werden gegeben. K. Jung.
- 4-1166 A. L. Latter, E. A. Martinelli and E. Teller. Seismic scaling law for und ground explosions. Phys. Fluids 2, 280-282, 1959, Nr. 3. (Mai/Juni.) (Santa Moni Calif., RAND Corp.; Livermore, Calif., Univ., Lawrence Radiat. Lab.) An Hand of Daten von 5 unterirdischen Atomexplosionen wird festgestellt, daß die seismisch Amplituden in größerer Entfernung dem Energieumsatz proportional sind. Dies w von den Vff. durch ein einfaches Modell erklärt.

 Zobel
- 4-1167 A. N. Romashov, V. N. Rodionov and A. P. Sukhotin. On an explosion in unbounded compacting medium. Soviet Phys.-Doklady 3, 1283—1286, 1958, Nr. 6. (No Dez.) (Engl. Übers. aus: Proc. Acad. Sci. SSSR 123, 627, 1958, Nr. 4.) Es wird die A breitung von Explosionswellen in sandigem Erdreich (1,5 g/cm³ Dichte und 6% Feutigkeitsgehalt) untersucht.

 Zobel
- 4-1168 K. Svoboda. Berechnung der magnetischen Deklination in der ČSSR. Beitr. G phys. 68, 289-294, 1959, Nr. 5. (Prag. Inst., Keramprojekt".) Zur Berechnung de Deklination für einen beliebigen Ort in der ČSSR und für die Zeit etwa zwischen 1850 u 1950 werden Tabellen und Diagramme angegeben. H. Ebert
- 4-1169 Sydney Chapman. Geomagnetic storms and the space around the earth. Natu Lond. 187, 824-827, 1960, Nr. 4740. (3. Sept.) (Boulder, Col., High Altitude Ol Es wird eine historische Darstellung der wichtigsten Abschnitte in der Erforschung erdmagnetischen Stürme und verwandter Erscheinungen gegeben einschließlich neuesten Untersuchungen mit modernen Hilfsmitteln sowie der verschiedenen Versuc die Beobachtungsergebnisse theoretisch zu deuten. In diesem Zusammenhang wird eneue Theorie von ΛΚΑSOFU und CHAPMAN angekündigt.
- 4-1170 H. Lottrup Knudsen and T. Larsen. The electric field at the ground plane neatop-loaded monopole antenna with special regard to electrically small L- and T-antenna J. Res. nat. Bur. Stand. 64 D, 139-151, 1960, Nr. 2. (März/Apr.) (Copenhagen, Te Univ.) Die vertikale Komponent der Erdströme trägt in einigen Fällen wesentlich den Erdverlusten in der Nähe einer Antenne bei. Zu ihrer Bestimmung wird die vertik

61 . .

omponente der elektrischen Feldstärke auf der Erdoberfläche berechnet. Es werden ntennen betrachtet, die aus einem vertikalen Draht und geraden horizontalen Drähten dessen Spitze bestehen. Formeln für die vertikale elektrische Nahfeldkomponente in L-Antennen, T-Antennen und Antennen mit vier horizontalen Drähten an der pitze eines vertikalen Drahtes werden angegeben und numerisch ausgewertet. Die utennendimensionen sind klein im Verhältnis zur Wellenlänge, und eine lineare Stromteilung wird angenommen.

1171 H. N. Rundle. Ionization of a static interplanetary gas and expected emission nes from this gas. Planet. Space Sci. 2, 86-98, 1960, Nr. 2/3. (Apr.) (Cambridge, Engl., niv., Obs.) Der Ionisationsgrad von H und He im interplanetaren Raum wird in Abingigkeit von Elektronendichte und -temperatur berechnet und in Form von Diarammen angegeben. Dabei wird die Elektronendichte gleich der Gesamtwasserstoffichte angenommen, für die Elektronen eine MAXWELL-Verteilung vorausgesetzt und n Gleichgewicht von Anregung, Ionisation durch Strahlung und Elektronenstöße und trahlungskombination betrachtet (ruhendes Gas, Lebensdauer größenordnungsmäßig 00 Jahre). Für dieselben Parameter wird bei den vier stärksten Triplett-Linien von $(e - 2^3 P \rightarrow 2^3 S 10829 \text{ Å}, 3^3 S \rightarrow 2^3 P 7065 \text{ Å}, 3^3 D \rightarrow 2^3 P 5876 \text{ Å} \text{ und } 3^3 P \rightarrow 2^3 S 10829 \text{ Å}$ 889 Å - näherungsweise die vom interplanetaren Raum (Weglänge 1 A. U.) zu erartende Strahlungsintensität bestimmt. Aus dem Fehlen der He-Emissionslinien auf odiakallichtspektren von Blackwell und Ingham wird bei Gültigkeit der Vorausetzungen auf eine Dichte < 17 bzw. 800 Elektronen/cm³ bei einer Elektronen-emperatur von 500 bzw. $2\cdot 10^5\,^{\circ}\mathrm{K}$ im Erdabstand von der Sonne geschlossen. Es wird arauf hingewiesen, daß bei unabhängiger Ermittlung von Elektronendichte und -temeratur sowie der Dichte des neutralen H entschieden werden kann, ob ein "ruhendes" terplanetares Gas existiert oder nicht.

-1172 John C. Brandt and Joseph W. Chamberlain. Interplanetary gas. I. Hydrogen idiation in the night sky. Astrophys. J. 130, 670-682, 1959, Nr. 2. (Sept.) (Yerkes bs.) Es wird untersucht, ob die bei Raketenaufstiegen gefundene LYMAN-α-Strahlung es Nachthimmels durch Resonanzstreuung der von der Sonne kommenden Lyman-αtrahlung an interplanetarem neutralem H vollständig erklärt werden kann. Die aus öhen von 85 bis 120 km über der Erdoberfläche stammende "Airglowkomponente" on Lya kann durch Reflexion dieser Streustrahlung in der Atmosphäre verstanden erden, falls dort die Häufigkeit des neutralen H verglichen mit O. hinreichend hoch t. Methoden zur Messung dieses Häufigkeitsverhältnisses werden diskutiert. Möglichereise gibt es eine zusätzliche Quelle von Lyman-α-Strahlung in der Atmosphäre. Aus en Isophoten der Strahlung und auch aus dem allerdings bisher nur unsicher bekannten erhältnis von Lyα- zu Hα-Strahlung wird geschlossen, daß der interplanetare H otisch dünn ist und in Erdnähe eine Dichte von ca. 0,2 Atomen · cm-3 besitzt. Für einche Streuung an H-Atomen wird bei einem Streuwinkel von 90° ein Polarisationsgrad on 16 bis 27% berechnet. Polarisationsmessungen könnten daher weitere Information ber Verteilung und optische Dicke des Gases im interplanetaren Raum geben.

U. Haug.

A. D. Bolyunova and V. M. Morozov. On photo-electrical measurements of luminate of a nocturnal sky. Bull. Acad. Sci. USSR, Geophys. Ser. 1959, S. 215—218, r. 2 (Febr.) (Engl. Übers. aus: Iswest. Akad. Nauk SSSR, Ser. geofis. 1959, S. 321—325.) ie Deutung photoelektrischer Messungen der Lumineszenz des Nachthimmels wird nich den Umstand erschwert, daß den gesuchten Emissionen (\$\times\$2577, 5893, 6300 Å) örende Lichtintensitäten überlagert sind. Zu nennen sind das Kontinuum des Nachtmarels, das Zodiakal-Licht, das diffuse Licht der unteren Atmosphärenschichten das Sternlicht. Schwierigkeiten treten bereits bei der absoluten Kalibrierung der notometer auf. — Bei Beschränkung der Störlichter auf ein zeitlich konstantes ontinuum und auf Sternlichter (Punktquellen) geben die Vff. Methoden zur Ermitting spezifischer Photometerparameter (spektrale Bandbreite, Gesichtsfeldwinkel, urchlässigkeitskoeffizient usw.) und Methoden für den Vergleich verschiedener Photoeter an. Darüberhinaus werden Fehlerquellen bei der Kalibrierung von Photometern skutiert, die z. B. in der Ungleichmäßigkeit der Interferenzfilter, der Photokathoden

usw. zu suchen sind. Als Beispiel werden Daten eines Photometers in Zvenigorod an führt, das mit einem Antimon-Cäsium-Photomultiplier Type FEU-S Nr. 758 a gerüstet ist.

Brömer

4-1174 Dimitri S. Bugnolo. Transport equation for the spectral density of a multiscattered electromagnetic field. J. appl. Phys. 31, 1176-1182, 1960, Nr. 7. (Juli.) (North, Columbia Univ., Dep. Elect. Engng.) Die Ausbreitung eines elektromagnetisce Feldes in einen Halbraum der Troposphäre wird unter der Annahme von Vielfastreuung an kleinen atmosphärischen Brechungsindexschwankungen theoretisch unsucht. Es wird eine Transportgleichung für die spektrale Verteilungsfunktion der Ptonen aufgestellt und für den Fall der Vorwärtsstreuung eine Lösungsmethode gegeben. Beim Fortschreiten durch ein turbulentes Medium wird eine ursprüng monochromatische ebene Welle durch die Vielfachstreuung in ein Wellenfeld mit imbreiter werdender Gaussscher Verteilung des Frequenzspektrums verwandelt.

Dach

4-1175 W. L. Taylor. Daytime attenuation rates in the very low frequency band us atmospherics. J. Res. nat. Bur. Stand. 64 D, 349-355, 1960, Nr. 4. (Juli/Aug.) (Bould Color., Nat. Bur. Stand., Central Radio Propag. Lab.) An vier mit gleichartigen, kerierten Empfangsgeräten ausgerüsteten Stationen in den USA und Hawaii wurden Sommer 1958 die Amplitude, Einfallsrichtung und Ankunftszeit von Atmosphe (auf 1 ms genau) im Frequenzband von 1 bis 100 kHz auf Oszillographenleuchtschirt photographisch aufgenommen. Für 28 ausgesuchte, bei Tage aufgezeichnete Atmosprics konnten von allen Stationen Spektren nach Fourier analysiert und die Dämpfur werte über große Entfernungen bestimmt werden. Die Dämpfung beträgt im Ber von 1000 bis 10 000 km bei 6 kHz etwa 7 bis 9 db pro 1000 km und fällt für Frequer oberhalb 10 kHz auf 1 bis 3 db pro 1000 km. Unterhalb 8 kHz ist die Dämpfung West-Ost-Richtung etwa 3 db pro 1000 km geringer als in Ost-West-Richtung.

Dachs

- 4-1176 William F. Moler and D. B. Holden. Tropospheric scatter propagation and at spheric circulations. J. Res. nat. Bur. Stand 64 D, 81-93, 1960, Nr. 1. (Jan./Fe (San Diego, Calif., U. S. Navy Electron. Lab.)

 Behnsel
- 4-1177 M. Balser and C. A. Wagner. Measurements of the spectrum of radio noise p 50 to 100 cycles per second. J. Res. nat. Bur. Stand. 64 D, 415-418, 1960, Nr. 4. (Aug.) Mit einer 8 m hohen Vertikalantenne wurde atmosphärisches Rauschen zwise 50 und 100 Hz aufgefangen und auf Magnetband aufgezeichnet. Die Spektren wurdt einer elektronischen Rechenmaschine IBM 709 numerisch analysiert. Außer schem 60 Hz-Brumm konnten keine Amplitudenmaxima im Rauschspektrum festges werden, die auf Schwingungsmoden höherer Ordnung des Hohlraumes zwischen und Ionosphäre hindeuten könnten.
- 4-1178 G. G. Bowman. Sunrise and eclipse effects on the ionosphere at Brisbane. Aus Phys. 13, 52-68, 1960, Nr. 1. (März.) (Brisbane, Univ. Queensland, Phys. Dep.)
- 4-1179 G. G. Bowman. A relationship between spread-F and the height of the F₂ ionos ric layer. Aust. J. Phys. 13, 69-72, 1960, Nr. 1. (März.) (Brisbane, Univ. Queensl Phys. Dep.)

 Behnsc
- 4–1180 M. A. Ellison, Susan M. P. McKenna and J. H. Reid. The solar flare of Ju 1960. Nature, Lond. 187, 926, 1960, Nr. 4741. (10. Sept.) (Dublin, Inst. Advanc. S Dunsink Obs.) Am 1. Juni 1960 ereignete sich in der Nähe des Ostrandes der Sonne chromosphärische Eruption der Größe 3 +. Sie begann nach den Beobachtungen Capetown-Observatorium um 823 Uhr Weltzeit, trat aber erst um 837 Uhr in die F Phase und erreichte um 900 Uhr mit einer Fläche von 46 Quadratgrad ihre maximale dehnung. Als Folge davon trat zwischen 837 Uhr und 1200 Uhr eine schwere I sphärenstörung (Dellinger-Effekt) auf. Am 3. Juli um 18 Uhr wurde ein erdmag scher SSC mit nachfolgendem schwachem erdmagnetischem Sturm beobachtet, der licherweise von dieser großen Eruption verursacht wurde.
- 4-1181 C. A. Samson. Effects of high-altitude nuclear explosions on radio noise. J. nat. Bur. Stand. 64 D, 37-40, 1960, Nr. 1. (Jan./Febr.) (Boulder, Col.) Behns

-1182 S. Rand. Wake of a satellite traversing the ionosphere. Phys. Fluids 3, 265-273, 960, Nr. 2. (März/Apr.) (San Diego, Calif., Convair.) V. Weidemann.

- -1183 Herman Yagoda. Star production by trapped protons in the inner radiation belt. hys. Rev. Letters 5, 17–18, 1960, Nr. 1. (1. Juli.) (Bedford, Mass., Air Res. Devel. omm., Geophys. Res. Direct.) 1,8 kg G5-Emulsion wurden mit einer Atlasrakete 176 km hoch geschossen. Mit einem geringen Absorber von 1,65 g cm $^{-2}$ wurden Promen bis herunter zu 40 MeV registriert. Das Maximum liegt zwischen 80 und 60 MeV. Die Sternproduktion mit $\rm N_h > 3$ beträgt etwa 71 700 Sterne cm $^{-3}\rm d^{-1}$. Im Vergleich mit allon- und Raketenversuchen bis 271 km außerhalb des van Allen-Gürtels tritt ein aktor 100 in der Intensität und im Abfall nach großen Sternen auf. Sterne mit sichtbaren rimären Protonen liegen in der Energie unter 1 BeV. Ein zusätzlicher Geiger-Zähler und 90% der Impulse während 400 s, wenn die Kapsel sich zwischen 1120 und 960 km löhe innerhalb 22°N und 14°N befand. Es wird deshalb angenommen, daß sich die leinen Sterne im Gürtel in (1100 \pm 60) km Höhe mit einer Zahl von (297000 \pm 15000) m $^{-3}\rm d^{-1}$ bilden.
- -1184 H. Israél und H. Dolezalek. Zur Vergleichbarkeit luftelektrischer Messungen. Z. Leophys. 26, 77-86, 1960, Nr. 2. Um die Vergleichbarkeit luftelektrischer Messungen erschiedener Stationen zu sichern, sollten die Messungen nur über genügend großem benem Gelände vorgenommen werden. Zu empfehlen ist die Wahl einer Bezugsfläche in inigen Metern Höhe und die Kontrolle mit dem Ohmschen Gesetz bei gleichzeitiger 1essung von Feld, Strom und Leitfähigkeit. K. Jung.
- -1185 H. Dolezalek. Die Anschaltung des Meßinstruments an den als Vierpol aufgensten radioaktiven Kollektor. Beitr. Geophys. 69, 175—180, 1960, Nr. 3. Führt man als Ersatzschaltbild des Kollektors einen Vierpol ein, so kommt man auf Beziehungen von ekannter Form für die Anschaltung des Meßinstrumentes, wenn man einige Formelrößen etwas anders deutet als bisher. Hiermit wird bessere Übereinstimmung mit den Erfahrungen erreicht.

 K. Jung.
- -1186 E.T. Pierce. Atmospherics from lightning flashes with multiple strokes. J. geophys. les. 65, 1867—1871, 1960, Nr. 7. (Juli.) (Wilmington, Mass, AVCO, Res. Adv. Devel. biv.) Es wird aus einfachen Ansätzen für die Aufstiegsgeschwindigkeit der aufeinanderbligenden Einzelentladungen eines Blitzes abgeleitet, daß das Frequenzspektrum der on den Entladungen ausgesandten Atmospherics sich bei den auf die erste Hauptentulung (return stroke) folgenden rascher verlaufenden Entladungen im einmal gebildern Blitzkanal zu tieferen Frequenzen verschiebt.
- 1187 Bernard Vonnegut and Donald A. McCaig. Airplane instrument for measurement and vectorial presentation of electrical potential gradient. J. geophys. Res. 65, 1959 bis 964, 1960, Nr. 7. (Juli.) (Cambridge, Mass., Arthur D. Little, Inc.) Bei Flugzeugmessunen der elektrischen Ladungen von Gewitterwolken wird jede der drei räumlichen Componenten des Potentialgradienten durch ein Paar von Poloniumsonden gemessen, ie am Flugzeugrumpf montiert sind. Je zwei Sonden eines Paares sind mit den beiden velegungen einer rotierenden variablen Kapazität verbunden, so daß ein Wechselstrom utsteht, dessen Größe der zu messenden Potentialdifferenz proportional ist. Es wird me Methode angegeben, die Richtung des Potentialgradienten im Raume unmittelbar uf Oszillographenleuchtschirmen sichtbar zu machen.
- 1188 N. Kitagawa, M. Brook and E. J. Workman. The role of continuous discharges in oud-to-ground-lightning. J. geophys. Res. 65, 1965, 1960, Nr. 7. (Juli.) (Socorro, N. M., 1811. Mining Technol.) 83 photographische Aufnahmen von nahen Gewitterblitzen and gleichzeitige Registrierungen der Änderung des luftelektrischen Feldes wurden unteracht. Die Hälfte der Aufnahmen zeigt ein kontinuierliches Leuchten des Blitzkanals on etwa 100 bis 500 ms Dauer, das mit einer langsamen Feldänderung verbunden ist. As kontinuierliche Leuchten wird von einer Reihe von kurzen, helleren Leuchtvorgänzen überlagert, die mit raschen Feldänderungen einhergehen. Diese Erscheinungen erden auf die Zellenstruktur der Gewitterwolken zurückgeführt.

4-1189 M. M. Newman. Thunderstorm electrical discharges intercepted by aircraft of related ball lightning and sferics phenomena. J. geophys. Res. 65, 1966, 1960, Nr. 7. (Ju (Minneapolis, Minn., Lightning Transients Res. Inst.) Zusammenfassung eines Vortra über Versuche mit künstlich hervorgerufenen Blitzschlägen auf Flugzeuge (im Labo Dachs torium) und Schiffe.

- 4-1190 W. C. Hoffman. The current-jet hypothesis of whistler generation. J. geoph Res. 65, 2047-2054, 1960, Nr. 7. (Juli.) (Brisbane, Austr. Univ., Dep. Phys.) Eine Theo für die Entstehung von langen Whistler-Echo-Zügen wird skizziert. Danach besteht einer Vielfach-Blitzentladung von wenigstens 500 ms Dauer, wie sie Voraussetzu für die Entstehung von vielfachen Whistler-Echos zu sein scheint, ähnlich wie in ei Wanderwellenröhre eine synchrone Wechselwirkung zwischen der außerordentlich Komponente der von den späteren Teilentladungen eines Vielfach-Blitzschlages a gesandten Spherics und einem Strom hochenergetischer Elektronen, die schon von ersten Teilentladungen von der Spitze der Gewitterwolke in einem Plasmakanal na oben emittiert werden. Verschiedene denkbare Mechanismen für eine aufwärtsgeri tete Vorbeschleunigung der Elektronen in der Gewitterwolke auf einige 104 eV were diskutiert. Diese Beschleunigung reicht aus, um die restliche Atmosphäre zu dur dringen. Von Gewitterwolken ausgehende, nach oben gerichtete Entladungen in Stratosphäre sind von Flugzeugen aus und mit Wetterradar beobachtet word Die Elektronen können in den magnetischen Spiegeln über geomagnetisch konjugier Punkten eingefangen werden und eine synchrone Beschleunigung oder Verzöger durch FERMI-Wechselwirkung mit der Sphericswelle bei ihren mehrfachen Hin-Rückläufen erleiden, wodurch das gelegentliche Stärkerwerden aufeinanderfolgen Echos bei langen Whistler-Zügen erklärt werden kann. Dachs
 - R. Reiter. Zum Verhalten von Kernspaltprodukten verschiedener Lebensdauer Aerosol der unteren Atmosphäre. Naturwissenschaften 47, 300-301, 1960, Nr. (Juli.) (München, Univ., Inst. Gesteinskde.) Vergleichsmessungen der Gesamt-Sp produkt-Aktivität und der langlebigen Komponente für Probenahme in 675 und 178 ü. d. M. über den Zeitraum April 1959 bis April 1960. An der Bergstation im Novem und Dezember, wo Vertikalaustausch durch Inversionen stark behindert, Übersc an kurzlebigen und Defizit an langlebigen Produkten. Folgerung, daß Hauptque der langlebigen Komponente in diesem Zeitraum Aufwirbelung vom Erdboden. G. Schumani

- J. A. Schedling und W. A. Müller. Über die "heißen" Teilchen im atmosph schen Acrosol. Anz. österr. Akad. Wiss. 1959, S. 30, Nr. 3. (S. B.) (Wien, Univ., I. Pl Inst.) Heiße Teilchen wurden von April bis Juli 1958 relativ häufig beobachtet, blie dann aber vollkommen aus und traten vom 15. Oktober 1958 an schlagartig wieder Eine mikroskopische Bestimmung der Größe ergab Durchmesser von $\leq 1-2 \mu$. γ-Spektrum enthält Linien von 141,144Ce, 103Ru sowie 95Zr + 95Nb. W. Koll
- 4-1193 Harald Norinder and Reinhards Siksna. Ions formed in a room by a polon ion-generator. Ark. Geofys. 2, 501-514, 1958, Nr. 6. (Uppsala, Univ., Inst. High T Res. Im Hinblick auf die biologische Anwendung wurden Beweglichkeit, räuml und zeitliche Verteilung von Luftionen in einem geschlossenem Raum untersucht. Luftionen wurden mit einem α-Präparat in einem luftdurchströmten Rohr erzeugt. Pot
- 4-1194 L. D. Solodikhina. The natural radioactivity of atmospheric precipitates. 1 Acad. Sci. USSR, Geophys. Ser. 1959, S. 180-185, Nr. 2. (Febr.) (Engl. Übers. Iswest. Akad. Nauk SSSR, Ser. geofis. 1959, S. 276-283.) Es wurden die natürl spezifische Radioaktivität und die Intensität (in g·min-1 pro cm² Erdoberfläche) atmosphärischen Niederschlägen gemessen. Dabei zeigte sich, daß die Größe der s fischen Aktivität abnimmt, wenn die Niederschlagsintensität steigt. Die ausgewert Meßdaten zeigen weiter, daß die spezifische Aktivität nach der folgenden Reihe Niederschlagsarten abfällt: Graupeln, starker Regen, Schneeflocken, Dauerregen. Analyse der gleichzeitig in 2 verschiedenen Höhen genommenen Proben zeigte, daß Regen während des Falls die radioaktiven Partikelchen aus den unteren Atmospha schichten aufnimmt. Ramthu

- 1195 **0. Czepa** und **G. Schellenberger.** Methoden und Ergebnisse der statistischen regangsanalyse. Beitr. Geophys. **69**, 206-239, 1960, Nr. 4. Die Theorie der sehr vielltigen Erscheinungen des Seegangs läßt sich nur auf statistischem Wege entwickeln. s wird eine ausführliche Darstellung ihrer Grundlagen und einige ihrer Ausgestaltungen K. Jung.
- 1196 C. Fink und G. Horney. Experimentelle Bestimmung der Trägheit des Radiondenbimetalls beim Aufstieg. Met. Rdsch. 13, 118—119, 1960, Nr. 4. (Juli/Aug.) Wähnd eines Radiosondenaufstieges wird das Bimetall kurzzeitig mehrmals elektrisch aufheizt und aus den Abklingkurven seine Trägheit bestimmt. Sie beträgt bei 140 mbs, bei 65 mb 12 s, bei 35 mb 16 s, bei 22 mb 20 s, bei 10 mb 28 s. Weiter zeigen die ufstiege, daß die Ventilationsgeschwindigkeit gleich der Aufstiegsgeschwindigkeit setzt werden kann und bis 20 mb Höhe keine störenden Grenzschichtestekte im trahlungsschutzrohr auftreten.
- -1197 Yoshirô Ômori. An investigation of psychrometer. II. J. phys. Soc. Japan 15, 06-718, 1960, Nr. 4. (Apr.) (Osaka, Teikoku Rayon Co. Ltd.) Behnsch.
- ensity of clouds. Bull. Acad. Sci. USSR, Geophys. Ser. 1958, S. 698-702, Nr. 10. Okt.) (Engl. Übers. aus: Iswest. Akad. Nauk SSSR, Ser. geofis. 1958, S. 1211-1221.) Sei geeigneter Parameterwahl lassen sich Verteilungskurven für die Größe von Wolkenröpfehen mit guter Näherung durch unvollständige Funktionen darstellen. Wegen er einfachen analytischen Form derselben eignen sie sich sowohl für eine schnelle unalyse solcher Verteilungen als auch zur Berechnung von Integralgrößen, in welche die ferteilungsfunktion eingeht. Dies wird durch Ermittlung der optischen Dichte von Volken in Abhängigkeit von der Lichtwellenlänge demonstriert.
- -1199 S. V. Pshenay-Severin. On short-range hydrodynamic interactions between cloud roplets. Bull. Acad. Sci. USSR, Geophys. Ser. 1958, S. 724—725, Nr. 10. (Okt.) (Engl. bers. aus: Iswest. Akad. Nauk SSSR, Ser. geofis. 1958, S. 1254—1257.) Die von TIMSON und JEFFERY (1926) durchgeführte Berechnung der Wechselwirkung zweier Kugeln, die sich mit gleicher Geschwindigkeit hintereinander durch eine zähe Flüssigeit bewegen, wird auf den Fall, daß die Geschwindigkeiten beider Kugeln verschieden ind, erweitert. Numerisch berechnete Fallgeschwindigkeiten von Wolkentröpfchen eigen z. T. erhebliche Abweichungen gegenüber nach der STOKESschen Formel ermittelem Werten.
- -1200 Cl. Behnke. Über Speicherung mehrerer durch Flüssigkeitsfunken erzeugter seiswischer Impulse auf einem einzigen magnetischen Tonträger. Z. Geophys. 26, 24—40, 960, Nr. 1. Als neuartige Quelle seismischer Impulse wird eine Funkensonde beschrieen, mit der man Knallfunken im Grundwasser erzeugt. Die Bodenschwingungen werden itt Geophonen aufgenommen und auf Magnetband gespeichert. Zur Verstärkung reeller insätze und Schwächung willkürlicher Störungen werden die Vorgänge mehrmals iederholt und auf demselben Magnetband übereinandergespielt. Über die elektronische uslösung und die Synchronisierungen wird eingehend berichtet. Erste Versuchsergebisse werden mitgeteilt.
- -1201 G. Vogler. Ursachen emanometrischer Anomalien. Z. Geophys. 26, 57—71, 960, Nr. 2. Bei dem kleinen Diffusionskoeffizienten und den meist vorhandenen Mächtigeiten der feinkörnigen Verwitterungsschichten kann eine Rn-Diffusion aus der Tiefe nur a Ausnahmefällen die Ursache der an der Erdoberfläche gemessenen Rn-Anomalien in. Aus Messungen von Rn-Profilen und Untersuchungen von Bodenproben muß gebert werden, daß U-Ra-Akkumulationen durch Ionenaustausch bei der Wasserverunstung in kapillaraktiven Störungszonen die wesentliche Ursache bilden.

K. Inno.

1202 E. Budde. Der Beweglichkeitskoeffizient der Radium-Emanation in Lockergeeinen. Z. Geophys. 26, 72—76, 1960, Nr. 2. Als Antwort auf einen Einwand von I. ISRAËL werden verschiedene Beobachtungen angeführt, nach denen Beweglichkeitsbeffizienten von weniger als 10⁻³ cm² s⁻¹ nicht selten vorkommen. K. Jung.

XII. Biophysik

4-1203 J. R. Singer. Measuring fluid velocity by nuclear resonance. Electronics 1960, Nr. 14, (1. Apr.) S. 77-78. (Berkeley, Calif., Univ.) Magnetische Kernresonanz kebenutzt werden, um die Durchflußstärke der verschiedensten Flüssigkeiten, menschlichem Blut bis zur Schwefelsäure, ohne Störung des Leitungssystems zu mess Erforderlich sind ein geeignetes Magnetfeld, ein Hochfrequenztransmitter und -empf ger und ein Oszillograph, um die Resonanzen zu beobachten und die Relaxationszei zu Bestimmen.

4-1204 Georg von Békésy. Synchronism of neural discharges and their demultiplication pitch perception of the skin and in hearing. J. acoust. Soc. Amer. 31, 338-349, 18 Nr. 3. (März.) (Cambridge, Mass., Harvard Univ.) Untersuchungen über mechanis und elektrische Reizung der Haut zeigen, daß die "Tonhöhen"empfindung auf der Hnicht nur von der Frequenz der Reizimpulse, sondern auch von ihrer Amplitude von der Erregungsstelle abhängt. Bei konstanter Reizfrequenz sinkt z. B. die "Tonhöum 2 Oktaven, wenn die Vibrationsamplitude um 40 dB oder die Stromamplitude 5 dB erhöht wird. Ebenfalls kann bei konstanter Reizfrequenz die Frequenzempfind an der Fingerspitze um fast 3 Oktaven anders sein als am Oberarm. Aus diesen anderen Versuchsergebnissen werden Schlüsse auf die Reizweiterleitung und -verar tung im Nervensystem gezogen.

4-1205 M. H. Goldstein jr., N. Y.-S. Kiang and R. M. Brown. Responses of the audicortex to repetitive acoustic stimuli. J. acoust. Soc. Amer. 31, 356-364, 1959, Nr. (März.) (Cambridge, Mas., Inst. Technol., Res. Lab. Electron.) Im akustischen Zent der Hirnrinde von Katzen wurden die durch akustische Signale (periodisch wiederh Knacke und Geräuschstöße) erzeugten elektrischen Ströme gemessen. Mit zunehmer Wiederholungsfrequenz der akustischen Signale nimmt die Größe der Stromstöße und sie verschwinden im physiologischen Störpegel, wenn die Impulsfolgefrequenz 50 überschreitet. Mit einem elektronischen Korrelationsanalysator gelang es, bei höhe Folgefrequenzen die zugehörigen Stromstöße aus dem Rauschpegel herauszuheben. I Zuordnung der Stromstöße zu den Reizimpulsen gelang bei nichtbetäubten Katzen 200 Hz, bei betäubten jedoch nur bis 100 Hz.

M. Beye

4-1206 Irwin Pollack and Lawrence B. Johnson. Reproduction and identificatio elements of auditory displays. J. acoust. Soc. Amer. 31, 7-8, 1959, Nr. 1. (Jan.) (Bo Air Force Base, Air Force Cambridge Res. Center, Operat. Appl. Lab.) Im allgeme ist die Fähigkeit des Menschen, Tonfrequenzen zu identifizieren, gering. Es wurde d versucht, durch verschiedene Maßnahmen das Erkennungsvermögen zu steigern. Versuchspersonen wurden aufgefordert, den ihnen einzeln dargebotenen Tönen einer Gruppe von 12 Tönen) die Zahlen 1 bis 12 zuzuordnen. In Versuchsreihe 1 man sie im Unklaren, ob sie richtig oder falsch geraten hatten. In Reihe 2 erfuhren nach jeder Antwort das richtige Ergebnis. In Reihe 3 durften sie den gehörten Ton 12, mit dem Tongenerator verbundenen Tasten aufsuchen und in Reihe 4 wurden aufgefordert, den gehörten Ton nachzupfeifen. — Es zeigte sich, daß das Frequerkennungsvermögen in Reihe 4 am niedrigsten war, sich aber in den übrigen Reihen unterschied.

M. Beve

4-1207 Bruce H. Deatherage and Ira J. Hirsh. Auditory localization of clicks. J. act Soc. Amer. 31, 486-492, 1959, Nr. 4. (Apr.) (St. Louis, Miss., Central Inst. D Frühere Experimente hatten gezeigt, daß beim Richtungshören, bei dem bekann die Zeit- und die Intensitätsdifferenzen zwischen beiden Ohren eine Rolle spielen, wurden ein Zeitvorsprung an einem Ohr durch eine Intensitätserhöhung am and Ohr kompensiert werden kann. Auf Grund von Hypothesen, die durch die Ergebiphysiologischer Experimente nahegelegt wurden, wurden zwei Versuche durchgefi Der erste zeigte, daß die Intensitätsdifferenz, mit der eine Zeitdifferenz zwischen be Ohren kompensiert werden konnte, vom Schallpegel abhing. Leise Knacke benöti zur Kompensation einer gegebenen Zeitdifferenz kleinere Intensitätsdifferenzer laute Knackgeräusche. Die Beziehung zwischen Intensitätsdifferenzen in dB und

ferenzen in Mikrosekunden war bei keiner der untersuchten Lautstärken linear. Im eiten Experiment wurde mit hochfrequenten Verdeckungsgeräuschen gearbeitet. wohl diese Geräusche den Knack nicht verdecken konnten, verursachten sie eine tliche Verzögerung, die durch eine entsprechende künstliche Verzögerung am anderen kompensiert werden mußte. Die Beziehung zwischen diesen psychophysikalischen gebnissen und den physiologischen Beobachtungen werden diskutiert. M. Beyer.

1208 John F. Corso. Age and sex differences in pure-tone thresholds. J. acoust. Soc. ner. 31, 498-507, 1959, Nr. 4. (Apr.) (University Park, Penn., Univ., Dep. Psychol.) is Grundlage für die ständig steigende Zahl der Schadenersatzansprüche von Personen, is starker Lärmbelastung ausgesetzt waren, wurden neue Untersuchungen durchführt, um die Hörschwellenkurven von 500 nicht lärmgeschädigten Personen zu eritteln. Es ergab sich, daß Frauen im allgemeinen ein besseres Hörvermögen haben als änner und daß bei ihnen die individuellen Unterschiede nicht so groß sind. Bei beiden aschlechtern nimmt das Hörvermögen mit zunehmendem Alter ab, besonders bei den überen Tönne. Dieser Hörverlust tritt im Durchschnitt bei Männern früher auf und ist ößer als bei Frauen. Es wird daher vorgeschlagen, die Normalhörschwellenkurven in ukunft immer nach Geschlecht und Alter getrennt aufzuführen. M. Beyer.

-1209 Colin Cherry and B. McA. Sayers. On the mechanism of binaural fusion. J. acoust. oc. Amer. 31, 535, 1959, Nr. 4. (Apr.) (London, Engl., Univ., Imp. Coll., Dep. Electr. agng.) Antwort auf eine Kritik von David, Guttman und van Bergeijk (Ber. 38, 121, 1959) an einer Arbeit von Sayers und Cherry (J. acoust. Soc. Amer. 29, 973, 257) über den Verschmelzungsmechanismus beim beidohrigen Hören. M. Beyer.

1210 M. Loeb and A. J. Riopelle. Influence of loud contralateral stimulation on the reshold and perceived loudness of low-frequency tones. J. acoust. Soc. Amer. 32, 602 bis 0, 1960, Nr. 5. (Mai.) (Fort Knox, Kent., U. S. Army Med. Res. Lab., Psychol. Div.) in lauter Ton wird einem Ohr zugeführt, um einen akustischen Reflex zu aktivieren, id die resultierende Hörschwellenänderung des anderen Ohres für einen Testton wird emessen. Es wird die Hypothese aufgestellt und experimentell geprüft, daß der einmal tivierte Reflex laute Tone stärker schwächt als leise.

Diestel.

1211 W. N. Kellogg. Auditory perception of submerged objects by porpoises. J. acoust oc. Amer. 31, 1—6, 1959, Nr. 1. (Jan.) (Tallahassee, Flor., State Univ., Dep. Psychol.) is wurde die Fähigkeit zweier Tümmler geprüft, Gegenstände im Wasser durch Ausnden und Empfangen von akustischen Signalen zu erkennen und ihnen auszuweichen, einem reflexionsfreien Becken mit sehr trübem Wasser (Ausschaltung der visuellen rientierung) wurde eine Reihe von Versuchen durchgeführt. Dabei stellte sich heraus, is die Tiere beim Schwimmen und im Ruhezustand periodisch Serien von Wasserhallimpulsen aussandten. Die Signale wurden häufiger, wenn reflektierende Hindersse ins Wasser gehängt wurden. Die Tümmler fanden auf diese Weise die Fische, die nen als Nahrung dienten, und unterschieden sie von nicht eßbaren Objekten. Sie hwammen sogar bei Dunkelheit ohne anzustoßen durch ein Feld von Hindernissen dießen sich dabei nicht durch künstliche Störgeräusche beeinflussen. M. Beyer.

1212 H. W. Bodmann und E. Voit. Lichtfarbe und Farbwiedergabe bei kontinuierlicher rahlung mit überlagerten Spektrallinien. Lichttechnik 12, 359-361, 1960, Nr. 6. uni.) (Hamburg.) Testuntersuchungen über physiologisch empfundene Farbänderunn an Gebrauchsgegenständen, wenn diese durch einen Strahler beleuchtet werden, der kontinuierliches Spektrum (Farbtemperatur 2850°K) besitzt und dem verschieden arke Spektrallinien überlagert werden.

1213 N. J. Speranskaja. Bestimmung der Farbkoordinaten für 27 normale Beobachter. pt. i Spektrosk. 7, 710-719, 1959, Nr. 5. (Orig. russ.) v. Keussler.

XIII. Werkstoffe

1214 W. P. Techt und I. E. Tschernikowa. Röntgenographische Untersuchung des müdungsprozesses mit unabhängigem Normal. Fis. metall (russ.) 7, 142-145, 1959, r. 1. (Orig. russ.) (Moskau, Stahlinst.) Es wurde festgestellt, daß sich die Intensität

1215 - 1220

der Linie (310) a während des Ermüdungsprozesses nicht ändert, während sich die In sität der Linie (220)a vergrößert. Auf Grund dieser Ergebnisse kommen die Vff. zu o Schluß, daß sich beim Ermüdungsprozeß - außer den Verzerrungen dritter Ordnun H. R. Bachmani die Mosaikstruktur des Metalls ändert. (Zfg.)

- 4-1215 W. W. Wlassow. Defektoskopuntersuchungen an Eisenbahnschienen in sich wegenden magnetischen Feldern. 8. Ersatzschaltbild für die Wirbelströme im Schienenk Fis. metall. (russ.) 7, 159-160, 1959, Nr. 1. (Orig. russ.) H. R. Bachmanı
- A. Gene Collins and J. Wade Watkins. Spectrophotometric determination 4-1216 iodides and bromides in oil field brines. Analyt. Chem. 31, 1182-1184, 1959, No. (Juli.) (Bartlesville, Okla, U. S. Dep Interior, Bur. Mines, Petrol. Exp. Stat.) Es v über ein einfaches spektroskopisches Verfahren zur Bestimmung des Gehaltes an Jodi und Bromiden in bei Ölbohrungen anfallenden Solen berichtet. Die Jodide werden Nitrit zu Jod oxydiert und mit Tetrachlorkohlenstoff extrahiert. Die Absorption 517 nm wird gemessen. Nach der Entfernung der Jodide werden die Bromide mit Hy chlorit zu Brom oxydiert und ebenfalls mit Tetrachlorkohlenstoff extrahiert. Die Lös absorbiert bei 417 nm. Die Empfindlichkeit und Genauigkeit der Methode wird Kirchne kutiert.
- 4-1217 Olive G. Engel. Pits in metals caused by collision with liquid drops and r steel spheres. J. Res. nat. Bur. Stand. 64 A, 61-72, 1960, Nr. 1. (Jan./Febr.) (Wash Behnsel
- 4-1218 L. I. Rabkin, B. Sch. Epstein und Ja. G. Koblenz. Ferrite mit rechteck Hystereseschleife. Phys. Abh. Sowjetunion N. F. 2, 92-111, 1960, Nr. 2. (Übers. Elektrizität 1959, S. 59-68, Nr. 11.) Wie von den Vff. gezeigt wird, müssen sowohl kennzeichnenden magnetischen Größen als auch die Hauptparameter der Hyster schleife von Rechteckferriten im Hinblick auf deren praktische Anwendung bestimn Forderungen genügen. So sollen z. B. der Rechteckigkeitskoeffizient p = $Br/B_{max}l$ das Rechteckigkeitsverhältnis $k = B(-H_{max}/2)/B(H_{max})$ möglichst nahe bei liegen, während die Sättigungsmagnetisierung groß, die dynamische Koerzitivkraf und die Ummagnetisierungszeit 7 dagegen nach Möglichkeit klein sein sollen. Die haltung dieser Bedingungen ist weitgehend eine Frage der Zusammensetzung und Herstellungsverfahren. Am Beispiel dreier Ferritsorten wird das Verhalten dieser w tigsten Kenngrößen in Abhängigkeit von der Temperatur, der Frequenz bis 140 und der Feldstärke untersucht. Als Spitzenwerte bei dynamischem Betrieb (30 l $H_{max} = 2 \text{ Oe}$) werden angegeben: $B_{max} = 2800 \text{ G}$, p = 0.90, $H_{c} = 0.75$, $\tau = 0.13$ Abschließend bringt die Arbeit Beispiele für die Anwendung von Rechteckferriten in Speichermatrizen elektronischer Rechenmaschinen. Dabei werden insbesondere Begriffe "Matrix mit ebener bzw. linearer Auswahl" sowie "Transformator- und Dro Schritt-Schaltungen" eingehend erläutert. Zentgra
- A. B. Altman. Untersuchung der Sinterung von metallkeramischen Legieru auf der Grundlage des Systems Fe-Ni-Al. Fis. metall. (russ.) 6, 456-465, 1958, N (Orig. russ.) Die einzelnen Phasen des Sinterungsvorganges (3 Hauptstadien) we untersucht. Es zeigt sich, daß die starke Schrumpfung derartiger Legierungen nicht dem Auftreten einer flüssigen Phase zusammenhängt, die auch ganz fehlen kann Der Oxydfilm, der sich auf aluminiumhaltigen Körnern bildet, zerreißt beim Pre und hindert die Diffusionsvorgänge nicht. Nur zum Erzielen von Legierungen mit sonders günstigen magnetischen Eigenschaften soll man die Möglichkeit, daß sich Aluminium während der Erhitzung oxydiert, ausschließen. H. R. Bachman
- B. I. Archarow, M. I. Simonowa und M. K. Jut. Zur Textur von Eisenzu XII. Die Strukturänderungen im Zunder, wenn man die höhere Oxyde enthaltende A sphäre durch eine Wüstit enthaltende Atmosphäre ersetzt. Fis. metall. (russ.) 6, 444-1958, Nr. 3. (Orig. russ.) Die Versuche wurden in einer Atmosphäre aus Wasserda mit Luft durchgeführt, die bei 800 bis 1000°C mit dem niedrigsten Oxyd des Eisens, Wüstit, im Gleichgewicht war. Die höheren Oxyde im Zunder werden dabei zu

duziert, was durch Diffusion von Eisenionen erfolgt. Durch die dabei auftretenden olumenänderungen entstehen Spannungen, Risse, Rekristallisation und Textur.

H. R. Bachmann.

- 1221 S. A. Nemnonow und K. M. Kolobowa. Über die Wechselbeziehungen zwischen nigen Röntgenspektral- und Magnetkenngrößen von Legierungen auf Eisengrundlage. is, metall. (russ.) 6, 466—474, 1958, Nr. 3. (Orig. russ.) Die Asymmetrie der K_{α_1} und α_2 -Linie und die magnetischen Eigenschaften hängen beide mit der Anzahl der unaarigen 3d-Elektronen zusammen. Zur Prüfung dieser Annahme wurden die Liniensymmetrien als Funktionen der Aluminium- bzw. Zinkkonzentration in binären Legiengen auf Eisengrundlage aufgenommen.
- 7-1222 M. I. Sacharowa, I. A. Ignatowa und N. A. Chatanowa. Untersuchung der Phasenumwandlung $\gamma \rightarrow (\gamma + \alpha)$ in Legierungen von Eisen mit Nickel. Fis. metall. russ.) 6, 475-479, 1958, Nr. 3. (Orig. russ.) Untersucht wurden Legierungen mit 30 nd 32% Ni. Es zeigte sich eine besonders langsame Umwandlung bei 400°C.

H. R. Bachmann.

- -1223 S. K. Kosko. Die Änderungen der Blockabmessungen und der Verzerrungen weiter Art in der Alpha- und Gammaphase beim Anlassen von gehärtetem Chromstahl. Fis. 1961. (russ.) 6, 480—482, 1958, Nr. 3. (Orig. russ.) (Dnjepropetrowsk, Metall. Inst.) is wurde die Änderung der kristallinen Feinstruktur beim Übergang der Karbide von iner Zusammensetzung zur anderen untersucht. Dem Entstehen des Sonderkarbids ntspricht eine starke Verzerrung zweiter Art in den Kristallgittern der α- und γ-thase. Die Ausscheidung der Karbide ist von einem Aufspalten der Blöcke und einem lötzlichen Absinken der Verzerrungen zweiter Art in den Kristallgittern der festen α- und γ-Lösungen begleitet. (Zfg.)
- -1224 F. P. Stepanow. Einige Angaben über den Einfluß der Verfestigung durch lärtungsstrukturen auf die Wiederanlaßsprödigkeit von Stahl. Fis. metall. (russ.) 6, 83—486, 1958, Nr. 3. (Orig. russ.) Eine plastische Kaltverformung im gehärteten ustand verringert die Neigung zur Anlaßsprödigkeit.

 H. R. Bachmann.
- -1225 W. G. Sawizkij, K. W. Popow und L. A. Gaiworonskij. Untersuchung der ynamischen Biegung von Stählen anhand des Verformungsdiagramms. Fis. metall. (russ.), 133-136, 1959, Nr. 1. (Orig. russ.) Es wird eine Vergleichsuntersuchung der statischen und der dynamischen Biegung von mehreren Stählen mit Konstruktion der vollzändigen Verformungsdiagramme vorgelegt, zu deren Aufzeichnung bei der Schlagiegung ein Pendelschlagwerk mit Oszillographenanlage benutzt wurde. Es wurden eue Versuchsdaten über die Beziehungen zwischen den mechanischen Kenngrößen es Stahls bei dynamischen und statischen Versuchen erhalten. Es wurde gezeigt, daß er Wert der Schlagzähigkeit in erster Linie durch die Größe der plastischen Verfortung bestimmt wird und nicht durch den Wert der Festigkeit. (Zfg.)

H. R. Bachmann.

- 1226 T. D. Schermergow. Die Energieabsorption des Stahls bei plastischer Stauchung. is. metall. (russ.) 7, 146—150, 1959, Nr. 1. (Orig. russ.) Die latente Energie wurde für wei Stahlsorten experimentell bestimmt. Es wurde festgestellt, daß Stahl die Energie itensiver absorbiert als Kupfer. Die Ursachen sind die niedrigere homologe Temperatur der höhere Verformungswiderstand. Die je Prozent der wahren Verformung absorbierte Energie wächst für Stahl bei kleinen Verformungen und fällt bei großen ab, obei sie durch ein Maximum läuft, was mit der Theorie über Verfestigung und Erbung übereinstimmt. (Nach Zfg.)
- 1227 A. Keller und W. A. Stauffer. Verwendung von Stählen für Temperaturen vischen Raumtemperatur und -70°C. Schweiz. Arch. angew. Wiss. 26, 89-99, 1960, r. 3. (März.) (Zürich, Escher Wyss AG.)
- -1228 T. Yokobori. Stress criterion for fatigue fracture of steels. J. Mech. Phys. Solids 81-86, 1960, Nr. 2. (Mai.) (Sendai, Tohoku Univ.)

 Behnsch.

- 4-1229 T. S. Plaskett and W. C. Winegard. Cellular growth in tin alloys. Canad. Phys. 37, 1555—1557, 1959, Nr. 12. (Dez.) (Toronto, Ont., Univ., Dep. Metall. Engn TILLER und Mitarbeiter veröffentlichten 1953 eine Gleichung für den Beginn des de dritischen Wachstums in einer metallischen Schmelze, die sie (Ber. 36, 508, 1957) kubisch-flächenzentrierte Bleilegierungen experimentell bestätigten. Am Beispiel et Legierungen des Sn mit Pb, Bi und Sb wird gezeigt, daß diese Gleichung auf beliebt metallische Systeme ohne Rücksicht auf die Kristallographie des Lösungsmittels auch der Göhre.
- T. S. Plaskett and W. C. Winegard. Cell to dendrite transition in tin base allo 4-1230 Canad. J. Phys. 38, 1077-1088, 1960, Nr. 8. (Aug.) (Toronto, Univ., Dep. Meta Engng.) Es wird untersucht, ob die von TILLER (Ber. 36, 508, 1957; Canad. J. Phys. 729, 1956) an Pb-Sn-Legierungen gefundene Beziehung $G/R^{1/2}=A_0C_0/k_0$ (G = Te peraturgradient in der flüssigen Phase in Richtung auf die fest-flüssige Trennfläch R = Wachstumsgeschwindigkeit; A₀ = Orientierungsparameter; C₀ = Konzentrati des gelösten Stoffes und k_0 = Verteilungskoeffizient) auch für Legierungen mit völ anderer Struktur gültig ist. Hierzu wurde der Übergang vom zellenförmigen zum de dritischen Wachstum für binäre, zonengeschmolzene Zinnlegierungen mit 0,05 bis 0,50 A % Pb, 0,20 bis 1,00 At.-% Bi und 0,6 bis 2,4 At.-% Sb untersucht. Die Legierung wurden im Vakuum erschmolzen; das Wachstum des Erstarrungsgefüges wurde un Argon an der Trennfläche flüssig-fest beobachtet. Veränderung der Wachstumsbed gungen durch Veränderung des longitudinalen Temperaturgradienten des die be Zonenschmelzprozeß verwendeten Schiffchen umgebenden Röhrenofens und du Variation der Verschiebungsgeschwindigkeit des Gradienten längs der Probe. I Untersuchungen zeigen, daß die für Pb angegebene Beziehung in erster Näherung at für sehr schwach legierte Sn-Systeme gilt; für höhere Konzentrationen des gelös Stoffes ist es jedoch notwendig, die Zellengröße beim Übergang dt als Variable ein führen. Diskussion eines Zusammenhanges der Gültigkeit obiger Beziehung mit ko. Löschner
- 4–1231 D. E. Owsienko and E. I. Sosnina. Untersuchung der Struktur im Korninne eines Aluminiumblockes. Fis. metall. (russ.) 6, 433–443, 1958, Nr. 3. (Orig. rus Jedes Korn besteht aus "Fragmenten" oder "Zellen" der Größenordnung 10⁻² cm, offensichtlich Elemente einer Dendritenstruktur darstellen und die ihrerseits aus Mosablöcken der Größenordnung 10⁻³ cm bestehen. Dies wurde röntgenographisch und du Ätzungen festgestellt. Die Winkel zwischen den "Fragmenten" sind größer als Winkel zwischen den Mosaikblöcken. Die Mosaikblöckwinkel sind bei den Körnern Innern eines Gußblockes etwa dreimal so groß wie bei Körnern der Randzone, dages sind die Spannungen 2. Art offenbar in der Randzone größer. Die Unterschiede erkläsich aus den verschiedenen Bedingungen bei der Auskristallisation, vor allem aus der Verhalten der Beimischungen.
- 4-1232 S. W. Maslenkow, J. A. Skakow und J. S. Umanskij. Strukturänderungen Aluminiumbronze unter der Wirkung von plastischer Kaltverformung und Anlassen. Metall. (russ.) 7, 137-141, 1959, Nr. 1. (Orig. russ.) (Moskau, Stahlinst.) Elektron optische und röntgenographische Untersuchungen an einer einphasigen Legierung 8,02 Gew.-% Al und an einer zweiphasigen Legierung mit 12 Gew.-% Al zur Frage Aushärtung.
- 4-1233 J. J. Park and D. P. Fickle. *Uranium-platinum system*. J. Res. nat. Bur. Sta 64 A, 107-117, 1960, Nr. 1. (Jan./Febr.) (Washington, D. C.)

 Behnsch
- 4-1234 A. Münster und K. Sagel. Entmischungskurve und kritischer Punkt des Syst Gold-Platin. Z. phys. Chem. N. F. 23, 415-425, 1960, Nr. 5/6. (März.) (Frankf Main, Univ., Phys.-chem. Inst.; Metallges. AG., Met.-Lab.)

 H. Eber
- 4-1235 L. M. Clarebrough and M. H. Loretto. Order-disorder phenomena in α-br I. Development of order. Proc. roy. Soc. (A) 257, 326-337, 1960, Nr. 1290. (20. Se Zur Bestimmung der Ordnungsvorgänge in Messing unter Ausschaltung von Einflüs wie Abschrecken, Bestrahlung oder plastischer Verformung, wird die Ausbildung Ordnungszuständen an langsam abgekühlten (1/2° C min⁻¹ von Temperaturen oberh

er Rekristallisationstemperatur) und isotherm geglühten Proben (340 bis 2700 h bei 05 bis 225°C) untersucht. Bestimmung der Differenz der Energie, die zum Erwärmen er Probe notwendig ist, in bezug auf eine Cu-Standardprobe mit Hilfe eines Differentialalorimeters. Es sind die Kurven der Energiedissernz von langsam abgekühlten Proben ei Erwärmung auf 50 bis 400°C mit 2 bis 6°Cmin-1 und von isotherm geglühten roben bei Erwärmung auf 150 bis 250°C mit 2°Cmin-1 in Diagrammen zusammenestellt. Messung des elektrischen Widerstandes im Temperaturbereich 50 bis 270°C. Die Messungen ergaben eine maximale Energie von 0,86 cal · g-1. Die experimentellen Beobachtungen werden durch den Zerfall einer Fernbereichsordnung bei 245°C oder ei Temperaturen unter 245°C durch den bedeutend schnelleren Zerfall einer Nahereichsordnung interpretiert. Löschner.

-1236 L. M. Clarebrough, M. E. Hargreaves and M. H. Loretto. Dasselbe. II. Influence f quenching. Ebenda S. 338-362. Es wird der Einfluß einer Abschreckbehandlung von 00 und 600°C in Wasser und einer anschließenden Wärmebehandlung im Bereich von 0 bis 300°C auf den Ordnungszustand durch Messung der Absorptionsenergie, des elekrischen Widerstandes, der Dichte, der Gitterparameter und der Härte untersucht. Die in iner vorhergehenden Arbeit (vorst. Ref.) an langsam abgekühlten Proben festgestellte mwandlung vom ungeordneten zum teilweise geordneten Zustand wird durch Abchrecken unterdrückt. Von 600°C abgeschreckte Proben bilden bei einer anschließenen Wärmebehandlung unterhalb 160°C sehr schnell einen höheren Ordnungszustand ls langsam abgekühlte Proben. Von 300°C abgeschreckte Proben zeigen anfangs einen öheren Grad von Unordnung und einer langsameren Neuordnung. Der Ordnungsustand langsam abgekühlter Proben wird nach einer Wärmebehandlung bei 245°C ereicht. Die Aktivierungsenergie der Neuordnung wird mit 1,2 bzw. 1,7 eV angegeben, e nach Abschrecken der Probe von 600 bzw. 300°C. Die Ergebnisse werden durch einen zeerstellenmechanismus interpretiert. Veränderung der Härte durch Neuordnungsorgänge wird in abgeschreckten Proben nicht festgestellt.

4-1237 L. M. Clarebrough, M. E. Hargreaves and M. H. Loretto. Dasselbe. III. Inluence of plastic deformation. Ebenda S. 363-385. (Melbourne, Univ., C. S. I. R. O., Div. Tribophys.) In Fortsetzung vorangegangener Arbeiten (vorst. Reff.) wird durch dessung von Absorptionsenergie, elektrischem Widerstand, Dichte und Härte der Einluß einer Torsions- und einer Zugverformung (10 bis 60%) auf die Bildung von Ordungszuständen, Punktfehlstellen, Versetzungen und Stapelfehlern untersucht. Es bildet ich in verformten Alpha-Messingproben bei Erwärmung eine viel größere aufgespeiherte Energie als in reinen Metallen. Die aufgespeicherte Energie bildet sich in 3 Stufen. lin starker Abfall der Energie in den ersten 2 Stufen wird hauptsächlich der Wiederkehr ler durch plastische Verformung zerstörten Ordnung zugeschrieben. Stark kaltverormte Proben zeigen einen bedeutend größeren Unordnungsgrad als abgeschreckte Proben; geringere Kaltverformung (10%) verursacht dagegen eine schwache Zunahme les Ordnungsgrades. Erklärung der 3 Stufen durch Bildung von Leerstellen, Neuordung und Auflösung von Versetzungen, sowie durch Verformungsalterung und Erholung. or Beginn der 3. Stufe ist die Neuordnung vollständig. Aus Messungen des elektrischen Viderstandes wird auf eine hohe Konzentration von Stapelfehlern geschlossen. Das daximum der Härte stimmt mit dem Maximum des Ordnungsgrades überein.

Löschner.

-1238 A. J. Schinjajew. Diffusion in begrenzten festen Lösungen auf Nickelgrundlage. is. metall. (russ.) 6, 450-455, 1958, Nr. 3. (Orig. russ.) Mit Hilfe von radioaktiven sotopen wurde die Diffusion von Eisen in Legierungen von Nickel mit Ti, Cr, W und Al pei 920 bis 1250°C untersucht. In diesem ganzen Temperaturbereich gilt die gleiche Aktivierungsenergie für die Diffusion. Die Aktivierungsenergie steigt jeweils beim Überang von reinem Ni zu den Legierungen Ni-Ti, Ni-Ti-Cr und Ni-Ti-Cr-W-Al. Dabei esteht ein linearer Zusammenhang zwischen der Aktivierungsenergie und dem Loga-H. R. Bachmann. thmus des Faktors vor der Exponentialfunktion.

1239 T. C. Toye and E. R. Jones. Physical properties of certain liquid binary alloys of in and zinc. Proc. phys. Soc. Lond. 71, 88-99, 1958, Nr. 1 (Nr. 457). (1. Jan.) (Swanea, South Wales Labs., Brit. Iron Steel Res. Assoc.) Legierungen Zn-Al, Zn-Pb,

- Zn-Sn, Sn-Ag, Sn-Cu, Sn-Ni, Sn-Pb. Messung der Viskosität, Dichte und des spe fischen Widerstandes über Temperaturbereich beginnend einige Grade über Schme punkt. Die untersuchten Eigenschaften ändern sich nicht linear und zeigen Minima G. Schumann Eutektika und für die Löslichkeitsgrenzen.
- A. E. Berkowitz and P. J. Flanders. Precipitation in a beta-brass-Fe alloy. appl. Phys. 30, 1959, Suppl. zu Nr. 4, (Apr.) S. 1118-112S. (Philadelphia, Pen Franklin Inst., Labs. Res. Developm.) Einkristalle aus β-Messing mit 0,1% Fe wurd bei 3000°C und 400°C getempert, um feinste Ausscheidungspartikel aus Fe zu erhalt Zwischen den jeweiligen Glübehandlungen wurden die magnetischen Daten gemess Das magnetische Verhalten der ausgeschiedenen Partikel wird in Abhängigkeit v Gengnagel ihrer Größe, Gestalt und Orientierung diskutiert.
- 4-1241 C. W. Chen and G. W. Wiener. Brittleness of cobalt-iron alloys. J. appl. Phys. 1959, Suppl. zu Nr. 4, (Apr.) S. 199S-201S. (Pittsburgh, Penn., Westinghouse R Labs.) Vff. ziehen aus ihren Untersuchungen an Co-Fe-V und Co-Fe-Cr den Schl daß eine Ursache für die Sprödigkeit dieser Legierungen der Wasserstoff während Glühbehandlung ist. Weiterhin zeigt sich, daß die härtende Wirkung des Ordnun zustandes der Co-Fe-Legierungen (ohne Zusatz von Cr oder V) nicht allein verantwo lich gemacht werden kann für die Sprödigkeit dieser Legierungen, sondern irgend anderer Mechanismus, dessen Ursprung bisher noch nicht voll geklärt werden konn scheint die mechanischen Eigenschaften von Co-Fe zu bestimmen. Gengnagel
- 4-1242 O. W. Kljawin und A. W. Stepanow. Untersuchung der mechanischen Eig schaften von Metallen bei Heliumtemperaturen. Phys. Abh. Sowjetunion N. F. $2,323-\overline{3}$ 1960, Nr. 4. (Übers, aus: Fis. Twerd. Tela 1, 1733—1735, 1959.) (Leningrad, Ak Wiss., Phys. Tech. Inst.)
 V. Weidemann
- H. Lueg. Deutung des Verhaltens von Mikrowellenferriten mittels erzwunge Präzessionsbewegungen von Kreiseln. Telefunkenztg 33, 132-140, 1960, Nr. 128. (Ju Das Modell des mechanischen Kreisels mit erzwungener Präzessionsbewegung erweist s als sehr geeignet zur Beschreibung der Elektronenresonanz in Mikrowellenferriten. die makroskopische Magnetisierung weitgehend klassischen Bewegungsgesetzen horcht, läßt sich ein einzelnes Elektron mit seinem Spin, das in einem magnetischen F präzediert, in Analogie zum mechanischen Kreiselmodell setzen. So kann z. B. Wirkungsweise eines Mikrowellenferrits als nicht reziproker Übertrager dadurch deutet werden, daß man die Beeinflussung der Präzessionsbewegung eines Kreisels du zirkular polarisierte Kräfte betrachtet, die entweder die gleiche oder die entgeg gesetzte Umlaufrichtung wie der präzedierende Kreisel haben. Als Folge davon ergel sich völlig verschiedenartige Verhaltensweisen des Kreisels und nur im ersten Fall ka es zu ausgeprägten Resonanzerscheinungen kommen, die wir auch beim Ferrit be achten können. Auch das Auftreten von negativen Permeabilitäten bei solchen Frequ zen des erregenden, zirkular polarisierten Feldes, die genügend oberhalb der Resons liegen, findet ein mechanisches Analogon, indem sich die Kreiselachse bei diesen hol Frequenzen gegen die Richtung der angreifenden Kraft einstellt. Zentgraf
- J. Peters and K. J. Standley. The dielectric behaviour of magnesium mangar ferrite. Proc. phys. Soc. Lond. 71, 131-133, 1958, Nr. 1 (Nr. 457). (1. Jan.) (Notti ham, Univ., Dep. Phys.) Ferrit der ungefähren Zusammensetzung 0,9 MgO, 0,1 M 0,8 Fe₂O₃ mit magnetischem Curie-Punkt ca. 300°C. Messungen des spezifischen Wic standes und der Dielektrizitätskonstante bei 20 und 200°C für Frequenzen von 102 108 Hz. Sehr verschiedenes Verhalten bei verschiedenen Temperaturen und verschie nen Frequenzen. Versuch einer Deutung durch Relaxation permanenter Dipole int halb des Ferrits. G. Schumann
- 4-1245 S. Krupicka and K. Zaveta. The influence of the valency states of cations electrical conductivity of Mg-Mn ferrite. J. Electronics (1) 6, 333-336, 1959, Nr (Apr.) (Prague, Acad. Sci., Inst. Tech. Phys.) Anknüpfend an eine Arbeit von BLA

tan erklären Vff. die erhebliche Steigerung des Widerstandes durch Mn-Zusatz bei Ferriten mit unterstöchiometrischem Fe-Gehalt durch die Bildung stabiler Ionenpaare In⁴⁺ Fe²⁺. Hierdurch wird der für die Leitfähigkeit maßgebende Elektronenübergang Fo²⁺ ↔ Fe³⁺ behindert.

v. Klitzing.

M. McCaig and W. Wright. Variation of permanent-magnet properties with rystal orientation in columnar crystal alloys. Brit. J. appl. Phys. 11, 279—281, 1960, Nr. 7. (Juli.) (Sheffield, Cent. Res. Lab., Permanent Magn. Assoc.) An kommerziellen Alnico-Magneten mit Stengelkristallisation werden die Remanenz B_r, die Koerzitivsraft H_c und das maximale Energieprodukt (B·H)_{max} in Abhängigkeit vom Winkel zur Stengelachse gemessen und die Ergebnisse mit der Theorie (vor allem STONER und WOHLFARTH, Phil. Trans. Roy. Soc. (A) 240, 599, 1948 und WOHLFARTH, Ber. 39, Nr. 4—1222, 1960) verglichen. Zwei Proben aus verschiedenen Chargen wurden dazu acheinander unter verschiedenen Winkeln angeschliffen. Eine Magnetfeldabkühlung varallel zur mittleren Stengelachse war vorausgegangen. Der Verlauf von B_r mit zurehmendem Winkel läßt sich bis 60° theoretisch gut beschreiben, während H_c und B·H)_{max} viel weniger steil abfallen als die Theorie es verlangt, auch wenn man die föntgenographisch bestimmte Streuung der Stengelachsen berücksichtigt. Inhomogene Orehung der Magnetisierung und gegenseitige Beeinflussung der Bereiche können die Ursache sein.

1-1247 W. N. Bogoslowski. Röntgenographische Untersuchung der Reduktionsprozesse viniger Ferrite. Phys. Abh. Sowjetunion N. F. 2, 482—487, 1960, Nr. 6. (Übers. aus: Fis. metall. 8, 857—860, 1959.) Es wurden die Reduktionsprodukte von Nickel- und Kupferriten nach Reduktion durch Graphit im Vakuum und des Nickelferrits nach Reduktion durch Wasserstoff untersucht. Die erhaltenen Daten erlauben ein Urteil über die Rolle der Volumen- und Oberstächendission bei der Reduktion von Mischwyden und geben auch einen qualitativen Überblick über die relative Größe der Binlungskrätte zwischen den Nickel- und Kupferionen und dem Sauerstoff im Vergleich zu den Bindungskräften zwischen Sauerstossionen und Eisen in diesen Ferriten (Zfg.).

H. R. Bachmann.

1-1248 G. S. Kandaurowa, J. S. Schur und F. W. Maslennikowa. Abhängigkeit der nagnetischen Struktur eines Kobalt-Kristalls von dessen Größe. Sh. exp. teor. Fis. 38, 60-63, 1960, Nr. 1. (Orig. russ.) Die Abhängigkeit der magnetischen Struktur von der Kristallitgröße, speziell der Übergang zur Eindomänenstruktur bei sehr feinen Pulvern lat zwei Gründe: Wenn die Grundbereiche (SCHUR-ABELS, Dokl. A. N. SSSR, 104, 209, 1955) durch den ganzen Kristall gehen, besteht zwischen ihrer Breite d und Länge L in Magnetisierungsrichtung) der eindeutige Zusammenhang d $\sim V L$; Form und Größe der Sperrgebiete hängen ebenfalls mit der Größe der Grundgebiete zusammen. Bei sehr deinen Teilchen wird die Bildung von Sperrgebieten unmöglich (Ber. **39**, Nr. 11–1233, *1960*). vff. untersuchen visuell (nach der Methode der Pulverfiguren) die Änderung der magnetichen Struktur eines Co-Einkristalls an der Basisfläche bei Abnahme der Dicke von 515 uf 15μ. Unterhalb von 200μ ändert sich tatsächlich die Domänenbreite proportional zur Vurzel aus der Kristalldicke; bei größeren Dicken treten Abweichungen auf. Der Proportionalitätsfaktor zwischen d und VL ergibt sich zu 0,43 (Längen in μ). Zur Deutung vird angenommen, daß die Ausgangsstruktur aus zwei Typen von Bereichen besteht: rundbereiche, welche die ganze Kristalldicke durchsetzen und kegel- oder keilförmige usatzbereiche. In allen Bereichen zeigt die Magnetisierung in Richtung der hexagonalen Achse. Macht man den Kristall dünner, so verkleinern sich und verschwinden vorviegend die Zusatzbereiche. Wie schon KITTEL (Phys. Rev. 70, 965, 1946) zeigte, wird rei sehr dünnen Schichten ($\lesssim 10^{-5}$ cm) eine magnetische Struktur mit offenen magnetichen Strömen (ohne Sperrbereiche) in Form prismatischer Schichten energetisch vorteilafter, wenn man die Abnahme der magnetostatischen Energie des Kristalls durch Desorientierung der Magnetisierungsvektoren in der Nähe der Oberfläche berücksichtigt; nan kann dann folgern, daß in einem magnetisch einachsigen Kristall eine Struktur ohne usatzbereiche auch bei höheren Dicken als bei 10⁻⁵ cm stabil ist. So erklärt sich auch lie Pulverstruktur, speziell die Existenz wellenförmiger, nicht zur Kristallobersläche enkrechter Grenzen.

- 4-1249 N. W. Wolkenstein und M. I. Turtschinskaja. Anisotropie der Magnetisieru einer ungeordneten Legierung Ni3Mn bei Heliumtemperaturen. Sh. exp. teor. Fis. 270-271, 1960, Nr. 1. (Orig. russ.) Kommutationskurven der Magnetisierung an po kristallinem Ni₃Mn bei Heliumtemperaturen laufen wesentlich tiefer als bei Wassersto temperaturen und erreichen auch bei 104-105 Oe noch keine Sättigung. Um festz stellen, ob dies auf einer steilen Temperaturabhängigkeit der magnetischen Anisotro beruht, nahmen Vff. Magnetisierungskurven an einem Einkristall $(1,2\times1,2\times18$ mikubisch flächenzentriertes Gitter) in verschiedenen kristallographischen Richtung bei Zimmer-, Stickstoff-, Wasserstoff- und Heliumtemperaturen auf. Bei Zimm temperatur besteht für alle Richtungen eine lineare Abhängigkeit Induktion-Feld u keine Anisotropie. Beim Übergang zu Stickstosstemperaturen nimmt 4π I(H) ein "ferromagnetischen" Typ an, außerdem zeigt sich eine Anisotropie, die beim Überga zu H-Temperatur wächst, sich aber bis zu He-Temperatur nicht mehr sehr ändert. I alle Temperaturen mit Anisotropie (77,8-4,2°K) ist die [100]-Richtung am schwerst [111] am leichtesten magnetisierbar. Trotz der unerheblichen Änderung von 20,4-4,2(gemessen durch die Fläche zwischen [110]- und [111]-Kurve) laufen beide Kurven 4,2° wesentlich tiefer als bei 20,4°; die Sättigung wird bei 1200-1400 Oe erreicht. Koerzitivkraft hat bei N-Temperatur in allen Richtungen die Größenordnung 0,1 bei H-Temperatur 1 Oe; die Werte bei den magnetisch viel härteren polykristalli Proben liegen drei Größenordnungen höher. Statt einer Zunahme der Anisotropie Abkühlung wird zur Deutung der Zunahme des Sättigungsfeldes ein Übergang aus d ferromagnetischen in den antiferromagnetischen Zustand mit niedrigen kritisch Feldern ($\leq 10^3$ Oe) angenommen, bei denen magnetische Sättigung (Parallelität Voge! Magnetisierungen der Untergitter) erreicht wird.
- 4-1250 R. E. Alley jr. and V. E. Legg. Effects of hydrostatic pressure on the proper of magnetic materials. J. appl. Phys. 31, 1960, Suppl. zu Nr. 5, (Mai.) S. 239S-24 (S. B.) (Whippany, N. J., Bell Tel. Labs., Inc.)
- 4-1251 Peter J. Wojtowicz. High-temperature susceptibility of ferrimagnetic spir J. appl. Phys. 31, 1960, Suppl. zu Nr. 5, (Mai.) S. 265S-266S. (S. B.) (Princeton, N. Radio Corp., RCA Labs.)
- 4-1252 A. W. Overhauser. Mechanism of antiferromagnetism in dilute alloys. J. a Phys. 31, 1960, Suppl. zu Nr. 5, (Mai.) S. 317S. (S. B.) (Deaborn, Mich., Ford McCo., Sci. Lab.)
- 4-1253 M. K. Wilkinson, H. R. Child, J. W. Cable, E. O. Wollan and W. C. Koef Neutron diffraction investigations of the magnetic ordering in rare earth nitrides. J. a Phys. 31, 1960, Suppl. zu Nr. 5, (Mai.) S. 358S-359S. (S. B.) (Oak Ridge, Te Nat. Lab.)
- 4-1254 N. A. Smolkow und S. A. Gustschina. Nickel-Cadmium-Ferrite. Phys. A Sowjetunion N. F. 2, 303-308, 1960, Nr. 4. (Übers. aus: Fis. metall. 8, 557-1959, Nr. 4.) (Moskau, Staatl. Lomonossow-Univ.) V. Weidemann
- 4-1255 C. M. Hunt, L. A. Tomes and R. L. Blaine. Some effects of aging on the sur area of portland cement paste. J. Res. nat. Bur. Stand. 64 A, 163-169, 1960, N (März/Apr.) (Washington, D. C.)
- 4-1256 Jacques le Bot. Contribution à l'étude diélectrique de la prise des ciments. C Acad. Sci. Paris 250, 1640-1642, 1960, Nr. 9. (29. Febr.) (S. B.) (Rennes, Fac. S Behnsc
- 4-1257 W. A. Weyl and E. Chostner Marboe. Formation of amorphous solids characterization of their structures by energy profiles. J. Soc. Glass Tech. 43, 191T-21 1959, Nr. 212. (Juni.) (University Park, Penn., State Univ., Coll. Mineral Ind.) Rönt amorphe Stoffe der gleichen Substanz können sehr verschiedene Strukturen aufwei Die Unterschiede werden in erster Linie durch die Fehlstellenverteilung und Offächenbeschaffenheit bestimmt, die durch Potentialschwellen dargestellt wei

1961

können. Insbesondere werden die amorphen Zustände der Kieselsäure und des Vycorclases qualitativ im Lichte der Potentialschwellenvorstellung behandelt, ihre Verchiedenheit diskutiert, die Änderung durch thermische Behandlung und die Kinetik der möglichen Reaktionen im festen Zustand auf der gleichen Basis aufgezeigt.

Brückner.

4-1258 P. G. Kalman. The calculation of stresses induced in glass by quenching. J. Soc. Glass Tech. 43, 211 T-233 T, 1959, Nr. 212. (Juni.) (London, Imper. Coll Sci. Technol., Dep. Elect. Engng.) Im Gegensatz zu kristallinen Stoffen besteht bei Gläsern die grundsätzliche Schwierigkeit in der Bestimmung derjenigen Temperatur, von der an die Relaxationszeiten so groß sind, daß sie als Festkörper angesehen werden können. In der vorliegenden Arbeit wird die untere Entspannungstemperatur, entsprechend einer Zähigkeit von 10^{14,6} Poise, als "Verfestigungstemperatur" festgelegt. Unterhalb dieser Temperatur können Spannungen einfrieren, darüber nicht. Unter dieser Voraussetzung wird eine Berechnungsmethode für den Spannungszustand angegeben, die in zwei Schritten erfolgt: Eine Spannungsverteilung, die durch das Vorrücken der Verfestigungstemperatur in das Glasinnere gegeben ist (Verfestigungsspannung I) und eine solche, die durch den Abbau der Temperaturgradienten beim Abkühlen unterhalb der Versestigungstemperatur aufgebaut wird (Ausgleichsspannung II). In II ist mit zeitlich konstanten, in I mit zeitlich veränderlichen Grenzen zu rechnen. Letzteres Problem wird dadurch vereinfacht, indem die Temperatur-Zeit-Funktion in die Gleichung für die thermische Spannung mit festen Grenzen eingesetzt und dann zeitlich integriert wird. In dieser Methode finden die verzögerte Elastizität, thermische Vorgeschichte und die Spannungsabhängigkeit der entsprechenden physikalischen Eigenschaften (Viskosität, Ausdehnung usw.) keine Berücksichtigung. An den Beispielen einer Kreisscheibe und Kugel mit vorgegebener Abkühlfunktion wird das Verfahren ausführlich erläutert.

Brückner.

4-1259 W. E. S. Turner. Studies in ancient glasses and glassmaking processes. VI. The composition and physical characteristic of the glasses of the Portland Vase. J. Soc. Glass Tech. 43, 262 T — 284 T, 1959, Nr. 213 (Aug.) Vf. stellt eingehend die Methoden und Ergebnisse der mit vielen Mitarbeitern erfolgten Untersuchungen einiger kleiner Splitter der aus der Zeit kurz vor Christi Geburt oder dem ersten nachchristlichen Jahrhundert stammenden Vase dar. Zusammensetzung des blauen Bodenglases (in %): 65,7 SiO₂, 2,4 Al₂O₃, 2,3 Fe₂O₃, 0,18 P₂O₅, 9,0 CaO, 0,6 MgO, 16,2 Na₂O, 1,0 K₂O, 1,6 MnO₂, 0,5 CuO, 0,12 CoO. Opalglas aus einem der Vase gleichartigen Medaillon (in %): 60,0 SiO₂, 2,8 Al₂O₃, 0,45 Fe₂O₃, 0,13 P₂O₅, 8,8 Sb₂O₅. 8,3 CaO, 1,1 MgO, 15,8 Na₂O, 0,7 K₂O, 1,2 SO₃. Als aktive Opalkomponente ergab sich aus Röntgenbeugungsmessungen Ca₂Sb₂O₇. Wichte des blauen Glases 2,56, Brechungsindex 1,532. Die spektrale Transmission des blauen Glases zeigt den starken Einfluß von Co, der hauptsächlich von Fe und Mn modifiziert wird. Genauer wurde die Rolle der färbenden Komponenten durch Versuchsschmelzen mit CoO, CuO, Fe₂O₃ und Mn₂O₃ festgestellt.

Itikhar Mohyuddin and R. W. Douglas. Some observations of the anelasticity of glasses. Phys. Chem. Glasses 1, 71–86, 1950, Nr. 3. (Juni.) (Sheffield, Univ., Dep. Glass Technol.) Die Messungen beziehen sich auf die bereits bekannten beiden Dämpfungsnaxima von Torsionsschwingungen an binären Alkali und ternären Alkali-Kalk-Gilikatgläsern. Die Ursache des ersten Maximum bei etwa 10°C wird auf die Diffusion om Alkaliionen, die Ursache des zweiten Maximum bei etwa 230°C auf die Diffusion von Sauerstoffionen zurückgeführt. Im wesentlichen stützt sich diese Deutung auf die ungefähre Gleichheit der Aktivierungsenergien dieser Dämpfungsmaxima mit denen der dektrischen Leitfähigkeit von Alkaliionen und der Diffusion von Sauerstoffionen in Aläsern. Die Untergrunddämpfung, die bei Temperaturen über 300°C schnell ansteigt, wird der verzögerten Elastizität des Glasnetzwerkes zugeschrieben und ändert sich mit Brückner.

4-1261 H.-J. Engell. Oberflächenschichten auf Metallen. Chem.-Ing. Tech. 32, 22 -- 29, 4960, Nr. 1. (Jan.) (Düsseldorf, Max-Planck-Inst. Eisenforsch.) Vf. gibt eine Übersicht über die Vorgänge bei der Bildung von Oberflächenschichten auf Metallen in wäßrigen

Lösungen und bei der Bildung von Oberflächenschichten durch Reaktion von Metall mit Gasen. Es wird der Mechanismus für den Aufbau sowie die Zerstörung von Kor sionsschichten bei reinen Metallen behandelt und aufgezeigt, wie diese Vorgänge dur Legierungselemente oder Zusätze zum Korrosionsmedium beeinflußt werden.

4-1262 L. E. Preuß und C. E. Alt. Die Verdampfung von Metallen im Vakuum in Ahängigkeit von ihrer Verteilung auf der Verdampfungsunterlage. I., II. u. III. Vakuu Tech. 9, 93-100, 121-128, 155-163, 1960, Nr. 4 (Mai.), 5 (Juli.) u. 6. (Sept.) (Detro E. B. Ford, Inst. Med. Res., Phys. Dep.) Mittels einer engen Öffnung (75-500 µ wird die Verdampfungsquelle und ihre Umgebung nach dem Lochkameraprinzip dur die eigenen Molekularstrahlen auf eine gläserne Auffangplatte "abgebildet". Da c Niederschlag in den meisten Fällen kaum oder gar nicht sichtbar ist, werden im O Ridge-Reaktor erhaltene radioaktive Isotope der Metalle (188W, 198Au, 51Cr) für die V dampfung mitverwendet und das "Bild" autoradiographisch auf eine Photoplakopiert; so können auch bei weniger als 1 mg gesamter verdampfter Menge noch Bile erhalten werden. Das Verfahren wird im ersten Teil ausführlich beschrieben, die beid folgenden Teile bringen zahlreiche eindrucksvolle, unter verschiedenen Bedingungen haltene Aufnahmen an geraden, V-, wendel- oder korbförmig geformten Verdampfundrähten. Die Bilder zeigen die Verteilung des Verdampfungsgutes auf dem Heizder sowie die Streuung der Atome an ihm; bei höherem Druck des Restgases ist auch Streuung an diesem deutlich zu sehen.

4-1263 Rolf Zetzsche. Beitrag zur Erklärung der Vorgänge beim elektrolytischen Polie von Metallen. Jena. Jb. 1959, Teil II, S. 300-360. Die anodische Abtragung unter Ewirkung verschiedener Elektrolyte wird an Messing, Ni, V2A-Stahl, Armco-Eisen, Fe silber, Al, Ag, Werkzeugstahl, Co und Sn mikroskopisch mittels Schlierenverfahrens udurch Messung des Zeitverlaufs des Ohmschen Widerstandes u. a. bei Ultraschalle wirkung verfolgt. Bei niedrigerer Spannung wird die Oberfläche ungleichnäßig getragen, bei höherer Spannung gleichmäßig poliert. Im ersten Fall eintsteht oberflälich eine schlechtleitende poröse, abbröckelnde Schicht, im zweiten Fall eine z. B. Ag 0,025 mm dicke Schicht großer Zähigkeit. Die beobachteten zwei verschieder Typen von Strom-Spannungskurven werden u. a. mit Sauerstoffentwicklung in Vbindung gebracht. Die Strömungsprozesse im Elektrolyten werden eingehend untersu und auf ihre Bedeutung hingewiesen.

4-1264 L. E. Samuels. Modern ideas on the mechanical polishing of metals. Resea Lond. 13, 344-349, 1960, Nr. 9. (Sept.) (Sydney, Austral. Def. Sci. Serv., Def. Sta Labs.) Vf. untersucht die beim mechanischen Polieren auftretenden Vorgänge i beantwortet die Frage, ob hierbei eine Beilby-Schicht entsteht. An Hand verschiede Untersuchungsmethoden — u. a. mit Elektronenstrahlen — kommt er zu dem Schl daß das mechanische Polieren mit losem Poliermittel ein reiner Schneidvorgang ist, d aber andere Einflüsse überlagert sein können. Durch eine mit dem Schneidvorg parallellaufende plastische Verformung werden die Kristallite an der Oberfläche immer kleineren Fragmenten zertrümmert. Grad und Tiefe der Zertrümmerung hän von den Polierbedingungen ab. Es erscheint sicher, daß die polierte Oberfläche vö kristallin bleibt und daß keine amorphe Beilby-Schicht entsteht. - Andersgeartet der Mechanismus des Prägepolierens ohne Polierkorn. Hier erfolgt kein Schneiden, s dern ein Glätten und Flachdrücken der Erhebungen, wobei hohe Temperaturen an deformierten Rauheitsspitzen auftreten können. Die hierbei entstehenden schwe Zerstörungen an der Oberfläche bewirken, daß die Grenzschicht ihren kristallinen C rakter verliert und daher dem amorphen Aufbau einer BEILBY-Schicht ähnelt.

v. Weingraber 4-1265 Alexander Matting und Karl Friedrich Hahn. Eigenschaften von Met klebern und das Verhalten von Leichtmetall-Klebverbindungen. V.D.I.-Z. 101, 1448-44 1959, Nr. 31. (1. Nov.) (Hannover.)

Namenregister von Heft 4, 1961 der Physikalischen Berichte

bolinsh, I. I 761	Babuska, I. 1091, 1092	Benade, A. H 347, 961	Dongunor M A 640
bonyi, I 547	Bachelet, F. 1022, 1023	Bondon D A 020	Borzunov, N. A 648
braham, A 750	Bachmann, KH 39	Bender, P. A 656 Berckhemer, H 1165	Bot, J. le 1256
dachi, S 531	Bacon, J. F 278		Bottazzi, H. J 191
dam, M. G 75	Badareu, E 712	Berger, M. J 996	Boudart, M 1152
dams, J. B 4		Berkowitz, A. E 1240	Bourret, R 207
	Bäckström, G 936	Berman, R 489	Bowen, J. I 538
fanasjewa, J. A 755	Gaglin, J. E. E 999	Bernstein, I. B 645	Bowman,
gdur, B 421	Bahadur, K 423	Berreman, D. W 639	G. G 1178, 1179
girbiceanu, I 1030	Bak, M. A 843	Berry, R. J 505	Bowman, H. A 257
glincev, K. K 827	Bakker, C. J 4	Bertsch, C. V 181	Bozorth, R. M. 627, 628
granovskaya, A. I. 740	Balarin, M 1079	Bessis, G 1041	Bradley, D. E 425
hsmann, G. J. M 722	Balashov, V. V 905	Beyer, R. T 35, 344	Bradley, G. E 166
kacasu, A. Z 857	Balata, P 1022, 1023	Biagi, F 352	Brady, L. E 411
khiezer, A. N 789	Balian, R 982	Bialy, H 45	Brahmachary,
kishin, P. A 417	Balke, S 853	Bibermann, L. M. 1058	R. L 248
lbertoni, S 533	Balser, M 1177	Bier, K 837	Brandt, J. C 1172
lbrecht, J. W 958	Bander, M 893	Biermann, L 98	Brandt, N. B 629
lekseev, V. A 387	Banerjee, H 215	Biermann, W 703	Bratoz, S 1041
lexander, J. M 276	Barabashov, N. P. 95	Bilaniuk, O. M 929	Braunersreuter, E 673
lexander, K. F 981	Barber, M. R 808	Bilwes, R 924	Breazeale, M. A 340
lexandrov, I. P 7	Barbier, D 108	Bilz, H 279	Bredel, V 981
lexandrow, A. P 606	Barchuk, I. F 992	Bindal, V. N 338	Breit, G 911
lford, W. L 971	Barnes, G 27, 156	Bingham, H. H 660	Brewer, R. C 276
li, S. A	Barnes, J. F 1080	Bir, G. L 671	Brezina, B 760
lkemade, C. T. J 794	Barnes, R. S 959	Bjelow, K. P 659	Brick, V. A 58
llen, C. H 331	Baroni, E. E 974	Black, J 684	Bridgman, P. W 13
llen, F. G 187	Barreau, P 1005	Blackman,	Briegleb, G 668
llen, J. W 700	Barrer, R. M 523	L. C. F 682, 683	Brinckmann, H. F. 815
lley jr., R. E 1250	Barrie, R 674	Bladel, J. van 47	Brinkley, T. A 928
llkofer, OC 1011	Barry, L. K 122	Blaham, M 90	Bromley, D. A. 920, 1057
llred, W. P 1084	Barsukov, Y. K 676	Blaine, L. R 1049	Bron, W. E 436, 437
Imqvist, E 920	Bartenev, G. M 486	Blaine, R. L 1255	Brook, M 1188
It, C. E 1262	Bartholomeyczyk,	Blair, A. G 973	Brown, F. W 780
Itman, A. B 1219	W 371	Blake, P. G 522	Brown, J. J 828
lväger, T. 832, 912, 913	Bartlett, A. A 182	Bliodze, I. A 974	Brown, R. A. S 292
melinckx, S 1098	Bartunek, P. F 125	Blumberg, A. A 54	Brown, R. M 1205
nanthanarayanan,	Baryshnikov, A. I 993	Blumberg, W. E 595	Brown, S. C 133
N. I 572	Bassali, W. A 272	Bocchieri, P 533	Brown, T. B 177
nderson, A. E 801	Bastin, J. A 657	Bodmann, H. W 1212	Brückner. R. 1125, 1126
nderson, D. C 989	Batdorf, R. L 1108	Boehm, F 949	Bruijn, P. J 500
nderson, J. C 598	Batey, H 186	Boehm, H. P 1133	Bruner, H. D 128
aderson, O. L 1132	Bauer, C. L 1088	Böhm-Vitense, E 100	Buck, T. M 187
ndrä, W 1158	Baum, W. A 64	Boerboom, A. J. H. 835	Budde, E 1202
ngleman, C. C 972	Baumann, E 140	Bogatschew, N. P 966	Bueche, A. M 319
nselm, A. A 219	Bayer, E 859	Bogdanov, G. F 922	Bühler, K 1051
ntonoff-Romanow-	Beard, G. B 915	Boggess, R. L 250	Büttner, J 816
ski, W. W 444, 445	Becker, E. W 861	Bogorodizki, N. P 731	Bufler, H 265
aufriewa, E. W 456	Beckey, H. D 839	Bogoslowski, W. N. 1247	Gugay, N. D 787
rcharow, B. I 1220	Behnke, C 1200	Bohm, D 222	Bugnolo, D. S 1174
rdenne, M. von 840	Bekesy, G. von 1204	Bohun, A. 451, 773, 1095	Buldyrev, V. S 784
refev, A. A 796	Beleanova, T. S 993	Boischot, A 82	Bulgakov, B. M 717
rends, E 514	Belar, H 335	Bokuj, B. W 405	Bund, G. W 881
raold, J. R 1021	Belenkii, S. Z 1018	Boll, R 582	Bunjatow, S. A 966
enold jr., W. H 229	Beliakova, P. E 465	Bolyunova, A. D. 1173	Burge, E. J 356
nowitt, R 243	Bell, B 92	Boorse, H. A 176	Burkhard, M. D 352
tyukov, G. Y 993	Bellicard, J. B 1005	Boos, E. G 1017	Burwell, J. R 954
kovitz, S. I 151	Bellman, R 40	Borg, G 260	Butcher, K. L 121
ack, D 318	Belogurov, V. N 772	Borisow, B. S 341	Buthod, A. P 336
ıgarde, R 70	Belyaev, A. F 530	Born jr, J. H 501	Butler, D. S 48
wano, M 499	Ben-Aim, R 526	Borowski, I. B 665	Buzzelli, G 1127

			4 4
Carjuzaa, C. R 546	Cross, S. H 185	Drewes, G. W. J 908	Filimonov, A. A
Carlson, M 103	Csada, I. K 93 Cüer, P 924 Cuevas, M 680	Dreyfus, B 626	Ellimonov, V. N.
Carlson, M	Cher. P 924	Drosdow, S. I 234	Filippow, G. F
Carstensen, E. L 328	Cuevas, M 680	Dubbeldam, P. S 998	Fingerland, A
Cartwright H M 416	Culick, F. E. C 1151	Duchesne, M 70, 807	Fink, C Fink, R. W Finkelstein, B. N.
Case, K. M 284, 286	Curtis, W. E.	Düker, H 424	Fink, R. W
Case, K. M 204, 200		Dumont S 81	Finkelstein, B. N.
Cayrel, R		Dumont, S 81 Dunford, H. B 724	Fimkelstein, D
Cerulus, F 209	Czapp, B 919	Dupre, M. F 70	Finley I. W
Chaikin, A. M 299	Czekalla, J 668 Czepa, O 1195		Finley, L. W Finocchiaro, G
Chait, J. L 701	Czepa, O 1195	Durieux, M 458	Finocemaro, G
Chalonge, D 109		Durieux, M 458 Dutta, B. C 455	Finzi, R
Chamberlain, J. W. 1172	Dagg, I. R 351	Dyson, F. J 285	Firk, F. W. K 845
Chanin, J. I 606	Daiyasu, K 892	Dzampov, B. V 464	FIFOR, J
Chapdelaine, M 214	Dalfes, A 857	Dzhelepov, B. S 943	Fischer, G. J
Chapman S 1160	Dalfes, A 857 Daniels, J. M 601	Dziesiaty, J 749	Fisher, I. Z.
Chapman, S 1169 Charlton, M. G 1138	Danishevskii, S. K. 769	25210521053, 5 11 11 11 11 11 11	Fisher, M. E 591,
Chatanarra N A 1999	Danti A 1040	Easley, J. W 694	Fisher, R. A
Chatanowa, N. A. 1222	Danti, A 1049 Darnell, A. J 506	Faton I R 167	Flanders, P. J.
Chen, C. W 1241	Darnen, A. J	Eaton, J. R 167 Eaton, V. E 14	Flom D G
Chernick, J 988	Darwin, C. G 239	Eaton, V. E 14	Flom, D. G Florescu, N. A
Chernov, Y. P 247	Das, A	Ecknardt, W 300	Florescu, N. A.
Cherry, C 1209	Dascola, G 890	Edwards, K. L 196	Florman, E. F
Chester, M 1150	Datzeff, A. B 210	Eftimiu, K 1010	Förstner, A.
Chernov, Y. P. 247 Cherry, C. 1209 Chester, M. 1150 Chonkar, N. S. 401	Datzeff, A. B 210 David-Boyer, R 822	Ehrhardt, H 540	Folkierski, A
Child, H. R 1253	Davies, R. O 330	Eckhardt, W. 366 Edwards, K. L. 196 Eftimiu, K. 1010 Ehrhardt, H. 540 Ehrlich, M. P. 647	Förstner, A Folkierski, A Fominenko, V. P
Chitnis, E. V 1016	Davis, D. D 628	Edsinger, J	Fortunatova, N. N.
Child, H. R. 1253 Chitnis, E. V. 1016 Chmelichin, B. A. 452	Davis, D. S. 258, 293, 478	Eisner, L 175, 320	Fousek, J
Chou, HC 888	Davis, R. H 223	Eisner, L 175, 320 Ellison, M. A 1180	Frackowiak, M
Chrien, R. E 961	Davis, R. H 223 Dawson, J. P 507 Dawydow, A. S 906	Elsässer, H. 65, 102, 112	Fradkin,
Christogen G 790	Dawydow A S 906	Eltekov, V. A 905	E. E. 369, 370,
Christiansen, W. N. 82	Davy T A 199	Embleton, T. F. W. 351	Fraitova, D
Christiansen, W. N. 62	Day, J. A	Emshwiller, M 594	Frank A
Christy, R. W 130	Deatherage, B. H. 1207	Emshwiner, M 594	Frank, A.
Christy, R. W 130 Chulelidse, D. E 946 Chumakov, A. A 759	Deckers, J 1152 Deckert, W 512	Enander, B 788 Endt, P. M 965	Franke, F Frazer, W. R Freeman, M. P.
Chumakov, A. A 759	Deckert, W 512	Engt, P. M 965	Frazer, W. H.
Chwedtschuk, I. R. 1093	Defrain, A 495	Enge, H. A 972	Freeman, M. P.
Chynoweth, A. G 690	Deichsel, H 420	Engel, O. G 1217	1130, 1145, 1146,
Ciccarello, I. S 623	Defrain, A 495 Deichsel, H 420 Dekker, A. J 776	Enge, H. A 972 Engel, O. G 1217 Engell, HJ 1261	French, J. B
Ciobanu, G 1157	Delavignette, P 1098 Demarque, P 111	Enoch, J 707	Freund, P. G. O
Ciorascu, F 1156	Demarque, P 111	Epelboin, I 495	Freytag, J. P
Cirikov, B. V 864	Denisse, J. F 82	Epstein, B. S 1218	Fridberg, I. D
Ciorascu, F	Desai, B. R 217, 218	Epstein, S. T 208	Fridkin, V. M
Clampitt, B. H 1139	Deser, S 243	Erbe, H 1013	Fried S.
Clancy, E. P 164	Detert, F. L 198	Eriesson, J. 1039	Fried, S Frisch, H. L
Clarebrough,		Ericsson, J 1039 Erikson, T. A 1144	Frischmann, J. G.
T. M 1985 1986 1987	Devenyl, A. 1157 Deverall, G. V. 410 Dewdney, J. W. 147, 550 Dewjatoff, A. M. 1035 Diambrini, G. 851 Dibeler, V. H. 1037 Dickingon, W. C. 110	Espanol C E 546	Fritaches O
L. M. 1235, 1236, 1237 Clark, G 1016 Clement, J. R 510	Deverall G V 410	Espanol, C. E 546	Fritscher, O
Clament T R 510	Dowdport T W 147 550	Essen, L 241	Fritzsche, H
Clourson W 701	Dewdney, J. W. 147, 550	Eugene-Praderie, F. 79	Froissart, M Frostick, A. C. Frow, F. R
Cloupeau, M 721	Dewlaton, A. M 1035	Evans, J. E 1000 Evans, M. G 15	Frostick, A. C.
Cochran, R. G 948	Diambrini, G 851	Evans, M. G 15	Frow, F. R
Cohen, A 309	Dibeler, V. H 1037	Evers, M 1111	Fujii, K
Collins, A. G 1216 Coltman, J. W 801	Dickinson, W. C 119	Eversdijk-Smulders,	Fujii, K. Fujita, I. Fujiwara, S.
Coltman, J. W 801	Dieter, K 479	M. C 941	Fujiwara, S
Comsa, G 771	Dietrich, W 586	M. C 941 Evseev, A. M 1062	Fukuda, T
Conforto	Dijk, H. van 458		Fukushima, H
A. M 1022, 1023	Dimond, R. H 802	Fainberg, W. J 216	Fulco, J. R.
Cl 1 1 TTT TO 00 0	TO! TO		
Conkie, W. R 985	Ding, D,-T, 931	Fainberg, J. B 862	
Connolly, J. F 488	Ding, DT 931 Dingle, H 240	Fajnberg, J. B 862 Fakidow, I. G.	Gahor T
Connolly, J. F	Dingle, H	Fakidow, I. G. 588 654 658	Gabor, T
Connolly, J. F	Dingle, H	Fakidow, I. G. 588 654 658	Gaiworonskij, L. A.
A. M 1022, 1023 Conkie, W. R 985 Connolly, J. F 488 Cook, A. F 99 Cooper, J. N 663 Cooper, J. W 996	Dingle, H	Fakidow, I. G. 588 654 658	Gaiworonskij, L. A. Galibina, G. I.
	Dingle, H	Fakidow, I. G. 588 654 658	Gaiworonskij, L. A. Galibina, G. I.
	Dingle, H	Fakidow, I. G. 588, 654, 658 Faley, R. L 1129 Farley, L. L 198 Faron M. J	Gaiworonskij, L. A. Galibina, G. I.
	Dingle, H	Fakidow, I. G. 588, 654, 658 Faley, R. L 1129 Farley, L. L 198 Faron M. J	Gaiworonskij, L. A. Galibina, G. I. Galin, G. Y. Balikin, A. A.
Cooper, R	Dingle, H	588, 654, 658 Faley, R. L. 1129 Farley, L. L. 198 Faron, M. J. 191 Farrow, G. 1123 Faulkner, E. A. 599	Gaiworonskij, L. A. Galibina, G. I. Galin, G. Y. Balikin, A. A.
Cooper, R	Dingle, H	Faktlow, I. G. 588, 654, 658 Faley, R. L. 1129 Farley, L. L. 198 Faron, M. J. 191 Farrow, G. 1123 Faulkner, E. A. 599 Fav. J. A. 529	Gaiworonskij, L. A. Galibina, G. I. Galin, G. Y. Balikin, A. A.
Cooper, R	Dingle, H	Fakildow, I. G. 588, 654, 658 Faley, R. L. 1129 Farley, L. 198 Faron, M. J. 191 Farrow, G. 1123 Faulkner, E. A. 599 Fay, J. A. 529 Fedoroff, F. J. 405	Gaiworonskij, L. A. Galibina, G. I. Galin, G. Y. Balikin, A. A.
Cooper, R. 744 Copvillem, U. C. 607 Corliss, E. L. R. 352 Cornille, H. 214 Correll. M. 141 Corso, J. F. 1208	Dingle, H	Faktlow, I. G. 588, 654, 658 Faley, R. L. 1129 Farley, L. 198 Faron, M. J. 191 Farrow, G. 1123 Faulkner, E. A. 529 Fay, J. A. 529 Fedoroff, F. J. 7405	Gaiworonskij, L. A. Galibina, G. I. Galin, G. Y. Balikin, A. A. Galkov, V. I. Gallagher, jr., C. J. Gallagher, J. F. Garbanj, A. N. Garbe, S.
Cooper, R. 744 Copvillem, U. C. 607 Corliss, E. L. R. 352 Cornille, H. 214 Correll. M. 141 Corso, J. F. 1208	Dingle, H	Faktlow, I. G. 588, 654, 658 Faley, R. L. 1129 Farley, L. 198 Faron, M. J. 191 Farrow, G. 1123 Faulkner, E. A. 529 Fay, J. A. 529 Fedoroff, F. J. 7405	Gaiworonskij, L. A. Galibina, G. I. Galin, G. Y. Balikin, A. A. Galkov, V. I. Gallagher, jr., C. J. Gallagher, J. F. Garbanj, A. N. Garbe, S.
Cooper, R. 744 Copvillem, U. C. 607 Corliss, E. L. R. 352 Cornille, H. 214 Correll, M. 141 Corso, J. F. 1208 Couder, A. 69 Couderc, P. 114	Dingle, H	Faktlow, I. G. 588, 654, 658 Faley, R. L. 1129 Farley, L. 198 Faron, M. J. 191 Farrow, G. 1123 Faulkner, E. A. 529 Fay, J. A. 529 Fedoroff, F. J. 7405	Gaiworonskij, L. A. Galibina, G. I. Galin, G. Y. Balikin, A. A. Galkov, V. I. Gallagher, jr., C. J. Gallagher, J. F. Garbanj, A. N. Garbe, S. Gaumer, R. E.
Cooper, R	Dingle, H	Faktlow, I. G. 588, 654, 658 Faley, R. L. 1129 Farley, L. 198 Faron, M. J. 191 Farrow, G. 1123 Faulkner, E. A. 529 Fay, J. A. 529 Fedoroff, F. J. 7405	Gaiworonskij, L. A. Galibina, G. I. Galin, G. Y. Balikin, A. A. Galkov, V. I. Gallagher, jr., C. J. Gallagher, J. F. Garbanj, A. N. Garbe, S. Gaumer, R. E.
Cooper, R	Dingle, H	Faktlow, I. G. 588, 654, 658 Faley, R. L. 1129 Farley, L. L. 198 Faron, M. J. 191 Farrow, G. 1123 Faulkner, E. A. 599 Fay, J. A. 529 Fedoroff, F. J. 405 Fedorova, M. F. 194 Feinberg, G. 893 Feldtkeller, E. 402, 569 Felkett, P. 86 Fenchel, D. 1053	Gaiworonskij, L. A. Galibina, G. I. Galin, G. Y. Balikin, A. A. Galkov, V. I. Gallagher, Jr., C. J. Gallagher, Jr., G. J. Garbanj, A. N. Garbe, S. Gaumer, R. E. Gazis, D. C. Geake, J. E.
Cooper, R. 744 Copvillem, U. C. 607 Corliss, E. L. R. 352 Cornille, H. 214 Correll. M. 141 Corso, J. F. 1208 Couder, A. 69 Couder, P. 114 Coumes, A. 716 Cox, W. F. 354 Craggs, J. D. 709	Dingle, H	Faktlow, I. G. 588, 654, 658 Faley, R. L. 1129 Farley, L. L. 198 Faron, M. J. 191 Farrow, G. 1123 Faulkner, E. A. 599 Fay, J. A. 529 Fedoroff, F. J. 405 Fedorova, M. F. 194 Feinberg, G. 893 Feldtkeller, E. 402, 569 Felkett, P. 86 Fenchel, D. 1053	Gaiworonskij, L. A. Galibina, G. I. Galin, G. Y. Balikin, A. A. Galkov, V. I. Gallagher, jr., C. J. Gallagher, J. F. Garbanj, A. N. Garbe, S. Gaumer, R. E. Gazis, D. C. Geake, J. E. Geballe, R.
Cooper, R	Dingle, H	Faltlow, I. G. 588, 654, 658 Faley, R. L. 1129 Farley, L. L. 198 Faron, M. J. 191 Farrow, G. 1123 Faulkner, E. A. 529 Fedoroff, F. J. 405 Fedorova, M. F. 194 Feinberg, G. 893 Feldtkeller, E. 402, 569 Fellgett, P. 86 Fenchel, D. 1053 Ferguson, J. M. 939, 956	Gaiworonskij, L. A. Galibina, G. I. Galin, G. Y. Balikin, A. A. Galkov, V. I. Gallagher, jr., C. J. Gallagher, J. F. Garbanj, A. N. Garbe, S. Gaumer, R. E. Gazis, D. C. Geake, J. E. Geballe, R.
Cooper, R	Dingle, H	Faktlow, I. G. 588, 654, 658 Faley, R. L. 1129 Farley, L. 198 Faron, M. J. 191 Farrow, G. 1123 Faulkner, E. A. 529 Fady, J. A. 529 Fedoroff, F. J. 405 Fedorova, M. F. 194 Feinberg, G. 893 Feldtkeller, E. 402, 569 Fellgett, P. 86 Fenchel, D. 1053 Ferguson, J. M. 939, 956 Fernandez, A. 744	Gaiworonskij, L. A. Galibina, G. I. Galin, G. Y. Balikin, A. A. Galkov, V. I. Gallagher, jr., C. J. Gallagher, J. F. Garbanj, A. N. Garbe, S. Gaumer, R. E. Gazis, D. C. Geake, J. E. Geballe, R.
Cooper, R	Dingle, H	Faktlow, I. G. 588, 654, 658 Faley, R. L. 1129 Farley, L. 198 Faron, M. J. 191 Farrow, G. 1123 Faulkner, E. A. 599 Fay, J. A. 529 Fedoroff, F. J. 405 Fedorova, M. F. 194 Feinberg, G. 893 Feldtkeller, E. 402, 569 Fellgett, P. 86 Fenchel, D. 1053 Ferguson, J. M. 939, 956 Fernandez, A. 744 Ferreira, P. L. 881	Gaiworonskij, L. A. Galibina, G. I. Galin, G. Y. Balikin, A. A. Galkov, V. I. Gallagher, jr., C. J. Gallagher, J. F. Garbanj, A. N. Garbe, S. Gaumer, R. E. Gazis, D. C. Geake, J. E. Geballe, R.
Cooper, R	Dingle, H	Faktlow, I. G. 588, 654, 658 Faley, R. L. 1129 Farley, L. 198 Faron, M. J. 191 Farrow, G. 1123 Faulkner, E. A. 599 Fay, J. A. 529 Fedoroff, F. J. 405 Fedorova, M. F. 194 Feinberg, G. 893 Feldtkeller, E. 402, 569 Fellgett, P. 86 Fenchel, D. 1053 Ferguson, J. M. 939, 956 Fernandez, A. 744 Ferreira, P. L. 881	Gaiworonskij, L. A. Galibina, G. I. Galin, G. Y. Balikin, A. A. Galkov, V. I. Gallagher, jr., C. J. Gallagher, J. F. Garbanj, A. N. Garbe, S. Gaumer, R. E. Gazis, D. C. Geake, J. E. Geballe, R. Gehrels, T. Geiger, R. E. Gelder, V. Z. Gemperle, R.
Cooper, R	Dingle, H	Faktlow, I. G. 588, 654, 658 Faley, R. L. 1129 Farley, L. 198 Faron, M. J. 191 Farrow, G. 1123 Faulkner, E. A. 529 Fedoroff, F. J. 405 Fedorova, M. F. 194 Feinberg, G. 893 Feldtkeller, E. 402, 569 Fellgett, P. 86 Fenchel, D. 1053 Ferguson, J. M. 939, 956 Fernandez, A. 744 Ferreira, P. L. 881 Fesenko, E. G. 742 Fickle D. 1932	Gaiworonskij, L. A. Galibina, G. I. Galin, G. Y. Balikin, A. A. Galkov, V. I. Gallagher, Jr., C. J. Gallagher, Jr., C. J. Garbanj, A. N. Garbe, S. Gaumer, R. E. Gazis, D. C. Geake, J. E. Geballe, R. Gehrels, T. Geiger, R. E. Gelder, V. Z. Gemperle, R. Genco, J. I.
Cooper, R	Dingle, H	Faktlow, I. G. 588, 654, 658 Faley, R. L. 1129 Farley, L. 198 Faron, M. J. 191 Farrow, G. 1123 Faulkner, E. A. 599 Fay, J. A. 529 Fedoroff, F. J. 405 Fedorova, M. F. 194 Feinberg, G. 893 Feldtkeller, E. 402, 569 Fellgett, P. 86 Fenchel, D. 1053 Ferguson, J. M. 930, 956 Fernandez, A. 744 Ferreira, P. L. 881 Fesenko, E. G. 742 Fickle, D. P. 1233 Flggis, B. N. 587	Gaiworonskij, L. A. Galibina, G. I. Galin, G. Y. Balikin, A. A. Galkov, V. I. Gallagher, jr., C. J. Gallagher, jr., C. J. Garbanj, A. N. Garbe, S. Gaumer, R. E. Gazis, D. C. Geake, J. E. Geballe, R. Gehrels, T. Geiger, R. E. Gelder, V. Z. Gemperle, R. Genco, J. I. George, C.
Cooper, R	Dingle, H	Faktlow, I. G. 588, 654, 658 Faley, R. L. 1129 Farley, L. 198 Faron, M. J. 191 Farrow, G. 1123 Faulkner, E. A. 599 Fay, J. A. 529 Fedoroff, F. J. 405 Fedorova, M. F. 194 Feinberg, G. 893 Feldtkeller, E. 402, 569 Fellgett, P. 86 Fenchel, D. 1053 Ferguson, J. M. 939, 956 Fernandez, A. 744 Ferreira, P. L. 881	Gaiworonskij, L. A. Galibina, G. I. Galin, G. Y. Balikin, A. A. Galkov, V. I. Gallagher, Jr., C. J. Gallagher, Jr., C. J. Garbanj, A. N. Garbe, S. Gaumer, R. E. Gazis, D. C. Geake, J. E. Geballe, R. Gehrels, T. Geiger, R. E. Gelder, V. Z. Gemperle, R. Genco, J. I.

3 a			
rhardt, U 372 rlowin, J. I 407 rman, D. E 1139 brritsen, H. J 597	Hall, R. M. S 1055	Hokkyo, N 84 Holden, D. B 1176	Johnston, L. H 821
rlowin, J. I 407	Halpern, F. R 904 Hamburger, E. W 973	Holden D B 1176	Johnston, L. H 821 Johnston, W. V 471
rman, D. E 1139	Hamburger E W 072	Holländer,	Tongs T D 1990
prritsen H I 507	Hamilton I E 411	T T 4404 4400	Jones, E. R 1239
arabarind S cat	Hamilton, J. F 411	E. F 1101, 1102	Jones, M. L 501
schwind, S 625 hildyal, C. D 290	Hanlan, J. F. 1130 Hanratty, T. J. 301 Hans, H. S. 980 Hanson, N. R. 203 Harding, W. R. 825	Holm, G. B 954 Holmes, F. E 503	Jones jr., R. E 666
midyal, C. D 290	Hanratty, T. J 301	Holmes, F. E 503	Jones, R. V 614
nita, C 1030 losh, A. K 455	Hans, H. S 980	Honda, M	Jordan, W. C 869 Jost, W 703
losh, A. K 455	Hanson, N. R 203	Hoogenboom, A. M. 965	Jost W 703
thson G 869	Harding W R 295	Hooken W T 900	Tuno T 4004
llet V P	Horamonyon	Hooker, W. J 399 Hopkins, B. J 766 Hoppe, R 1067	Juna, J 1001 Jung, F. R 1164
1100, V. I 902	Hargreaves,	норкия, в. J 766	Jung, F. R 1164
mzburg, v. L 406	M. E 1236, 1237 Harman, T. C 1084	Hoppe, R 1067	Jung, P 560
triat, W 390	Harman, T. C 1084	Нога. Н. 418	Juster, A 1115
iron, V. S 584	Harned H S 705	Horney, G 1196	Juster, A
issel, H 699	Harner M. J. 528	Horvay G 262	0 0003 2002 200 11111111 2000
108tl, A. K. 455 180	Harries, J. H. O 190 Harries, J. H. O 190	Horney, G	Wassen T 404
laubarman A T 1079	Transland D D 190	nossemopp, I. A 507	Kaczer, J
indubulian, A. o. 1010		Hrivnak, L 685	Kadlets, S. Y 768
linchuk, K. D 678	Harris, C. J	Hu, C 967 Hubbard, W. N 507	Kaegl, E. M 251
lover, R. N 819	Harrison, C. W '798	Hubbard, W. N 507	Kammerer, W
oedkoop, J. A 1063	Hartley, H 11	Hubert, H 811	Kämpf, G 1133 Kaganer, M. G 491, 492
	Hasapis, A. A 278	Hübner, E 259	Wagapar W C 401 402
vering H I 1094	Hazada T 220	Hähnen D	Kaganer, M. T. 992
Settle II	Haseda, T 632	Hübner, R 810	Kaganov, M. I 238
ortier, H 300	Hashi, T 800	Hughes, W. H 542	Kaganow, M. I 564
oering, H. L. 1084 örtler, H. 300 oertzel, G. 228 öfinan, Y. V. 992 oldberg, K. 41 oldstein, J. H. 618	Hashimoto, K 805	Hummel, H. H 983	Kageyama, K917
ofman, Y. V 992	Haug, U 112	Hunger, K 812	Kailath, T 779
oldberg, K. 41	Hauser I 1014 1015	Hunt, C. M 1255	Kaiser H K
oldstein T H 640	Haven V 1407	Tunont T T 450	Kalinama B
oldstein in 31 H 018	Hauser, I 1014, 1015 Haven, Y 1107 Hawkins, G. S 99	Hupert, J. J 158 Husseinow, N. G 565	Kaiser, H. K 96 Kakinuma, T 82 Kakiuchi, Y 609
014300111 J1, 111. 11. 1200	Hawkins, G. S 99	Husselnow, N. G 565	Kakiuchi, Y 609
olovin, B. M 762	Hayashi, T 723	Hutchinson, G. W 962	Kalaba, R 40
ood ir. R. H. 640	Hayashi, T 723 Haydon, G. W 781		Kalabu, R 40 Kalabuchow, N. P. 447
orbanj, A. N 441	Heer, C. V 467	Ignatowa, I. A 1222	Kalinin, S. P 922 Kalman, P. G 1258
ordon R R 1088	Hofforlin D 149	Torner IF 576 577	Volmon D C 1959
ordon, R. B 1088 orkov, L. P 652	Hefferlin, R 142	Igras, E	Kallilali, F. G 1496
Orkov, L. P 652	Heidecke, R 5 Heineman, R. E 987	Ignatowa, I. A	Kamps, E. C 327 Kandalic, G. A 488 Kandaurowa, G. S. 1248
orkun, J. I 1075 orshkov, G. V 813 orskov, G. V 843 orter, C. J 908	Heineman, R. E 987	Iizuka, T 765	Kandalic, G. A 488
orshkov, G. V 813	Heitland, HJ. 518 Helbig, E. 373 Helfand, E. 543	Imai, T 774	Kandaurowa, G. S. 1248
orskov G V. 843	Helbig E 373	In K C 931	Kaneda S 422
onton C T	Holfond F 549	Toffo D V 201	Kanaka 9
of tel, C. J 900	TENANC, E 545	Tone, D. V	Kaneko, S 515
oto, E 56	Helle, J. N 1134	10now, N. I 1027	Kaneko, S 875 Kanematsu, K 590
inttliah M B 866	Heller, W. R 437		Kanevskii, i. N 322
ovier, G. W 292	Helle, J. N	Irkhin, Y. P 593	Kanki, T 901 Kanturek, J 1095
raaff W. de 490	Hendricks jr., C. D. 852	Isay, WH 303	'Kanturek, J 1095
TOST IF 579	Honglein A 590	Ishibashi, Y 56	Kaplan, D 594
ган, п. Е	Henglein, A 520	Ismoasii, I	Taplan, I
ranovskii, V. P 715	Henry, W. G 631	Isnida, H 50	Kaplan, J. I 621 Kaplvanskii, A. A 1105
ovier, G. W. 292 raaff, W. de 490 raff, H. F. 573 ranovskii, V. P. 715 ranowski, W. L. 633	Henry, W. G. 631 Herczeg, T. 110 Herman, R. 267, 334 Hermann, C. 1070 Herranz, J. 1043	Ishida, H	Kaplvanskii, A. A 1105
	Herman, R 267, 334	Isjumow, J. A 604	Kapustin, A. P 1103 Karavaev, F. M 813
ray P 528	Hermann C 1070	Isotow, W. P 737	Karavaev, F. M 813
man M C 475	Homong T 1042	Israel, H 1184	Karnauchow W A 975
rav, P	Transland C	T4. D 095	Varatangan F 877
reen, R. E 143	Herring, C 568	Ito, D	Karstensen, r
reenbaum, B. A 181	Herriott, D. R 410	Itzkan, I 795	Kasankin, O. N 454
regory, N. W 508 rigorev, E. P 944	Herrlander, C. J 934	Ivanenko, I. P 1018	Kasatkin, V. P 827
rigorev. E. P 944	Heschkenbein, B. W 945	Ivekovic, H 516 Iwanoff, W. J 1050	Kaschtanowa, A. M. 728
rigorey T S 856	R W 945	Twanoff, W. J 1050	Kashukeev, N. T 762
rigorovici R 790	Hoed K 966	Twata M. 304	Karnauechow, W. A. 975 Karstensen, F. 677 Kasankin, O. N. 454 Kasatkin, V. P. 827 Kasahtanowa, A. M. 728 Kashukeev, N. T. 762 Kato, K. 874 Kato, M. 989
rigorev, I. S 856 rigoroviei, R 720 rimes, D. M 574	Tree W N 044	Iwata, M 394 Iwayanagi, H 805	Kato, M 889
Fines, D. W 574	Hess, K. 288 Hess, W. N. 841 Hey, P. 1029 Hiedemann, E. A. 340	тwауападі, д 809	Law, M
rimmeiss, H. G 433 rin, J. T 234 rinberg, G. A 785	Hey, P 1029		Kato, S 967
rin, J. T 234	Hiedemann, E. A 340	Jaccarino, V 595, 596	Kats, A 1107
rinberg, G. A 785	H1eke, M 209	Jaccarino, V 595, 596 Jackson, E. W 459 Jacobson, M. J 350	Kats, A
rits, I. A 974	Hiller W 1165	Jacobson, M. J. 350	Katsumori, H. 902 Kaufman, A. S. 461 Kawaguchi, M. 968 Kawakami, I. 947 Kawarabayashi, K. 879
mann or TV T	Hiller, W 1165 Hillion, P 316 Hilsum, C 674, 825	Jacrot, B 1120	Kaufman A S 461
romov, K. I 943	Hillon, P 310	Lakimanko T D 747	Kawaguchi M 069
rosch, C. E 295 ross, E. F 761, 1105 rosu, S 770	Hilsum, C 674, 825	Jakimenko, I. P717	Kawaguetti, M 908
ross, E. F 761, 1105	Himmelblau.	Jarrell, D. L 972	Kawakami, 1 947
rosu, S 770	D. M 514, 515	Jarrell, D. L 972 Jarwa, W. A 966	Kawarabayashi, K 879
roth, H. G 105	Hinrichs H 697	Jaschtschin, E. G. 606	Kazachkovsky,
moth D 400	Hinrichs, H 697 Hinshelwood, C 522	Jastrzebski, J 942	O. D 993
totil, R 433	Hillsheiwood, C 522	Tagrirong C M 1044	Vesyney I I 956
roth, R	Hirota, S 774	Jasykowa, S. M 1044	Keavney, J. J 256 Keck, K 420
ubkin, A. N 763	Hirschielder, J. U 525	Jatsuk, K. P 787	Keck, K 420
uman, W. J 644	Hirsh L.J 1207	Jensen, H. C 173	Keller, A 1227
ubkin, A. N 763 uman, W. J 644 upta, R. K 934, 935 ustschina, S. A 1254	Hittmair, O 918	Jensen, J. C 6	Keller, A. 1227 Kellogg, W. N. 1211 Kelly, A. 1104 Kelly, D. C. 868 Kelly, W. C. 122, 129 Kelly, W. H. 915
actechine C A 4054	Hoek, J. A. van der 689	Jensen, J. C 6 Jensen, R. V 675	Kelly, A 1104
assettina, S. A 1254	TLOCK, J. M. VAII UCI 009	Jerkowitsch, S. P. 1058	Kelly D C 868
	ноп, G 398	Terrore P. S. L. 1008	Tolly, W. C. 199 199
aas, N. de 473	Hoff, G 398 Hoffman, C. W. W. 1068	Jessup, R. S 469 Joffé, B. L 221	Keny, W. C 122, 129
achenberg, O 62	Hoffman, J. D 1122	Joffe, B. L 221	Keny, W. H 915
ahn, E. L 594	Hoffman, R. A 600	Johansson, B 912	Kennedy, D. P 693
abn K E 1965	Hoffman, R. A 600 Hoffman, W. C 1190	John, G 157	Kennedy, D. P 693 Kennett, T. J 926
oines M. C.	Toffmany M	Johnson jr., H. W 197	Kern, B. D 939
ahn, K. F 1265 aines, M. G 870	Hoffmann, M 571	Tohnson I R 1906	Keyes, R. W 757
\$126. Ph 496	Hofstadter, R 826 Hokkeling, P 559	Johnson, L. B 1206	When N A 191
all, H. E 1114	Hokkeling, P 559	Johnson, O. E 938	Khan, N. A 42

Theiler D. M. 997	Kracik J 718	Lewis, J 587	Manaila, R
Kheiker, D. M 387 Khodakov, A. L 742	Kracik, J	Lewis, J 587 Lewschin, W. L 439	Mandell, L
Khodakov, A. L	Kramarov, O. P. 742, 743	Lichtman, D 188	Maradudin, A. A.
Khurana, C. S 980	Krasowskii, W. P 004	Lieb, E	Marboe, E. C 1
Kiang, N. Y. S 1205	Kreyenbuhl, A 200	Lien, W. H 468 Lifshitz, I. M 238	Marcus, M Margolin, S. D
	Kriwoglas, M. A 653		Margnin, P., 1031, 1
Kienie, H 100	Kronmüller, H 1074 Krook, M 306	Lin, C. C	Marini, G 1022, 1
Kienle, H. 106 Kiepenheuer, K. O. 71 Kihara, T. 875 Kikohi, I. K. 7 Kikuchi, M. 764, 765	Kroupa, F 1091, 1092	Lindsay P A 691	Marini, G 1022, 1 Marklund, I. Marshall, W.
Kikoin, I. K 7	Kroupa, F 1091, 1092 Krug, W 375	Lindsay, R. B 124	Marshall, W
Kikuchi, M 764, 765	Krupicka, S 1245 Kryter, K. D 326	Linn, D. F 625 Lippmann, B. A 211	Martin, A. J
Kilin, S. F 430 Kimura, M 917	Kryter, K. D 326	Lippmann, HJ 673	Martin, M Martinelli, E. A 1 Maslenkow, S. W. 1
Kimura, M 917	Krzywoblocki, M. Z. v 206	Lipskii, V. N 95	Maslenkow, S. W. 1
Kinney, F. E 1026	Ku. S. M 684	Lipskii, Y. N 95 Lissitza, M. P 397 Ljast, I. Z 735	Maglannikawa
Kinsey, B. B 1000	Kuehner, J. A 920	Ljast, I. Z 735	F. W 1
King, R. 798 Kinney, F. E. 1026 Kinsey, B. B. 1000 Kipling, J. J. 1135	Ku, S. M. 684 Kuehner, J. A. 920 Kümmel, U. 748 Kuhrt, F. 673 Kulik, B. A. 731	Loeb, J 52	F. W
Kirby, D. S 68 Kirkpatrick, P 14, 135	Kuhrt, F 673	Loeb, M 1210	Massey, H. S. W
Kirkwood J G 496	Kume K 609	Lofquist, K 302 Logan, R. A 690	Mate, C. F. Matejec, R. Mathews, J. F. 682,
Kirkwood, J. G 496 Kirscht, H 179	Kume, K 609 Kummer, H 46	Lohmann, A 364	Matejec, R
Kitagawa, N 1188	Kurbangalina, R. K. 530	Lohse, P 861	Mathews, J. F 682,
Kittel, C 611	Kurchatov, I. V 7	Loinger, A 533	Mathewson, D. S Mathias, I. W
Kjelberg, A 950	Kurbangalina, R. K. 530 Kurchatov, I. V 7 Kurzewa, M. N 728 Kuschakevich, I. P. 974	Loinger, A 533 Lomax, R. J 708 Long, J. F 1129	Matsumoto, M
Kittel, C. 611 Kjelberg, A. 950 Kladnizkaja, E. N. 931 Klaus, H. 373	Kushazow A A 031	Loopstra, B. O 1063	Matsuoka V.
Klebe, J 361	Kusnezow, A. A 931 Kussakov, M. M 1131	Lord D H 419	Matsuoka, Y Matsushima, S
Klingelhöfer, R 861	Kutikov, I. E 940	Loretto,	Matthews D L
Kljawin, O. W 1242	Kuzmin, I. I 944	Loretto, M. H. 1235, 1236, 1237 Losowski, W. N 734 Lothe, J 1100 Loudon, R 903	Matthias, B
Klopfer, A 804	Kuzminov, B. D 923	Losowski, W. N 734	Matthias, B. T
Knappe W 1194	Kvasnica, J 233 Kwirim-Markus,	Loudon, R 903	Matting, A
Knechtli, R. C 871	J. B 440	Lovchikova, G. I 992	Matzke, H.
Knopf jr., W. C 1026	0.00.0000000000000000000000000000000000	Love, W. F 656	Maxwell, A
Knudsen, A. W 826	Labs, D 63	Love, W. F 656 Low, M. J. D 1140	May, B. R
Knudsen, H. L 1170	Lacombe, E 924	Lucovsky, G 695 Ludloff, H. F 638	May jr., J. E
Klingelhöfer, R. 861 Kljawin, O. W. 1242 Klopfer, A. 804 Klucharev, A. P. 916 Knappe, W. 1124 Knechtli, R. C. 871 Knopf jr., W. C. 1026 Knudsen, A. W. 826 Knudsen, H. L. 1170 Kobelev, V. V. 578 Koblenz, J. G. 1218	Lacroix, R 602	Ludloff, H. F 638	May, K
Koch. A. J. J 559	Lagemann, R 126 Lal, D 1021	Lueg, H 1243 Lüty F 1094	May W D
Koch, A. J. J. 559 Koch, F. A. 570 Koch, G. 66 Kochina, N. N. 312	Laletin, N. I 855	Lüty, F 1094 Lukasik, S. J 295	May, K. May, R. M. May, W. D. Meerlender, G. Meggitt, J. E.
Koch, G 66	Laletin, N. I 855 Lallemand, A 70, 807	Luninski J. H 689	Meggitt, J. E
Kochina, N. N 312	Lamport, H 332	Lurio, A	Mener, P. H. E.
Kodama, M 1019	Landrock, P 1015	Lutzik, V. P 916	Meksyn, D
Köbler, H 365	Langenbach, A 275	Lylli, J. E 911, 910	Melanson, B. E
Koenier, D. R. 971 Köhler, H. 365 Koehler, W. C. 1253 Kogan, M. N. 474 Kogan, V. I. 649 Koh, P. K. 573 Koidan, W. 352, 353 Kolobowa, K. M. 1221 Koloskowa, N. G. 607 Komar, A. P. 840	Lanius, K. 1015 Larsen, T. 1170 Lasarew, B. G. 664, 1093 Lasoski jr., S. W. 619 Latham, R. 718 Latter, A. L. 1166 Lauer, E. J. 860	Maak, J 433	Melhuish, W. H
Kogan, M. N 474	Lasarew, B. G. 664, 1093	Maak, J. 433 Mabbs, F. 587 Macartney, E. 806	Metzler, B Meneghetti, D
Kogan, V. I 649	Lasoski jr., S. W 619	Macartney, E 806	Meneghetti, D
Kolden W 959 959	Latham, R 713	McCaig, D. A 1187 McCaig, M 1246 McCracken, K. G 817	Menzer, G 1071, 1072, . Menzies, A. C Mercea, V 199, Merekow, J. P
Kolobowa, K. M. 1221	Lauer E J 980	McCracken K G 217	Mongios A C
Koloskowa, N. G 607	Lauer, E. J 869 Lauritzen jr., J. I. 1122	McCullough, J. P. 507	Mercea V 199
Komar, A. P 849 Komelkov, V. S 714 Komelkow, W. S 710	Law, J. T 187	McGee, J. D 34	Merekow, J. P.
Komelkov, V. S 714		McIsaac, P. R 795 McKenna, S. M. P 1180	Merkle, K
Kondo T	Lazarev, B. G	McKenna, S. M. P 1180	Merritt, W. F
Kondo, J 608 Kondorski, E. I 567	Lebedew A I 1002	Mackenzie, J 156	Merz, W. J
Kono, T 581	Lebl, M 1095	McManus, H. 921	Messerschmidt W
Konorowa, J. A. 755, 775	Lebowitz, J. L 543	MacRae, A. U 791	Metson, G. H
Konstantinov, I. E. 387	Lee, C	McLennan jr., J. A. 204 McManus, H. 921 MacRae, A. U. 791 Macurdy, L. B. 257 Madan, M. P. 485	Merritt, W. F. Merz, W. J. Messerly, J. F. Messerschmidt, W. Metson, G. H. Metzger, F. R.
Koptsik V A 750	Lee, D. H 686	Madan, M. P 485	Mcyc1, 11
Kopecky, M 90 Koptsik, V. A 759 Kopylow, J. A, 688	Legg, V. E. 1250 Legget, R. F. 345 Lehar, F. 823 Lehmann, W. L. 157 Leipunsky, A. I. 993 Lengshipkaya	Madansyk, L 105	Meyerhofer, D
Korbel, Z 891 Korolev, A. M 992	Lehar. F	Madella, G. B 333 Magnac-Valette, D. 924	Mezzetti, L
Korolev, A. M 992	Lehmann, W. L 157	Mak A A 711	Michels, W. C.
Koros, R. M 1152 Korsunovskii, G. A. 687	Leipunsky, A. I 993	Maki, Z 882	Michul, A
Kosevich, V. W. 1150	Lepeshinskaya,	Maki, Z. 882 Makita, M. 91 Makita, T. 800 Malakhov, L. N. 426 Malakhov, L. N. 426	Michels, A. Michels, W. C. Michul, A. Middleton, D.
Kosevich, V. M 1159 Koski, W. S 617	Leroy J 920	Makita, T 800	Midzuno, Y
Kosko, S. K 1223	Leu, K. W	Malek Z 1159	Midzuno, Y
Koski, W. S 617 Kosko, S. K 1223 Kovalev, V. P 1002 Kowalevski, V. J 600	Levin, A. A 1083	Malik, W. U 1162	Mikheev, G. F
Kowalewski, V. J. 600	Levin, L. M 1198	mannge, A. M	Milicevic, B
	Levine, H. B 225	Malm, J. G 509	Miller B L
Koyama, M 1028 Koyasu, M 348	Lepestifiskaya, V. N. 772 Leroy, J. 930 Leu, K. W. 1134 Levin, A. 1083 Levin, L. M. 1198 Levine, H. B. 225 Levinstein, H. 791 Lewis, H. A. 573	Maltzev, B. K 465	Miller, D. W
Kozawa, S 1116	Lewis, H. R 597	Maltzev, B. K 465 Malyscheff, P. M 369 Malyughinetz, G. D. 382	Miller, D. W
	,	sampugnineuz, G. D. 382	Minis Jr., B. D

100 000 000	NT-42 T A MAD	T) 1 YTTL 11	
nami, S 895, 896 nden, H. T 684	Nation, J. A 713 Naumov, V. A 417 Naundorf, W 409	Palma-Vittorelli,	Porai-Koshits,
nden, H. T 684	Naumov. V. A 417	M. B 623 Palmeira, R. A. R 817	M. A. 1083
ron, C 199, 200	Naundorf W 400	Dolmoiro D A D 047	Donto D della 4400
1 T. C 135, 200	Maunuo11, W 409	Paimeira, R. A. R 817	Porta, P. della 1137
selyuk, E. G 678	Navarra, J. G 137		Postma, H 941
sner, C. W 243, 245	Maylor ir., R. E 619	Pankratoff N A 374	Powell D R 616
selyuk, E. G 678 sner, C. W 243, 245 sra, R. P 1143	Navarra, J. G 137 Maylor jr., R. E 619 Nazarchuk, M. M 480	Pantashanka W W 799	Downers C D 100
arelevita W 750	Managaronan, M. M 400	Pankratoff, N. A 374 Pantschenko, W. W. 733	rowers, S. R 130
sserwitz, w 752	Néel, L 584	Parfianowitsch,	Prasad, A. N 709
sselwitz, W 752 tchell, E. W. J 995 rchell jr., W. E 73	Nekrassov, D. N. 1131 Nelson, M. E 26	J. A 1096	M. A. 1083 Porta, P. della 1187 Postma, H. 941 Powell, D. B. 616 Powers, S. R. 136 Prasad, A. N. 709 Pratt, W. W. 948 Prawirowardojo, S. 119 Predel, B. 1086
rchell ir. W. E. 73	Nelson M E . 96	Park, J. J 1233	Drawinowandojo C 110
trani I 1015	Moleon D C 400	Fair, 9. 0 1200	Frawirowardojo, 5. 119
trani, L 1015	Nelson, R. S 189	Parker, F. W 691 Parker, W 960	
ttra, R 50 tui, T 579	Memnonow, S. A. 1221 Neporent, B. S. 1059 Nettleton, R. E. 476 Neuland, W. 389	Parker, W 960	Preiswerk, P 838
tni. T 579	Neporent B S 1059	Parkyn, D. G 155	Preobrazhenskii,
trong M. A. 1007	Nottleton D E 470	Datkyn, D. G 199	i i contantenskii,
tzew, M. A 1027	Nettleton, E. E 470	Parrott, J. E 669 Parthasarathy, S 338	B. K
yake, A1117	Neuland, W 389	Parthasarathy, S 338	Preston, D 1123
vasato, I 1028	New, A. A 555 Newman, M. M 1189	Partington, E. J 487	Protoring V 1199
wateke V 995	Nowman W W 1100	Developing M. M.	T. T
yatake, 1	Newman, M. M 1109	Pasechnik, M. V 992	Preuss, L. E 1262
Zek, A. I 506	Newson, D 1138	Pashley, D. W, 1160	Privalova, N. M 462
yasato, I. 1028 yatake, Y. 885 zek, A. I. 566 chan, I. V. 679	Newton, D. C 836	Patek, K 449 Patrick, R. M. 308, 315	Proebster W E 568
illinger H 850	Niblett D H 1000	Datriely D M 200 215	Drobotor, W. L 500
71111g01, 11 000	MIDIOUS, D. II 1099	Fatrick, R. M., 508, 515	Pretorius, V. 1128 Preuss, L. E. 1262 Privalova, N. M. 462 Prokoflev, V. A. 940 Prokoflev, V. A. 940
Denke, H 1069	Nicholls, R. W 1057	Patterson, D. A 434	Proksch, E 702
ohyuddin, I 1260	Nicksic, S. W 198	Paty, L 253	Proksch, É 702 Proud jr., J. M 344
bilinger, H. 859 penke, H. 1069 byuddin, I. 1260 bler, W. F. 1176 blmud, P. 549	Niblett, D. H. 1099 Nicholls, R. W. 1057 Nicksic, S. W. 198 Nikitih, A. W. 931 Nikitih, E. E. 1047	Pauleve J 696	Pryamkova, I. A 577
almud P 540	Nikitin E E 1047	Pauleve, J 626 Pauthenet, R 584 Pavlitskaia, E. D 944	Debanas Carrie
midd, F 549	MIKIUII, E. E 1047	Fauthenet, R 584	Pshenay-Severin,
oncaster, M. E 825	Nine, H. D 559	Pavlitskaia, E. D. 944	S. V
ontagner, S. le 725	Nishimura, K 904 Noerdlinger, P. D 867	Pavlyuk, G. D 768	Ptitsyn O B 1191
ontoque R W	Noerdlinger P D 907	Parmari I I	Dunyia M. D.
ontague, B. W 55	Moeruniger, F. D 807	Pawsey, J. L 9, 82	rurvis, M. B 410
ontilla, J 1153	Norinder, H 1193 Northrop, D. C 825	Pearson, W. B 767	Purvis, M. B 410 Pyatnitsky, G. I 202
ookherii. A 401	Northrop, D. C 825	Peavler, F. J 572	
oney, R. L 117 oney, R. W 1068 ore, A. C 585	Northwood, T. D 345	Pebay-Peyroula,	Ouereni G eco
D W 1000	Mozar W C 020	T C Cyroura,	Quareni, G 890 Quareni-Vignudelli,
oney, A. W 1008	Nosov, V. G 933 Novosiltsev, N. S 742 Nowogrudski, W. N. 658	J. C 603 Pecker, JC.,	Quareni-Vignudeili,
ore, A. C 585	Novosiltsev, N. S 742	Pecker, JC.,	A 890
ora, S	Nowogrudski, W. N. 658	77, 78, 79, 81, 101	
maille T 1042	Nurmia, M. J 979	Dod-o44: T C 490	Dahinamian III 004
Temo, J 1045	Numa, m. J 919	Pedrotti, L. S 438	Rabinowicz, E 261
primoto, M 91		Peeva, A 1015	Rabkin, L. Í 1218
orkovin, M. V 330	Obenaus, F	Peirson, D. H 997	Raiser J. P 706
prozov, V. M 1173 prris, E. L 318	Ohraztsov V N 670	Peisachson, J. W. 1060	Raman C V 204
7020V, V. DI 1110	Oda W 000	D.1	D D. T. 440
FIS, E. L 516	Oda, Y 967	Pekara, A 727	Raiser J. P 706 Raman, C. V 384 Ramasanow, P. J 446
orton, J. R 524	Oertel, G. K 230	Pekermann, F. M 454	Rand, S 1182
ngen A. W. 1127	Oertel, K. H 816	Penner, S. S 399, 400	Rao, B. R 337
orton, J. R 524 osen, A. W 1127 oto-Oka, T 56	Oertel, K. H 816 Oganesjan, J. Z 975	Percival, I. C 212	Pag G S 1054
bussa, A	Oganesjan, J. Z 915	rereival, 1. C 212	Rao, G. S 1054
oussa, A 1031, 1032	Ogawa, S 392	Peres, A 244	Rasgoworowa, T. W. 456
oussa, A. H. A 957	Ohlin, P. 872 Ohnuki, Y. 917 Ohoyama, T. 590	Peter, M 596 Peters, H 254	
won M C 078	Ohnuki V 017	Potors II 954	Rasmussen, V. K. 963 Rasskazov, D. S. 464 Rasumtzewa, G. P. 719 Rautian, S. G. 368
AUI, M. C 010	Ohamana W	T CUCIS, IL	Trasmussen, V. K 803
ccimi, G. A 520	Onoyama, 1 590	Peters, J	Rasskazov, D. S 464
ickenfuss, C 314	Oishi, J 499	Petissoff, E. P 396	Rasumtzewa, G. P. 719
iller A 1024	Oka, S 392	Petoschina L. N 454	Rautian, S. G 368
ller, M 1149	Okazaki, S 790	Detriels V A 949	Rayne, J. A 266
Her, M 1149		Petrjak, K. A 843	nayne, J. A 200
teller, M. H 955	Oki, H 790	Petrov, Y. I 952	Read, A. A 637
ller, P. H 46 ller, W. A 1192	Olfe, D 400	Petrunkin, W. A 1008	Read, B. E 383
ller W A 1192	Olson H F 335	Pettersen, H. E 160	Redding, G. B 959
maton A 1007 1004	Olson, H. F 335 Omori, Y 1197	Detrold E C	Podwood M. Soo
nster, A 1087, 1234	Omori, 1 1197	Petzold, E. G 428	Redwood, M 323
mzer, H 1009	Onaka, K 435	Pfannenschmid, O. 498	Reed, R. I 828
ser, H. E 738 kherji, A 1040	Onaka, R	Philip, J. R., 1118, 1119	Reese, R. M 1037
kherii A 1040	Oosterhoff It I 680	Phillips N E 468	Reeves E. M 1057
1d-map T 400 400	Onite D 100	Dishanish D M 4004	Poichord T Th
mawer, L 138, 139	Opitz, P 193	Fichamek, F. M 1034	Deid Carrier VV 268
ldawer, L 138,139 ller, K. A 602	Oppenheim, A. K 289	Philip, J. R. 1118, 1119 Phillips, N. E 468 Pichanick, F. M 1034 Pierce, E. T 1186	Reeves, E. M. 1057 Reichard, T. W. 268 Reid, G. W. 845
nteanu, A 1154	Oranowski, W. E. 452	Pierre, J 252	Reid, J. H 1180
ntenbruch, H 408	Oppenheim, A. K 289 Oranowski, W. E 452 Orlinsky, D. V 648	Pikus G T 671	Reimer, L 655
and to	Owlett D. M. 400	Dinnard A P 957	
rad, E 432	Orloff, B. M 439	Pierre, J	Reissig, R 249
rata, K 56	Ormestad, H. J 347	Plaskett, T. S. 1229, 1230	Reiter, R
tsuro, N 917	Osberghaus, O 540	Plush, R. W 782	Remillard, W. J. 324
1	Osborn, R. K 541	Plyler, E. K 1049	Remizov S A : 464
2 25	One make S M 341	D-134 TT 070	Permelda D. C. 400
chman, M 1156	Osovets, S. M 648	Pohlit, H 976	neyholds, D. C 438
dashkevich. I. I. 578	Ossiko, W. W 453	Pohlit, W 976 Pohm, A. V 637	Remizov, S. A 464 Reynolds, D. C 438 Reynolds, T. D 132
gamatsu, H. T 310	Oudeman, M 1134	Pohm, A. V 637	Rez. L. S 758
barrano V	Overhouser A W 1959	Poincelot, P 641	Rhoten W G 199
kagawa, K 56	Oudeman, M 1134 Overhauser, A. W. 1252 Owen, G. E 163	Delevele T	Rhoten, W. G 122 Ricca, F
kagawa, Y 580 kamichi, T 634	Owen, G. E 163	Polasek, J 304	Licca, F 1136
kamichi, T 634	Owsienko, D. E 1231	Poliakowa, G. N 381	Richards, D. A 180
ramura I M 635	Owsjannikowa, I. A. 665	Pollack, I 1206 Pollak, M 757	Richards, J. A 3
T 544 546		Pollels M. 757	Richards R E 615
кано, н 544, 545	Owtscharenko,	E OHAK, M	Richards, R. E 615 Richardson, E. G 8
Kazawa, K 56	O. N 1093	Polskii, N. I 480	Richardson, E. G 8
me ir. F. W. van 150		Pontekorwo, B 877	Richter, M 899, 900
kamura, I. M 635 kano, H 544, 545 kazawa, K 56 me jr, F. W. van 150 miot, A. Y 517	Packter, A 513	Pool, M. L 937	Rieckhoff, K. E 601
mot, A. 1	Dedmini D D T T COZ		Rimat C
casimna, K 294	Padmini, P. R. K. L. 337	Pope, C. I 415	Rimet, G 584
cath, A 363	Palatnik, L. S1159	Popescu, I 712	King, J 67
ini, A 1136	Palma, M. U 623	Popow, K. W 1225	Ring, J 67 Riopelle, A. J 1210
,,	,	•	

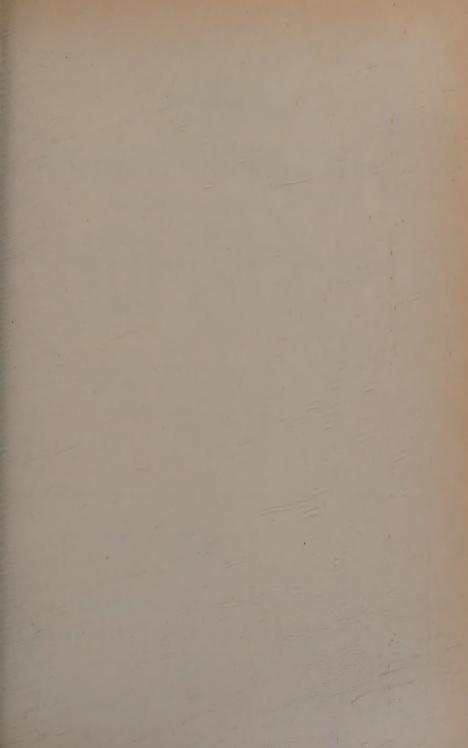
Rispoli, B 851	Sawver, R. F 894	Shestopalov,	Sosnina, E. I Sosnovsky, A. N
Riste T 1063	Sawyer, R. F 894 Sayers, B. M. A 1209 Schaaf, S. A 283	V. P	Sosnovsky, A. N
Rittner, E. S 692	Schaaf, S. A 283	Shilov, A. E 299	Soutif, M Spear, R. H
Riumina, K. P 715	Schäfer, H 518, 519	Shimanskaya, N. S. 813	Spear, R. H
Riste, T. 1063 Rittner, E. S. 692 Riumina, K. P. 715 Rob, L. 891	Schäfer, H 518, 519 Schapink, F. W 1134 Schapino, J. P 443 Schardin, H 305 Schaff R 325	Shirokov, I. M 205	Spencer, G. O Spencer, N. W
Roberts, D. II	Schaprio, J. P 443	Shiskin, L. A 717	Speranskaja, N. J.
Roberts, E. M 617	Schardin, H 309	Shokholovich M. L. 749	Spicer, B. M 927,
Roberts, E. M 617 Robinson, N. W 184 Robotnow, N. S 906 Rodionov, S. N 863 Rodionov, V. N 1167	Scharf, B 325 Schauer, R. F 637	Shulrain E. E 466	Spielberg, K
Robothow, N. S 900	Schovo A 521	Shpolskii, E. V 17	Spinner, S.
Rodionov V N 1167	Schechter, W. M 1006	Shizume, P. K	Spitzer, M
Rodrigue, G. P 614	Schavo, A	Shtrikman, S 557, 556	Spitzer, R Spivak, G. V 576,
Rodionov, V. N 1167 Rodrigue, G. P 614 Rodriguez, C 1043	Scheele, G. F 301 Scheidegger, A. E. 281	Shull, C. G 955	Spivak, G. V 576,
Rogers, J. L 631 Roll, P. G 914	Scheidegger, A. E 281	Shultin, A. A 761	Spivak, P. E.
Roll, P. G 914	Schellenberger, G1195 Schermergow, T. D. 1226	Shutilov, V. A 360	Splietnon, H
Romanov, I. F 843 Romashov, A. N 1167	Schermergow, T. D. 1226	Shutilov, V. A 360 Sidorov, V. A 822 Sidorow, W. M 966	Spliethoff, H. Ssawin, F. A. 1045, Ssemenoff, R. J
Romashov, A. N. 1107	Schiller, P 1074	Siegbahn, K 872	Scilin W P
Rompe, R 745 Rood, P 25	Schiller, S 840 Schimmel, G 363	Sierro, J 602	Ssokoloff, W. A. 441
Rood, P	Schinjajew, A. J. 1238	Siksna, R 1193	Ssilin, W. P. Ssokoloff, W. A. 441 Ssoschnikoff, W. N.
Rosen, N 242	Schlegel, R 113	Sime, R. J 508	Staffichuk, E. A
Rosen, N 242 Rosenblatt, M. P 442	Schlegel, R. 113 Schmid, L. C. 987	Sime, R. J 508 Simerska, M 386	Stahl, A
Rosenstock, H. B 213	Schmidlin, F. W 663	Simon A W 270	Standley, K. J
R.081, F. D	Schmidt, H 110	Simon, P 82	Stark, D. S
Rothenstein, W 988	Schmidt, J 754		Starobogatoff, B. S.
Rountree, J. C 80	Schmidt, W 804	Simpson, O. 825 Simpson, W. 828 Singson, J. R. 1203	Stauer, E. W
Rouse, A. G	Schneider, F 193	Simpson, W 828	Stauffer W. A.
Rowinski, R. E 719 Rowles, W 120 Rowlinson, J. S 487	Schneider, F. 193 Schneider, G. 502 Schneider, W. 814	Singer S F 230	Stavicebii V V
Rowlinson J S. 487	Schnering,	Singh R. P 94	Stavissky, V. V.
Rozenberg,		Singer, S. F. 230 Singh, R. P. 94 Sinha, S. K. 1040 Sinjakow, J. W. 730	Stark, D. S. Starobogatoff, B. S. Stauer, E. W. Stauer, J. W. Stauffer, W. A. Stavisskii, Y. Y. Stavissky, Y. Y. Stedman, C. K. Stage, M. G. v. d.
G. V 1161	H. G. von 1067 Schoen, L. J 448	Sinjakow, J. W 730	DUCCES, MILO CIO VO CIO OS
Rozis-Saulgeot,	Schönheit, E 830, 831	Sinyakov, E. V 741	Steigert, F. E
AM 104	Schrötter, H. W. 1052		Stein, F. S
Rozman, I. M 430	Schönheit, E 830, 831 Schrötter, H. W. 1052 Schtschepkin, D. N. 1060	Sjöfall, L. P 1039	Stemme, O Stepanow, A. W
Rüdiger, D 263	Schubring, N. W 359 Schüppel, W 1158	Skakow, J. A 1232	Stepanow, A. W.
Rumanova, I. M 1082 Rundle, H. N 1171	Schüppel, W 1158	Skanawi, G. 1 128, 129	Stepanow, F. P
Rupprecht H 679	Schütte W 06	Skiden W R 260	Stephani, H
Rupprecht, H 672 Rusanov, A. I 494	Schürer, P. 253 Schütte, K. 96 Schur, J. S. 1248 Schuwalowa, E. J. 1096	Si)ofal, L. P. 1039 Skakow, J. A. 1232 Skanawi, G. I. 728, 729 Skaska, W. S. 379 Skidan, W. B. 369 Skljarewski, J. N. 381 Skohow, W. G. 670	Stern R. A
Russell, F. M 419	Schuwalowa, E. J. 1096	Skobow, W. G 670	Stern, R. A Sterrett, K. F
Rybakov, B. V 922	Schwan, H. F 320	Skudrzyk, E 329	Stewart, P. A
Ruytel, M 1112	Schwartz, M 165	Skuratov, S. M 462	Stewart, jr., R. M
Ryter, C 622	Schwartz, S. B 89	Skworzow, J. W 710 Sleicher jr., C. A 289	Stillinger ir., F. H.
Cashanama W. T. 4000	Scott, F. R 642	Sleicher jr., C. A 289	Stinson, W. P
Sacharowa, M. I. 1222 Sachtler, W. M. H. 1148 Sacklowski, A 116	Scott, W. T 12	Slepian, J 646, 865 Smerd, S. F 82	Stockendal, R
Sacklowski A 118	Scriven, L. E 289 Sears, F. W 3, 31	Smirenkin, G. N 923	Stöckmann, F
Sagel, K 1087, 1234	Seavev ir M H 612	Smirnova,	Stone, P. H Stora, R
Saini, G 1136	Seavey jr., M. H 612 Seeger, A 1074	N. L 1065, 1066	Storonkin, A. V.
Sakai, M 953	Seeger, K 751	N. L 1065, 1066 Smirnova, T. V 679	Strait, E. N.
Sakai, S 580	Seeger, R. J 282	Smirnow, A. A 653	Strehlow, R. A
Sakai, S. 580 Salamandra, G. D. 311 Salmon, J. 534	Seiden, P. E 613	Smith, D. E 97	Strehlow, R. A Strizhak, V. I Stross, F. H
Salmon, J 534	Seidl, M 848	Smith, N. O 256	Stross, F. H
Samochwalow, A. A. 658	Seiler, K 696	Smith, S. J 96	Struble, R. A
Samson, C. A 1181 Samuels, J. C 342	Selig, H 509	Smith, W. G 938	Stubbs, G. R
Samuels, L. E 1264	Selig, H. 509 Selinov, I. P. 974 Selimow, I. P. 946 Semenko, J. J. 664	Smithson, J. R 24	Stümke, H
Sandars,	Semenko, J. J 664	Smits, F. M 1108 Smolkow N A 1254	Stumbur, E. A Subrahmanyam, K.
P. G. H 1033, 1034 Sander, K. F 808	Serra, A 851	Smolkow, N. A 1254 Snjegireff, B. N 1056 Snow, W. B 355	Sudowzew, A. I
Sander, K. F 808	Service, D. H 821	Snow, W. B 355	Süß, R.
Sanders, J 836 Sarabhai, V. A 1016	Seshadri, S. R 783	Snyder, D. D 192	Suffert, M
Saradhai, V. A 1016	Svier jr., K 960	Sobelmann,	Sugano, R
Sarezki, D. F. 234 Sartori, L. 904 Satchler, G. R. 970 Sato, K. 348, 917 Satok F.	Sexl, T 287	J. J 1045 1046	Sugano, R
Satchler, G. R. 970	Shafroth, S. M. 990 Shain, C. A. 9	Sobhanadri, J 1042	Sukhotin, A. P Sukhov, S. A
Sato, K 348, 917	Shankland R S 947	Soemitro,	Sukhov, S. A
Satoh, T 1113	Sharma, B. 051	Solie M 414	Sullivan, G. A
Satoh, T	Shankland, R. S 347 Sharma, B 951 Sharma, B. D 1064	Solodikhina, L. D. 1194	Sumi, M
Saunders, K. W 178	Shaw, H. J 613	Solok, A. M. 730	Sundström, T
Saunders, N. H 636	Shaw, H. J	Solok, A. M 730 Soloveva, Z. A 1142	Suris, P. A Sutton, G. P.
Savoskin, V. I 715	Sheinann, A. E 466	SOLOWIEW, M. I 931	Sutton, R. M.
Sawada, S 880	Snelton, H 852	Soma, T	Suzuki, S
Sawarizki, N. W. 887	Sneppard, N 616	Sonin, A. S 758	Svennerstedt, S
Sawada, T 879 Sawarizki, N. W 667 Sawizkij, W. G 1225	Sher, R 930 Sherman, L. E 993	Sonntag, G 298	Svestka, Z.
	993	Sorokin, W. S 763	Svoboda, K

Tonapetjan, S. G. 829 Topa, V. 1030 Toropetz, A. S. 393 Totsky, I. A. 992 Toupin, R. A. 273 Tousey, R. 76 Toye, T. C. 1239 Traving, G. 72 Tredgold, R. H. 1080 Trefftz, E. 98 Treves, D. 557, 558 Trilfaj, M. 427 Trinka, J. 1095 Trümper, J. 833 Tschaban, A. 906 Tschaika, M. P. 369, 370, 1036 Tschernikowa, I. E. 1214 Tschichladse, W. L. 946 Tschulanowski, W. M. 1060	Wagner, C. A	4477
Tona V	Walanailan H. C.	11//
Topa, v 1030	wansweller, H. G	. 797
Toropetz, A. S 393	Wait, J. R	. 786
Totsky, I. A 992	Waldmeier, M	. 87
Toupin, R. A 273	Walerys, H	. 429
Tousev. R 76	Wali, K. C	. 894
Tove T C 1239	Walker L. R.	625
Traving G 79	Walker R E	172
The deeld D II 1000	Walker, Iv. E	4774
Treagola, R. H 1080	wanace, w. E	. 471
Trentz, E 98	Wallerstein, G	. 103
Treves, D 557, 558	Wallis, R. F	. 267
Trlifaj, M 427	Wallot, J	. 10
Trnka, J 1095	Walter, A. K	. 916
Trümper J 833	Wan S F	. 396
Tachohan A A 000	Wong H C	. 931
Tschaban, A. A 900	Wang, HC	. 991
Ischaika,	wang, 11.	. 931
M. P. 369, 370, 1036	Wapstra, A. H	. 610
Tschernikowa, I. E. 1214	Wallis, R. F. Wallot, J. Walter, A. K. Wan, S. F. Wang, HC. Wang, TT. Wapstra, A. H. Ward, L. W. Wardzynski, W. Ware, W. H. Warren, W. R.	. 295
Tschichladse, W. L. 946	Wardzynski, W	. 390
Tschulanowski,	Ware, W. H	. 57
W. M 1060	Warren, W. R	. 251
Taenelevich E E 758	Washburn I	1104
Toulkhanova O A 211	Waggilowski W D	1059
TSUKHAHOVA, O. A 511	Wassiowski, K. I.	1009
Turner, W. E. S 1259	Watkins, J. W	1216
Turow, J. A 565, 566	Watson, B. B	. 131
Turtschinskaja,	Watters, B. G	. 331
Tschulanowski, W. M	Warren, W. R. Washburn, J. Wassilowski, K. P. Watkins, J. W. Watson, B. B. Watters, B. G. Webb jr., F. H. Webb, W. P. Weber, R. Wechsler, W. I. Wedepohl, P. T. Wedler, G.	. 660
Ty N D 931	Wehh W P	. 198
Typnoll A C 926	Woher P	672
Tyrren, A. C 650	Weshaler W T	014
Tzou, K. H 251	wechsier, w. I	. 931
Ubbelohde,	Wedepohl, P. T	. 995
Obbelonde,	Wedler, G. Wehr, M. R. Weibel, E. S. Weiss, G. H. Weiss, H. Weissmantel, C. Wellmann, P.	. 470
A. R 082, 083	Wehr, M. R	. 3
Ubisch, H. von 472	Weibel, E. S	. 643
Uebing, D 274	Weiss G. H	. 264
Uhlig, J 44	Woice H	672
Umanskii, J. S 1232	Waigamantal C	- 010
Umamura I 227	weissmantel, C	. 816
Uniciliata, 1	Wellmann, P	. 61
Ulisoid, A 107	Wentzel, G	. 661
Ubbelohde, A. R 682, 683 Ubisch, H. von 472 Uebing, D 274 Uhlig, J 44 Umanskij, J. S 1232 Umemura, I 237 Unsöld, A 107 Urasakow, E. I 633 Ursu, I 199, 200	Wentzel, G Wenzel, R. F Werchowtzewa, E. Wergungs F. I	. 642
Ursu, I 199, 200	Werchowtzewa, E.	T.381
** * **	Werginas F I	. 446
Vacek, K 450	Wergunas, F. I Wernick, J. H	506
Vacet, P. I 829	Weillick, J. H	. 596
Vaisman, I. A 910	westenberg, A. A	. 473 . 349 . 487 1128
Vargaftik, N. B 477	Weston, D. E	. 349
Varshni V P. 969	Weston, J. F	. 487
Vorgnos M 999	Wet, W. J. de	1128
Verstelle I C	Wetstone, D. M	. 647 1257
verstelle, J. C 908	Weyl W. A.	1257
Vick, F. A 766	Waymouth T H	. 195
Vigier, JP 222, 316	Wheeler M C	. 100
Vineyard, G. H 548	wheeler, M. S	. 532 . 618
Vitasek, E 1091, 1092	Whippie, E. B	. 018
Vivian, W. E 792	Wernick, J. H. Westenberg, A. A. Weston, D. E. Weston, J. F. Wet, W. J. de Wetstone, D. M. Weyl, W. A. Weymouth, J. H. Wheeler, M. S. Whitple, E. B. Whitchurch, P. J. White, D. H 138	.1138
Vladimirov V T 1000	White, D. H 134	1, 962
Wladimireky V V 949	White, G. K	. 483
Viauminisky, v. v 642	White, R. L.	. 562
Viasov, N. A 922	Whitmore B G	1000
Vleck, J. H. van 627, 909	Wholley ir I W	279
Vogel, J. C 834	Wheele C M	051
Vogel, L 78	whyte, G. N	. 951
Vogler, G 1201	Widmann, A	. 201
Vogt E 921	Whitpple, E. B. White, D. H 13c White, G. K. White, G. K. White, R. L. Whitmore, B. G. Wholley Jr., J. W. Whyte, G. N. Widmann, A. Wiedemann, HG. Wiener, G. W. Wiesner, R. Wilcock, W. L. Wilkonson,	. 254
Voit E 1919	Wiener, G. W	1241
Vonceh H 010 1000	Wiesner, R	. 698
Vonach, H 919, 1009	Wilcock W. L.	34
Vonarburg, H 362	Wilkonson	. 01
Ursu, I	Wilcock, W. L. Wilkonson, M. K. 955 Wilks, J. Williamson, G. K. Wilson, A. C. Wilson, J. A. Wilson, R. B. Wilson, R. G.	1959
Vorobev, A. F 462	М. К 955	, 1203
Vorobev, Y. V 426	WIIKS, J	1099
Vos. K. J. de 559	Williamson, G. K.	1104
Voukalovich M P 464	Wilson, A. C	. 799
Voundiovicii, m. 1. 404	Wilson, J. A	. 157
vrana, 1 931	Wilson R. B	1135
Vrejoiu, K 1010	Wilson P G	027
XXI-d- TO FO	Winogord	. 501
vvada, E 56	winegard,	4000
Wada, M 1019	W. C 1229	, 1230
Waddington, G 507	Wing, G. M	. 40
Wada, E. 56 Wada, M. 1019 Waddington, G. 507 Waechter, K. H. 854	Winegard, W. C 1229 Wing, G. M Winkler, C. A	. 521
	- 1	

Winogradow, W. S. . 755
Winogradowa, L. M. . 374
Wirjassow, N. M. . . 931
Witte, A. J. de . . . 280
Wladimirow, W. I. . 1089
Wlasjenko, N. A. . . 395
Wlassow, W. W. . . 1215
Wlérick, G. 70, 807
Wodopjanow, K. A. . 732
Woitowicz. Wojtowicz, P. J. 496, 1251 Wolf, L. 169, 170 Wolkenstein, M. W. 456 Wolkenstein, N. W. 1249 Wolkers, G. J. 490 Wolkowa, L. M. . . . 1035 Wollam, E. O. . . . 1253 Wonsowski, S. W. . 662 Wood, R. H. 1081 Woodgate, G. K. . . . 1033, 1034 Woodrow, R. A. . . . 49 Woolf, N. J. 67 Workman, E. J. . . 1188 Wuerker, R. F. 852 Yaffe, L. 950
Yagoda, H. 1183
Yamaguchi, S. 1004
Yamaguchi, S. 884
Yamamoto, K. 901
Yamanoto, M. 634, 800
Yamane, M. 1038
Yamano, M. 800
Yasukochi, K. 590
Yokobori, T. 1228
Yonezawa, M. 880
Yorke, R. W. 615
Yoshimori, A. 589
Yosim, S. J. 506 Yosim, S. J. 506 Young, A. S. 585 Yuasa, K. 1003 Yurin, V. A. 726 Yvon, J. 232 Zaehringer, A. J. . . 96 Zalubas, R. 1025 Zalubosky, I. I. . . . 916 Zalubosky, I. I. 916
Zankel, K. L. 358
Zapf, T. L. 554
Zatzkis, H. 16
Zaveta, K. 1245
Zdorovets, A. S. 1109
Zemans, J. 1067
Zemansky, M. W. 3
Zetzsche, R. 1263
Zheludev, I. S. 576, 577, 726 576, 577, 726 Zhileiko, G. I. 844 Zinsmeister, G. . . . 183 Zinsser, H. H. 332 Zinsser, H. H. 332
Zirin, H. 74, 89
Zita, K. 162
Zivojinov, J. M. 504
Zlatev, M. P. 651
Zobel, K. F. 23
Zoli, A. M. 297
Zolotavin, A. V. 944
Zukerman, I. S. 887
Zukernik, W. M. 564
Zwetkoff, W. N. 379
Zwjelych, N. 6. 397 Zwjelych, N. G. ... 397

Redaktion und verantwortlich für den Inhalt: Professor Dr. Hermann Ebert. Anschrift der Redaktion: Augsburg. Obere Lechdammstr. 65. Verlag: Akademie-Verlag GmbH, Berlin Leipziger Straße 3 – 4 / Fernruf: 200441, Telex-Nr. 011 773, Postscheckkonto: 35021. Bestellnummer Heftes 1008/40/4. Bezugspreis: Jahresabonnement einschließlich Register 118, – DM, die einseitige Au einschließlich Register 118, – DM. Die Physikalischen Berichte erscheinen monatlich. Abbestellungen k nur bis vier Wochen vor Quartalsende anerkannt werden, andernfalls wird das folgende Quartal noch gel Nachdruck, fotograßische Vervielfältigung, Mikrofilme, Mikrofoto von ganzen Heften, einzelnen Referater Teilen daraus sind ohne ausdrückliche Genehmigung des Verlages nicht gestattet Satz und Druck: Druckhaus "Maxim Gorki", Altenburg Veröffentlicht unter der Lizenznummer 202/100/731/61

Printed in Germany



REGISTER

zu den

PHYSIKALISCHEN BERICHTEN

erleichtern Ihnen das Nachschlagen!

Bis Band 39 (1960) liegen nunmehr auch alle Registerhefte vollständig vor.

Der Preis beträgt 34,- DM je Heft.

Sie enthalten:

Liste der Mitarbeiter Verzeichnis der referierten Zeitschriften Stoffgliederung Alphabetisches Namenregister Systematisches Register

zum laufenden Jahrgang.

Alle seit 1950 erschienenen Text-Hefte sind ebenfalls noch lieferbar

Bitte überprüfen Sie Ihre Sammlung!

Bestellungen erbeten

AKADEMIE-VERLAG · BERLIN